



ΕΘΝΙΚΟ ΜΕΤΣΟΒΙΟ ΠΟΛΥΤΕΧΝΕΙΟ  
ΣΧΟΛΗ ΗΛΕΚΤΡΟΛΟΓΩΝ ΜΗΧΑΝΙΚΩΝ  
ΚΑΙ ΜΗΧΑΝΙΚΩΝ ΥΠΟΛΟΓΙΣΤΩΝ  
ΤΟΜΕΑΣ ΗΛΕΚΤΡΙΚΗΣ ΙΣΧΥΟΣ  
ΕΡΓΑΣΤΗΡΙΟ ΥΨΗΛΩΝ ΤΑΣΕΩΝ

**Αξιολόγηση διεργαστηριακών μετρήσεων  
ηλεκτρομαγνητικού πεδίου**

**ΔΙΠΛΩΜΑΤΙΚΗ ΕΡΓΑΣΙΑ**

**Ελένη Π. Νικολοπούλου**

**Καθηγητής:** Ιωάννης Αθ. Σταθόπουλος  
**Επιβλέπων:** Ιωάννης Φ. Γκόνος

Αθήνα, Ιούλιος 2010

*Στην οικογένειά μου*



ΕΘΝΙΚΟ ΜΕΤΣΟΒΙΟ ΠΟΛΥΤΕΧΝΕΙΟ  
ΣΧΟΛΗ ΗΛΕΚΤΡΟΛΟΓΩΝ ΜΗΧΑΝΙΚΩΝ  
ΚΑΙ ΜΗΧΑΝΙΚΩΝ ΥΠΟΛΟΓΙΣΤΩΝ  
ΤΟΜΕΑΣ ΗΛΕΚΤΡΙΚΗΣ ΙΣΧΥΟΣ  
ΕΡΓΑΣΤΗΡΙΟ ΥΨΗΛΩΝ ΤΑΣΕΩΝ

161

**Αξιολόγηση διεργαστηριακών μετρήσεων  
ηλεκτρομαγνητικού πεδίου**

**ΔΙΠΛΩΜΑΤΙΚΗ ΕΡΓΑΣΙΑ**

**Ελένη Π. Νικολοπούλου**

**Καθηγητής:** Ιωάννης Αθ. Σταθόπουλος  
**Επιβλέπων:** Ιωάννης Φ. Γκόνος

Εγκρίθηκε από την τριμελή εξεταστική επιτροπή την 27<sup>η</sup> Ιουλίου 2010.

Ιωάννης Αθ. Σταθόπουλος  
Καθηγητής

Φίλιππος Κωνσταντίνου  
Καθηγητής

Φραγκίσκος Β. Τοπαλής  
Καθηγητής

Αθήνα, Ιούλιος 2010

Ελένη Π.Νικολοπούλου

Διπλωματούχος Ηλεκτρολόγος Μηχανικός και Μηχανικός Υπολογιστών Ε.Μ.Π.

Copyright © Εθνικό Μετσόβιο Πολυτεχνείο  
Με επιφύλαξη παντός δικαιώματος. All rights reserved.

Απαγορεύεται η αντιγραφή, αποθήκευση και διανομή της παρούσας εργασίας, εξ ολοκλήρου ή τμήματος αυτής, για εμπορικό σκοπό. Επιτρέπεται η ανατύπωση, αποθήκευση και διανομή για σκοπό μη κερδοσκοπικό, εκπαιδευτικής ή ερευνητικής φύσης, υπό την προϋπόθεση να αναφέρεται η πηγή προέλευσης και να διατηρείται το παρόν μήνυμα. Ερωτήματα που αφορούν τη χρήση της εργασίας για κερδοσκοπικό σκοπό πρέπει να απευθύνονται προς τον συγγραφέα.

Οι απόψεις και τα συμπεράσματα που περιέχονται σε αυτό το έγγραφο εκφράζουν τον συγγραφέα και δεν πρέπει να ερμηνευθεί ότι αντιπροσωπεύουν τις επίσημες θέσεις του Εθνικού Μετσόβιου Πολυτεχνείου.

## ***Περίληψη***

Η συμμετοχή ενός εργαστηρίου σε ένα σχήμα δοκιμών ικανότητας αποσκοπεί στην αξιολόγηση της επάρκειάς του και τη βελτίωση της επίδοσής του σε ένα συγκεκριμένο πεδίο μετρήσεων. Στην παρούσα διπλωματική εργασία παρουσιάζονται αρχικά οι αρχές που διέπουν ένα σχήμα δοκιμών ικανότητας και οι κανόνες για την ανάλυση των αποτελεσμάτων του, σύμφωνα με τα διεθνή πρότυπα. Στη συνέχεια παρουσιάζονται δύο σχήματα διεργαστηριακών μετρήσεων ηλεκτρομαγνητικών πεδίων που αφορούν το πρώτο σε χαμηλόσυχνα και το δεύτερο σε υψηλόσυχνα πεδία. Για κάθε μία από τις δύο πειραματικές διαδικασίες περιγράφεται εκτενώς ο υπολογισμός των στατιστικών δεικτών επίδοσης των συμμετεχόντων, παρατίθενται τα αποτελέσματα της επεξεργασίας και γίνεται η αξιολόγηση της επίδοσης των εργαστηρίων. Τέλος, παρατίθενται κάποιες σκέψεις για τη μελλοντική βελτίωση και αξιοποίηση των αποτελεσμάτων αυτών των σχημάτων δοκιμών.

### **Λέξεις κλειδιά**

Σχήματα δοκιμών ικανότητας, Διεργαστηριακές μετρήσεις, Βαθμός z, Ανθεκτικός αλγόριθμος A κατά ISO 13528 (Annex C), Ακραία αποτελέσματα, Μη ιοντίζουσες ακτινοβολίες, Χαμηλόσυχνα πεδία, Ραδιοσυχνότητες, Λόγος έκθεσης, Ικανοποιητική επίδοση εργαστηρίου

## ***Abstract***

The participation of a laboratory in a proficiency testing scheme aims to assess its adequacy and improve its performance in a particular field of measurements. This diploma thesis presents at first the basic principles of a proficiency testing scheme and the rules for the analysis of the results in accordance with international standards. Two interlaboratory comparison schemes involving low frequency and high frequency electromagnetic field measurements are presented. For each of the two experimental procedures we describe in detail the calculation of the performance statistics of the participants and we evaluate the performance of the laboratories based on the results of the statistical analysis. Finally, some thoughts for future improvement and efficient use of the results of those test schemes are stated.

### **Key words**

Proficiency testing schemes, Interlaboratory comparisons, z score, Robust Algorithm A by ISO 13528 (Annex C), Outlier, Non-ionizing radiation, Extremely low frequency fields, Radio waves, Exposure quotient, Satisfying laboratory performance

## **Πρόλογος**

Στην παρούσα διπλωματική εργασία μελετώνται δύο εφαρμογές των σχημάτων δοκιμών ικανότητας στον τομέα των μετρήσεων ηλεκτρομαγνητικών πεδίων. Το θεωρητικό υπόβαθρο για τη στατιστική ανάλυση και την ερμηνεία των αποτελεσμάτων τίθεται με την περιληπτική παρουσίαση των κανόνων που ορίζουν τα σχετικά διεθνή πρότυπα και εν συνεχεία προσαρμόζεται κατάλληλα στα ιδιαίτερα χαρακτηριστικά των μετρήσεων που εξετάζουμε. Τόσο για την εφαρμογή στις χαμηλές συχνότητες όσο και για την εφαρμογή στις υψηλές συχνότητες υπολογίζονται οι βαθμοί z scores για κάθε επιμέρους μέτρηση των εργαστηρίων με χρήση ενός ανθεκτικού επαναληπτικού αλγορίθμου, αξιολογείται η συνολική συμπεριφορά κάθε εργαστηρίου βάσει συγκεντρωτικών δεικτών και διαγραμμάτων και διερευνώνται στοιχεία της πειραματικής διαδικασίας και παράμετροι της μεθόδου μέτρησης κάθε εργαστηρίου που οδηγούν τους συμμετέχοντες σε χαμηλή επίδοση. Κλείνοντας γίνεται αναφορά στην ανάγκη επέκτασης των εν λόγω σχημάτων δοκιμών και προτείνονται βελτιώσεις για μελλοντικές τους εκτελέσεις.

Ειδικότερα, η διπλωματική εργασία αποτελείται από τα εξής κεφάλαια:

**Κεφάλαιο 1.** Στο κεφάλαιο αυτό παρουσιάζονται κάποιες εισαγωγικές έννοιες σχετικά με τις διεργαστηριακές μετρήσεις και γίνεται αναφορά στη χρησιμότητα και στη δομή τους.

**Κεφάλαιο 2.** Στο κεφάλαιο αυτό γίνεται αναφορά στα διεθνή πρότυπα που θέτουν τις αρχές για την ανάλυση και τη στατιστική επεξεργασία των δεδομένων διεργαστηριακών μετρήσεων.

**Κεφάλαιο 3.** Στο κεφάλαιο αυτό αντιπαραβάλλονται οι δύο βασικοί αλγόριθμοι υπολογισμού των στατιστικών επίδοσης, όπως αυτοί ορίζονται από τα διεθνή πρότυπα, επιλέγεται η κατάλληλη διαδικασία και περιγράφεται λεπτομερώς.

**Κεφάλαιο 4.** Στο κεφάλαιο αυτό περιγράφονται οι διεργαστηριακές μετρήσεις χαμηλών συχνοτήτων, παρατίθενται τα z scores για την αξιολόγηση των εργαστηρίων

και εξάγονται συμπεράσματα για την όλη διαδικασία και τη συμπεριφορά των εργαστηρίων.

**Κεφάλαιο 5.** Στο κεφάλαιο αυτό περιγράφονται οι διεργαστηριακές μετρήσεις υψηλών συχνοτήτων, παρατίθενται τα z scores για την αξιολόγηση των εργαστηρίων και εξάγονται συμπεράσματα για την όλη διαδικασία και τη συμπεριφορά των εργαστηρίων.

**Κεφάλαιο 6.** Στο κεφάλαιο αυτό εξετάζεται η μελλοντική εξέλιξη των δύο σχημάτων δοκιμών και γίνονται κάποιες παρατηρήσεις για τη βελτίωση της πειραματικής διαδικασίας και την αξιολόγηση των εργαστηρίων μεταξύ κύκλων του σχήματος.

**Παράρτημα** Η ενότητα αυτή περιέχει τους αναλυτικούς πίνακες υπολογισμού των z scores της εφαρμογής των υψηλών συχνοτήτων μαζί με ορισμένες επισημάνσεις για την κατά περίπτωση επεξεργασία των μετρήσεων.

Στο σημείο αυτό θα ήθελα να ευχαριστήσω για την υποστήριξη και την ανεκτίμητη συνεισφορά τους όλους όσους βοήθησαν στην εκπόνηση της παρούσας διπλωματικής εργασίας και συγκεκριμένα:

Τον κ. Ιωάννη Αθ. Σταθόπουλο, καθηγητή του Τομέα Ηλεκτρικής Ισχύος του Εθνικού Μετσοβίου Πολυτεχνείου για την πατρική αγάπη και το ενδιαφέρον με το οποίο περιέβαλε κάθε μου προσπάθεια, την αμέριστη συμπαράστασή του και τη διαρκή παρουσία του στην εξέλιξη της εν λόγω εργασίας.

Τον κ. Ιωάννη Φ. Γκόνο, διδάκτορα μηχανικό του Εθνικού Μετσοβίου Πολυτεχνείου για τη διάθεση του πολύτιμου χρόνου και της μεγάλης πείρας του προς καθοδήγησή μου και για την εμπιστοσύνη που μου έδειξε δίνοντάς μου τη δυνατότητα να ασχοληθώ με το καινοτόμο και ζωτικής σημασίας για τα εργαστήρια θέμα των διεργαστηριακών μετρήσεων.

Τον κ. Ευθύμιο Γ. Καραμπέτσο, διδάκτορα μηχανικό του Εθνικού Μετσοβίου Πολυτεχνείου, υπεύθυνο του Γραφείου μη Ιοντιζουσών Ακτινοβολιών της ΕΕΑΕ, ο οποίος ως συντονιστής των σχημάτων δοκιμών, μου παρείχε όλα τα απαραίτητα δεδομένα και τις καίριες παρατηρήσεις του για την εμπειριστατωμένη αξιολόγηση των αποτελεσμάτων.



Την κ. Φανή Η. Ασημακοπούλου, υποψήφια διδάκτορα και μηχανικό του Εθνικού Μετσοβίου Πολυτεχνείου για την πρόθυμη συμβολή της στη διαμόρφωση της διπλωματικής εργασίας.

Τη μητέρα μου, στην αγάπη, την προσφορά και την υποστήριξη της οποίας οφείλω ό,τι έχω επιτύχει μέχρι σήμερα.

Τέλος, δε θα μπορούσα να μην αναφερθώ στον αείμνηστο πατέρα μου, Παναγιώτη Ν. Νικολόπουλο, καθηγητή του Τομέα Ηλεκτρικής Ισχύος του Εθνικού Μετσοβίου Πολυτεχνείου, ο οποίος με το παράδειγμά του και το έργο του με συνοδεύει σε κάθε μου βήμα, αποτελεί για τη ζωή μου πηγή δύναμης και μου εμπνέει την ιδιαίτερη αγάπη μου προς το αντικείμενο των Υψηλών Τάσεων.

# Περιεχόμενα

Περίληψη _____	v
Abstract _____	vi
Πρόλογος _____	vii
Περιεχόμενα _____	ix
<b>Κεφάλαιο 1: Σχήματα Δοκιμών Ικανότητας</b>	<b>1</b>
1.1 Εισαγωγικές έννοιες για τις συγκριτικές μετρήσεις και τα σχήματα δοκιμών ικανότητας _____	1
1.2 Η χρησιμότητα των σχημάτων δοκιμών ικανότητας _____	2
1.3 Δομή και βασικές αρχές των ΣΔΙ _____	4
<b>Κεφάλαιο 2: Πρότυπα</b>	<b>6</b>
2.1 Γενικές αρχές _____	6
2.2 Ορισμοί: ISO 43-1 _____	6
2.3 Στατιστικές μέθοδοι: ISO 13528 _____	7
2.4 Ανάλυση δεδομένων: ISO 5725-2 _____	11
2.4.1 Παρουσίαση-Ομαδοποίηση δεδομένων _____	12
2.4.2 Προκαταρκτική επεξεργασία _____	12
2.4.3 Εξέταση δεδομένων για εύρεση απόμακρων τιμών _____	13
2.4.4 Τελική επεξεργασία _____	15
2.4.5 Εξάρτηση της διασποράς από τη μέση τιμή _____	15
<b>Κεφάλαιο 3: Διαδικασία υπολογισμού z-scores</b>	<b>17</b>
3.1 Γενικό πλαίσιο _____	17
3.2 Αλγόριθμοι υπολογισμού εκτιμήσεων $\hat{m}$ και $\hat{\sigma}$ _____	18
3.2.1 ISO 5725-2 _____	18
3.2.2 ISO 13528 (Annex C Algorithm A) _____	19
3.2.3 Επιλογή αλγορίθμου _____	22
3.2.4 Υπολογισμός-ερμηνεία z scores _____	23

<b>Κεφάλαιο 4: Εφαρμογή 1 Χαμηλές Συχνότητες</b>	<b>26</b>
4.1 Χαμηλόσυχνα ηλεκτρικά και μαγνητικά πεδία _____	26
4.2 Πειραματική διαδικασία _____	29
4.3 Συμμετέχοντες _____	32
4.4 Αποτελέσματα μετρήσεων _____	32
4.5 Επεξεργασία μετρήσεων-z scores _____	33
4.6 Συμπεράσματα _____	46
<b>Κεφάλαιο 5: Εφαρμογή 2 Υψηλές Συχνότητες</b>	<b>50</b>
5.1 Πεδία ραδιοσυχνοτήτων _____	50
5.2 Πειραματική διαδικασία _____	54
5.3 Συμμετέχοντες _____	58
5.4 Αποτελέσματα μετρήσεων _____	60
5.5 Επεξεργασία μετρήσεων _____	63
5.6 Z-Scores _____	66
5.7 Συγκεντρωτικά αποτελέσματα _____	180
5.7 Συμπεράσματα _____	196
5.7.1 Αξιολόγηση της επίδοσης των εργαστηρίων _____	196
5.7.2 Παράγοντες που υπεισέρχονται στα z scores _____	197
5.7.3 Παρατηρήσεις πάνω στο θεωρητικό πλαίσιο _____	201
<b>Κεφάλαιο 6: Η επόμενη μέρα</b>	<b>203</b>
6.1 Επέκταση των εφαρμογών _____	203
6.2 Προτάσεις βελτίωσης της πειραματικής διαδικασίας _____	204
6.2.1 Εφαρμογή 1: Χαμηλές Συχνότητες _____	204
6.2.2 Εφαρμογή 2: Υψηλές Συχνότητες _____	205
6.3 Αξιολόγηση μεταξύ κύκλων του σχήματος _____	206
6.3.1 Γραφική αναπαράσταση _____	206
6.3.2 Συνδυαστικοί δείκτες επίδοσης _____	206
6.3.3 Προτεινόμενη μέθοδος _____	208
<b>Παράρτημα: Πίνακες υπολογισμού z scores για την Εφαρμογή 2</b>	<b>210</b>
<b>Βιβλιογραφία</b>	<b>429</b>

# ΚΕΦΑΛΑΙΟ 1

## ΣΧΗΜΑΤΑ ΔΟΚΙΜΩΝ ΙΚΑΝΟΤΗΤΑΣ

### 1.1 ΕΙΣΑΓΩΓΙΚΕΣ ΕΝΝΟΙΕΣ ΓΙΑ ΤΙΣ ΣΥΓΚΡΙΤΙΚΕΣ ΜΕΤΡΗΣΕΙΣ ΚΑΙ ΤΑ ΣΧΗΜΑΤΑ ΔΟΚΙΜΩΝ ΙΚΑΝΟΤΗΤΑΣ

Κάθε εργαστήριο που εκτελεί δοκιμές, αναλύσεις ή διακριβώσεις επιδιώκει να παράγει συνεχώς και με συνέπεια αξιόπιστα αποτελέσματα, ώστε να παρέχει ποιοτικές υπηρεσίες προς τους φορείς με τους οποίους συνεργάζεται, κυρίως όμως για να μπορέσει να εξασφαλίσει τη διαπίστευση της τεχνικής του ικανότητας, σύμφωνα με τις απαιτήσεις του προτύπου ΕΛΟΤ EN ISO/EC 17025. Για την υλοποίηση αυτού του στόχου τα εργαστήρια είναι υποχρεωμένα να διενεργούν ορισμένους “ελέγχους ποιότητας” (quality controls).

Βασικό ζητούμενο ενός ελέγχου ποιότητας είναι η διασφάλιση της ιδιότητας της συγκρισιμότητας για τα αποτελέσματα των μετρήσεων. Η έννοια της συγκρισιμότητας υλοποιείται μέσω της ιχνηλασιμότητας. Η ιχνηλασιμότητα καθιστά δυνατές τις απευθείας συγκρίσεις μεταξύ των διαφόρων μετρήσεων και επιτυγχάνει μέσω της διακρίβωσης και της βαθμονόμησης την αναγνώριση της συγκρισιμότητας μιας μέτρησης. Είναι επομένως επιθυμητό όλα τα αποτελέσματα να είναι ιχνηλάσιμα σε αξιόπιστα και κατά προτίμηση πιστοποιημένα υλικά αναφοράς.

Με δεδομένη την αντικειμενική δυσκολία διασφάλισης της ποιότητας του αποτελέσματος μέσω της ιχνηλασιμότητας και την αυξανόμενη ζήτηση για ακρίβεια στα αποτελέσματα εργαστηριακών μετρήσεων έχουν αναπτυχθεί τα τελευταία χρόνια νέες μέθοδοι ελέγχου της επάρκειας και της αξιοπιστίας των εργαστηρίων. Η πλέον αποδεκτή από αυτές τις μεθόδους είναι η συμμετοχή ενός εργαστηρίου σε σχήματα δοκιμών ικανότητας (ΣΔΙ). Στη διάδοση της μεθόδου έχει συμβάλει η διαρκώς εντεινόμενη ανάγκη για συγκρίσιμα αποτελέσματα, η οποία σε ορισμένες περιπτώσεις θέτει τη συμμετοχή σε σχήματα δοκιμών ικανότητας ως προϋπόθεση για την αποδοχή εργαστηριακών αποτελεσμάτων.

Με τον όρο δοκιμή ικανότητας εννοούμε την αξιολόγηση της επίδοσης ενός εργαστηρίου ως προς ένα συγκεκριμένο πεδίο μετρήσεων. Η αξιολόγηση αυτή πραγματοποιείται μέσω των διεργασηριακών συγκρίσεων, δηλαδή τη συμμετοχή στην από κοινού οργάνωση, εκτέλεση και αξιολόγηση ομοειδών μετρήσεων από δύο ή περισσότερα εργαστήρια.

## **1.2 Η ΧΡΗΣΙΜΟΤΗΤΑ ΤΩΝ ΣΧΗΜΑΤΩΝ ΔΟΚΙΜΩΝ ΙΚΑΝΟΤΗΤΑΣ**

Τα σχήματα δοκιμών ικανότητας παρουσιάζουν μεγάλο ενδιαφέρον όχι μόνο για τα ίδια τα εργαστήρια που λαμβάνουν μέρος, αλλά και για άλλους φορείς, όπως οι αρχές διαπίστευσης, οι οργανωτές-συντονιστές των ΣΔΙ, οι κατασκευαστές υλικών αναφοράς, οι φορείς που ασχολούνται με τα πρότυπα, φορείς του επιχειρηματικού τομέα και βέβαια οι άμεσοι πελάτες των εργαστηρίων. Όσον αφορά στους διοργανωτές, μπορούν να αντλήσουν στοιχεία για την αποτελεσματικότητα του σχήματος και τις πιθανές τροποποιήσεις και βελτιώσεις του, ενώ οι επίσημες αρχές για την αναγνώριση των εργαστηρίων εξετάζουν κυρίως τις μη ικανοποιητικές επιδόσεις. Παρακάτω παρουσιάζονται τα πλεονεκτήματα της συμμετοχής σε σχήματα δοκιμών ικανότητας για τα εργαστήρια:

- Ταυτοποίηση προβλημάτων μέτρησης και ελέγχου  
Εντοπισμός πηγών συστηματικών σφαλμάτων (biases) που εισάγουν ανακρίβεια στις μετρήσεις και ανάληψη των απαραίτητων διορθωτικών μέτρων.
- Σύγκριση πειραματικών διαδικασιών  
Το εργαστήριο έχει τη δυνατότητα να εξετάσει την επίδοσή του σε νέες μεθόδους και να τη συγκρίνει με τα αποτελέσματα που λαμβάνει εφαρμόζοντας τις συνήθεις μεθόδους του.
- Αξιολόγηση της επίδοσης του εργαστηρίου σε συγκεκριμένη μέθοδο  
Το εργαστήριο μπορεί να ταυτοποιήσει προβλήματα κατά την εφαρμογή μιας ορισμένης μεθόδου και να εντοπίσει τα απαραίτητα διορθωτικά βήματα.

- Αξιολόγηση της επίδοσης του εργαστηρίου σε συγκεκριμένο πρότυπο  
Εκτιμάται η ακρίβεια με την οποία θέτει ένα εργαστήριο σε εφαρμογή κάποιο πρότυπο. Το σημείο αυτό αναφέρεται κυρίως στον έλεγχο εθνικών ινστιτούτων μετρολογίας που τηρούν τα εθνικά πρότυπα.
- Επικύρωση μεθόδων  
Προσδιορισμός της ακρίβειας και της αξιοπιστίας πειραματικών διαδικασιών μέσω του υπολογισμού χαρακτηριστικών επίδοσης τους όπως η ορθότητα, η επαναληψιμότητα, η αναπαραγωγιμότητα, η ευστάθεια, η εκτίμηση της αβεβαιότητας κλπ.
- Έλεγχος δυνατοτήτων εξοπλισμού  
Το εργαστήριο μπορεί να εξάγει συμπεράσματα για την ακρίβεια και την απόδοση του εξοπλισμού του και έτσι να βελτιώσει την εκτίμηση της αβεβαιότητας που εισάγει στις μετρήσεις ή ακόμη και να αποφασίσει την αναβάθμιση/αλλαγή του προβληματικού τμήματος του εξοπλισμού.
- Χαρακτηρισμός υλικών αναφοράς  
Προσδιορίζεται η πιστοποιημένη αληθής τιμή μιας συγκεκριμένης ιδιότητας ενός υλικού με την αντίστοιχη αβεβαιότητα.
- Αύξηση της αξιοπιστίας του εργαστηρίου  
Μέσω της συμμετοχής σε ΣΔΙ αυξάνεται ο βαθμός εμπιστοσύνης προς το εργαστήριο από τους φορείς που ζητούν τις υπηρεσίες του και βελτιώνεται η εικόνα του προς τις επίσημες αρχές, οι οποίες καταρτίζουν τις λίστες με τα κοινοποιημένα εργαστήρια χρησιμοποιώντας τα αποτελέσματα των συγκριτικών μετρήσεων ως μέσο αξιολόγησης.
- Εκπαίδευση προσωπικού  
Μία από τις παραμέτρους των ΣΔΙ είναι η παροχή πληροφοριών στο προσωπικό των εργαστηρίων σχετικά με την εφαρμογή των μεθοδολογιών, την ερμηνεία των δεδομένων, τον υπολογισμό των αβεβαιοτήτων κλπ.
- Διαχείριση κινδύνου  
Η συμμετοχή σε ΣΔΙ μπορεί να θεωρηθεί εργαλείο διαχείρισης ρίσκου, διότι με την ανίχνευση πηγών σφαλμάτων και τις κατάλληλες διορθωτικές ενέργειες αποτρέπονται τόσο η δυσφήμιση του εργαστηρίου λόγω συστηματικής παροχής λανθασμένων αποτελεσμάτων όσο και οι πιθανές

νομικές ή άλλου είδους κυρώσεις από τους εξωτερικούς του χρήστες ή τις ρυθμιστικές αρχές.

- Πληροφόρηση για την επίδοση και άλλων ομότιμων εργαστηρίων

Δίνεται η δυνατότητα στο εργαστήριο να συγκρίνει τα αποτελέσματά του με άλλα ομότιμα όχι μόνο σε εθνικό, αλλά και σε διακρατικό επίπεδο εργαστήρια κι έτσι να έχει μια γενική εικόνα για το επίπεδο των φορέων, με τους οποίους συνυπάρχει στον τομέα της παροχής μετρήσεων.

Στόχος κάθε εργαστηρίου δεν είναι απλά μία μεμονωμένη επιτυχής συμμετοχή σε ένα πρόγραμμα συγκριτικών δοκιμών που θα πιστοποιεί την επάρκειά του μόνο για ένα περιορισμένο χρονικό διάστημα, αλλά η συνεχής επιβεβαίωση της αξιοπιστίας του. Εφόσον αυτό είναι εφικτό, κάθε εργαστήριο συμμετέχει σε προγράμματα δοκιμών ικανότητας κάθε τετραετία (ΕΣΥΔ ΠΔΙ/01/05/17-10-2007). Έτσι υπάρχει η δυνατότητα για παρακολούθηση της χρονικής εξέλιξης της επίδοσης του εργαστηρίου, πράγμα που σημαίνει ότι το κάθε εργαστήριο θα πρέπει να συγκρίνει την παρούσα επίδοση με τις προηγούμενες .

### **1.3 ΔΟΜΗ ΚΑΙ ΒΑΣΙΚΕΣ ΑΡΧΕΣ ΤΩΝ ΣΔΙ**

Η βασική αρχή λειτουργίας των συγκριτικών μετρήσεων είναι η αξιολόγηση των εργαστηρίων μέσω ενός αριθμητικού δείκτη της ικανότητάς τους (δείκτης επίδοσης). Ο δείκτης αυτός δηλώνει την απόκλιση της μέτρησης του εκάστοτε εργαστηρίου από την εκτιμήτρια τιμή του μετρούμενου μεγέθους, εκφρασμένη σε πολλαπλάσιο της τυπικής απόκλισης των μετρήσεων .

Η συμμετοχή σε σχήματα διεργαστηριακών δοκιμών είναι υποχρεωτική για τα διαπιστευμένα εργαστήρια. Το κάθε ενδιαφερόμενο εργαστήριο πρέπει να εξετάσει, εάν στα προγράμματα των αρμόδιων εθνικών φορέων (π.χ. Ε.ΣΥ.Δ) ή αντίστοιχων φορέων του εξωτερικού βρίσκονται σε εξέλιξη διεργαστηριακές μετρήσεις στο πεδίο δοκιμών της διαπίστευσής του και να απευθυνθεί στο διοργανωτή του προγράμματος προκειμένου να δηλώσει τη συμμετοχή του . Ο διοργανωτής του προγράμματος -ο οποίος πρέπει να είναι διαπιστευμένος ή εν γένει να πληροί τις απαιτήσεις του οδηγού ΕΛΟΤ ISO/IEC 43-1- είναι υπεύθυνος για το συντονισμό και τη λεπτομερή οργάνωση του σχήματος .

Ένα σχήμα δοκιμών ικανότητας απαρτίζεται σε γενικές γραμμές από τα παρακάτω στάδια:

- Ο συντονιστής καθορίζει όλες τις παραμέτρους της πειραματικής διαδικασίας -η οποία πρέπει να διεξαχθεί σε όλα τα εργαστήρια υπό προσυμφωνημένες συνθήκες- και οργανώνει την παρασκευή, δοκιμή ομοιογένειας και επικύρωση των αντικειμένων δοκιμής.
- Τα συμμετέχοντα εργαστήρια εκτελούν τις μετρήσεις (αναλύουν τα δείγματα που έχουν λάβει από το συντονιστή, εάν πρόκειται για χημικούς, βιολογικούς ελέγχους κλπ) και επιστρέφουν εντός προκαθορισμένου χρόνου τα αποτελέσματα στο συντονιστή, καταγεγραμμένα σε ειδικές φόρμες, σύμφωνες με τις προδιαγραφές του συντονιστή.
- Τα αποτελέσματα υποβάλλονται σε στατιστική ανάλυση και αξιολογείται η επίδοση των εργαστηρίων.
- Ο συντονιστής αποστέλλει στους συμμετέχοντες μία έκθεση με όλα τα αποτελέσματα, όπου τα εργαστήρια αναφέρονται με κωδικούς.
- Ακολουθεί ερμηνεία και εκτίμηση των αποτελεσμάτων της έκθεσης από το κάθε εργαστήριο για την επίλυση των προβλημάτων που αντιμετωπίζει.

Τέλος, κατά τη διεξαγωγή ΣΔΙ θα πρέπει να τηρούνται ορισμένοι κανόνες προκειμένου να διασφαλίζεται η αξιοπιστία της διαδικασίας:

- Το ΣΔΙ πρέπει να είναι όσο το δυνατόν πλησιέστερο προς τη συνήθη, καθημερινή λειτουργία του εργαστηρίου αναφορικά με το χειρισμό των δοκιμών, τη διεξαγωγή της μέτρησης και τις συνθήκες. Οποιοσδήποτε διαφορές θα πρέπει να καταγράφονται και να αξιολογούνται.
- Κατά την εκτέλεση των συγκριτικών μετρήσεων είναι αναγκαίος ο συνεχής έλεγχος των δοκιμών, της μεθόδου δοκιμής και του εξοπλισμού, ώστε το αποτέλεσμα να υποδηλώνει τη μεταβλητότητα του εργαστηρίου (δηλαδή την επίδραση του συστήματος λειτουργίας του εργαστηρίου στην αβεβαιότητα του αποτελέσματος) χωρίς την επίδραση αυτών των παραγόντων .
- Ο συντονιστής πρέπει να εξασφαλίζει τέτοιες διαδικασίες που να αποκλείουν τη συνεννόηση μεταξύ των εργαστηρίων και την παραποίηση των αποτελεσμάτων.



# ΚΕΦΑΛΑΙΟ 2

## ΠΡΟΤΥΠΑ

### 2.1 ΓΕΝΙΚΕΣ ΑΡΧΕΣ

Οι κατευθυντήριες γραμμές για την οργάνωση και τη λειτουργία των σχημάτων δοκιμών ικανότητας τίθενται στον οδηγό ILAC Guide G13 “Guidelines for the Requirements for the Competence of Providers of Proficiency Testing Schemes”, ενώ αναλυτικότερη περιγραφή τους γίνεται στους οδηγούς ISO 43 “Proficiency testing by Interlaboratory Comparisons - Part 1: Development and operation of proficiency testing schemes, Part 2: Selection and use of proficiency testing schemes by laboratory accreditation bodies”.

### 2.2 ΟΡΙΣΜΟΙ: ISO 43-1

Ακολουθούν οι ορισμοί των βασικότερων εννοιών που θα χρησιμοποιηθούν, όπως δίνονται κατά κύριο λόγο στο πρότυπο ISO 43-1 (αλλά και συμπληρωματικά στο πρότυπο ISO 13528):

- Δοκιμή ικανότητας (laboratory proficiency testing)  
Έλεγχος της επίδοσης των εργαστηρίων σε δοκιμές μέσω διεργασηριακών συγκρίσεων.
- Διεργασηριακές συγκρίσεις (interlaboratory comparisons)  
Η οργάνωση, εκτέλεση και αξιολόγηση μετρήσεων πάνω στο ίδιο ή παρόμοιο δοκίμιο από δύο ή περισσότερα εργαστήρια σύμφωνα με προκαθορισμένες συνθήκες.
- Εκτιμητρία τιμή (assigned value)  
Είναι η τιμή που αποδίδεται σε μία συγκεκριμένη ποσότητα και γίνεται αποδεκτή, συχνά κατόπιν σύμβασης, διότι έχει αβεβαιότητα κατάλληλη για ένα συγκεκριμένο σκοπό. Ουσιαστικά είναι η τιμή που χρησιμοποιείται αντί της αληθούς τιμής του μετρούμενου μεγέθους κατά τη στατιστική

επεξεργασία των αποτελεσμάτων, καθώς αποτελεί την καλύτερη διαθέσιμη εκτίμηση της πραγματικής τιμής του μετρούμενου.

- Τυπική απόκλιση για την αξιολόγηση της επίδοσης (standard deviation for proficiency assessment)

Μέτρο της διασποράς που χρησιμοποιείται στην εκτίμηση της ικανότητας των εργαστηρίων και μπορεί είτε να καθοριστεί προκαταβολικά ως τιμή στόχος (target value) είτε να προκύψει με βάση τα διαθέσιμα στοιχεία.

- Απόμακρη τιμή (outlier)

Το αποτέλεσμα δοκιμής του οποίου η τιμή είναι τόσο μακράν των υπολοίπων ώστε να θεωρείται με πιθανότητα 99% ότι ανήκει σε διαφορετικό πληθυσμό ή ότι είναι το αποτέλεσμα λανθασμένης μέτρησης.

- Πλανώμενη τιμή (straggler)

Το αποτέλεσμα δοκιμής του οποίου η τιμή είναι τόσο μακράν των υπολοίπων ώστε να θεωρείται με πιθανότητα 95% ότι ανήκει σε διαφορετικό πληθυσμό ή ότι είναι το αποτέλεσμα λανθασμένης μέτρησης.

- Ακραία αποτελέσματα (extreme results)

Αποτελέσματα που αποκλίνουν σημαντικά από τις υπόλοιπες τιμές του συνόλου των μετρήσεων και μπορούν να επηρεάσουν έντονα στατιστικά μεγέθη όπως η μέση τιμή και η τυπική απόκλιση.

- Ανθεκτικές στατιστικές μέθοδοι (robust statistical techniques)

Τεχνικές για την ελαχιστοποίηση της επίδρασης που έχουν ακραία αποτελέσματα στις εκτιμήσεις της μέσης τιμής και της τυπικής απόκλισης.

- Αβεβαιότητα μέτρησης (uncertainty of measurement)

Παράμετρος που σχετίζεται με τα αποτελέσματα μιας μέτρησης και χαρακτηρίζει το εύρος των τιμών που θα μπορούσαν να αποδοθούν στο μετρητέο μέγεθος.

### **2.3 ΣΤΑΤΙΣΤΙΚΕΣ ΜΕΘΟΔΟΙ: ISO 13528**

Η παρουσίαση των στατιστικών μεθόδων που χρησιμοποιούνται στις διεργαστηριακές συγκρίσεις γίνεται - σε συνέχεια των οδηγιών ISO 43 - στο πρότυπο ISO 13528 “Statistical methods for use in proficiency testing by interlaboratory comparisons”, όπου αναπτύσσονται λεπτομερώς τα μαθηματικά

εργαλεία για την αξιολόγηση της επίδοσης των εργαστηρίων. Σύμφωνα με το εν λόγω πρότυπο η στατιστική επεξεργασία των αποτελεσμάτων αποτελείται από τα εξής στάδια:

ο Έλεγχος της μεθόδου προετοιμασίας των δειγμάτων

Πρόκειται για ελέγχους της ομοιογένειας και της σταθερότητας των δειγμάτων προκειμένου να γίνει επικύρωση των υπό εξέταση υλικών σε περιπτώσεις, όπου η πειραματική διαδικασία περιλαμβάνει μετρήσεις επί συγκεκριμένων αντικειμένων δοκιμής.

ο Καθορισμός της εκτιμήτριας τιμής (assigned value)

Στο σημείο αυτό πρέπει να ληφθεί η απόφαση, εάν η εκτιμήτρια τιμή μαζί με την αβεβαιότητά της θα προσδιορισθούν πριν τη διεξαγωγή των μετρήσεων με μία από τις παρακάτω μεθόδους:

• Διαμόρφωση (Formulation)

Στη μέθοδο αυτή γίνεται προσθήκη γνωστής ποσότητας ή συγκέντρωσης του υπό ανάλυση συστατικού σε ένα βασικό υλικό που δεν το περιέχει

• Απευθείας σύγκριση με πιστοποιημένα υλικά αναφοράς (Certified reference materials-CRMs)

Το δοκίμιο αναλύεται σε αντιπαραβολή με CRMs κάτω από συνθήκες επαναληψιμότητας με αποτέλεσμα η πιστοποιημένη τιμή αναφοράς που προκύπτει να εξασφαλίζει άμεση ιχνηλασιμότητα στα υλικά αυτά.

• Σύγκριση με υλικά αναφοράς (Reference materials-RMs)

Μέρος των δειγμάτων αναλύεται παράλληλα με CRMs και το αποτέλεσμα ανάγεται στην αντίστοιχη τιμή του CRM ώστε να προκύψει η τιμή αναφοράς.

ή εάν θα προκύψουν συναρτήσει των μετρήσεων ως:

• Συμφωνημένη τιμή (consensus value) από ειδικά εργαστήρια

Τα δείγματα αναλύονται σε ειδικά εργαστήρια με μεθόδους αναφοράς.

• Συμφωνημένη τιμή των συμμετεχόντων εργαστηρίων

Με την προσέγγιση αυτή υπάρχουν οι εξής εναλλακτικές για τον υπολογισμό της εκτιμήτριας τιμής:

1 ) Μέση τιμή (average) των αποτελεσμάτων των εργαστηρίων

2 ) Διάμεση τιμή (median) των αποτελεσμάτων των εργαστηρίων

3 ) Ανθεκτική μέση τιμή (robust average)

ο Καθορισμός της τυπικής απόκλισης  $\hat{\sigma}$

Η τυπική απόκλιση, βάσει της οποίας γίνεται ουσιαστικά η εκτίμηση της επάρκειας των εργαστηρίων, μπορεί να προδιαγραφεί ως τιμή στόχος πριν τη διεξαγωγή των μετρήσεων με έναν από τους παρακάτω τρόπους:

- Από διαίσθηση (αντίληψη) σχετικά με τις επιδόσεις θα πραγματοποιήσουν τα εργαστήρια
- Κατόπιν απαιτήσεως ώστε να πληρούνται συγκεκριμένα όρια ακρίβειας
- Με αναφορά σε γενικευμένο μοντέλο που συνδέει το επίπεδο της δοκιμής με την αναπαραγωγιμότητα
- Με αναφορά σε επικυρωμένες μεθόδους και συγκεκριμένα από την τυπική απόκλιση προτυποποιημένων διαδικασιών με γνωστή επαναληψιμότητα και αναπαραγωγιμότητα.

ή να προκύψει συναρτήσει των μετρήσεων ως:

- Τυπική απόκλιση των αποτελεσμάτων των εργαστηρίων (standard deviation)
  - Ανθεκτική τυπική απόκλιση (robust standard deviation)
- ο Έλεγχος για τον περιορισμό της αβεβαιότητας της εκτιμήτριας τιμής
- ο Έλεγχος για τον αριθμό των επαναληπτικών δοκιμών που εκτελεί κάθε εργαστήριο σε κάθε επίπεδο
- ο Υπολογισμός των στατιστικών επίδοσης

Μετά τη συλλογή των αποτελεσμάτων και τον υπολογισμό της εκτιμήτριας τιμής και της τυπικής απόκλισης με έναν από τους τρόπους που προαναφέρθηκαν γίνεται η ποσοτικοποίηση της επίδοσης του κάθε εργαστηρίου με έναν από τους παρακάτω δείκτες:

- Εκτίμηση του ολικού συστηματικού σφάλματος (bias)

Ορίζεται ως η διαφορά μεταξύ της μέτρησης  $x$  του συμμετέχοντος και της εκτιμήτριας  $X$ :

$$D = x - X \quad (2.1)$$

- Επί τοις εκατό διαφορά:

$$D_{\%} = 100 \cdot \frac{x - X}{X} \quad (2.2)$$

- Βαθμοί z (z scores)

Πρόκειται για το δείκτη επίδοσης που χρησιμοποιείται στα περισσότερα σχήματα δοκιμών ικανότητας και συγκρίνει την εκτίμηση του συστηματικού σφάλματος με την τιμή στόχο για την τυπική απόκλιση:

$$z = \frac{x - X}{\hat{\sigma}} \quad (2.3)$$

- Βαθμοί ζ (ζ scores)

Υπολογίζονται από τη σχέση

$$\zeta = \frac{x - X}{\sqrt{u_x^2 + u_X^2}} \quad (2.4)$$

όπου  $u_x$  η τυπική αβεβαιότητα της μέτρησης  $x$  του εργαστηρίου

$u_X$  η τυπική αβεβαιότητα της εκτιμήτριας  $X$

- Βαθμοί z' (z' scores)

Υπολογίζονται από τη σχέση

$$z' = \frac{x - X}{\sqrt{\hat{\sigma}^2 + u_x^2}} \quad (2.5)$$

όπου  $\hat{\sigma}$  η εκτιμήτρια για την τυπική απόκλιση και

$u_x$  η τυπική αβεβαιότητα της εκτιμήτριας  $X$

- Βαθμοί  $E_z$  ( $E_z$  scores)

Υπολογίζονται από τις σχέσεις

$$E_{z^-} = \frac{x - (X - U_x)}{U_x} \quad (2.5)$$

$$E_{z^+} = \frac{x - (X + U_x)}{U_x} \quad (2.6)$$

όπου  $U_x$  η διευρυμένη αβεβαιότητα της μέτρησης  $x$  του εργαστηρίου και

$U_X$  η διευρυμένη αβεβαιότητα της εκτιμήτριας  $X$

- Βαθμοί  $E_n$  ( $E_n$  scores)

Υπολογίζονται από τη σχέση

$$E_n = \frac{x - X}{\sqrt{U_{lab}^2 + U_{ref}^2}} \quad (2.7)$$

όπου  $U_{lab}$  η διευρυμένη αβεβαιότητα της μέτρησης  $x$  του εργαστηρίου

$U_{ref}$  η διευρυμένη αβεβαιότητα τους εκτιμήτριας  $X$  που προσδιορίζεται σε ένα εργαστήριο αναφοράς.

ο Γραφική παρουσίαση των στατιστικών επίδοσης

Οι δείκτες επίδοσης αναπαριστώνται με έναν ή περισσότερους από τους παρακάτω τρόπους:

- Ιστόγραμμα των στατιστικών επίδοσης
- Ραβδόγραμμα των κανονικοποιημένων συστηματικών σφαλμάτων

Σε περιπτώσεις όπου τα εργαστήρια εκτελούν επαναληπτικές δοκιμές σε κάθε επίπεδο μπορούν να γίνουν τα παρακάτω γραφήματα:

- Ραβδόγραμμα των κανονικοποιημένων μετρήσεων επαναληψιμότητας
- Διάγραμμα Youden

Πρόκειται για την  $xy$  αναπαράσταση των αποτελεσμάτων του δείγματος I ως προς τα αποτελέσματα του δείγματος II σε σχήματα, όπου εξετάζονται δύο διαιρεμένα δείγματα.

- Διάγραμμα των τυπικών αποκλίσεων επαναληψιμότητας

Η γραφική αναπαράσταση μπορεί να εφαρμοστεί όχι μόνο στα αποτελέσματα των στατιστικών επίδοσης ενός μεμονωμένου επιπέδου δοκιμής, αλλά και στο σύνολο των αποτελεσμάτων σε όλες τις διαφορετικές δοκιμές που εκτελούν τα εργαστήρια εντός ενός κύκλου ελέγχου.

ο Συνδυασμός των αποτελεσμάτων του εργαστηρίου σε διάφορους κύκλους δοκιμών

Όταν είναι διαθέσιμα τα επιμέρους ή συνολικά αποτελέσματα του εργαστηρίου σε έναν αριθμό κύκλων της δοκιμασίας, μπορεί να γίνει γραφική αναπαράσταση των τιμών των στατιστικών επίδοσης (Shewhart control chart for z-scores) ή του αθροίσματός τους (cusum control chart for z-scores) συναρτήσει του χρόνου.

## 2.4 ΑΝΑΛΥΣΗ ΛΕΔΟΜΕΝΩΝ: ISO 5725-2

Στο πρότυπο ISO 5725 “Accuracy (trueness and precision) of measurement methods and results – Part 2: Basic method for the determination of repeatability and reproducibility of a standard measurement method”, καθώς και στη συμπληρωματική του τεχνική έκθεση ISO/TR 22971 δίνεται ιδιαίτερη έμφαση

στο αρχικό στάδιο οργάνωσης και αξιολόγησης των δεδομένων από τα οποία θα υπολογιστούν στη συνέχεια οι δείκτες επίδοσης των συμμετεχόντων εργαστηρίων.

#### 2.4.1 Παρουσίαση – Ομαδοποίηση δεδομένων

Για την ευκολότερη επεξεργασία των δεδομένων το πρότυπο συνιστά τη συγκέντρωση όλων των αποτελεσμάτων σε έναν πίνακα, όπου κάθε συνδυασμός εργαστηρίου και επιπέδου δοκιμής καλείται “κελί”. Στο σημείο αυτό να τονίσουμε ότι ως “εργαστήριο” ορίζεται από το πρότυπο ο συνδυασμός εξοπλισμού, χειριστή και φορέα που διενεργεί τη μέτρηση. Επομένως, από ένα εργαστήριο (με τη συμβατική έννοια του όρου) μπορούν να προέλθουν πολλές ανεξάρτητες ομάδες, κάθε μία από τις οποίες αποτελεί σε ένα σχήμα δοκιμών ικανότητας ένα ξεχωριστό “εργαστήριο”.

Στην ιδανική περίπτωση τα αποτελέσματα ενός πειράματος με  $p$  εργαστήρια σε  $q$  επίπεδα σχηματίζουν έναν πίνακα με  $pq$  κελιά, όπου κάθε κελί περιλαμβάνει  $n$  επαναληπτικές μετρήσεις. Στην πράξη, ωστόσο, η εικόνα αυτή δεν επιτυγχάνεται πάντα, λόγω έλλειψης μετρήσεων ή μη αποδεκτών μετρήσεων που πρέπει να απορριφθούν.

#### 2.4.2 Προκαταρκτική επεξεργασία

Κατά την πρώτη φάση της επεξεργασίας των δεδομένων από τον αρχικό πίνακα σχηματίζονται δύο νέοι πίνακες χρησιμοποιώντας τους παρακάτω συμβολισμούς:

$n_{ij}$  : το πλήθος των μετρήσεων στο κελί για το εργαστήριο  $i$  στο επίπεδο  $j$

$y_{ijk}$  : μία από τους μετρήσεις στο κελί  $ij$  ( $k = 1, 2, \dots, n_{ij}$ )

$p_j$  : το πλήθος των εργαστηρίων που δίνουν τουλάχιστον μία τιμή στο επίπεδο  $j$

Ο πρώτος πίνακας περιέχει τους μέσους όρους των κελιών

$$\bar{y}_{ij} = \frac{1}{n_{ij}} \sum_{k=1}^{n_{ij}} y_{ijk} \quad (2.8)$$

και ο δεύτερος πίνακας τις τυπικές αποκλίσεις των κελιών

$$s_{ij} = \sqrt{\frac{1}{n_{ij} - 1} \sum_{k=1}^{n_{ij}} (y_{ijk} - \bar{y}_{ij})^2} \quad (2.9)$$

### 2.4.3 Εξέταση δεδομένων για εύρεση απόμακρων τιμών

Πριν την τελική επεξεργασία των δεδομένων είναι απαραίτητη η ανάλυσή τους, ώστε να εξακριβωθεί αν ασυνήθως μεγάλες ή μικρές τιμές που αποκλίνουν από την πλειοψηφία των μετρήσεων πρέπει να απομονωθούν. Στο πρότυπο ISO 5725-2 προτείνονται για την ταυτοποίηση αυτών των μετρήσεων υπό μορφή απόμακρων ή πλανώμενων τα στατιστικά τεστ των Cochran και Grubbs, σύμφωνα με τα οποία:

- Εάν η σταθερά του τεστ είναι μικρότερη ή ίση από το 5% της κρίσιμης τιμής της, η ομάδα τιμών που εξετάζεται γίνεται αποδεκτή ως σωστή.
- Εάν η σταθερά του τεστ είναι μεγαλύτερη από το 5% της κρίσιμης τιμής της και μικρότερη ή ίση από το 1% της κρίσιμης τιμής της, η ομάδα τιμών που εξετάζεται χαρακτηρίζεται ως πλανώμενη (straggler) και συμβολίζεται με έναν αστερίσκο.
- Εάν η σταθερά του τεστ είναι μεγαλύτερη από το 1% της κρίσιμης τιμής της, η ομάδα τιμών που εξετάζεται χαρακτηρίζεται ως στατιστική απόμακρη (outlier) και συμβολίζεται με δύο αστερίσκους.

#### Τεστ του Cochran

Το συγκεκριμένο τεστ αφορά στην εντός των εργαστηρίων διακύμανση και θα πρέπει να εφαρμόζεται πρώτο, ενώ προτού ληφθεί οποιαδήποτε δράση θα πρέπει να γίνονται επαναληπτικά τεστ. Για μια ομάδα  $p$  εργαστηρίων από τα οποία προκύπτουν  $p$  τυπικές αποκλίσεις  $s_i$  για τον ίδιο αριθμό  $n$  αποτελεσμάτων (στο ίδιο επίπεδο δοκιμής) η σταθερά του τεστ υπολογίζεται ως εξής:

$$C = \frac{s_{\max}^2}{\sum_{i=1}^p s_i^2} \quad (2.10)$$

όπου  $s_{\max}$  η μεγαλύτερη τυπική απόκλιση της ομάδας.

Οι τιμές στις οποίες εφαρμόζεται το τεστ του Cochran είναι οι διασπορές των κελιών  $s_{ij}$ , δηλαδή οι διασπορές επαναληψιμότητας των εργαστηρίων σε κάθε επίπεδο.



### Τεστ του Grubbs

Αυτό το τεστ σχετίζεται πρωτίστως με διεργαστηριακές διακυμάνσεις, αλλά μπορεί να χρησιμοποιηθεί αντί του πρώτου (εάν  $n > 2$ ), όπου το τεστ του Cochran εγείρει υπόνοιες ότι μόνο μία από τις τιμές προκαλεί τη μεγάλη διακύμανση. Για μια ομάδα δεδομένων  $x_i$  για  $i = 1, 2, \dots, p$  σε αύξουσα σειρά, όταν θέλουμε να προσδιορίσουμε εάν η μεγαλύτερη τιμή είναι αποκλίνουσα, η σταθερά του τεστ υπολογίζεται ως εξής:

$$G_p = \frac{x_p - \bar{x}}{s} \quad (2.11)$$

$$\text{όπου } \bar{x} = \frac{1}{p} \sum_{i=1}^p x_i \quad (2.12)$$

$$s = \sqrt{\frac{1}{p-1} \sum_{i=1}^p (x_i - \bar{x})^2} \quad (2.13)$$

αντίστοιχα για τη μικρότερη τιμή:

$$G_p = \frac{\bar{x} - x_1}{s} \quad (2.14)$$

Για να ελέγξουμε εάν οι δύο μεγαλύτερες παρατηρήσεις είναι απόμακρες η σταθερά του τεστ υπολογίζεται ως εξής:

$$G_p = \frac{s_{p-1,p}^2}{s_0^2} \quad (2.15)$$

$$\text{όπου } s_0^2 = \sum_{i=1}^p (x_i - \bar{x})^2 \quad (2.16)$$

$$s_{p-1,p}^2 = \sum_{i=1}^{p-2} (x_i - \bar{x}_{p-1,p})^2 \quad (2.17)$$

$$\bar{x}_{p-1,p} = \frac{1}{p-2} \sum_{i=1}^{p-2} x_i \quad (2.18)$$

αντίστοιχα για τις δύο μικρότερες τιμές:

$$G_p = \frac{s_{1,2}^2}{s_0^2} \quad (2.19)$$

$$\text{όπου } s_{1,2}^2 = \sum_{i=3}^p (x_i - \bar{x}_{1,2})^2 \quad (2.20)$$

$$\bar{x}_{1,2} = \frac{1}{p-2} \sum_{i=3}^p x_i \quad (2.21)$$

Οι τιμές τις οποίες εφαρμόζεται το τεστ του Grubbs είναι οι μέσες τιμές  $\bar{y}_{ij}$  των κελιών.

Εάν ένα αποτέλεσμα εργαστηρίου χαρακτηριστεί απόμακρο με απλό Grubbs τεστ, απορρίπτεται και επαναλαμβάνεται το τεστ για το επόμενο απομακρυσμένο αποτέλεσμα (εάν π.χ. έχει απορριφθεί ως outlier η υψηλότερη παρατήρηση, το τεστ εφαρμόζεται για τη μικρότερη παρατήρηση). Εάν με το απλό τεστ Grubbs δεν αναδεικνύεται κάποιο απόμακρο, τότε χρησιμοποιείται το διπλό τεστ Grubbs. Η διαδικασία αυτή επαναλαμβάνεται μέχρι να μην προκύπτουν άλλες απόμακρες τιμές ή να έχει απορριφθεί το 22% των συμμετεχόντων εργαστηρίων. Οι κρίσιμες τιμές για τα δύο τεστ δίνονται σε ειδικούς πίνακες.

#### 2.4.4 Τελική επεξεργασία

Μετά την απόρριψη των απόμακρων τιμών που έχουν προσδιοριστεί κατά την εξέταση των δεδομένων με τα στατιστικά τεστ που προαναφέρθηκαν υπολογίζονται με τα εναπομείναντα στοιχεία οι εκτιμήσεις της μέσης τιμής και της διασποράς για κάθε επίπεδο:

$$\text{Μέση τιμή: } \hat{m}_j = \bar{\bar{y}}_j = \frac{\sum_{i=1}^p n_{ij} \bar{y}_{ij}}{\sum_{i=1}^p n_{ij}} \quad (2.22)$$

$$\text{Διασπορά επαναληψιμότητας: } s_{rj}^2 = \frac{\sum_{i=1}^p (n_{ij} - 1) s_{ij}^2}{\sum_{i=1}^p (n_{ij} - 1)} \quad (2.23)$$

$$\text{Διεργαστηριακή διασπορά: } s_{Lj}^2 = \frac{s_{dj}^2 - s_{rj}^2}{\bar{\bar{n}}_j} \quad (2.24)$$

$$\text{όπου } s_{dj}^2 = \frac{1}{p-1} \sum_{i=1}^p n_{ij} (\bar{y}_{ij} - \bar{\bar{y}}_j)^2 \quad (2.25)$$

$$\text{και } \bar{\bar{n}}_j = \frac{1}{p-1} \left[ \sum_{i=1}^p n_{ij} - \frac{\sum_{i=1}^p n_{ij}^2}{\sum_{i=1}^p n_{ij}} \right] \quad (2.26)$$

$$\text{Διασπορά αναπαραγωγιμότητας: } s_{Rj}^2 = s_{rj}^2 + s_{Lj}^2 \quad (2.27)$$

#### 2.4.5 Εξάρτηση της διασποράς από τη μέση τιμή

Ένα περαιτέρω βήμα στην ανάλυση των δεδομένων είναι η διερεύνηση για την ύπαρξη κάποιας σχέσης ανάμεσα στο επίπεδο της μέσης τιμής και τη διασπορά αναπαραγωγιμότητας ή/και τη διασπορά επαναληψιμότητας. Οι συνηθέστεροι τύποι μαθηματικών σχέσεων που μπορεί να εντοπισθούν είναι:

Γραμμική σχέση της μορφής:

$$s = bm \quad (2.28)$$

$$s = a + bm \quad (2.29)$$

Εκθετική σχέση:

$$s = Cm^d \ (d \leq 1) \Rightarrow \lg s = c + d \lg m \quad (2.30)$$

Δεν είναι πάντοτε δεδομένο ότι θα υπάρχει μια τέτοιου είδους σχέση, γι' αυτό θα πρέπει να γίνεται το διάγραμμα (m,s) ή το διάγραμμα (lgm,lg s), ώστε να διαπιστωθεί εάν το σύνολο των σημείων μπορεί να προσεγγισθεί από κάποια ευθεία. Για τον ακριβή προσδιορισμό της ευθείας μπορεί να χρησιμοποιηθεί η μέθοδος της γραμμικής παλινδρόμησης ή μια απλοποιημένη παραλλαγή της που παρουσιάζεται στην παράγραφο 7.5.6 του προτύπου ISO 5725-2.

# ΚΕΦΑΛΑΙΟ 3

## ΔΙΑΔΙΚΑΣΙΑ ΥΠΟΛΟΓΙΣΜΟΥ ΤΩΝ ΣΤΑΤΙΣΤΙΚΩΝ ΕΠΙΔΟΣΗΣ

Στο κεφάλαιο αυτό περιγράφονται όλα τα στάδια της μαθηματικής επεξεργασίας που εφαρμόστηκε στα αποτελέσματα των διεργασηριακών πειραμάτων που θα αναλυθούν στα επόμενα κεφάλαια. Οι μέθοδοι υπολογισμού που προτείνονται στα διεθνή πρότυπα έχουν προσαρμοστεί κατάλληλα στις δοκιμές ικανότητας που πραγματοποιήθηκαν, καθώς τα βήματα της ανάλυσης έχουν επιλεγεί με βάση τη μορφή των αποτελεσμάτων που προέκυψαν.

### 3.1 ΓΕΝΙΚΟ ΠΛΑΙΣΙΟ

- Οι εκτιμήτριες τιμές  $\hat{m}$  και  $\hat{\sigma}$  θα προσδιοριστούν βάσει των μετρήσεων.
- Σε κάθε επίπεδο δοκιμής έγινε μόνο μία μέτρηση ( $n_{ij} = 1$ ) από κάθε εργαστήριο. Εφόσον λοιπόν δεν έγιναν επαναληπτικές δοκιμές, δεν υφίστανται οι πίνακες με τις μέσες τιμές και τις διασπορές επαναληψιμότητας σε κάθε κελί. Τα δεδομένα που θα εισαχθούν στον αλγόριθμο για τον υπολογισμό των εκτιμητριών είναι απευθείας τα αποτελέσματα των μετρήσεων, χωρίς να υποβληθούν σε προκαταρκτική επεξεργασία.
- Στην παρούσα ανάλυση δεν έχουν χρησιμοποιηθεί οι αβεβαιότητες των μετρήσεων των εργαστηρίων και δεν έχει υπολογισθεί η αβεβαιότητα της εκτιμήτριας τιμής. Μέχρι στιγμής δεν είναι συνήθης πρακτική η ενσωμάτωση στους δείκτες επίδοσης της πληροφορίας που δίνουν τα συμμετέχοντα εργαστήρια για την αβεβαιότητα των μετρήσεών τους, παρόλο που η παροχή τέτοιων στοιχείων από πλευράς των εργαστηρίων προβλέπεται πλέον από το πρότυπο ISO/IEC 17025.
- Ο δείκτης που έχει επιλεγεί για την αξιολόγηση της επίδοσης των εργαστηρίων είναι ο βαθμός  $z$  ( $z$  score). Οι δείκτες  $\zeta$ ,  $z'$ ,  $E_n$  και  $E_z$  εμπεριέχουν τιμές αβεβαιοτήτων, ενώ παράλληλα (με εξαίρεση τους βαθμούς

$E_z$ ) δεν είναι εφαρμόσιμοι, όταν οι εκτιμήσεις  $\hat{m}$  και  $\hat{\sigma}$  υπολογίζονται βάσει των μετρήσεων.

### 3.2 ΑΛΓΟΡΙΘΜΟΙ ΥΠΟΛΟΓΙΣΜΟΥ ΕΚΤΙΜΗΣΕΩΝ $\hat{m}$ ΚΑΙ $\hat{\sigma}$

Τα πρότυπα προσφέρουν για τον υπολογισμό των z scores δύο εναλλακτικές διαδικασίες:

#### 3.2.1 ISO 5725-2

- Η εκτιμήτρια τιμή  $X$  είναι η μέση τιμή:

$$\text{με } n_{ij} = 1 \Rightarrow \hat{m}_j = \frac{1}{p} \sum_{i=1}^p y_{ij} \quad (3.1)$$

- Η εκτίμηση της τυπικής απόκλισης  $\hat{\sigma}$  για την αξιολόγηση των εργαστηρίων είναι η διασπορά αναπαραγωγιμότητας, η οποία στο συγκεκριμένο σχήμα δοκιμών ταυτίζεται με τη διεργαστηριακή διασπορά:

$$s_{rj} = 0 \Rightarrow s_{Rj}^2 = s_{Lj}^2 \quad (3.2)$$

$$\text{όπου } s_{Lj}^2 = \frac{s_{dj}^2}{\bar{n}_j} = \frac{1}{p-1} \sum_{i=1}^p (y_{ij} - \hat{m}_j)^2 \quad (3.3)$$

$$s_{dj}^2 = \frac{1}{p-1} \sum_{i=1}^p (y_{ij} - \hat{m}_j)^2 \quad (3.3)$$

$$\bar{n}_j = 1 \quad (3.4)$$

- Η μέση τιμή και η τυπική απόκλιση αποτελούν παραμετρικά στατιστικά, καθώς είναι ευαίσθητα σε αποκλίνοντα αποτελέσματα. Αυτό σημαίνει, ότι εάν επιλεγούν ως εκτιμήτριες τιμές, θα πρέπει οπωσδήποτε να έχουν προηγηθεί στατιστικά τεστ (Grubbs', Cochran's) για τον εντοπισμό των απόμακρων και των πλανώμενων τιμών.

#### Ιδιότητες- Προϋποθέσεις εφαρμογής

Η εφαρμογή αυτών των τεστ στηρίζεται στην παραδοχή ότι τα αποτελέσματα των μετρήσεων ακολουθούν την κανονική κατανομή. Εάν η παραδοχή αυτή δεν ισχύει, η μέση τιμή και η τυπική απόκλιση δεν είναι τα κατάλληλα αντιπροσωπευτικά κριτήρια για την αξιολόγηση των αποτελεσμάτων. Επομένως,

πριν την εφαρμογή οποιουδήποτε τεστ, ειδικά σε μεγάλο αριθμό δεδομένων, απαιτείται έλεγχος για την ισχύ της κανονικής κατανομής.

Τα συγκεκριμένα τεστ διέπονται από ορισμένους θεωρητικούς περιορισμούς, όπως η απαίτηση σε όλα τα επίπεδα δοκιμών να έχουν γίνει μετρήσεις από τον ίδιο αριθμό εργαστηρίων και η απαίτηση σε κάθε επιμέρους επίπεδο δοκιμής όλα τα εργαστήρια να έχουν πραγματοποιήσει μετρήσεις υπό απόλυτα ταυτόσημες συνθήκες. Στην πράξη οι απαιτήσεις αυτές συνήθως δεν ικανοποιούνται.

Ένα ακόμη σημείο στο οποίο πρέπει να δοθεί προσοχή είναι το πώς θα χειριστεί κανείς τις πλανώμενες και τις απόμακρες τιμές που έχουν εντοπισθεί. Μετά την εφαρμογή των τεστ θα πρέπει να διερευνηθεί αν υπάρχει κάποια πιθανή τεχνική εξήγηση για τις τιμές αυτές. Σε περίπτωση που επικυρωθεί μια τέτοια εξήγηση, τόσο οι πλανώμενες όσο και οι απόμακρες τιμές διορθώνονται ή απορρίπτονται ανάλογα με το αν είναι δυνατή ή όχι η διόρθωσή της (π.χ. με επανάληψη των μετρήσεων). Θα πρέπει να ληφθεί υπόψη εάν υπάρχουν ισχυρές υπόνοιες για εργαστήρια με συνολική αποκλίνουσα συμπεριφορά, οπότε και θα πρέπει να απορριφθεί μέρος ή το σύνολο των μετρήσεών της. Εάν απομένουν πλανώμενες ή/και απόμακρες τιμές που δεν έχουν εξηγηθεί ή αποδοθεί σε μη αποδεκτό εργαστήριο, τότε οι απόμακρες τιμές απορρίπτονται, όπως είναι αναμενόμενο, αλλά οι πλανώμενες τιμές διατηρούνται.

### **3.2.2 ISO 13528 (Annex C Algorithm A)**

Ο αλγόριθμος που προτείνεται παράγει ανθεκτικές τιμές (robust values) της μέσης τιμής και της τυπικής απόκλισης των δεδομένων στα οποία εφαρμόζεται. Η πιο συνηθισμένη εκτίμηση της μέσης τιμής είναι η διάμεση τιμή, δηλαδή η μεσαία τιμή των διατεταγμένων σε σειρά αποτελεσμάτων. Για την εκτίμηση της τυπικής απόκλισης χρησιμοποιείται η διάμεση τιμή των απόλυτων αποκλίσεων όλων των μετρήσεων από τη διάμεσό της. Η τιμή αυτή είναι γνωστή ως διάμεση απόλυτη απόκλιση (MAD) και προκειμένου να καταστεί ισοδύναμη με την τυπική απόκλιση της κανονικής κατανομής πρέπει να πολλαπλασιαστεί με 1.483 (MADe). Βασικό στοιχείο της μεθόδου είναι ότι δεν προσδιορίζεται μία μόνο τιμή για της εκτιμήτριες, αλλά ένα σύνολο τιμών, καθώς ο αλγόριθμος εκτελείται

επαναληπτικά. Για ένα σύνολο  $p$  μετρήσεων  $x_1, x_2, \dots, x_p$  (προαιρετικά τοποθετημένων σε αύξουσα σειρά) η διαδικασία έχει ως εξής:

- Βήμα 1: Υπολογίζονται οι αρχικές τιμές της ανθεκτικής μέσης τιμής (robust average)  $x^*$  και της ανθεκτικής τυπικής απόκλισης (robust standard deviation)  $s^*$

$$x^* = \text{διάμεσος των } x_i \quad (i = 1, 2, \dots, p)$$

$$s^* = 1.483 \text{ διάμεσος των } |x_i - x^*| \quad (i = 1, 2, \dots, p)$$

- Βήμα 2: Υπολογίζεται η τιμή  $\delta = 1.5s^*$
- Βήμα 3: Για κάθε μέτρηση  $x_i$  υπολογίζεται η νέα τιμή  $x_i^*$

$$x_i^* = \begin{cases} x^* - \delta, & x_i < x^* - \delta \\ x^* + \delta, & x_i > x^* + \delta \\ x_i, & x^* - \delta \leq x_i \leq x^* + \delta \end{cases} \quad (3.4)$$

- Βήμα 4: Ενημερώνονται οι τιμές των  $x^*$  και  $s^*$ . Οι νέες τιμές προκύπτουν ως εξής

$$x^* = \frac{1}{p} \sum_{i=1}^p x_i^* \quad (3.5)$$

$$s^* = 1.134 \sqrt{\frac{1}{p-1} \sum_{i=1}^p (x_i^* - x^*)^2} \quad (3.6)$$

- Τα βήματα 2, 3 και 4 επαναλαμβάνονται μέχρι η διαδικασία να συγκλίνει. Θεωρείται ότι έχει επιτευχθεί σύγκλιση, όταν από τη μία επανάληψη στην άλλη δεν αλλάζει το τρίτο σημαντικό ψηφίο της ανθεκτικής μέσης τιμής και της ανθεκτικής τυπικής απόκλισης.

### Υλοποίηση σε πρόγραμμα Η/Υ

Ο παραπάνω αλγόριθμος μπορεί να υλοποιηθεί πολύ εύκολα σε υπολογιστικό φύλλο, όπως περιγράφεται ακολούθως:

- Τα δεδομένα εισάγονται σε μία στήλη (iteration 0). Υπολογίζεται η μέση τιμή (average) και η τυπική τους απόκλιση (SD). Υπολογίζεται η αρχική ανθεκτική μέση τιμή (new  $x^*$ ).
- Στη διπλανή στήλη υπολογίζονται οι ποσότητες  $|x_i - x^*|$ , η τυπική τους απόκλιση και η διάμεση τιμή τους.

- Επιστρέφουμε στη στήλη (iteration 0), όπου υπολογίζεται η αρχική ανθεκτική τυπική απόκλιση (new  $s^*$ ).
- Δημιουργούμε τη στήλη για την 1<sup>η</sup> επανάληψη του αλγορίθμου (iteration 1). Χρησιμοποιούνται οι αρχικές τιμές  $x^*$  και  $s^*$  (της στήλης iteration 0) για τον υπολογισμό του  $\delta = 1.5s^*$  και των τιμών αποκοπής  $x^* - \delta$  και  $x^* + \delta$ .
- Τα αποτελέσματα των μετρήσεων (iteration 0) συγκρίνονται με τις τιμές αποκοπής για να προκύψουν οι νέες τιμές  $x_i^*$ . Τα δεδομένα εντός των τιμών αποκοπής παραμένουν ίδια, ενώ όσα βρίσκονται εκτός των τιμών αποκοπής αντικαθίστανται από αυτές.
- Υπολογίζεται η μέση τιμή (average) και η τυπική απόκλιση (SD) των στοιχείων της στήλης iteration 1. Η ανθεκτική μέση τιμή (new  $x^*$ ) ταυτίζεται με τη μέση τιμή, ενώ για την ανθεκτική τυπική απόκλιση (new  $s^*$ ) πολλαπλασιάζουμε την τυπική απόκλιση επί 1.134 (1.134\*SD).
- Δημιουργούμε τη στήλη για τη 2<sup>η</sup> επανάληψη του αλγορίθμου (iteration 2). Χρησιμοποιούνται οι τιμές new  $x^*$  και new  $s^*$  της στήλης iteration 1 για τον υπολογισμό του  $\delta = 1.5s^*$  και των τιμών αποκοπής  $x^* - \delta$  και  $x^* + \delta$ .
- Τα αποτελέσματα των μετρήσεων (iteration 0) συγκρίνονται με τις νέες τιμές αποκοπής για να προκύψουν οι νέες τιμές  $x_i^*$ . Τα δεδομένα εντός των τιμών αποκοπής παραμένουν ίδια, ενώ όσα βρίσκονται εκτός των τιμών αποκοπής αντικαθίστανται από αυτές.
- Υπολογίζεται η μέση τιμή (average) και η τυπική απόκλιση (SD) των στοιχείων της στήλης iteration 2. Η ανθεκτική μέση τιμή (new  $x^*$ ) ταυτίζεται με τη μέση τιμή, ενώ για την ανθεκτική τυπική απόκλιση (new  $s^*$ ) πολλαπλασιάζουμε την τυπική απόκλιση επί 1.134 (1.134\*SD).
- Με τον ίδιο τρόπο δημιουργούνται στήλες για περαιτέρω επαναλήψεις του αλγορίθμου συγκρίνοντας κάθε φορά τα τρία πρώτα σημαντικά ψηφία των τιμών new  $x^*$  και new  $s^*$  κάθε στήλης με τα αντίστοιχα των τιμών της προηγούμενης στήλης.
- Οι επαναλήψεις σταματούν την πρώτη φορά που δε θα υπάρξει αλλαγή στα τρία πρώτα σημαντικά ψηφία. Οι τελικές εκτιμήσεις είναι οι τιμές new  $x^*$  και new  $s^*$  της τελευταίας επανάληψης.



Σε όλους αυτούς τους υπολογισμούς κρατάμε τόσα δεκαδικά ψηφία ώστε το μέγεθος να έχει τον απαραίτητο για την επίτευξη σύγκλισης αριθμό σημαντικών ψηφίων.

### **Ιδιότητες- προϋποθέσεις εφαρμογής**

Οι εκτιμήσεις  $\bar{x}^*$  και  $s^*$  αποτελούν μη παραμετρικά στατιστικά. Αυτό σημαίνει ότι δεν επηρεάζονται αισθητά από την παρουσία πλανώμενων ή απόμακρων τιμών, διότι δεν προϋποθέτουν την ισχύ κάποια θεωρητικής παραδοχής, όπως η κανονική κατανομή. Άλλωστε, η ίδια η έννοια της ανθεκτικότητας συνίσταται στην ομαλή συμπεριφορά μιας μεθόδου υπό την παρουσία ακραίων αποτελεσμάτων που οφείλονται σε αποκλίσεις από τις παραδοχές. Εάν οι θεωρητικές προϋποθέσεις πληρούνται μόνο κατά προσέγγιση, οι ανθεκτικές εκτιμήτριες παραμένουν αποτελεσματικές και με μικρό συστηματικό σφάλμα.

Επομένως, για την εφαρμογή του παραπάνω αλγορίθμου δεν απαιτούνται τεχνικές εντοπισμού των πλανώμενων και των απόμακρων τιμών, οι οποίες μάλιστα μπορούν να οδηγήσουν μερικές φορές σε παραπλανητικά συμπεράσματα. Συγκεκριμένα, οι απόμακρες τιμές συχνά αλληλεπιδρούν κατά τέτοιο τρόπο ώστε να καλύπτουν η μία την άλλη. Για παράδειγμα, εάν συνυπάρχει μία πολύ ισχυρή απόμακρη τιμή με μία λιγότερο αποκλίνουσα τιμή, η αυξημένη τυπική απόκλιση θα οφείλεται κυρίως στο μεγάλο απόμακρο με αποτέλεσμα η άλλη τιμή να εμφανίζεται σχετικά φυσιολογική. Μόλις απορριφθεί η μεγάλη απόμακρη τιμή, η εκτίμηση της τυπικής απόκλισης αυτομάτως μειώνεται και το μέτριο απόμακρο αξιολογείται ως ακραίο αποτέλεσμα.

### **3.2.3 Επιλογή αλγορίθμου**

Οι παρακάτω παράγοντες που σχετίζονται όχι μόνο με τις ιδιότητες των ίδιων των αλγορίθμων, αλλά και με τις συνθήκες εκτέλεσης των δοκιμών οδήγησαν στην επιλογή του ανθεκτικού αλγορίθμου A του προτύπου ISO 13528:

- Η εκτέλεση του Grubbs τεστ που προϋποθέτει το πρότυπο ISO 5725-2 εισάγει -ειδικά όταν είναι μεγάλος ο όγκος των δεδομένων, όπως συμβαίνει στο δεύτερο πείραμα- μεγάλη πολυπλοκότητα στους υπολογισμούς, λόγω των αποφάσεων που θα πρέπει να λαμβάνονται κάθε φορά κατά περίπτωση για την ανάλυση των ακραίων τιμών. Αντιθέτως, ο ανθεκτικός αλγόριθμος,

αν και παράγει μεγαλύτερο πλήθος τιμών, είναι μια απόλυτα αυτοματοποιημένη διαδικασία.

- Οι συνθήκες υπό τις οποίες διεξήχθησαν οι μετρήσεις δεν είναι πανομοιότυπες και άρα δε θα ήταν δυνατή παντού η εύρεση αμιγώς τεχνικών εξηγήσεων για τα ακραία αποτελέσματα. Επίσης, δε θα ήταν δυνατή η επανάληψη των μετρήσεων για τη διόρθωση ορισμένων τιμών, με αποτέλεσμα να πρέπει να απορριφθούν τιμές που θα μπορούσαν ενδεχομένως να αναθεωρηθούν.
- Ο αριθμός των εργαστηρίων που έδωσαν μετρήσεις διαφέρει αισθητά από το ένα επίπεδο δοκιμής στο άλλο (στο δεύτερο πείραμα), ενώ και η υπόθεση της ισχύος της κανονικής κατανομής θα ήταν αυθαίρετη.
- Τέλος, με εφαρμογή του πρώτου αλγορίθμου τα εργαστήρια που εμφανίζουν απορριπτέες τιμές απλά ενημερώνονται για τον αποκλεισμό των συγκεκριμένων δεδομένων τους από τη διαδικασία αξιολόγησης και οι τελικοί δείκτες της επίδοσής τους στο σύνολο των δοκιμών του κύκλου διαμορφώνονται μόνο από εκείνες τις μετρήσεις τους που έγιναν αποδεκτές. Ο ανθεκτικός αλγόριθμος πλεονεκτεί σ' αυτό το σημείο, διότι επιτρέπει την ποσοτικοποίηση της απόκλισης που προκαλούν οι απόμακρες τιμές και τις εισάγει ως παράμετρο της συνολικής επίδοσης του εργαστηρίου χωρίς να αλλοιώνεται η αξιολόγηση των υπόλοιπων συμμετεχόντων.

### 3.2.4 Υπολογισμός – Ερμηνεία Z SCORES

Σε κάθε επίπεδο δοκιμής υπολογίζεται το στατιστικό επίδοσης των εργαστηρίων:

- Από τις τελικές τιμές  $\hat{m}_i$  και  $\hat{\sigma}$  που έχουν προκύψει με χρήση του επαναληπτικού robust αλγορίθμου υπολογίζεται για κάθε εργαστήριο βάσει της σχέσης (2.3) το z score:

$$z_i = \frac{x_i - X}{\hat{\sigma}} = \frac{x_i - x^*}{s^*} \quad (3.7)$$

- Οι τιμές των z scores σε συνδυασμό με τον κωδικό του αντίστοιχου εργαστηρίου διατάσσονται σε αύξουσα σειρά, ώστε να αναδεικνύονται άμεσα τα εργαστήρια που έχουν σημειώσει τις πιο ακραίες επιδόσεις.
- Τα παραπάνω ταξινομημένα αποτελέσματα απεικονίζονται σε ραβδόγραμμα.

- Η ερμηνεία των z scores στηρίζεται στους εξής κανόνες:
- Όταν  $|z| \leq 2$ , η επίδοση του εργαστηρίου κρίνεται ικανοποιητική.
- Όταν  $2 < |z| < 3$ , η ορθότητα της μέτρησης κρίνεται αμφισβητήσιμη και ο δείκτης επίδοσης αποτελεί “προειδοποιητικό σήμα” (warning signal).
- Όταν  $|z| \geq 3$ , η επίδοση του εργαστηρίου κρίνεται μη ικανοποιητική και ο δείκτης επίδοσης αποτελεί “σήμα δράσης”(action signal).

Κάθε μεμονωμένο “σήμα δράσης” χρήζει έρευνας για την εύρεση των πηγών του σφάλματος που υπεισέρχονται στη μέτρηση, ενώ ένα “προειδοποιητικό σήμα” θεωρείται ένδειξη προβληματικής συμπεριφοράς του εργαστηρίου, όταν εμφανίζεται σε διάφορα επίπεδα δοκιμών (ή και σε διαδοχικούς κύκλους εκτέλεσης). Επομένως, για την αξιολόγηση των επιμέρους αποτελεσμάτων είναι αναγκαία πολλές φορές η παρακολούθηση της συνολικής επίδοσης του εργαστηρίου.

Γι’ αυτόν ακριβώς το σκοπό, αλλά και προκειμένου οι συμμετέχοντες να έχουν μια απλή γενική εικόνα της επίδοσής τους, που να αποδίδει την εμφάνισή τους σε όλες τις δοκιμές, μπορεί να προχωρήσει κανείς στο συνδυασμό όλων των αποτελεσμάτων ενός εργαστηρίου εντός ενός κύκλου δοκιμών.

- Όταν είναι μικρός ο αριθμός των συμμετεχόντων εργαστηρίων (π.χ. λιγότερα από 10 εργαστήρια), είναι πιθανό να μην προκύψει κανένα action ή warning signal. Στην περίπτωση αυτή είναι προτιμότερη η από κοινού αναπαράσταση σε ένα ραβδόγραμμα όλων των επιμέρους z scores όλων των εργαστηρίων στον κύκλο δοκιμών. Έτσι είναι δυνατή για κάθε εργαστήριο η άμεση σύγκριση των z scores στα διάφορα επίπεδα δοκιμών και η ανίχνευση τάσεων, όπως για παράδειγμα εάν τα z scores ενός εργαστηρίου εμφανίζουν πάντα το ίδιο πρόσημο.
- Όταν είναι μεγάλος ο αριθμός των συμμετεχόντων εργαστηρίων ή των επιμέρους επιπέδων δοκιμής, είναι απαραίτητος ο υπολογισμός συγκεντρωτικών τιμών για τα z scores. Εάν οι μετρήσεις  $x_i$  ακολουθούν την κανονική κατανομή και οι τιμές  $x^*$  και  $s^*$  είναι καλές εκτιμήσεις της μέσης τιμής και της τυπικής απόκλισης, τότε το z score, όπως αυτό προκύπτει από

τη σχέση (3.7) ακολουθεί την κανονική κατανομή με μέση τιμή 0 και τυπική απόκλιση 1. Εφόσον ο βαθμός  $z$  είναι τυποποιημένος, δηλαδή ακολουθεί την ίδια κατανομή ανεξαρτήτως μετρούμενου μεγέθους, μεθόδου μέτρησης και επιπέδου δοκιμής, οι τιμές του στις διάφορες επιμέρους δοκιμές είναι συγκρίσιμες και μπορούν να συνδυασθούν σε ένα σύνθετο βαθμό για ολόκληρο τον κύκλο της δοκιμής ικανότητας. Τα παρακάτω μεγέθη ενδείκνυνται για το συνδυασμό των  $z$ :

- Άθροισμα των  $z$ :  $Sz = \sum z$
- Άθροισμα των απόλυτων τιμών των  $z$ :  $\sum AZ = \sum |z|$
- Άθροισμα των τετραγώνων των  $z$ :  $SSZ = \sum z^2$

Οι μεταβλητές  $\sum AZ$  και  $SSZ$  δεν παρουσιάζουν το μειονέκτημα της μεταβλητής  $Sz$  να ακυρώνει το πρόσημο αντίθετων τιμών του  $z$ , οι οποίες μπορεί κατ'απόλυτη τιμή να είναι μεγάλες. Η χρησιμότητά τους φαίνεται, όταν υπάρχουν ιδιαίτερα ακραία απόμακρα σημεία ή αρκετά εργαστήρια είναι απόμακρα, καθώς δίνουν πραγματικές πληροφορίες για το μέγεθος των  $z$ .

- Αριθμός επιμέρους δοκιμών, όπου το εργαστήριο έχει  $|z| > 2$

Ένα μέγεθος που ακολουθεί την κανονική κατανομή  $N(\mu, \sigma^2)$  βρίσκεται με πιθανότητα 68% στο διάστημα  $\mu \pm \sigma$ , με πιθανότητα 95% στο διάστημα  $\mu \pm 2\sigma$  και με πιθανότητα 99,7% στο διάστημα  $\mu \pm 3\sigma$ . Συνεπώς, για ένα “καλώς συμπεριφερόμενο” εργαστήριο οι δείκτες  $z$  -που ακολουθούν την κατανομή  $N(0,1)$ - αναμένεται να βρίσκονται εκτός του διαστήματος  $\pm 2$  στο 5% των περιπτώσεων και εκτός του διαστήματος  $\pm 3$  μόνο για το 0,3% των περιπτώσεων. Υπολογίζοντας για κάθε εργαστήριο το πλήθος των επιπέδων δοκιμής, όπου έχει βαθμολογηθεί με  $|z| > 2$ , ως επί τοις εκατό ποσοστό του συνολικού αριθμού των δοκιμών, στις οποίες έχει δώσει αποτελέσματα είναι δυνατή η συνολική αξιολόγηση του εργαστηρίου:

- ο εάν το ποσοστό αυτό υπερβαίνει το 5%, η συνολική επίδοση του εργαστηρίου είναι μη ικανοποιητική
- ο εάν το ποσοστό αυτό δεν υπερβαίνει το 5%, η συνολική επίδοση του εργαστηρίου είναι ικανοποιητική.

# ΚΕΦΑΛΑΙΟ 4

## ΕΦΑΡΜΟΓΗ 1

### ΧΑΜΗΛΕΣ ΣΥΧΝΟΤΗΤΕΣ

#### 4.1 ΧΑΜΗΛΟΣΥΧΝΑ ΗΛΕΚΤΡΙΚΑ ΚΑΙ ΜΑΓΝΗΤΙΚΑ ΠΕΔΙΑ

Με τον όρο χαμηλόσυχνα ηλεκτρικά και μαγνητικά πεδία εννοούμε τα πεδία που δημιουργούνται από το δίκτυο μεταφοράς ηλεκτρικής ενέργειας, όπως οι γραμμές και οι υποσταθμοί υψηλής τάσης και το δίκτυο μέσης και χαμηλής τάσης που χρησιμοποιείται για τη διανομή της ηλεκτρικής ενέργειας, από τις καλωδιώσεις των κτηρίων, τις οικιακές συσκευές και γενικά οποιεσδήποτε διατάξεις ή εγκαταστάσεις των 50 ή 60 Hz.

Τα ηλεκτρικά πεδία που παράγονται από τις διατάξεις ηλεκτρικής ενέργειας οφείλονται στην τάση των ρευματοφόρων αγωγών και εξαρτώνται από το μέγεθος της τάσης, τη γεωμετρία της διάταξης και την απόσταση. Βασικό γνώρισμα του ηλεκτρικού πεδίου είναι το γεγονός ότι παραμορφώνεται από την παρουσία αγώγιμων διατάξεων ή ανθρώπινου σώματος, ενώ παράλληλα θωρακίζεται από οικοδομικά υλικά, δέντρα, φράχτες κλπ.

Η δημιουργία του μαγνητικού πεδίου οφείλεται στις εντάσεις των ρευμάτων που διαρρέουν ρευματοφόρους αγωγούς και εξαρτάται από το μέγεθος της έντασης του ρεύματος, τη γεωμετρία της διάταξης και την απόσταση. Σε αντίθεση με το ηλεκτρικό πεδίο, το μαγνητικό πεδίο επηρεάζεται ελάχιστα από την παρουσία δέντρων, φραχτών και οικοδομικών υλικών. Ως αποτέλεσμα, το μαγνητικό πεδίο που δημιουργείται από γραμμές ηλεκτρικής ενέργειας στο εξωτερικό των κτηρίων μπορεί να διαπερνά τους τοίχους και τις οροφές.

Τα μεταβαλλόμενα ηλεκτρικά και μαγνητικά πεδία που δημιουργούνται από τις διατάξεις ηλεκτρικής ενέργειας ονομάζονται αλλιώς και πεδία εξαιρετικά χαμηλής συχνότητας (ELF-Extremely Low Frequency) και συνθέτουν μαζί με τα ραδιοκύματα, την υπέρυθρη, την ορατή και την υπεριώδη ακτινοβολία τις μη ιοντίζουσες ακτινοβολίες. Σε αντίθεση με τις ιοντίζουσες ακτινοβολίες (ακτίνες X, γ κλπ.), οι ακτινοβολίες αυτές δεν μπορούν να διασπάσουν χημικούς

δεσμούς, να αποσπάσουν ηλεκτρόνια από άτομα ή μόρια προκαλώντας έτσι ιοντισμό της ύλης.

Ωστόσο, λόγω της αγωγιμότητας του ανθρώπινου σώματος, ακόμα και υπό την παρουσία ELF πεδίων επάγονται ρεύματα στο εσωτερικό του σώματος. Αν και δεν υπάρχει μέχρι στιγμής κάποια σοβαρή ένδειξη που να συνδέει τις μη ιοντίζουσες ακτινοβολίες με καρκινογενετικούς μηχανισμούς, είναι έντονη η συζήτηση γύρω από τις πιθανές βλαβερές συνέπειές τους στον ανθρώπινο οργανισμό (λευχαιμία, μεταλλάξεις κλπ.) και στην κατεύθυνση αυτή γίνονται εργαστηριακές και επιδημιολογικές μελέτες.

Έτσι έχει προκύψει η ανάγκη για την επιβολή ορίων για την ασφαλή έκθεση σε ηλεκτρικά και μαγνητικά πεδία. Η Διεθνής Επιτροπή Προστασίας από Μη Ιοντίζουσες Ακτινοβολίες (ICNIRP) εξέδωσε το 1998 κατευθυντήριες γραμμές για την έκθεση των ανθρώπων, οι οποίες λαμβάνουν υπόψη μόνο τις αποδεδειγμένες επιδράσεις των ηλεκτρομαγνητικών πεδίων στον άνθρωπο και περιλαμβάνουν βασικούς περιορισμούς και επίπεδα αναφοράς. Τις ίδιες οριακές τιμές υιοθέτησε το 1999 και το Συμβούλιο της Ευρωπαϊκής Ένωσης με τη Σύσταση "Σχετικά με τον περιορισμό της έκθεσης του κοινού σε ηλεκτρομαγνητικά πεδία 0 Hz - 300 GHz" (L199, 1999/519/EC).

Οι βασικοί περιορισμοί σχετίζονται με το επαγόμενο ρεύμα στο εσωτερικό του ανθρώπου και προκύπτουν από τις τιμές κατωφλίου που προκαλούν δυσμενείς βιολογικές επιδράσεις. Τα επίπεδα αναφοράς είναι ουσιαστικά τα επιτρεπόμενα όρια για τις μετρούμενες τιμές του ηλεκτρικού και του μαγνητικού πεδίου και έχουν υπολογιστεί εφαρμόζοντας τους βασικούς περιορισμούς υπό τις δυσμενέστερες συνθήκες σύζευξης με το ανθρώπινο σώμα. Επομένως, τόσο οι βασικοί περιορισμοί όσο και τα επίπεδα αναφοράς εμπεριέχουν μεγάλο συντελεστή ασφαλείας.

Η εναρμόνιση της Ελληνικής Νομοθεσίας με τα προτεινόμενα από την ICNIRP και την Ευρωπαϊκή Ένωση όρια έγινε με την Κοινή Υπουργική Απόφαση με αριθμό 3060 (ΦΟΡ) 238 (Φ.Ε.Κ. Αρ. 512, Τεύχος Δεύτερο, 25 Απριλίου 2002) των Υπουργείων Ανάπτυξης, Περιβάλλοντος Χωροταξίας και Δημοσίων Έργων και Υγείας και Πρόνοιας με θέμα: «τα μέτρα προφύλαξης του κοινού από τη λειτουργία διατάξεων εκπομπής ηλεκτρομαγνητικών πεδίων χαμηλών συχνοτήτων». Στην προαναφερθείσα Κ.Υ.Α τίθενται τα επίπεδα αναφοράς για

το ηλεκτρικό και το μαγνητικό πεδίο για συχνότητες έως 150kHz.

Ζώνη συχνοτήτων	Ένταση Ηλεκτρικού Πεδίου (V/m)	Μαγνητική Επαγωγή ( $\mu$ T)
0-1 Hz	-	$4 \times 10^4$
1-8 Hz	10000	$4 \times 10^4 / f^2$
8-25 Hz	10000	$5000 / f$
0,025-0,8 kHz	$250 / f$	$5 / f$
0,8-3 kHz	$250 / f$	6.25
3-150 kHz	87	6.25

**Πίνακας 4.1 Επίπεδα αναφοράς της Ελληνικής Νομοθεσίας για ηλεκτρικά και μαγνητικά πεδία χαμηλών συχνοτήτων**

Από τον Πίνακα 1 προκύπτει ότι, για τη συχνότητα των 50 Hz, τα όρια για το γενικό πληθυσμό είναι 5 kV/m για το ηλεκτρικό πεδίο και 100  $\mu$ T για το μαγνητικό.

Όσον αφορά στο ελληνικό σύστημα ηλεκτρικής ενέργειας, ανάλογα με το τμήμα του δικτύου αλλάζει και η “επιβάρυνση” του περιβάλλοντος χώρου από τα παραγόμενα ηλεκτρομαγνητικά πεδία:

- Στο δίκτυο διανομής χαμηλής τάσης είναι πολύ μικρά τα ηλεκτρικά πεδία λόγω του χαμηλού επιπέδου της τάσης, ενώ και τα μαγνητικά πεδία εξασθενούν σε πολύ μικρή απόσταση από τη γραμμή.
- Στο δίκτυο διανομής μέσης τάσης τα πεδία οφείλονται στις γραμμές μέσης τάσης (20kV), οι οποίες μπορεί να είναι εναέριες ή υπόγεια καλώδια. Οι εναέριες γραμμές δημιουργούν τόσο ηλεκτρικά όσο και μαγνητικά πεδία, ενώ τα υπόγεια καλώδια δημιουργούν μόνο μαγνητικό πεδίο.
- Στους υποσταθμούς διανομής τα πεδία οφείλονται στις γραμμές μέσης και χαμηλής τάσης που συνδέονται σε αυτούς.
- Στις εναέριες γραμμές μεταφοράς υψηλής/υπερυψηλής τάσης οι μέγιστες τιμές των πεδίων εμφανίζονται ακριβώς κάτω από τους αγωγούς. Τα ιδιαίτερα τεχνικά χαρακτηριστικά της κατασκευής της γραμμής, όπως η απόσταση των αγωγών από τη γη, η απόσταση μεταξύ των ρευματοφόρων αγωγών της γραμμής και η διάταξη των φάσεων σε γραμμές διπλού κυκλώματος είναι παράγοντες που επηρεάζουν τα μεγέθη των παραγόμενων πεδίων.

- Τα υπόγεια καλώδια υψηλής τάσης δεν παράγουν ηλεκτρικά πεδία στις θέσεις που βρίσκονται άνθρωποι, αλλά παράγουν ισχυρά μαγνητικά πεδία στα σημεία που βρίσκονται ακριβώς πάνω τους.
- Στο εξωτερικό των υποσταθμών υψηλής τάσης και των κέντρων υπερυψηλής τάσης (ΚΥΤ) τα πεδία δημιουργούνται μόνο από τις γραμμές που συνδέονται σε αυτούς και όχι από τον εξοπλισμό τους.

Σε κάθε περίπτωση πάντως, πρέπει να πληρούνται οι απαιτήσεις για την ασφαλή έκθεση σε χαμηλόσυχνα ηλεκτρομαγνητικά πεδία, ειδικά σε κρίσιμες περιοχές ή εγκαταστάσεις (κατοικημένες περιοχές, σχολεία, δημόσιες υπηρεσίες, αθλητικούς χώρους), δεδομένου ότι στην ακτινοβολία εκτίθεται κατά κύριο λόγο ο γενικός πληθυσμός, στον οποίο ανήκουν και ευαίσθητες ομάδες, όπως ηλικιωμένοι, μικρά παιδιά, πάσχοντες από ασθένειες κλπ.

Είναι συνεπώς επιτακτική η ανάγκη να πραγματοποιούνται αξιόπιστες μετρήσεις του ηλεκτρικού και του μαγνητικού πεδίου, προκειμένου να διαπιστωθεί η συμμόρφωση με τα επίπεδα αναφοράς. Ένας από τους πλέον ενδεδειγμένους και αποτελεσματικούς τρόπους για την αξιολόγηση των πολυάριθμων φορέων που δραστηριοποιούνται στις συγκεκριμένες μετρήσεις είναι η συμμετοχή σε σχήματα συγκριτικών δοκιμών.

## 4.2 ΠΕΙΡΑΜΑΤΙΚΗ ΔΙΑΔΙΚΑΣΙΑ

Οι συγκριτικές μετρήσεις διεξήχθησαν σε δύο στάδια στο Εργαστήριο Υψηλών Τάσεων του ΕΜΠ σύμφωνα με τις απαιτήσεις του προτύπου ΕΛΟΤ ΙΕC 61786: 2003 για τις μετρήσεις χαμηλόσυχνων ηλεκτρικών και μαγνητικών πεδίων και την πολιτική του ΕΣΥΔ ΠΔΙ/01/05/17-10-2007 για τη συμμετοχή των εργαστηρίων σε σχήματα δοκιμών ικανότητας.

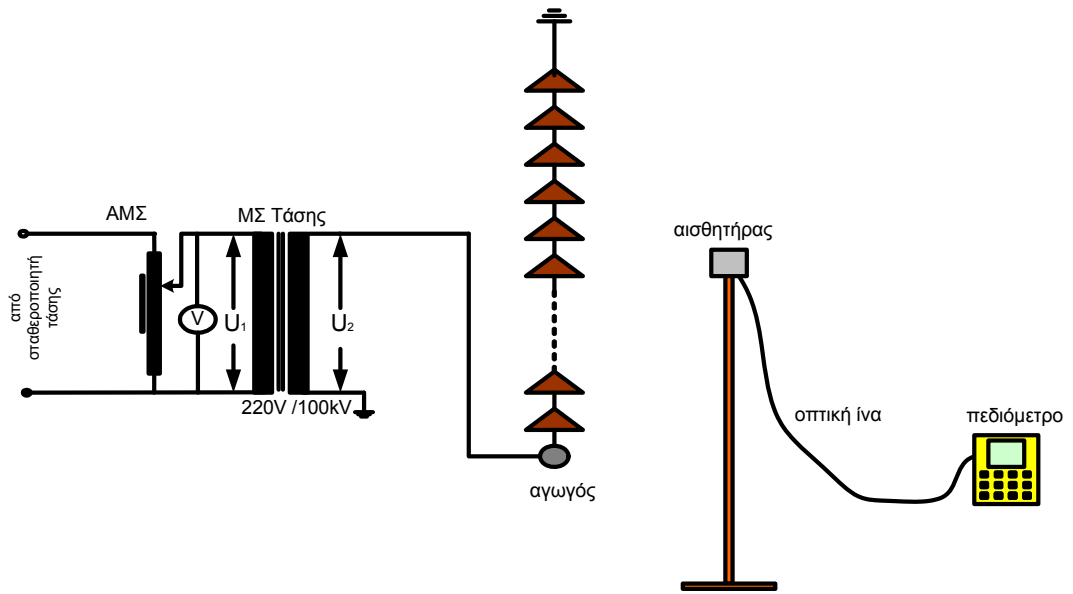
- Κατά την πρώτη φάση της δοκιμής μετρήθηκε το ηλεκτρικό πεδίο που δημιουργεί γραμμή μεταφοράς υψηλής τάσης. Στο Εργαστήριο Υψηλών Τάσεων διαμορφώθηκε κατάλληλα χώρος με υπό κλίμακα γραμμή μεταφοράς, η οποία τροφοδοτήθηκε με 5, 10, 15 και 20kV. Για την παραγωγή της υψηλής τάσης χρησιμοποιήθηκε ένας μετασχηματιστής δοκιμών με λόγο μετασχηματισμού 110V/55kV. Ανάμεσα στο δίκτυο χαμηλής τάσεως της ΔΕΗ, από το οποίο τροφοδοτείται ο μετασχηματιστής



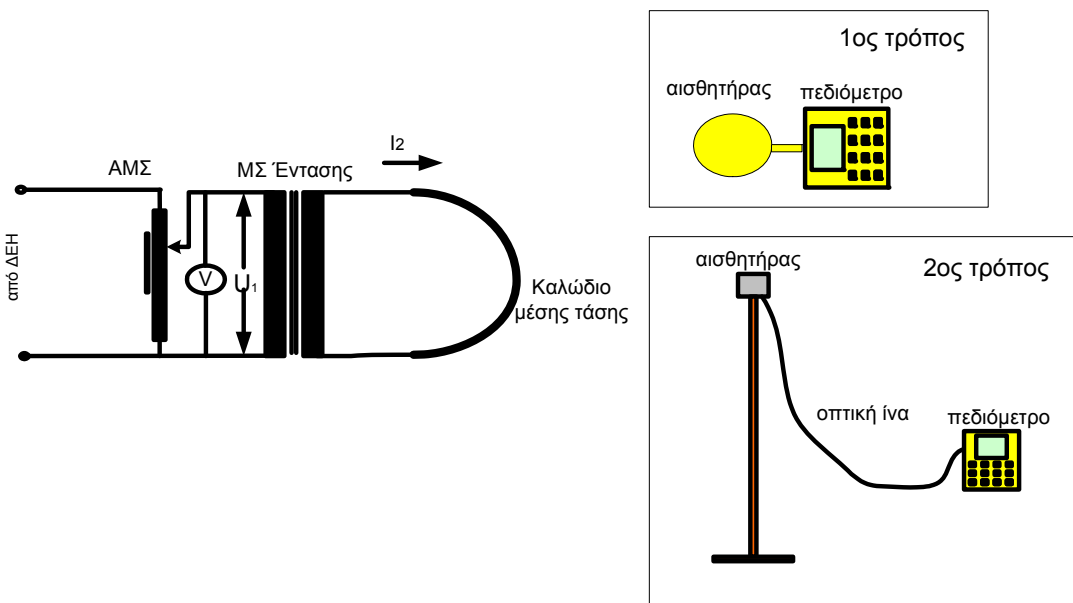
και στο πρωτεύον του μετασχηματιστή παρεμβάλλεται κατάλληλος σταθεροποιητής, ώστε οι αυξομειώσεις της τάσης του δικτύου να μην περνάνε στην επιβαλλόμενη τάση και αυτομετασχηματιστής για τη μεταβολή της επιβαλλόμενης τάσης. Η μέτρηση του επιπέδου της επιβαλλόμενης τάσης πραγματοποιείται στην πλευρά χαμηλής τάσης (U1) μέσω κατάλληλου διακριβωμένου βολτομέτρου. Οι πέντε ομάδες μετρήσεων κατέγραψαν σε κάθε επίπεδο τάσης το ηλεκτρικό πεδίο σε ύψος ~ 1,8m σε μία συγκεκριμένη απόσταση από τη γραμμή μεταφοράς με έναν αισθητήρα συνδεδεμένο μέσω οπτικής ίνας με ένα πεδιόμετρο. Ο αισθητήρας τοποθετήθηκε σε απόσταση ~10m από το πεδιόμετρο για να μην επηρεάζονται οι μετρήσεις από την παρουσία των χειριστών.

- Κατά τη δεύτερη φάση της δοκιμής μετρήθηκε το μαγνητικό πεδίο που δημιουργεί καλώδιο διαρρέομενο από ρεύμα τιμής περί τα 250, 500, 750 και 1000A. Το καλώδιο συνδέθηκε με το δευτερεύον ενός μετασχηματιστή έντασης(0-6000A), ο οποίος παρείχε την απαιτούμενη τιμή του ρεύματος. Η τροφοδοσία του μετασχηματιστή έντασης γίνεται από το δίκτυο χαμηλής τάσης της ΔΕΗ μέσω αυτομετασχηματιστή, ο οποίος επιτρέπει τη μεταβολή της τιμής του παραγόμενου ρεύματος. Στην αρχή κάθε κύκλου μετρήσεων έγινε μέτρηση της έντασης του ρεύματος που διέρρεε το καλώδιο ( $I_2$ ) μέσω κατάλληλης διακριβωμένης αμπεροτσιμπίδας. Για κάθε τιμή του ρεύματος οι πέντε ομάδες μετρήσεων μέτρησαν το μαγνητικό πεδίο σε μια συγκεκριμένη θέση σε ύψος ~1,7m και πάλι μέσω αισθητήρα και πεδιομέτρου. Αυτή τη φορά ο αισθητήρας ήταν συνδεδεμένος στο πεδιόμετρο είτε μέσω οπτικής ίνας είτε κατευθείαν, ανάλογα με τον τύπο του πεδιομέτρου. Όπως έχουμε προαναφέρει, σε αντίθεση με το ηλεκτρικό πεδίο, η παρουσία ανθρώπων δεν επηρεάζει το μαγνητικό πεδίο, γι' αυτό και η απευθείας σύνδεση του πεδιομέτρου με τον αισθητήρα δεν αλλοιώνει το αποτέλεσμα της μέτρησης.

Στα παρακάτω σχήματα απεικονίζονται οι δύο πειραματικές διατάξεις:



Σχήμα 4.1: Διάταξη μέτρησης ηλεκτρικού πεδίου



Σχήμα 4.2: Διάταξη μέτρησης μαγνητικού πεδίου

1<sup>ος</sup> τρόπος: ο αισθητήρας συνδέεται απ' ευθείας στο πεδιόμετρο

2<sup>ος</sup> τρόπος: ο αισθητήρας συνδέεται μέσω οπτικής ίνας στο πεδιόμετρο

#### 4.3 ΣΥΜΜΕΤΕΧΟΝΤΕΣ

Στις συγκριτικές μετρήσεις έλαβαν μέρος τα τέσσερα διαπιστευμένα στον τομέα των μετρήσεων χαμηλόσυχνων πεδίων εργαστήρια της Ελλάδας :

- ΕΕΑΕ (με δύο ομάδες)
- EMC ΕΛΛΑΣ
- FASMETRICS
- Υψηλών Τάσεων ΕΜΠ

Οι ομάδες μέτρησης έχουν χαρακτηριστεί με τυχαίο τρόπο ως Εργαστήρια 1-5. Η κάθε ομάδα γνωρίζει τον αριθμό της, αλλά δεν γνωρίζει τον αριθμό των υπολοίπων ομάδων.

#### 4.4 ΑΠΟΤΕΛΕΣΜΑΤΑ ΜΕΤΡΗΣΕΩΝ

Οι ομάδες, που συμμετείχαν είχαν διαφορετικό μετρητικό εξοπλισμό. Συγκεκριμένα, χρησιμοποίησαν τα παρακάτω πεδιόμετρα: NARDA/EFA-300 (3 ομάδες), NARDA/EFA-3 (1 ομάδα) και PMM/8053 (1 ομάδα). Ο εξοπλισμός είχε διακριβωθεί στα εργαστήρια : της NARDA Γερμανίας (3 ομάδες), της SEIBEDORF Αυστρίας (1 ομάδα) και της PMM (νυν NARDA Ιταλίας) (1 ομάδα).

Τα αποτελέσματα που έδωσαν οι ομάδες που συμμετείχαν στις συγκριτικές μετρήσεις είναι δύο ειδών : μετρήσεις σε όλο το εύρος συχνοτήτων του πεδιομέτρου (broadband μετρήσεις) και μετρήσεις μόνο σε μία ζώνη συχνοτήτων γύρω από τη βασική μετρούμενη συχνότητα των 50Hz (band pass μετρήσεις).

Τα αποτελέσματα των συγκριτικών μετρήσεων παρουσιάζονται για το ηλεκτρικό πεδίο στους πίνακες 2, 3 και για το μαγνητικό στους πίνακες 4, 5.

Εργαστήριο	1	2	3	4	5
5kV	256,358	260,223	257,936	264,29	261,343
10kV	508,353	498,425	502,484	517,84	512,759
15kV	756,559	752,285	762,110	781,72	762,036
20kV	1028,989	1008,050	1018,430	1031,75	1030,584
Αβεβαιότητα	8,8	7,02	5,3	16,16	3,47

Πίνακας 4.2: Band Pass μετρήσεις του E [V/m]

Εργαστήριο	1	2	3	4	5
5kV	257,850	261,188	257,951	264,00	261,710
10kV	514,437	497,752	502,204	519,89	513,023
15kV	769,188	752,046	763,845	781,67	763,313
20kV	1034,270	1004,910	1020,820	1033,53	1031,025
Αβεβαιότητα	9,9	7,02	5,3	16,16	3,47

**Πίνακας 4.3: Broad Band μετρήσεις του E [V/m]**

Εργαστήριο	1	2	3	4	5
250A	3,641	3,4290	3,3248	3,49	3,579
500A	7,421	7,0239	6,9535	7,07	7,476
750A	10,48	10,1204	10,0810	10,11	10,622
1000A	14,61	14,0572	13,9370	14,05	14,848
Αβεβαιότητα	4,8	5,29	5,3	15,9	5,78

**Πίνακας 4.4: Band Pass μετρήσεις του B [ $\mu$ T]**

Εργαστήριο	1	2	3	4	5
250A	3,696	3,4687	3,3454	3,45	3,619
500A	7,587	7,0356	6,9587	7,06	7,462
750A	10,75	10,0824	10,0750	10,13	10,625
1000A	14,88	14,0800	13,9320	14,07	14,824
Αβεβαιότητα	6,7	5,29	5,3	15,9	5,78

**Πίνακας 4.5: Broad Band μετρήσεις του B [ $\mu$ T]**

#### 4.5 ΕΠΕΞΕΡΓΑΣΙΑ ΜΕΤΡΗΣΕΩΝ – Z SCORES

Για την επεξεργασία των αποτελεσμάτων εφαρμόζεται η διαδικασία που περιγράφεται στο κεφάλαιο 3 :

- Σε κάθε στάδιο του πειράματος (μέτρηση E/H) υπολογίζονται για κάθε επίπεδο τάσης/ρεύματος και για κάθε μορφή μέτρησης που έχουν δώσει τα εργαστήρια (broadband/band pass) τα z scores των 5 συμμετεχόντων ομάδων.
- Σε κάθε επίπεδο τάσης/ρεύματος τοποθετούνται από κοινού σε ένα ραβδόγραμμα τα broadband και band pass z scores για τη μέτρηση του ηλεκτρικού/μαγνητικού πεδίου, ώστε να είναι δυναστή η σύγκριση μεταξύ των εργαστηρίων σε κάθε μεμονωμένο επίπεδο μέτρησης.
- Για τη συνολική αξιολόγηση των εργαστηρίων επιλέγεται, λόγω του μικρού αριθμού των συμμετεχόντων και των επιμέρους δοκιμών, ένα συγκεντρωτικό ραβδόγραμμα, όπου για κάθε μετρούμενο μέγεθος (E/H) και

για κάθε μορφή μέτρησης (broadband/band pass) απεικονίζονται τα z scores όλων των εργαστηρίων για κάθε επιμέρους επίπεδο τάσης/ρεύματος.

Number of laboratories=				5		
Iteration	0	$x_i - x^*$	1	2	Z-Scores	Z-Scores αύξουσα σειρά
$\bar{\delta} = 1.5s^*$	-		5.087	5.228		
$x^* - \bar{\delta}$	-		255.136	254.802		
$x^* + \bar{\delta}$	-		265.310	265.258		
Lab 1	256.358	3.865	256.358	256.358	-1.054	Lab 1 -1.054
Lab 2	260.223	0.000	260.223	260.223	0.055	Lab 3 -0.601
Lab 3	257.936	2.287	257.936	257.936	-0.601	Lab 2 0.055
Lab 4	264.290	4.067	264.290	264.290	1.222	Lab 5 0.377
Lab 5	261.343	1.120	261.343	261.343	0.377	Lab 4 1.222
Average	260.030		260.030	260.030		
SD	3.073	1.750	3.073	3.073		
New $x^*$	260.223	2.287	260.030	260.030		
New $s^*$	3.392		3.485	3.485	1.134*SD	

**Πίνακας 4.6: Band Pass μετρήσεις του ηλεκτρικού πεδίου E σε επίπεδο τάσης 5kV**

Number of laboratories=				5		
Iteration	0	$x_i - x^*$	1	2	Z-Scores	Z-Scores αύξουσα σειρά
$\bar{\delta} = 1.5s^*$	-		6.255	4.476		
$x^* - \bar{\delta}$	-		254.933	256.064		
$x^* + \bar{\delta}$	-		267.443	265.016		
Lab 1	257.850	3.338	257.850	257.850		
Lab 2	261.188	0.000	261.188	261.188	-0.901	Lab 1 -0.901
Lab 3	257.951	3.237	257.951	257.951	0.217	Lab 3 -0.868
Lab 4	264.000	2.812	264.000	264.000	-0.868	Lab 2 0.217
Lab 5	261.710	0.522	261.710	261.710	1.160	Lab 5 0.392
Average	260.540		260.540	260.540	0.392	Lab 4 1.160
SD	2.631	1.594	2.631	2.631		
New $x^*$	261.188	2.812	260.540	260.540		
New $s^*$	4.170		2.984	2.984	1.134*SD	

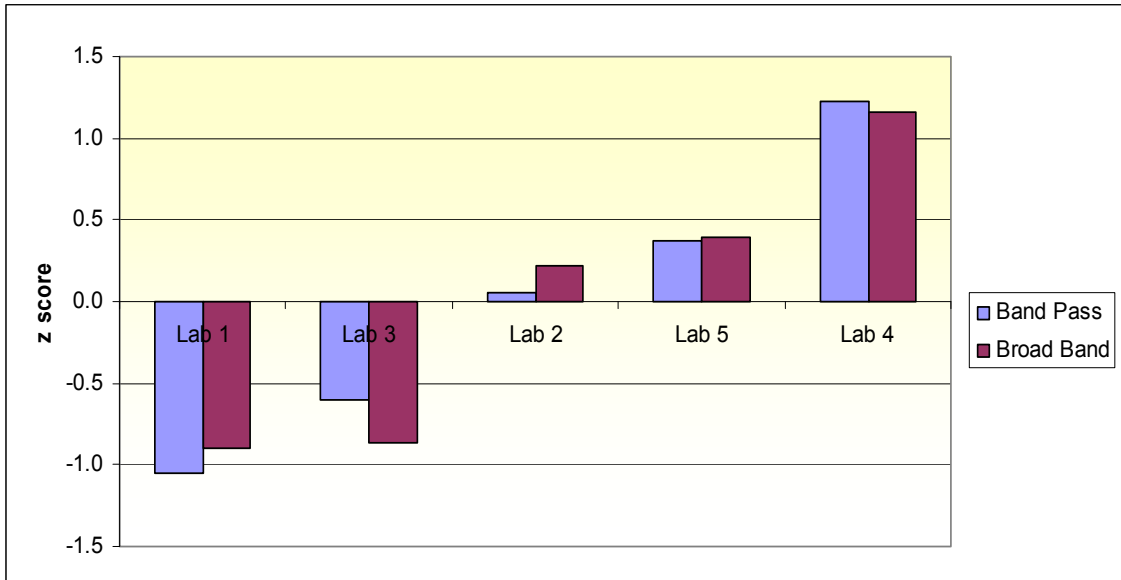
**Πίνακας 4.7: Broadband μετρήσεις του ηλεκτρικού πεδίου E σε επίπεδο τάσης 5kV**

Number of laboratories=		5				
Iteration	0	xi-x*	1	2	Z-Scores	Z-Scores αύξουσα σειρά
$\delta=1.5s^*$	-		<b>13.055</b>	<b>13.222</b>		
$x^*-\delta$	-		<b>495.298</b>	<b>494.750</b>		
$x^*+\delta$	-		<b>521.407</b>	<b>521.195</b>		
Lab 1	508.353	0.000	508.353	508.353	0.043	Lab 2 -1.083
Lab 2	498.425	9.928	498.425	498.425	-1.083	Lab 3 -0.623
Lab 3	502.484	5.869	502.484	502.484	-0.623	Lab 1 0.043
Lab 4	517.840	9.487	517.840	517.840	1.119	Lab 5 0.543
Lab 5	512.759	4.406	512.759	512.759	0.543	Lab 4 1.119
Average	<b>507.972</b>		<b>507.972</b>	<b>507.972</b>		
SD	<b>7.773</b>	<b>4.066</b>	<b>7.773</b>	<b>7.773</b>		
New $x^*$	<b>508.353</b>	<b>5.869</b>	<b>507.972</b>	<b>507.972</b>		
New $s^*$	<b>8.703</b>		<b>8.815</b>	<b>8.815</b>		<b>1.134*SD</b>

Πίνακας 4.8: Band Pass μετρήσεις του ηλεκτρικού πεδίου E σε επίπεδο τάσης 10kV

Number of laboratories=		5				
Iteration	0	xi-x*	1	2	Z-Scores	Z-Scores αύξουσα σειρά
$\delta=1.5s^*$	-		<b>15.276</b>	<b>15.589</b>		
$x^*-\delta$	-		<b>497.747</b>	<b>493.872</b>		
$x^*+\delta$	-		<b>528.299</b>	<b>525.051</b>		
Lab 1	514.437	1.414	514.437	514.437	0.479	Lab 2 -1.127
Lab 2	497.752	15.271	497.752	497.752	-1.127	Lab 3 -0.698
Lab 3	502.204	10.819	502.204	502.204	-0.698	Lab 5 0.343
Lab 4	519.890	6.867	519.890	519.890	1.003	Lab 1 0.479
Lab 5	513.023	0.000	513.023	513.023	0.343	Lab 4 1.003
Average	<b>509.461</b>		<b>509.461</b>	<b>509.461</b>		
SD	<b>9.165</b>	<b>6.386</b>	<b>9.165</b>	<b>9.165</b>		
New $x^*$	<b>513.023</b>	<b>6.867</b>	<b>509.461</b>	<b>509.461</b>		
New $s^*$	<b>10.184</b>		<b>10.393</b>	<b>10.393</b>		<b>1.134*SD</b>

Πίνακας 4.9: Broadband μετρήσεις του ηλεκτρικού πεδίου E σε επίπεδο τάσης 10kV



**Διάγραμμα 4.1: Z-Scores για το ηλεκτρικό πεδίο E σε επίπεδο τάσης 5kV**



**Διάγραμμα 4.2: Z-Scores για το ηλεκτρικό πεδίο E σε επίπεδο τάσης 10kV**

Number of laboratories=		5																
Iteration	0	xi-x*	1	2	3	4	5	6	7	8	9	10	11	12	Z-Scores	Z-Scores		
$\bar{\delta}=1.5s^*$	-		12.183	14.020	14.847	15.574	16.217	16.789	17.302	17.763	18.178	18.553	18.894	19.178				
$x^*-\bar{\delta}$	-		749.853	747.422	746.843	746.332	745.877	745.471	745.106	744.777	744.481	744.212	743.968	743.764				
$x^*+\bar{\delta}$	-		774.219	775.462	776.538	777.479	778.311	779.050	779.710	780.303	780.837	781.319	781.756	782.120				
Lab 1	756.559	5.477	756.559	756.559	756.559	756.559	756.559	756.559	756.559	756.559	756.559	756.559	756.559	756.559	-0.499	Lab 2	-0.834	
Lab 2	752.285	9.751	752.285	752.285	752.285	752.285	752.285	752.285	752.285	752.285	752.285	752.285	752.285	752.285	-0.834	Lab 1	-0.499	
Lab 3	762.110	0.074	762.110	762.110	762.110	762.110	762.110	762.110	762.110	762.110	762.110	762.110	762.110	762.110	-0.065	Lab 5	-0.071	
Lab 4	781.720	19.684	774.219	775.462	776.538	777.479	778.311	779.050	779.710	780.303	780.837	781.319	781.720	781.720	1.469	Lab 3	-0.065	
Lab 5	762.036	0.000	762.036	762.036	762.036	762.036	762.036	762.036	762.036	762.036	762.036	762.036	762.036	762.036	-0.071	Lab 4	1.469	
Average	762.942		761.442	761.690	761.906	762.094	762.260	762.408	762.540	762.659	762.765	762.862	762.942	762.942				
SD	11.274	8.181	8.242	8.729	9.156	9.534	9.870	10.172	10.443	10.687	10.907	11.107	11.274	11.274				
New $x^*$	762.036	5.477	761.442	761.690	761.906	762.094	762.260	762.408	762.540	762.659	762.765	762.862	762.942	762.942				
New $s^*$	8.122		9.347	9.898	10.382	10.811	11.193	11.535	11.842	12.119	12.369	12.596	12.785	12.785	1.134*SD			

Πίνακας 4.10: Band Pass μετρήσεις του ηλεκτρικού πεδίου E σε επίπεδο τάσης 15kV

Number of laboratories=		5							
Iteration	0	xi-x*	1	2	3	4	Z-Scores	Z-Scores	
$\bar{\delta}=1.5s^*$	-		11.885	14.841	17.068	18.286			
$x^*-\bar{\delta}$	-		751.960	749.983	748.544	747.726			
$x^*+\bar{\delta}$	-		775.730	779.665	782.679	784.299			
Lab 1	769.188	5.343	769.188	769.188	769.188	769.188	0.260	Lab 2	-1.146
Lab 2	752.046	11.799	752.046	752.046	752.046	752.046	-1.146	Lab 5	-0.221
Lab 3	763.845	0.000	763.845	763.845	763.845	763.845	-0.178	Lab 3	-0.178
Lab 4	781.670	17.825	775.730	779.665	781.670	781.670	1.284	Lab 1	0.260
Lab 5	763.313	0.532	763.313	763.313	763.313	763.313	-0.221	Lab 4	1.284
Average	766.012		764.824	765.611	766.012	766.012			
SD	10.750	7.644	8.725	10.034	10.750	10.750			
New $x^*$	763.845	5.343	764.824	765.611	766.012	766.012			
New $s^*$	7.923		9.894	11.379	12.191	12.191	1.134*SD		

Πίνακας 4.11: Broadband μετρήσεις του ηλεκτρικού πεδίου E σε επίπεδο τάσης 15kV

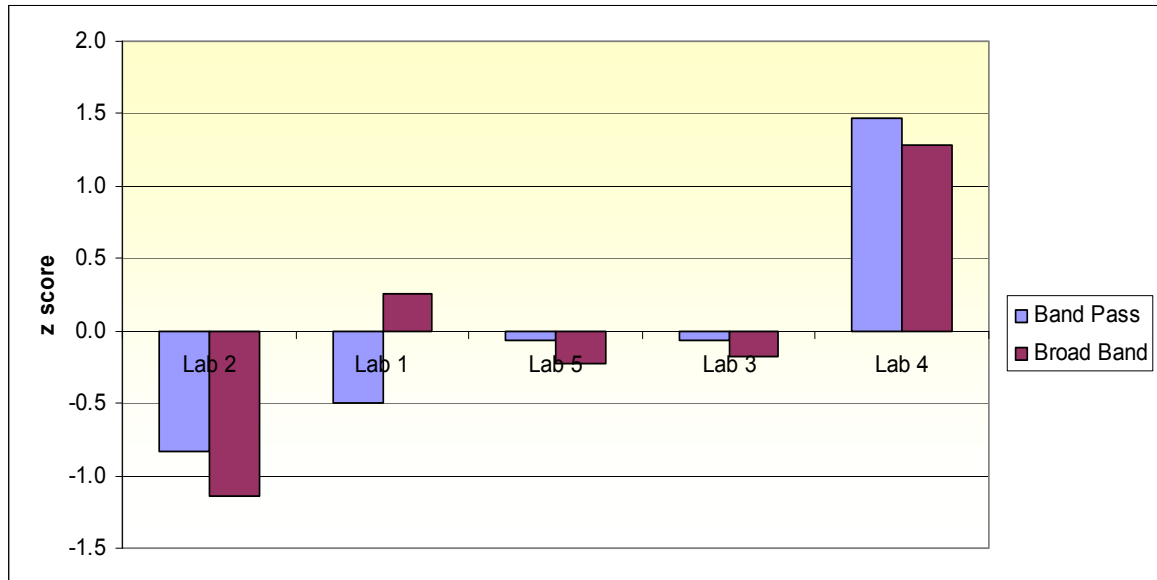


Number of laboratories=		5											
Iteration	0	$\bar{x}_i - \bar{x}^*$	1	2	3	4	5	6	7	8	Z-Scores	Z-Scores αύξουσα σειρά	
$\bar{\delta} = 1.5s^*$	-		<b>6.141</b>	<b>7.268</b>	<b>9.745</b>	<b>12.221</b>	<b>14.175</b>	<b>15.791</b>	<b>17.158</b>	<b>17.279</b>			
$\bar{x}^* - \bar{\delta}$	-		<b>1022.848</b>	<b>1020.136</b>	<b>1016.574</b>	<b>1013.045</b>	<b>1010.385</b>	<b>1008.237</b>	<b>1006.440</b>	<b>1006.281</b>			
$\bar{x}^* + \bar{\delta}$	-		<b>1035.130</b>	<b>1034.672</b>	<b>1036.064</b>	<b>1037.486</b>	<b>1038.735</b>	<b>1039.818</b>	<b>1040.756</b>	<b>1040.840</b>			
Lab 1	1028.989	0.000	1028.989	1028.989	1028.989	1028.989	1028.989	1028.989	1028.989	1028.989	0.471	Lab 2	-1.346
Lab 2	1008.050	20.939	1022.848	1020.136	1016.574	1013.045	1010.385	1008.237	1008.050	1008.050	-1.346	Lab 3	-0.445
Lab 3	1018.430	10.559	1022.848	1020.136	1018.430	1018.430	1018.430	1018.430	1018.430	1018.430	-0.445	Lab 1	0.471
Lab 4	1031.750	2.761	1031.750	1031.750	1031.750	1031.750	1031.750	1031.750	1031.750	1031.750	0.711	Lab 5	0.610
Lab 5	1030.584	1.595	1030.584	1030.584	1030.584	1030.584	1030.584	1030.584	1030.584	1030.584	0.610	Lab 4	0.711
Average	<b>1023.561</b>		<b>1027.404</b>	<b>1026.319</b>	<b>1025.266</b>	<b>1024.560</b>	<b>1024.028</b>	<b>1023.598</b>	<b>1023.561</b>	<b>1023.561</b>			
SD	<b>10.158</b>	<b>8.704</b>	<b>4.273</b>	<b>5.729</b>	<b>7.184</b>	<b>8.333</b>	<b>9.283</b>	<b>10.087</b>	<b>10.158</b>	<b>10.158</b>			
New $\bar{x}^*$	<b>1028.989</b>	<b>2.761</b>	<b>1027.404</b>	<b>1026.319</b>	<b>1025.266</b>	<b>1024.560</b>	<b>1024.028</b>	<b>1023.598</b>	<b>1023.561</b>	<b>1023.561</b>			
New $s^*$	<b>4.094</b>		<b>4.845</b>	<b>6.496</b>	<b>8.147</b>	<b>9.450</b>	<b>10.527</b>	<b>11.439</b>	<b>11.520</b>	<b>11.520</b>	<b>1.134*SD</b>		

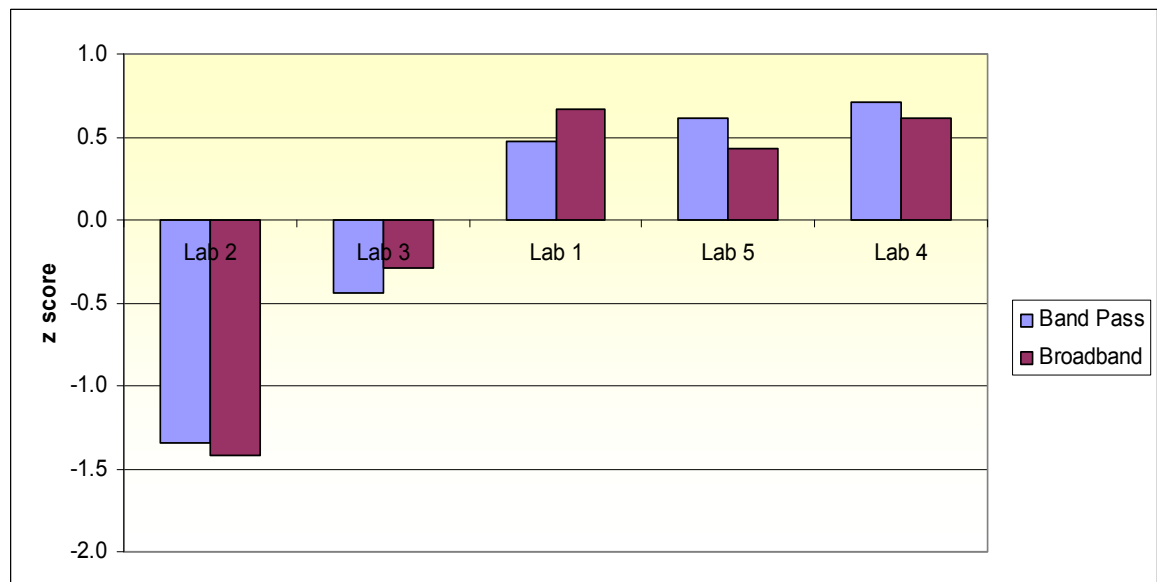
Πίνακας 4.12: Band Pass μετρήσεις του ηλεκτρικού πεδίου E σε επίπεδο τάσης 20kV

Number of laboratories=		5													
Iteration	0	$\bar{x}_i - \bar{x}^*$	1	2	3	4	5	6	7	8	9	10	Z-Scores	Z-Scores αύξουσα σειρά	
$\bar{\delta} = 1.5s^*$	-		<b>7.219</b>	<b>8.754</b>	<b>11.610</b>	<b>13.753</b>	<b>15.508</b>	<b>16.982</b>	<b>18.244</b>	<b>19.341</b>	<b>20.303</b>	<b>21.110</b>			
$\bar{x}^* - \bar{\delta}$	-		<b>1023.806</b>	<b>1020.533</b>	<b>1016.426</b>	<b>1013.461</b>	<b>1011.114</b>	<b>1009.170</b>	<b>1007.519</b>	<b>1006.092</b>	<b>1004.844</b>	<b>1003.802</b>			
$\bar{x}^* + \bar{\delta}$	-		<b>1038.244</b>	<b>1038.041</b>	<b>1039.646</b>	<b>1040.967</b>	<b>1042.129</b>	<b>1043.134</b>	<b>1044.007</b>	<b>1044.774</b>	<b>1045.451</b>	<b>1046.021</b>			
Lab 1	1034.270	3.245	1034.270	1034.270	1034.270	1034.270	1034.270	1034.270	1034.270	1034.270	1034.270	1034.270	0.665	Lab 2	-1.421
Lab 2	1004.910	26.115	1023.806	1020.533	1016.426	1013.461	1011.114	1009.170	1007.519	1006.092	1004.910	1004.910	-1.421	Lab 3	-0.291
Lab 3	1020.820	10.205	1023.806	1020.820	1020.820	1020.820	1020.820	1020.820	1020.820	1020.820	1020.820	1020.820	-0.291	Lab 5	0.434
Lab 4	1033.530	2.505	1033.530	1033.530	1033.530	1033.530	1033.530	1033.530	1033.530	1033.530	1033.530	1033.530	0.612	Lab 4	0.612
Lab 5	1031.025	0.000	1031.025	1031.025	1031.025	1031.025	1031.025	1031.025	1031.025	1031.025	1031.025	1031.025	0.434	Lab 1	0.665
Average	<b>1024.911</b>		<b>1029.287</b>	<b>1028.036</b>	<b>1027.214</b>	<b>1026.621</b>	<b>1026.152</b>	<b>1025.763</b>	<b>1025.433</b>	<b>1025.147</b>	<b>1024.911</b>	<b>1024.911</b>			
SD	<b>12.410</b>	<b>10.594</b>	<b>5.146</b>	<b>6.825</b>	<b>8.085</b>	<b>9.117</b>	<b>9.983</b>	<b>10.726</b>	<b>11.370</b>	<b>11.936</b>	<b>12.410</b>	<b>12.410</b>			
New $\bar{x}^*$	<b>1031.025</b>	<b>3.245</b>	<b>1029.287</b>	<b>1028.036</b>	<b>1027.214</b>	<b>1026.621</b>	<b>1026.152</b>	<b>1025.763</b>	<b>1025.433</b>	<b>1025.147</b>	<b>1024.911</b>	<b>1024.911</b>			
New $s^*$	<b>4.813</b>		<b>5.836</b>	<b>7.740</b>	<b>9.169</b>	<b>10.339</b>	<b>11.321</b>	<b>12.163</b>	<b>12.894</b>	<b>13.535</b>	<b>14.073</b>	<b>14.073</b>	<b>1.134*SD</b>		

Πίνακας 4.13: Broadband μετρήσεις του ηλεκτρικού πεδίου E σε επίπεδο τάσης 20kV



**Διάγραμμα 4.3: Z-Scores για το ηλεκτρικό πεδίο E σε επίπεδο τάσης 15kV**



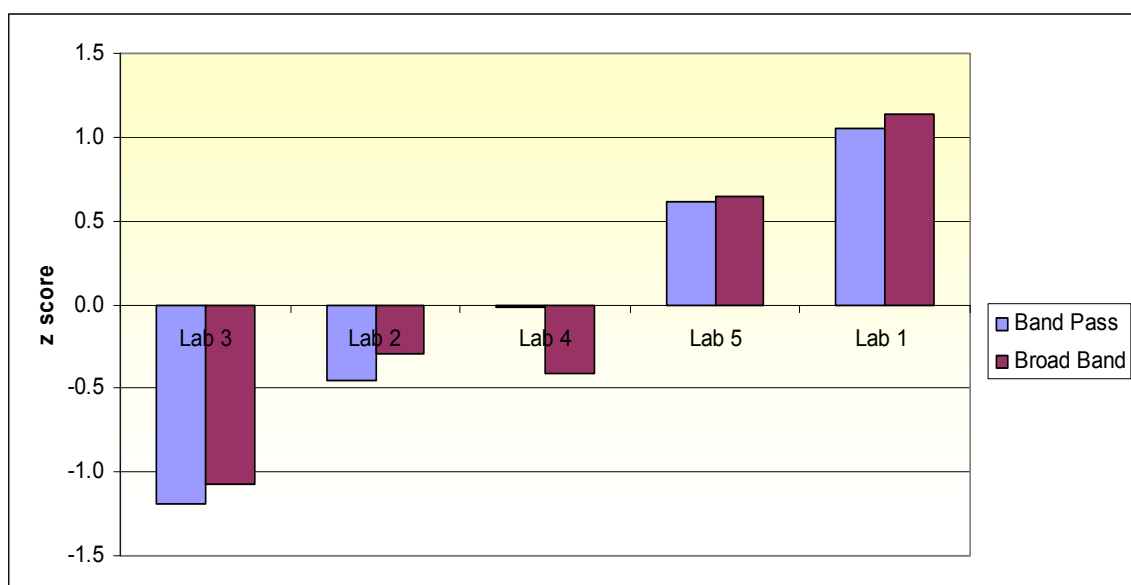
**Διάγραμμα 4.4: Z-Scores για το ηλεκτρικό πεδίο E σε επίπεδο τάσης 20kV**

Number of laboratories=				5			
Iteration	0	xi-x*	1	2	Z-Scores	Z-Scores αύξουσα σειρά	
$\delta=1.5s^*$	-		<b>0.1980</b>	<b>0.2113</b>			
$x^*-\delta$	-		<b>3.2920</b>	<b>3.2815</b>			
$x^*+\delta$	-		<b>3.6880</b>	<b>3.7040</b>			
Lab 1	3.6410	0.1510	3.6410	3.6410	1.053	Lab 3	-1.193
Lab 2	3.4290	0.0610	3.4290	3.4290	-0.453	Lab 2	-0.453
Lab 3	3.3248	0.1652	3.3248	3.3248	-1.193	Lab 4	-0.020
Lab 4	3.4900	0.0000	3.4900	3.4900	-0.020	Lab 5	0.612
Lab 5	3.5790	0.0890	3.5790	3.5790	0.612	Lab 1	1.053
Average	<b>3.4928</b>		<b>3.4928</b>	<b>3.4928</b>			
SD	<b>0.1242</b>	<b>0.0676</b>	<b>0.1242</b>	<b>0.1242</b>			
New $x^*$	<b>3.4900</b>	<b>0.0890</b>	<b>3.4928</b>	<b>3.4928</b>			
New $s^*$	<b>0.1320</b>		<b>0.1408</b>	<b>0.1408</b>	<b>1.134*SD</b>		

Πίνακας 4.14: Band Pass μετρήσεις του μαγνητικού πεδίου H σε επίπεδο ρεύματος 250A

Number of laboratories=				5			
Iteration	0	xi-x*	1	2	Z-Scores	Z-Scores αύξουσα σειρά	
$\delta=1.5s^*$	-		<b>0.2743</b>	<b>0.2386</b>			
$x^*-\delta$	-		<b>3.1944</b>	<b>3.2772</b>			
$x^*+\delta$	-		<b>3.7430</b>	<b>3.7544</b>			
Lab 1	3.6960	0.2273	3.6960	3.6960	1.133	Lab 3	-1.071
Lab 2	3.4687	0.0000	3.4687	3.4687	-0.296	Lab 4	-0.414
Lab 3	3.3454	0.1233	3.3454	3.3454	-1.071	Lab 2	-0.296
Lab 4	3.4500	0.0187	3.4500	3.4500	-0.414	Lab 5	0.649
Lab 5	3.6190	0.1503	3.6190	3.6190	0.649	Lab 1	1.133
Average	<b>3.5158</b>		<b>3.5158</b>	<b>3.5158</b>			
SD	<b>0.1403</b>	<b>0.0946</b>	<b>0.1403</b>	<b>0.1403</b>			
New $x^*$	<b>3.4687</b>	<b>0.1233</b>	<b>3.5158</b>	<b>3.5158</b>			
New $s^*$	<b>0.1829</b>		<b>0.1591</b>	<b>0.1591</b>	<b>1.134*SD</b>		

Πίνακας 4.15: Broadband μετρήσεις του μαγνητικού πεδίου H σε επίπεδο ρεύματος 250A



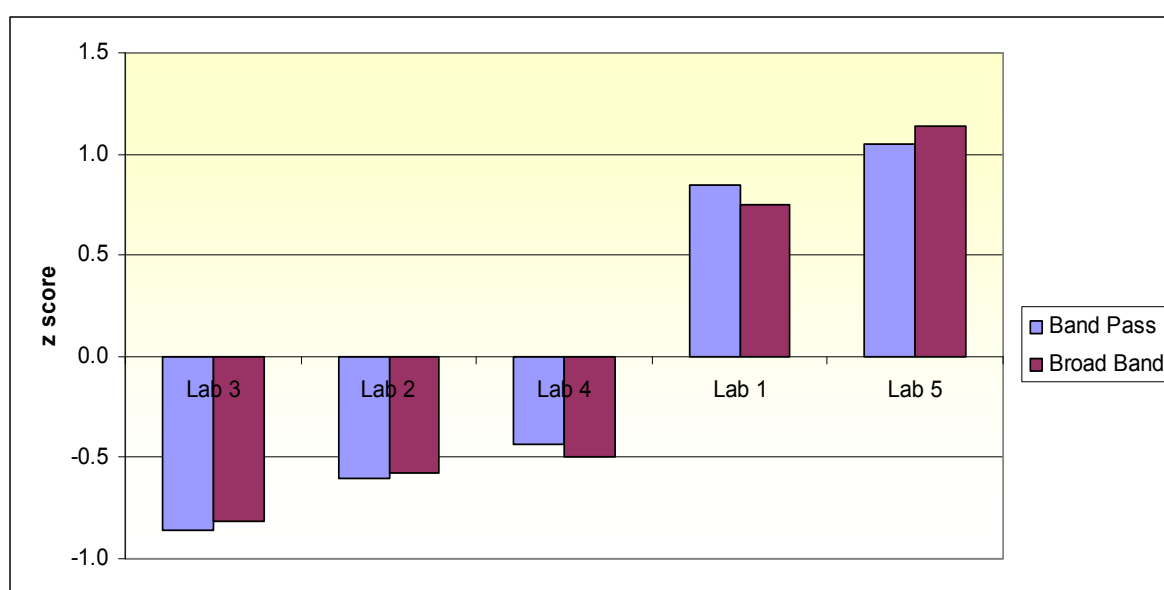
Διάγραμμα 4.5: Z-Scores για το μαγνητικό πεδίο H σε επίπεδο ρεύματος 250A

Number of laboratories=		5						
Iteration	0	xi-x*	1	2	3	4	Z-Scores	Z-Scores αύξουσα σειρά
$\delta=1.5s^*$	-		<b>0.259</b>	<b>0.300</b>	<b>0.394</b>	<b>0.411</b>		
$x^*-\delta$	-		<b>6.811</b>	<b>6.841</b>	<b>6.788</b>	<b>6.778</b>		
$x^*+\delta$	-		<b>7.329</b>	<b>7.441</b>	<b>7.576</b>	<b>7.599</b>		
Lab 1	7.4210	0.3510	7.329	7.421	7.421	7.421	0.848	Lab 3 -0.860
Lab 2	7.0239	0.0461	7.024	7.024	7.024	7.024	-0.603	Lab 2 -0.603
Lab 3	6.9535	0.1165	6.954	6.954	6.954	6.954	-0.860	Lab 4 -0.434
Lab 4	7.0700	0.0000	7.070	7.070	7.070	7.070	-0.434	Lab 1 0.848
Lab 5	7.4760	0.4060	7.329	7.441	7.476	7.476	1.049	Lab 5 1.049
Average	<b>7.1889</b>		<b>7.141</b>	<b>7.182</b>	<b>7.189</b>	<b>7.189</b>		
SD	<b>0.2414</b>	<b>0.1834</b>	<b>0.177</b>	<b>0.231</b>	<b>0.241</b>	<b>0.241</b>		
New $x^*$	<b>7.0700</b>	<b>0.1165</b>	<b>7.141</b>	<b>7.182</b>	<b>7.189</b>	<b>7.189</b>		
New $s^*$	<b>0.1728</b>		<b>0.200</b>	<b>0.262</b>	<b>0.274</b>	<b>0.274</b>	<b>1.134*SD</b>	

Πίνακας 4.16: Band Pass μετρήσεις του μαγνητικού πεδίου H σε επίπεδο ρεύματος 500A

Number of laboratories=		5							
Iteration	0	xi-x*	1	2	3	4	5	Z-Scores	Z-Scores αύξουσα σειρά
$\delta=1.5s^*$	-		<b>0.225</b>	<b>0.257</b>	<b>0.345</b>	<b>0.441</b>	<b>0.482</b>		
$x^*-\delta$	-		<b>6.835</b>	<b>6.868</b>	<b>6.819</b>	<b>6.764</b>	<b>6.739</b>		
$x^*+\delta$	-		<b>7.285</b>	<b>7.382</b>	<b>7.509</b>	<b>7.646</b>	<b>7.703</b>		
Lab 1	7.5870	0.5270	7.285	7.382	7.509	7.587	7.587	1.140	Lab 3 -0.815
Lab 2	7.0356	0.0244	7.036	7.036	7.036	7.036	7.036	-0.576	Lab 2 -0.576
Lab 3	6.9587	0.1013	6.959	6.959	6.959	6.959	6.959	-0.815	Lab 4 -0.500
Lab 4	7.0600	0.0000	7.060	7.060	7.060	7.060	7.060	-0.500	Lab 5 0.751
Lab 5	7.4620	0.4020	7.285	7.382	7.462	7.462	7.462	0.751	Lab 1 1.140
Average	<b>7.2207</b>		<b>7.125</b>	<b>7.164</b>	<b>7.205</b>	<b>7.221</b>	<b>7.221</b>		
SD	<b>0.2833</b>	<b>0.2386</b>	<b>0.151</b>	<b>0.203</b>	<b>0.259</b>	<b>0.283</b>	<b>0.283</b>		
New $x^*$	<b>7.0600</b>	<b>0.1013</b>	<b>7.125</b>	<b>7.164</b>	<b>7.205</b>	<b>7.221</b>	<b>7.221</b>		
New $s^*$	<b>0.1502</b>		<b>0.171</b>	<b>0.230</b>	<b>0.294</b>	<b>0.321</b>	<b>0.321</b>	<b>1.134*SD</b>	

Πίνακας 4.17: Broadband μετρήσεις του μαγνητικού πεδίου H σε επίπεδο ρεύματος 500A



Διάγραμμα 4.6: Z-Scores για το μαγνητικό πεδίο H σε επίπεδο ρεύματος 500A

Number of laboratories=		5										
Iteration	0	$\bar{x}_i - x^*$	1	2	3	4	5	6	7	8	Z-Scores	Z-Scores αύξουσα σειρά
$\bar{\delta} = 1.5s^*$	-		<b>0.088</b>	<b>0.100</b>	<b>0.134</b>	<b>0.180</b>	<b>0.240</b>	<b>0.320</b>	<b>0.392</b>	<b>0.426</b>		
$x^* - \bar{\delta}$	-		<b>10.033</b>	<b>10.045</b>	<b>10.026</b>	<b>10.000</b>	<b>9.966</b>	<b>9.921</b>	<b>9.878</b>	<b>9.857</b>		
$x^* + \bar{\delta}$	-		<b>10.208</b>	<b>10.246</b>	<b>10.295</b>	<b>10.360</b>	<b>10.446</b>	<b>10.561</b>	<b>10.662</b>	<b>10.709</b>		
Lab 1	10.480	0.360	10.208	10.246	10.295	10.360	10.446	10.480	10.480	10.480	0.695	Lab 3 -0.710
Lab 2	10.120	0.000	10.120	10.120	10.120	10.120	10.120	10.120	10.120	10.120	-0.571	Lab 4 -0.608
Lab 3	10.081	0.039	10.081	10.081	10.081	10.081	10.081	10.081	10.081	10.081	-0.710	Lab 2 -0.571
Lab 4	10.110	0.010	10.110	10.110	10.110	10.110	10.110	10.110	10.110	10.110	-0.608	Lab 1 0.695
Lab 5	10.622	0.502	10.208	10.246	10.295	10.360	10.446	10.561	10.622	10.622	1.195	Lab 5 1.195
Average	<b>10.283</b>		<b>10.145</b>	<b>10.161</b>	<b>10.180</b>	<b>10.206</b>	<b>10.241</b>	<b>10.270</b>	<b>10.283</b>	<b>10.283</b>		
SD	<b>0.250</b>	<b>0.233</b>	<b>0.059</b>	<b>0.079</b>	<b>0.106</b>	<b>0.141</b>	<b>0.188</b>	<b>0.230</b>	<b>0.250</b>	<b>0.250</b>		
New $x^*$	<b>10.120</b>	<b>0.039</b>	<b>10.145</b>	<b>10.161</b>	<b>10.180</b>	<b>10.206</b>	<b>10.241</b>	<b>10.270</b>	<b>10.283</b>	<b>10.283</b>		
New $s^*$	<b>0.058</b>		<b>0.067</b>	<b>0.090</b>	<b>0.120</b>	<b>0.160</b>	<b>0.213</b>	<b>0.261</b>	<b>0.284</b>	<b>0.284</b>	1.134*SD	

Πίνακας 4.18: Band Pass μετρήσεις του μαγνητικού πεδίου H σε επίπεδο ρεύματος 750A

Number of laboratories=		5						
Iteration	0	$\bar{x}_i - x^*$	1	2	3	4	Z-Scores	Z-Scores αύξουσα σειρά
$\bar{\delta} = 1.5s^*$	-		<b>0.278</b>	<b>0.348</b>	<b>0.467</b>	<b>0.568</b>		
$x^* - \bar{\delta}$	-		<b>10.347</b>	<b>10.216</b>	<b>10.045</b>	<b>9.899</b>		
$x^* + \bar{\delta}$	-		<b>10.903</b>	<b>10.911</b>	<b>10.978</b>	<b>11.036</b>		
Lab 1	10.750	0.125	10.750	10.750	10.750	10.750	0.746	Lab 2 -1.016
Lab 2	10.082	0.543	10.347	10.216	10.082	10.082	-1.016	Lab 4 -0.891
Lab 3	10.750	0.125	10.750	10.750	10.750	10.750	0.746	Lab 5 0.416
Lab 4	10.130	0.495	10.347	10.216	10.130	10.130	-0.891	Lab 1 0.746
Lab 5	10.625	0.000	10.625	10.625	10.625	10.625	0.416	Lab 3 0.746
Average	<b>10.467</b>		<b>10.564</b>	<b>10.511</b>	<b>10.467</b>	<b>10.467</b>		
SD	<b>0.334</b>	<b>0.244</b>	<b>0.204</b>	<b>0.274</b>	<b>0.334</b>	<b>0.334</b>		
New $x^*$	<b>10.625</b>	<b>0.125</b>	<b>10.564</b>	<b>10.511</b>	<b>10.467</b>	<b>10.467</b>		
New $s^*$	<b>0.185</b>		<b>0.232</b>	<b>0.311</b>	<b>0.379</b>	<b>0.379</b>	1.134*SD	

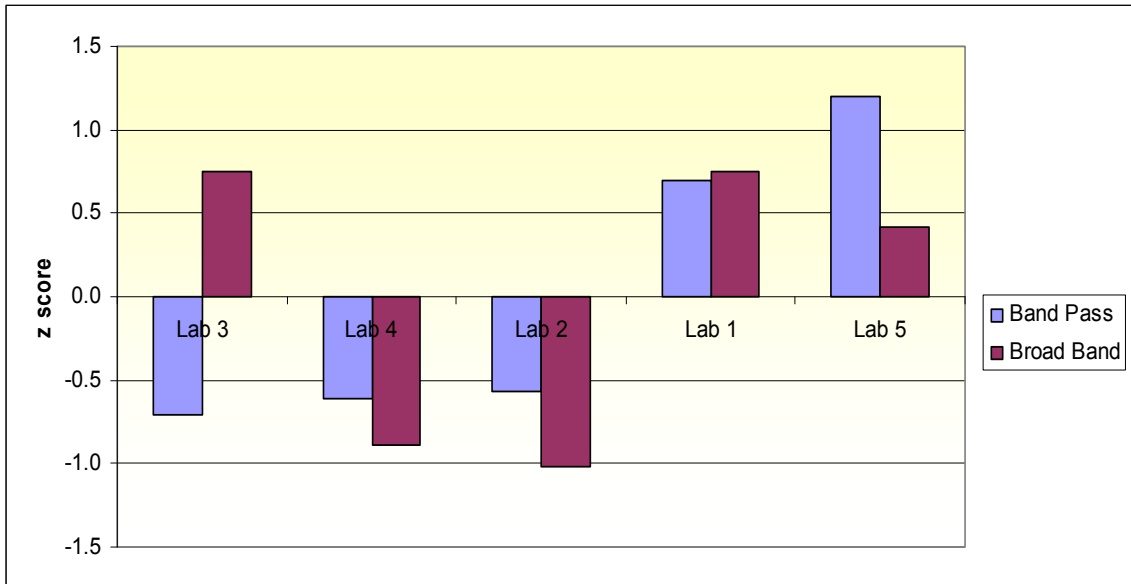
Πίνακας 4.19: Broadband μετρήσεις του μαγνητικού πεδίου H σε επίπεδο ρεύματος 750<sup>A</sup>

Number of laboratories=		5											
Iteration	0	xi-x*	1	2	3	4	5	6	7	8	Z-Scores	Z-Scores αύξουσα σειρά	
$\bar{\delta}=1.5s^*$	-		<b>0.267</b>	<b>0.300</b>	<b>0.403</b>	<b>0.540</b>	<b>0.649</b>	<b>0.685</b>	<b>0.685</b>	<b>0.685</b>			
$x^*-\bar{\delta}$	-		<b>13.790</b>	<b>13.839</b>	<b>13.781</b>	<b>13.704</b>	<b>13.639</b>	<b>13.615</b>	<b>13.615</b>	<b>13.615</b>			
$x^*+\bar{\delta}$	-		<b>14.325</b>	<b>14.439</b>	<b>14.587</b>	<b>14.783</b>	<b>14.936</b>	<b>14.986</b>	<b>14.986</b>	<b>14.986</b>			
Lab 1	14.610	0.553	14.325	14.439	14.587	14.610	14.610	14.610	14.610	14.610	0.677	Lab 3	-0.795
Lab 2	14.057	0.000	14.057	14.057	14.057	14.057	14.057	14.057	14.057	14.057	-0.532	Lab 4	-0.548
Lab 3	13.937	0.120	13.937	13.937	13.937	13.937	13.937	13.937	13.937	13.937	-0.795	Lab 2	-0.532
Lab 4	14.050	0.007	14.050	14.050	14.050	14.050	14.050	14.050	14.050	14.050	-0.548	Lab 1	0.677
Lab 5	14.848	0.791	14.325	14.439	14.587	14.783	14.848	14.848	14.848	14.848	1.198	Lab 5	1.198
Average	<b>14.300</b>		<b>14.139</b>	<b>14.184</b>	<b>14.244</b>	<b>14.288</b>	<b>14.300</b>	<b>14.300</b>	<b>14.300</b>	<b>14.300</b>			
SD	<b>0.403</b>	<b>0.358</b>	<b>0.176</b>	<b>0.237</b>	<b>0.317</b>	<b>0.382</b>	<b>0.403</b>	<b>0.403</b>	<b>0.403</b>	<b>0.403</b>			
New $x^*$	<b>14.057</b>	<b>0.120</b>	<b>14.139</b>	<b>14.184</b>	<b>14.244</b>	<b>14.288</b>	<b>14.300</b>	<b>14.300</b>	<b>14.300</b>	<b>14.300</b>			
New $s^*$	<b>0.178</b>		<b>0.200</b>	<b>0.269</b>	<b>0.360</b>	<b>0.433</b>	<b>0.457</b>	<b>0.457</b>	<b>0.457</b>	<b>0.457</b>	<b>1.134*SD</b>		

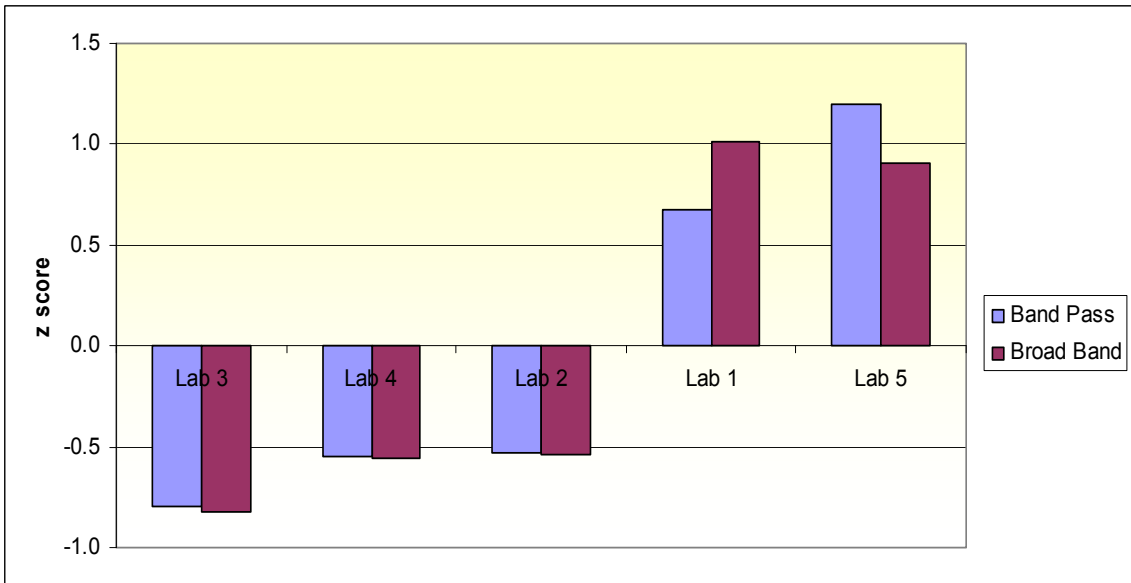
Πίνακας 4.20: Band Pass μετρήσεις του μαγνητικού πεδίου H σε επίπεδο ρεύματος 1000A

Number of laboratories=		5							
Iteration	0	xi-x*	1	2	3	4	Z-Scores	Z-Scores αύξουσα σειρά	
$\bar{\delta}=1.5s^*$	-		<b>0.329</b>	<b>0.369</b>	<b>0.497</b>	<b>0.665</b>			
$x^*-\bar{\delta}$	-		<b>13.751</b>	<b>13.811</b>	<b>13.740</b>	<b>13.645</b>			
$x^*+\bar{\delta}$	-		<b>14.409</b>	<b>14.550</b>	<b>14.733</b>	<b>14.974</b>			
Lab 1	14.880	0.800	14.409	14.550	14.733	14.880	1.011	Lab 3	-0.822
Lab 2	14.080	0.000	14.080	14.080	14.080	14.080	-0.536	Lab 4	-0.556
Lab 3	13.932	0.148	13.932	13.932	13.932	13.932	-0.822	Lab 2	-0.536
Lab 4	14.070	0.010	14.070	14.070	14.070	14.070	-0.556	Lab 5	0.903
Lab 5	14.824	0.744	14.409	14.550	14.733	14.824	0.903	Lab 1	1.011
Average	<b>14.357</b>		<b>14.180</b>	<b>14.236</b>	<b>14.310</b>	<b>14.357</b>			
SD	<b>0.456</b>	<b>0.399</b>	<b>0.217</b>	<b>0.292</b>	<b>0.391</b>	<b>0.456</b>			
New $x^*$	<b>14.080</b>	<b>0.148</b>	<b>14.180</b>	<b>14.236</b>	<b>14.310</b>	<b>14.357</b>			
New $s^*$	<b>0.219</b>		<b>0.246</b>	<b>0.331</b>	<b>0.443</b>	<b>0.517</b>	<b>1.134*SD</b>		

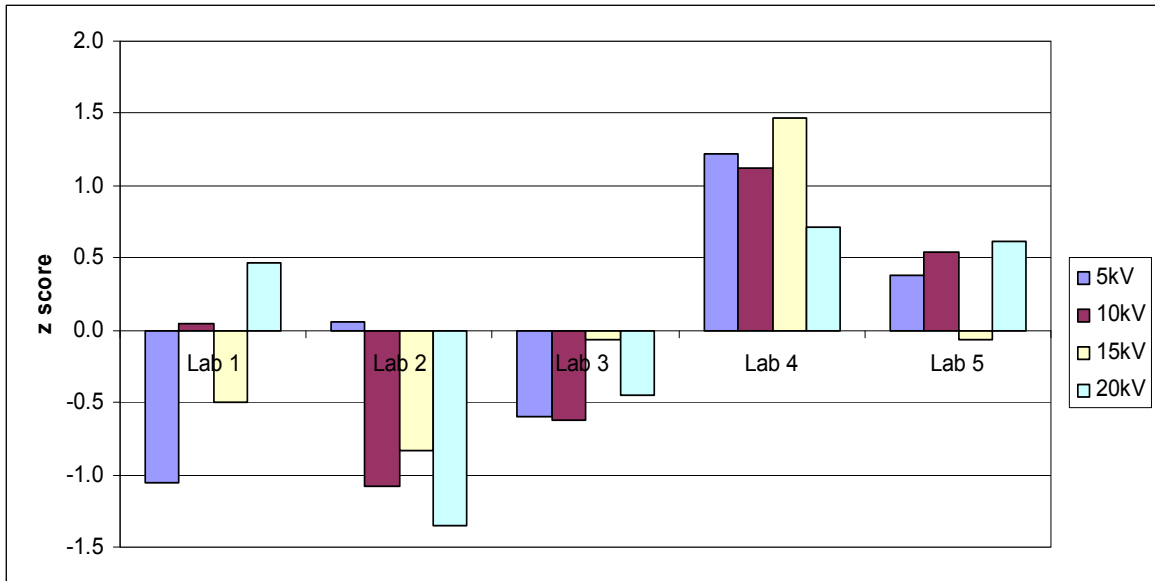
Πίνακας 4.21: Broadband μετρήσεις του μαγνητικού πεδίου H σε επίπεδο ρεύματος 1000A



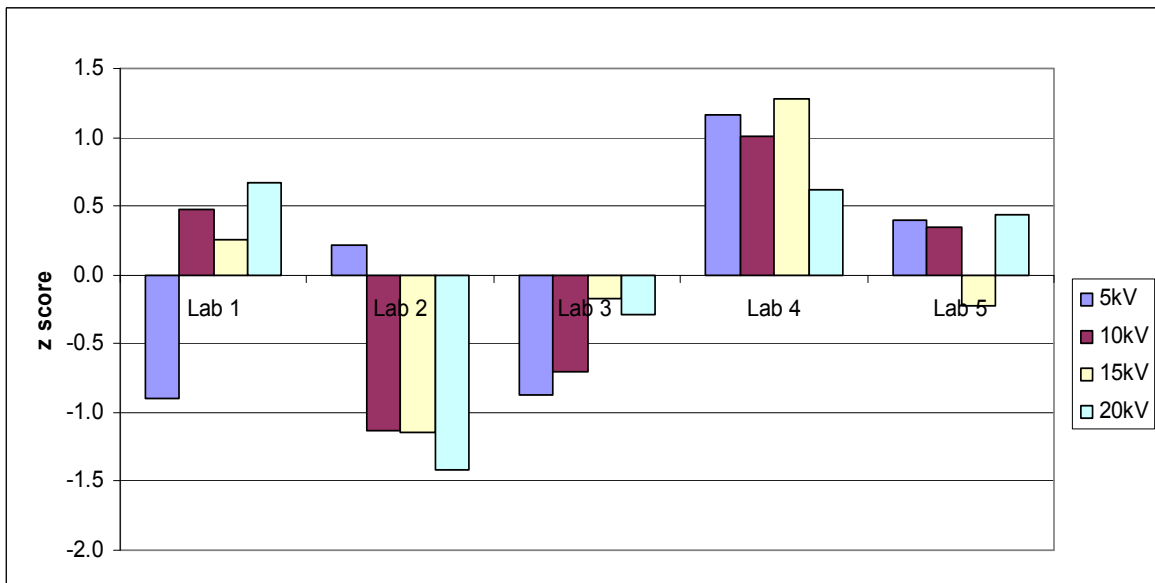
**Διάγραμμα 4.7: Z-Scores για το μαγνητικό πεδίο H σε επίπεδο ρεύματος 750<sup>A</sup>**



**Διάγραμμα 4.8: Z-Scores για το μαγνητικό πεδίο H σε επίπεδο ρεύματος 1000A**

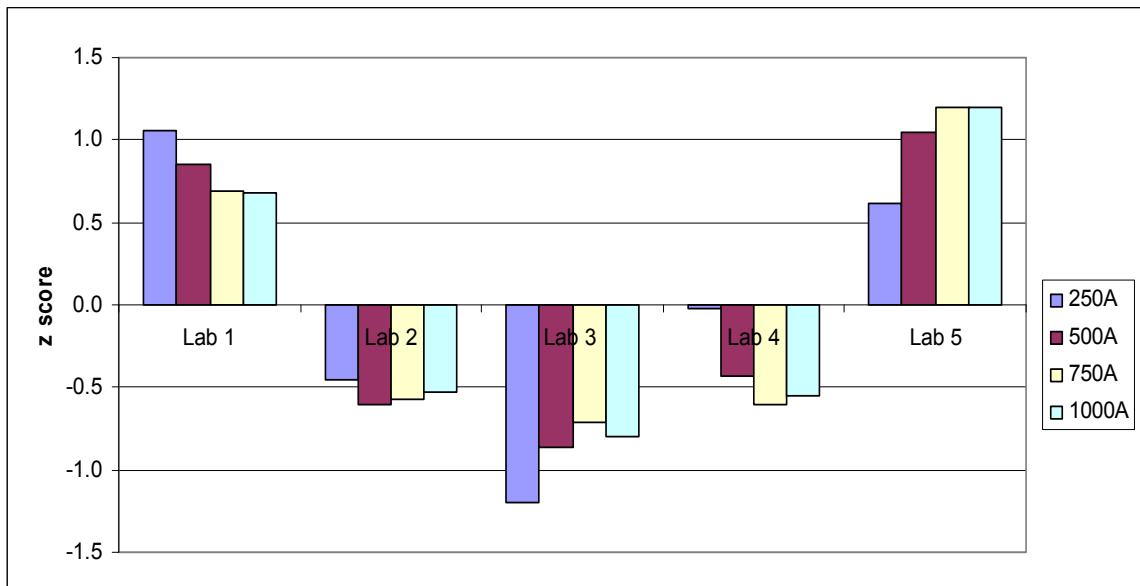


**Διάγραμμα 4.9:** Συγκεντρωτικά z-scores για τις band pass μετρήσεις του ηλεκτρικού πεδίου E

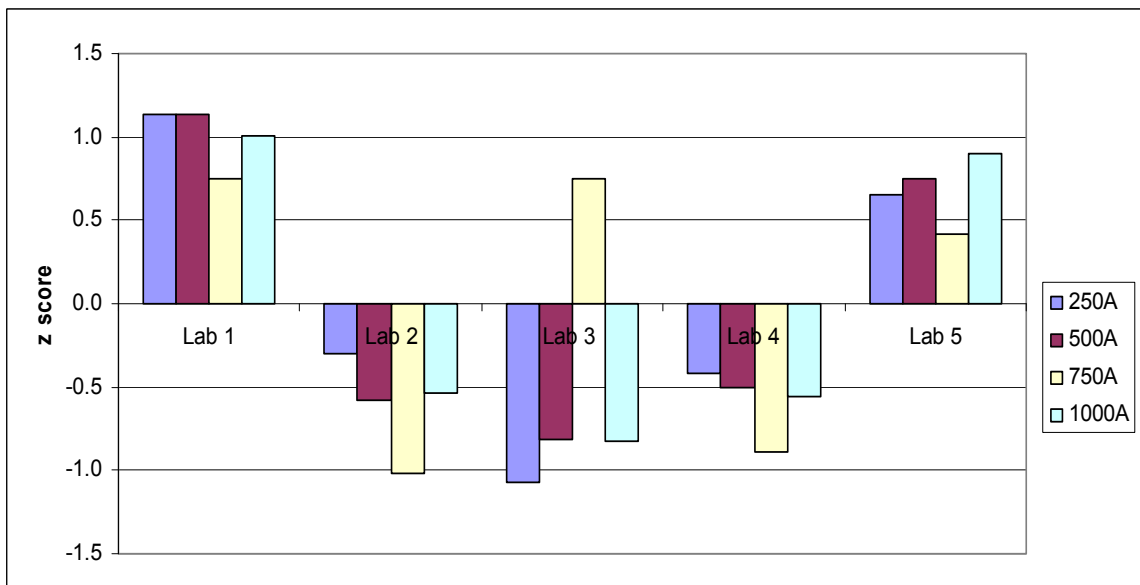


**Διάγραμμα 4.10:** Συγκεντρωτικά z-scores για τις broadband μετρήσεις του ηλεκτρικού πεδίου E





**Διάγραμμα 4.11: Συγκεντρωτικά z-scores για τις band pass μετρήσεις του μαγνητικού πεδίου H**

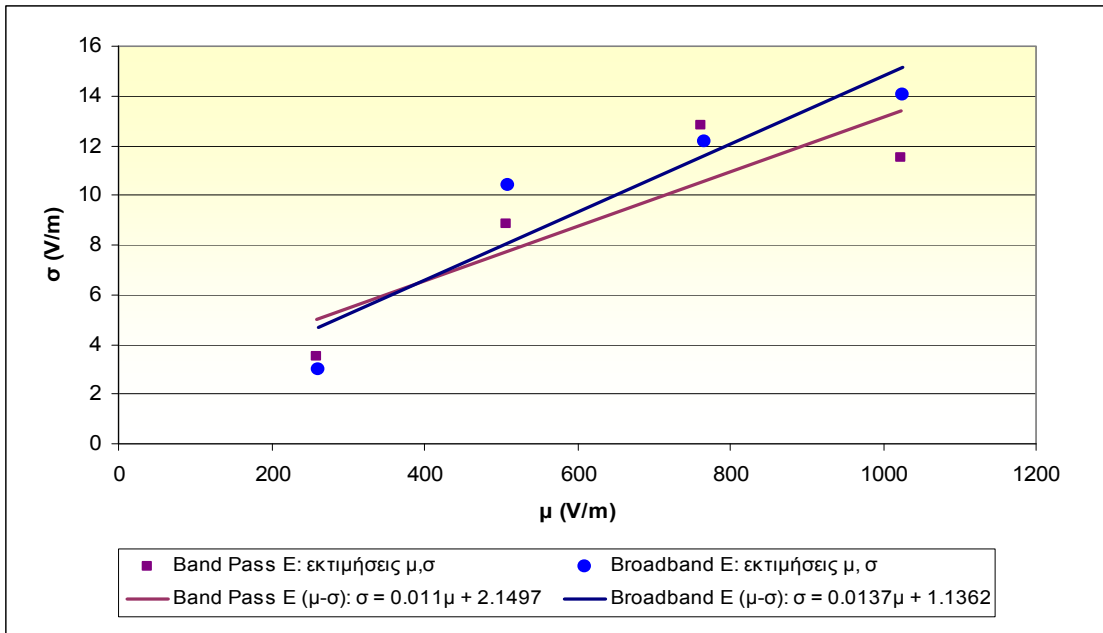


**Διάγραμμα 4.12: Συγκεντρωτικά z-scores για τις broadband μετρήσεις του μαγνητικού πεδίου H**

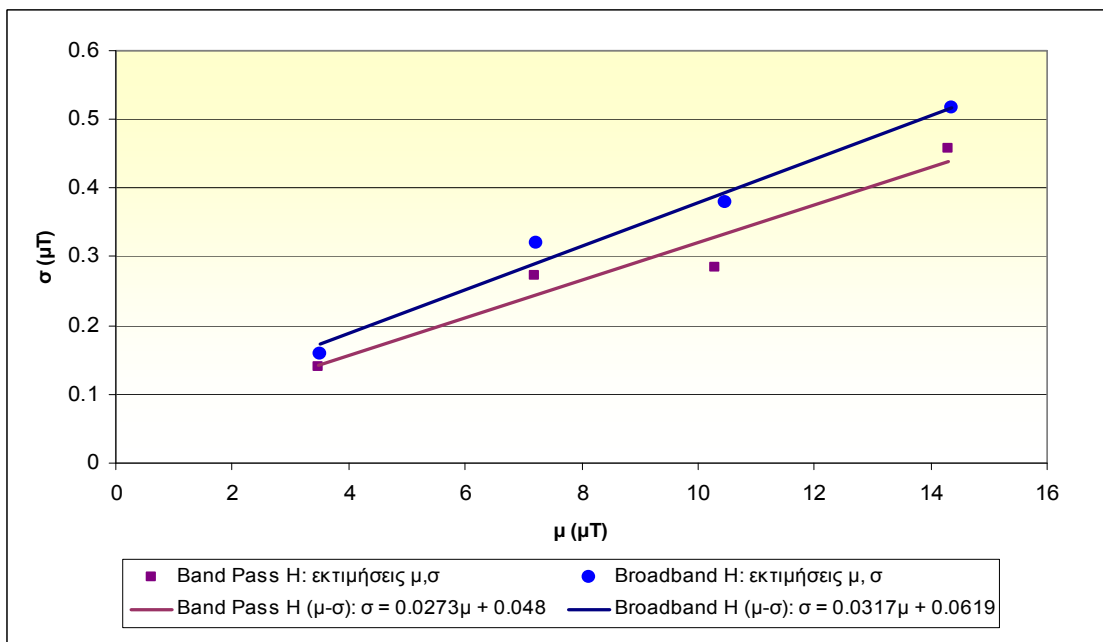
#### 4.6 ΣΥΜΠΕΡΑΣΜΑΤΑ

Με βάση τους υπολογισμούς των z scores που πραγματοποιήσαμε και την απεικόνισή τους σε ραβδογράμματα προχωρούμε στην αξιολόγηση της επίδοσης των εργαστηρίων:

- Η επίδοση όλων των εργαστηρίων κρίνεται ικανοποιητική, διότι κανένα εργαστήριο δεν έχει σημειώσει  $|z| > 2$ .
- Από τα συγκεντρωτικά διαγράμματα συμπεραίνουμε ότι τα εργαστήρια έχουν επιδείξει πιο συνεπή συμπεριφορά κατά τη μέτρηση του μαγνητικού πεδίου. Στις μετρήσεις του μαγνητικού πεδίου μόνο το εργαστήριο 2 εμφανίζει μια εναλλαγή προσήμου στα broadband αποτελέσματα. Αντιθέτως, στις μετρήσεις του ηλεκτρικού πεδίου μόνο τα εργαστήρια 3 και 4 εμφανίζουν ομόσημα z scores σε όλα τα επίπεδα τάσης. Τα εργαστήρια 2 και 5 παρουσιάζουν μεν εναλλαγές στα πρόσημα των z scores, οι οποίες όμως ταυτίζονται για τα broadband και τα band pass αποτελέσματα. Η μεγαλύτερη ανομοιομορφία εντοπίζεται στο εργαστήριο 1, το οποίο εμφανίζει διαφορετικές εναλλαγές στις band pass μετρήσεις σε σχέση με τις broadband.
- Στο σημείο αυτό να διευκρινίσουμε το εξής: Τα z scores ενός καλώς συμπεριφερόμενου εργαστηρίου αναμένεται σε διάφορα επίπεδα δοκιμών να παρουσιάζουν γενικά μια μικρή διακύμανση γύρω από το μηδέν. Επαναλαμβανόμενα ομόσημα z scores αποτελούν ένδειξη της συμπεριφοράς του οργάνου (όπως η φασματική απόκριση) ή ενός συστηματικού παράγοντα της μεθόδου μέτρησης (όπως οι παράμετροι της διακρίβωσης του οργάνου). Εάν τα συγκεκριμένα z scores υπερβαίνουν το όριο  $|z| > 2$ , μπορούμε να συμπεράνουμε ότι πρόκειται για κάποιο συστηματικό σφάλμα (bias) που εισάγει το όργανο. Στο συγκεκριμένο πείραμα δεν έχουν σημειωθεί  $|z| > 2$ , επομένως η εικόνα των ομόσημων z scores δεν εκλαμβάνεται ως συστηματικό σφάλμα. Αντιθέτως, αξιολογείται θετικά ως συνεπής εφαρμογή της μεθόδου μέτρησης, που δεν επηρεάζεται από τα επιμέρους επίπεδα δοκιμών.
- Από τη σύγκριση των εκτιμήσεων  $x^*$  και  $s^*$  της μέσης τιμής  $\mu$  και της τυπικής απόκλισης  $\sigma$  μεταξύ των επιμέρους δοκιμών προκύπτει μία προφανής εξάρτηση της τυπικής απόκλισης από τη μέση τιμή. Αναλυτικότερα, όσο μεγαλύτερη είναι η μέση τιμή των μετρήσεων του E/H, δηλαδή όσο μεγαλύτερο είναι το επίπεδο της τάσης/ρεύματος, τόσο μεγαλύτερη είναι η τυπική απόκλιση των μετρήσεων. Τοποθετώντας τα μεγέθη  $x^*$  και  $s^*$  σε διάγραμμα διαπιστώνουμε ότι η σχέση που τα συνδέει είναι γραμμική. Με γραμμική παλινδρόμηση προκύπτει η εξίσωση της εκάστοτε ευθείας, όπως φαίνεται στα διαγράμματα που ακολουθούν.



**Διάγραμμα 4.13: Σχέση (μ-σ) για τις μετρήσεις του ηλεκτρικού πεδίου E**



**Διάγραμμα 4.14: Σχέση (μ-σ) για τις μετρήσεις του μαγνητικού πεδίου H**

- Από τα παραπάνω διαγράμματα συμπεραίνουμε τα εξής: Σε όλες τις περιπτώσεις η σχέση μεταξύ των μ και σ είναι της μορφής  $\sigma = a + b\mu$ . Οι ευθείες του μαγνητικού πεδίου έχουν μεγαλύτερη κλίση ( $b_H > b_E$ ) τόσο για τις broadband όσο και για τις band pass μετρήσεις, ενώ οι broadband ευθείες έχουν μεγαλύτερη κλίση από τις αντίστοιχες band pass τόσο για το ηλεκτρικό όσο και για το μαγνητικό πεδίο ( $b_{broadband} > b_{band\ pass}$ ).

- Από στατιστικής πλευράς ο προσδιορισμός των παραπάνω ευθειών περιπλέκεται από το γεγονός ότι οι τιμές  $x^*$  και  $s^*$  είναι εκτιμήσεις της μέσης τιμής  $\mu$  και της τυπικής απόκλισης  $\sigma$  και έτσι υπόκεινται σε σφάλμα. Ωστόσο, σύμφωνα με το πρότυπο ISO 5725-2, υπερισχύουν τα σφάλματα στην εκτίμηση της τυπικής απόκλισης, διότι η κλίση της ευθείας είναι συνήθως μικρή (της τάξης του 0,1 ή και λιγότερο) και τα σφάλματα στην εκτίμηση της μέσης τιμής έχουν μικρή επίδραση. Οι ευθείες που προέκυψαν έχουν πράγματι πολύ μικρή κλίση (της τάξης του  $10^{-2}$ ), ενώ όπως έχουμε προαναφέρει, ο ανθεκτικός αλγόριθμος που χρησιμοποιούμε εισάγει μικρό συστηματικό σφάλμα στις εκτιμήσεις των  $\mu$  και  $\sigma$ .
- Επίσης, αξίζει να σημειωθεί το εξής: ενώ γενικά μηδενική μέση τιμή δε συνεπάγεται και μηδενική τυπική απόκλιση, διότι μπορεί η τιμή  $\mu=0$  να έχει προκύψει από αλληλοαναιρούμενες μετρήσεις, στη συγκεκριμένη περίπτωση τα μετρούμενα μεγέθη είναι πεδία. Αυτό σημαίνει ότι για να είναι  $\mu=0$  θα πρέπει όλα τα εργαστήρια να έχουν μετρήσει μηδενικό πεδίο, με αποτέλεσμα να ισχύει και  $\sigma=0$ . Ωστόσο, οι ευθείες που προέκυψαν έχουν  $a \neq 0$ .
- Όσον αφορά στα μεγέθη των πεδίων που κατέγραψαν τα εργαστήρια, εντοπίστηκαν αρκετές band pass μετρήσεις, οι οποίες ήταν ελαφρώς μεγαλύτερες από τις αντίστοιχες broadband, γεγονός που δεν μπορεί να ισχύει για μετρήσεις που διεξάγονται υπό θεωρητικά πανομοιότυπες συνθήκες. Αν και το φαινόμενο αυτό δεν επηρέασε τα z scores, αποτελεί ένδειξη είτε ατελειών της μεθόδου μέτρησης των εργαστηρίων είτε κυρίως της αστάθειας της επιβαλλόμενης τάσης/ρεύματος που οδηγούσε ουσιαστικά σε διαφορετικά παραγόμενα πεδία κατά τις band pass μετρήσεις σε σχέση με αυτά των broadband μετρήσεων (γεγονός αναμενόμενο για τις μετρήσεις του μαγνητικού πεδίου, όπου παρατηρήθηκε αστάθεια της τιμής του ρεύματος, λόγω έλλειψης σταθεροποιητή της τάσης τροφοδοσίας). Μόνο το εργαστήριο 1 δεν εμφάνισε πουθενά αυτού του είδους την ανακολουθία στις μετρήσεις του.
- Η σειρά με την οποία εκτέλεσε κάθε εργαστήριο τις μετρήσεις επηρεάζει τα αποτελέσματά του, λόγω των ασταθών παραγόμενων πεδίων. Τέλος, δε θα πρέπει να ξεχνάμε ότι τα όργανα που χρησιμοποιήθηκαν από τα εργαστήρια δεν είχαν το ίδιο εύρος φάσματος, γεγονός που επιφέρει διαφοροποιήσεις κυρίως στις broadband μετρήσεις.

# ΚΕΦΑΛΑΙΟ 5

## ΕΦΑΡΜΟΓΗ 2

### ΥΨΗΛΕΣ ΣΥΧΝΟΤΗΤΕΣ

#### 5.1 ΠΕΔΙΑ ΡΑΔΙΟΣΥΧΝΟΤΗΤΩΝ

Σημαντικό τμήμα του φάσματος των μη ιοντιζουσών ακτινοβολιών καταλαμβάνουν τα ραδιοκύματα. Με τον όρο ραδιοκύματα αναφερόμαστε συνήθως στα κύματα συχνότητας από 3kHz έως 300GHz που χρησιμοποιούνται για υπηρεσίες σταθερής και κινητής επικοινωνίας, ραδιοτηλεοπτικές εκπομπές, ραντάρ και άλλα συστήματα πλοήγησης, δορυφορικές επικοινωνίες, δίκτυα ηλεκτρονικών υπολογιστών και άλλες πολυάριθμες εφαρμογές.

Τα ραδιοκύματα διαφέρουν από τα ELF πεδία τόσο ως προς τον τρόπο διάδοσης όσο και ως προς τις βιολογικές τους επιδράσεις :

- Η ενέργεια που μεταφέρουν οι μη ιοντιζουσες ακτινοβολίες, αντί να παράγει φορτισμένα ιόντα, όταν απορροφάται από την ύλη επαρκεί μόνο για τη διέγερση των ηλεκτρονίων, δηλαδή τη μετάβασή τους σε υψηλότερη ενεργειακή κατάσταση. Παρόλα αυτά, για διαφορετικούς τύπους μη ιοντιζουσών ακτινοβολιών καταγράφονται διαφορετικοί μηχανισμοί αλληλεπίδρασης με τον ανθρώπινο οργανισμό. Στην περίπτωση των ραδιοκυμάτων θεωρείται σε γενικές γραμμές πιθανή η αύξηση της θερμοκρασίας του σώματος, λόγω θέρμανσης των ιστών από τα επαγόμενα ρεύματα, ενώ στις ELF ακτινοβολίες αποδίδεται πιο σπάνια το φαινόμενο αυτό.
- Η διάδοση των ραδιοκυμάτων συνίσταται στην όδευση των ηλεκτρομαγνητικών κυμάτων και στη μεταφορά ηλεκτρομαγνητικής ενέργειας από μια κεραία πομπού σε μια κεραία δέκτη σε περιβάλλον που συμμετέχουν τόσο το έδαφος και η τροπόσφαιρα ή η ιονόσφαιρα, όσο και διάφορες φυσικές ή τεχνητές κατασκευές.

Λόγω της συνεχούς τεχνολογικής προόδου και της εξάπλωσης των τηλεπικοινωνιών, ο πληθυσμός εκτίθεται σε αυξανόμενα επίπεδα ηλεκτρομαγνητικής ακτινοβολίας, γεγονός που προκαλεί έντονη ανησυχία και καχυποψία ως προς τις πιθανές βιολογικές επιπτώσεις των πεδίων. Ιδιαίτερη συζήτηση γίνεται γύρω από την ακτινοβολία που εκπέμπεται από τις σταθερές υποδομές που χρησιμοποιούνται στην κινητή τηλεφωνία, όπως οι σταθμοί βάσης και οι κεραιές τους, οι οποίες προβλέπουν τη σύνδεση προς και από τα κινητά τηλέφωνα. Αρκετές μάλιστα έρευνες συνδέουν την αύξηση συμπτωμάτων ασθενειών με την εγγύτητα σε τέτοιες πηγές ηλεκτρομαγνητικής ακτινοβολίας. Αυτό συμβαίνει, διότι στο χώρο γύρω από τους σταθμούς βάσης εκπέμπεται συνεχώς μεγάλη ισχύς με αποτέλεσμα να είναι μεγάλα και τα παραγόμενα πεδία.

Αν και η μεταδιδόμενη ισχύς μειώνεται με το τετράγωνο της απόστασης από τη βάση της κεραιάς, η κυψελωτή δομή των συστημάτων κινητών επικοινωνιών επιβάλλει την πυκνή εγκατάσταση σταθμών βάσης προκειμένου να εξυπηρετούνται όλοι οι χρήστες του δικτύου. Σε κάθε σταθμό βάσης αποδίδεται μια ζώνη ραδιοσυχνοτήτων που χρησιμοποιείται σε μια μικρή γεωγραφική περιοχή που καλείται κυψέλη(cell).

Κυψέλες με ακτίνα της τάξης μερικών δεκάδων χιλιομέτρων καλούνται μακροκυψέλες και οι σταθμοί βάσης τους τοποθετούνται συνήθως σε υψηλούς πύργους, με καλή ορατότητα της περιοχής κάλυψης. Για την υποστήριξη μεγαλύτερης χωρητικότητας σε συνδρομητές προκύπτουν μικρότερες σε έκταση και ισχύ εκπομπής κυψέλες που καλούνται μικροκυψέλες, έχουν ακτίνα μέχρι 1-2km και οι σταθμοί βάσης τους τοποθετούνται συνήθως πάνω από στις στέγες κτηρίων. Τα συστήματα 2<sup>ης</sup> γενιάς (GSM) υποστηρίζουν και ακόμα μικρότερες κυψέλες με ακτίνα περίπου 100-200 μέτρων, που ονομάζονται πικοκυψέλες, οι οποίες χρησιμοποιούνται ιδιαίτερα σε εσωτερικούς χώρους και σε περιοχές με υψηλή πυκνότητα τηλεπικοινωνιακής κίνησης. Οι σταθμοί βάσης των πικοκυψελών τοποθετούνται στο επίπεδο των προς κάλυψη δρόμων σε ύψη μέχρι 4m και, αν πρόκειται για εσωτερικούς χώρους, σε διαδρόμους ή και σε ανελκυστήρες.

Ένα πολύ σημαντικό μέγεθος κατά τη μελέτη των επιπτώσεων των τηλεπικοινωνιακών διατάξεων είναι ο λόγος έκθεσης. Ορίζεται ως ένας καθαρός

αριθμός που χρησιμοποιείται για να σταθμιστεί η επιβάρυνση στην έκθεση του κοινού από διάταξη/διατάξεις που λειτουργούν σε μία σχετικά στενή περιοχή συχνοτήτων (π.χ. στην συχνότητα εκπομπής μιας συγκεκριμένης κεραίας ή στην φασματική περιοχή που χρησιμοποιείται από μια συγκεκριμένη υπηρεσία) σε μία συγκεκριμένη θέση. Ανάλογα με το αν εξετάζονται ηλεκτροδιεγερτικές ή θερμικές επιδράσεις και με το αν εξετάζονται ξεχωριστά οι επιδράσεις του ηλεκτρικού και του μαγνητικού πεδίου (για συχνότητες μικρότερες από 10MHz ή σε συνθήκες κοντινού αντιδραστικού πεδίου) και το αν εξετάζεται έκθεση σε παλμικά διαμορφωμένα πεδία, υφίστανται περισσότεροι από ένας λόγοι έκθεσης που υπολογίζονται με διαφορετικό τρόπο.

Για να εκτιμηθεί κατά πόσον υπερβαίνονται τα επίπεδα αναφοράς για την έκθεση σε ηλεκτρομαγνητική ακτινοβολία χρησιμοποιείται ο συνολικός λόγος έκθεσης. Πρόκειται για το άθροισμα των σχετικών λόγων έκθεσης που προκύπτουν για το ίδιο φυσικό μέγεθος (ηλεκτρικό ή μαγνητικό πεδίο) και την ίδια επίδραση (ηλεκτροδιεγερτική ή θερμική) σε μία θέση μέτρησης μία συγκεκριμένη χρονική στιγμή.

Για συχνότητες μεγαλύτερες των 10 MHz και μικρότερες από 10 GHz και για μετρήσεις στο μακρινό ή στο κοντινό ακτινοβολούν πεδίο της κεραίας, ο λόγος έκθεσης  $\lambda$  για μία συγκεκριμένη συχνότητα (ή ζώνη συχνοτήτων) και θέση μέτρησης υπολογίζεται ως εξής :

$$\lambda = \frac{E^2}{L_E^2} = \frac{H^2}{L_H^2} = \frac{S}{L_S} \quad (5.1)$$

όπου: E (ή H) η μέση τιμή του μετρούμενου ηλεκτρικού (ή μαγνητικού) πεδίου στη συγκεκριμένη συχνότητα και θέση μέτρησης

$L_E$  (ή  $L_H$ ) το επίπεδο αναφοράς για το ηλεκτρικό (ή μαγνητικό) πεδίο στη συγκεκριμένη συχνότητα

S η μέση τιμή της ισοδύναμης πυκνότητας ισχύος

$L_S$  το επίπεδο αναφοράς για την ισοδύναμη πυκνότητα ισχύος στη συγκεκριμένη συχνότητα

Για μετρήσεις στις ανωτέρω συχνότητες στο κοντινό αντιδραστικό πεδίο της κεραίας υπάρχει διαφοροποίηση του λόγου έκθεσης σε λόγο έκθεσης  $\lambda_E$  και  $\lambda_H$ ,

βάσει των μετρήσεων του ηλεκτρικού και του μαγνητικού πεδίου ξεχωριστά, δηλαδή αντίστοιχα

$$\lambda_E = \frac{E^2}{L_E^2} \quad (5.2)$$

$$\lambda_H = \frac{H^2}{L_H^2} \quad (5.3)$$

Στην ελληνική νομοθεσία τίθενται οι αρχές για τον τρόπο διενέργειας μετρήσεων των επιπέδων της ηλεκτρομαγνητικής ακτινοβολίας στο περιβάλλον κεραιών με την Κ.Υ.Α. Αρ. 2300 ΕΦΑ (493) Φ.Ε.Κ. 346/Β/3-3-2008. Παράλληλα, ως όρια ασφαλούς έκθεσης του κοινού στην Ελλάδα (παραγρ. 9 του άρθρου 31 του Νόμου 3431) θεωρούνται το 70% των τιμών που καθορίζονται στα άρθρα 2-4 της υπ' αριθ. 53571/3839 ΚΥΑ (ΦΕΚ 1105/Β/6-9-2000)

Σε περίπτωση εγκατάστασης κατασκευής κεραιάς σε απόσταση μέχρι 300 μέτρων από την περίμετρο κτηριακών εγκαταστάσεων βρεφονηπιακών σταθμών, σχολείων, γηροκομείων και νοσοκομείων, προβλέπεται περαιτέρω μείωση των ορίων ασφαλούς έκθεσης του κοινού (παραγρ. 10 του άρθρου 31 του Νόμου 3431), καθώς αυτά απαγορεύεται να υπερβαίνουν το 60% των τιμών που καθορίζονται στα άρθρα 2-4 της υπ' αριθ. 53571/3839 ΚΥΑ (ΦΕΚ 1105/Β/6-9-2000)

Ο τρόπος εφαρμογής των παραπάνω συντελεστών μείωσης (70% ή 60% κατά περίπτωση) διευκρινίζεται στην “Εγκύκλιο της ΕΕΑΕ για τον καθορισμό ορίων ασφαλούς έκθεσης του κοινού σε ηλεκτρομαγνητική ακτινοβολία στο περιβάλλον σταθμών κεραιών σε εφαρμογή του Ν. 3431/2006”.

Οι φορείς που είναι εξουσιοδοτημένοι να διενεργούν μετρήσεις ηλεκτρομαγνητικών πεδίων σε περιβάλλον κεραιών οφείλουν να συμμετέχουν σε διεργαστηριακές μετρήσεις, προκειμένου να διασφαλιστεί η συμμόρφωσή τους με τους σχετικούς κανονισμούς και τις διαδικασίες που προβλέπονται από τα διεθνή και τα εθνικά πρότυπα. Σκοπός των διεργαστηριακών μετρήσεων είναι όχι μόνο η αξιολόγηση της ικανότητας των εργαστηρίων, αλλά και ο έλεγχος της καταλληλότητας διαφορετικών οργάνων και η εύρεση της βέλτιστης μεθόδου για τη μέτρηση της έκθεσης σε ηλεκτρομαγνητικά πεδία.



## 5.2 ΠΕΙΡΑΜΑΤΙΚΗ ΔΙΑΔΙΚΑΣΙΑ

Η Ελληνική Επιτροπή Ατομικής Ενέργειας έχει αναλάβει την οργάνωση τουλάχιστον μία φορά κάθε δύο έτη- διεργαστηριακών μετρήσεων, σύμφωνα με τα οριζόμενα στην παράγραφο 10 του «Κανονισμού διενέργειας μετρήσεων των επιπέδων της ηλεκτρομαγνητικής ακτινοβολίας στο περιβάλλον σταθμών κεραιών» της υπ. αριθ. 2300 ΕΦΑ (493) Κ.Υ.Α. (ΦΕΚ 346/Β/3-3-2008).

Για πρώτη φορά εκλήθησαν από την ΕΕΑΕ τα ενδιαφερόμενα εργαστήρια να συμμετάσχουν στις 11/2/2010 και 12/2/2010 στα ακόλουθα πεδία δοκιμών :

A) Μετρήσεις της ηλεκτρομαγνητικής ακτινοβολίας σε προκαθορισμένες θέσεις στο περιβάλλον κεραιοδιατάξεων σταθμού βάσης κινητής τηλεφωνίας και υπολογισμός του συνολικού λόγου έκθεσης.

B) Μετρήσεις της ηλεκτρομαγνητικής ακτινοβολίας σε προκαθορισμένες θέσεις στο περιβάλλον κεραιών εκπομπής ραδιοφωνίας και τηλεόρασης και υπολογισμός του συνολικού λόγου έκθεσης.

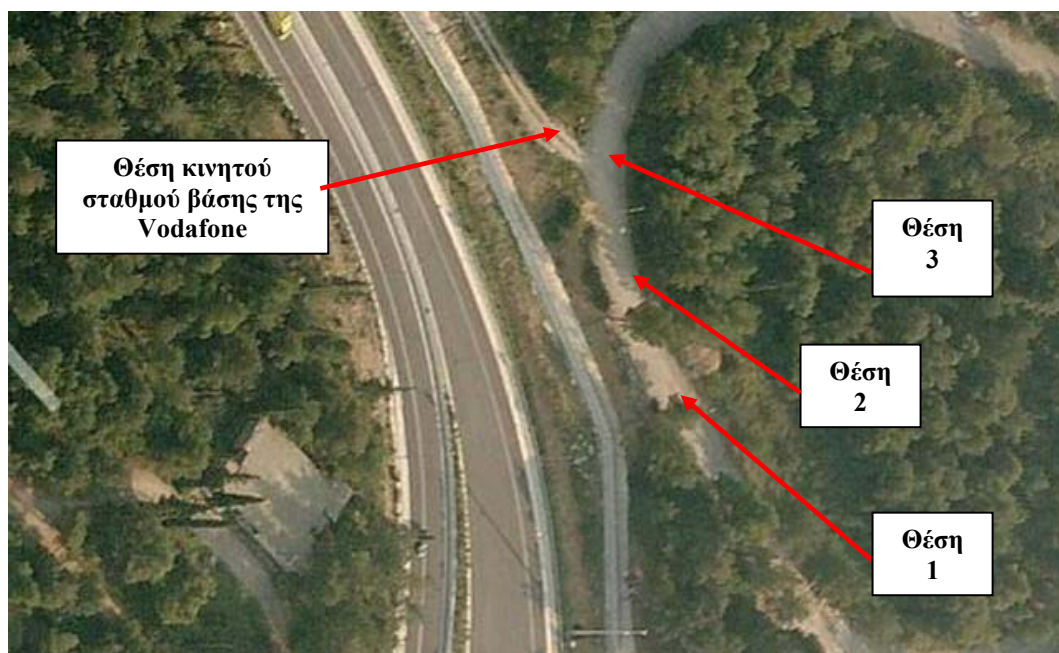
Οι μετρήσεις διεξήχθησαν σε δύο φάσεις :

- Στις 11/2/2010 στις εγκαταστάσεις του ΕΚΕΦΕ Δημόκριτος στο περιβάλλον κεραιοδιατάξεων αναμετάδοσης κινητής τηλεφωνίας και συγκεκριμένα ειδικής κινητής μονάδας βαν της εταιρίας Vodafone. Με την εναλλαγή των ζωνών συχνοτήτων εκπομπής του σταθμού βάσης προέκυψαν δύο διαφορετικά σενάρια μέτρησης, στο κάθε ένα από τα οποία έγιναν μετρήσεις σε τρεις θέσεις μέτρησης.
  - ο **Σενάριο Μέτρησης 1**: Ο σταθμός βάσης εξέπεμπε στη ζώνη συχνοτήτων της υπηρεσίας GSM .
  - ο **Σενάριο Μέτρησης 2**: Ο σταθμός βάσης εξέπεμπε στη ζώνη συχνοτήτων DCS και στη ζώνη συχνοτήτων UMTS.
- Στις 12/2/2010 στο Πάρκο Κεραιών Υμηττού στο περιβάλλον κεραιών εκπομπής ραδιοφωνίας και τηλεόρασης, όπου έγιναν μετρήσεις σε δύο θέσεις μέτρησης.
  - ο **Σενάριο Μέτρησης 3**: Οι πλησιέστερες κεραιοδιατάξεις εξέπεμπαν στη ζώνη συχνοτήτων FM και στη ζώνη συχνοτήτων TV UHF.

Στην ανάλυση που ακολουθεί ως σενάριο μέτρησης νοείται ο συνδυασμός τοποθεσίας μέτρησης (ΕΚΕΦΕ Δημόκριτος ή Πάρκο Κεραιών Υμηττού) και ζώνης συχνοτήτων, στην οποία εκπέμπουν οι κεραιοδιατάξεις στη συγκεκριμένη τοποθεσία (GSM ή DCS/UMTS ή FM/UHF TV), ενώ κάθε θέση μέτρησης αντιστοιχεί σε ένα σημείο με συγκεκριμένη οριζόντια απόσταση από την εκάστοτε κεραιοδιάταξη εκπομπής.

Σε κάθε θέση μέτρησης διενεργήθηκαν μετρήσεις σε τρία σημεία, ώστε να αντιστοιχούν στο χώρο που καταλαμβάνει το σώμα ενός υποτιθέμενου εκτεθειμένου ανθρώπου (βλ. και § 6.1.3.1 του προτύπου ΕΛΟΤ 1422-3). Κάθε εργαστήριο κατέγραψε σε κάθε θέση μέτρησης το χρονικό μέσο όρο της έντασης του ηλεκτρικού πεδίου σε τρία ύψη (1.1m, 1.5m και 1.7m). Σε κάθε σενάριο μέτρησης υπολογίζεται από αυτά τα πρωτογενή δεδομένα ο χωρικός μέσος όρος των τιμών της έντασης του ηλεκτρικού πεδίου για κάθε θέση μέτρησης και για κάθε συχνότητα. Αυτοί οι μέσοι όροι χρησιμοποιούνται, για να εξαχθούν οι συνολικοί λόγοι έκθεσης.

Στις φωτογραφίες και τα διαγράμματα που ακολουθούν φαίνονται οι ακριβείς θέσεις μέτρησης και οι θέσεις των κεραιοδιατάξεων εκπομπής στο χώρο του ΕΚΕΦΕ Δημόκριτος και στο Πάρκο Κεραιών Υμηττού.



**Εικόνα 5.1: Δορυφορική εικόνα της περιοχής μετρήσεων στην Αγία Παρασκευή για τα σενάρια μέτρησης 1 και 2**



**Εικόνα 5.2: Οι θέσεις λήψης μετρήσεων σε σχέση με την θέση του κινητού σταθμού βάσης της Vodafone για τα σενάρια μέτρησης 1 και 2**



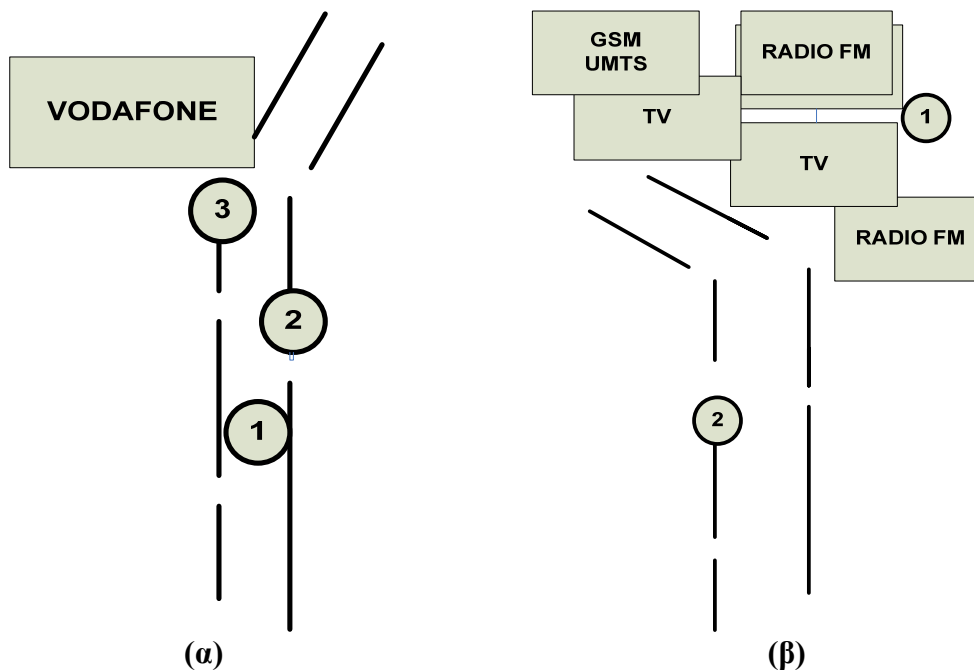
**Εικόνα 5.3: Δορυφορική εικόνα της περιοχής μετρήσεων στο πάρκο κεραιών του Υμηττού**



**Εικόνα 5.4: Πρώτη θέση μετρήσεων στον Υμηττό (στην είσοδο του πάρκου κεραιών)**



**Εικόνα 5.5: Δεύτερη θέση μετρήσεων στον Υμηττό (εντός του πάρκου κεραιών)**



**Εικόνα 5.6: Σχηματική απεικόνιση των θέσεων μέτρησης και των πλησιέστερων κεραιοδιατάξεων εκπομπής (α) στο χώρο του ΕΚΕΦΕ Δημόκριτος και (β) στο Πάρκο Κεραιών Υμηττού**

### 5.3 ΣΥΜΜΕΤΕΧΟΝΤΕΣ

Η πρόσκληση της ΕΕΑΕ απευθύνεται αφενός στα εργαστήρια που είναι διαπιστευμένα σύμφωνα με τις απαιτήσεις του προτύπου EN/ISO 17025:2005 για την πραγματοποίηση των εν λόγω μετρήσεων και αφετέρου στα εργαστήρια που πληρούν τις ακόλουθες ελάχιστες απαιτήσεις προσωπικού, οργάνων και διαδικασιών μέτρησης της έκθεσης του κοινού σε ηλεκτρομαγνητικά πεδία στο περιβάλλον σταθμών κεραιών :

1. Προσωπικό: Το προσωπικό που θα συμμετάσχει στην διαδικασία των διεργασηριακών μετρήσεων πρέπει να έχει εμπειρία στη μέτρηση των ηλεκτρομαγνητικών πεδίων στο περιβάλλον σταθμών κεραιών.
2. Όργανα: Τα όργανα που θα χρησιμοποιηθούν πρέπει να είναι βαθμονομημένα με πιστοποιητικό βαθμονόμησης σε ισχύ.
3. Διαδικασία Μέτρησης: Οι συμμετέχοντες πρέπει να εφαρμόζουν μία τουλάχιστον τυπική διαδικασία μέτρησης, με την οποία να εκτιμούν τον συνολικό λόγο έκθεσης σε ηλεκτρομαγνητική ακτινοβολία και την ανεπτυγμένη αβεβαιότητα αυτού.

4. Εσωτερικός Έλεγχος: Οι συμμετέχοντες πρέπει να εφαρμόζουν διαδικασίες εσωτερικού ελέγχου καλής λειτουργίας του εξοπλισμού τους.

Για κάθε έναν από αυτούς τους τομείς, βέβαια, θα πρέπει να εφαρμόζονται οι ειδικές αρχές που τίθενται στον προαναφερθέντα Κανονισμό της Κ.Υ.Α. (ΦΕΚ 346/Β/3-3-2008) και στα σχετικά διεθνή πρότυπα. Παρακάτω παρατίθενται τα συμμετέχοντα εργαστήρια κατά αλφαβητική σειρά:

- COSMOTE
- ΕΓΝΑΤΙΑ ΑΕΤΤΕΚ
- Ελληνική Επιτροπή Ατομικής Ενέργειας (ΕΕΑΕ)
- EMC ELLAS S.A
- ENCO Ltd
- Εργαστήριο Μη Ιοντιζουσών Ακτινοβολιών (ΕΜΙΑ) – ΤΕΙ Κρήτης
- FASMETRICS
- ΠΛΑΤΥΡΡΑΧΟΣ
- Πολυτεχνική Σχολή Πανεπιστημίου Κύπρου  
Τμήμα Ηλεκτρολόγων Μηχανικών και Μηχανικών Υπολογιστών  
Εργαστήριο Ηλεκτρομαγνητικών και Καινοτόμων Εφαρμογών
- Πολυτεχνική Σχολή Πανεπιστημίου Αιγαίου  
Τμήμα Μηχανικών Πληροφοριακών και Επικοινωνιακών Συστημάτων  
Εργαστήριο Συστημάτων Υπολογιστών και Επικοινωνιών
- ΣΑΜΑΡΤΖΗΣ
- SINE TECHNOLOGIES
- Σχολή Ηλεκτρολόγων Μηχανικών και Μηχανικών Υπολογιστών ΕΜΠ  
Εργαστήριο Βιοϊατρικών Προσομοιώσεων και Απεικονιστικής Τεχνολογίας (BioSim)
- Σχολή Ηλεκτρολόγων Μηχανικών και Μηχανικών Υπολογιστών ΕΜΠ  
Εργαστήριο Κινητών Ραδιοεπικοινωνιών (ΕΚΡ)
- Σχολή Θετικών και Εφαρμοσμένων Επιστημών Πανεπιστημίου Κύπρου  
Τμήμα Φυσικής  
Εργαστήριο Φυσικής Υψηλών Ενεργειών  
Εργαστήριο Πιστοποίησης και Επιτήρησης Φάσματος
- ΤΕΙ Πάτρας

- Υπουργείο Συγκοινωνιών και Έργων Κύπρου  
Τμήμα Ηλεκτρονικών Επικοινωνιών
- Vodafone
- WIND HELLAS

Ως μία μέτρηση της έκθεσης σε ηλεκτρομαγνητική ακτινοβολία νοείται ο μοναδικός συνδυασμός προσωπικού που χειρίζεται τα όργανα, εξοπλισμού μέτρησης και διαδικασίας μέτρησης που καταλήγουν στην συγκέντρωση όλων των απαραίτητων πρωτογενών στοιχείων σε κάθε θέση μέτρησης για τον υπολογισμό του συνολικού λόγου έκθεσης. Αν στο πρωτόκολλο μέτρησης του κάθε εργαστηρίου προβλέπεται η επανάληψη των μετρήσεων, π.χ. για λόγους στατιστικής επεξεργασίας των αποτελεσμάτων, όλες αυτές οι επαναλήψεις συμπεριλαμβάνονται στην ίδια μέτρηση. Αντίθετα, η επανάληψη μιας μέτρησης από διαφορετικό προσωπικό ή με άλλα όργανα ή ακολουθώντας διαφορετική διαδικασία μέτρησης θεωρείται ως άλλη μέτρηση και τα εργαστήρια που έχουν εφαρμόσει την εν λόγω πρακτική λαμβάνουν πολλούς κωδικούς, έναν για κάθε ομάδα μέτρησης.

Έτσι προκύπτουν τελικά κατά την επεξεργασία των μετρήσεων 31 “εργαστήρια”. Οι ομάδες μέτρησης έχουν χαρακτηριστεί με τυχαίο τρόπο ως Εργαστήρια 1-31. Η κάθε ομάδα γνωρίζει τον αριθμό της, αλλά δεν γνωρίζει τον αριθμό των υπολοίπων ομάδων.

#### **5.4 ΑΠΟΤΕΛΕΣΜΑΤΑ ΜΕΤΡΗΣΕΩΝ**

Το κάθε εργαστήριο παρουσίασε τα αποτελέσματά του σε δύο στάδια:

- Αμέσως μετά το πέρας των μετρήσεων ή εντός 3 ημερών παραδόθηκε μία φόρμα με τα πρωτογενή μεγέθη των μετρήσεων, δηλαδή τη μέση και τη μέγιστη τιμή της έντασης του ηλεκτρικού πεδίου ανά σενάριο μέτρησης, θέση μέτρησης ή/και σημείο-ύψος μέτρησης.
- Εντός 15 ημερών παραδόθηκαν τα τελικά αποτελέσματα, που σε κάθε περίπτωση περιλάμβαναν το συνολικό λόγο έκθεσης και τη διευρυμένη αβεβαιότητα αυτού ανά θέση και σενάριο μέτρησης.

Οι δύο φόρμες αποτελεσμάτων που κλήθηκαν να συμπληρώσουν τα εργαστήρια σύμφωνα με τις υποδείξεις του συντονιστή έχουν την εξής μορφή:

Επί τόπου ή παράδοση σε 3 ημέρες

Αύξων αριθμός Μέτρησης\* " : ...1...

Αριθμός Σεναρίου Μέτρησης	Αριθμός Θέσης Μέτρησης	Σημεία-Ύψη μέτρησης [m]	Αποτέλεσμα πρωτογενούς μεγέθους μέτρησης (π.χ. E σε V/m) συνολικά ανά θέση σε όλη τη μετρούμενη ζώνη συχνοτήτων ή/και ανά φασματική περιοχή/υψηλεσία	Διευρυμένη αβεβαιότητα πρωτογενούς μεγέθους μέτρησης συνολικά ανά θέση σε όλη τη μετρούμενη ζώνη συχνοτήτων **	Μέγιστη τιμή στη θέση μέτρησης

\*\* συμπληρώνεται προαιρετικά

\* Τα κάτωθι συμπληρώνονται για κάθε διαφορετική μέτρηση:

Χρονική διάρκεια μέτρησης:.....

Εξοπλισμός που χρησιμοποιήθηκε (επιγραμματακά): :.....

Ειδικές ρυθμίσεις εξοπλισμού:.....

Ειδικές θεωρήσεις:.....

Μετρούμενο εύρος συχνοτήτων:.....

Χειριστής:.....

Κωδ. Αριθμός Εργαστηρίου:.....



**Παράδοση σε 15 ημέρες**

**Αύξων αριθμός Μέτρησης\* ": ...1....**

<b>Αριθμός Σεναρίου Μέτρη- σης</b>	<b>Αριθμός Θέσης Μέτρη- σης</b>	<b>«Διορθωμένη- ανηγμένη» τιμή πρωτογενούς μεγέθους μέτρησης **</b>	<b>Λόγος έκθεσης ανά φασματική περιοχή/ υπηρεσία **</b>	<b>Διευρυμένη αβεβαιότητα Λόγου έκθεσης ανά φασματι- κή περιοχή/ υπηρεσία**</b>	<b>Συνολικός Λόγος έκθεσης (Λ)</b>	<b>Διευρυμένη αβεβαιότητα Συνολικού Λόγου έκθεσης</b>	<b>95 % δ.ε. Συνολικού Λόγου έκθεσης (ο Λ κυμαίνεται από ... έως ...)</b>

\*\* συμπληρώνονται προαιρετικά

\* Τα κάτωθι συμπληρώνονται για κάθε διαφορετική μέτρηση:

Χρονική διάρκεια μέτρησης:.....

Εξοπλισμός που χρησιμοποιήθηκε (επιγραμματικά): :.....

Ειδικές ρυθμίσεις εξοπλισμού:.....

Ειδικές θεωρήσεις:.....

Μετρούμενο εύρος συχνοτήτων:.....

Χειριστής:.....

Κωδ. Αριθμός Εργαστηρίου:.....

Η συγκεντρωτική παρουσίαση των μετρήσεων όλων των εργαστηρίων δεν είναι δυνατή στην παρούσα εργασία, λόγω του μεγάλου όγκου των δεδομένων. Πριν την επεξεργασία των αποτελεσμάτων, οι μετρήσεις χωρίζονται ανά εργαστήριο, τύπο οργάνων μέτρησης και κατά συνάφεια διαδικασίας μέτρησης, προκειμένου να αναλυθούν τα αποτελέσματα για κάθε θέση και σενάριο μέτρησης χωριστά.

## 5.5 ΕΠΕΞΕΡΓΑΣΙΑ ΜΕΤΡΗΣΕΩΝ

### 5.5.1 Επίπεδα δοκιμών

Λόγω της ανομοιογένειας των αποτελεσμάτων που έχουν παραδώσει τα εργαστήρια προβαίνουμε σε κατηγοριοποίηση των μετρήσεων σε επιμέρους επίπεδα δοκιμής, ώστε να μπορούμε να εισάγουμε στον ανθεκτικό αλγόριθμο για τον υπολογισμό των z scores απόλυτα ομοειδή και συγκρίσιμα μεγέθη. Ο προσδιορισμός κάθε επιμέρους επιπέδου δοκιμής γίνεται βάσει των εξής στοιχείων:

- μετρούμενο μέγεθος (ένταση ηλεκτρικού πεδίου E ή λόγος έκθεσης Λ)
- σενάριο μέτρησης
- θέση μέτρησης ή θέση και ύψος μέτρησης
- πρόκειται για τη μέση (AVG) ή τη μέγιστη (MAX) τιμή του μεγέθους
- πρόκειται για μέτρηση συνολικά σε όλο το εύρος ζώνης (TOT) ή μόνο σε κάποια επιμέρους φασματική περιοχή

Επομένως, για τα διάφορα σενάρια μέτρησης το κάθε αποτέλεσμα εντάσσεται σε μία από τις παρακάτω ομάδες δεδομένων:

A/A	ΠΕΡΙΓΡΑΦΗ ΚΑΤΗΓΟΡΙΑΣ
1	Λ TOT ANA ΘΕΣΗ ΜΕΤΡΗΣΗΣ
2	Λ TOT ANA ΘΕΣΗ ΚΑΙ ΥΨΟΣ ΜΕΤΡΗΣΗΣ
3	Λ ANA ΦΑΣΜΑΤΙΚΗ ΠΕΡΙΟΧΗ ΚΑΙ ΘΕΣΗ ΜΕΤΡΗΣΗΣ
4	Λ ANA ΦΑΣΜΑΤΙΚΗ ΠΕΡΙΟΧΗ, ΘΕΣΗ ΚΑΙ ΥΨΟΣ ΜΕΤΡΗΣΗΣ
5	E TOT AVG ANA ΘΕΣΗ ΜΕΤΡΗΣΗΣ
6	E TOT AVG ANA ΘΕΣΗ ΚΑΙ ΥΨΟΣ ΜΕΤΡΗΣΗΣ
7	E TOT MAX ANA ΘΕΣΗ ΜΕΤΡΗΣΗΣ
8	E TOT MAX ANA ΘΕΣΗ ΚΑΙ ΥΨΟΣ ΜΕΤΡΗΣΗΣ

9	Ε AVG ΑΝΑ ΦΑΣΜΑΤΙΚΗ ΠΕΡΙΟΧΗ ΚΑΙ ΘΕΣΗ ΜΕΤΡΗΣΗΣ
10	Ε AVG ΑΝΑ ΦΑΣΜΑΤΙΚΗ ΠΕΡΙΟΧΗ, ΘΕΣΗ ΚΑΙ ΥΨΟΣ ΜΕΤΡΗΣΗΣ
11	Ε MAX ΑΝΑ ΦΑΣΜΑΤΙΚΗ ΠΕΡΙΟΧΗ ΚΑΙ ΘΕΣΗ ΜΕΤΡΗΣΗΣ
12	Ε MAX ΑΝΑ ΦΑΣΜΑΤΙΚΗ ΠΕΡΙΟΧΗ, ΘΕΣΗ ΚΑΙ ΥΨΟΣ ΜΕΤΡΗΣΗΣ

### Πίνακας 5.1 Κατηγορίες επιπέδων δοκιμής

Για τις κατηγορίες 1, 4 και 12 δεν έχουν υπολογιστεί z scores, διότι δεν έχουν δοθεί αποτελέσματα από επαρκή αριθμό εργαστηρίων (τουλάχιστον 4 εργαστήρια, όπως θα αναφερθεί και παρακάτω).

#### 5.5.2 Φασματικές περιοχές

Ένας επιπρόσθετος παράγοντας ανομοιομορφίας των μετρήσεων είναι τα διαφορετικά όρια των φασματικών περιοχών που έχει χρησιμοποιήσει κάθε εργαστήριο. Προκειμένου να αξιοποιηθούν όσο το δυνατόν περισσότερες μετρήσεις ομαδοποιούμε τις φασματικές περιοχές, σύμφωνα με την ακόλουθη λογική:

Επιλέγουμε τις φασματικές περιοχές που σχετίζονται με τις κυριότερες τηλεπικοινωνιακές υπηρεσίες. Εξετάζουμε για κάθε υπηρεσία τα επιμέρους φασματικά όρια του κάθε εργαστηρίου. Αποδίδουμε σε κάθε φασματική περιοχή εκείνα τα όρια που είναι κοινά στα περισσότερα εργαστήρια και που δεν οδηγούν σε επικάλυψη με άλλες φασματικές περιοχές. Έτσι προκύπτει ο εξής διαχωρισμός φασματικών περιοχών:

Υπηρεσία	Φασματική Περιοχή (MHz)	
	από	έως
Radio FM	75	108
VHF (Com+TV)	108	300
TETRA	300	450
TV UHF	460	880
GSM 900	880	1000
DCS 1800	1700	1900
UMTS	1900	2200

After	2200	3000
Others	-	-

**Πίνακας 5.2 Φασματικές περιοχές**

<b>Υπηρεσία</b>	<b>Παρατηρήσεις</b>
Radio FM	Ραδιοφωνικές εκπομπές στην περιοχή των FM
VHF (Com+TV)	Επικοινωνίες και Τηλεοπτικές εκπομπές στη φασματική περιοχή VHF
TETRA	Ενδοεπικοινωνίες ιδιωτικών δικτύων και δικτύων σωμάτων ασφαλείας
TV UHF	Τηλεοπτικές εκπομπές στη φασματική περιοχή UHF
GSM 900	Εκπομπές σταθμών βάσης κινητής τηλεφωνίας στο σύστημα GSM 900
DCS 1800	Εκπομπές κινητής τηλεφωνίας στο σύστημα DCS 1800
UMTS	Εκπομπές κινητής τηλεφωνίας στο σύστημα UMTS
After	Εκπομπές κεραιοδιατάξεων Wi-Fi και μικροκυματικών κεραιών
Others	Οι υπόλοιπες περιοχές συχνοτήτων στο συνολικό μετρούμενο εύρος ζώνης

**Πίνακας 5.3 Εφαρμογές-υπηρεσίες ανά φασματική περιοχή**

### 5.5.3 Ειδικές θεωρήσεις

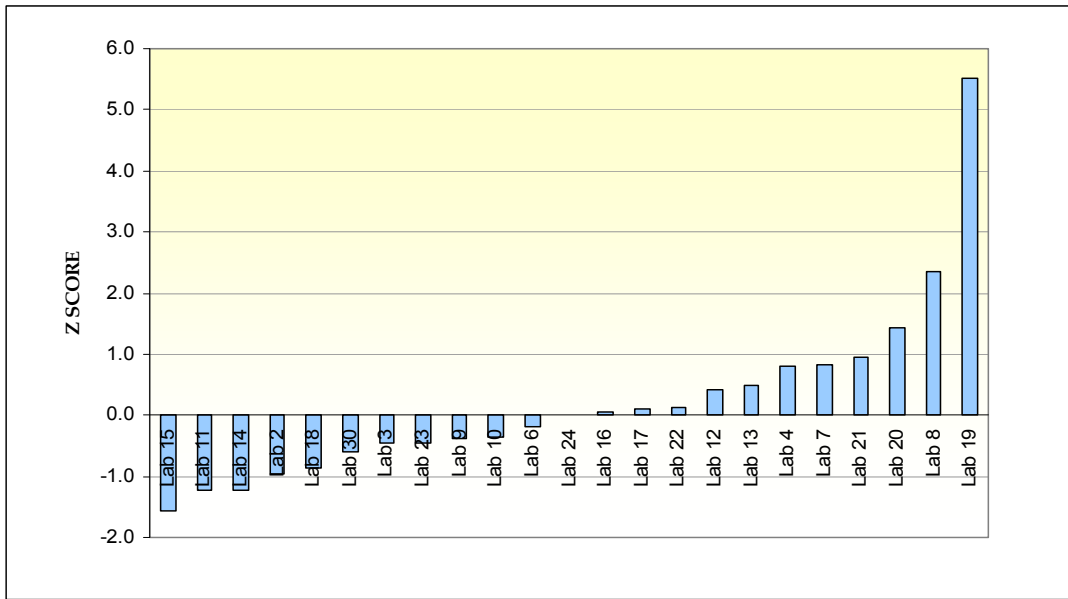
Η μορφή των αποτελεσμάτων και η ανάγκη για τη σωστή αξιοποίησή τους στην κατεύθυνση της αντικειμενικής αξιολόγησης των εργαστηρίων υπαγορεύει την εφαρμογή ορισμένων βασικών αρχών και παραδοχών κατά την επεξεργασία των μετρήσεων:

- Προχωρούμε στον υπολογισμό των z scores σε κάθε επίπεδο δοκιμών, εάν έχουν δώσει αποτελέσματα τουλάχιστον 4 εργαστήρια. Η επιλογή αυτή εξυπηρετεί την όσο το δυνατόν λεπτομερέστερη αξιολόγηση των εργαστηρίων, ειδικά εκείνων που συμμετέχουν σε μικρό αριθμό επιμέρους δοκιμών.
- Σε κάθε επίπεδο δοκιμών συμμετέχουν στον υπολογισμό των z scores μόνο όσα εργαστήρια έχουν δώσει μετρήσεις. Τα υπόλοιπα εργαστήρια αγνοούνται. Αυτό σημαίνει ότι το πλήθος των z scores που θα λάβει κάθε εργαστήριο εξαρτάται από τη μορφή των αποτελεσμάτων που έχει δώσει και ότι σε κάθε πίνακα υπολογισμού των z scores συμμετέχει διαφορετικός αριθμός εργαστηρίων.

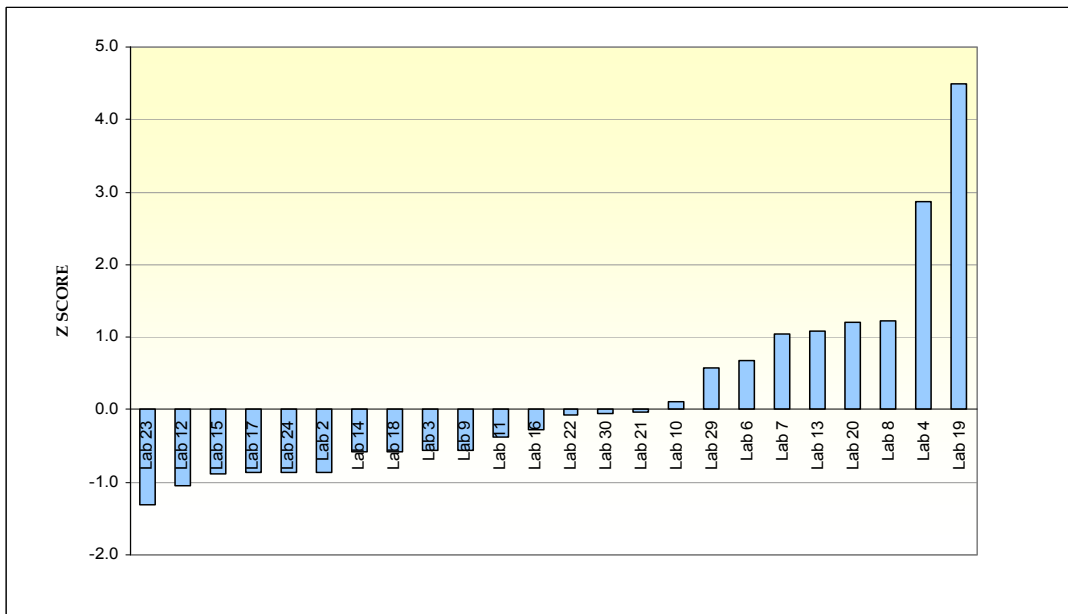
- Εάν ένα εργαστήριο έχει μετρήσει μόνο σε ένα ύψος ανά θέση μέτρησης, τότε θεωρούμε προφανώς ότι το αποτέλεσμα αυτό ισχύει και για ολόκληρη τη θέση μέτρησης και συμμετέχει στα z scores του μεγέθους ανά θέση μέτρησης. Θεωρούμε, δηλαδή, ότι η επιλογή των σημείων που θα αντιπροσωπεύουν κάθε θέση μέτρησης σχετίζεται με την ακρίβεια που επιδιώκει το κάθε εργαστήριο για τις μετρήσεις του και επομένως εντάσσεται στην υπό αξιολόγηση μέθοδο μέτρησης του εργαστηρίου.
- Εάν ένα εργαστήριο έχει δώσει τη μέγιστη τιμή ενός μεγέθους ανά ύψος σε κάθε θέση μέτρησης, τότε θεωρούμε ότι το μέγιστο αυτών των αποτελεσμάτων αποτελεί και τη μέγιστη τιμή του μεγέθους για ολόκληρη τη θέση μέτρησης. Σε αντίθεση με την avg τιμή, η οποία πρέπει να είναι μεσοσταθμισμένη (χωρικός μέσος όρος των επιμέρους χρονικών μέσων όρων ανά ύψος), η μέγιστη τιμή είναι μια στιγμιαία ένδειξη που εμφανίζεται σε ένα ύψος.
- Η μόνη παρέμβαση που πραγματοποιούμε στις μετρήσεις είναι η συνένωση αποτελεσμάτων σε περιπτώσεις, όπου δύο επιμέρους φασματικές περιοχές του εκάστοτε εργαστηρίου εμπεριέχονται στα όρια μιας από τις φασματικές περιοχές του Πίνακα 5.1. Συγκεκριμένα, όταν πρόκειται για το λόγο έκθεσης, αθροίζουμε τους επιμέρους λόγους έκθεσης, ενώ αν πρόκειται για το ηλεκτρικό πεδίο, η συνολική ένταση προκύπτει από την τετραγωνική ρίζα του αθροίσματος των τετραγώνων των επιμέρους εντάσεων.

## 5.6 Z SCORES

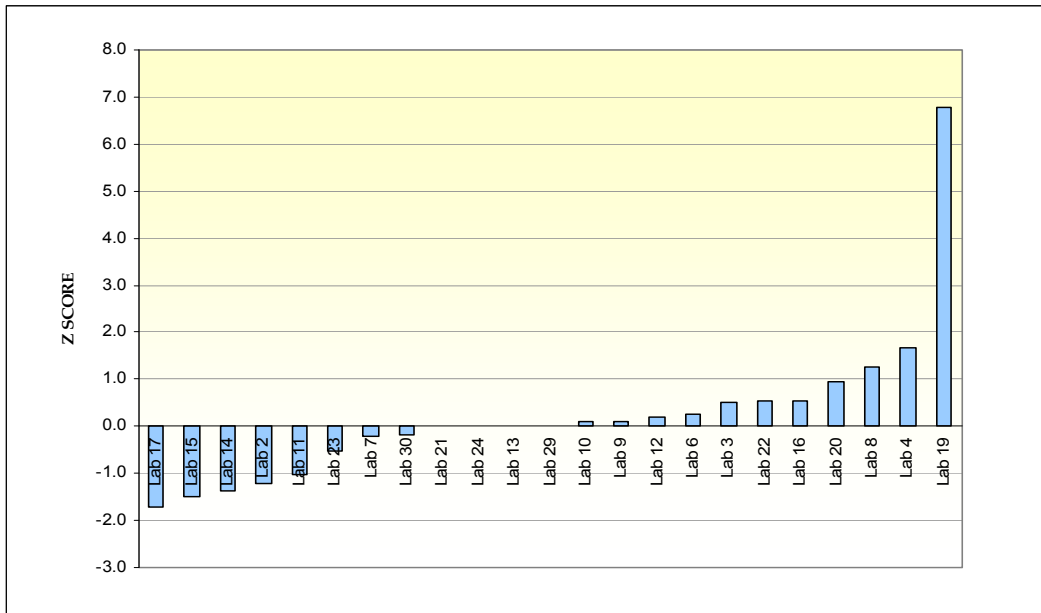
Όσον αφορά στον αλγόριθμο υπολογισμού των z scores, η επεξεργασία των δεδομένων έχει γίνει σύμφωνα με τη μέθοδο που περιγράφεται στο κεφάλαιο 3. Για λόγους συντομίας παρουσιάζουμε εδώ μόνο τα ραβδογράμματα των z scores σε κάθε επιμέρους επίπεδο δοκιμών. Οι πλήρεις πίνακες υπολογισμού με τον επαναληπτικό ανθεκτικό αλγόριθμο και τα z scores σε αύξουσα σειρά παρατίθενται στο Παράρτημα μαζί με σημειώσεις για την κατά περίπτωση επεξεργασία ή επιλογή των δεδομένων, ώστε να γνωρίζει κάθε εργαστήριο ποια δεδομένα του έχουν χρησιμοποιηθεί στην εκάστοτε σύγκριση.



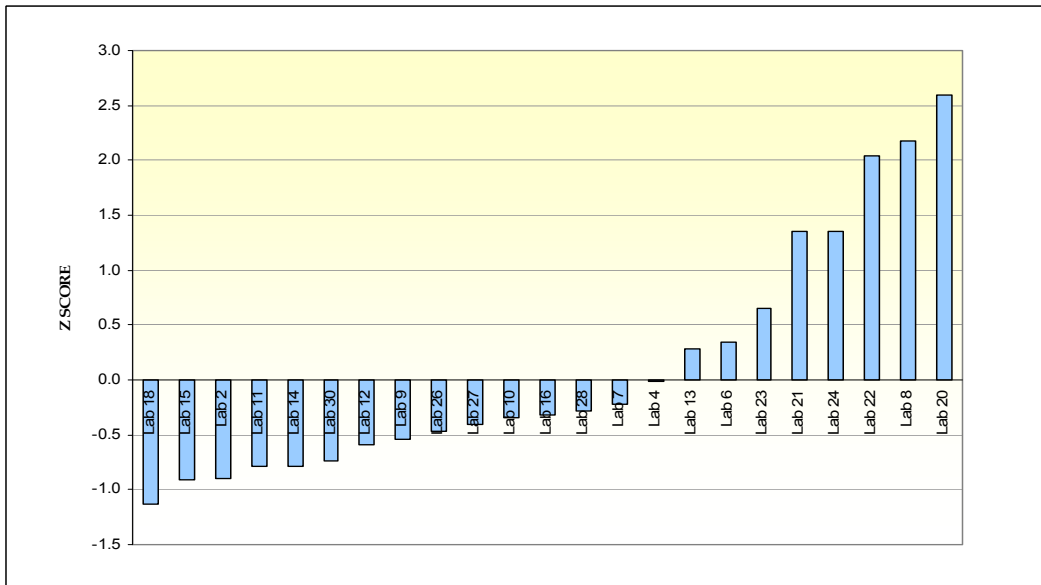
**Διάγραμμα 5.1** Συνολικός λόγος έκθεσης:  
Σενάριο μέτρησης 1, Θέση μέτρησης 1



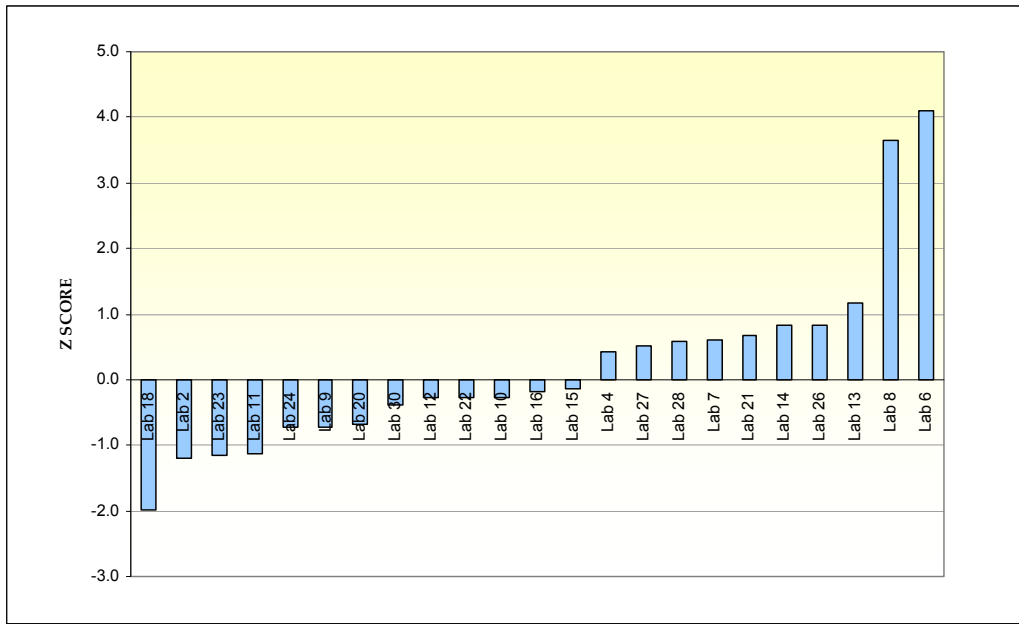
**Διάγραμμα 5.2** Συνολικός λόγος έκθεσης:  
Σενάριο μέτρησης 1, Θέση μέτρησης 2



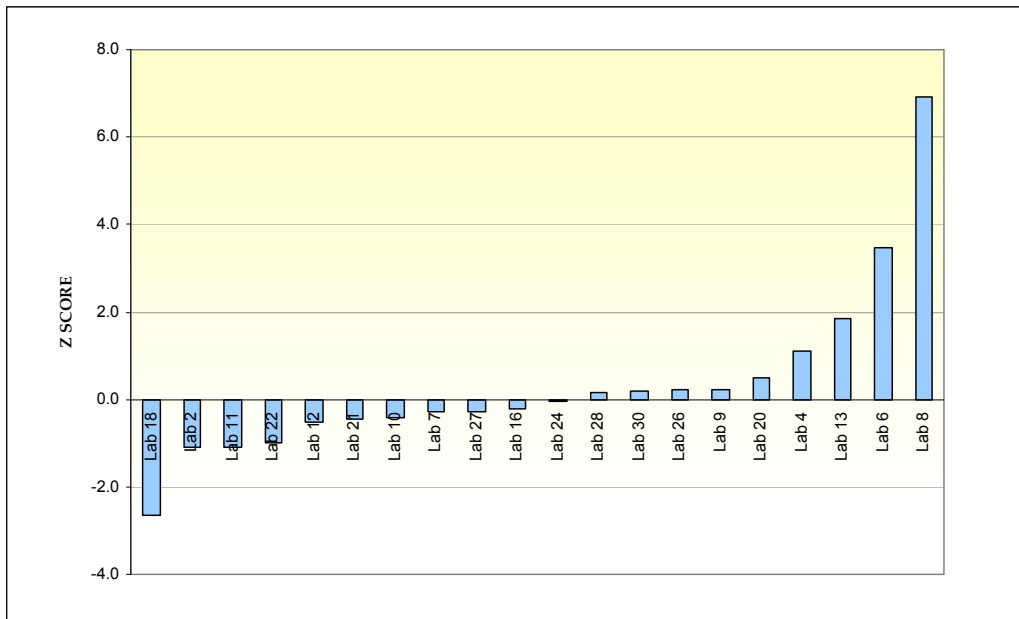
**Διάγραμμα 5.3** Συνολικός λόγος έκθεσης:  
Σενάριο μέτρησης 1, Θέση μέτρησης 3



**Διάγραμμα 5.4** Συνολικός λόγος έκθεσης:  
Σενάριο μέτρησης 2, Θέση μέτρησης 1

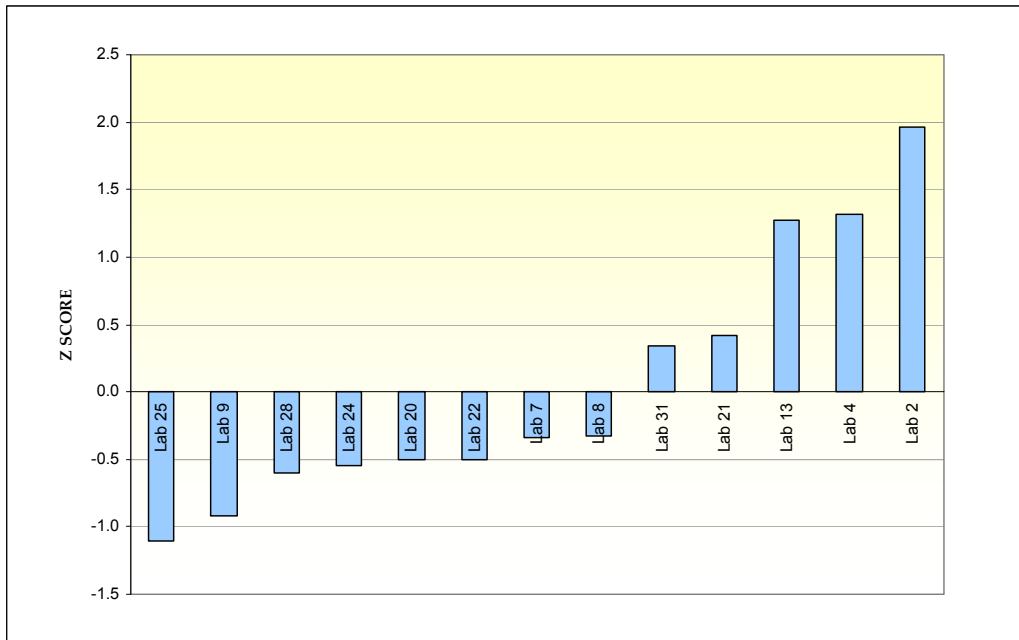


**Διάγραμμα 5.5** Συνολικός λόγος έκθεσης:  
Σενάριο μέτρησης 2, Θέση μέτρησης 2

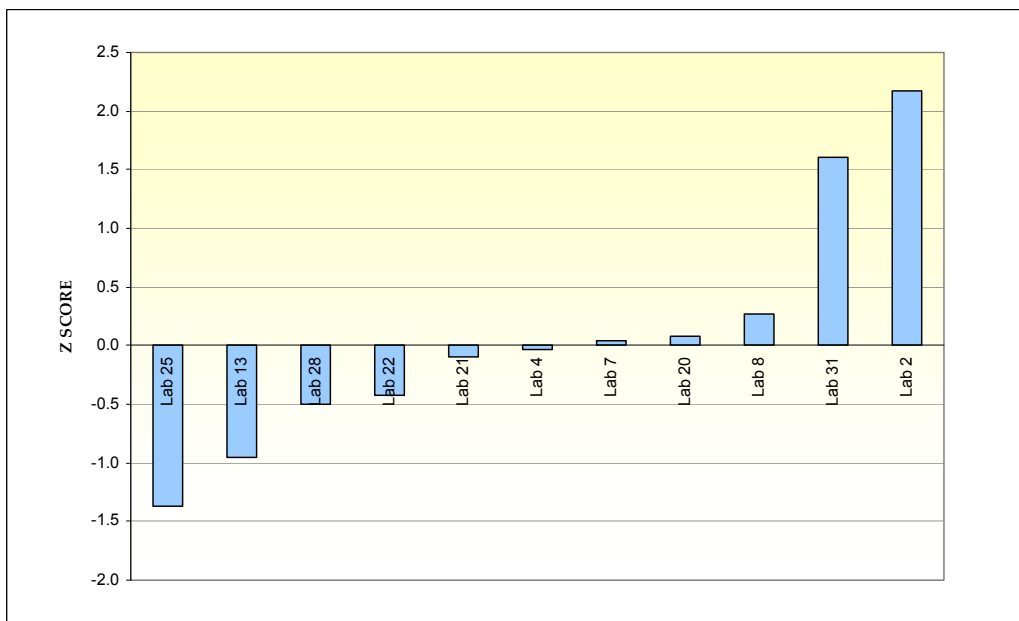


**Διάγραμμα 5.6** Συνολικός λόγος έκθεσης:  
Σενάριο μέτρησης 2, Θέση μέτρησης 3

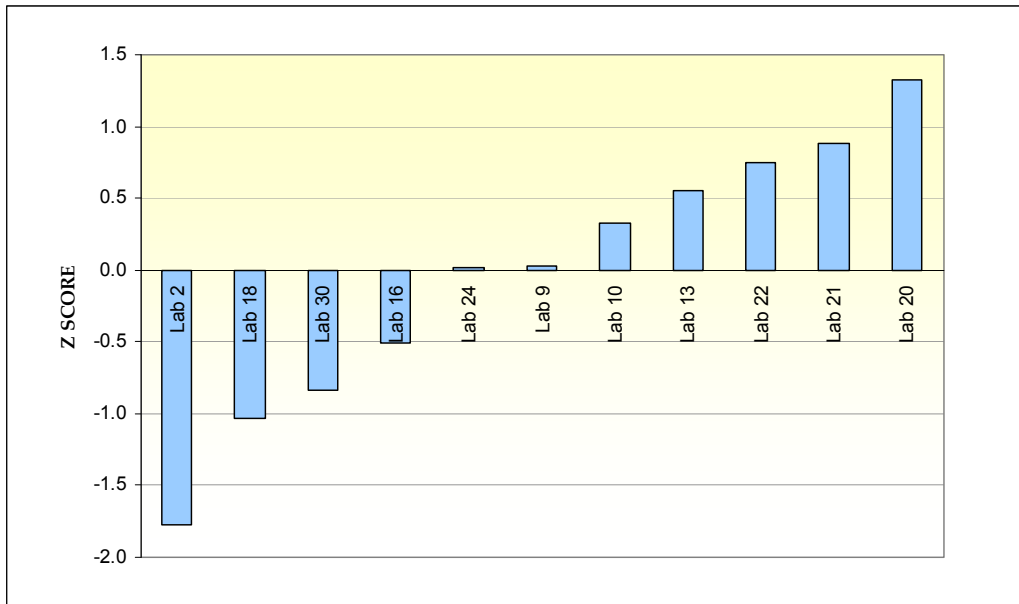




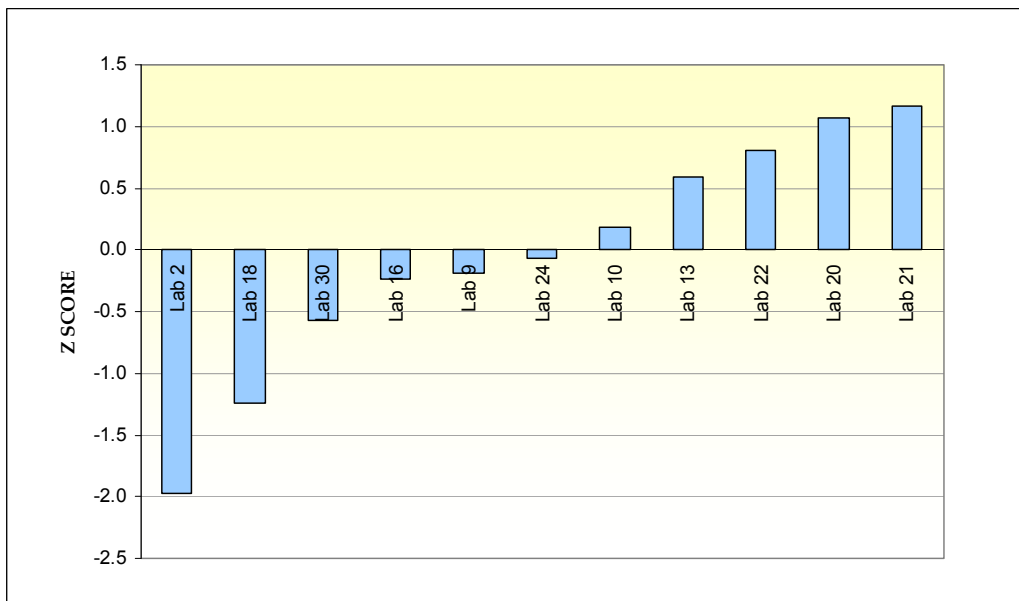
**Διάγραμμα 5.7** Συνολικός λόγος έκθεσης:  
Σενάριο μέτρησης 3, Θέση μέτρησης 1



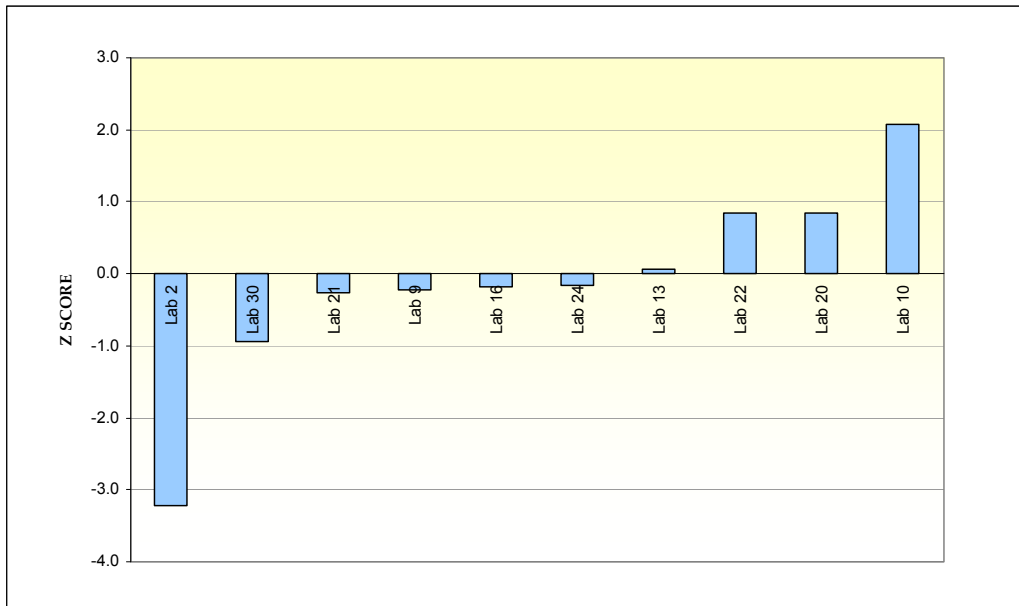
**Διάγραμμα 5.8** Συνολικός λόγος έκθεσης:  
Σενάριο μέτρησης 3, Θέση μέτρησης 2



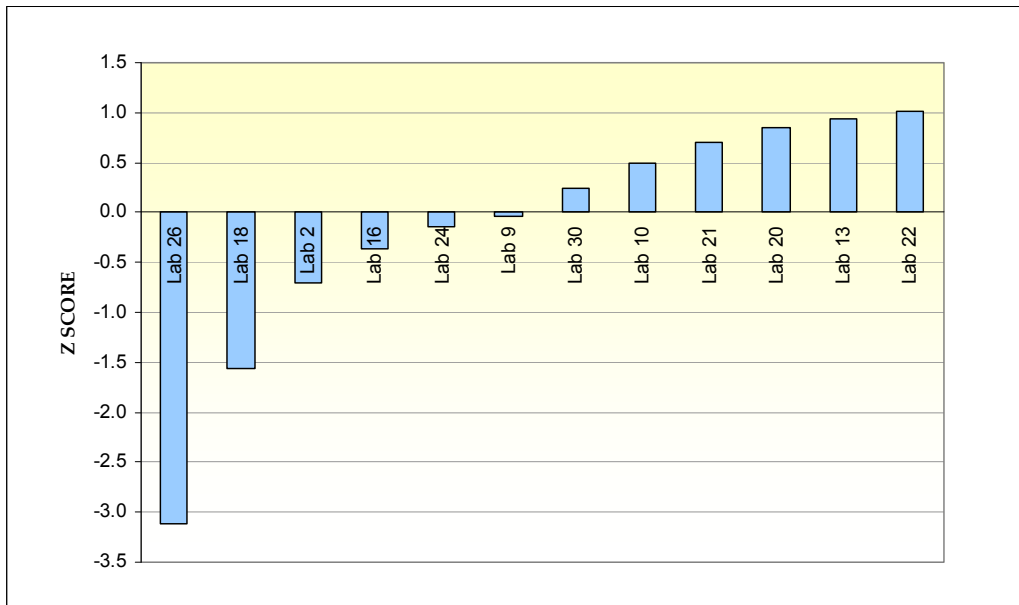
**Διάγραμμα 5.9** Λόγος έκθεσης στη φασματική περιοχή FM(75-108MHz):  
Σενάριο μέτρησης 1, Θέση μέτρησης 1



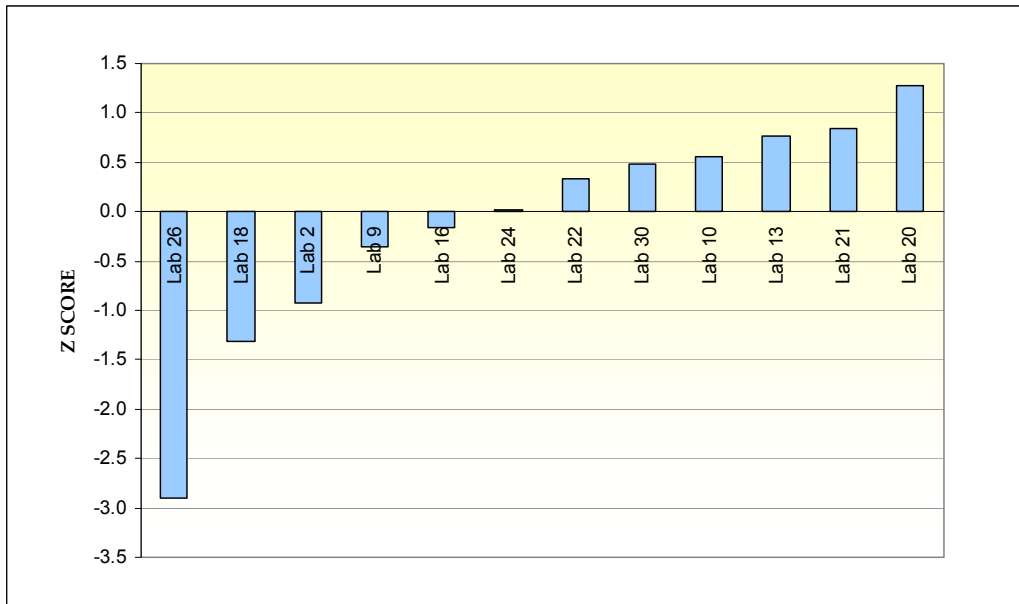
**Διάγραμμα 5.10** Λόγος έκθεσης στη φασματική περιοχή FM(75-108MHz):  
Σενάριο μέτρησης 1, Θέση μέτρησης 2



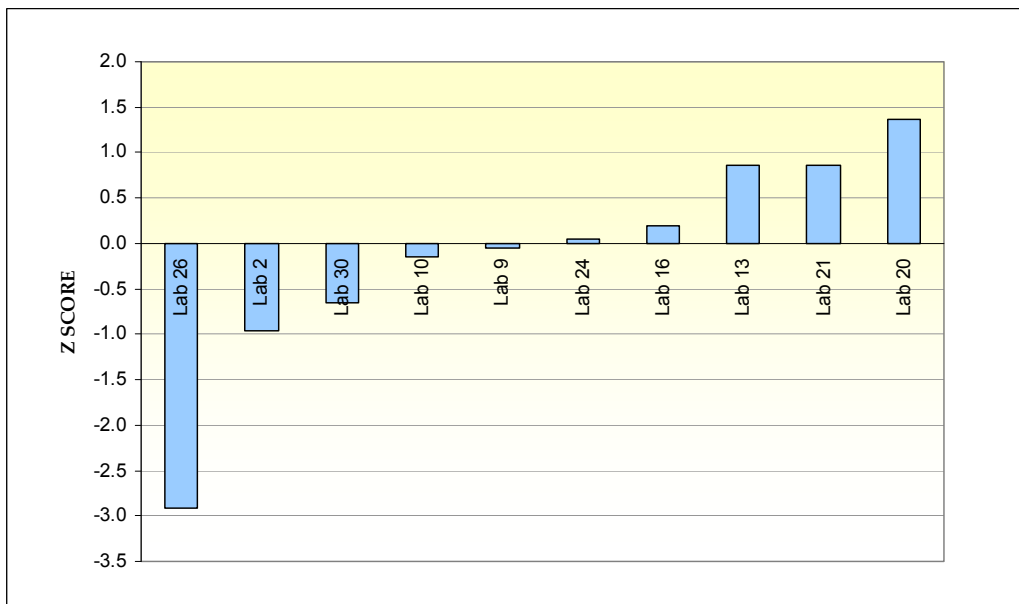
**Διάγραμμα 5.11** Λόγος έκθεσης στη φασματική περιοχή FM(75-108MHz):  
Σενάριο μέτρησης 1, Θέση μέτρησης 3



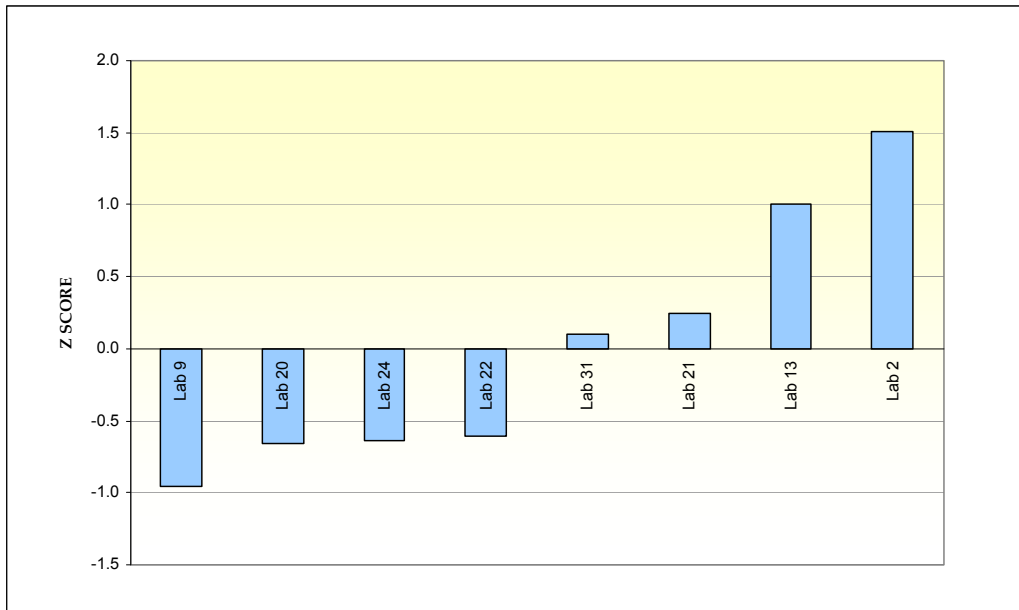
**Διάγραμμα 5.12** Λόγος έκθεσης στη φασματική περιοχή FM(75-108MHz):  
Σενάριο μέτρησης 2, Θέση μέτρησης 1



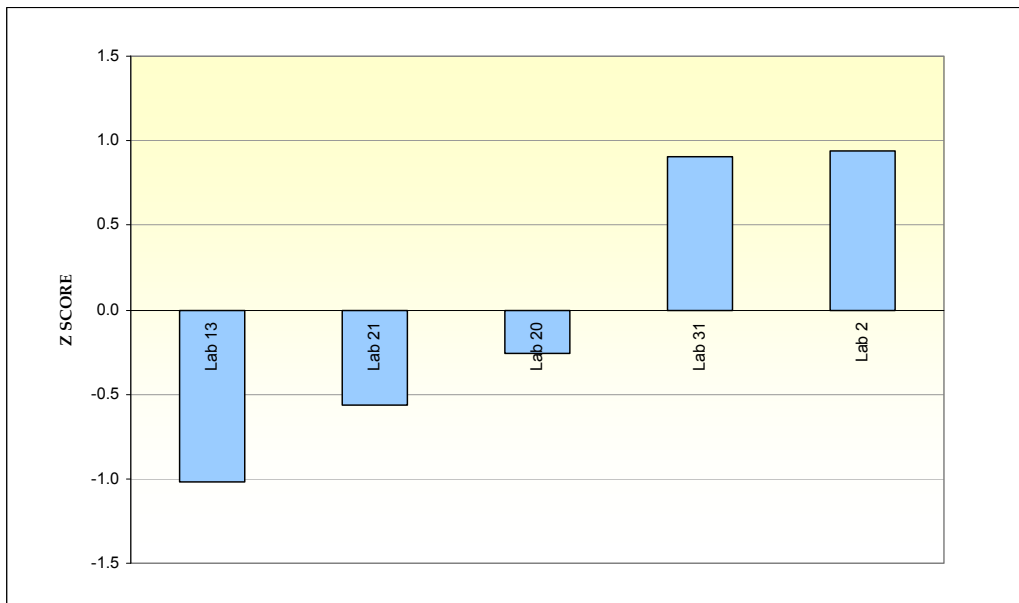
**Διάγραμμα 5.13** Λόγος έκθεσης στη φασματική περιοχή FM(75-108MHz):  
Σενάριο μέτρησης 2, Θέση μέτρησης 2



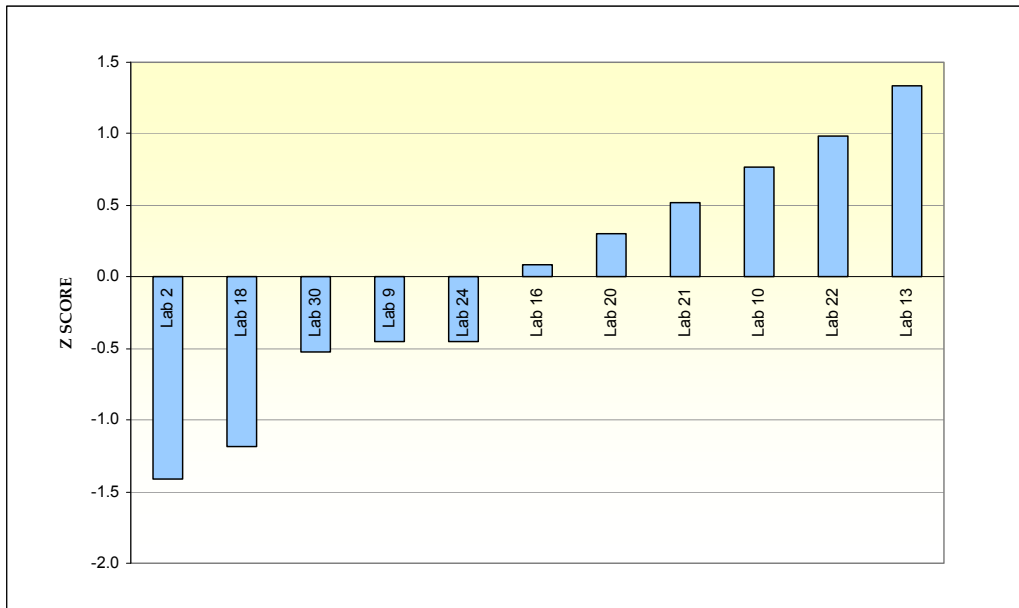
**Διάγραμμα 5.14** Λόγος έκθεσης στη φασματική περιοχή FM(75-108MHz):  
Σενάριο μέτρησης 2, Θέση μέτρησης 3



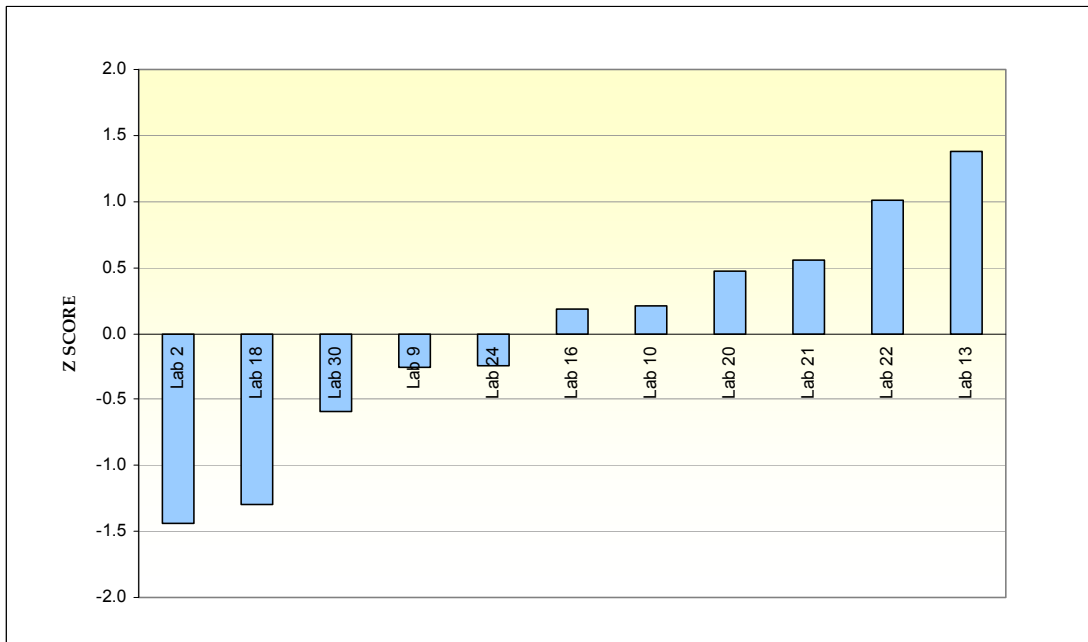
**Διάγραμμα 5.15** Λόγος έκθεσης στη φασματική περιοχή FM(75-108MHz):  
Σενάριο μέτρησης 3, Θέση μέτρησης 1



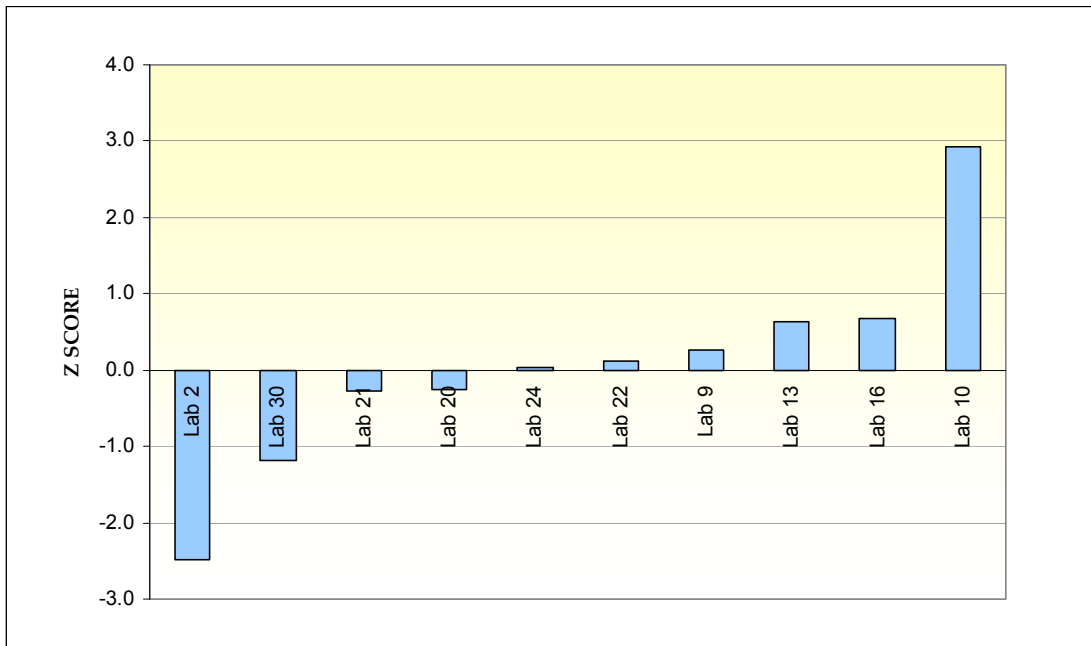
**Διάγραμμα 5.16** Λόγος έκθεσης στη φασματική περιοχή FM(75-108MHz):  
Σενάριο μέτρησης 3, Θέση μέτρησης 2



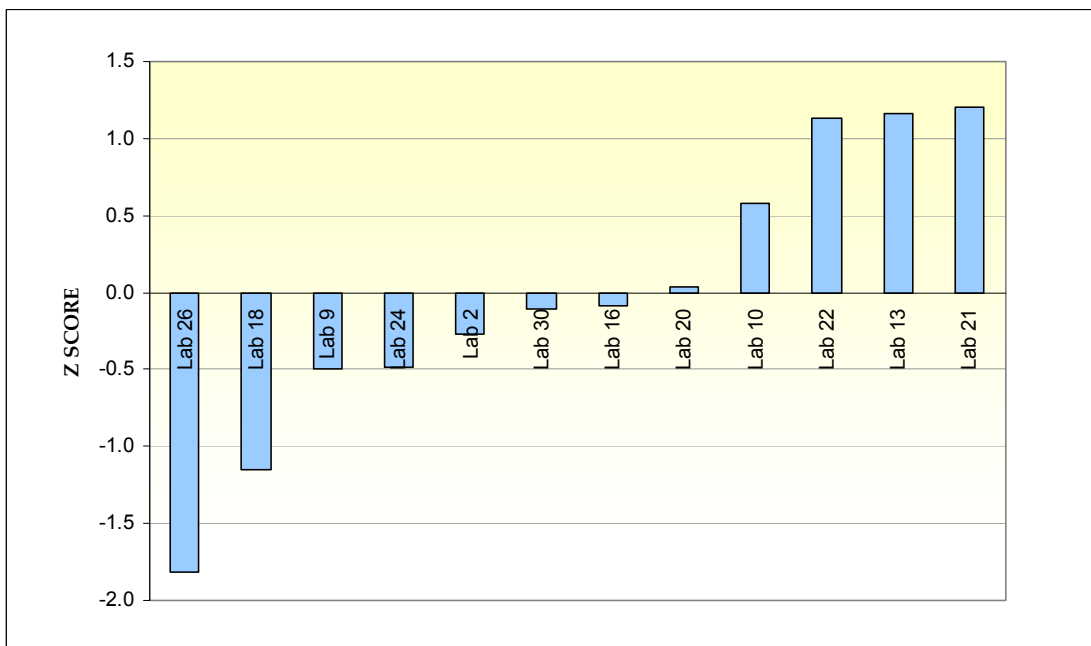
**Διάγραμμα 5.17** Λόγος έκθεσης στη φασματική περιοχή VHF TV(108-300MHz): Σενάριο μέτρησης 1, Θέση μέτρησης 1



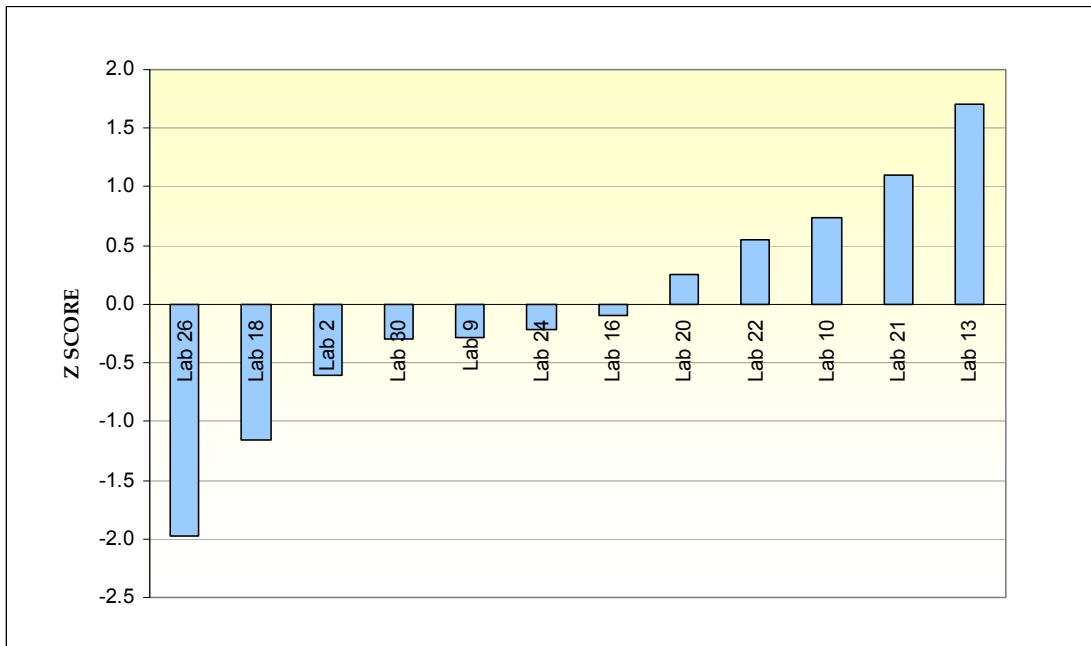
**Διάγραμμα 5.18** Λόγος έκθεσης στη φασματική περιοχή VHF TV(108-300MHz): Σενάριο μέτρησης 1, Θέση μέτρησης 2



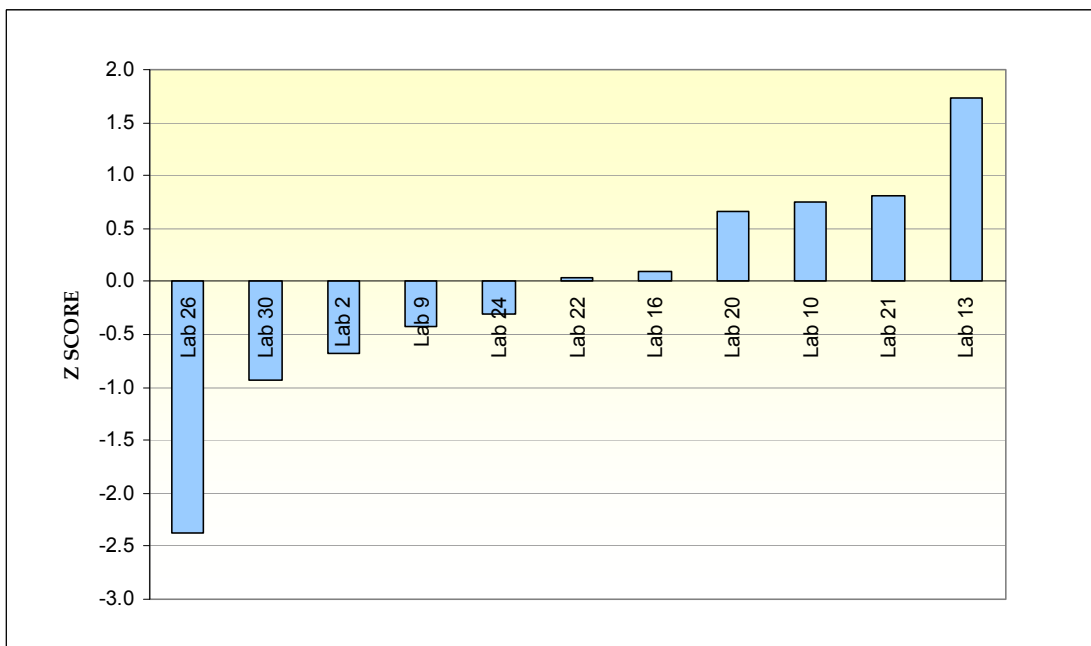
**Διάγραμμα 5.19** Λόγος έκθεσης στη φασματική περιοχή VHF TV(108-300MHz): Σενάριο μέτρησης 1, Θέση μέτρησης 3



**Διάγραμμα 5.20** Λόγος έκθεσης στη φασματική περιοχή VHF TV(108-300MHz): Σενάριο μέτρησης 2, Θέση μέτρησης 1

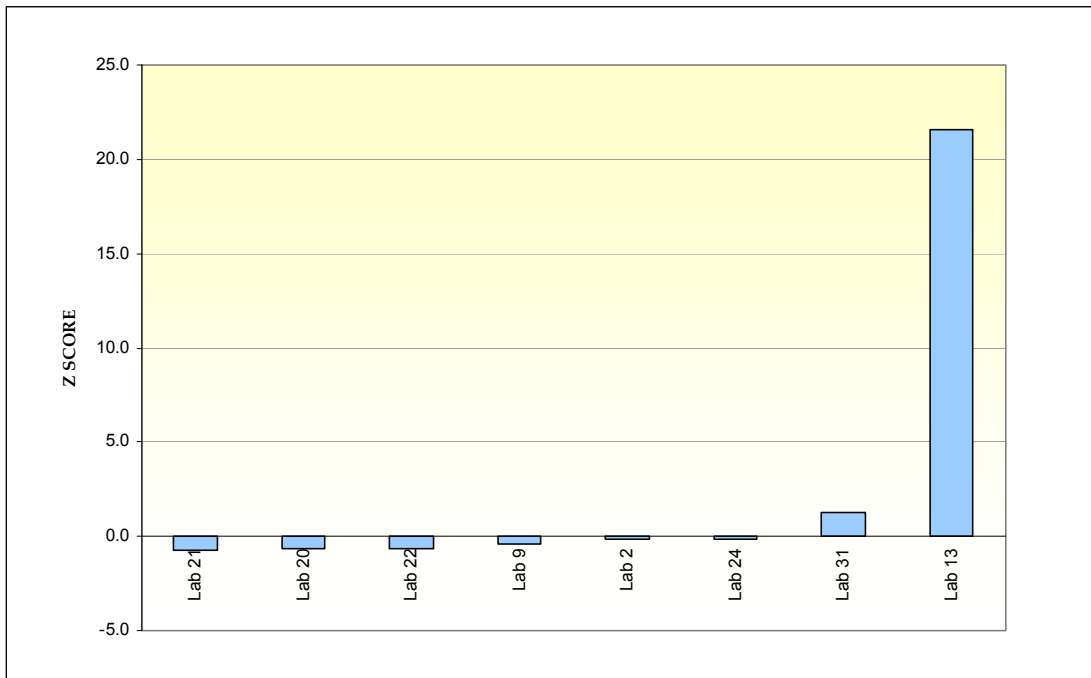


**Διάγραμμα 5.21** Λόγος έκθεσης στη φασματική περιοχή VHF TV(108-300MHz): Σενάριο μέτρησης 2, Θέση μέτρησης 2

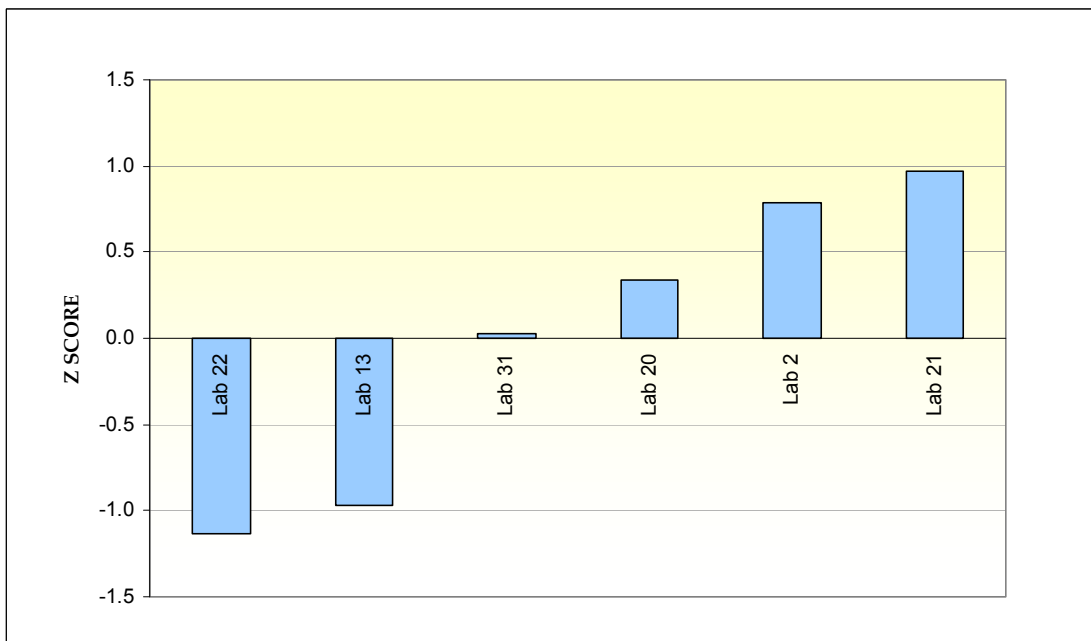


**Διάγραμμα 5.22** Λόγος έκθεσης στη φασματική περιοχή VHF TV(108-300MHz): Σενάριο μέτρησης 2, Θέση μέτρησης 3

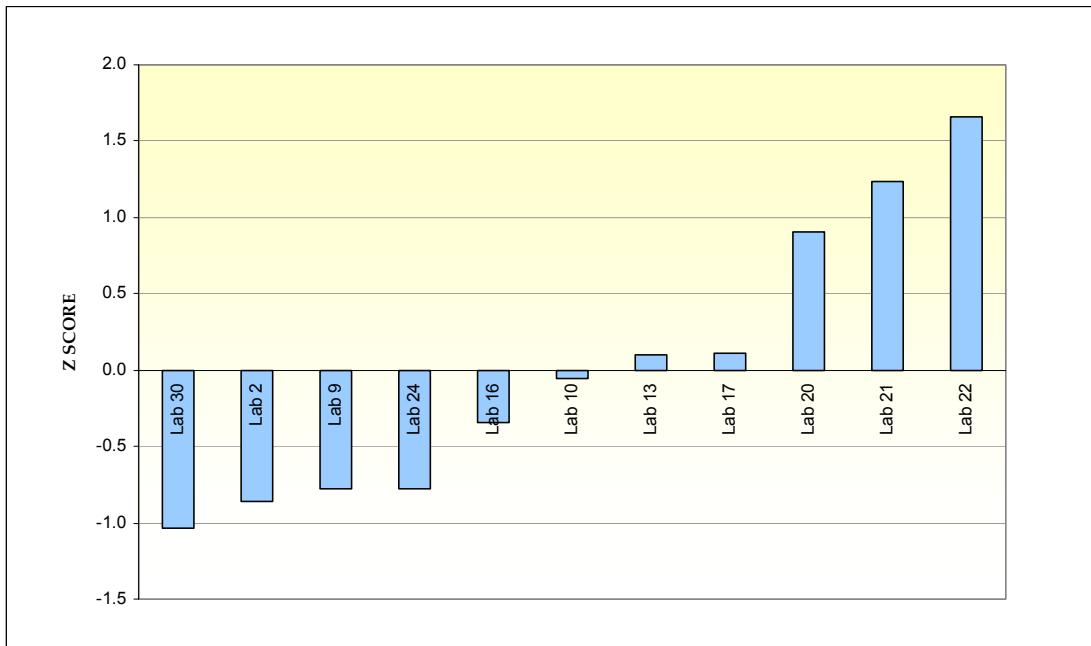




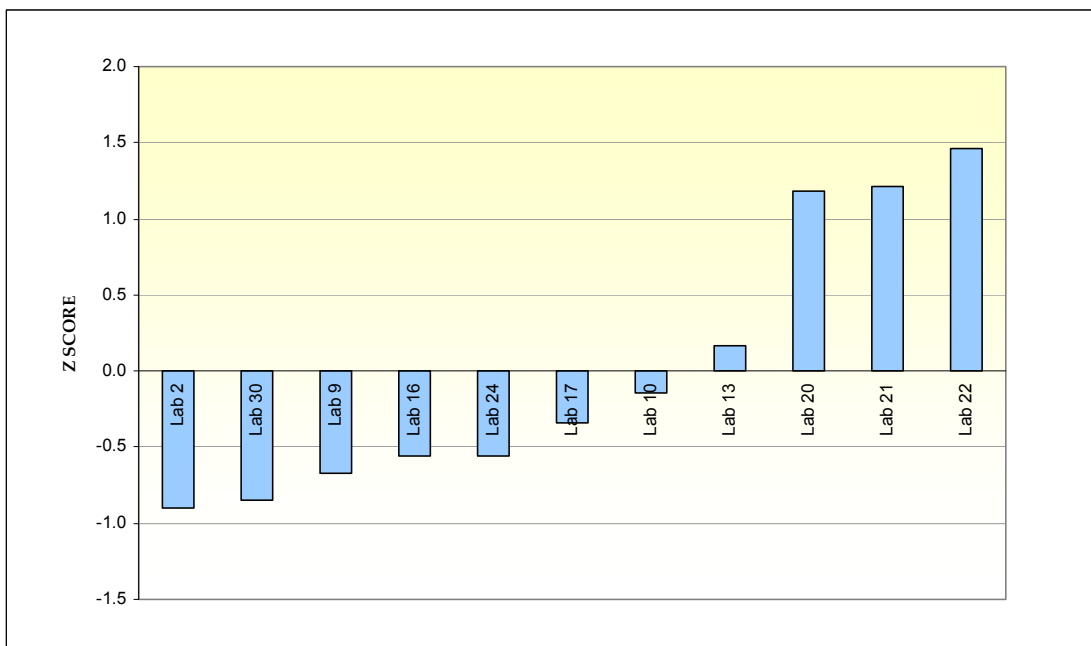
**Διάγραμμα 5.23** Λόγος έκθεσης στη φασματική περιοχή VHF TV(108-300MHz): Σενάριο μέτρησης 3, Θέση μέτρησης 1



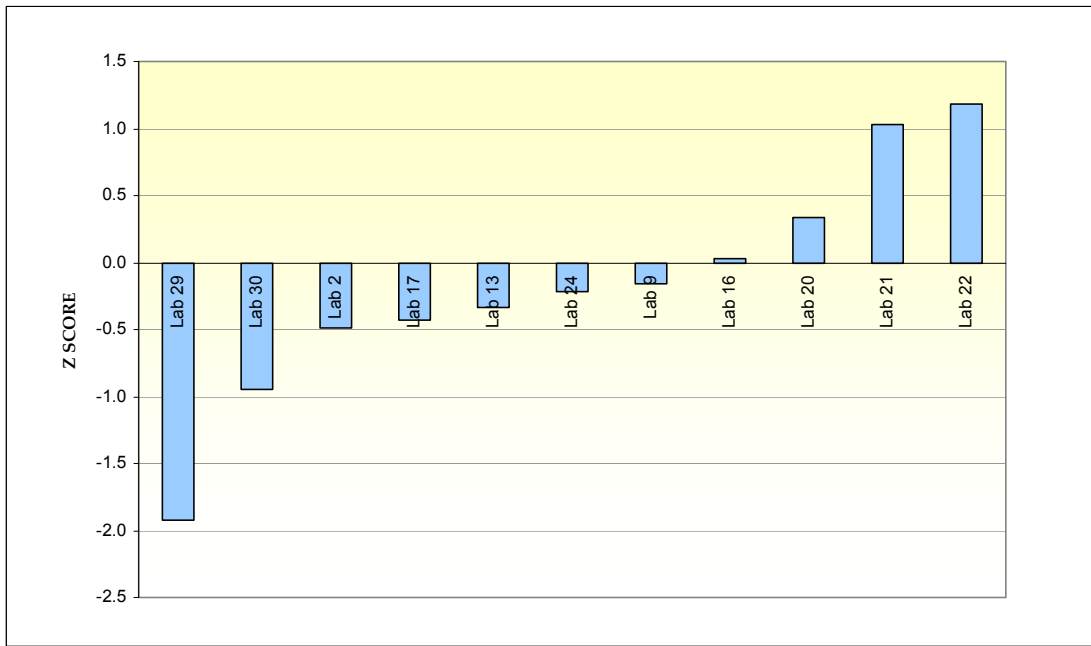
**Διάγραμμα 5.24** Λόγος έκθεσης στη φασματική περιοχή VHF TV(108-300MHz): Σενάριο μέτρησης 3, Θέση μέτρησης 2



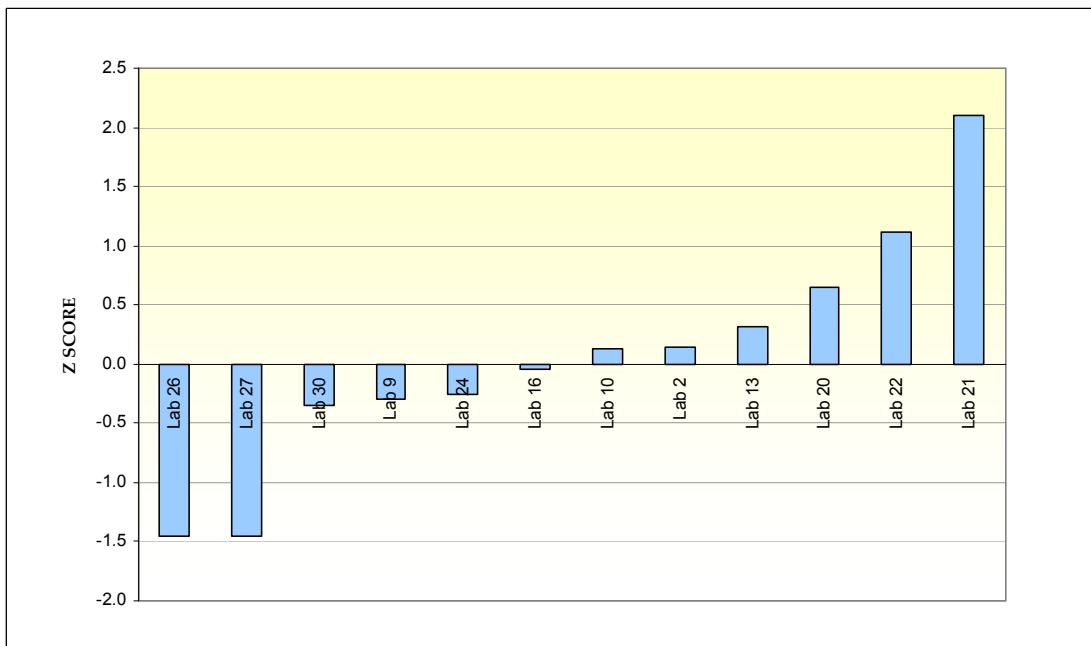
**Διάγραμμα 5.25** Λόγος έκθεσης στη φασματική περιοχή TETRA(300-450MHz): Σενάριο μέτρησης 1, Θέση μέτρησης 1



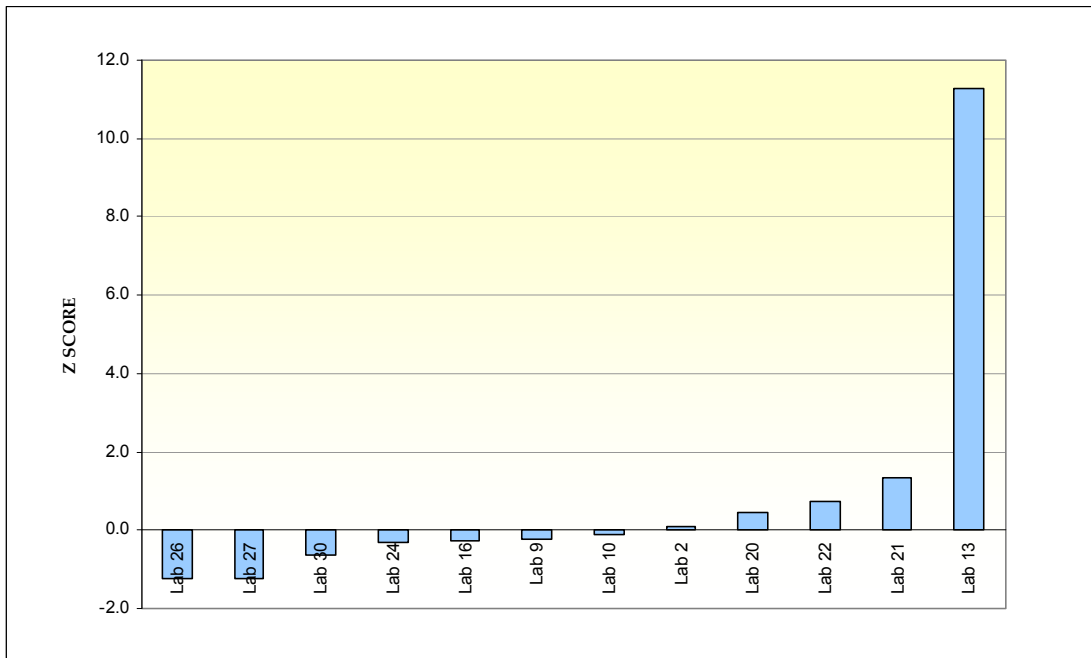
**Διάγραμμα 5.26** Λόγος έκθεσης στη φασματική περιοχή TETRA(300-450MHz): Σενάριο μέτρησης 1, Θέση μέτρησης 2



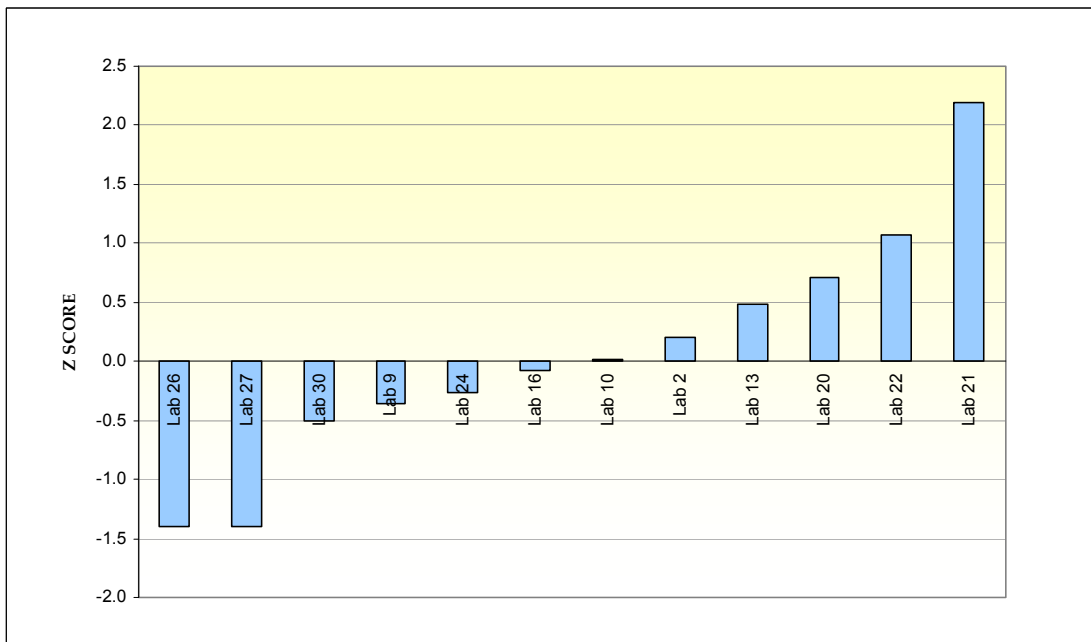
**Διάγραμμα 5.27** Λόγος έκθεσης στη φασματική περιοχή TETRA(300-450MHz): Σενάριο μέτρησης 1, Θέση μέτρησης 3



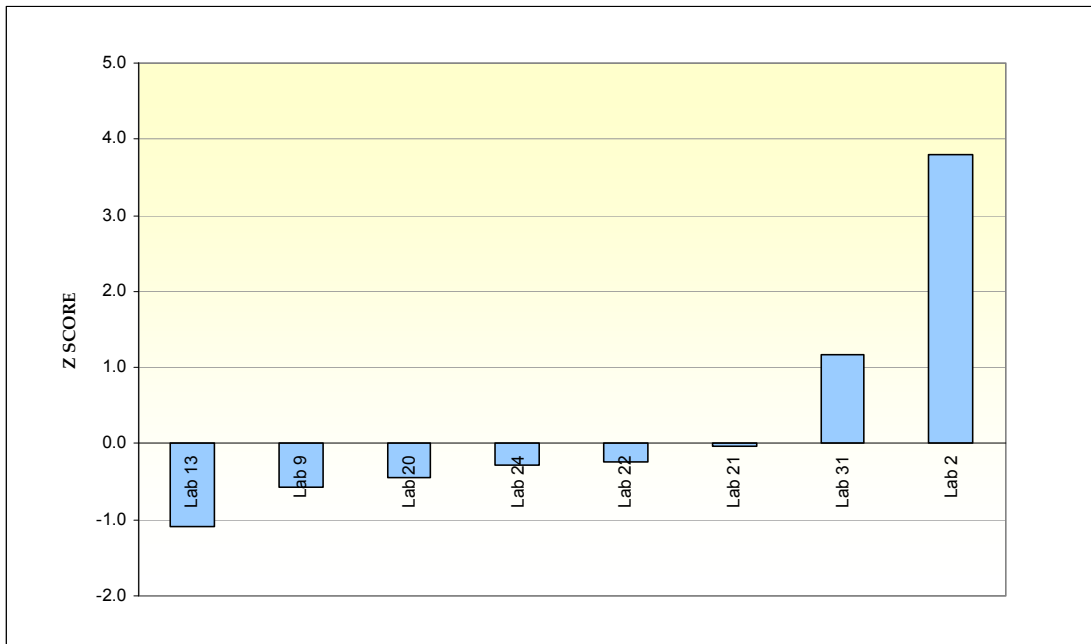
**Διάγραμμα 5.28** Λόγος έκθεσης στη φασματική περιοχή TETRA(300-450MHz): Σενάριο μέτρησης 2, Θέση μέτρησης 1



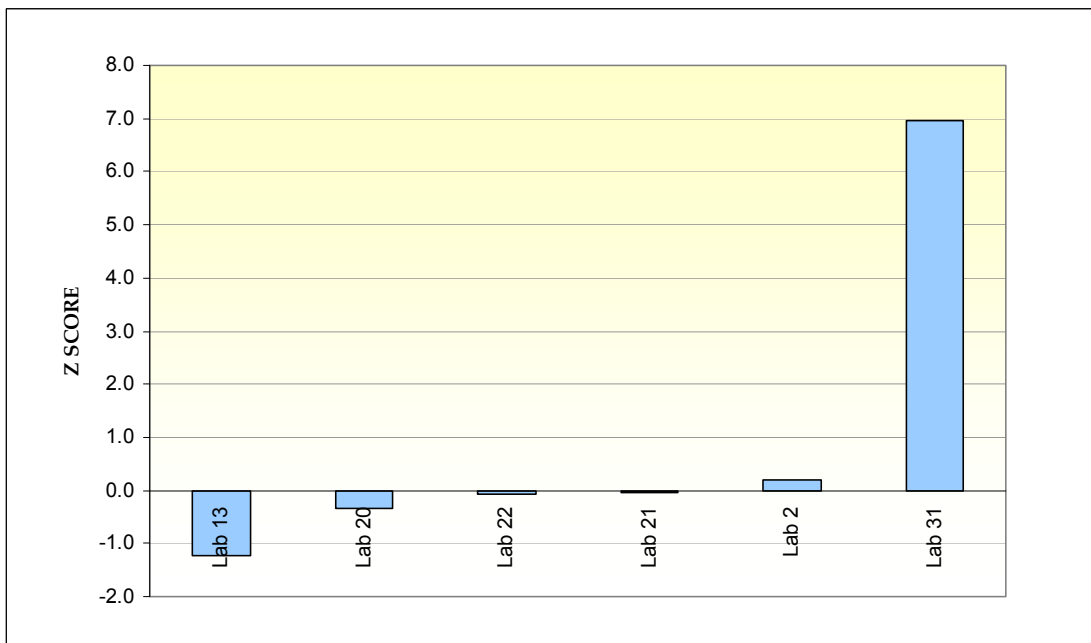
**Διάγραμμα 5.29** Λόγος έκθεσης στη φασματική περιοχή TETRA(300-450MHz): Σενάριο μέτρησης 2, Θέση μέτρησης 2



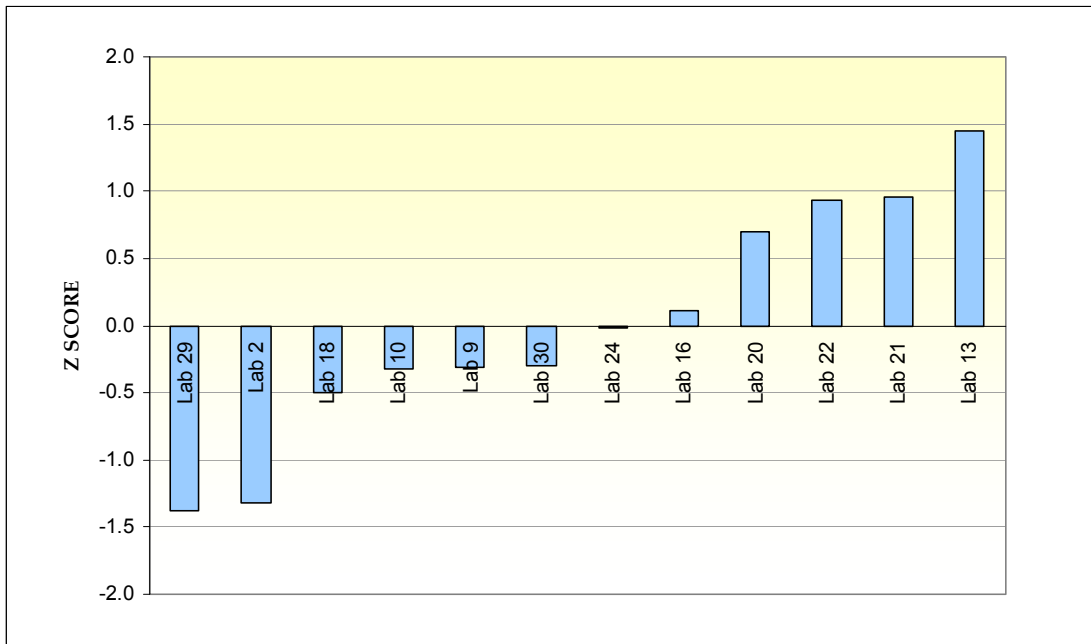
**Διάγραμμα 5.30** Λόγος έκθεσης στη φασματική περιοχή TETRA(300-450MHz): Σενάριο μέτρησης 2, Θέση μέτρησης 3



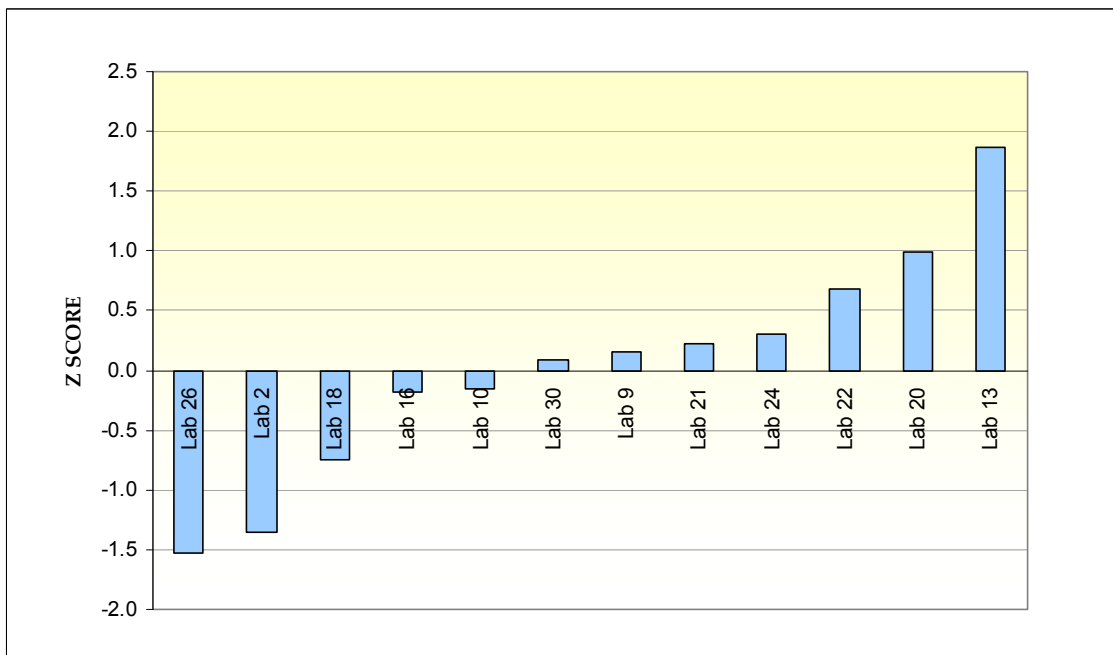
**Διάγραμμα 5.31** Λόγος έκθεσης στη φασματική περιοχή TETRA(300-450MHz): Σενάριο μέτρησης 3, Θέση μέτρησης 1



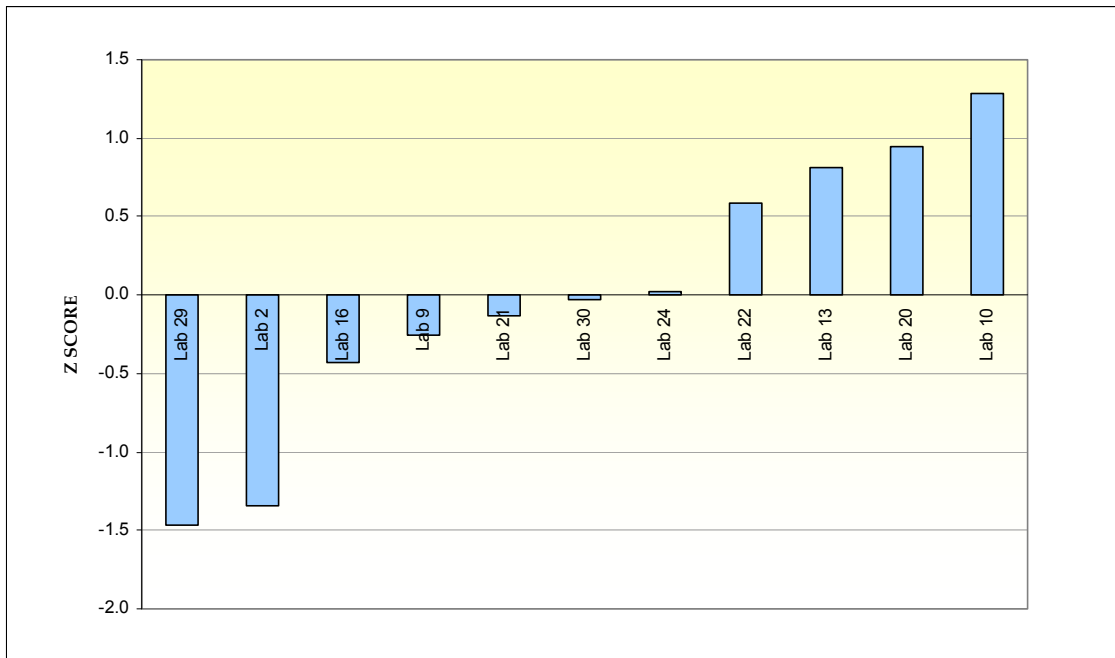
**Διάγραμμα 5.32** Λόγος έκθεσης στη φασματική περιοχή TETRA(300-450MHz): Σενάριο μέτρησης 3, Θέση μέτρησης 2



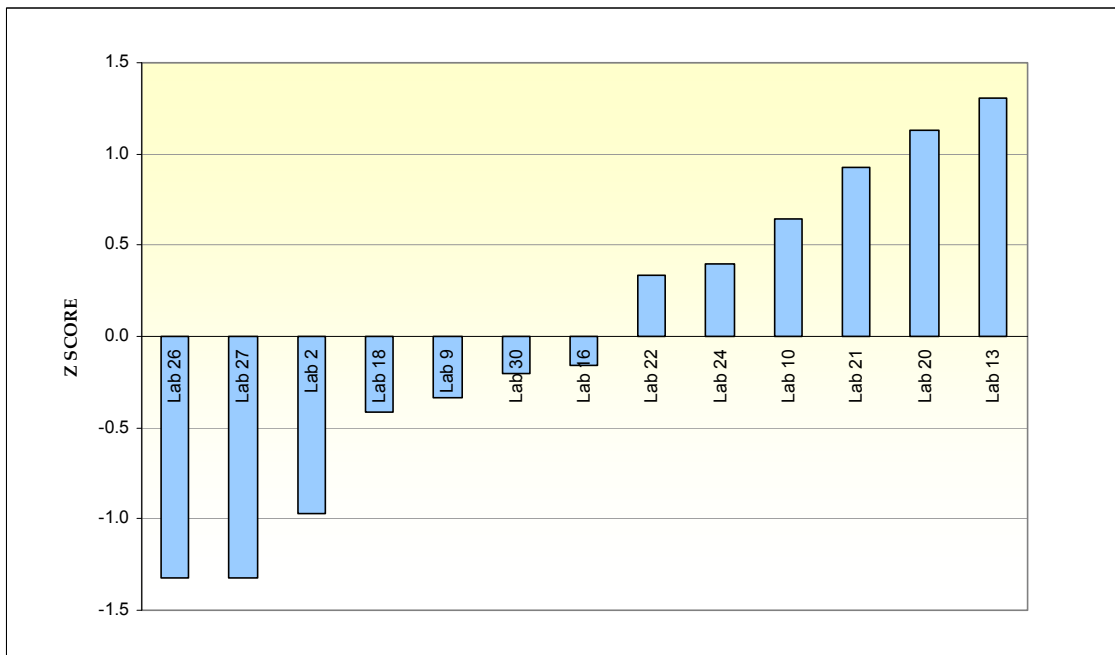
**Διάγραμμα 5.33** Λόγος έκθεσης στη φασματική περιοχή TV UHF (460-880MHz): Σενάριο μέτρησης 1, Θέση μέτρησης 1



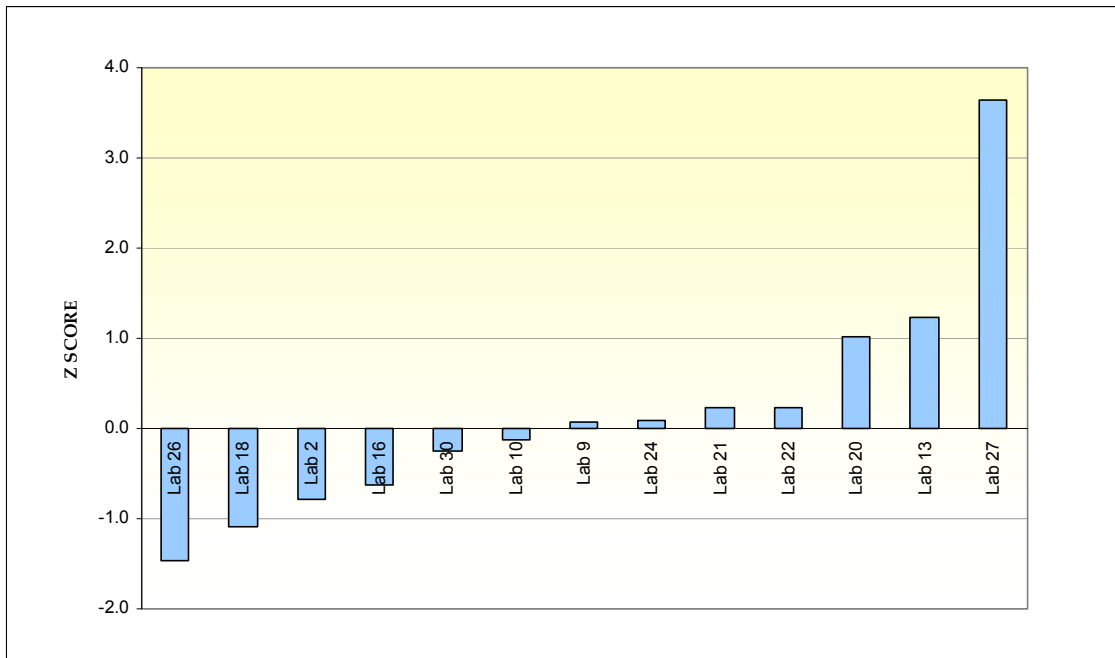
**Διάγραμμα 5.34** Λόγος έκθεσης στη φασματική περιοχή TV UHF (460-880MHz): Σενάριο μέτρησης 1, Θέση μέτρησης 2



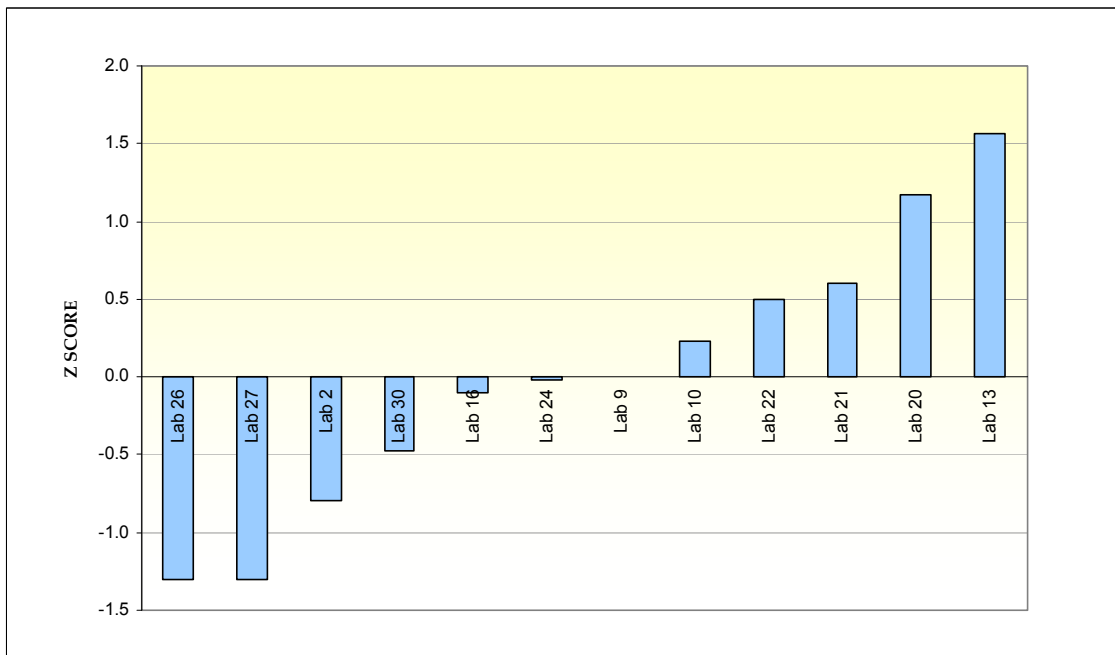
**Διάγραμμα 5.35 Λόγος έκθεσης στη φασματική περιοχή TV UHF (460-880MHz): Σενάριο μέτρησης 1, Θέση μέτρησης 3**



**Διάγραμμα 5.36 Λόγος έκθεσης στη φασματική περιοχή TV UHF (460-880MHz): Σενάριο μέτρησης 2, Θέση μέτρησης 1**

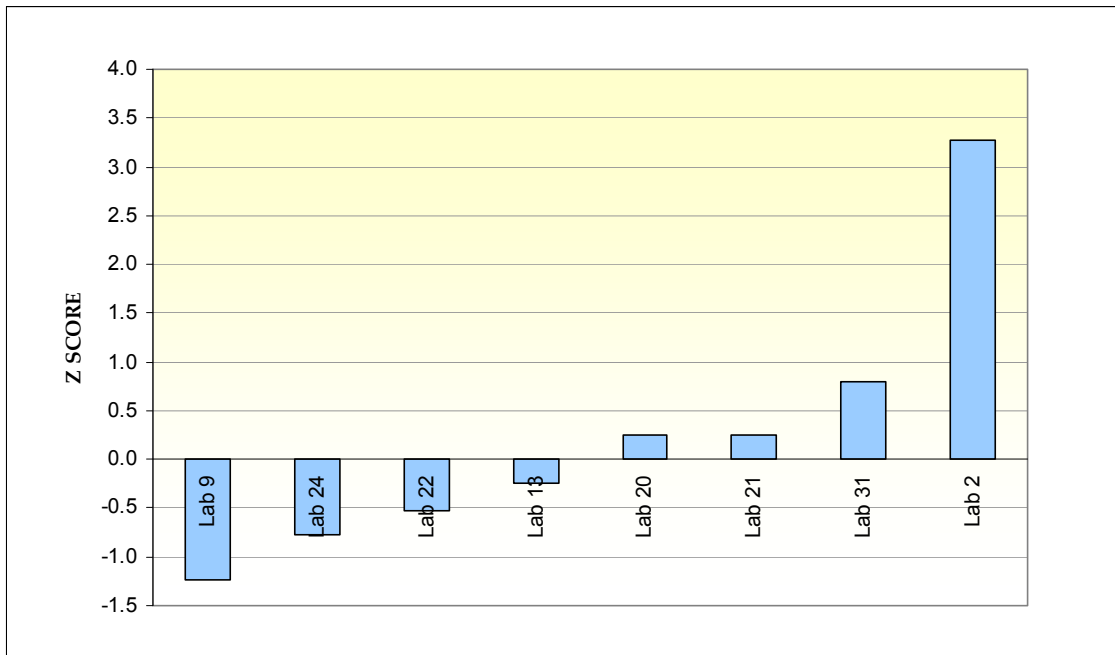


**Διάγραμμα 5.37** Λόγος έκθεσης στη φασματική περιοχή TV UHF (460-880MHz): Σενάριο μέτρησης 2, Θέση μέτρησης 2

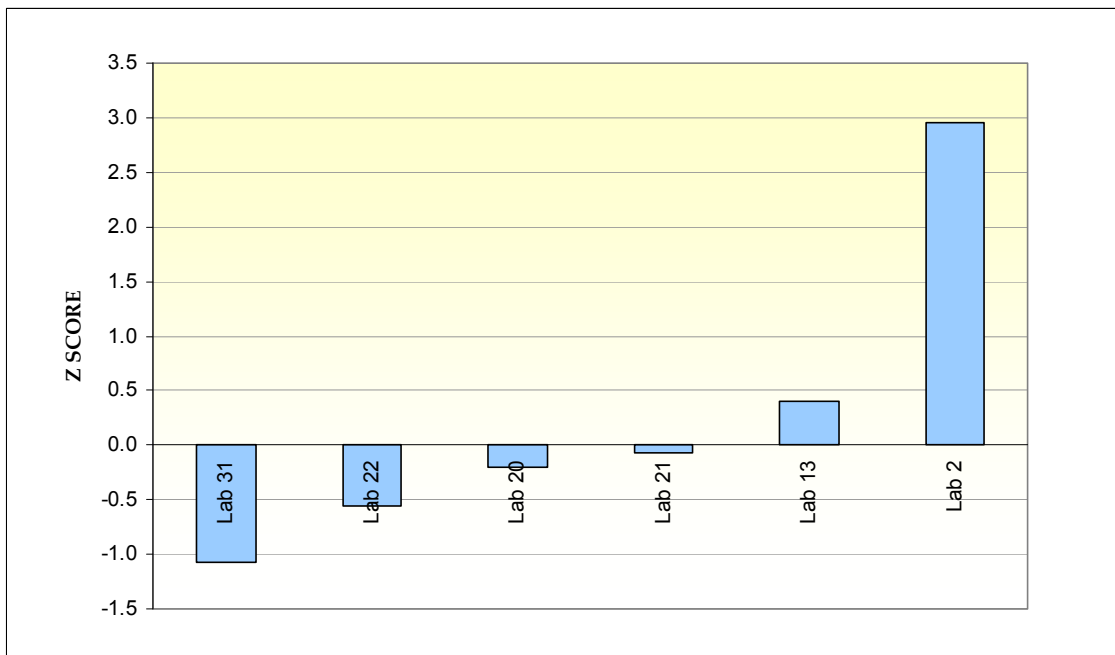


**Διάγραμμα 5.38** Λόγος έκθεσης στη φασματική περιοχή TV UHF (460-880MHz): Σενάριο μέτρησης 2, Θέση μέτρησης 3

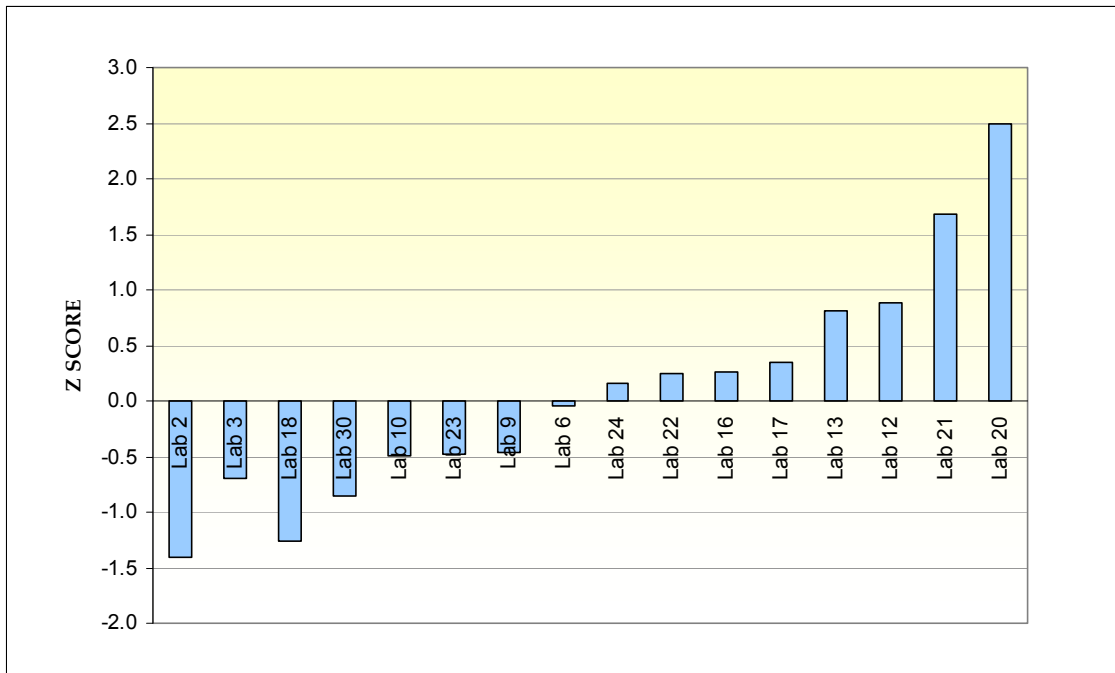




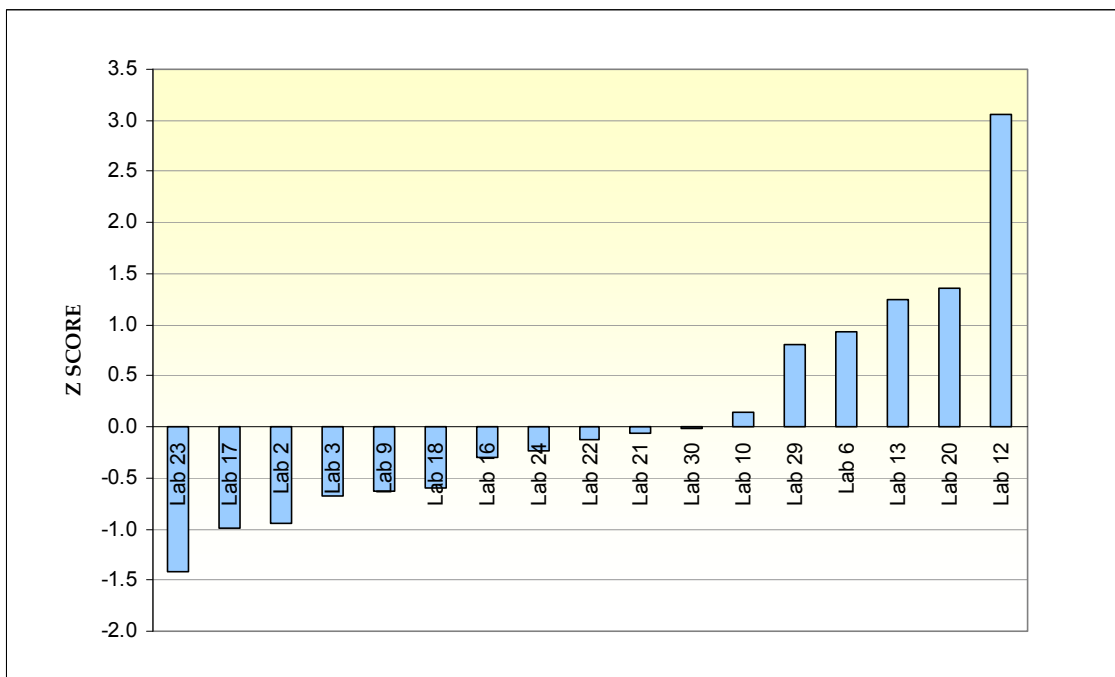
**Διάγραμμα 5.39** Λόγος έκθεσης στη φασματική περιοχή TV UHF (460-880MHz): Σενάριο μέτρησης 3, Θέση μέτρησης 1



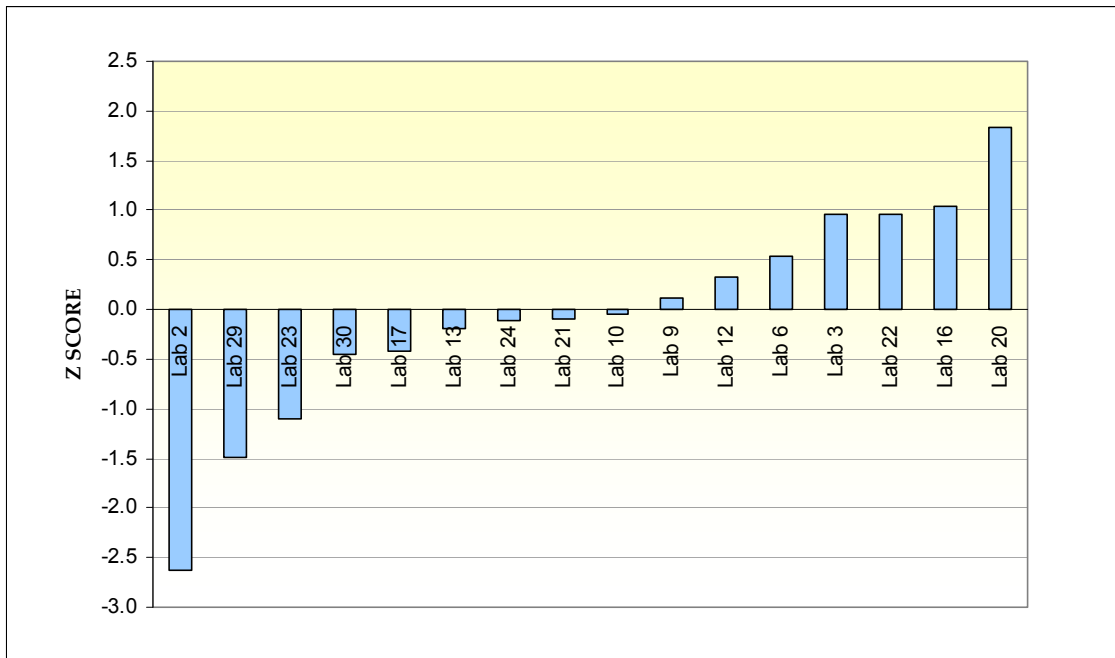
**Διάγραμμα 5.40** Λόγος έκθεσης στη φασματική περιοχή TV UHF (460-880MHz): Σενάριο μέτρησης 3, Θέση μέτρησης 2



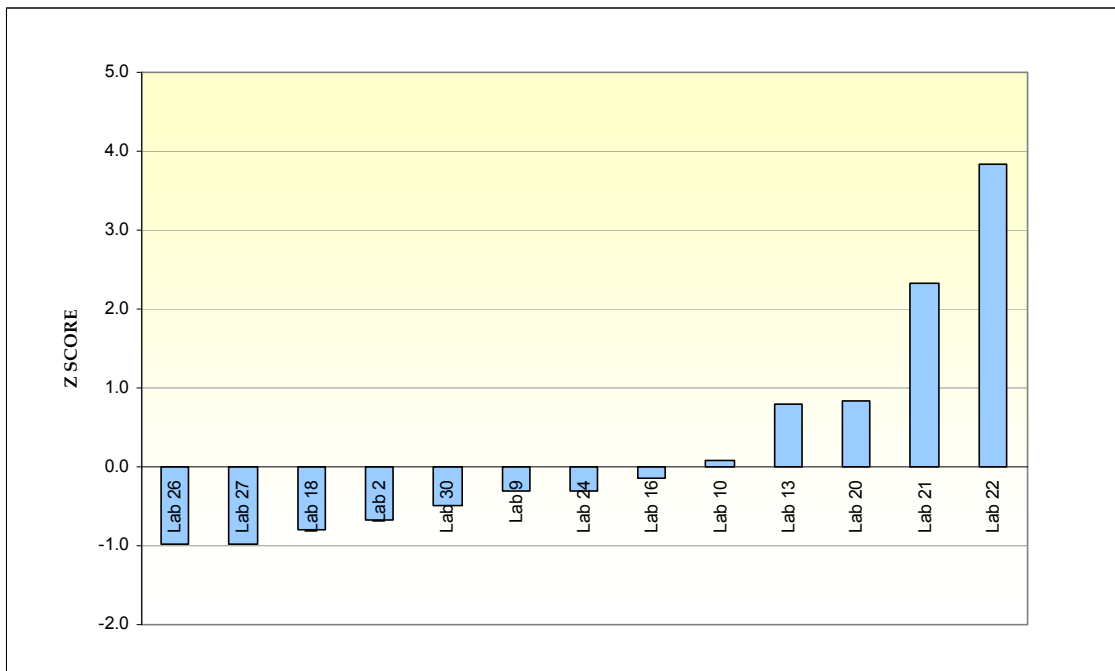
**Διάγραμμα 5.41** Λόγος έκθεσης στη φασματική περιοχή GSM (880-1000MHz): Σενάριο μέτρησης 1, Θέση μέτρησης 1



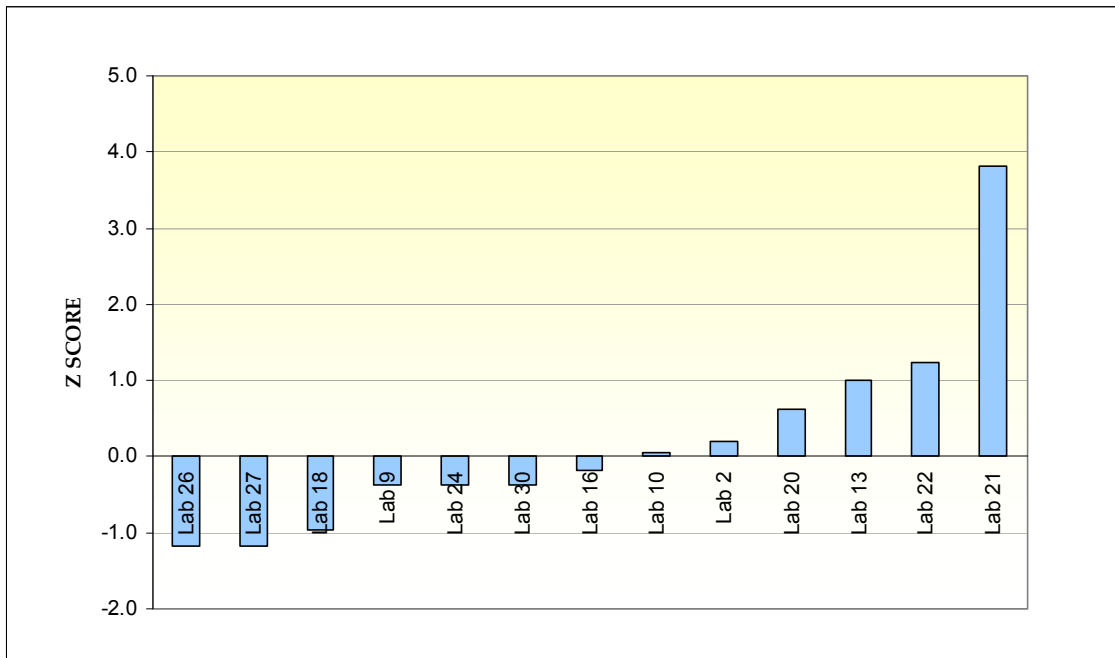
**Διάγραμμα 5.42** Λόγος έκθεσης στη φασματική περιοχή GSM (880-1000MHz): Σενάριο μέτρησης 1, Θέση μέτρησης 2



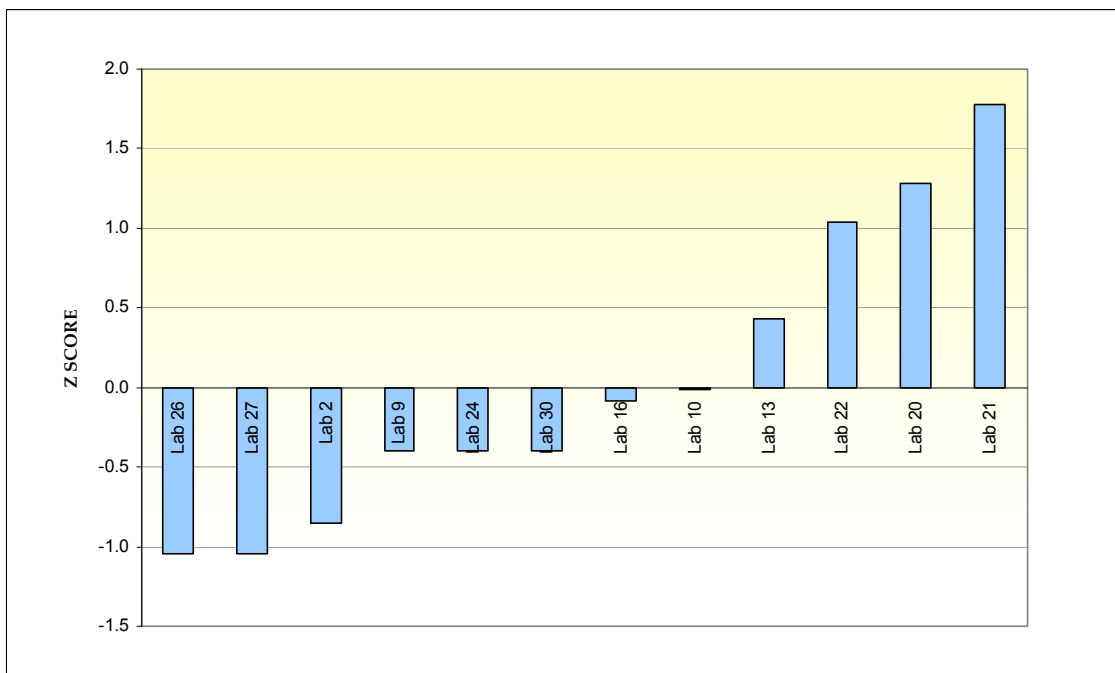
**Διάγραμμα 5.43** Λόγος έκθεσης στη φασματική περιοχή GSM (880-1000MHz): Σενάριο μέτρησης 1, Θέση μέτρησης 3



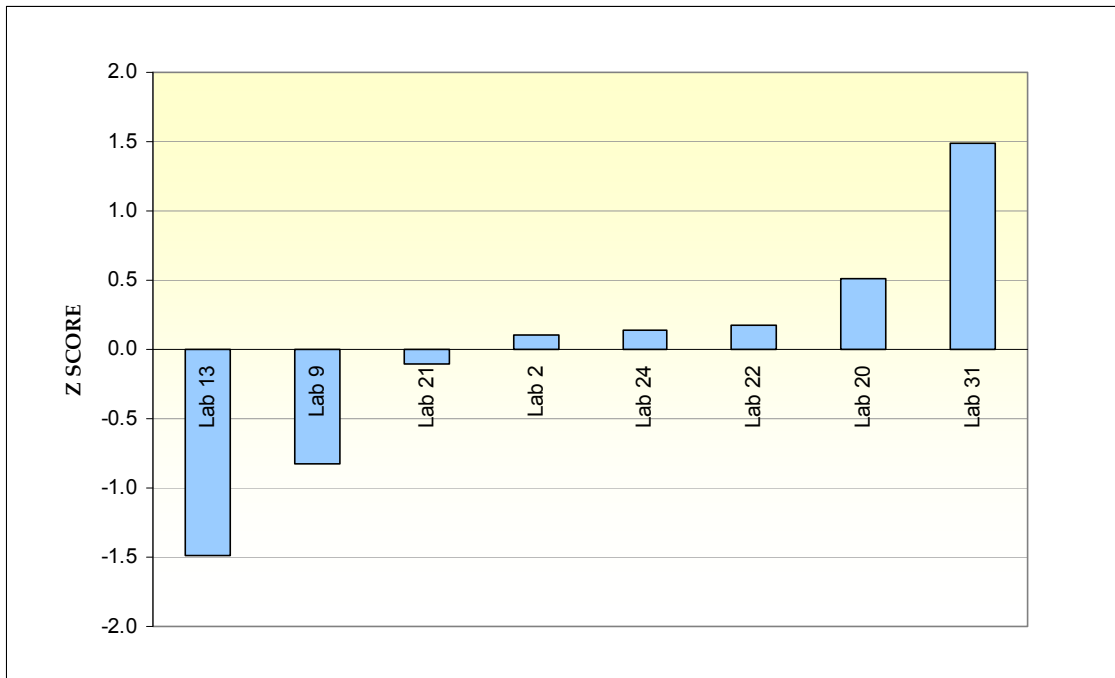
**Διάγραμμα 5.44** Λόγος έκθεσης στη φασματική περιοχή GSM (880-1000MHz): Σενάριο μέτρησης 2, Θέση μέτρησης 1



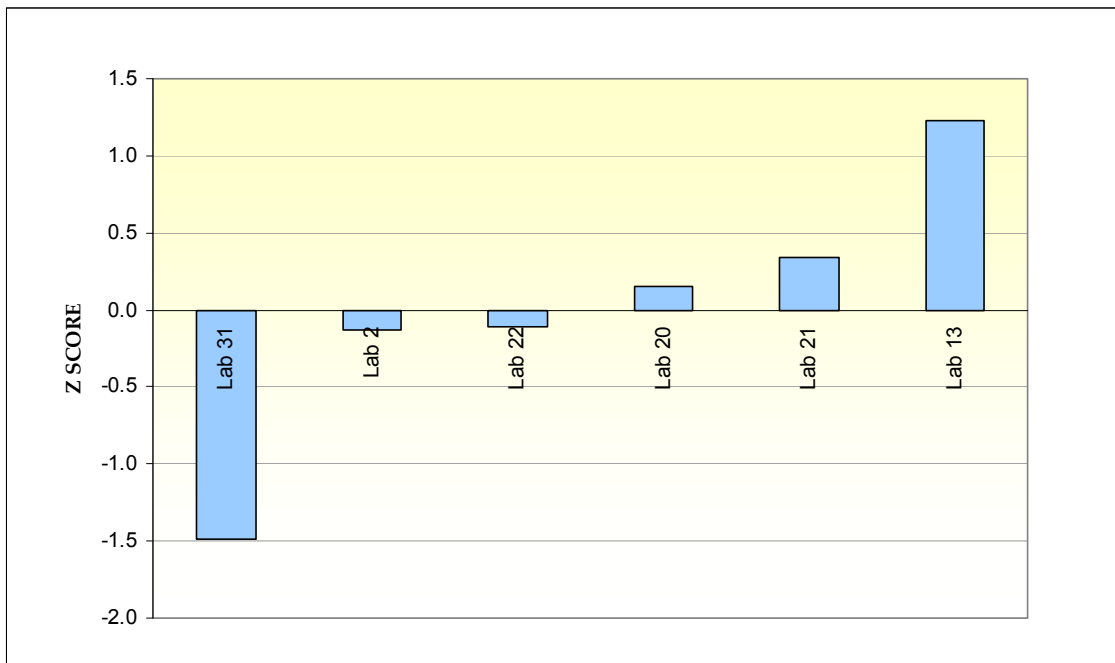
**Διάγραμμα 5.45** Λόγος έκθεσης στη φασματική περιοχή GSM (880-1000MHz): Σενάριο μέτρησης 2, Θέση μέτρησης 2



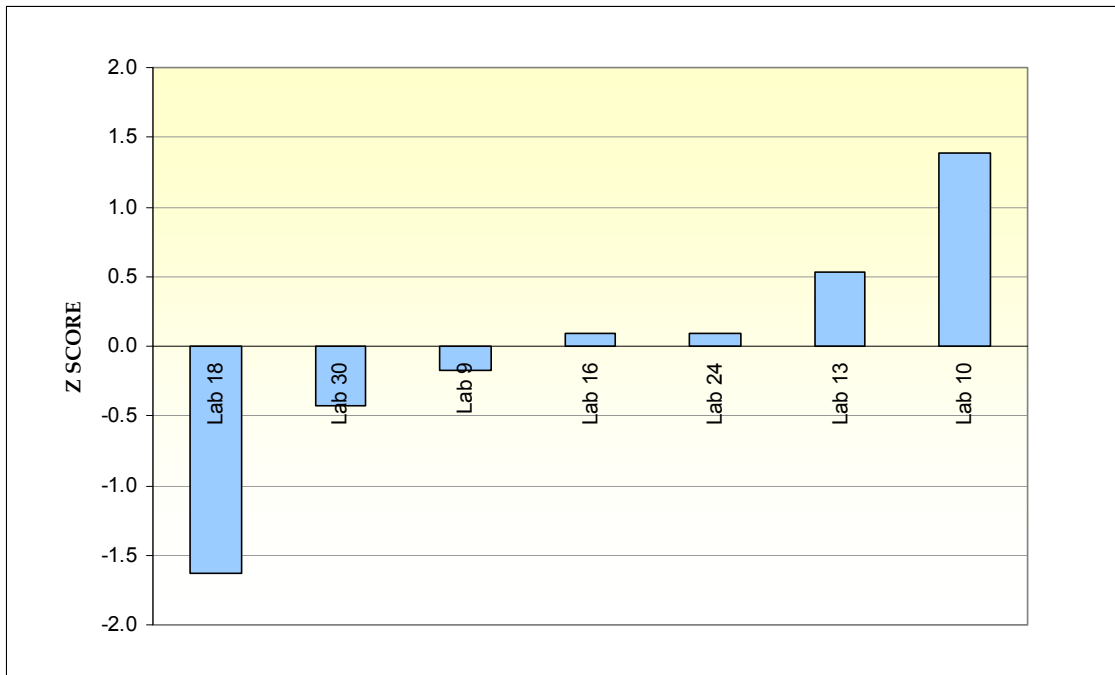
**Διάγραμμα 5.46** Λόγος έκθεσης στη φασματική περιοχή GSM (880-1000MHz): Σενάριο μέτρησης 2, Θέση μέτρησης 3



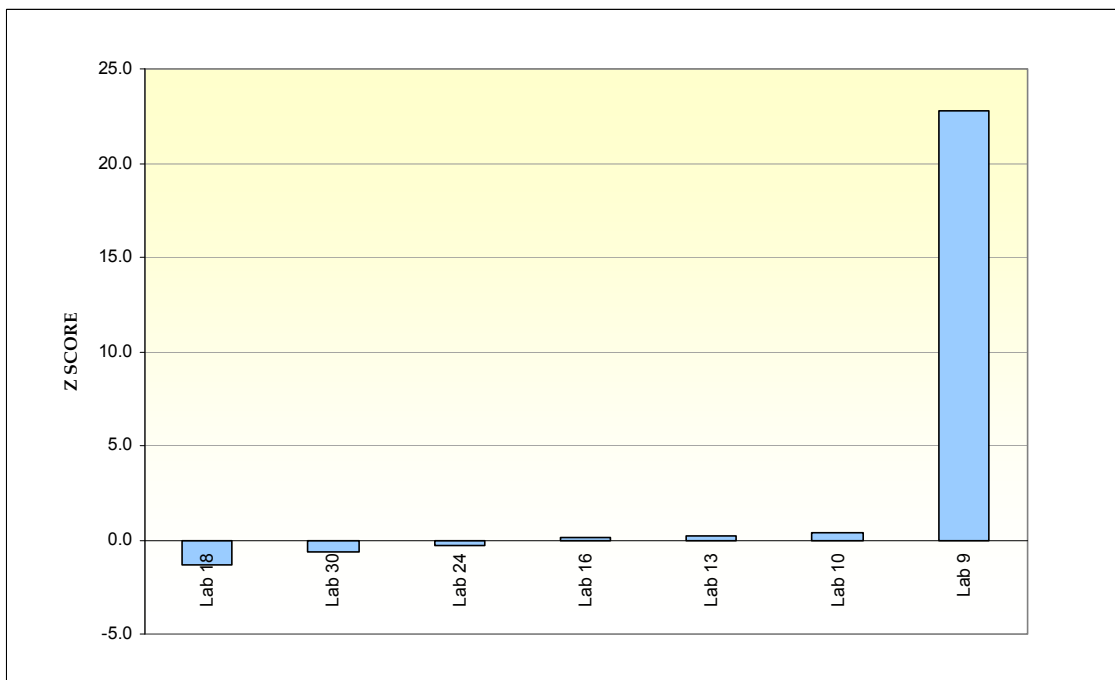
**Διάγραμμα 5.47** Λόγος έκθεσης στη φασματική περιοχή GSM (880-1000MHz): Σενάριο μέτρησης 3, Θέση μέτρησης 1



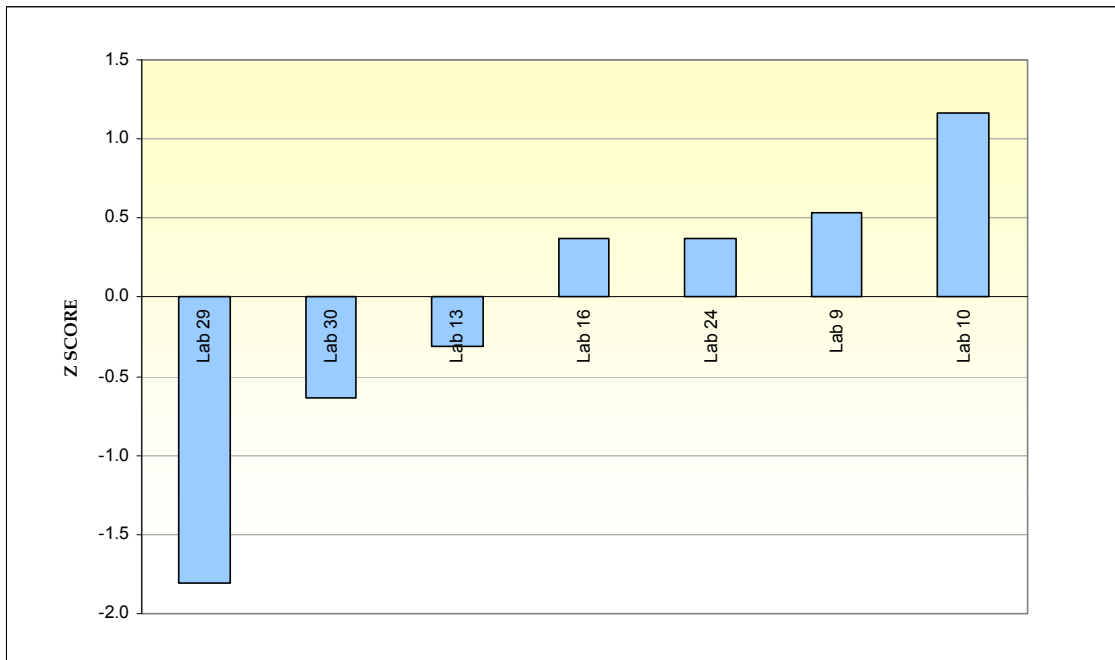
**Διάγραμμα 5.48** Λόγος έκθεσης στη φασματική περιοχή GSM (880-1000MHz): Σενάριο μέτρησης 3, Θέση μέτρησης 2



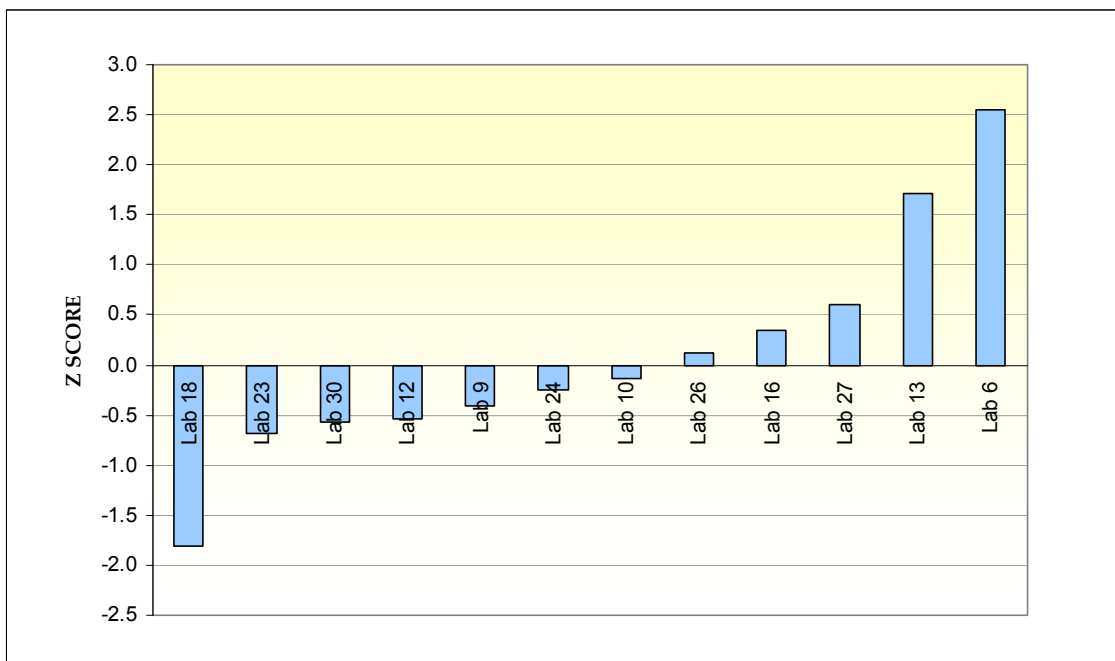
**Διάγραμμα 5.49** Λόγος έκθεσης στη φασματική περιοχή DCS (1700-1900MHz): Σενάριο μέτρησης 1, Θέση μέτρησης 1



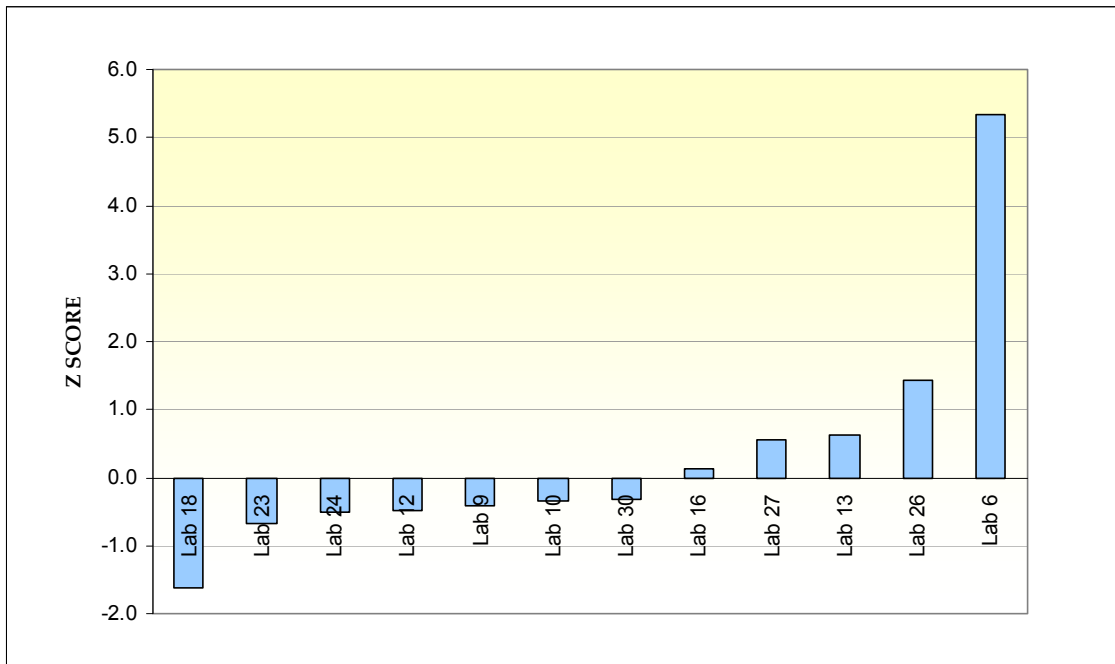
**Διάγραμμα 5.50** Λόγος έκθεσης στη φασματική περιοχή DCS (1700-1900MHz): Σενάριο μέτρησης 1, Θέση μέτρησης 2



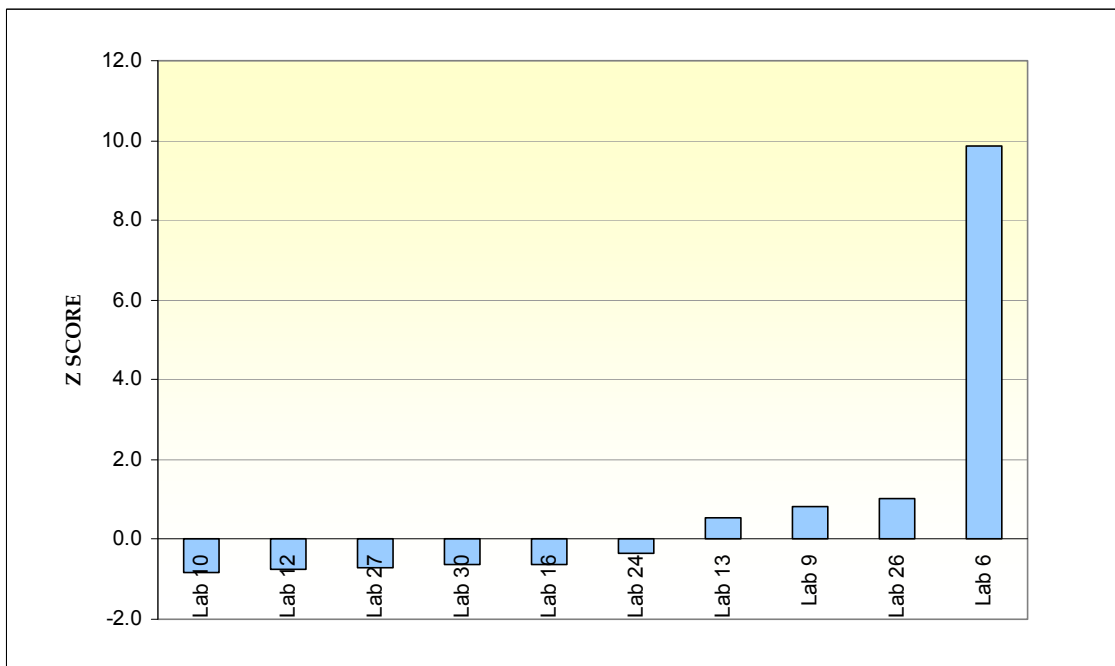
**Διάγραμμα 5.51** Λόγος έκθεσης στη φασματική περιοχή DCS (1700-1900MHz): Σενάριο μέτρησης 1, Θέση μέτρησης 3



**Διάγραμμα 5.52** Λόγος έκθεσης στη φασματική περιοχή DCS (1700-1900MHz): Σενάριο μέτρησης 2, Θέση μέτρησης 1

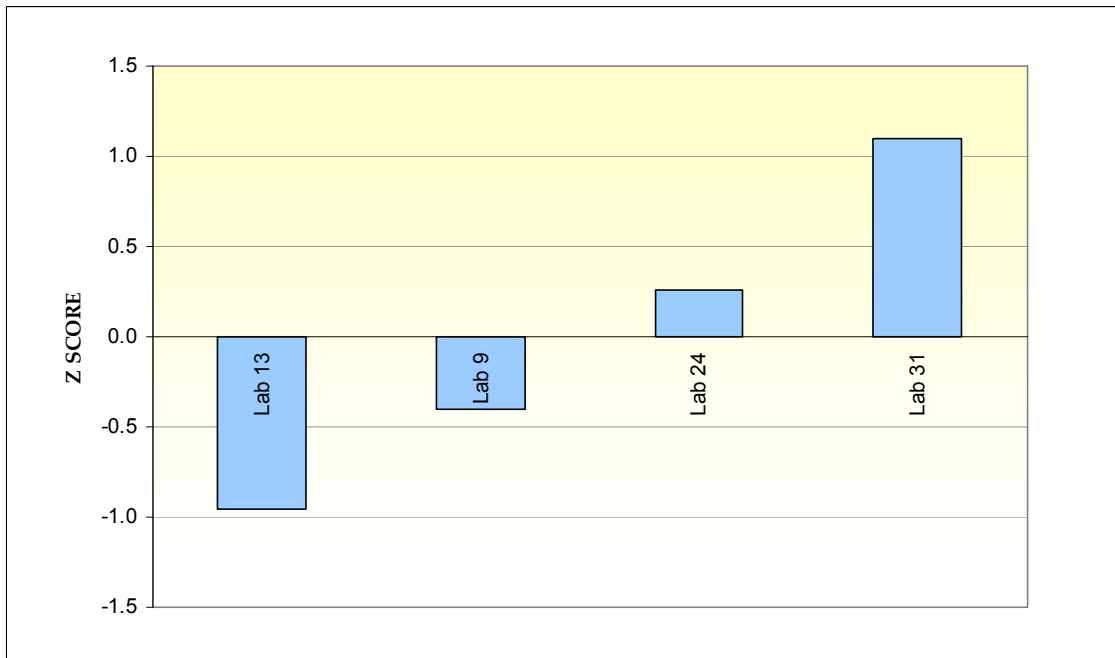


**Διάγραμμα 5.53** Λόγος έκθεσης στη φασματική περιοχή DCS (1700-1900MHz): Σενάριο μέτρησης 2, Θέση μέτρησης 2

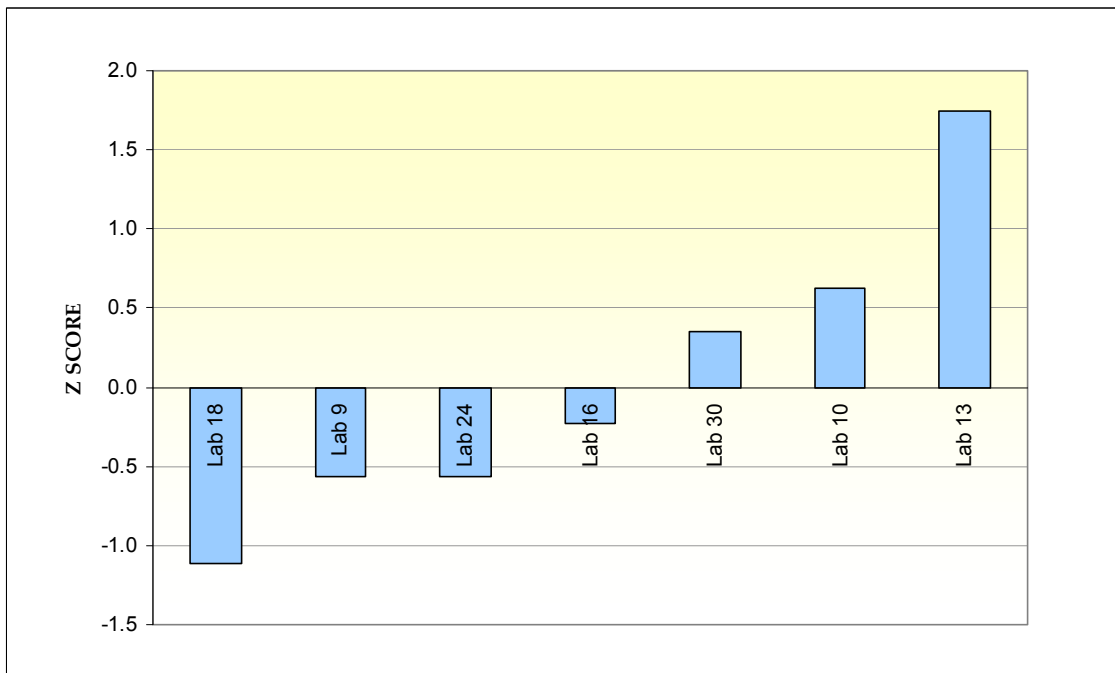


**Διάγραμμα 5.54** Λόγος έκθεσης στη φασματική περιοχή DCS (1700-1900MHz): Σενάριο μέτρησης 2, Θέση μέτρησης 3

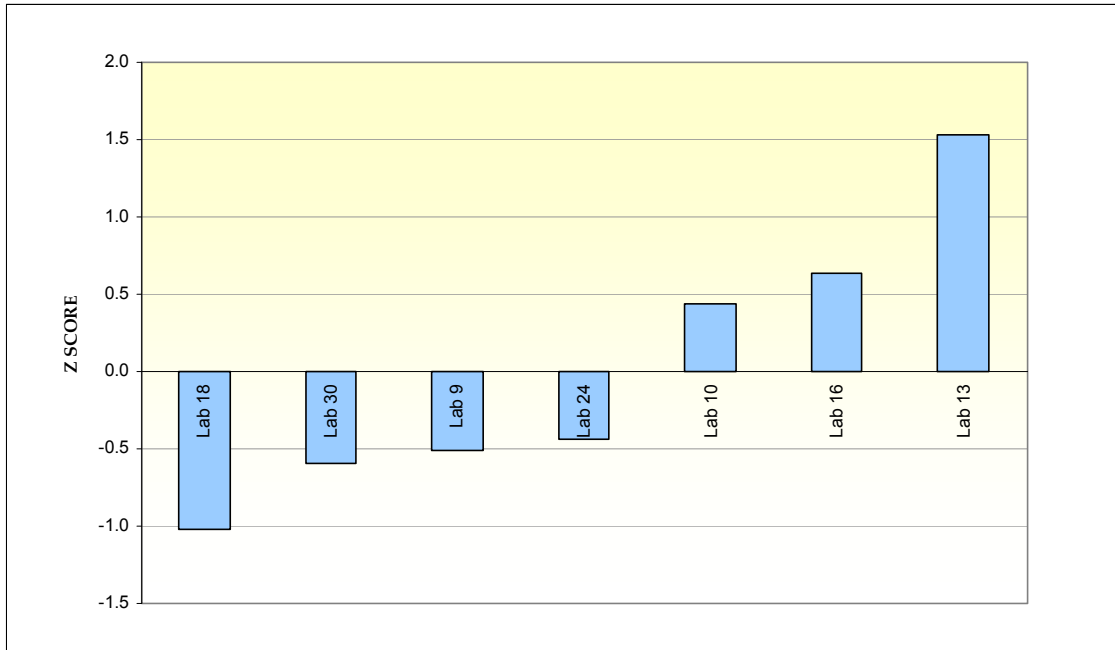




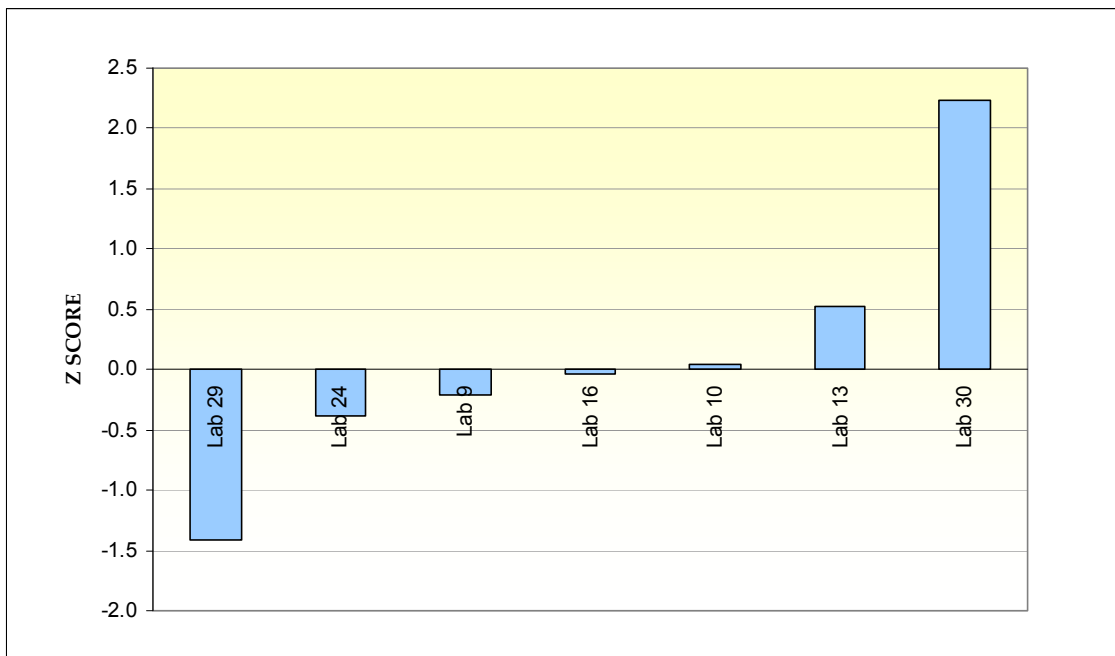
**Διάγραμμα 5.55** Λόγος έκθεσης στη φασματική περιοχή DCS (1700-1900MHz): Σενάριο μέτρησης 3, Θέση μέτρησης 1



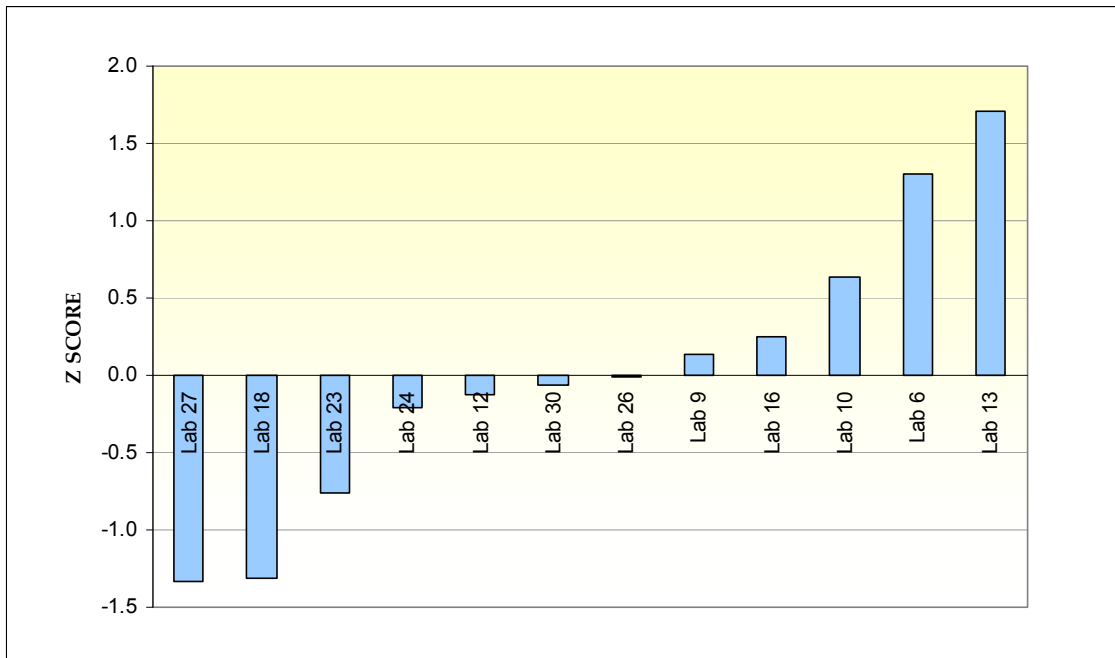
**Διάγραμμα 5.56** Λόγος έκθεσης στη φασματική περιοχή UMTS (1900-2200MHz): Σενάριο μέτρησης 1, Θέση μέτρησης 1



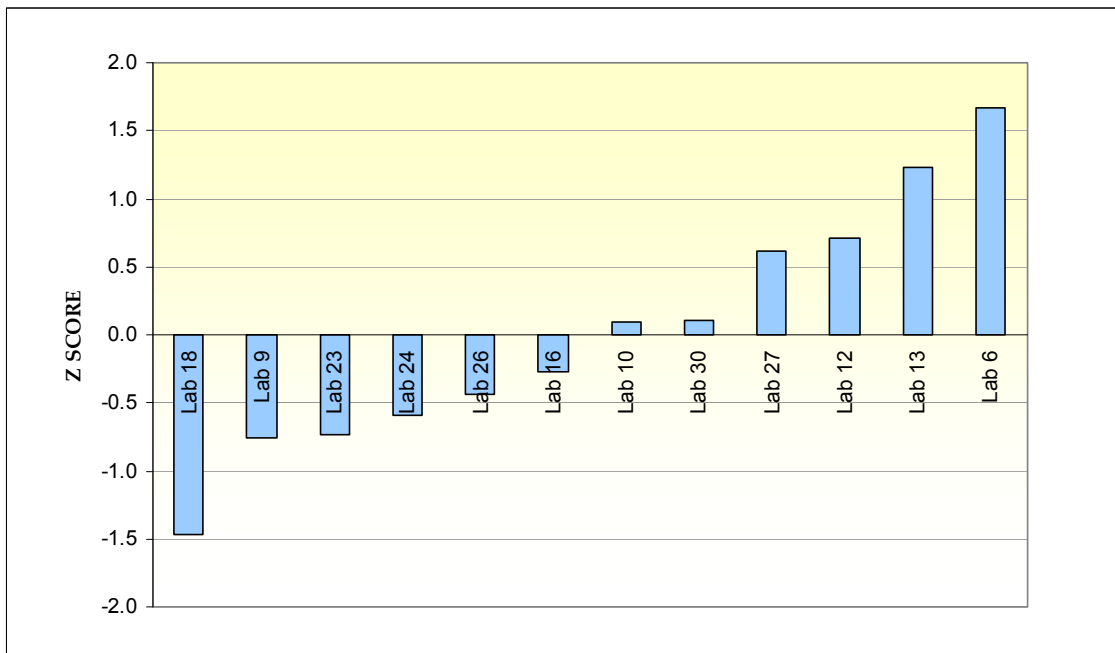
**Διάγραμμα 5.57** Λόγος έκθεσης στη φασματική περιοχή UMTS (1900-2200MHz): Σενάριο μέτρησης 1, Θέση μέτρησης 2



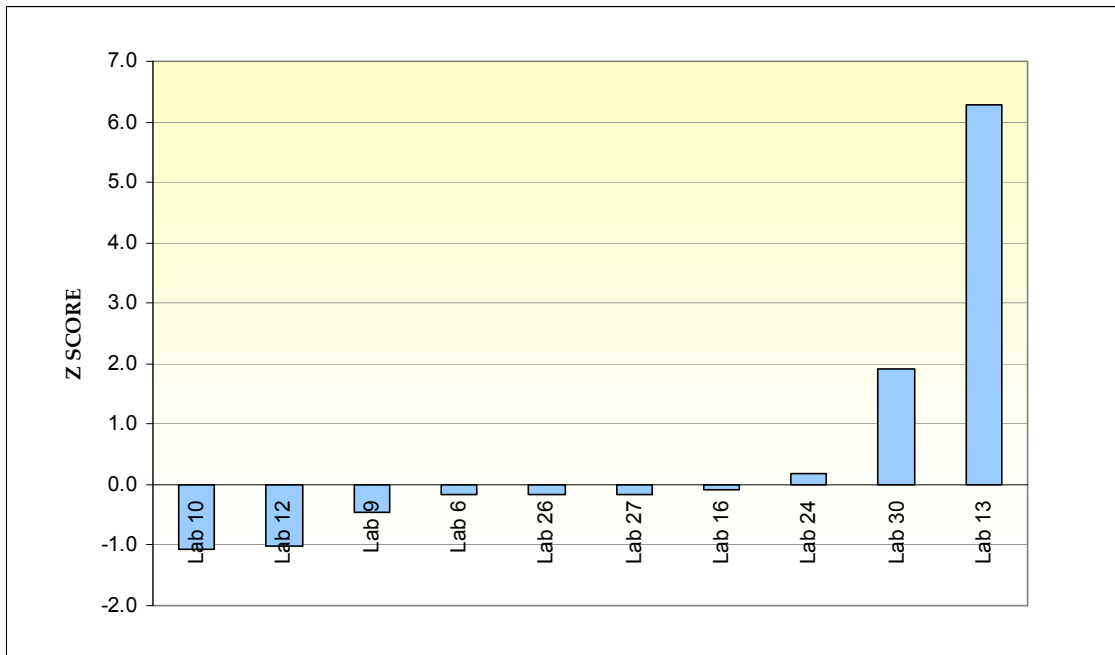
**Διάγραμμα 5.58** Λόγος έκθεσης στη φασματική περιοχή UMTS (1900-2200MHz): Σενάριο μέτρησης 1, Θέση μέτρησης 3



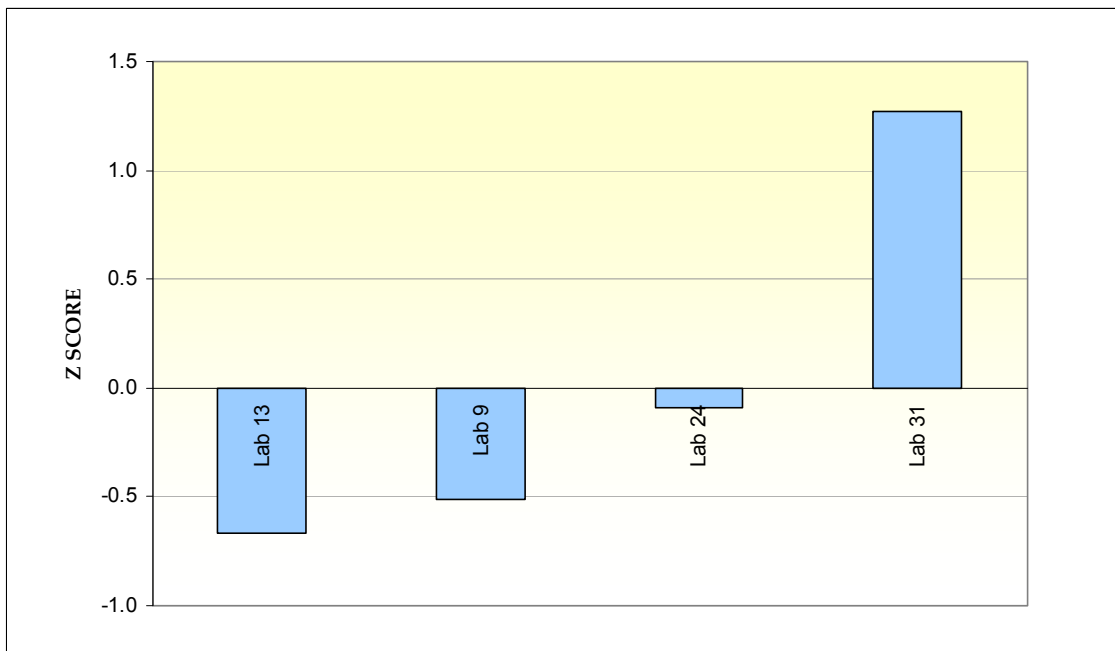
**Διάγραμμα 5.59** Λόγος έκθεσης στη φασματική περιοχή UMTS (1900-2200MHz): Σενάριο μέτρησης 2, Θέση μέτρησης 1



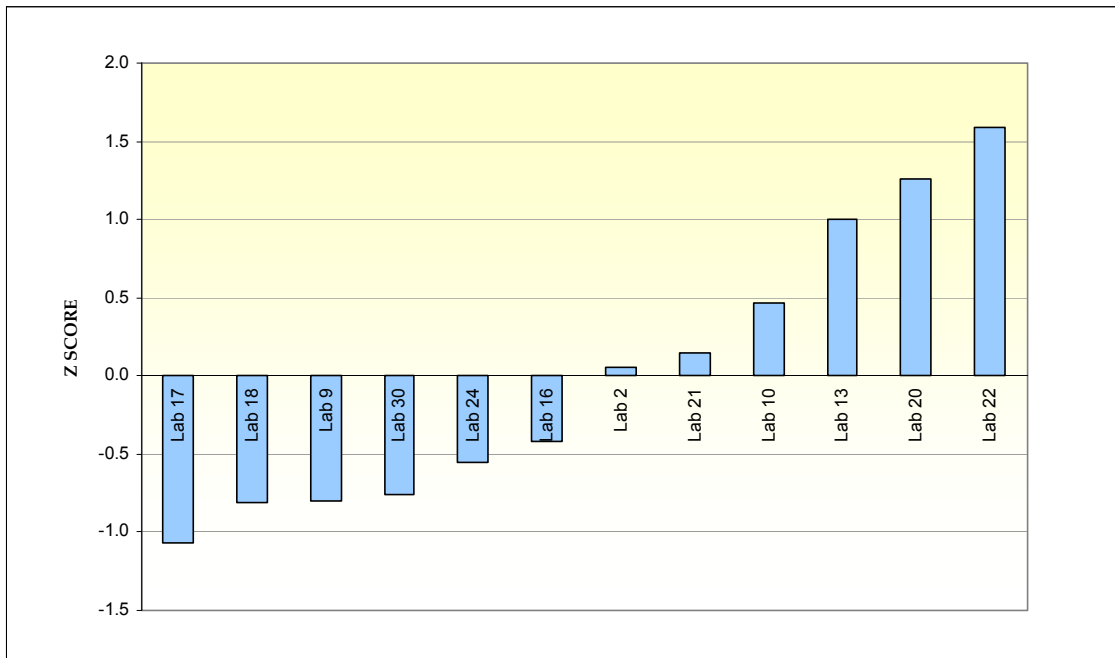
**Διάγραμμα 5.60** Λόγος έκθεσης στη φασματική περιοχή UMTS (1900-2200MHz): Σενάριο μέτρησης 2, Θέση μέτρησης 2



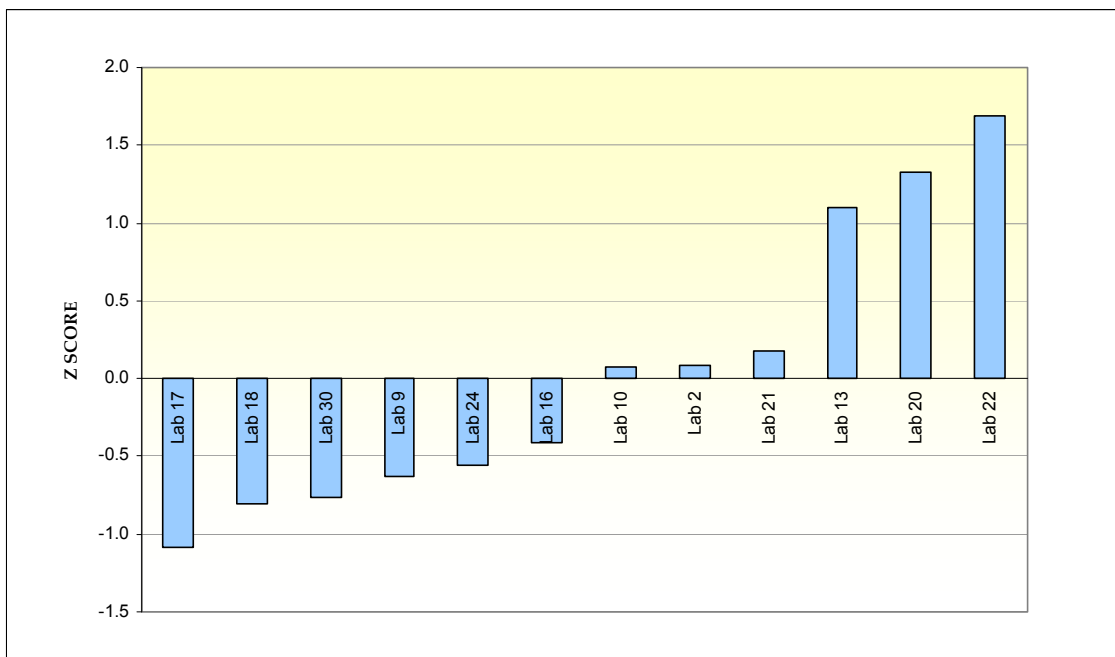
**Διάγραμμα 5.61** Λόγος έκθεσης στη φασματική περιοχή UMTS (1900-2200MHz): Σενάριο μέτρησης 2, Θέση μέτρησης 3



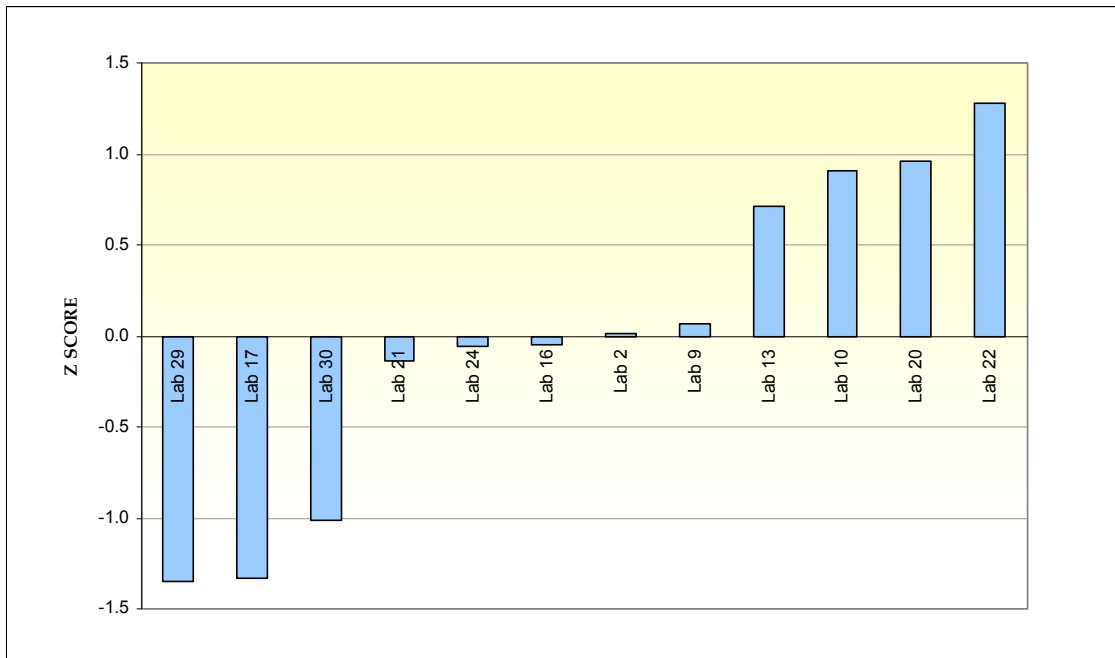
**Διάγραμμα 5.62** Λόγος έκθεσης στη φασματική περιοχή UMTS (1900-2200MHz): Σενάριο μέτρησης 3, Θέση μέτρησης 1



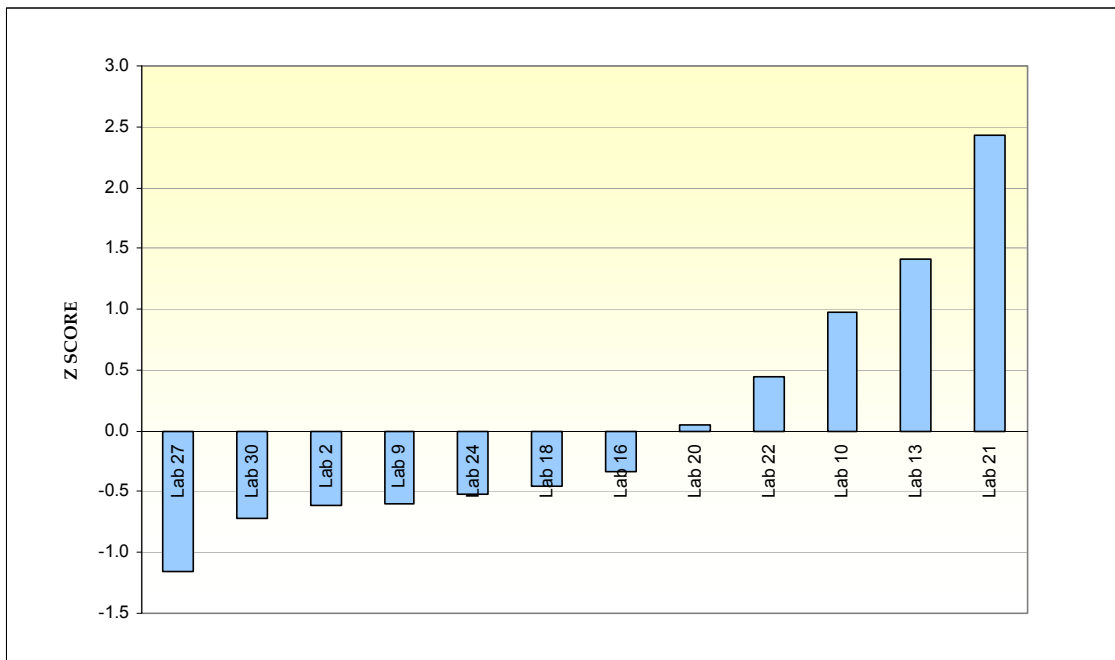
**Διάγραμμα 5.63** Λόγος έκθεσης στη φασματική περιοχή AFTER (2200-3000MHz): Σενάριο μέτρησης 1, Θέση μέτρησης 1



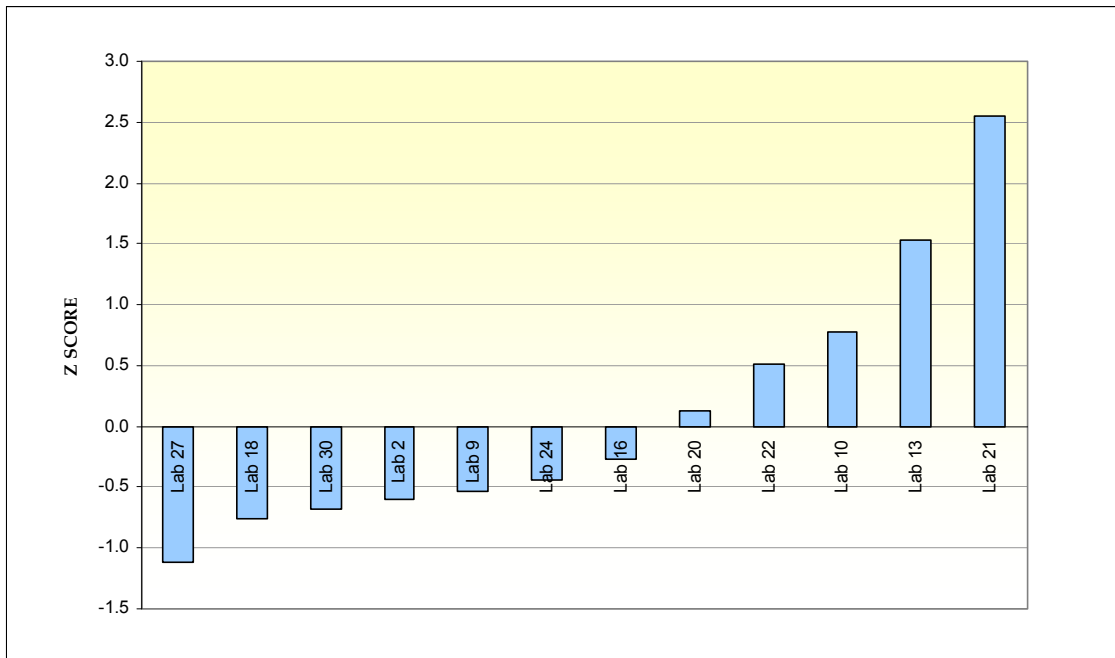
**Διάγραμμα 5.64** Λόγος έκθεσης στη φασματική περιοχή AFTER (2200-3000MHz): Σενάριο μέτρησης 1, Θέση μέτρησης 2



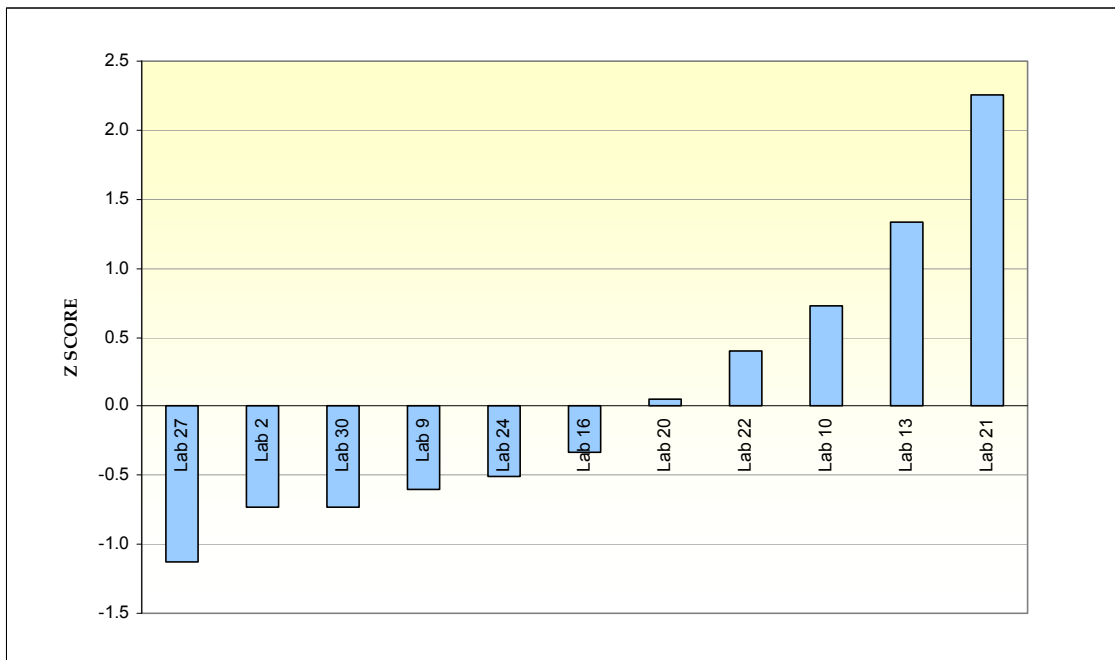
**Διάγραμμα 5.65** Λόγος έκθεσης στη φασματική περιοχή AFTER (2200-3000MHz): Σενάριο μέτρησης 1, Θέση μέτρησης 3



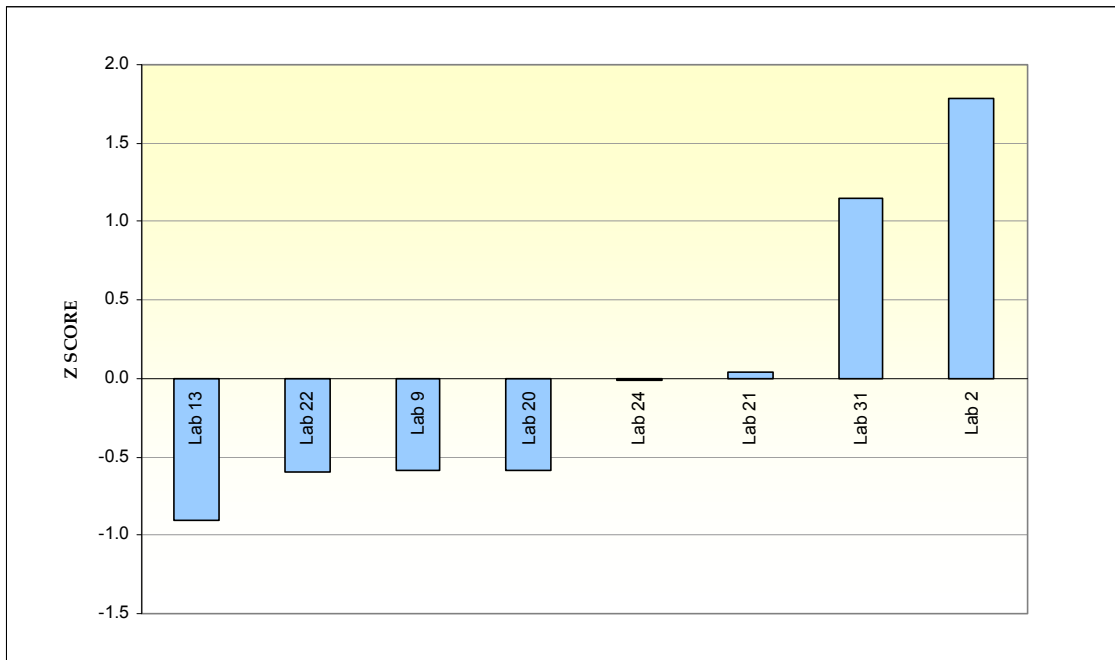
**Διάγραμμα 5.66** Λόγος έκθεσης στη φασματική περιοχή AFTER (2200-3000MHz): Σενάριο μέτρησης 2, Θέση μέτρησης 1



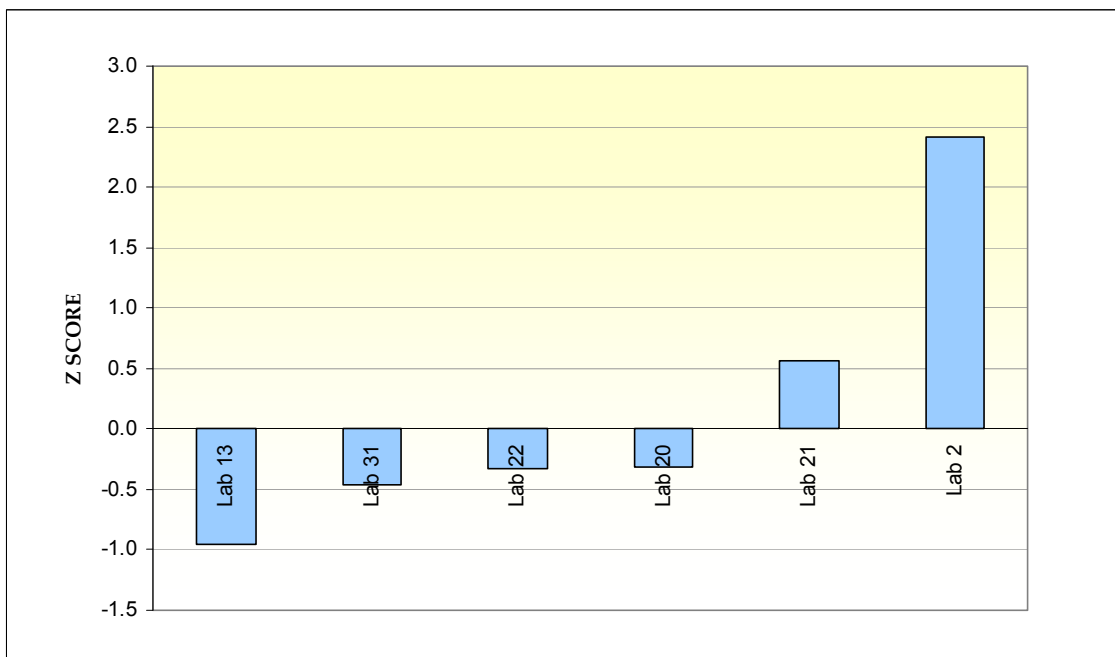
**Διάγραμμα 5.67** Λόγος έκθεσης στη φασματική περιοχή AFTER (2200-3000MHz): Σενάριο μέτρησης 2, Θέση μέτρησης 2



**Διάγραμμα 5.68** Λόγος έκθεσης στη φασματική περιοχή AFTER (2200-3000MHz): Σενάριο μέτρησης 2, Θέση μέτρησης 3

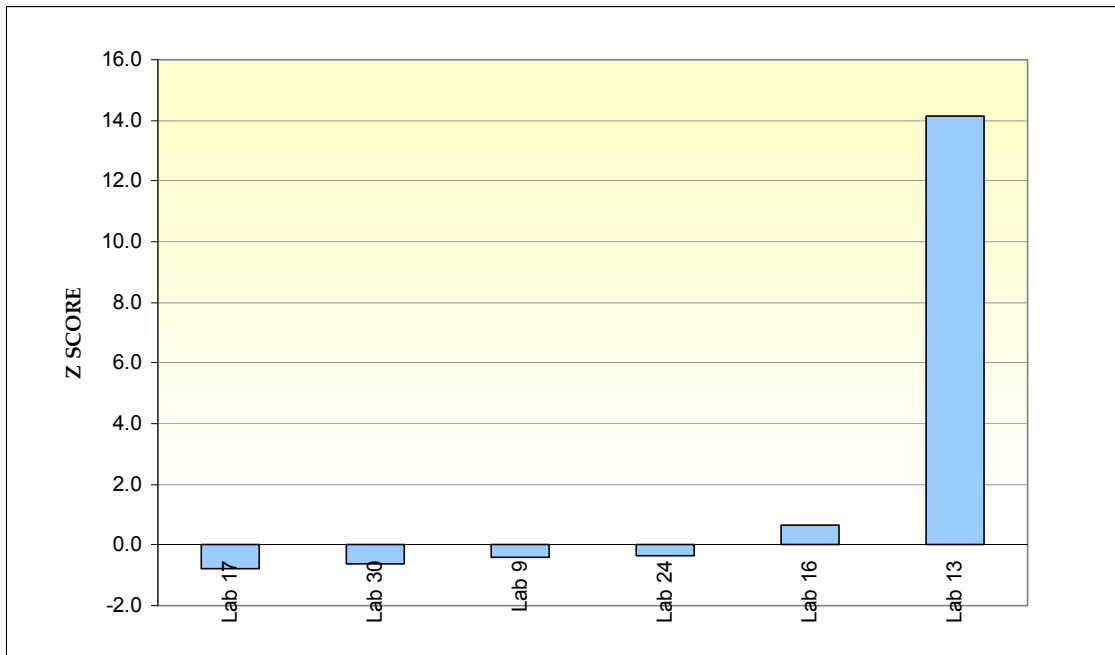


**Διάγραμμα 5.69** Λόγος έκθεσης στη φασματική περιοχή AFTER (2200-3000MHz): Σενάριο μέτρησης 3, Θέση μέτρησης 1

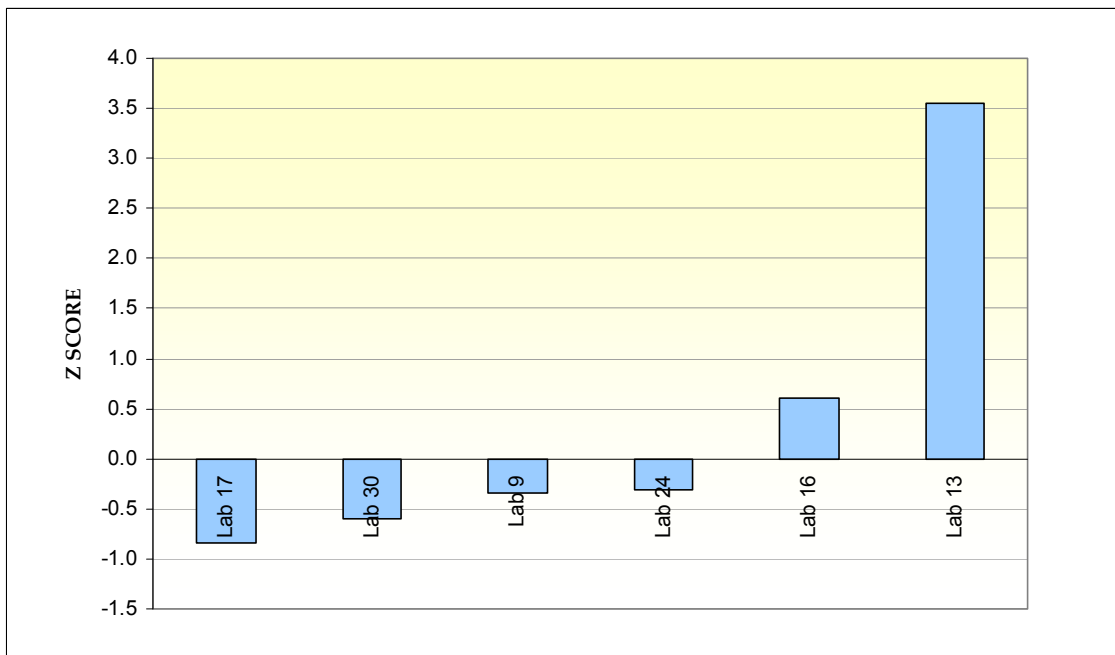


**Διάγραμμα 5.70** Λόγος έκθεσης στη φασματική περιοχή AFTER (2200-3000MHz): Σενάριο μέτρησης 3, Θέση μέτρησης 2

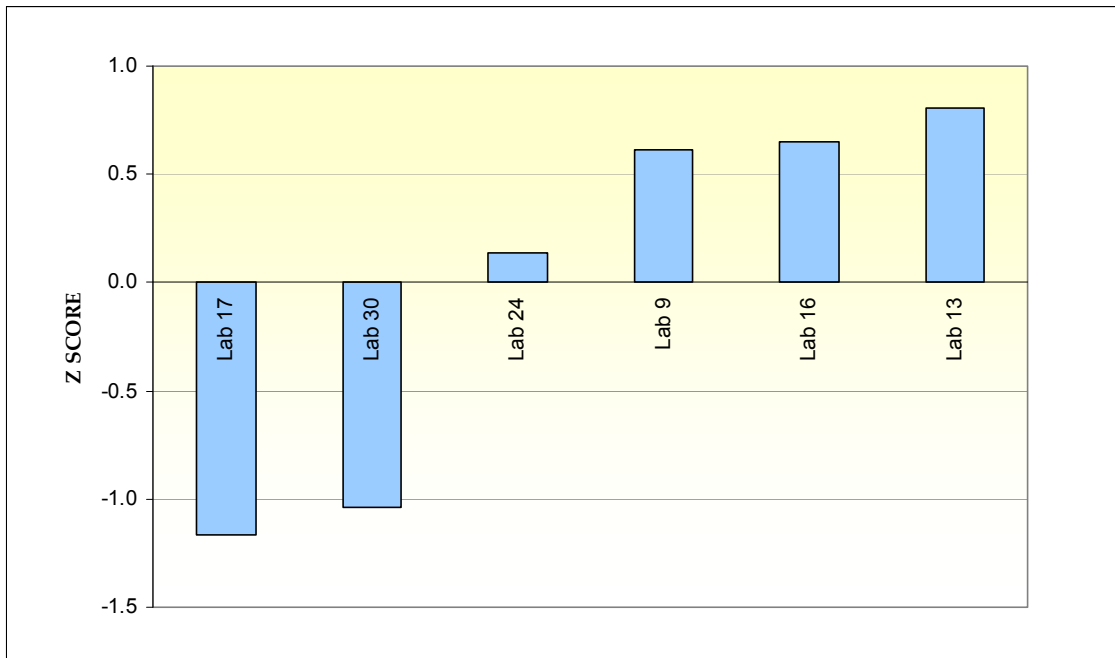




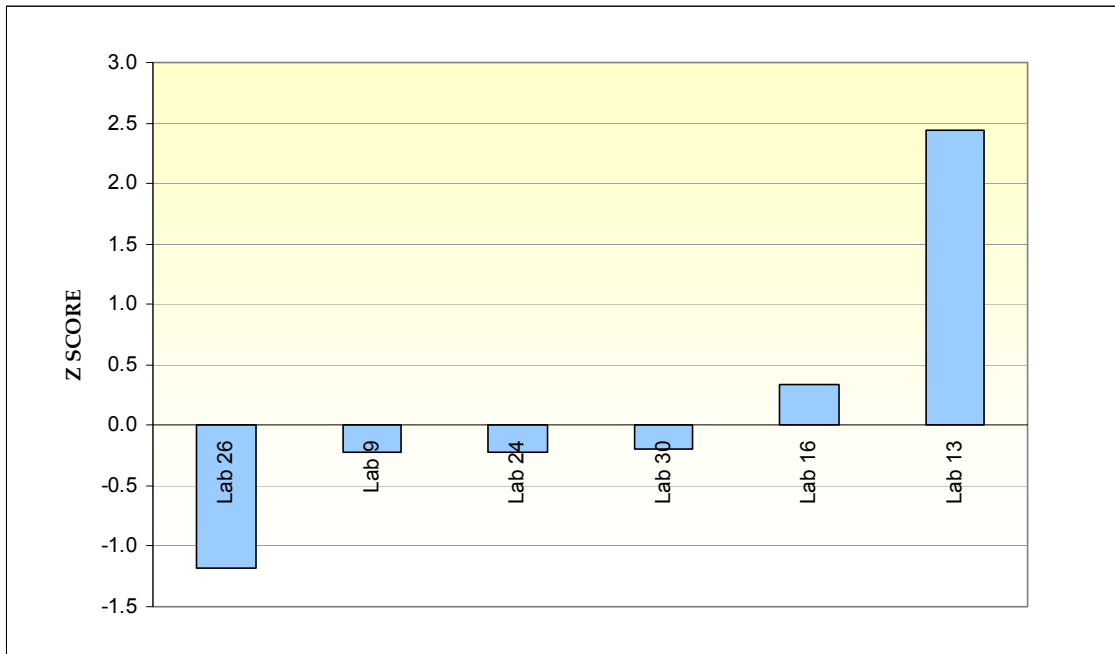
**Διάγραμμα 5.71 Λόγος έκθεσης στη φασματική περιοχή OTHERS:  
Σενάριο μέτρησης 1, Θέση μέτρησης 1**



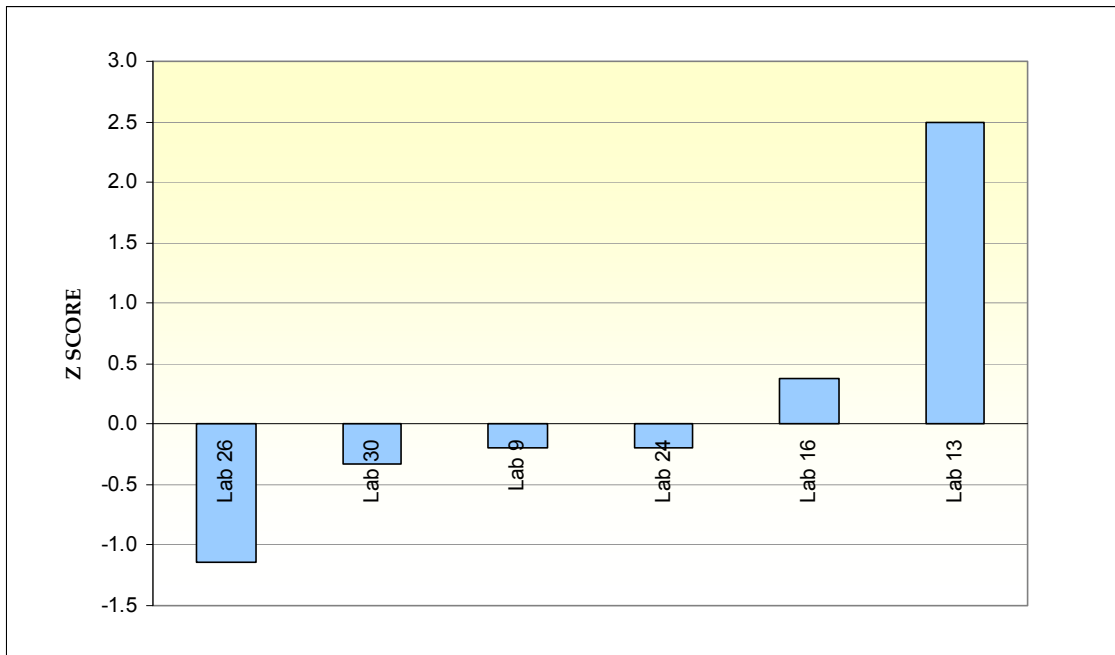
**Διάγραμμα 5.72 Λόγος έκθεσης στη φασματική περιοχή OTHERS:  
Σενάριο μέτρησης 1, Θέση μέτρησης 2**



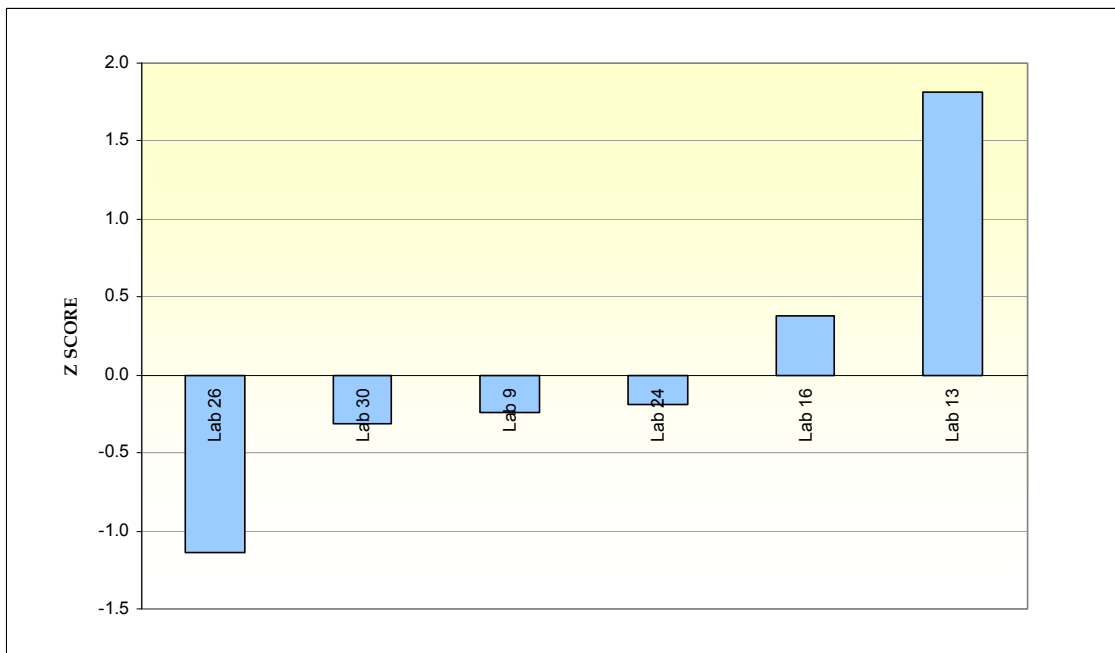
**Διάγραμμα 5.73 Λόγος έκθεσης στη φασματική περιοχή OTHERS:  
Σενάριο μέτρησης 1, Θέση μέτρησης 3**



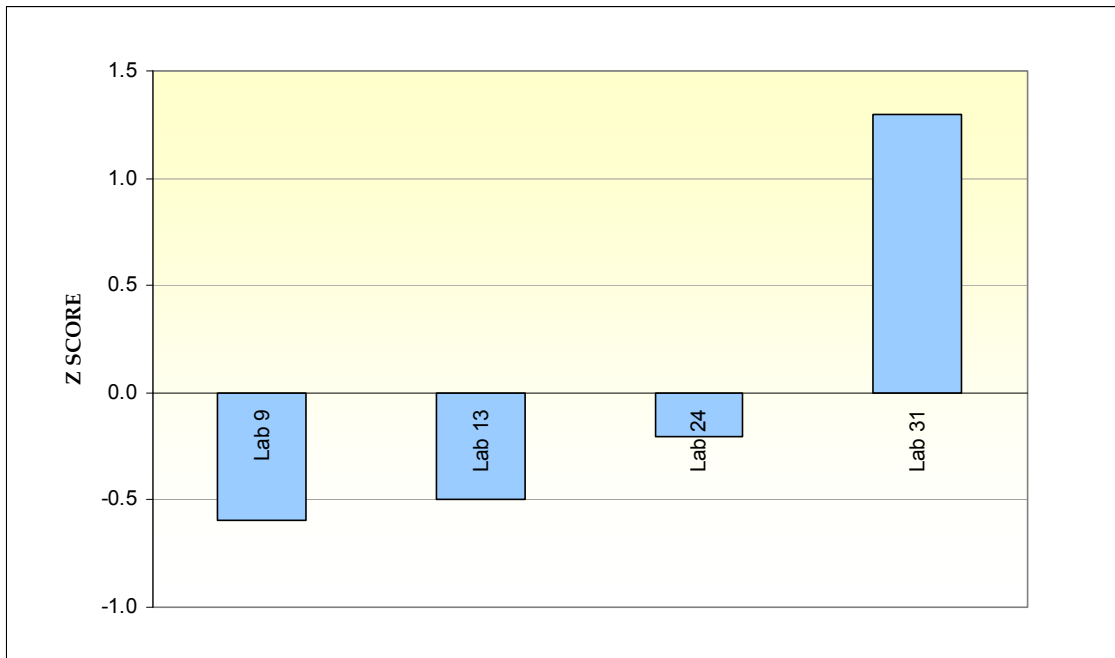
**Διάγραμμα 5.74 Λόγος έκθεσης στη φασματική περιοχή OTHERS:  
Σενάριο μέτρησης 2, Θέση μέτρησης 1**



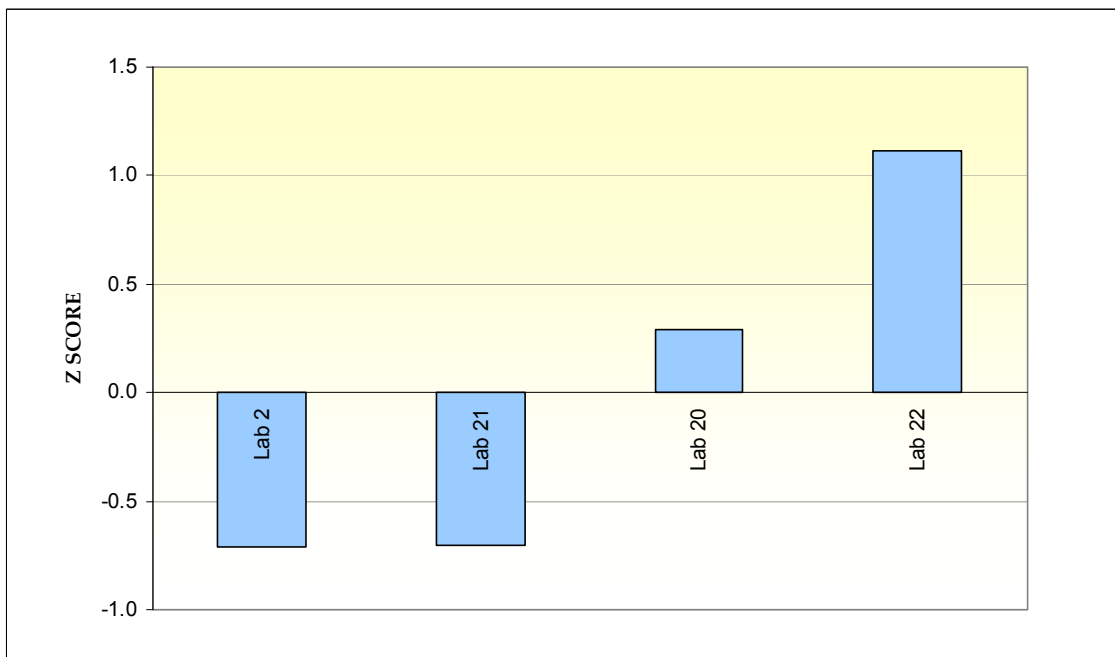
**Διάγραμμα 5.75 Λόγος έκθεσης στη φασματική περιοχή OTHERS:  
Σενάριο μέτρησης 2, Θέση μέτρησης 2**



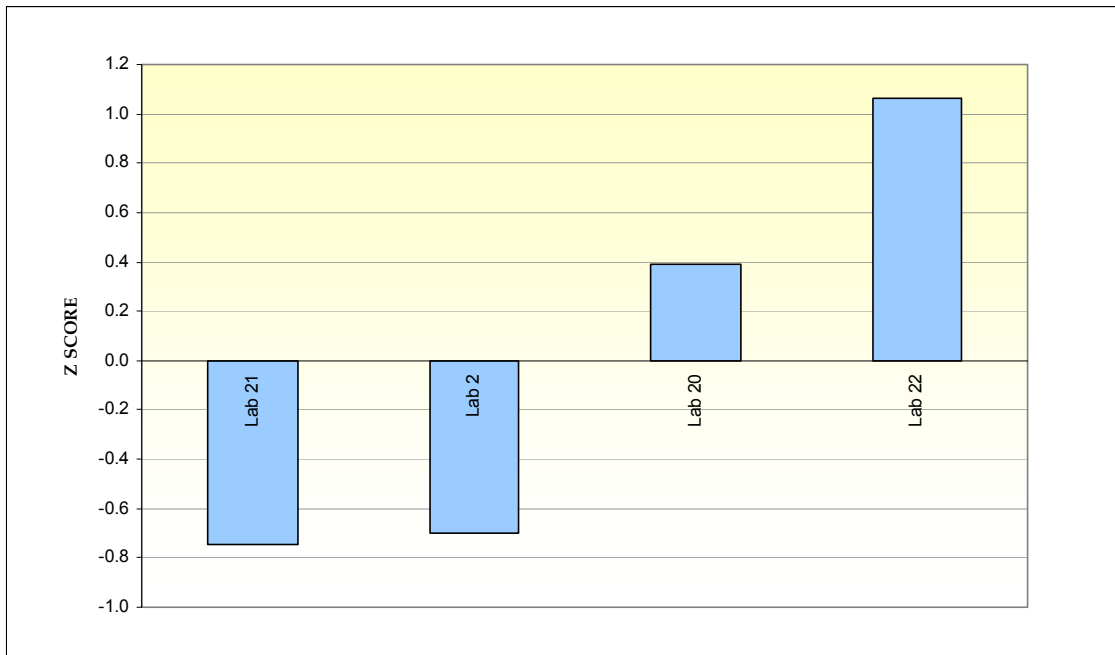
**Διάγραμμα 5.76 Λόγος έκθεσης στη φασματική περιοχή OTHERS:  
Σενάριο μέτρησης 2, Θέση μέτρησης 3**



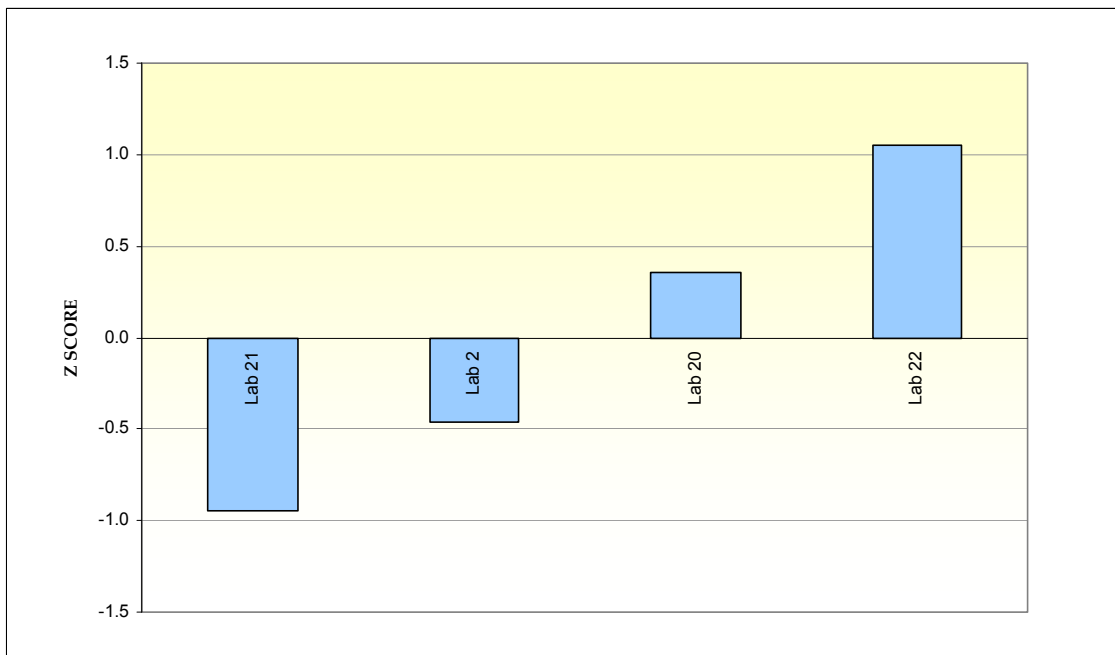
**Διάγραμμα 5.77 Λόγος έκθεσης στη φασματική περιοχή OTHERS:  
Σενάριο μέτρησης 3, Θέση μέτρησης 1**



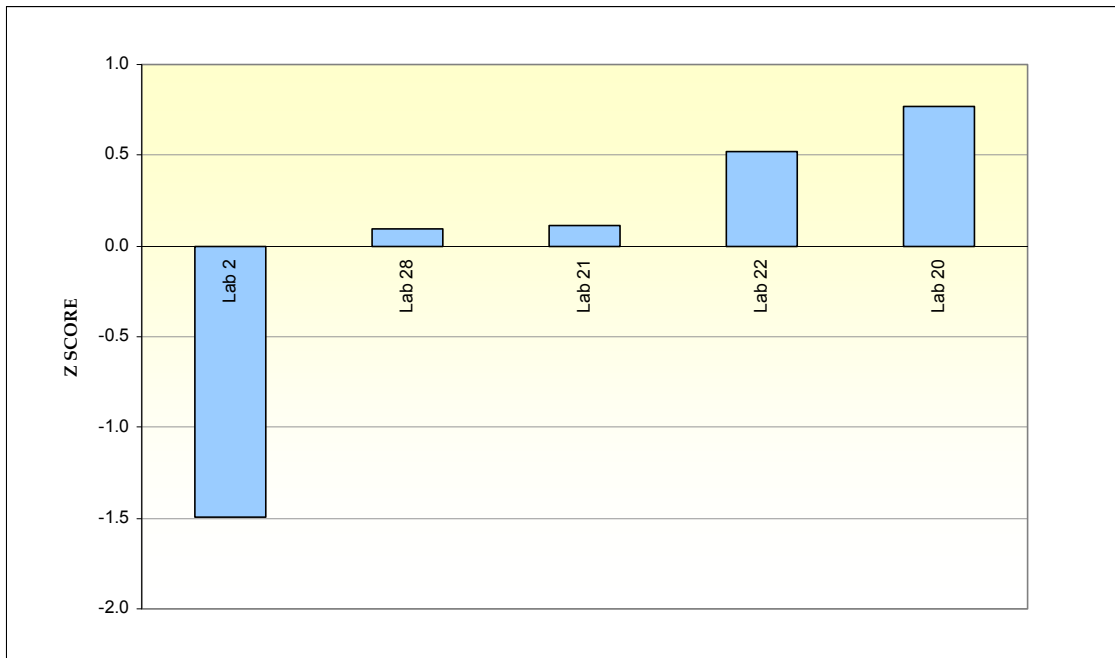
**Διάγραμμα 5.78 Λόγος έκθεσης στη φασματική περιοχή DCS-UMTS  
(1700-2200MHz): Σενάριο μέτρησης 1, Θέση μέτρησης 1**



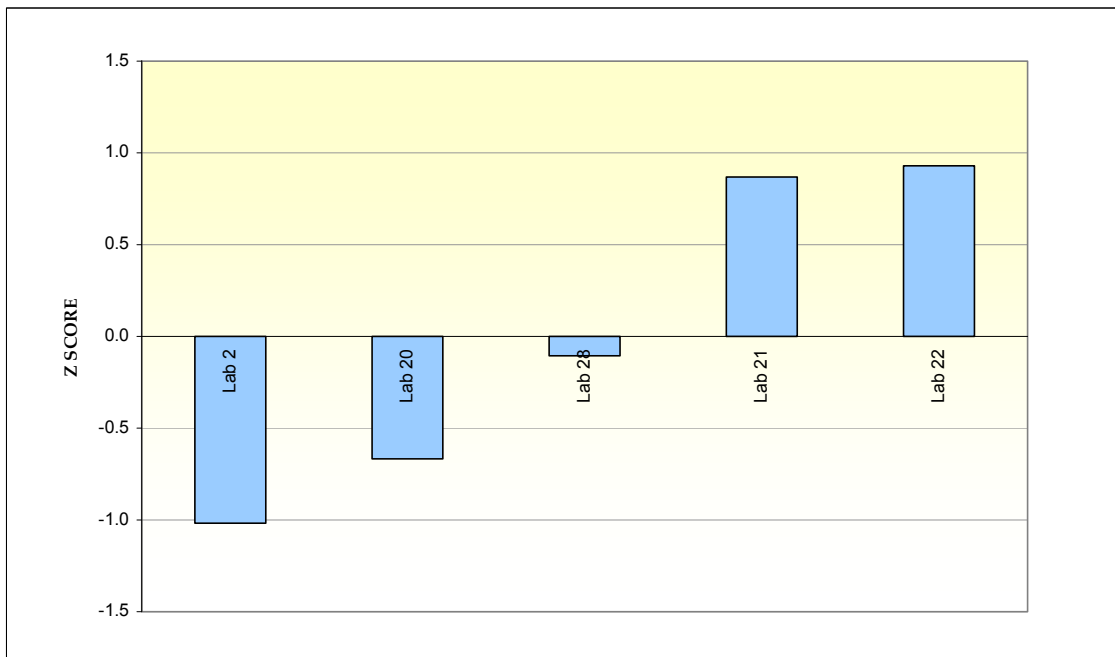
**Διάγραμμα 5.79** Λόγος έκθεσης στη φασματική περιοχή DCS-UMTS (1700-2200MHz): Σενάριο μέτρησης 1, Θέση μέτρησης 2



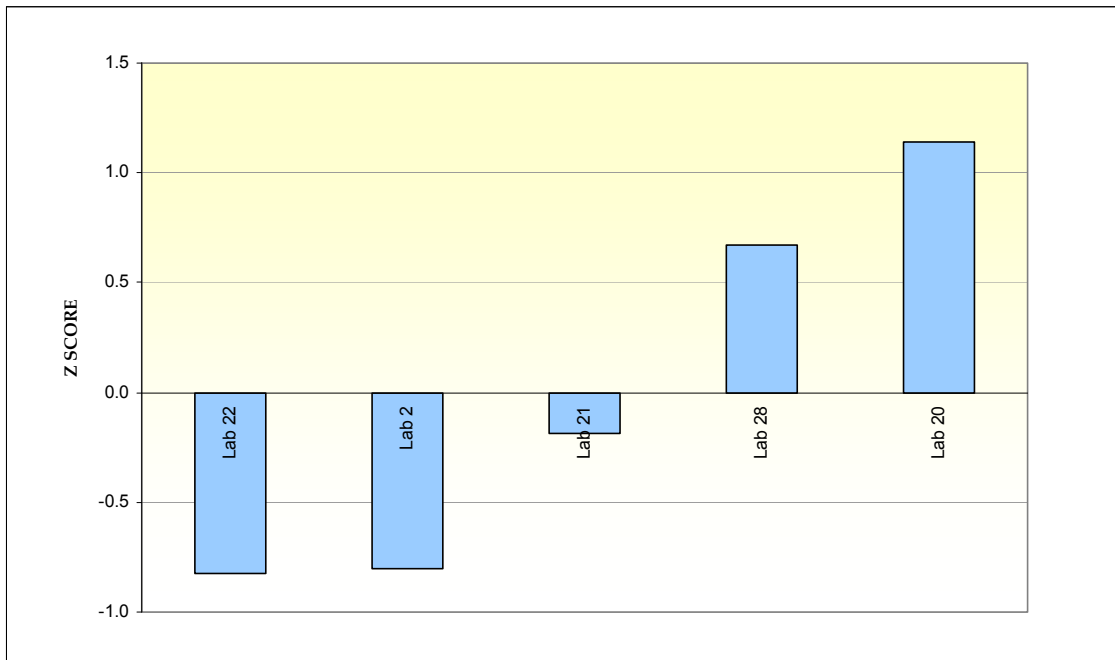
**Διάγραμμα 5.80** Λόγος έκθεσης στη φασματική περιοχή DCS-UMTS (1700-2200MHz): Σενάριο μέτρησης 1, Θέση μέτρησης 3



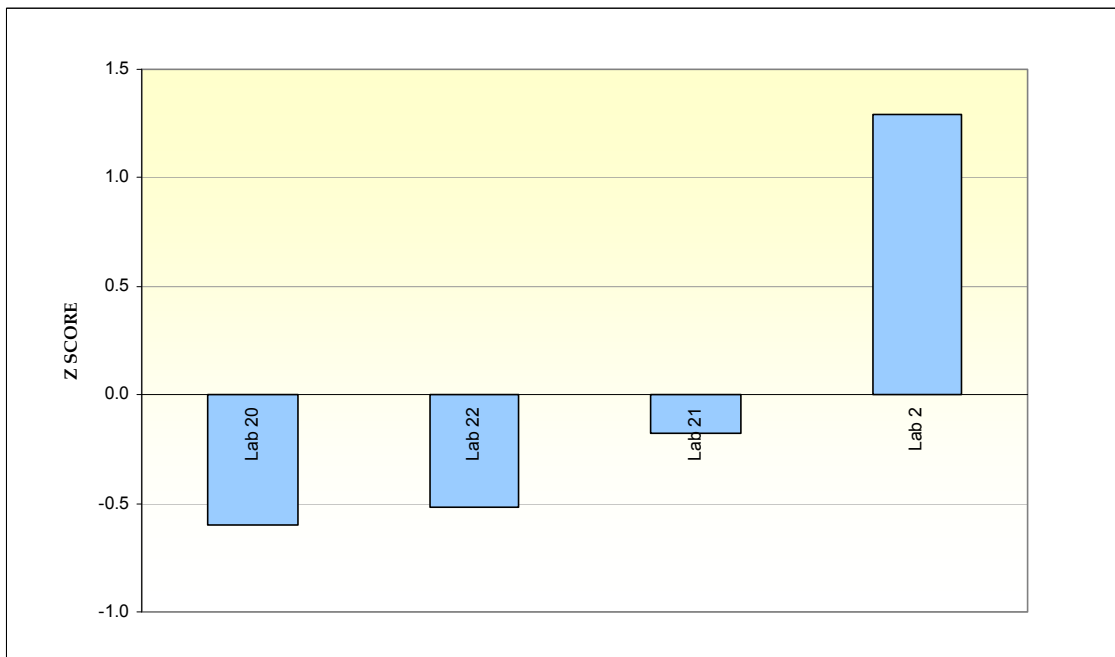
**Διάγραμμα 5.81** Λόγος έκθεσης στη φασματική περιοχή DCS-UMTS (1700-2200MHz): Σενάριο μέτρησης 2, Θέση μέτρησης 1



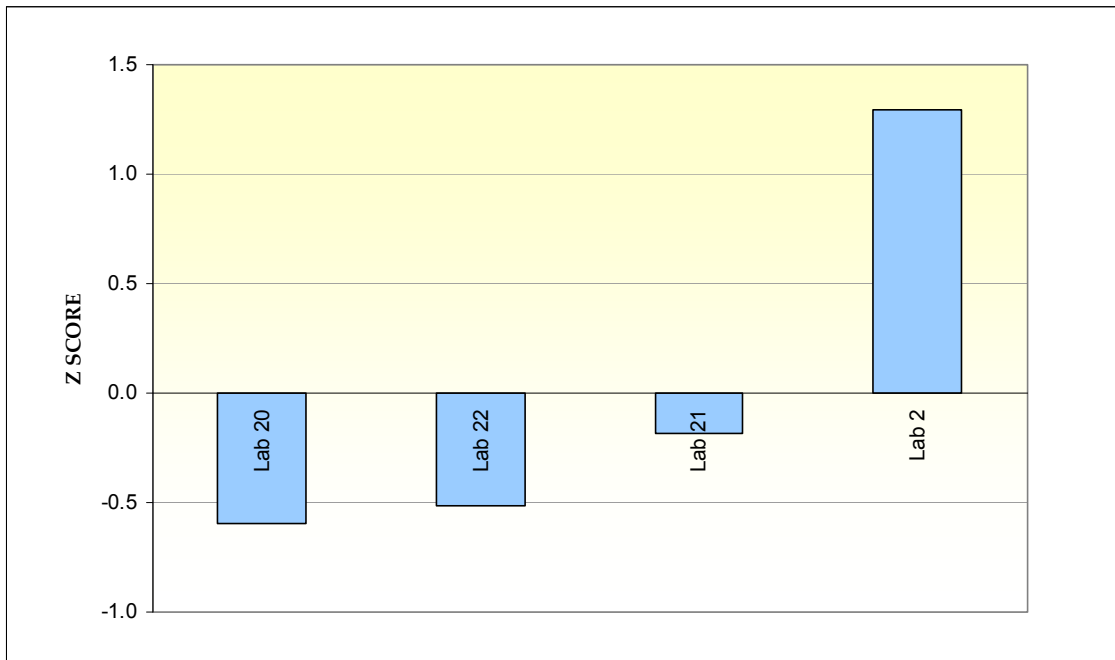
**Διάγραμμα 5.82** Λόγος έκθεσης στη φασματική περιοχή DCS-UMTS (1700-2200MHz): Σενάριο μέτρησης 2, Θέση μέτρησης 2



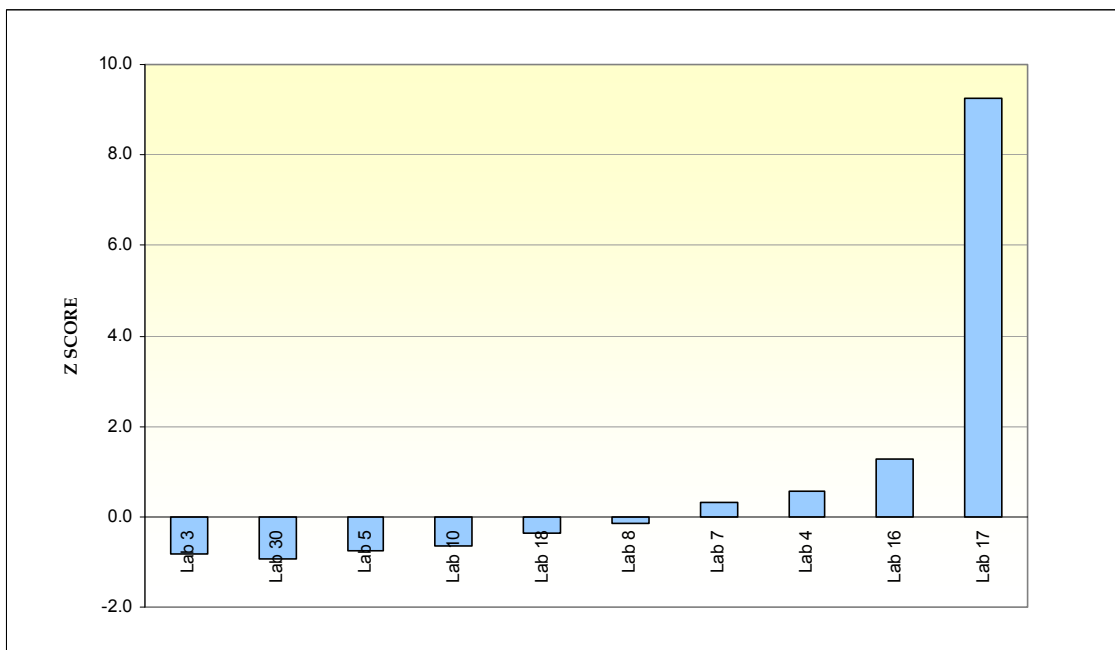
**Διάγραμμα 5.83** Λόγος έκθεσης στη φασματική περιοχή DCS-UMTS (1700-2200MHz): Σενάριο μέτρησης 2, Θέση μέτρησης 3



**Διάγραμμα 5.84** Λόγος έκθεσης στη φασματική περιοχή DCS-UMTS (1700-2200MHz): Σενάριο μέτρησης 3, Θέση μέτρησης 1

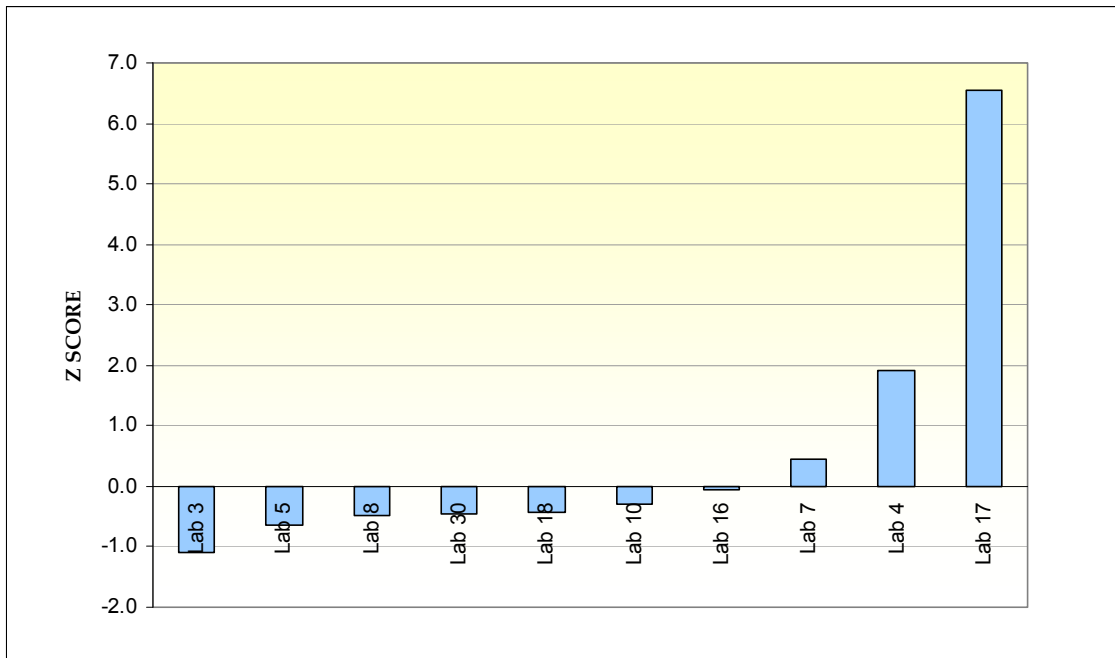


**Διάγραμμα 5.85 Λόγος έκθεσης στη φασματική περιοχή DCS-UMTS (1700-2200MHz): Σενάριο μέτρησης 3, Θέση μέτρησης 2**

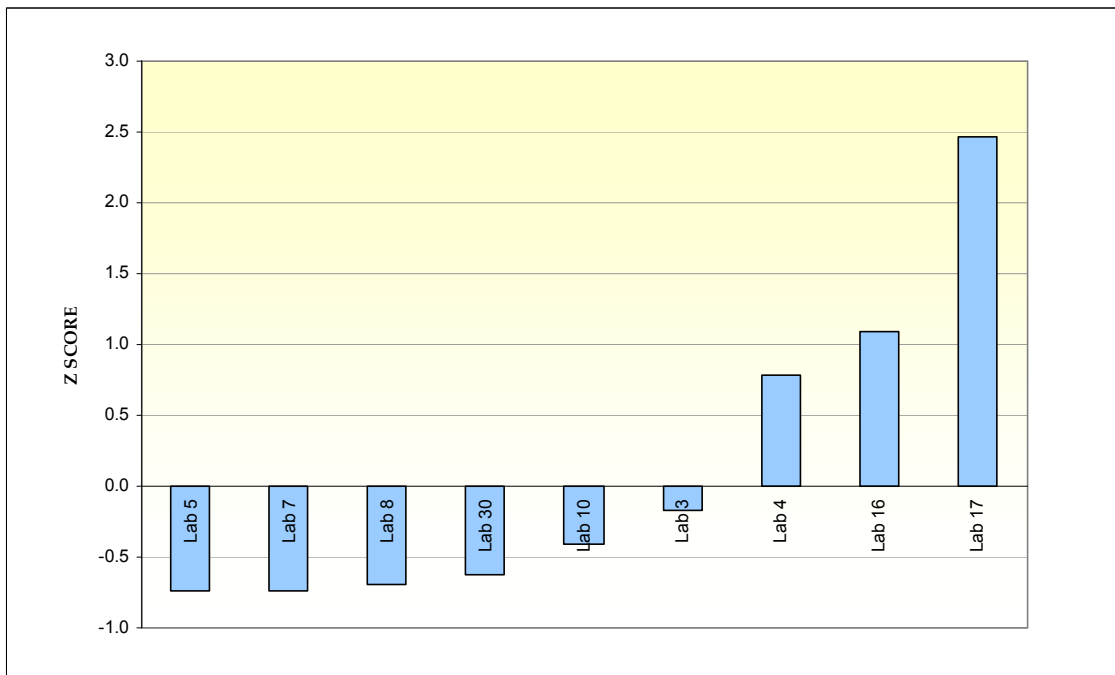


**Διάγραμμα 5.86 Μέση συνολική ένταση ηλεκτρικού πεδίου E(V/m): Σενάριο μέτρησης 1, Θέση μέτρησης 1**

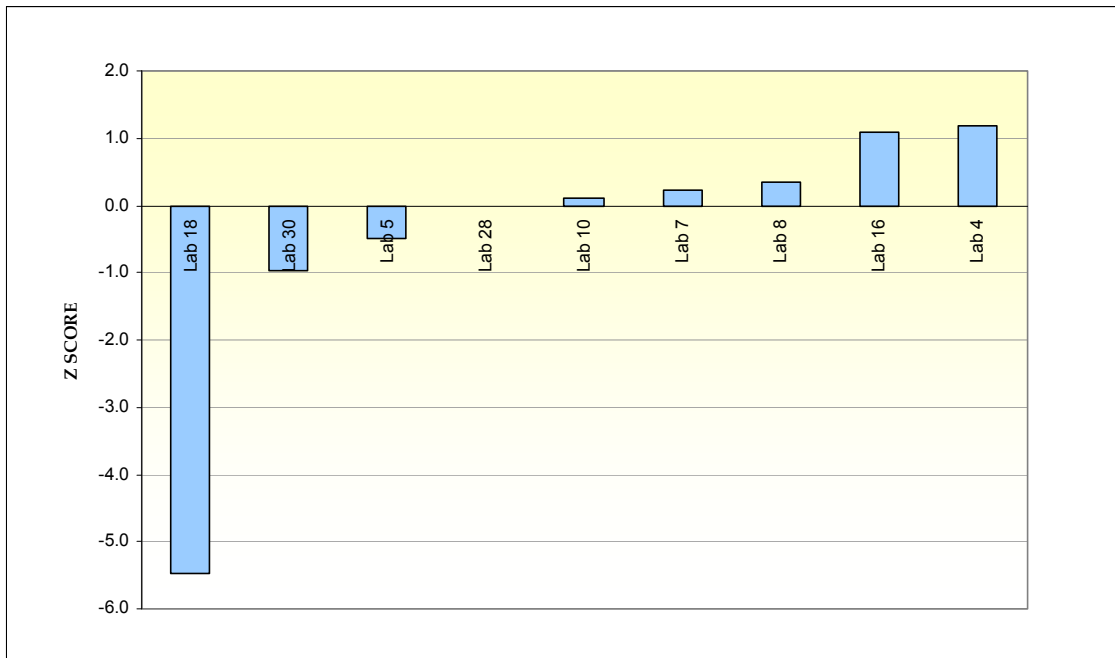




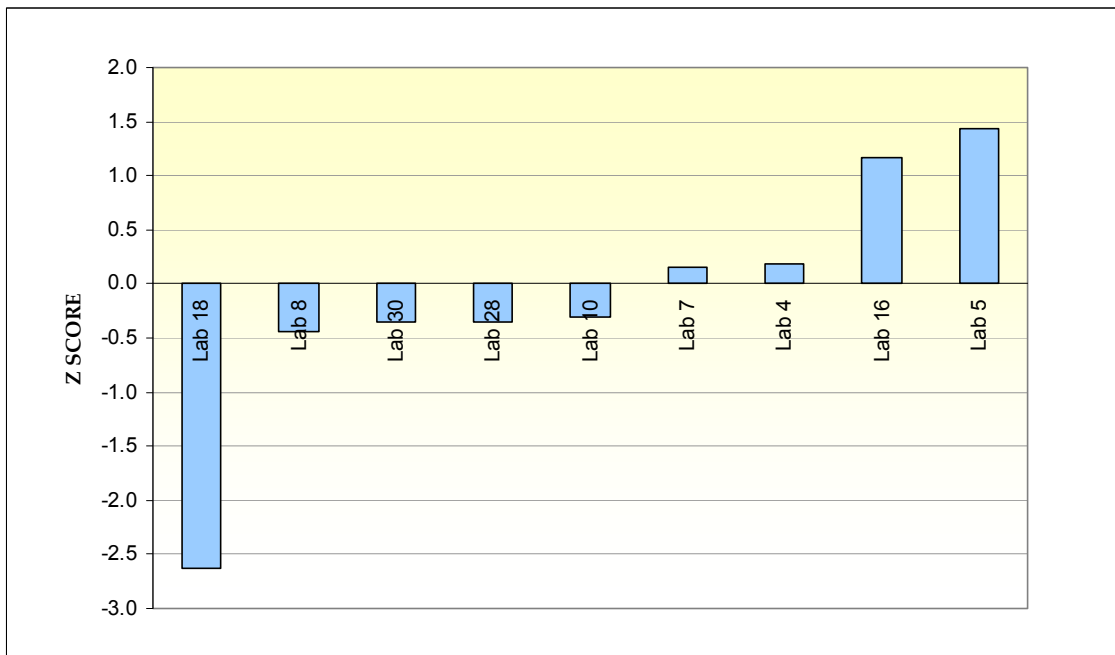
**Διάγραμμα 5.87 Μέση συνολική ένταση ηλεκτρικού πεδίου E(V/m):  
Σενάριο μέτρησης 1, Θέση μέτρησης 2**



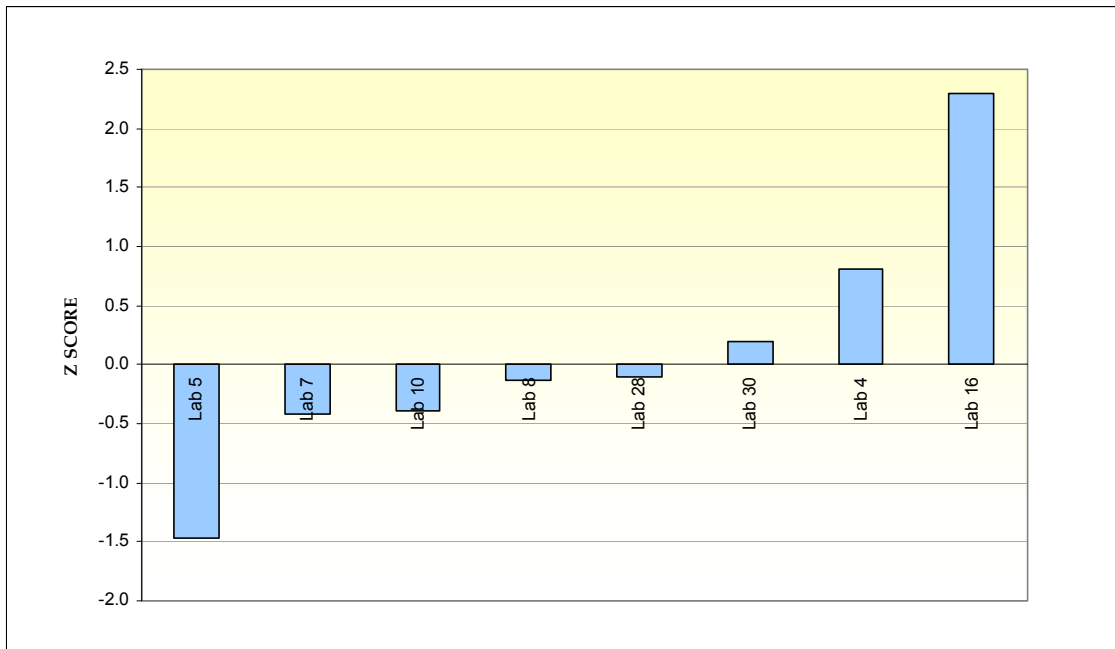
**Διάγραμμα 5.88 Μέση συνολική ένταση ηλεκτρικού πεδίου E(V/m):  
Σενάριο μέτρησης 1, Θέση μέτρησης 3**



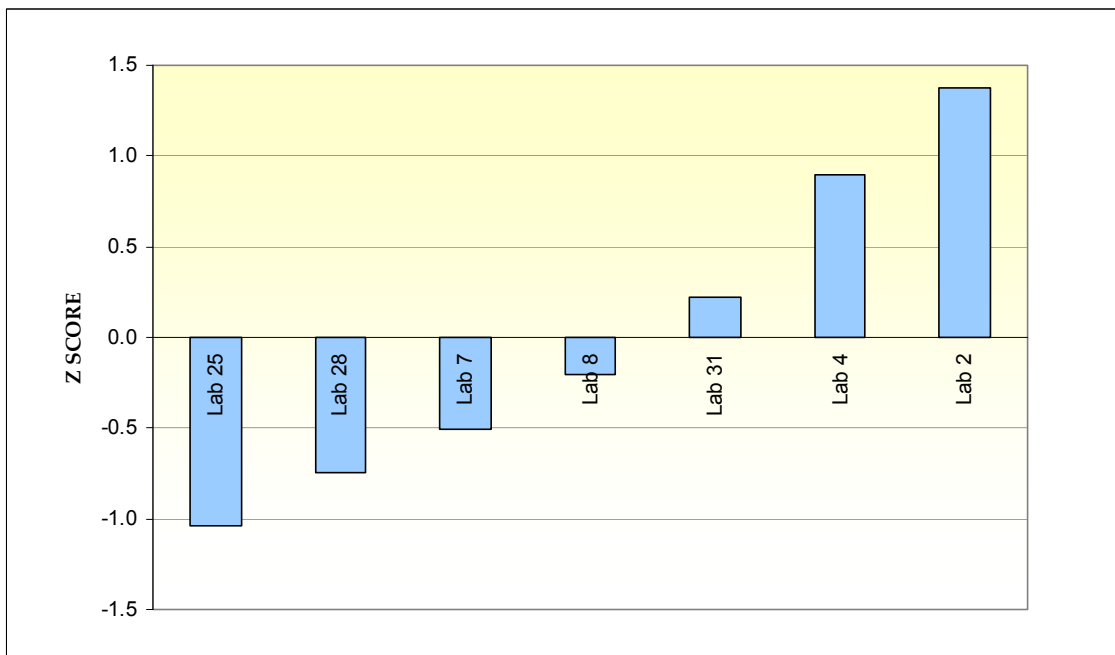
**Διάγραμμα 5.89 Μέση συνολική ένταση ηλεκτρικού πεδίου E(V/m):  
Σενάριο μέτρησης 2, Θέση μέτρησης 1**



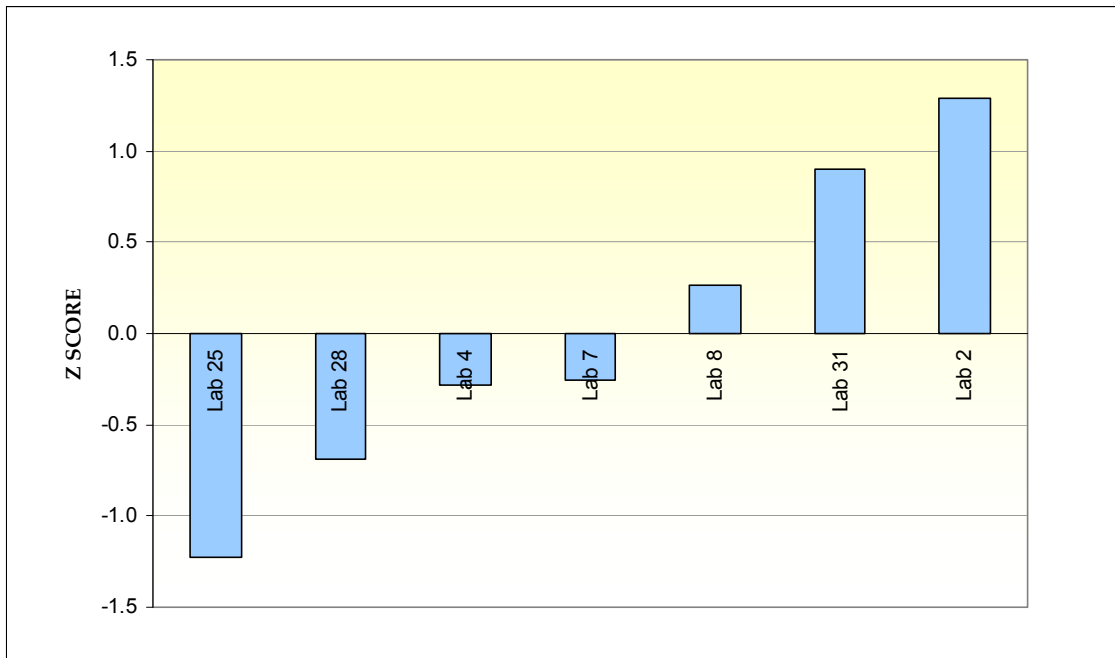
**Διάγραμμα 5.90 Μέση συνολική ένταση ηλεκτρικού πεδίου E(V/m):  
Σενάριο μέτρησης 2, Θέση μέτρησης 2**



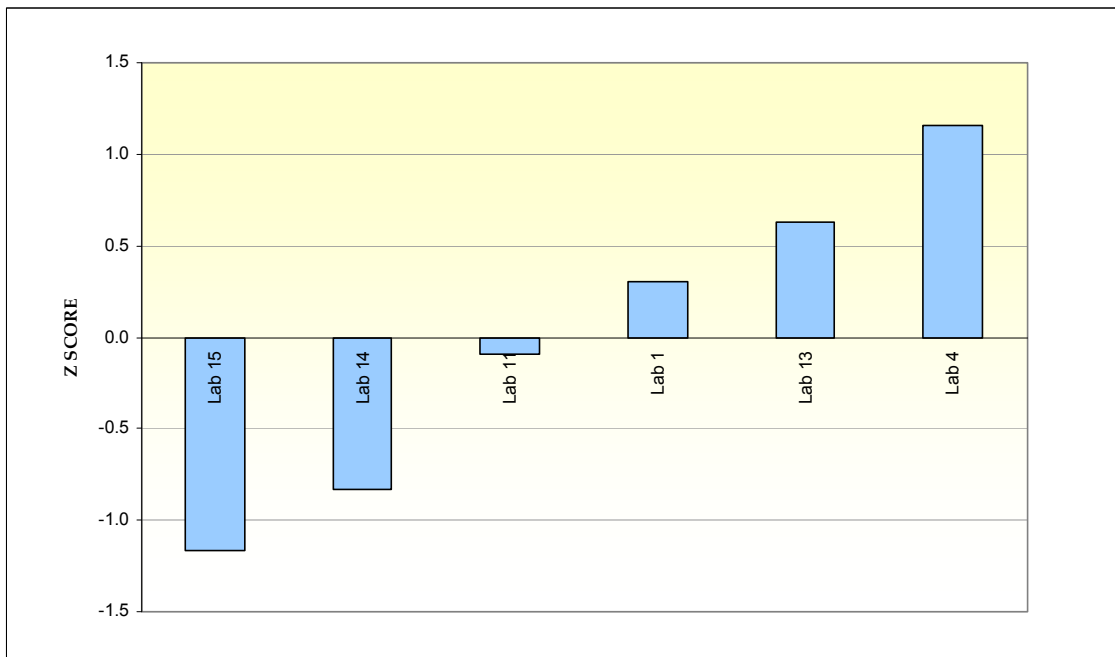
**Διάγραμμα 5.91 Μέση συνολική ένταση ηλεκτρικού πεδίου E(V/m):  
Σενάριο μέτρησης 2, Θέση μέτρησης 3**



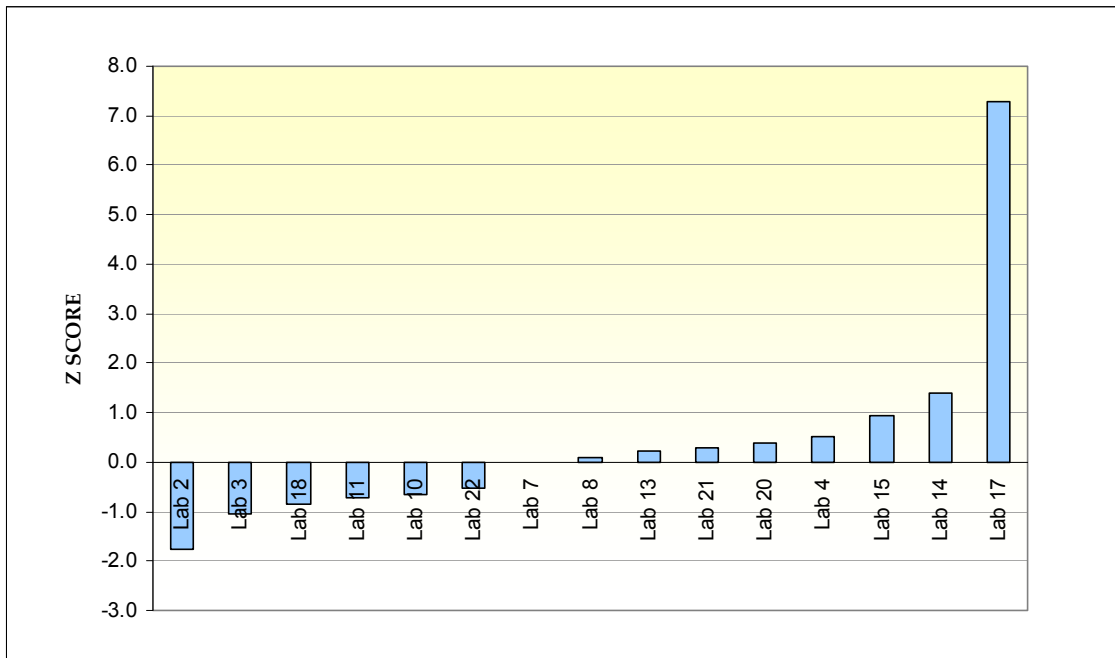
**Διάγραμμα 5.92 Μέση συνολική ένταση ηλεκτρικού πεδίου E(V/m):  
Σενάριο μέτρησης 3, Θέση μέτρησης 1**



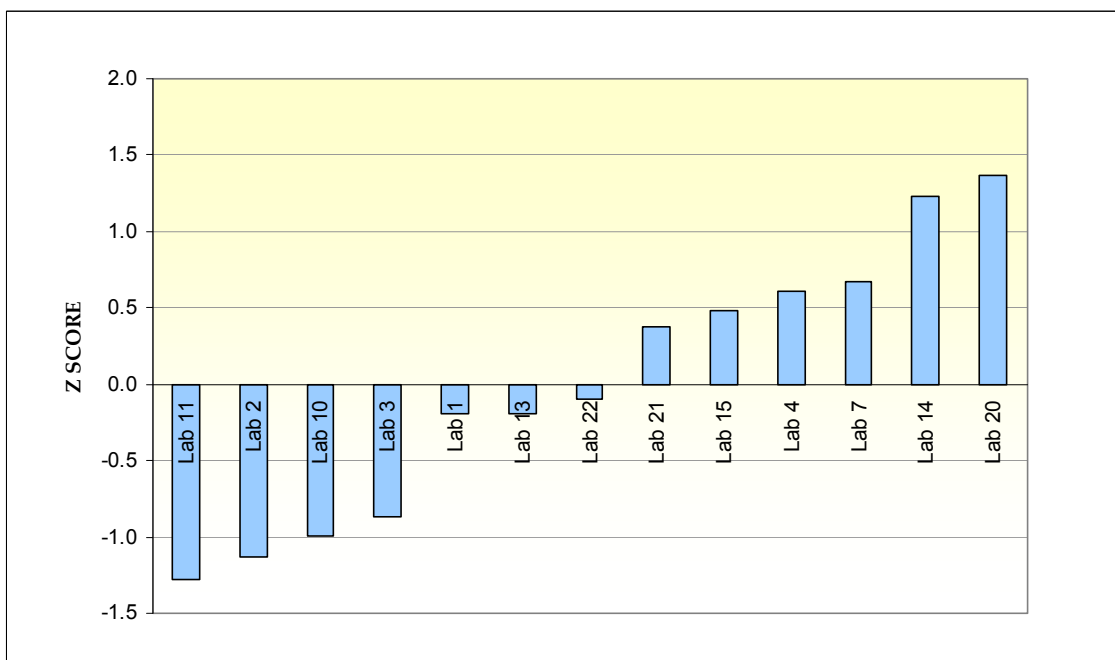
**Διάγραμμα 5.93 Μέση συνολική ένταση ηλεκτρικού πεδίου E(V/m):  
Σενάριο μέτρησης 3, Θέση μέτρησης 2**



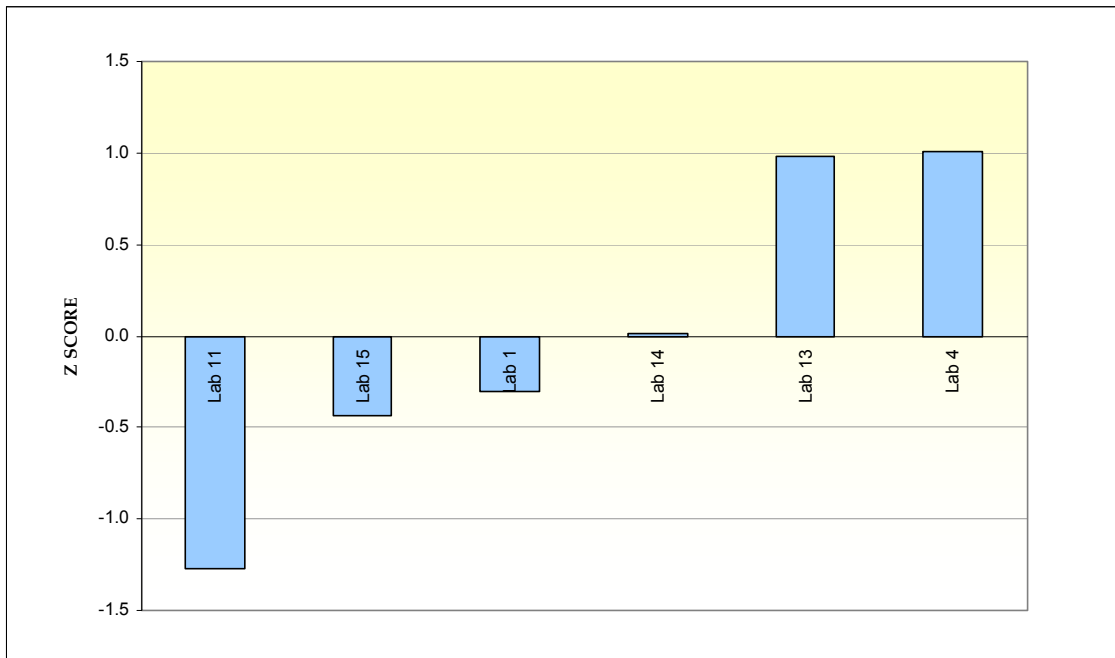
**Διάγραμμα 5.94 Μέση συνολική ένταση ηλεκτρικού πεδίου E(V/m):  
Σενάριο μέτρησης 1, Θέση μέτρησης 1, Ύψος μέτρησης 1.1m**



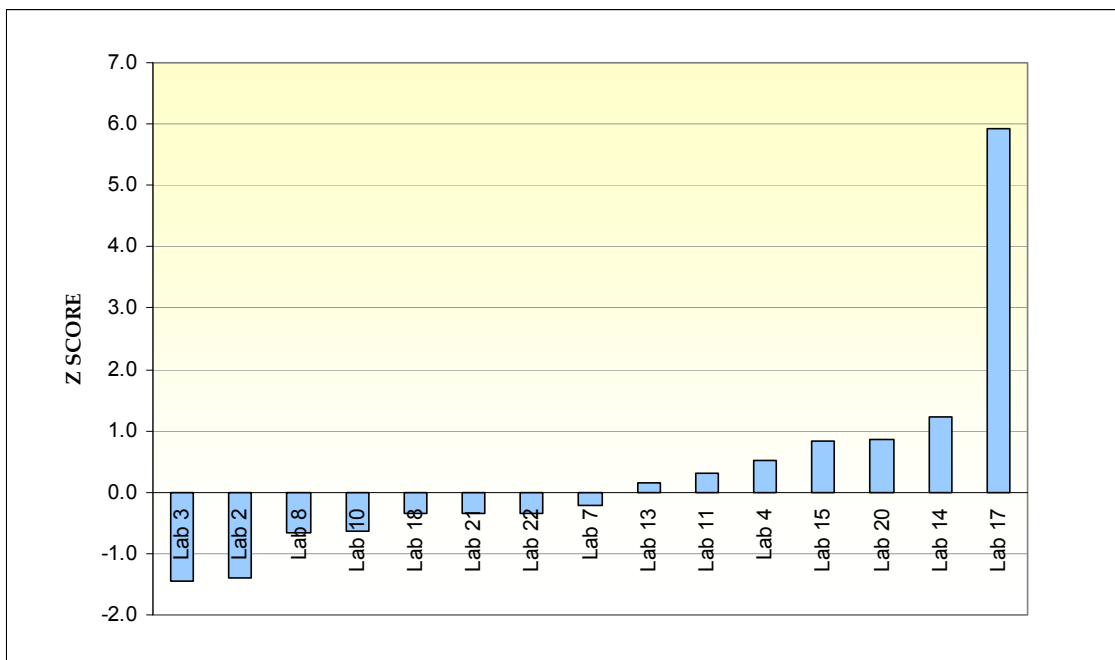
**Διάγραμμα 5.95 Μέση συνολική ένταση ηλεκτρικού πεδίου E(V/m):  
Σενάριο μέτρησης 1, Θέση μέτρησης 1, Ύψος μέτρησης 1.5m**



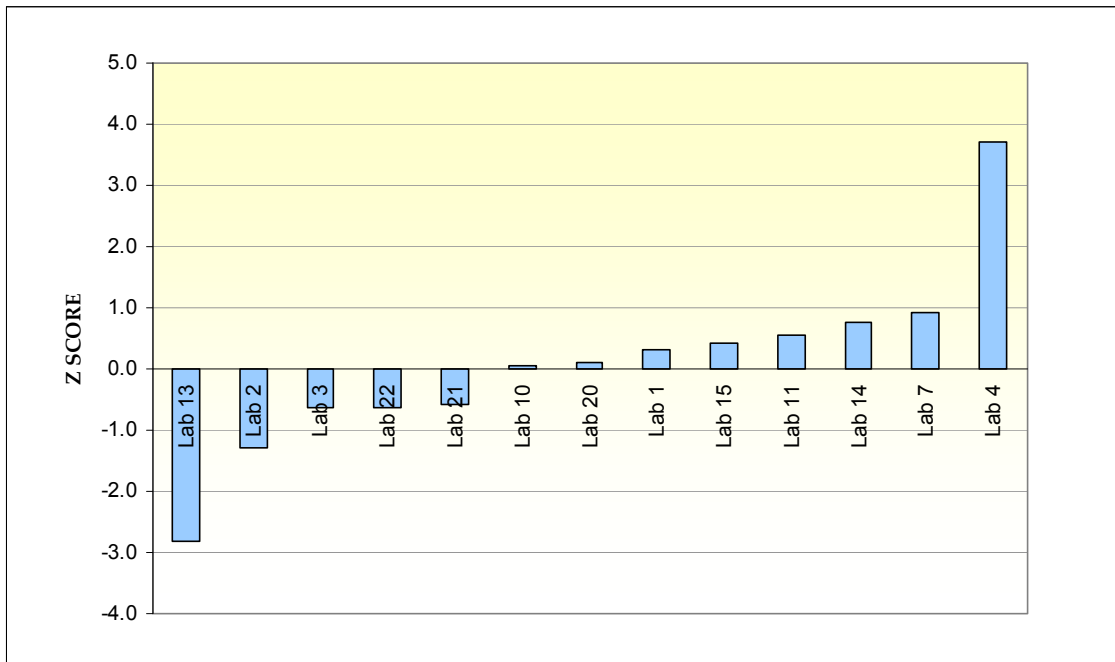
**Διάγραμμα 5.96 Μέση συνολική ένταση ηλεκτρικού πεδίου E(V/m):  
Σενάριο μέτρησης 1, Θέση μέτρησης 1, Ύψος μέτρησης 1.7m**



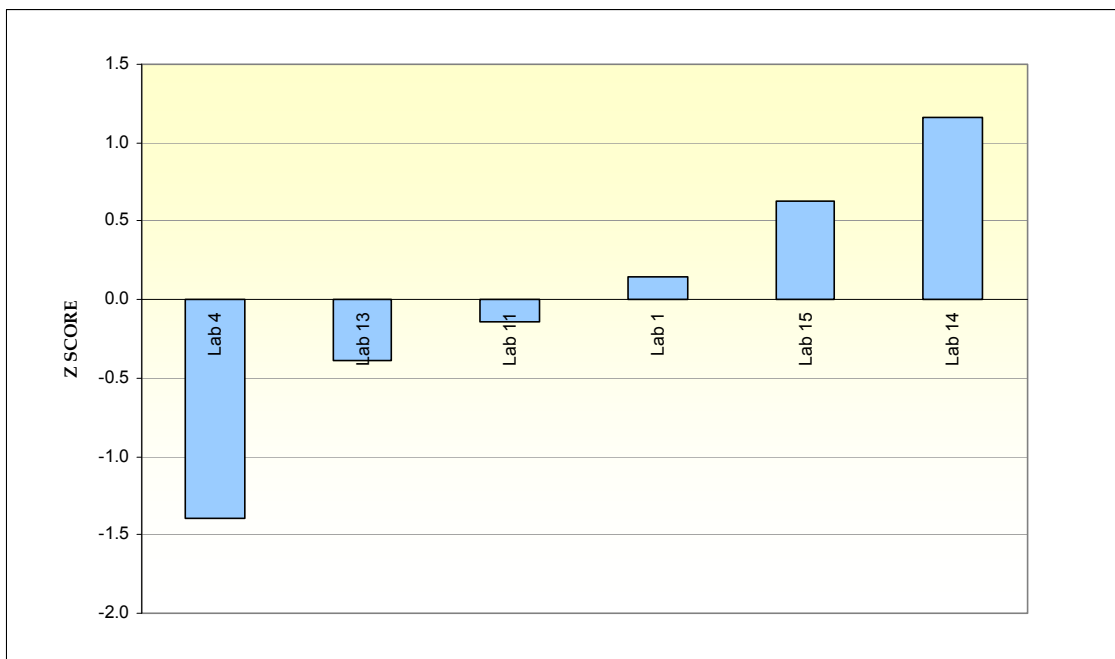
**Διάγραμμα 5.97 Μέση συνολική ένταση ηλεκτρικού πεδίου E(V/m):  
Σενάριο μέτρησης 1, Θέση μέτρησης 2, Ύψος μέτρησης 1.1m**



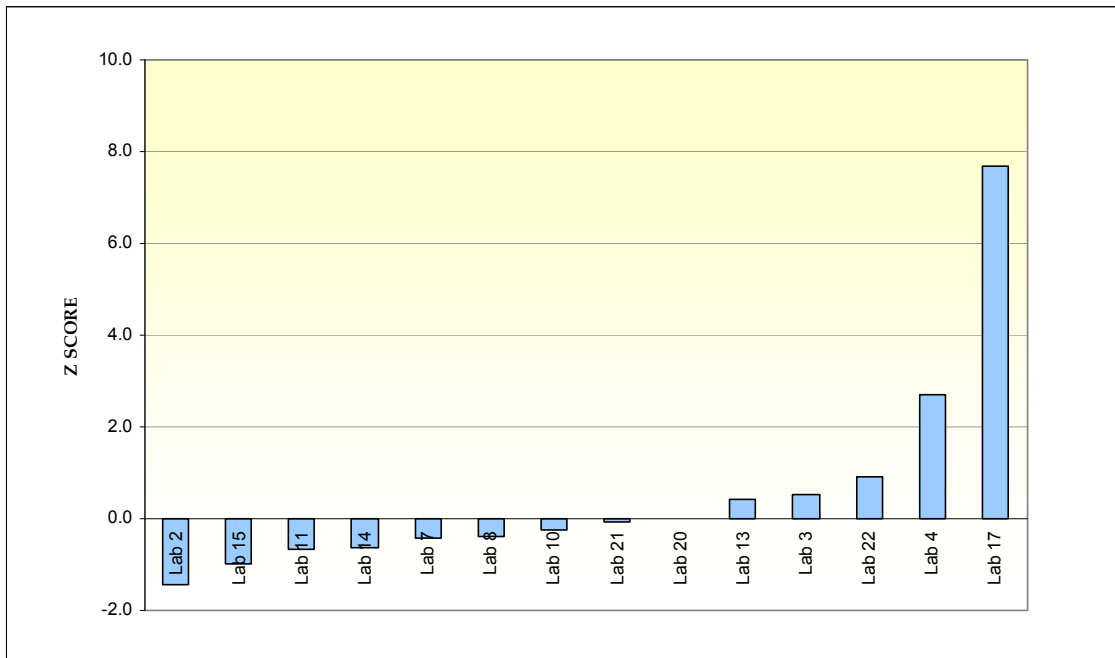
**Διάγραμμα 5.98 Μέση συνολική ένταση ηλεκτρικού πεδίου E(V/m):  
Σενάριο μέτρησης 1, Θέση μέτρησης 2, Ύψος μέτρησης 1.5m**



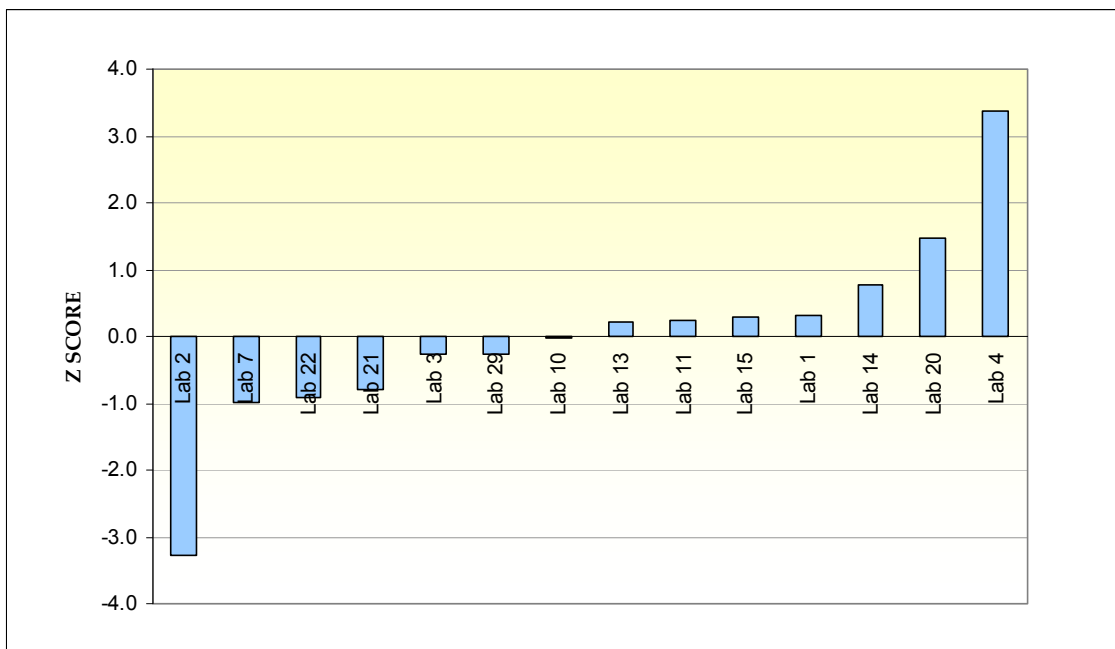
**Διάγραμμα 5.99 Μέση συνολική ένταση ηλεκτρικού πεδίου E(V/m):  
Σενάριο μέτρησης 1, Θέση μέτρησης 2, Ύψος μέτρησης 1.7m**



**Διάγραμμα 5.100 Μέση συνολική ένταση ηλεκτρικού πεδίου E(V/m):  
Σενάριο μέτρησης 1, Θέση μέτρησης 3, Ύψος μέτρησης 1.1m**

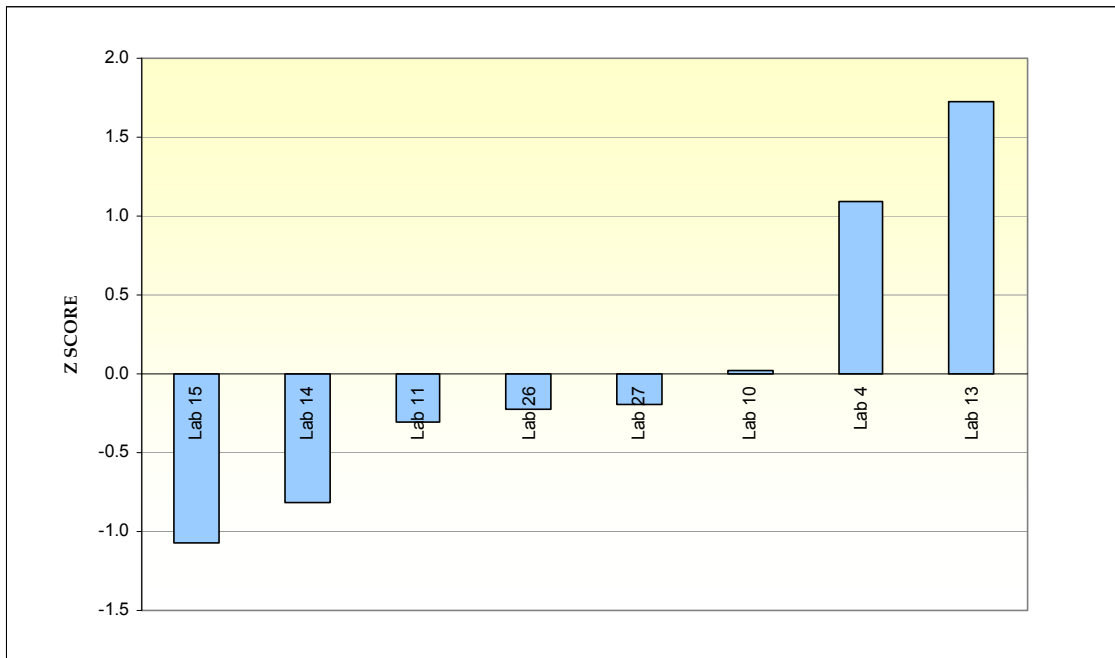


**Διάγραμμα 5.101 Μέση συνολική ένταση ηλεκτρικού πεδίου E(V/m):  
Σενάριο μέτρησης 1, Θέση μέτρησης 3, Ύψος μέτρησης 1.5m**

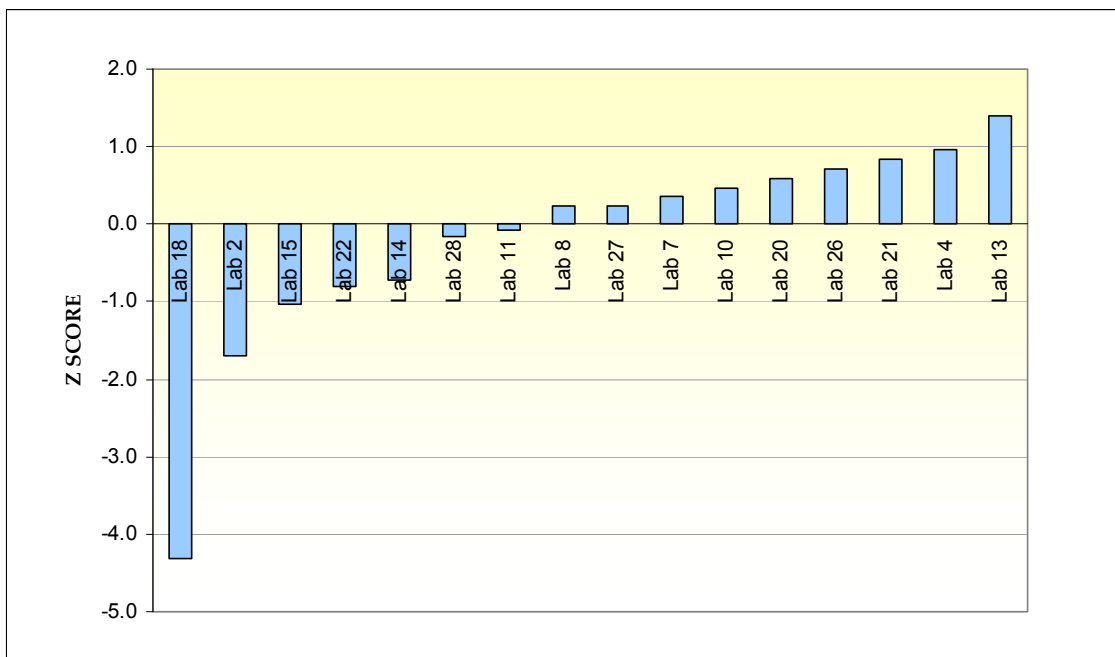


**Διάγραμμα 5.102 Μέση συνολική ένταση ηλεκτρικού πεδίου E(V/m):  
Σενάριο μέτρησης 1, Θέση μέτρησης 3, Ύψος μέτρησης 1.7m**

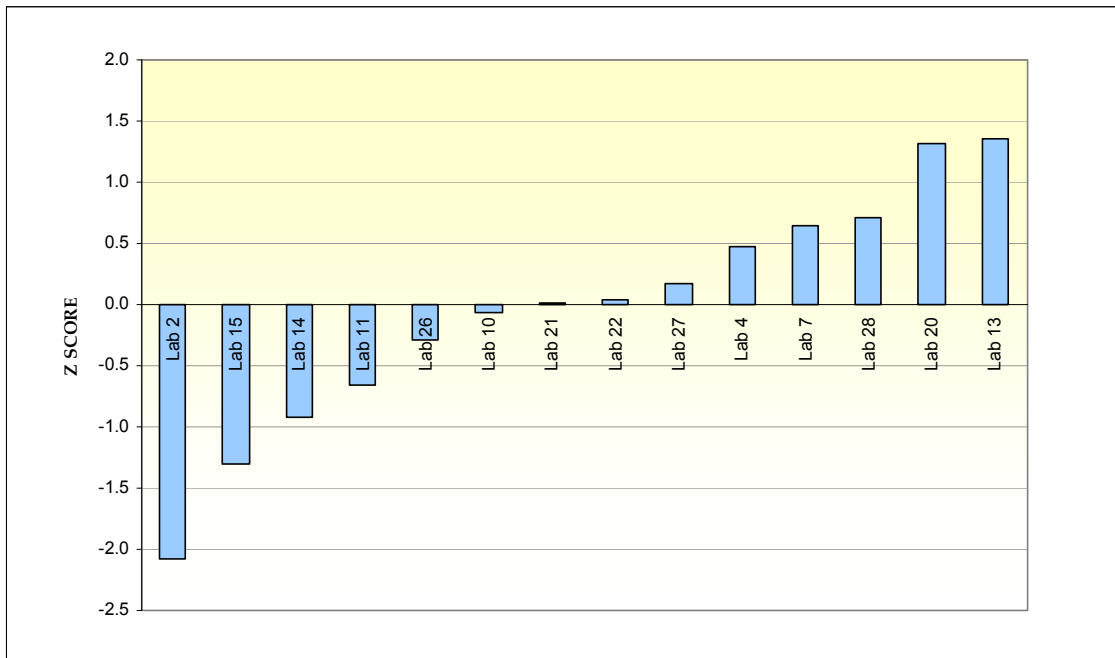




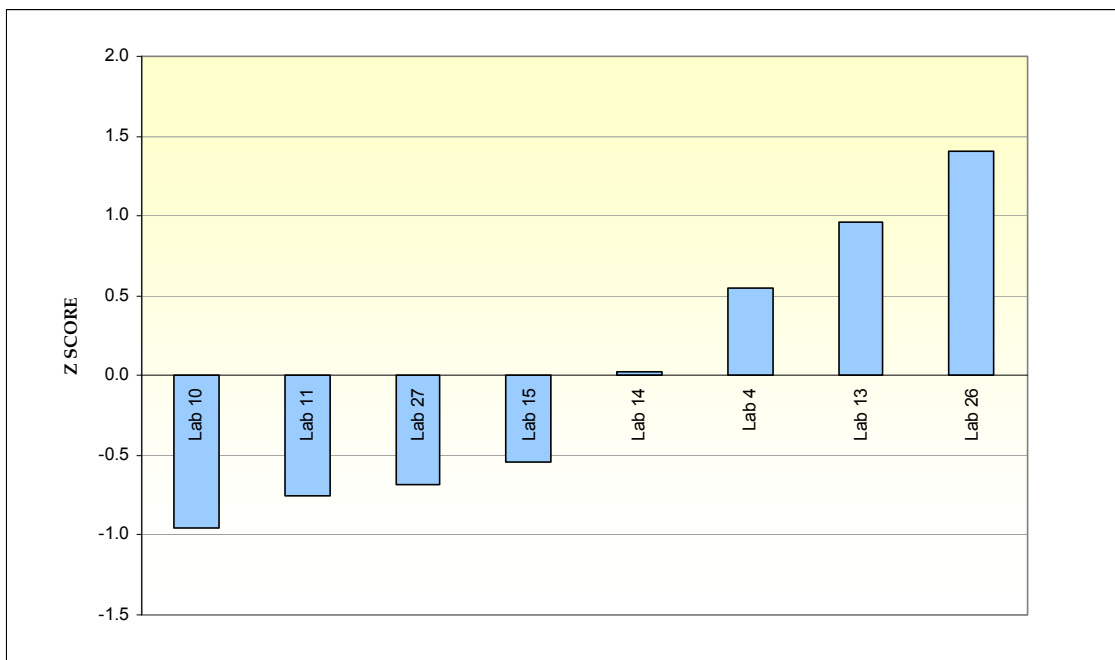
**Διάγραμμα 5.103 Μέση συνολική ένταση ηλεκτρικού πεδίου E(V/m):  
Σενάριο μέτρησης 2, Θέση μέτρησης 1, Ύψος μέτρησης 1.1m**



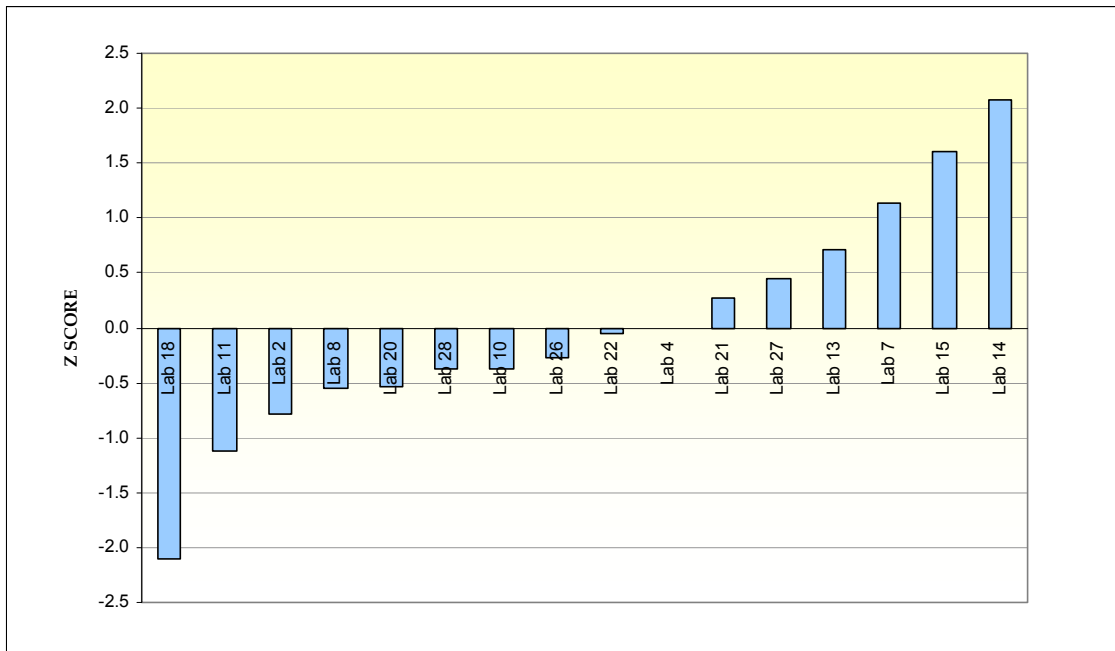
**Διάγραμμα 5.104 Μέση συνολική ένταση ηλεκτρικού πεδίου E(V/m):  
Σενάριο μέτρησης 2, Θέση μέτρησης 1, Ύψος μέτρησης 1.5m**



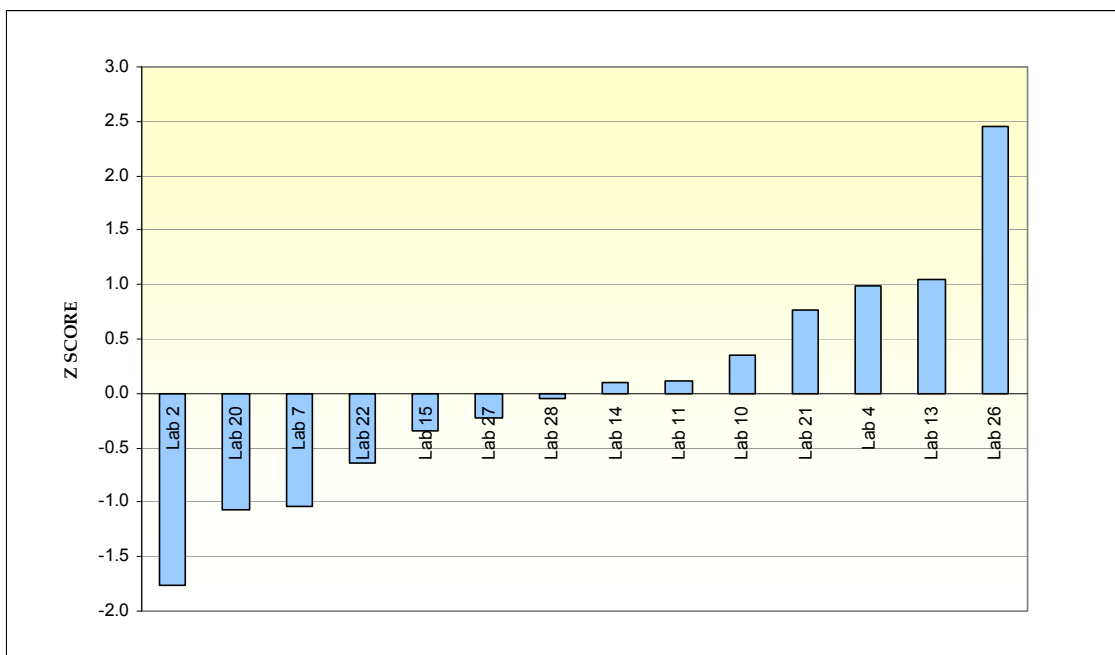
**Διάγραμμα 5.105 Μέση συνολική ένταση ηλεκτρικού πεδίου E(V/m):  
Σενάριο μέτρησης 2, Θέση μέτρησης 1, Ύψος μέτρησης 1.7m**



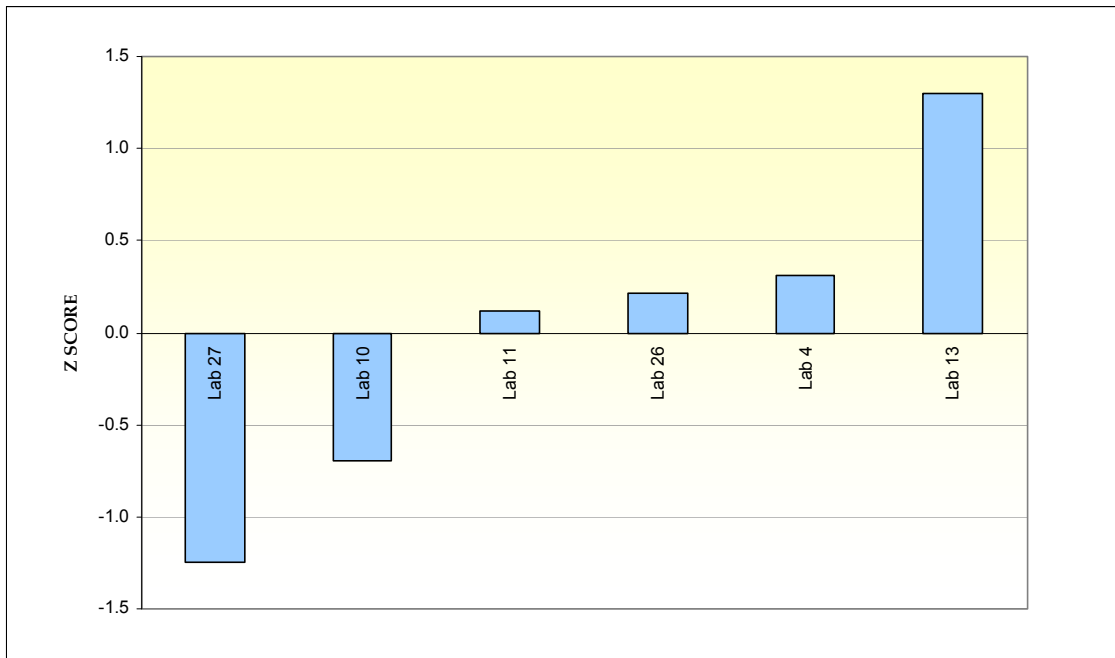
**Διάγραμμα 5.106 Μέση συνολική ένταση ηλεκτρικού πεδίου E(V/m):  
Σενάριο μέτρησης 2, Θέση μέτρησης 2, Ύψος μέτρησης 1.1m**



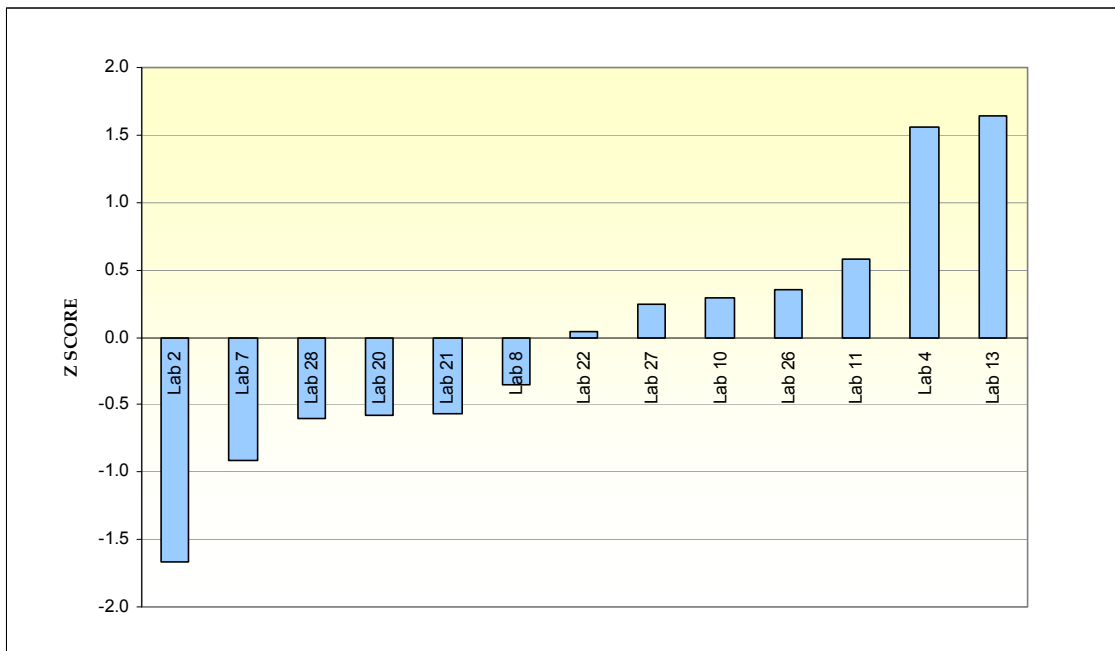
**Διάγραμμα 5.107 Μέση συνολική ένταση ηλεκτρικού πεδίου E(V/m):  
Σενάριο μέτρησης 2, Θέση μέτρησης 2, Ύψος μέτρησης 1.5m**



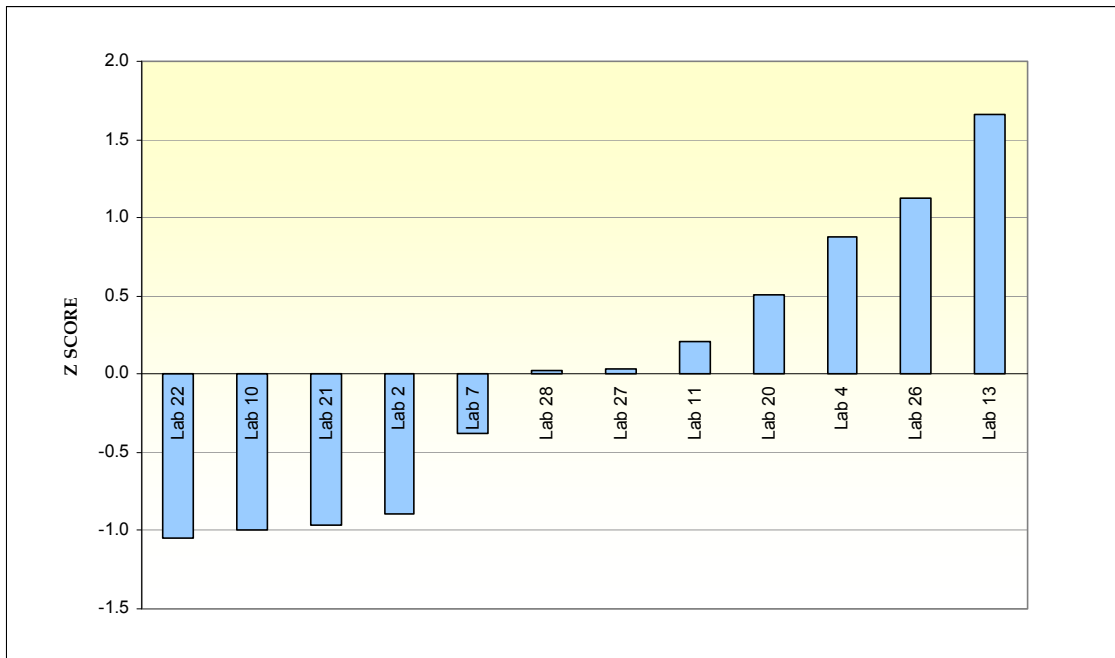
**Διάγραμμα 5.108 Μέση συνολική ένταση ηλεκτρικού πεδίου E(V/m):  
Σενάριο μέτρησης 2, Θέση μέτρησης 2, Ύψος μέτρησης 1.7m**



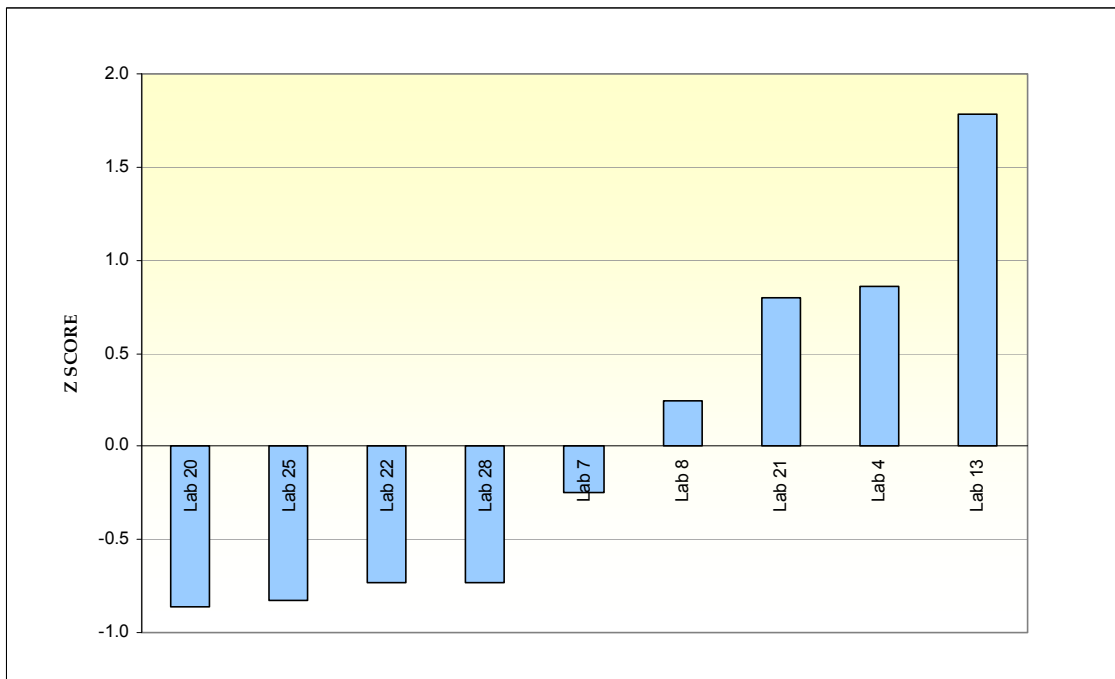
**Διάγραμμα 5.109 Μέση συνολική ένταση ηλεκτρικού πεδίου E(V/m):  
Σενάριο μέτρησης 2, Θέση μέτρησης 3, Ύψος μέτρησης 1.1m**



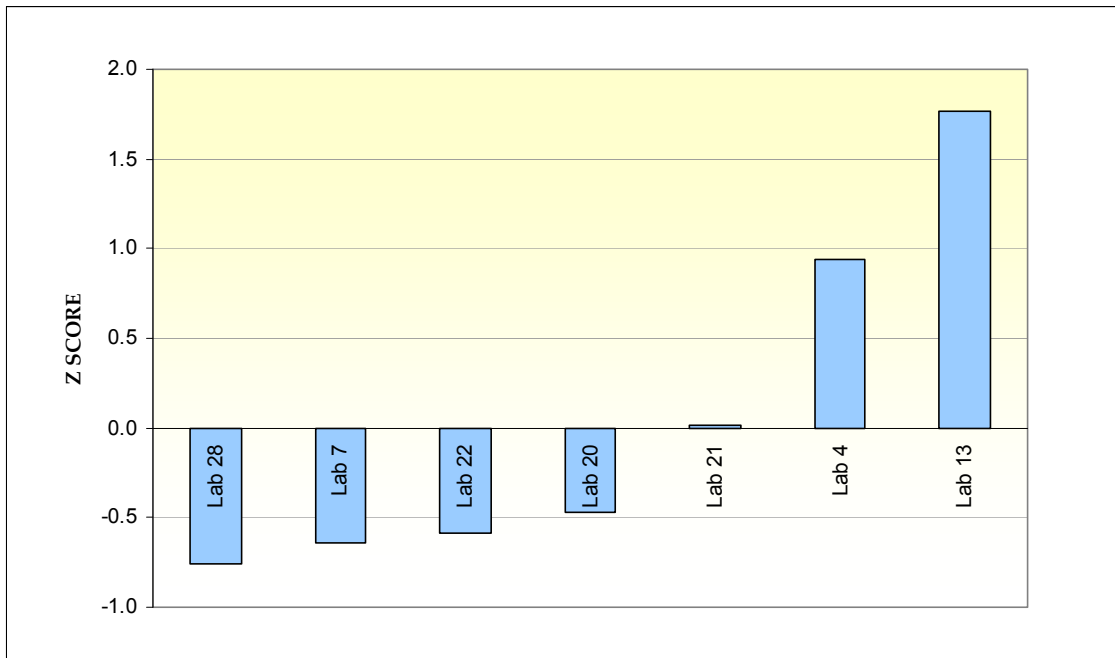
**Διάγραμμα 5.110 Μέση συνολική ένταση ηλεκτρικού πεδίου E(V/m):  
Σενάριο μέτρησης 2, Θέση μέτρησης 3, Ύψος μέτρησης 1.5m**



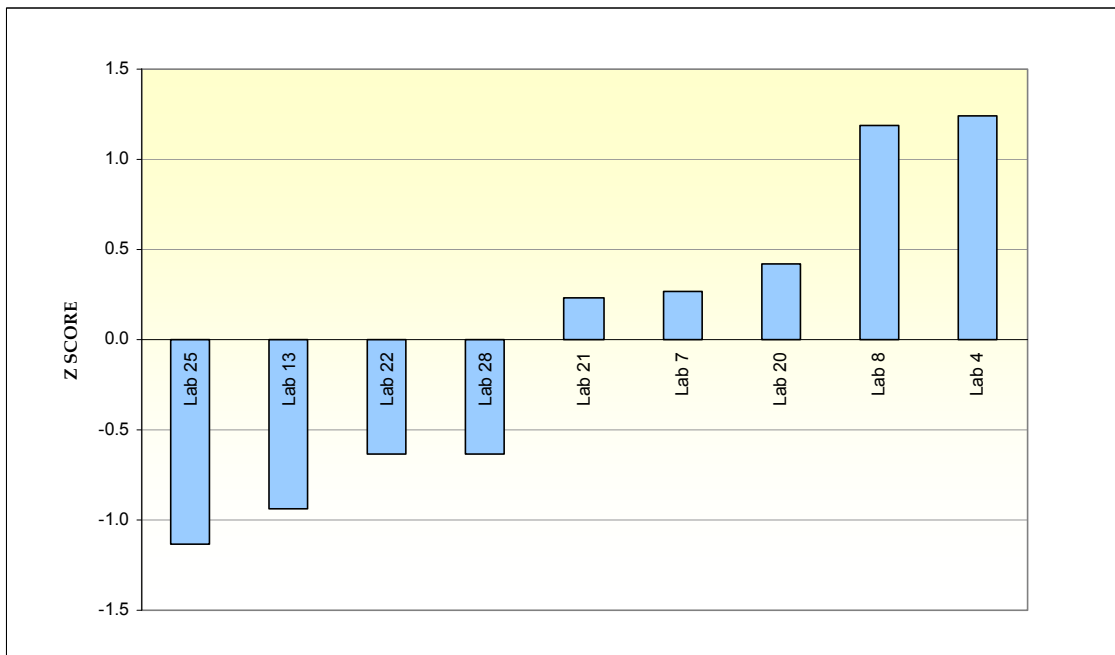
**Διάγραμμα 5.111 Μέση συνολική ένταση ηλεκτρικού πεδίου E(V/m):  
Σενάριο μέτρησης 2, Θέση μέτρησης 3, Ύψος μέτρησης 1.7m**



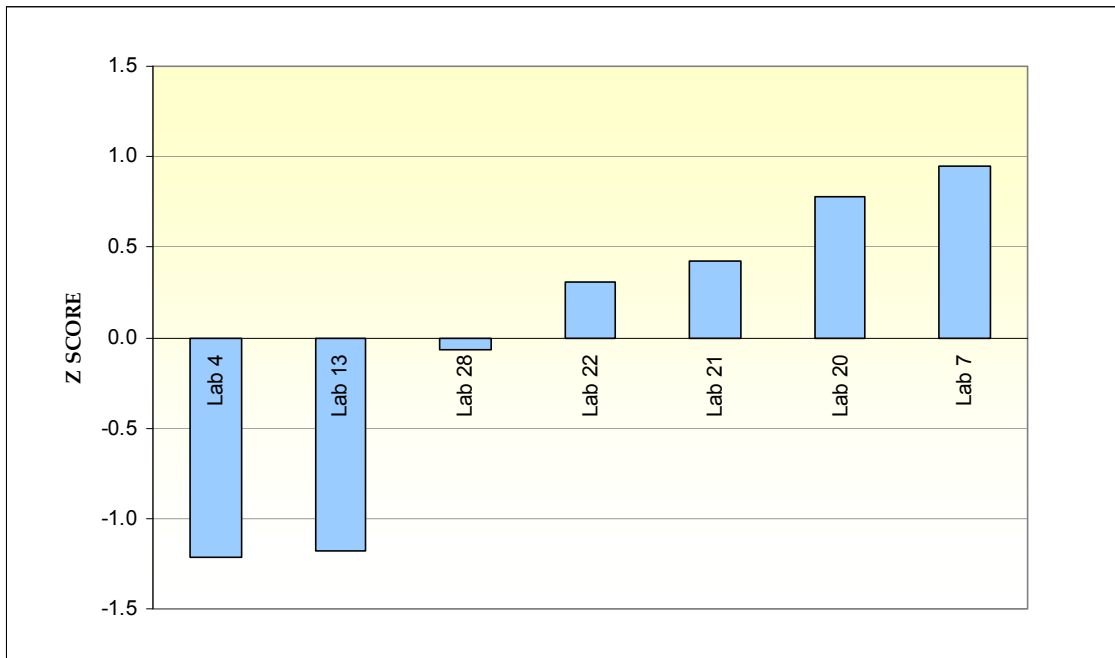
**Διάγραμμα 5.112 Μέση συνολική ένταση ηλεκτρικού πεδίου E(V/m):  
Σενάριο μέτρησης 3, Θέση μέτρησης 1, Ύψος μέτρησης 1.5m**



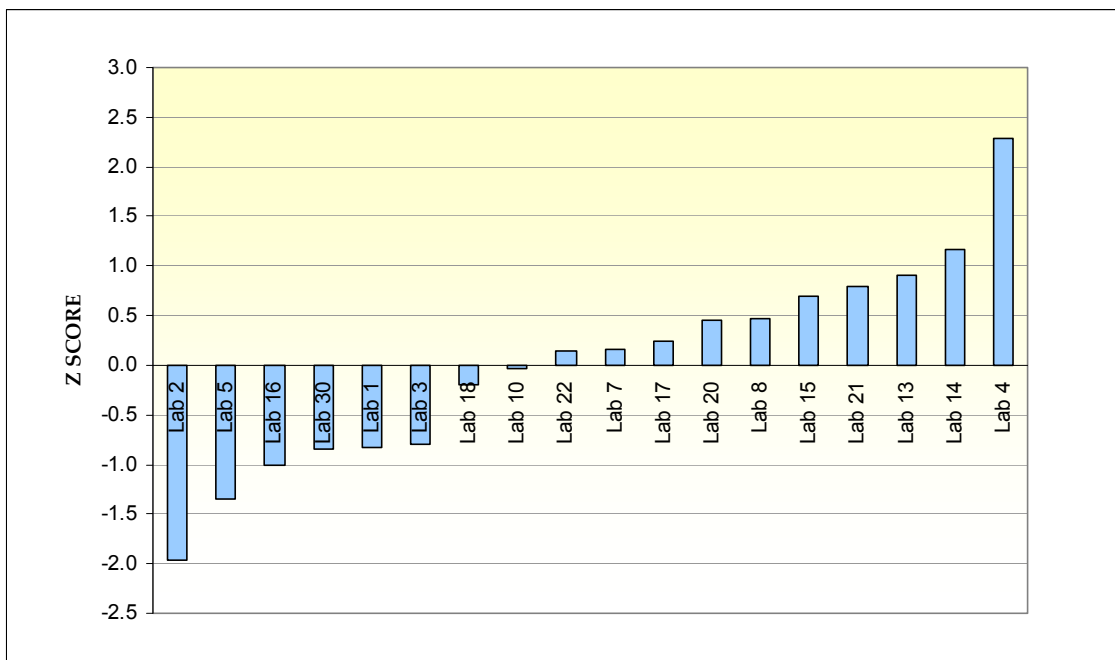
**Διάγραμμα 5.113 Μέση συνολική ένταση ηλεκτρικού πεδίου E(V/m):  
Σενάριο μέτρησης 3, Θέση μέτρησης 1, Ύψος μέτρησης 1.7m**



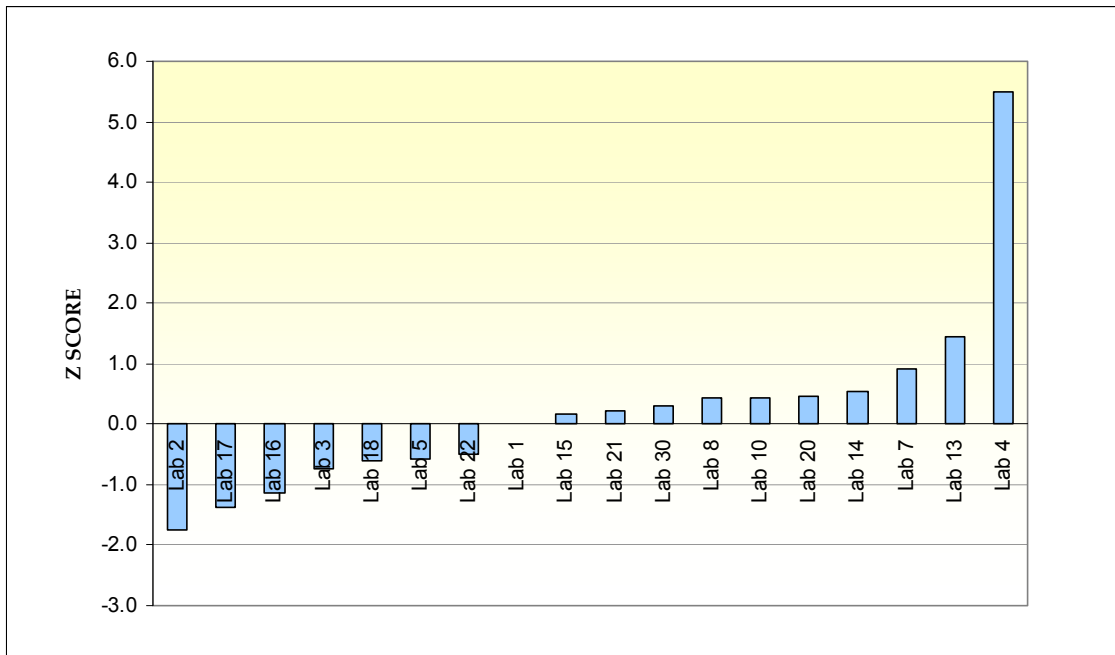
**Διάγραμμα 5.114 Μέση συνολική ένταση ηλεκτρικού πεδίου E(V/m):  
Σενάριο μέτρησης 3, Θέση μέτρησης 2, Ύψος μέτρησης 1.5m**



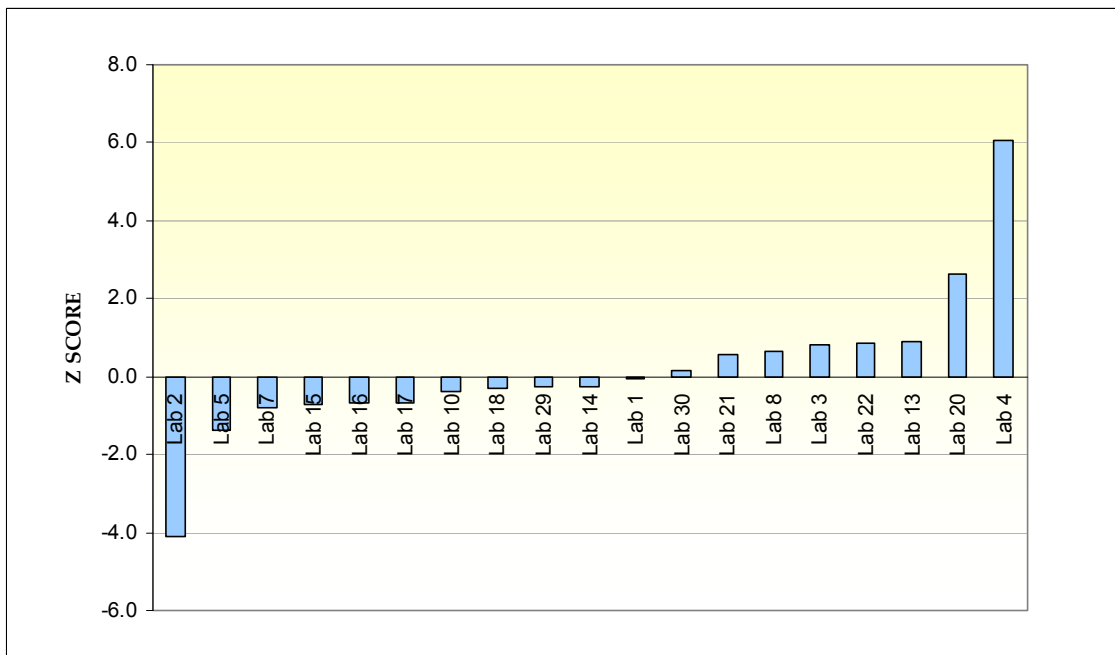
**Διάγραμμα 5.115 Μέση συνολική ένταση ηλεκτρικού πεδίου E(V/m):  
Σενάριο μέτρησης 3, Θέση μέτρησης 2, Ύψος μέτρησης 1.7m**



**Διάγραμμα 5.116 Μέγιστη συνολική ένταση ηλεκτρικού πεδίου E(V/m):  
Σενάριο μέτρησης 1, Θέση μέτρησης 1**

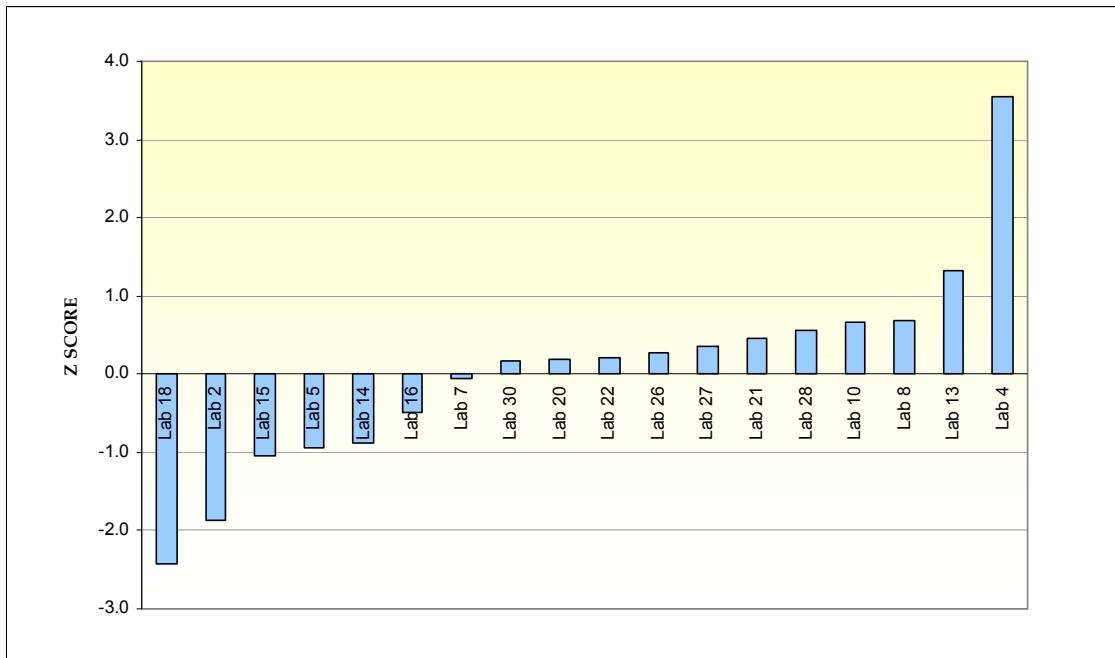


**Διάγραμμα 5.117** Μέγιστη συνολική ένταση ηλεκτρικού πεδίου E(V/m):  
Σενάριο μέτρησης 1, Θέση μέτρησης 2

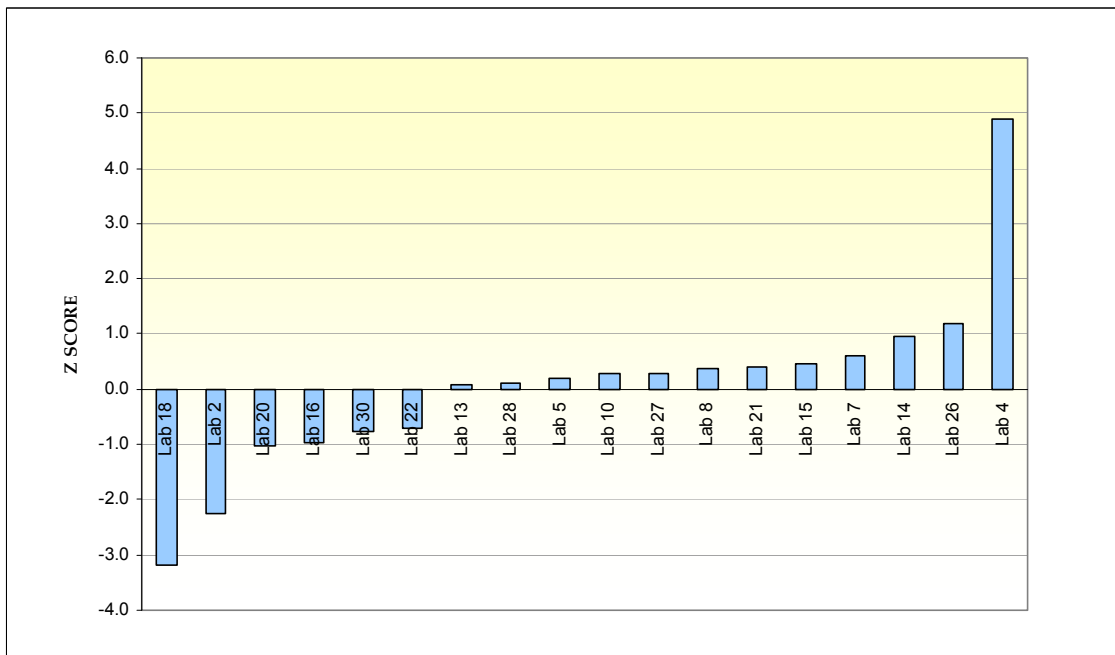


**Διάγραμμα 5.118** Μέγιστη συνολική ένταση ηλεκτρικού πεδίου E(V/m):  
Σενάριο μέτρησης 1, Θέση μέτρησης 3

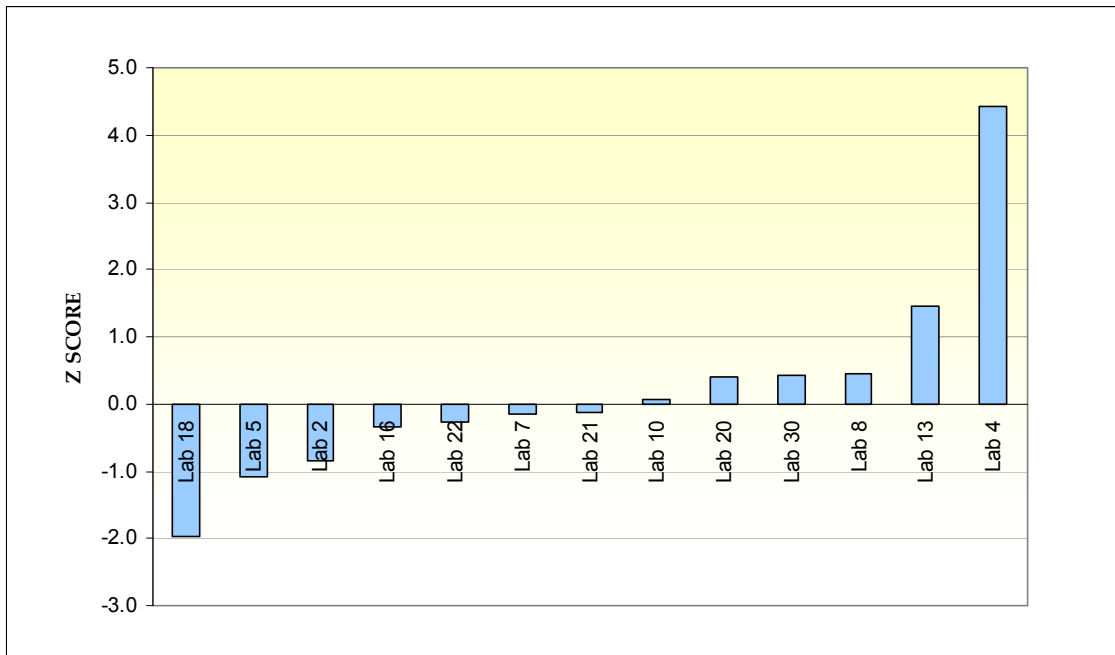




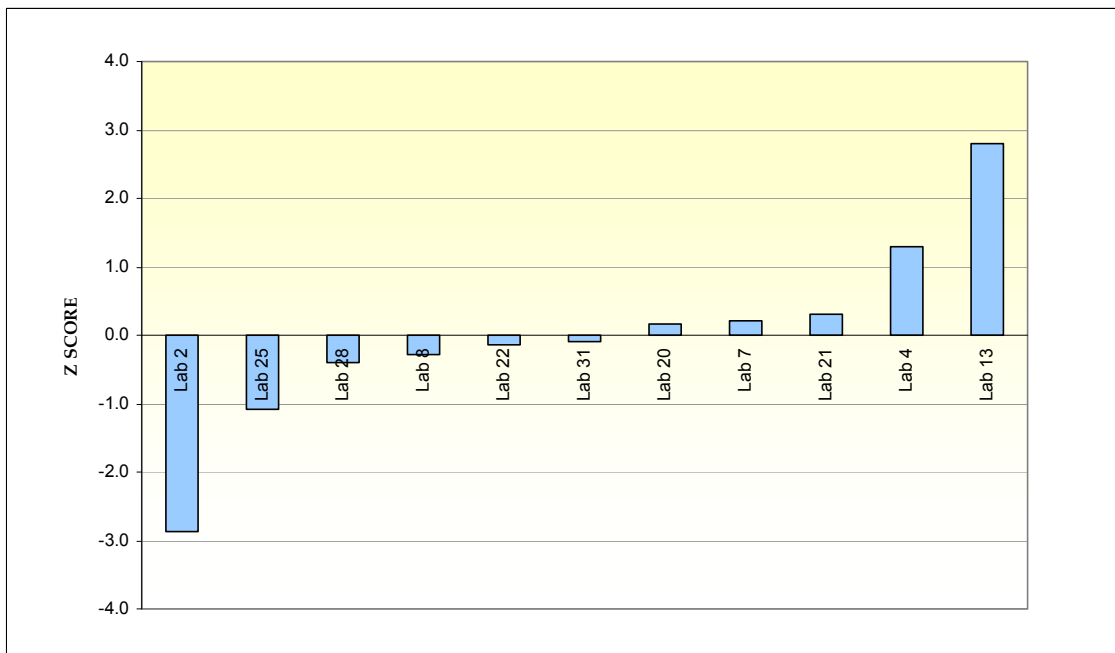
**Διάγραμμα 5.119** Μέγιστη συνολική ένταση ηλεκτρικού πεδίου E(V/m):  
Σενάριο μέτρησης 2, Θέση μέτρησης 1



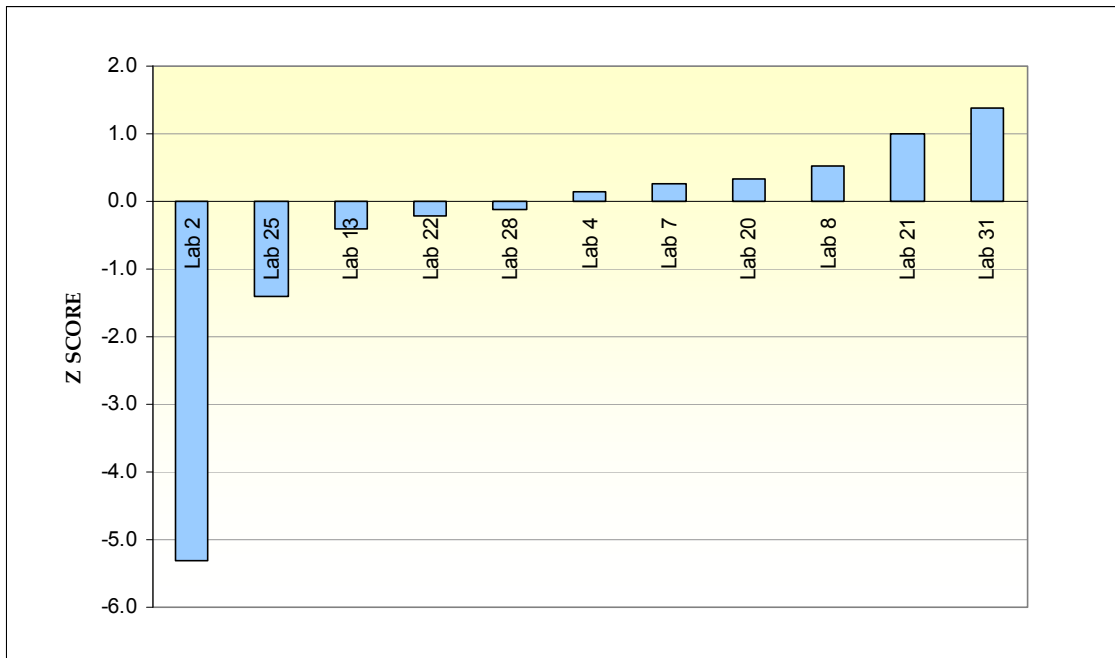
**Διάγραμμα 5.120** Μέγιστη συνολική ένταση ηλεκτρικού πεδίου E(V/m):  
Σενάριο μέτρησης 2, Θέση μέτρησης 2



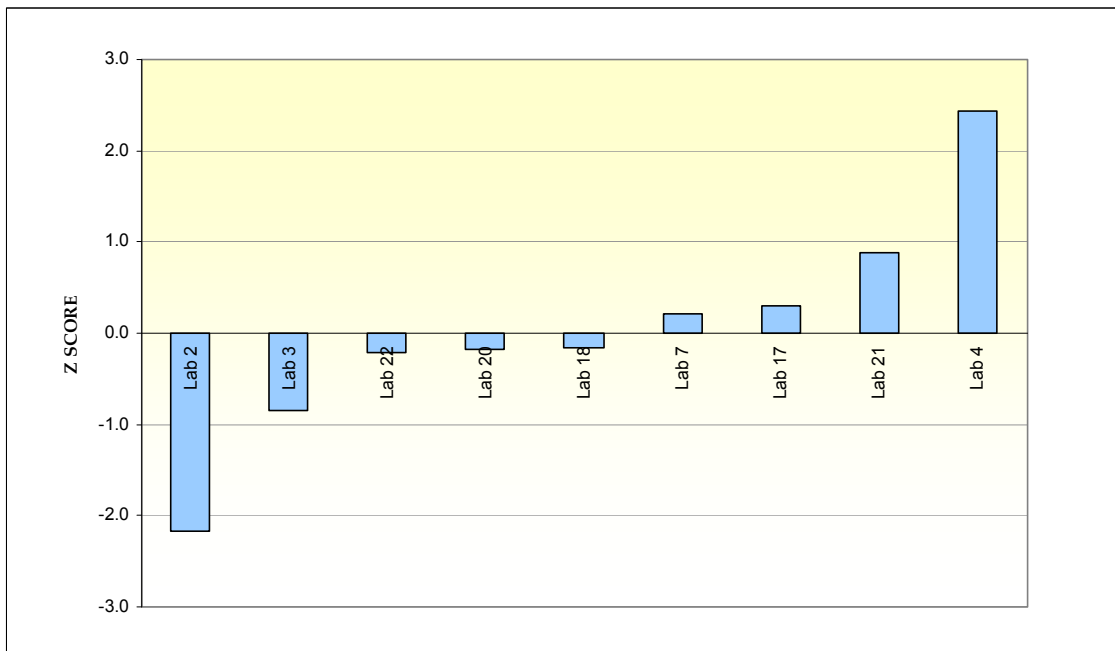
**Διάγραμμα 5.121 Μέγιστη συνολική ένταση ηλεκτρικού πεδίου E(V/m):  
Σενάριο μέτρησης 2, Θέση μέτρησης 3**



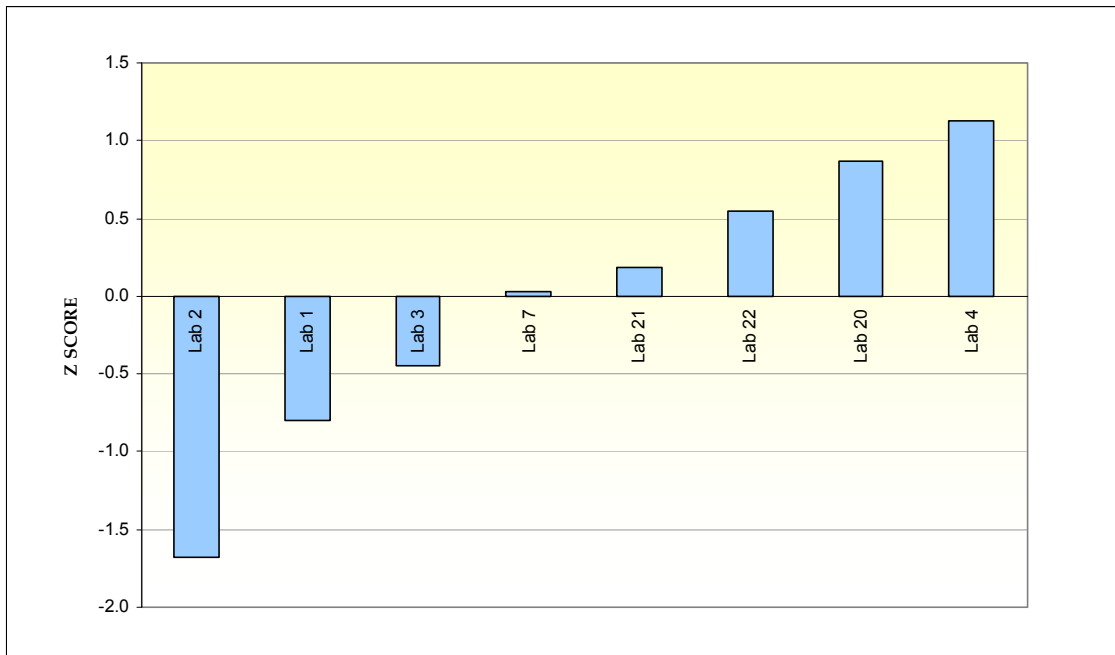
**Διάγραμμα 5.122 Μέγιστη συνολική ένταση ηλεκτρικού πεδίου E(V/m):  
Σενάριο μέτρησης 3, Θέση μέτρησης 1**



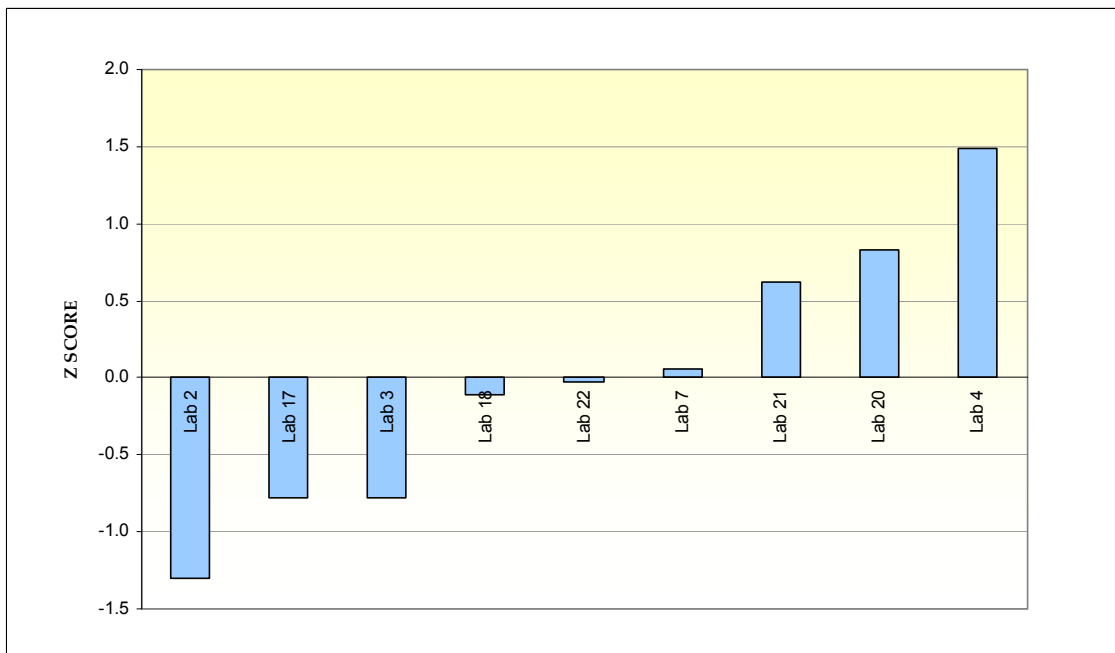
**Διάγραμμα 5.123** Μέγιστη συνολική ένταση ηλεκτρικού πεδίου E(V/m):  
Σενάριο μέτρησης 3, Θέση μέτρησης 2



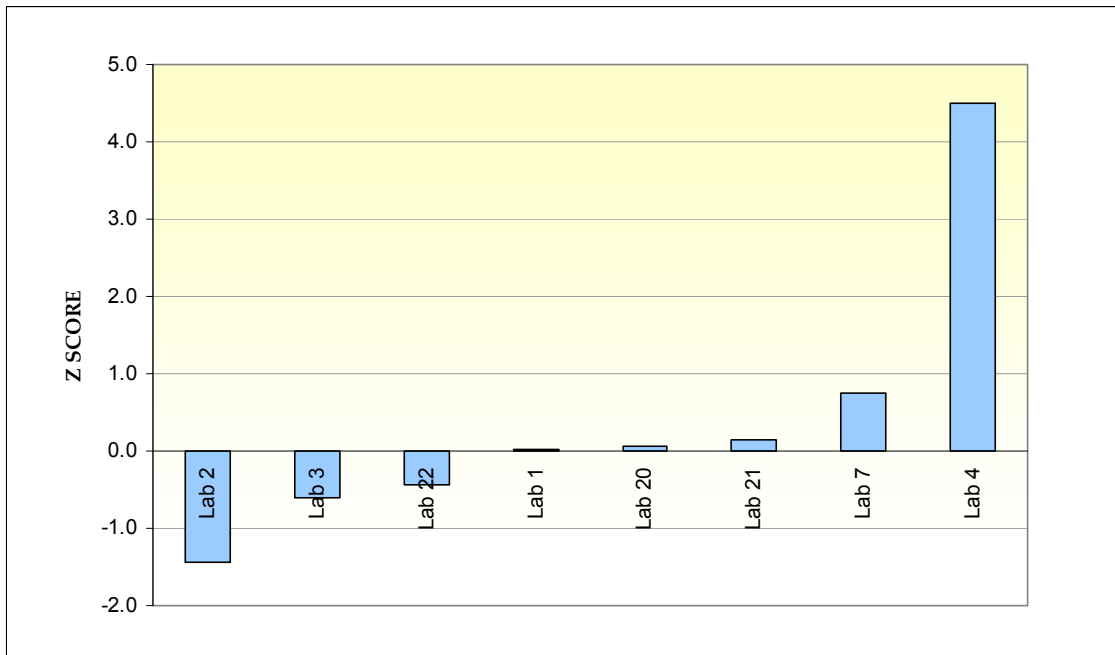
**Διάγραμμα 5.124** Μέγιστη συνολική ένταση ηλεκτρικού πεδίου E(V/m):  
Σενάριο μέτρησης 1, Θέση μέτρησης 1, Ύψος μέτρησης 1.5m



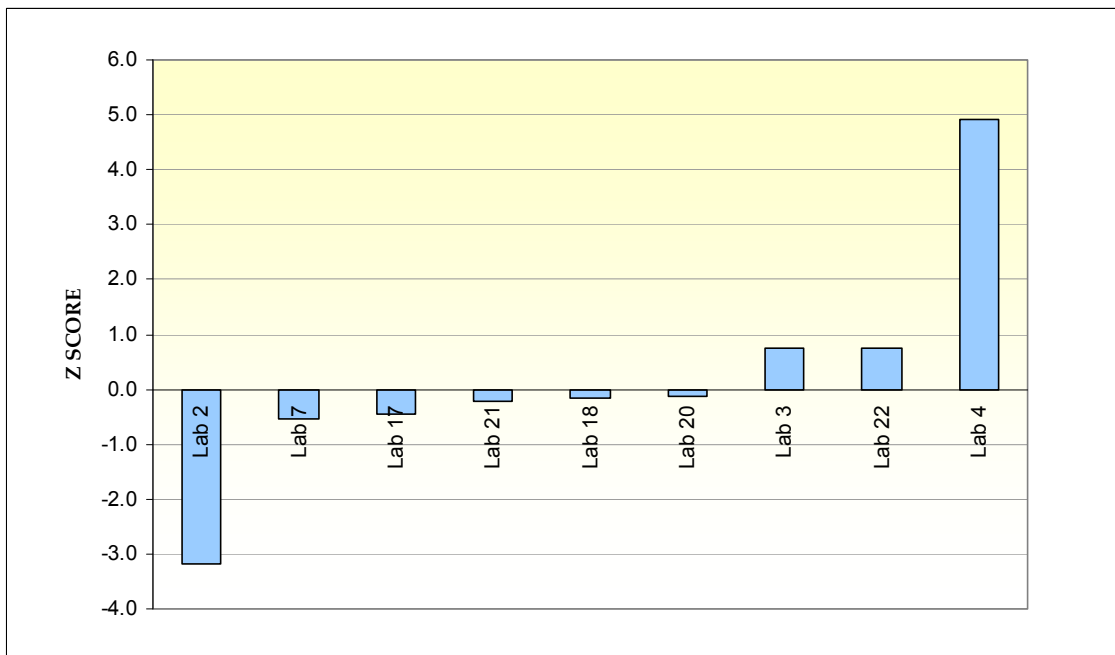
**Διάγραμμα 5.125 Μέγιστη συνολική ένταση ηλεκτρικού πεδίου E(V/m):  
Σενάριο μέτρησης 1, Θέση μέτρησης 1, Ύψος μέτρησης 1.7m**



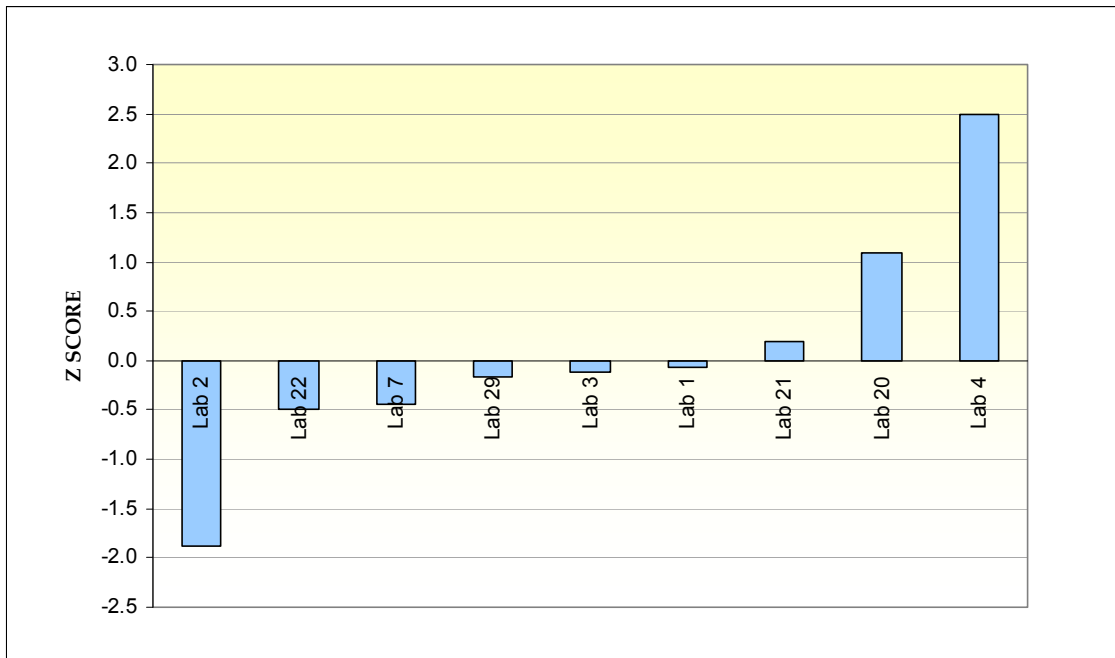
**Διάγραμμα 5.126 Μέγιστη συνολική ένταση ηλεκτρικού πεδίου E(V/m):  
Σενάριο μέτρησης 1, Θέση μέτρησης 2, Ύψος μέτρησης 1.5m**



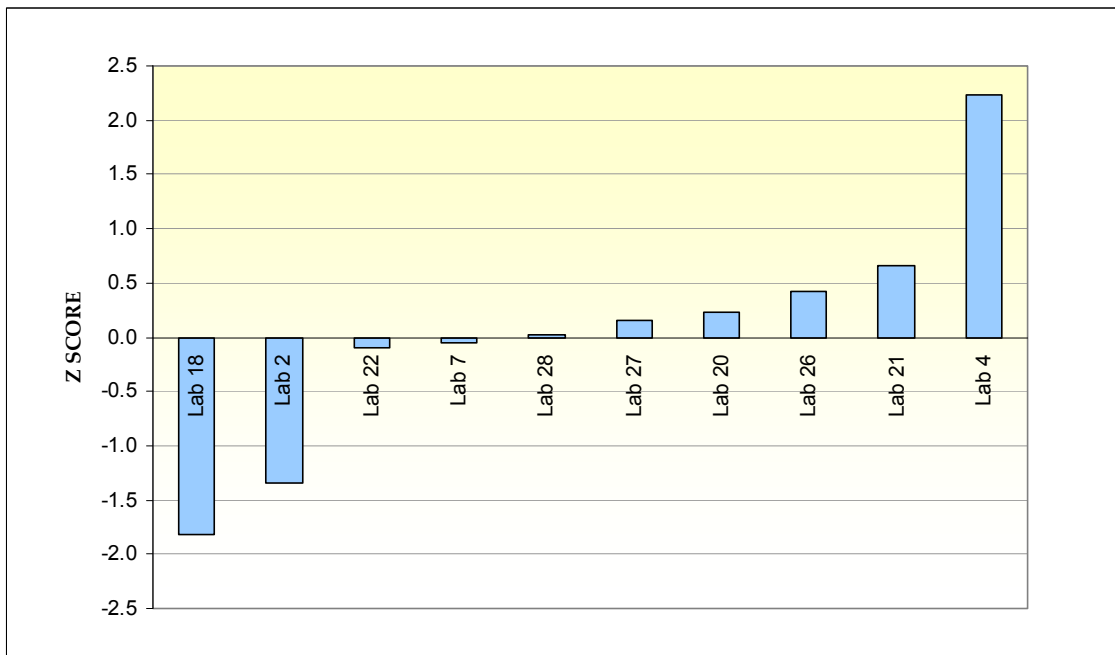
**Διάγραμμα 5.127 Μέγιστη συνολική ένταση ηλεκτρικού πεδίου E(V/m):  
Σενάριο μέτρησης 1, Θέση μέτρησης 2, Ύψος μέτρησης 1.7m**



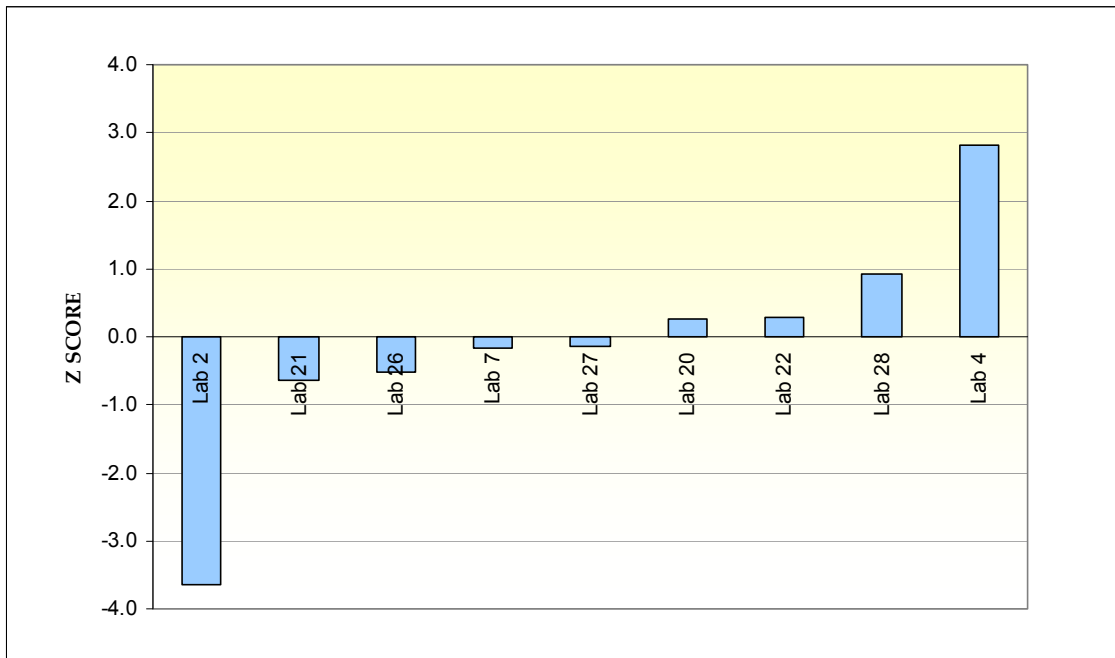
**Διάγραμμα 5.128 Μέγιστη συνολική ένταση ηλεκτρικού πεδίου E(V/m):  
Σενάριο μέτρησης 1, Θέση μέτρησης 3, Ύψος μέτρησης 1.5m**



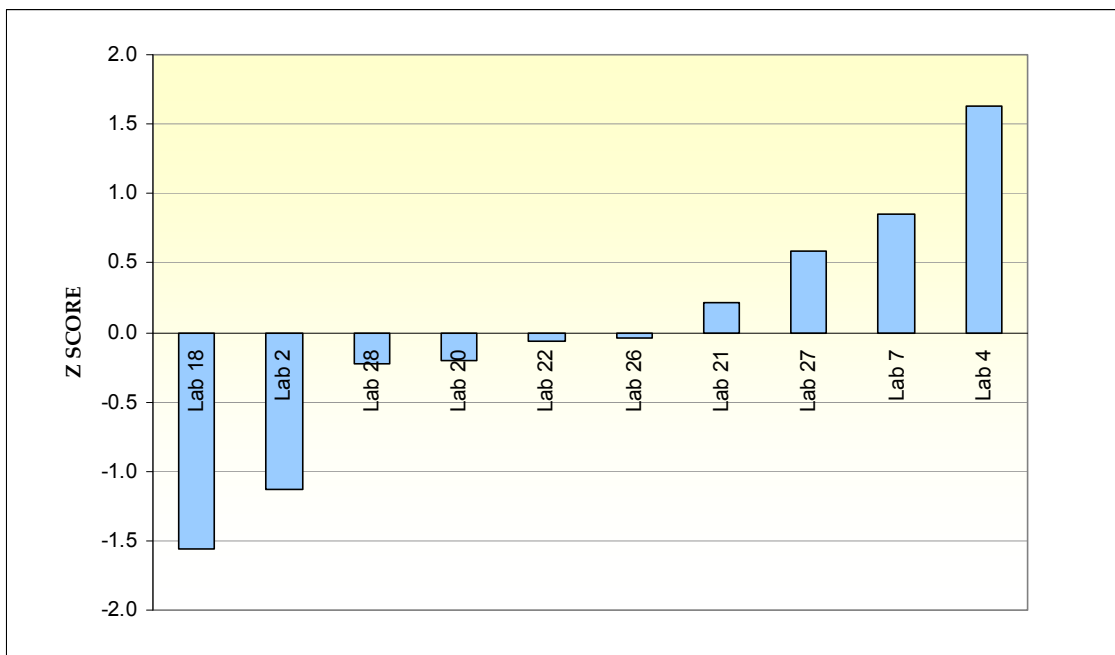
**Διάγραμμα 5.129** Μέγιστη συνολική ένταση ηλεκτρικού πεδίου E(V/m):  
Σενάριο μέτρησης 1, Θέση μέτρησης 3, Ύψος μέτρησης 1.7m



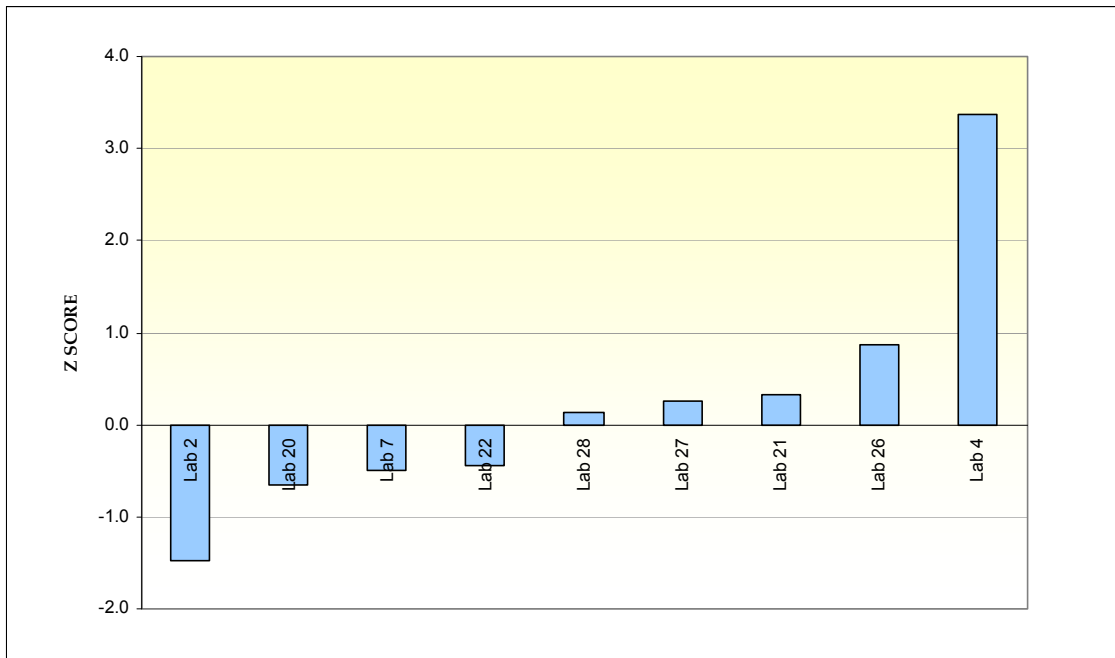
**Διάγραμμα 5.130** Μέγιστη συνολική ένταση ηλεκτρικού πεδίου E(V/m):  
Σενάριο μέτρησης 2, Θέση μέτρησης 1, Ύψος μέτρησης 1.5m



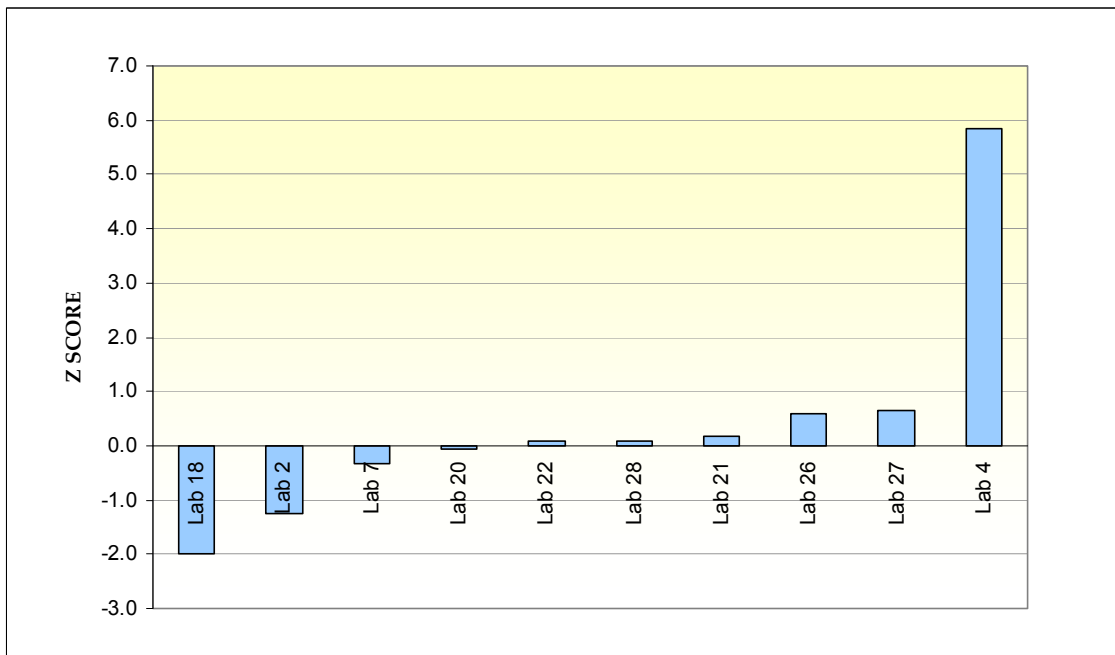
**Διάγραμμα 5.131** Μέγιστη συνολική ένταση ηλεκτρικού πεδίου E(V/m):  
Σενάριο μέτρησης 2, Θέση μέτρησης 1, Ύψος μέτρησης 1.7m



**Διάγραμμα 5.132** Μέγιστη συνολική ένταση ηλεκτρικού πεδίου E(V/m):  
Σενάριο μέτρησης 2, Θέση μέτρησης 2, Ύψος μέτρησης 1.5m

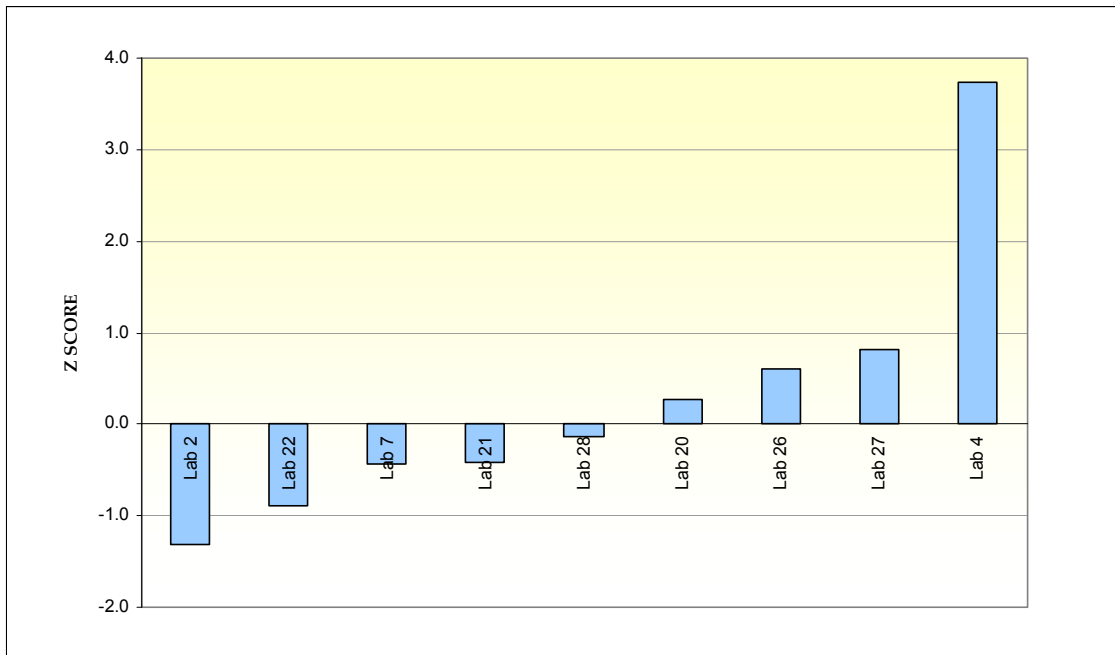


**Διάγραμμα 5.133** Μέγιστη συνολική ένταση ηλεκτρικού πεδίου E(V/m):  
Σενάριο μέτρησης 2, Θέση μέτρησης 2, Ύψος μέτρησης 1.7m

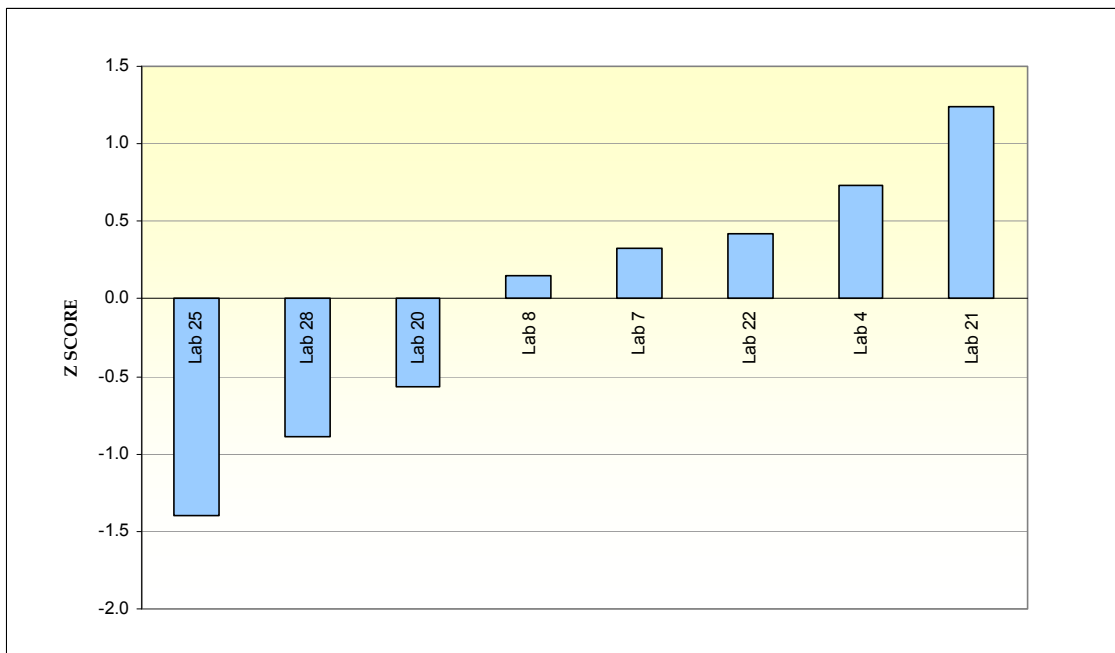


**Διάγραμμα 5.134** Μέγιστη συνολική ένταση ηλεκτρικού πεδίου E(V/m):  
Σενάριο μέτρησης 2, Θέση μέτρησης 3, Ύψος μέτρησης 1.5m

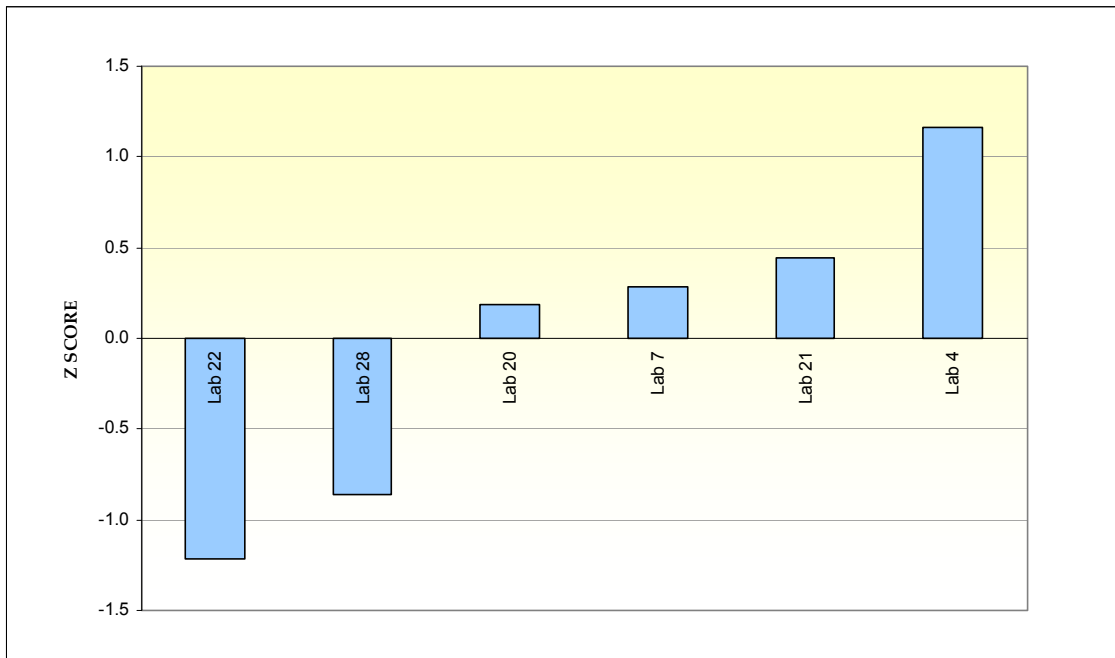




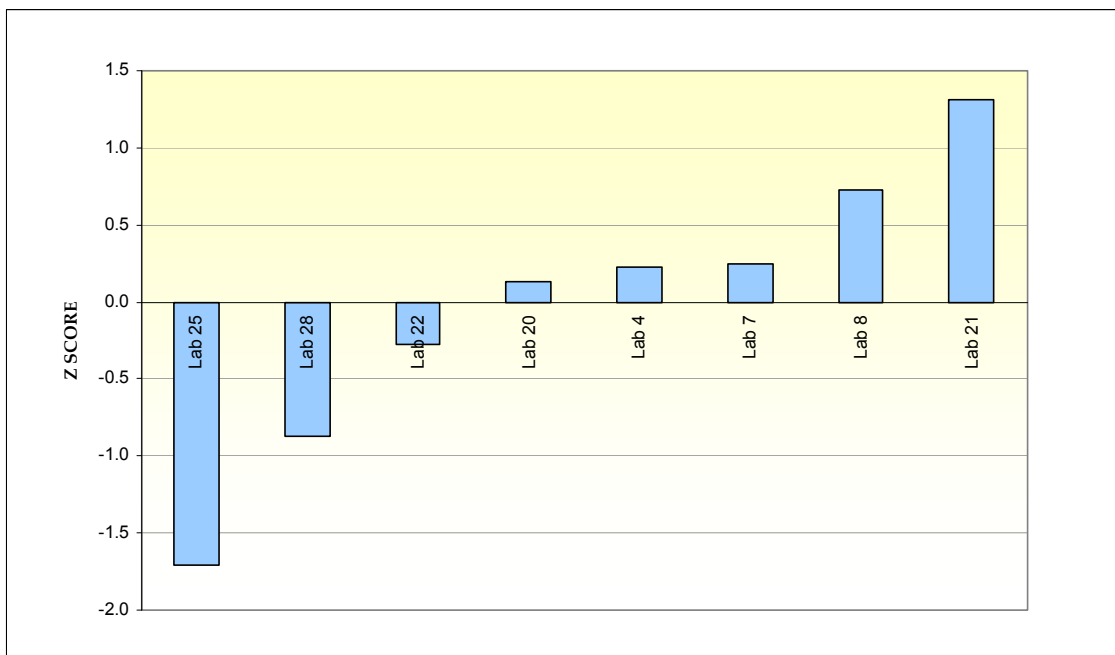
**Διάγραμμα 5.135 Μέγιστη συνολική ένταση ηλεκτρικού πεδίου E(V/m):  
Σενάριο μέτρησης 2, Θέση μέτρησης 3, Ύψος μέτρησης 1.7m**



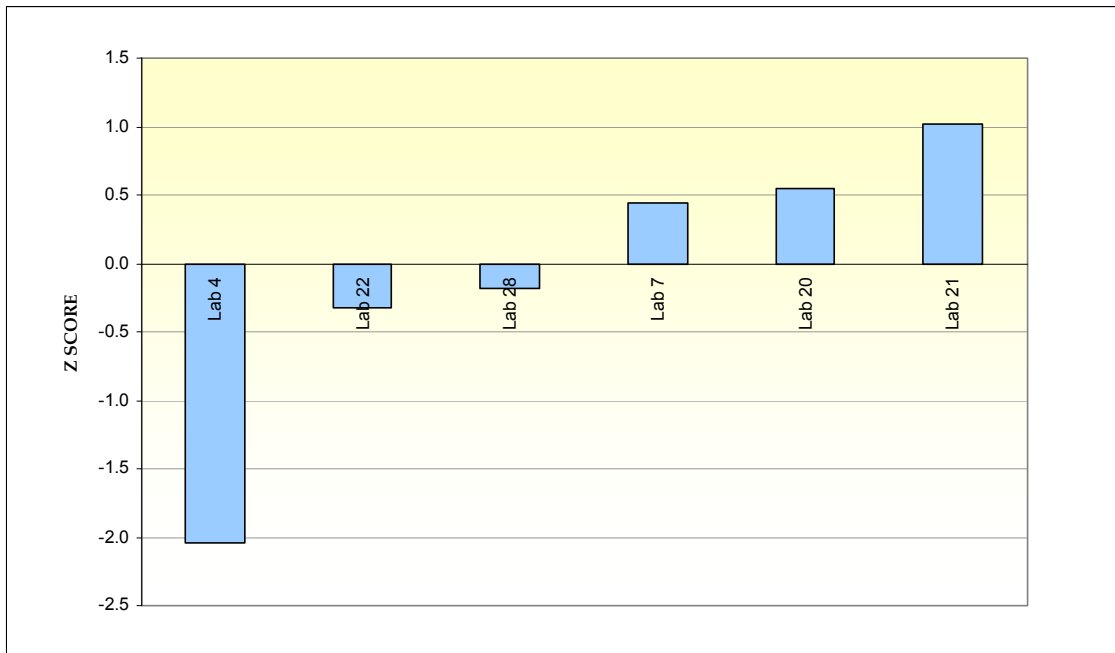
**Διάγραμμα 5.136 Μέγιστη συνολική ένταση ηλεκτρικού πεδίου E(V/m):  
Σενάριο μέτρησης 3, Θέση μέτρησης 1, Ύψος μέτρησης 1.5m**



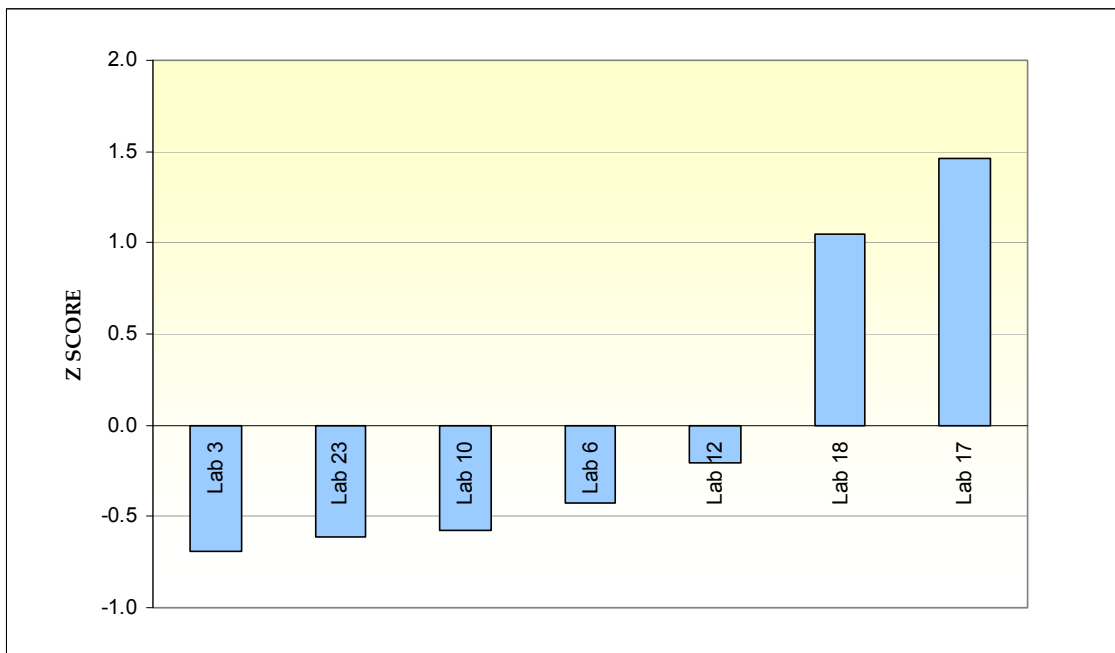
**Διάγραμμα 5.137 Μέγιστη συνολική ένταση ηλεκτρικού πεδίου E(V/m):  
Σενάριο μέτρησης 3, Θέση μέτρησης 1, Ύψος μέτρησης 1.7m**



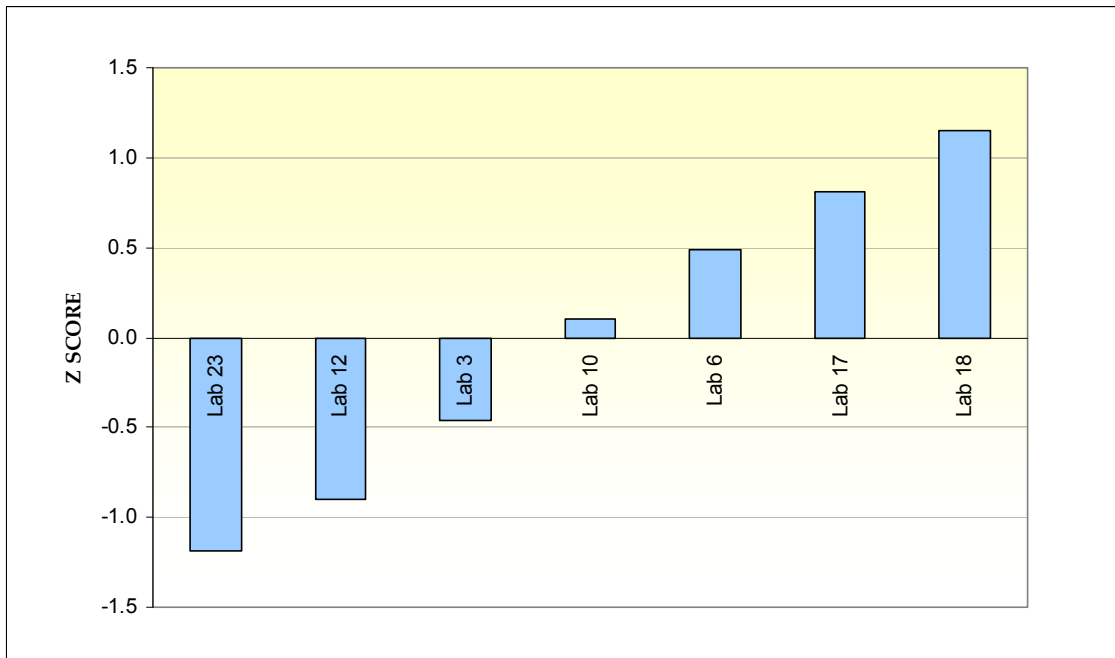
**Διάγραμμα 5.138 Μέγιστη συνολική ένταση ηλεκτρικού πεδίου E(V/m):  
Σενάριο μέτρησης 3, Θέση μέτρησης 2, Ύψος μέτρησης 1.5m**



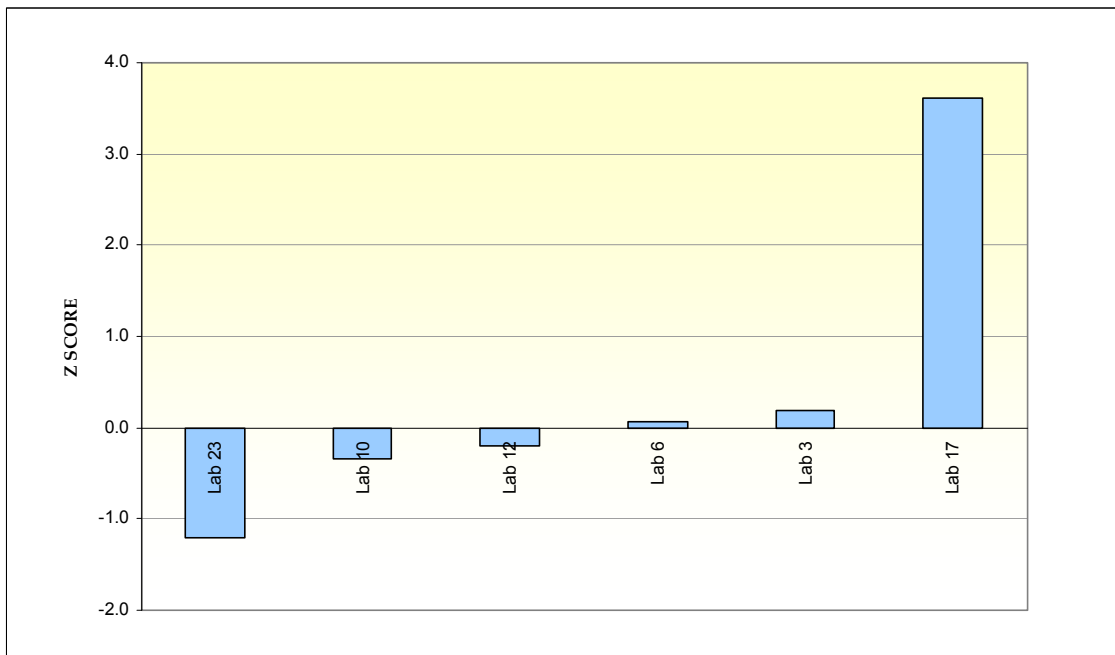
**Διάγραμμα 5.139 Μέγιστη συνολική ένταση ηλεκτρικού πεδίου E(V/m):  
Σενάριο μέτρησης 3, Θέση μέτρησης 2, Ύψος μέτρησης 1.7m**



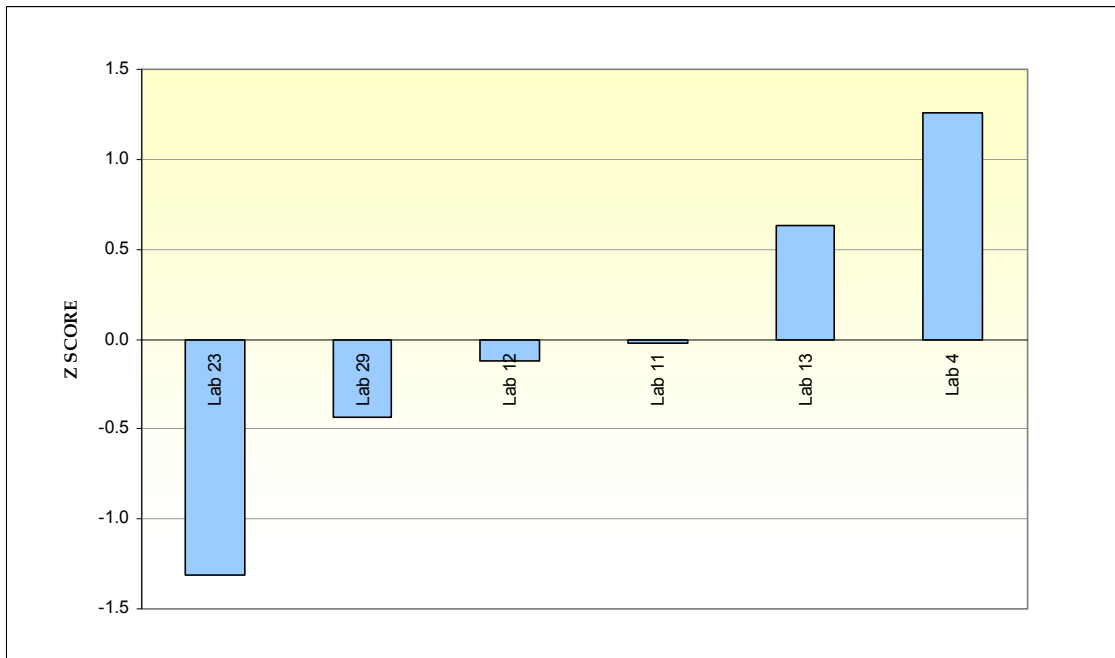
**Διάγραμμα 5.140 Μέση Ένταση ηλεκτρικού πεδίου E(V/m) στη φασματική  
περιοχή GSM(880-1000MHz): Σενάριο μέτρησης 1, Θέση μέτρησης 1**



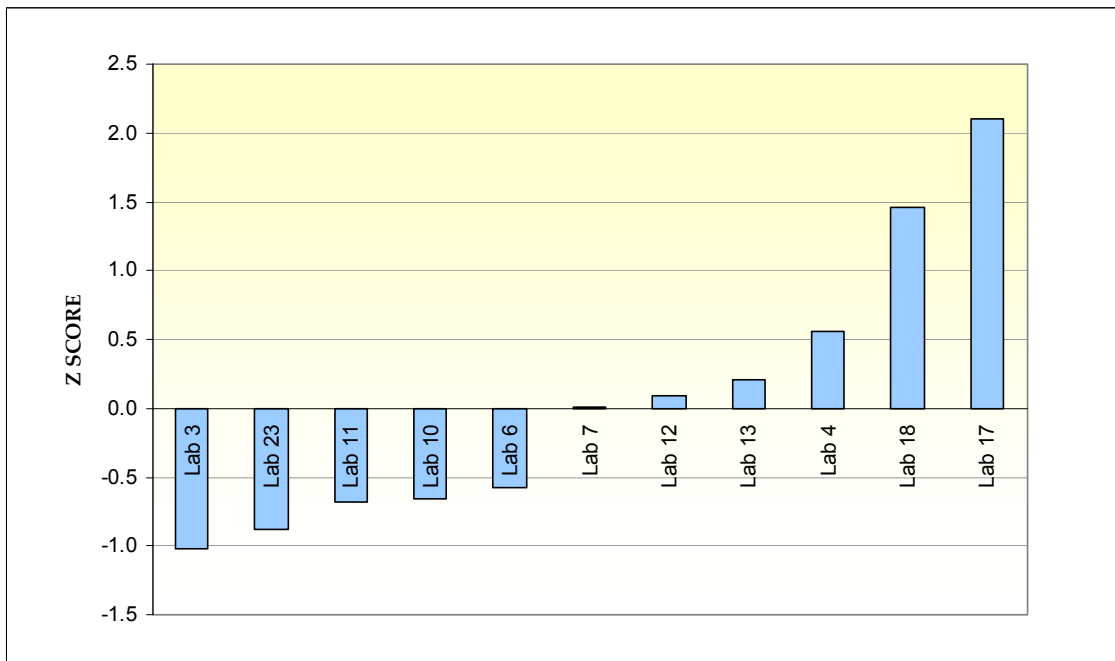
**Διάγραμμα 5.141 Μέση Ένταση ηλεκτρικού πεδίου E(V/m) στη φασματική περιοχή GSM(880-1000MHz): Σενάριο μέτρησης 1, Θέση μέτρησης 2**



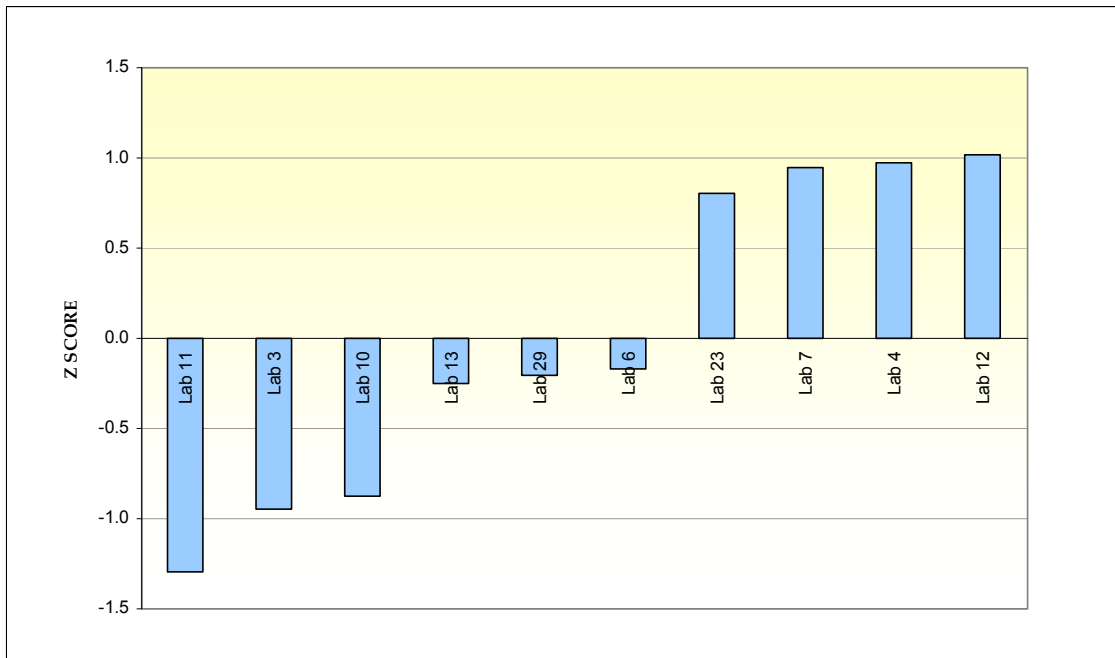
**Διάγραμμα 5.142 Μέση Ένταση ηλεκτρικού πεδίου E(V/m) στη φασματική περιοχή GSM(880-1000MHz): Σενάριο μέτρησης 1, Θέση μέτρησης 3**



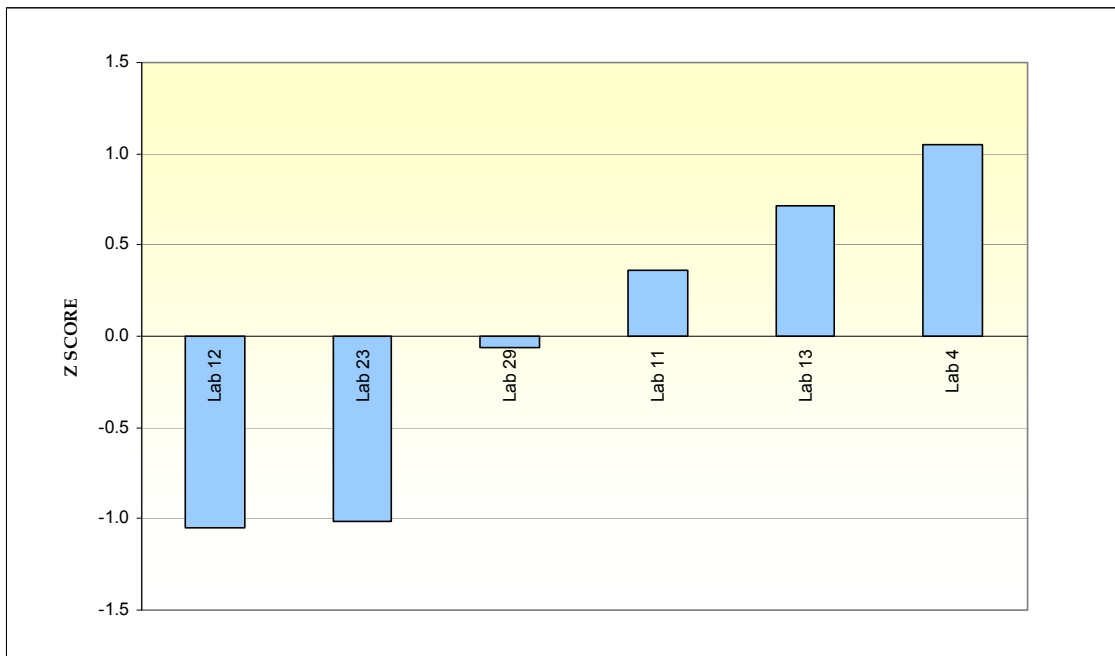
**Διάγραμμα 5.143** Μέση Ένταση ηλεκτρικού πεδίου E(V/m) στη φασματική περιοχή GSM(880-1000MHz): Σενάριο μέτρησης 1, Θέση μέτρησης 1, Ύψος μέτρησης 1.1m



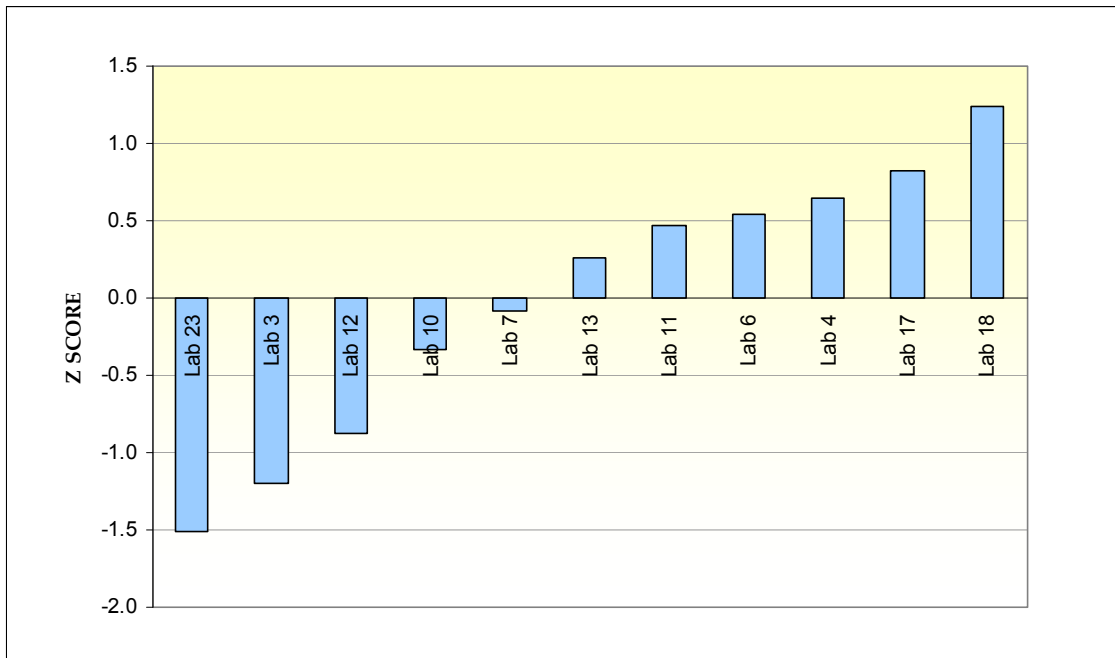
**Διάγραμμα 5.144** Μέση Ένταση ηλεκτρικού πεδίου E(V/m) στη φασματική περιοχή GSM(880-1000MHz): Σενάριο μέτρησης 1, Θέση μέτρησης 1, Ύψος μέτρησης 1.5m



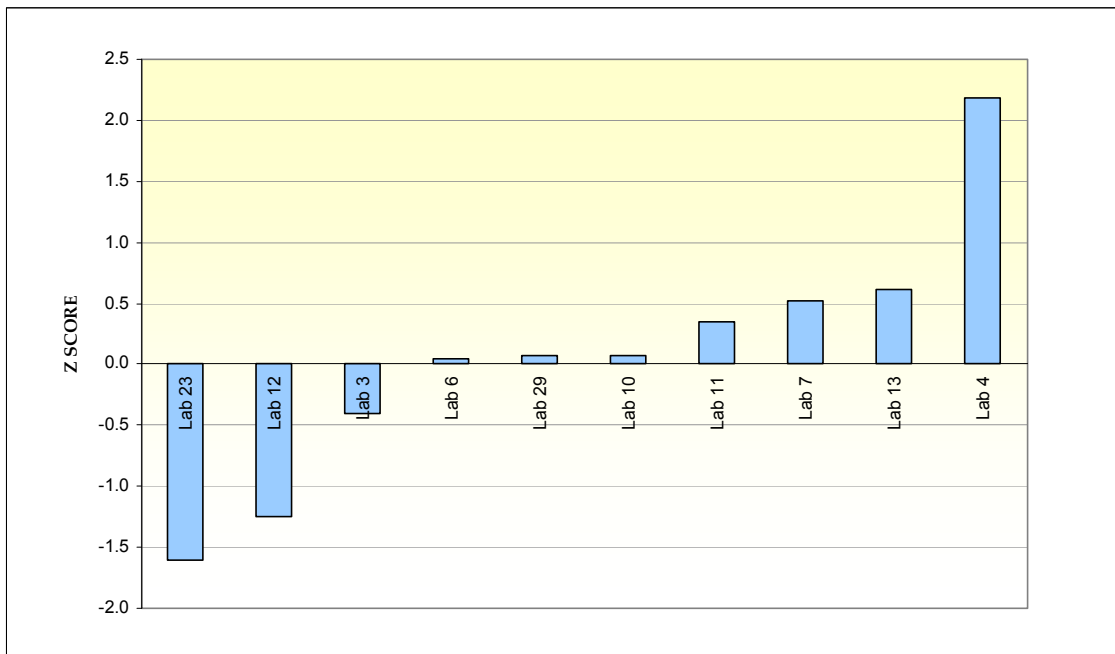
**Διάγραμμα 5.145 Μέση Ένταση ηλεκτρικού πεδίου E(V/m) στη φασματική περιοχή GSM(880-1000MHz): Σενάριο μέτρησης 1, Θέση μέτρησης 1, Ύψος μέτρησης 1.7m**



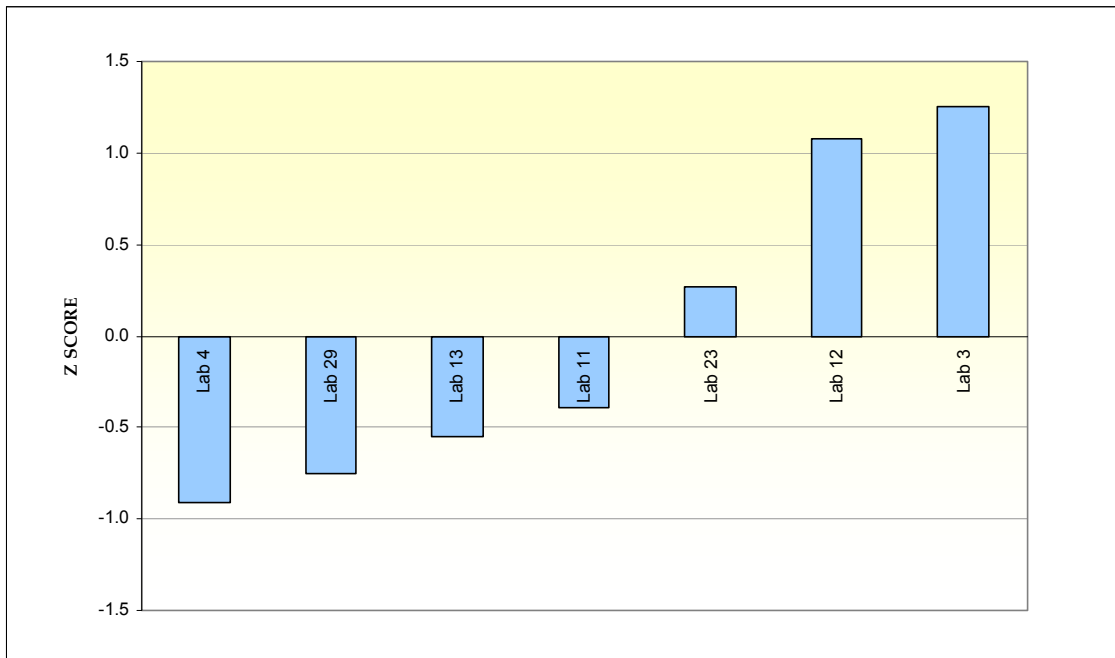
**Διάγραμμα 5.146 Μέση Ένταση ηλεκτρικού πεδίου E(V/m) στη φασματική περιοχή GSM(880-1000MHz): Σενάριο μέτρησης 1, Θέση μέτρησης 2, Ύψος μέτρησης 1.1m**



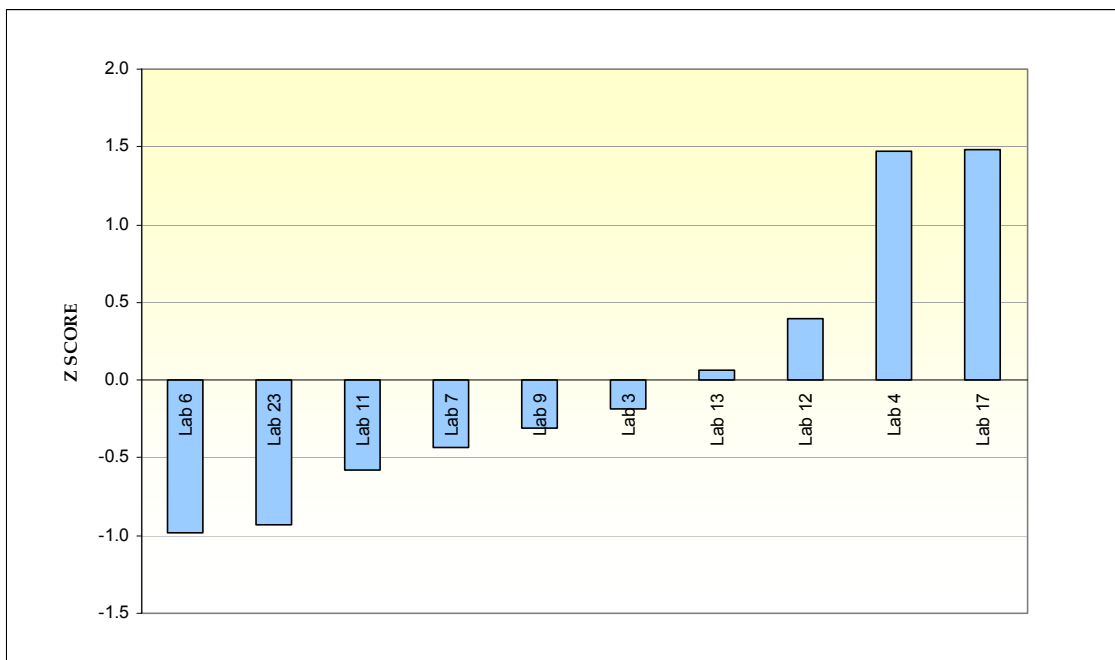
**Διάγραμμα 5.147 Μέση Ένταση ηλεκτρικού πεδίου E(V/m) στη φασματική περιοχή GSM(880-1000MHz): Σενάριο μέτρησης 1, Θέση μέτρησης 2, Ύψος μέτρησης 1.5m**



**Διάγραμμα 5.148 Μέση Ένταση ηλεκτρικού πεδίου E(V/m) στη φασματική περιοχή GSM(880-1000MHz): Σενάριο μέτρησης 1, Θέση μέτρησης 2, Ύψος μέτρησης 1.7m**

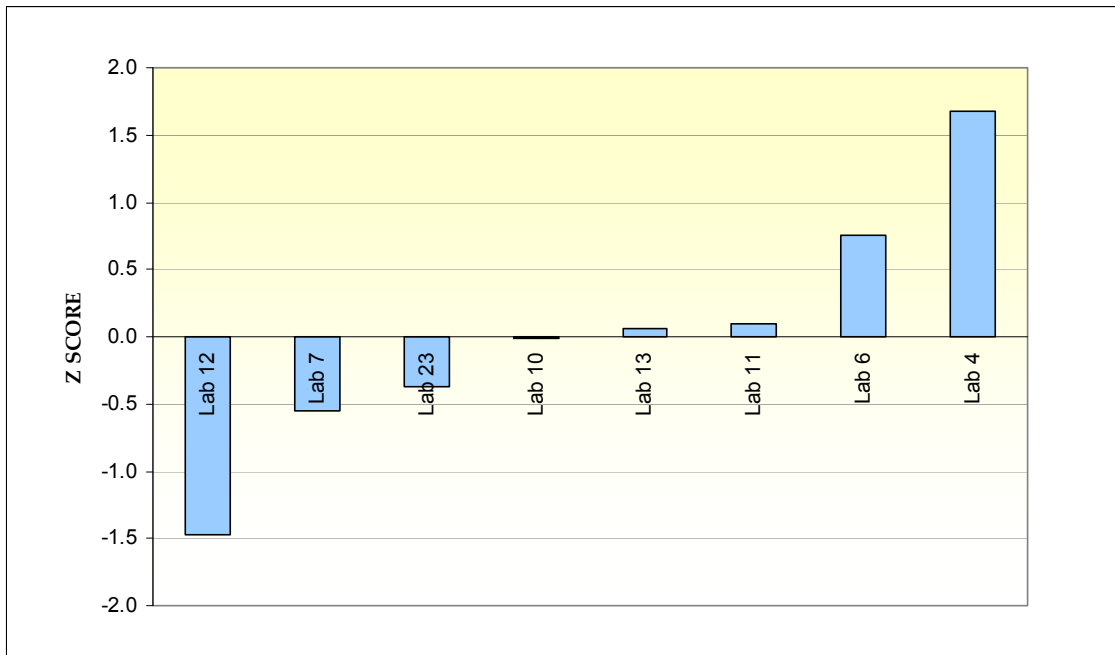


**Διάγραμμα 5.149 Μέση Ένταση ηλεκτρικού πεδίου E(V/m) στη φασματική περιοχή GSM(880-1000MHz): Σενάριο μέτρησης 1, Θέση μέτρησης 3, Ύψος μέτρησης 1.1m**

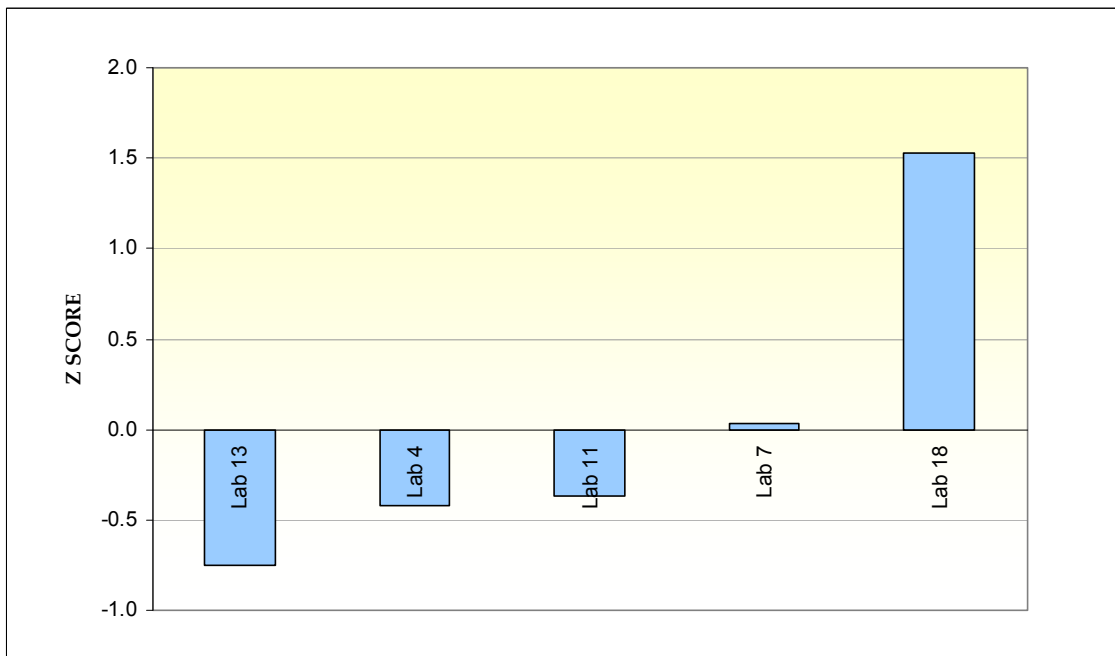


**Διάγραμμα 5.150 Μέση Ένταση ηλεκτρικού πεδίου E(V/m) στη φασματική περιοχή GSM(880-1000MHz): Σενάριο μέτρησης 1, Θέση μέτρησης 3, Ύψος μέτρησης 1.5m**

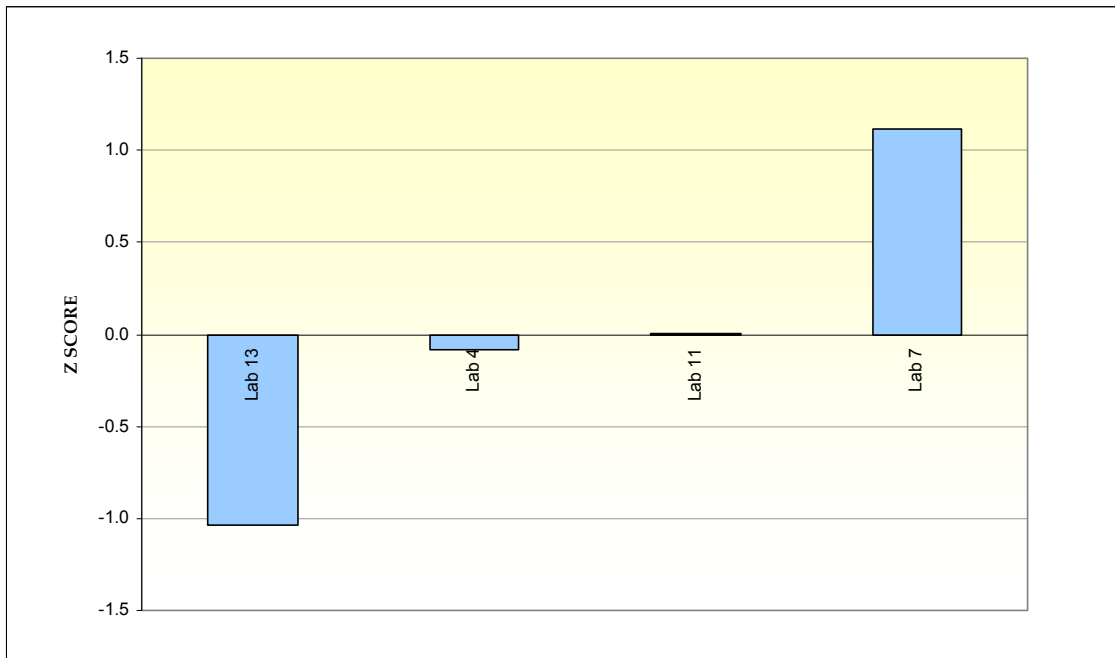




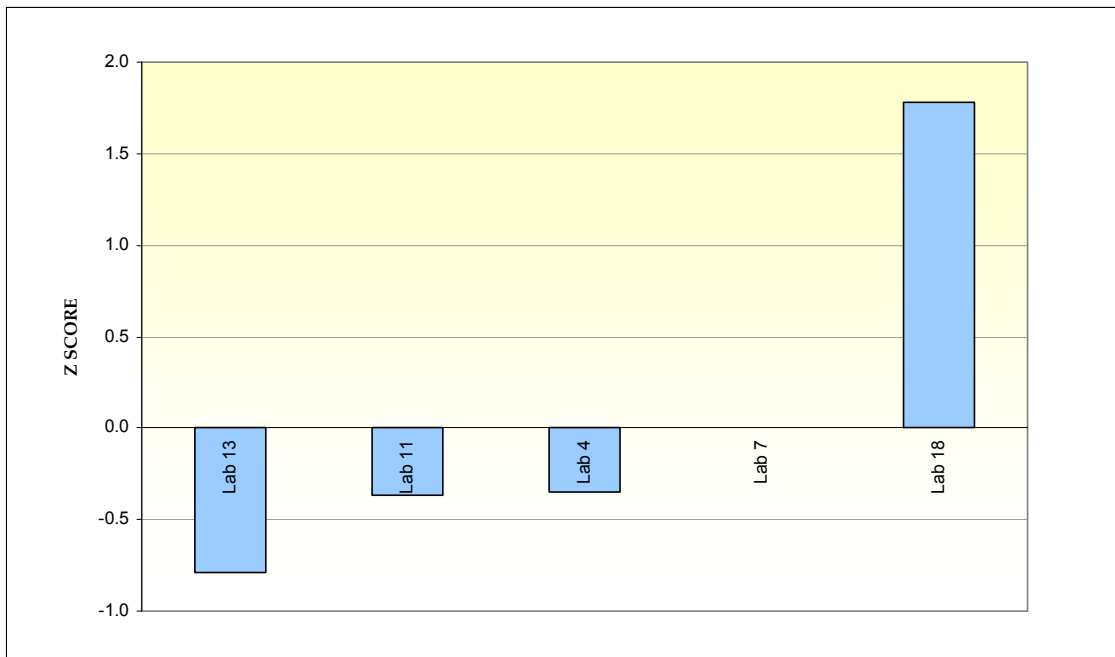
**Διάγραμμα 5.151 Μέση Ένταση ηλεκτρικού πεδίου E(V/m) στη φασματική περιοχή GSM(880-1000MHz): Σενάριο μέτρησης 1, Θέση μέτρησης 3, Ύψος μέτρησης 1.7m**



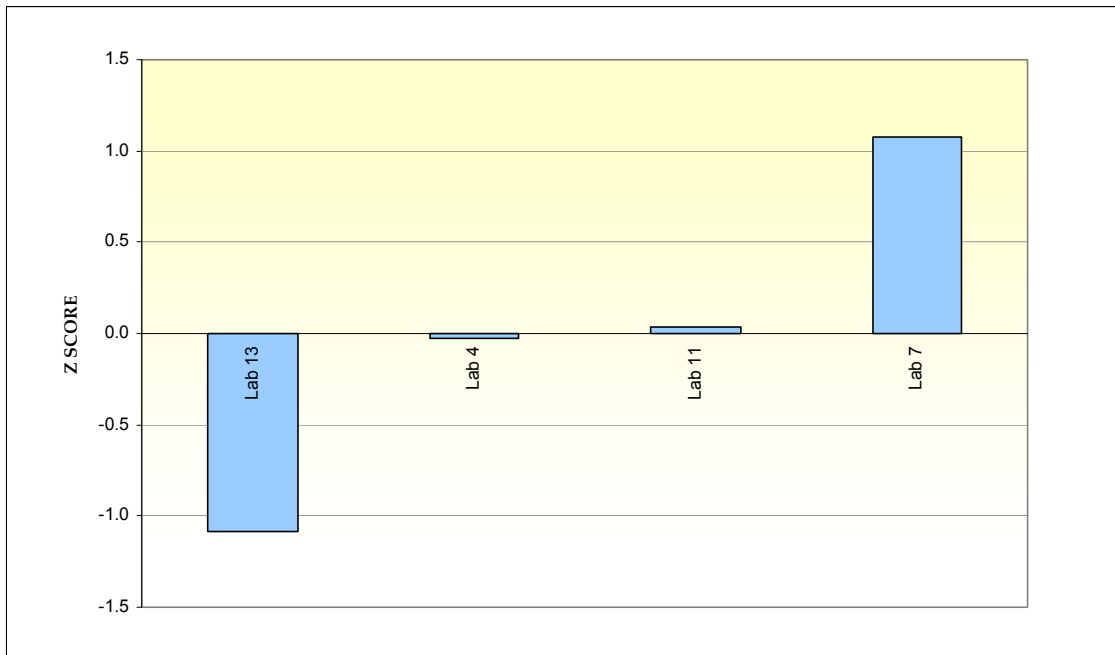
**Διάγραμμα 5.152 Μέση Ένταση ηλεκτρικού πεδίου E(V/m) στη φασματική περιοχή GSM(880-1000MHz): Σενάριο μέτρησης 2, Θέση μέτρησης 1, Ύψος μέτρησης 1.5m**



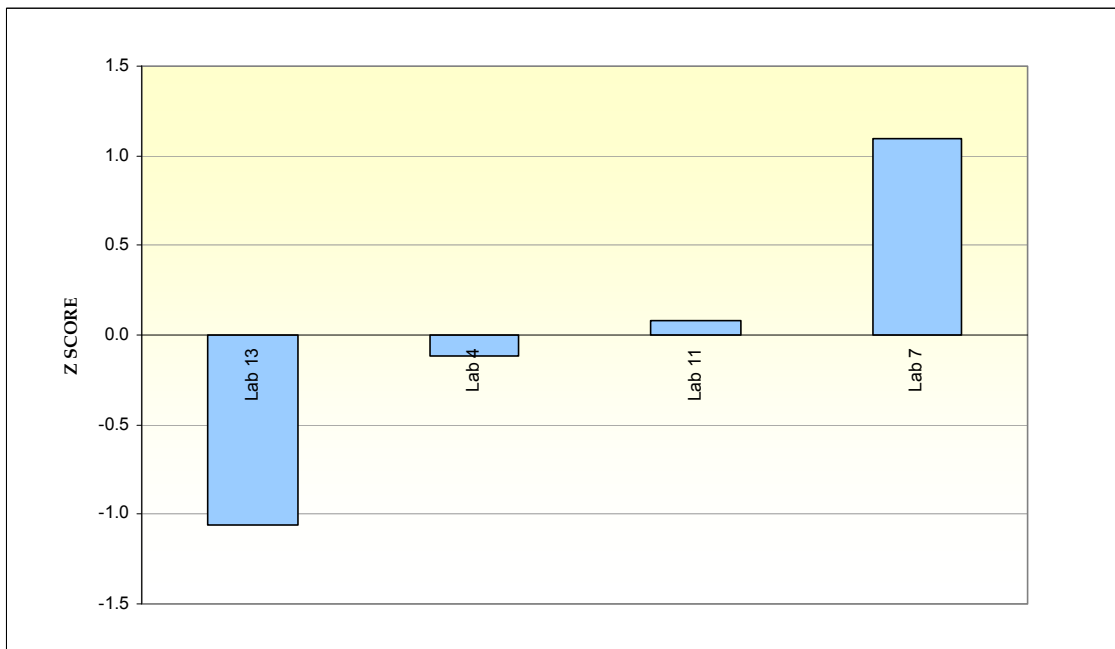
**Διάγραμμα 5.152 Μέση Ένταση ηλεκτρικού πεδίου E(V/m) στη φασματική περιοχή GSM(880-1000MHz): Σενάριο μέτρησης 2, Θέση μέτρησης 1, Ύψος μέτρησης 1.7m**



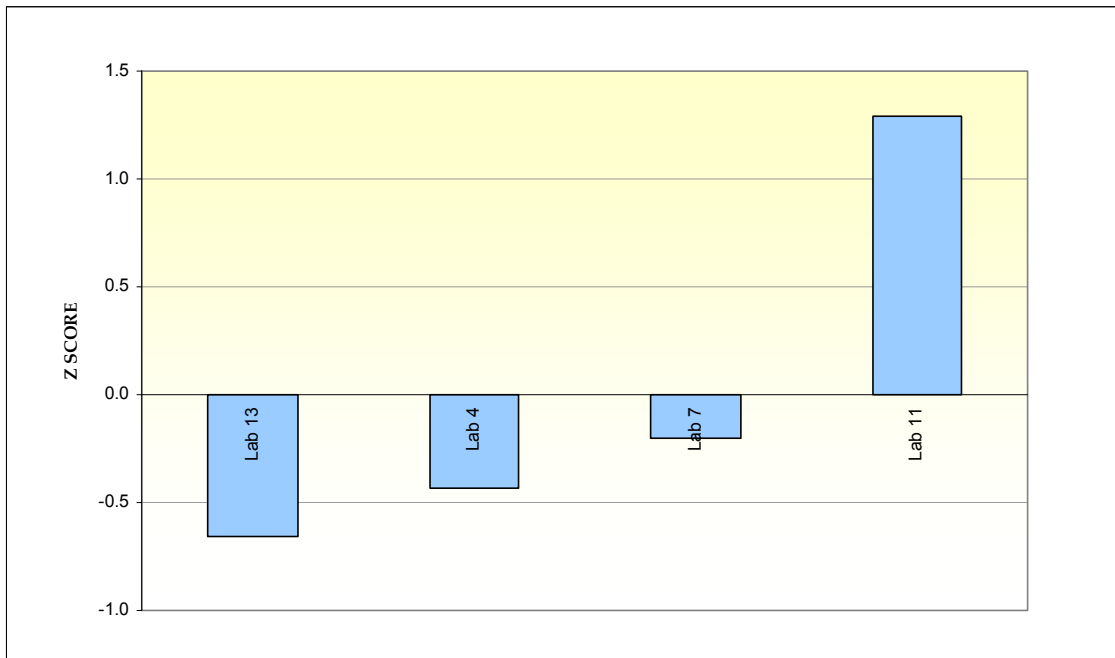
**Διάγραμμα 5.153 Μέση Ένταση ηλεκτρικού πεδίου E(V/m) στη φασματική περιοχή GSM(880-1000MHz): Σενάριο μέτρησης 2, Θέση μέτρησης 2, Ύψος μέτρησης 1.5m**



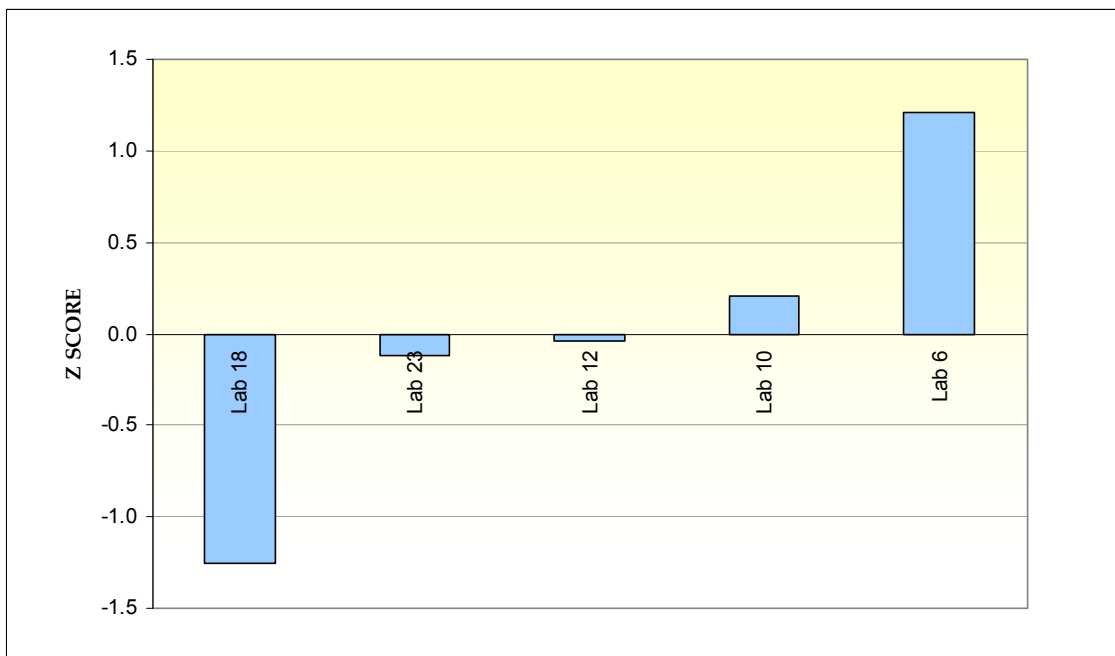
**Διάγραμμα 5.154 Μέση Ένταση ηλεκτρικού πεδίου E(V/m) στη φασματική περιοχή GSM(880-1000MHz): Σενάριο μέτρησης 2, Θέση μέτρησης 2, Ύψος μέτρησης 1.7m**



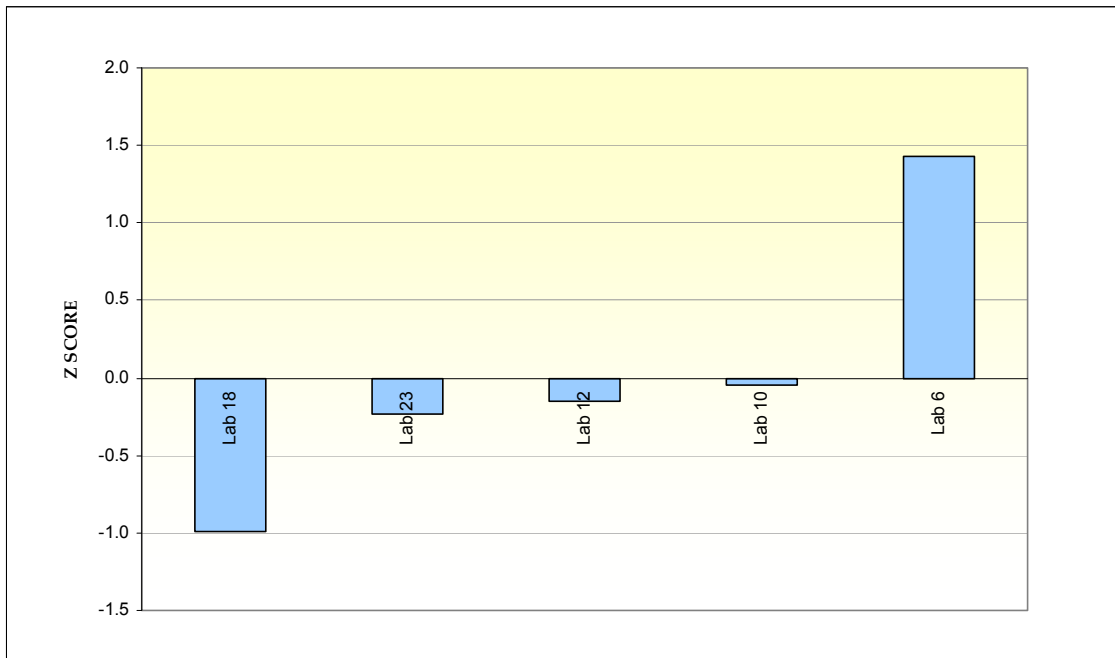
**Διάγραμμα 5.154 Μέση Ένταση ηλεκτρικού πεδίου E(V/m) στη φασματική περιοχή GSM(880-1000MHz): Σενάριο μέτρησης 2, Θέση μέτρησης 3, Ύψος μέτρησης 1.5m**



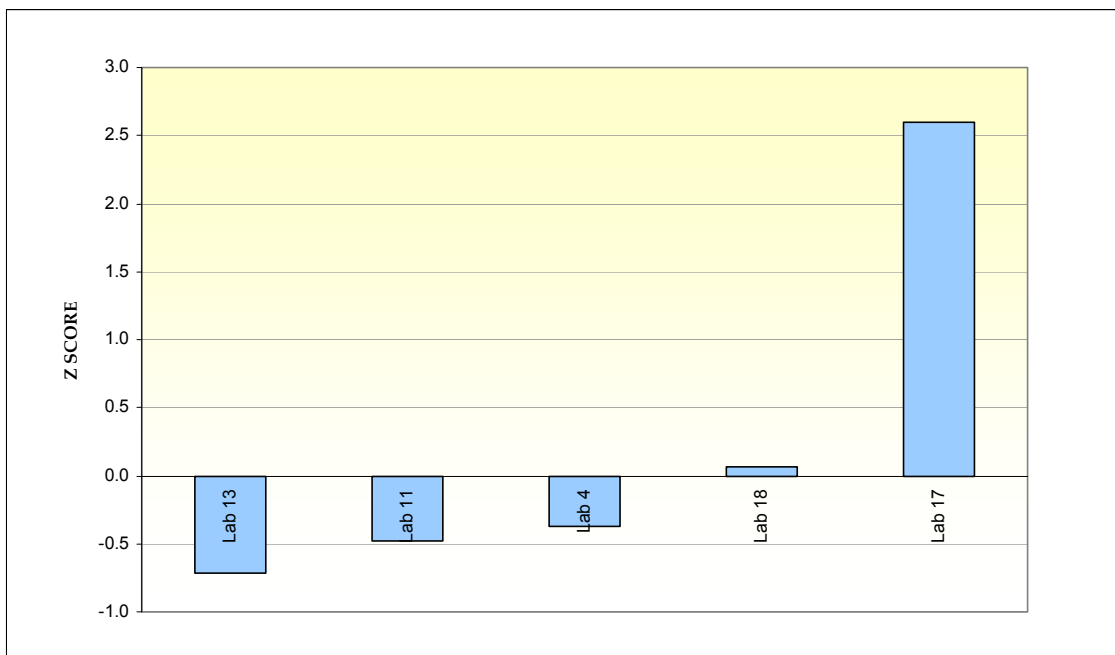
**Διάγραμμα 5.156 Μέση Ένταση ηλεκτρικού πεδίου E(V/m) στη φασματική περιοχή GSM(880-1000MHz): Σενάριο μέτρησης 2, Θέση μέτρησης 3, Ύψος μέτρησης 1.7m**



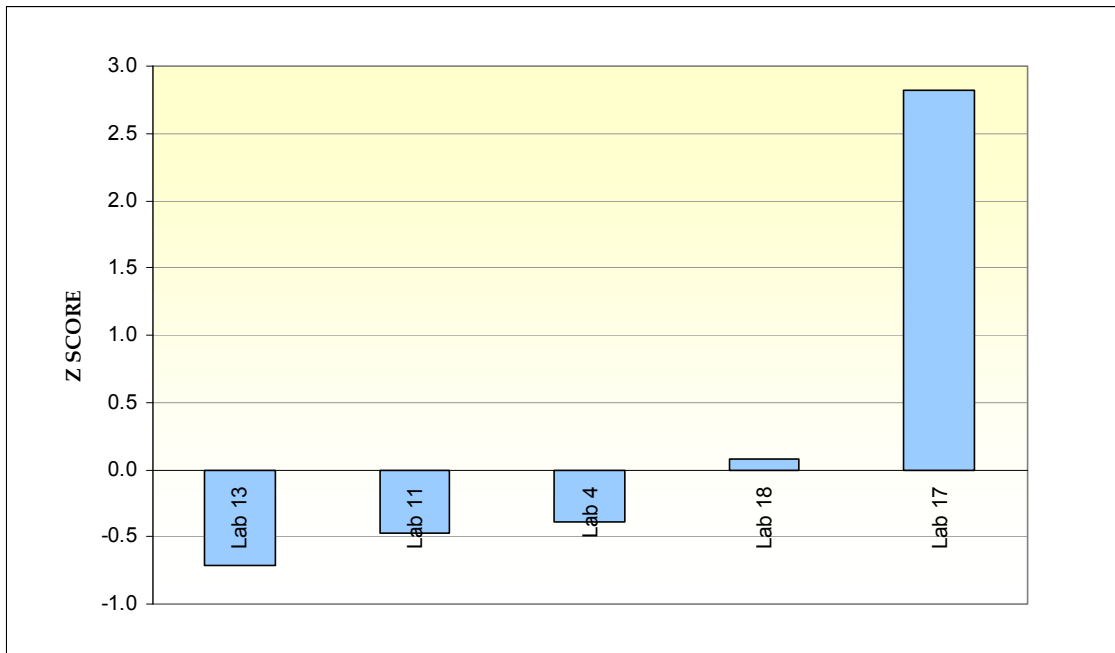
**Διάγραμμα 5.156 Μέση Ένταση ηλεκτρικού πεδίου E(V/m) στη φασματική περιοχή DCS(1700-1900MHz): Σενάριο μέτρησης 2, Θέση μέτρησης 1**



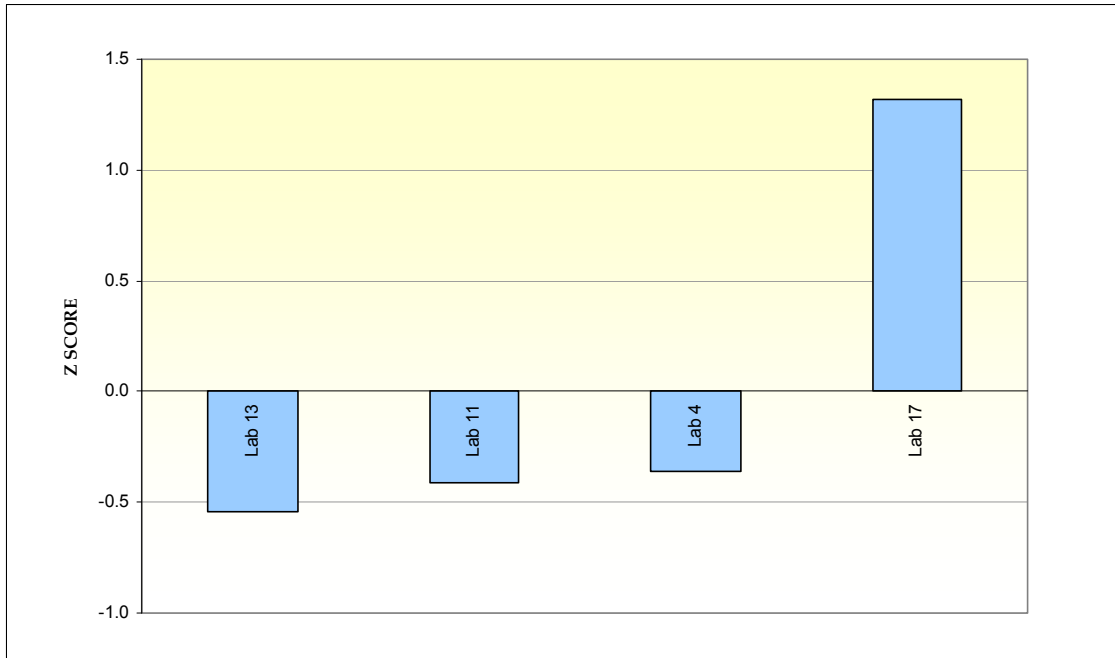
**Διάγραμμα 5.157 Μέση Ένταση ηλεκτρικού πεδίου E(V/m) στη φασματική περιοχή DCS(1700-1900MHz): Σενάριο μέτρησης 2, Θέση μέτρησης 2**



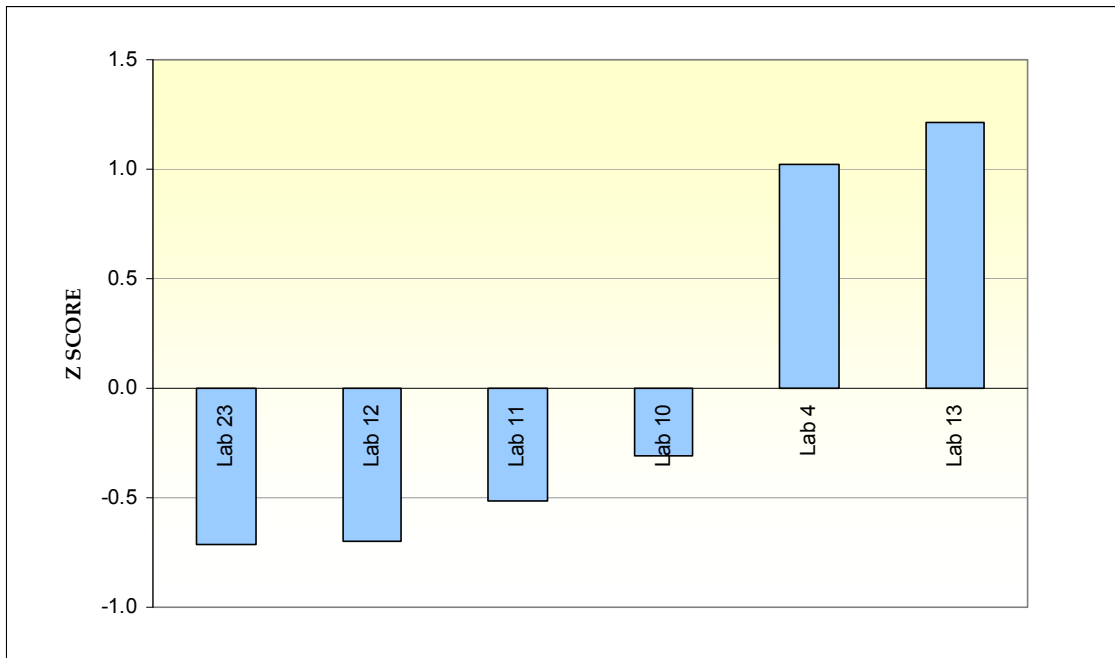
**Διάγραμμα 5.158 Μέση Ένταση ηλεκτρικού πεδίου E(V/m) στη φασματική περιοχή DCS(1700-1900MHz): Σενάριο μέτρησης 1, Θέση μέτρησης 1, Ύψος μέτρησης 1.5m**



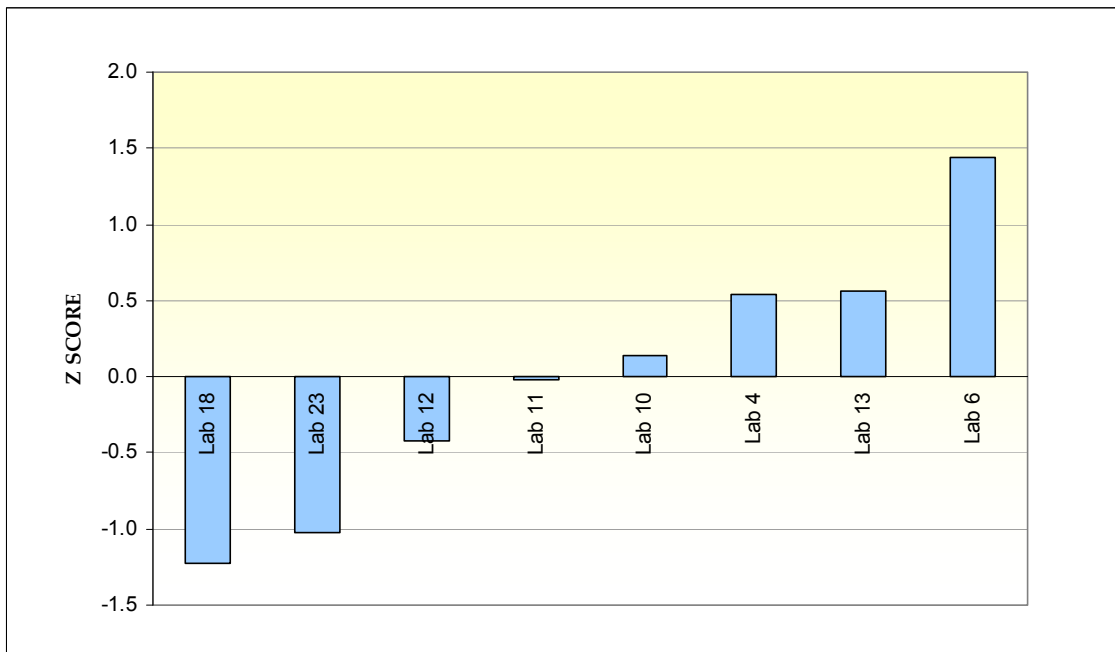
**Διάγραμμα 5.159 Μέση Ένταση ηλεκτρικού πεδίου E(V/m) στη φασματική περιοχή DCS(1700-1900MHz): Σενάριο μέτρησης 1, Θέση μέτρησης 2, Ύψος μέτρησης 1.5m**



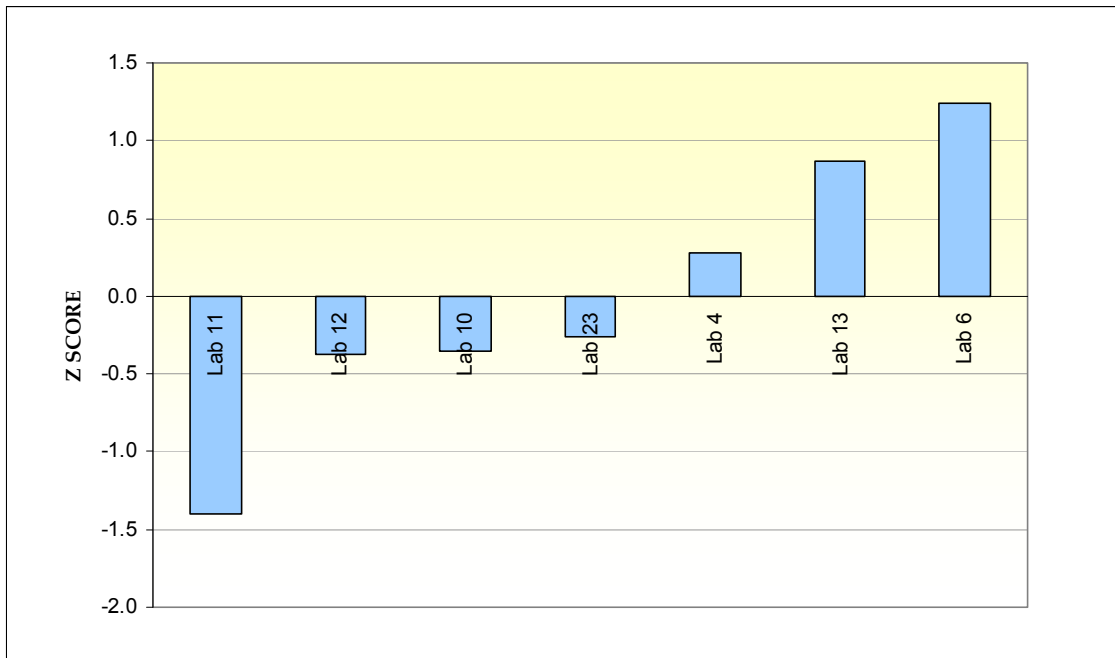
**Διάγραμμα 5.160 Μέση Ένταση ηλεκτρικού πεδίου E(V/m) στη φασματική περιοχή DCS(1700-1900MHz): Σενάριο μέτρησης 1, Θέση μέτρησης 3, Ύψος μέτρησης 1.5m**



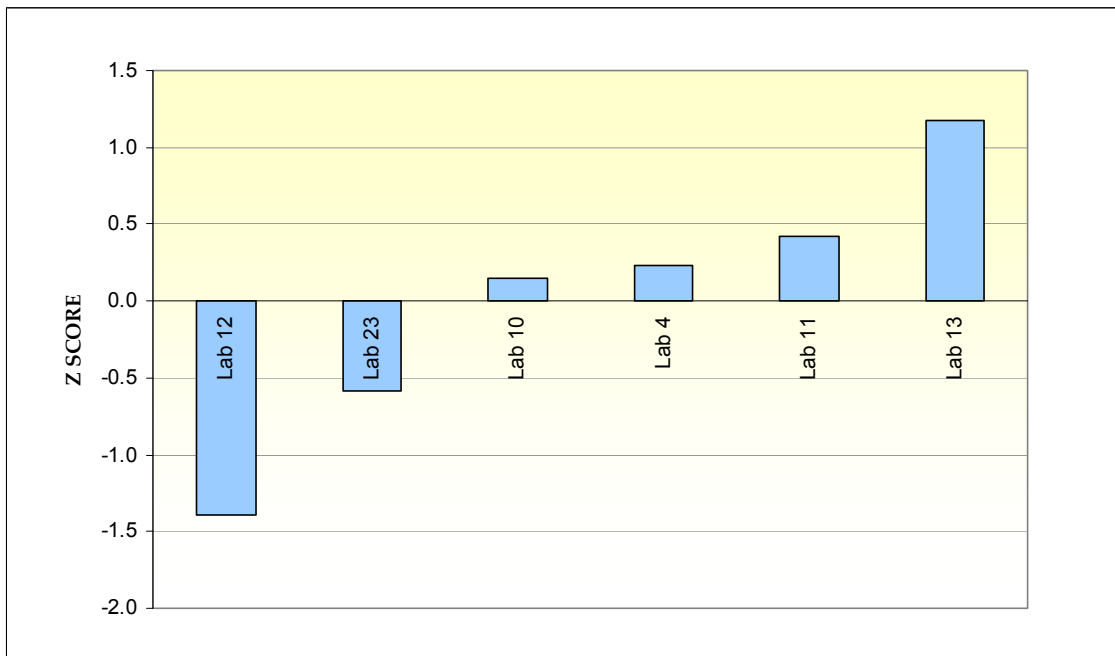
**Διάγραμμα 5.161 Μέση Ένταση ηλεκτρικού πεδίου E(V/m) στη φασματική περιοχή DCS(1700-1900MHz): Σενάριο μέτρησης 2, Θέση μέτρησης 1, Ύψος μέτρησης 1.1m**



**Διάγραμμα 5.162 Μέση Ένταση ηλεκτρικού πεδίου E(V/m) στη φασματική περιοχή DCS(1700-1900MHz): Σενάριο μέτρησης 2, Θέση μέτρησης 1, Ύψος μέτρησης 1.5m**

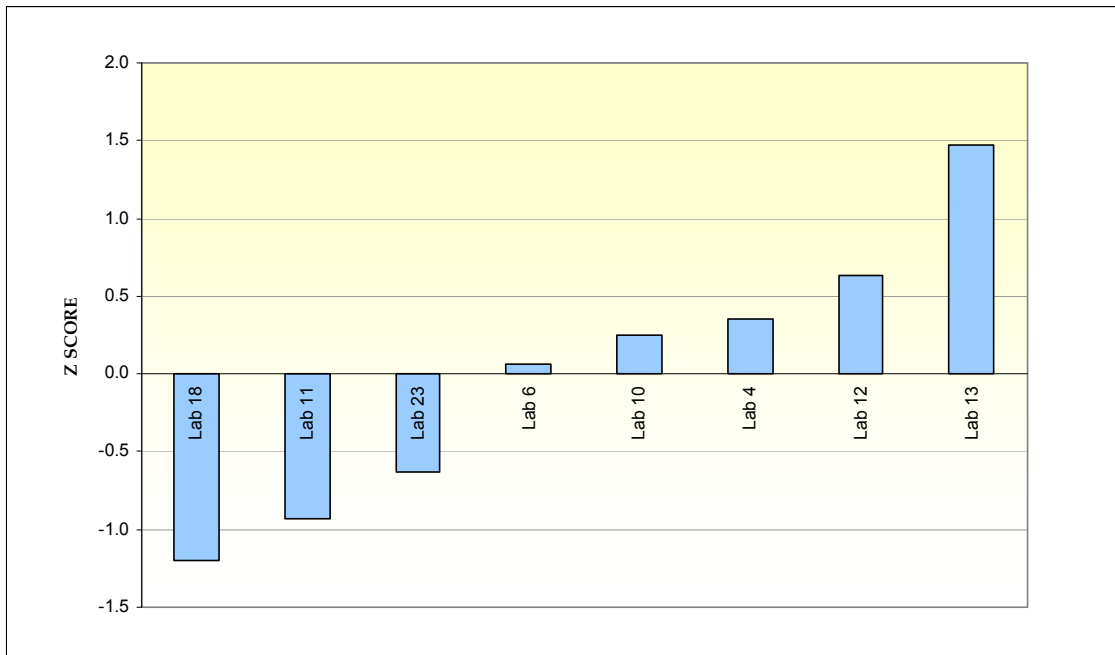


**Διάγραμμα 5.163 Μέση Ένταση ηλεκτρικού πεδίου E(V/m) στη φασματική περιοχή DCS(1700-1900MHz): Σενάριο μέτρησης 2, Θέση μέτρησης 1, Ύψος μέτρησης 1.7m**

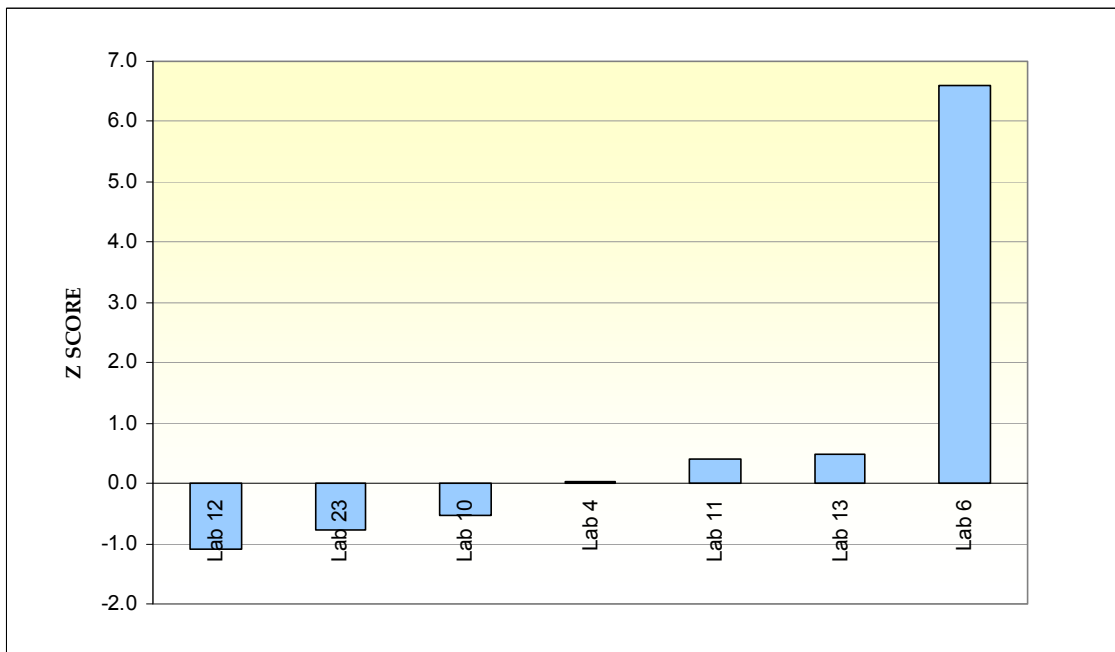


**Διάγραμμα 5.164 Μέση Ένταση ηλεκτρικού πεδίου E(V/m) στη φασματική περιοχή DCS(1700-1900MHz): Σενάριο μέτρησης 2, Θέση μέτρησης 2, Ύψος μέτρησης 1.1m**

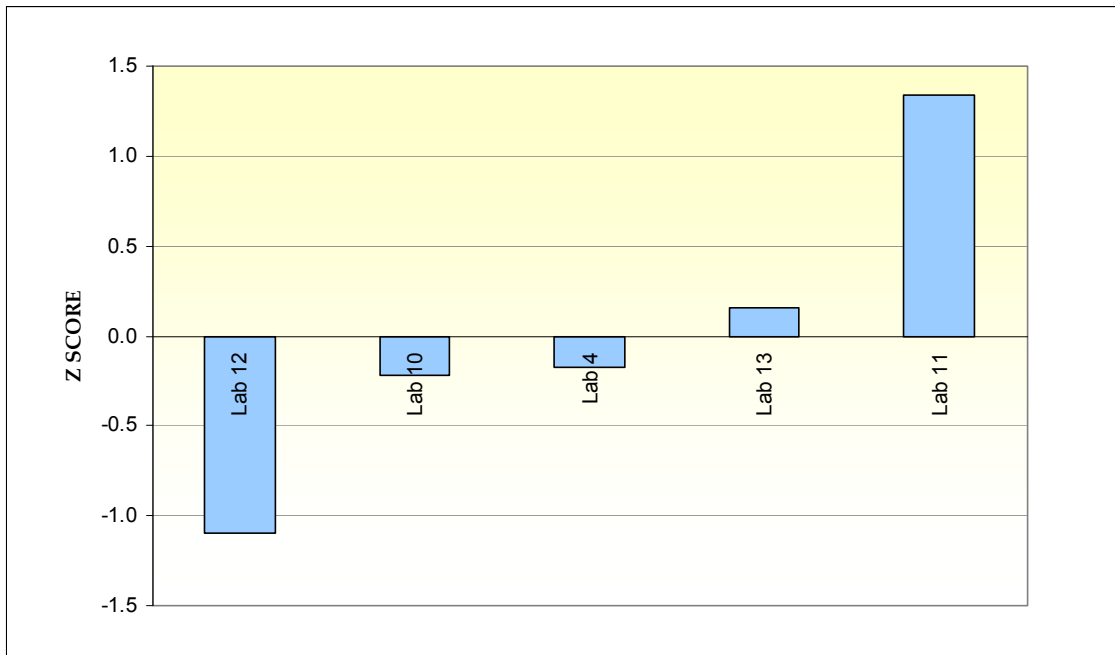




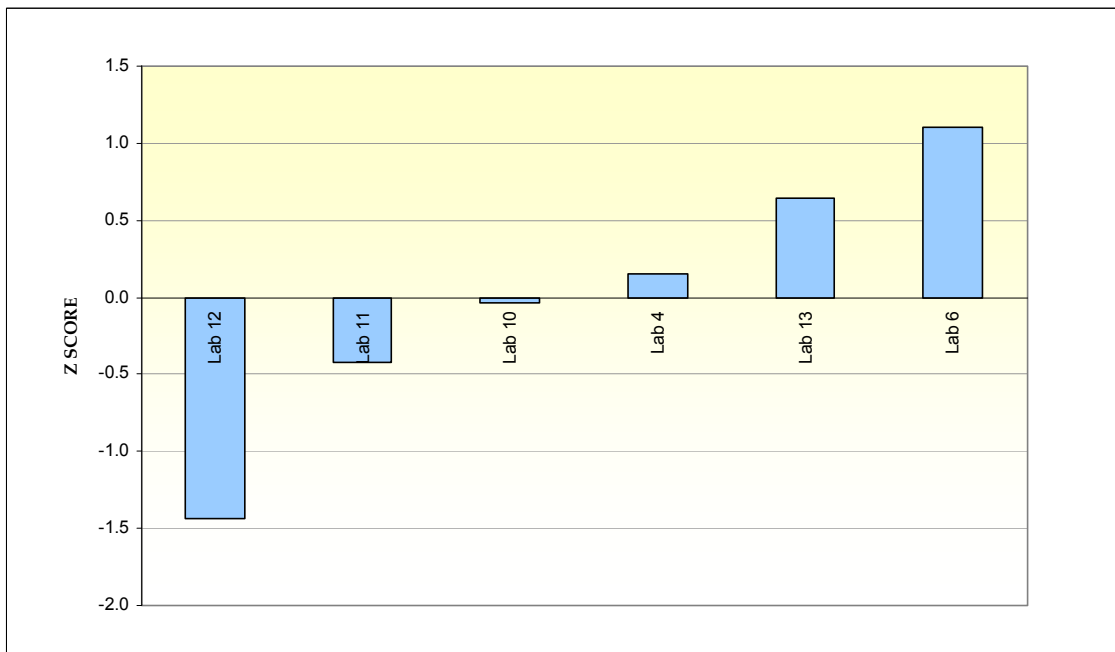
**Διάγραμμα 5.165 Μέση Ένταση ηλεκτρικού πεδίου E(V/m) στη φασματική περιοχή DCS(1700-1900MHz): Σενάριο μέτρησης 2, Θέση μέτρησης 2, Ύψος μέτρησης 1.5m**



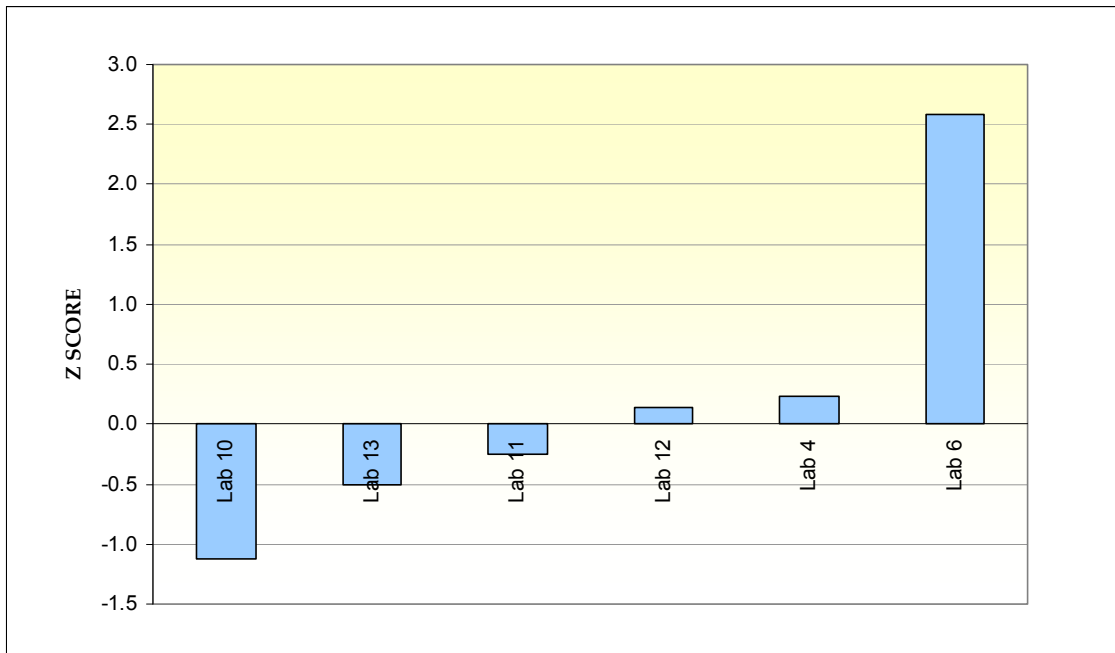
**Διάγραμμα 5.166 Μέση Ένταση ηλεκτρικού πεδίου E(V/m) στη φασματική περιοχή DCS(1700-1900MHz): Σενάριο μέτρησης 2, Θέση μέτρησης 2, Ύψος μέτρησης 1.7m**



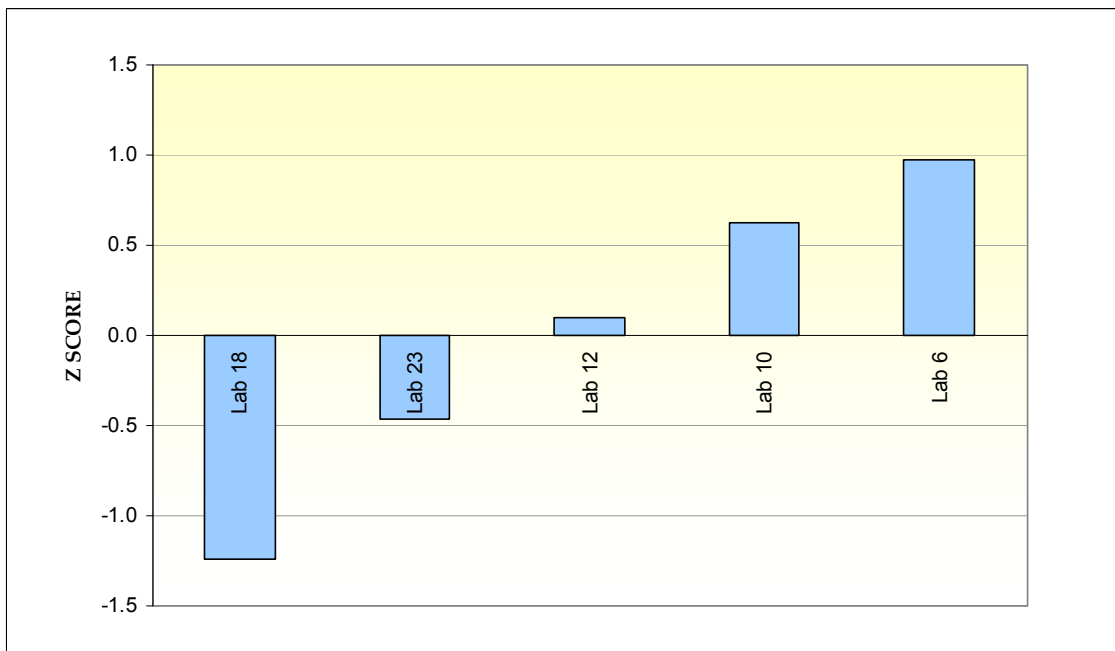
**Διάγραμμα 5.167 Μέση Ένταση ηλεκτρικού πεδίου E(V/m) στη φασματική περιοχή DCS(1700-1900MHz): Σενάριο μέτρησης 2, Θέση μέτρησης 3, Ύψος μέτρησης 1.1m**



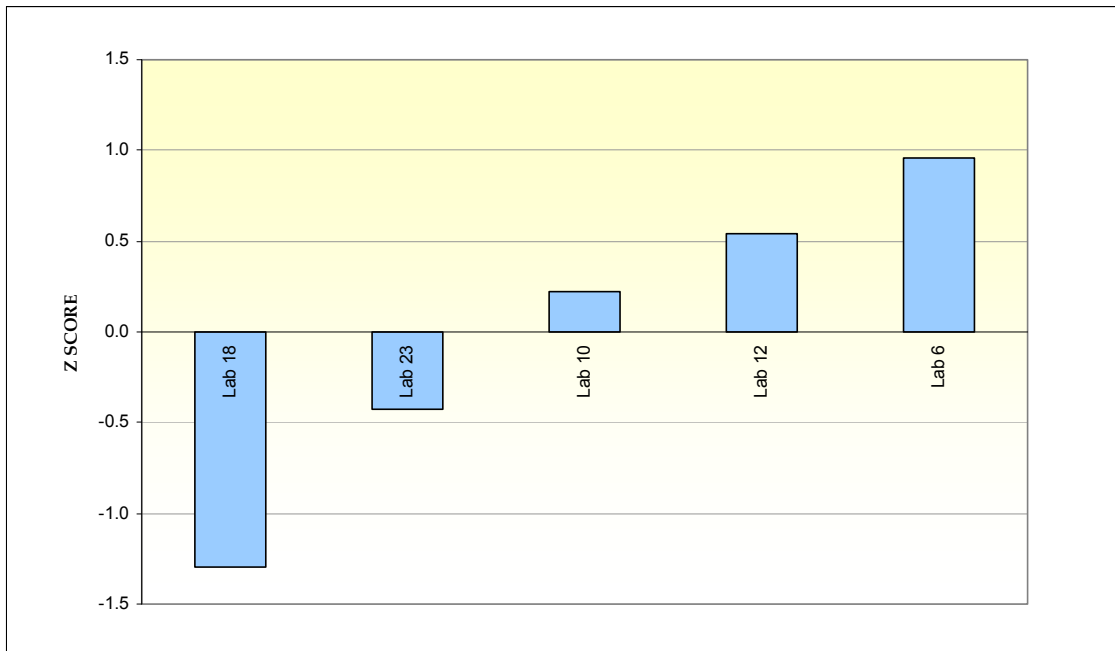
**Διάγραμμα 5.168 Μέση Ένταση ηλεκτρικού πεδίου E(V/m) στη φασματική περιοχή DCS(1700-1900MHz): Σενάριο μέτρησης 2, Θέση μέτρησης 3, Ύψος μέτρησης 1.5m**



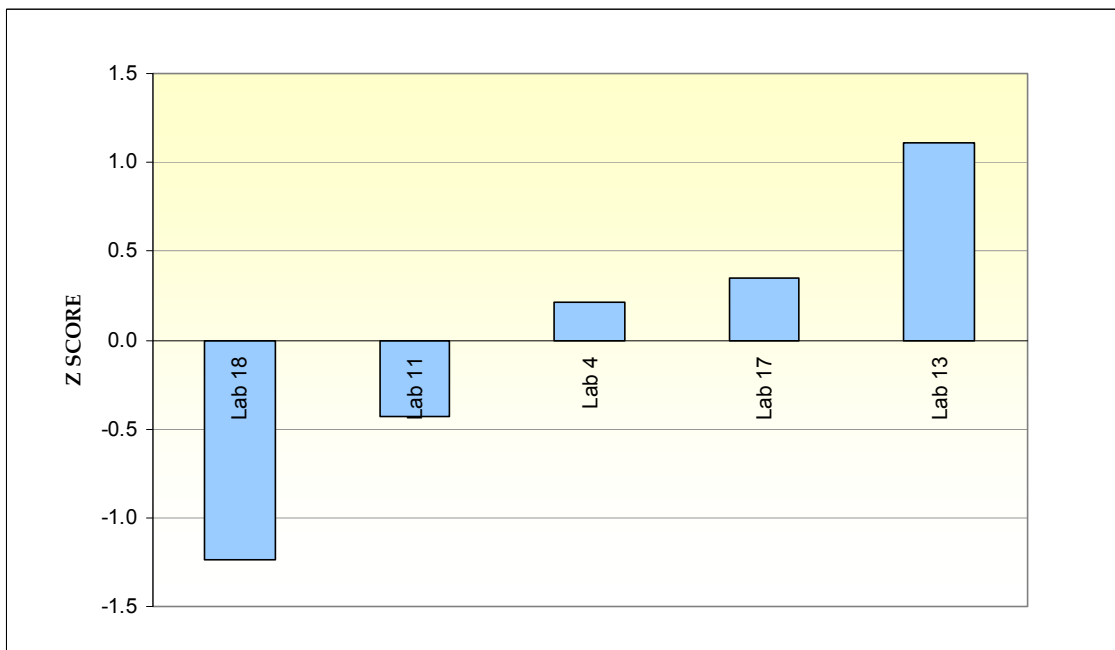
**Διάγραμμα 5.169 Μέση Ένταση ηλεκτρικού πεδίου E(V/m) στη φασματική περιοχή DCS(1700-1900MHz): Σενάριο μέτρησης 2, Θέση μέτρησης 3, Ύψος μέτρησης 1.7m**



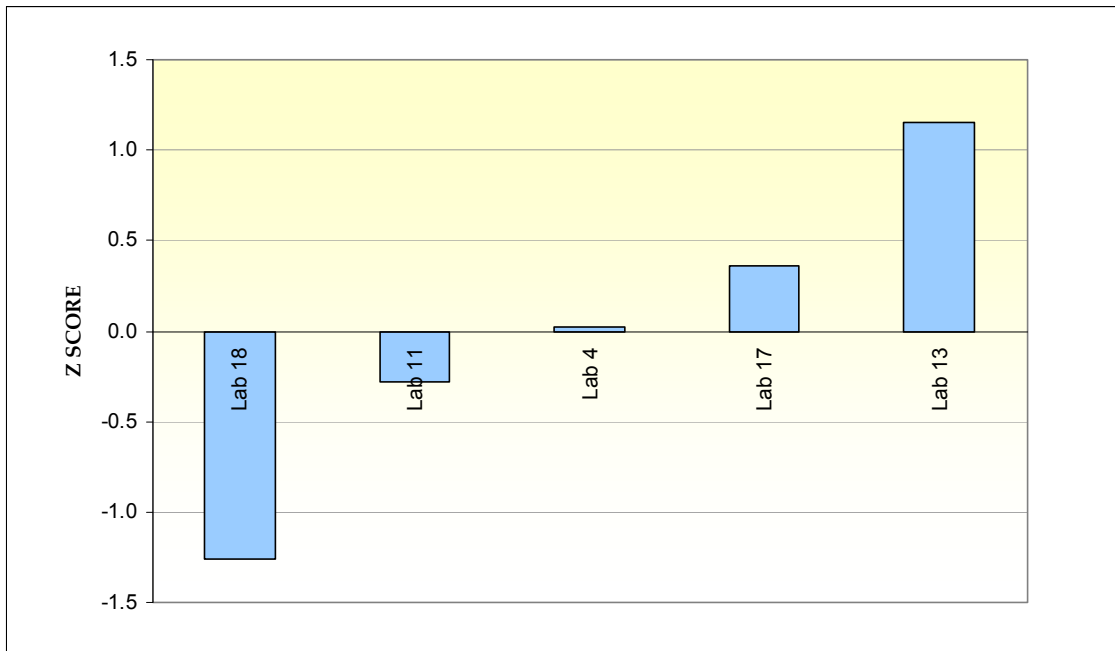
**Διάγραμμα 5.170 Μέση Ένταση ηλεκτρικού πεδίου E(V/m) στη φασματική περιοχή UMTS(1900-2200MHz): Σενάριο μέτρησης 2, Θέση μέτρησης 1**



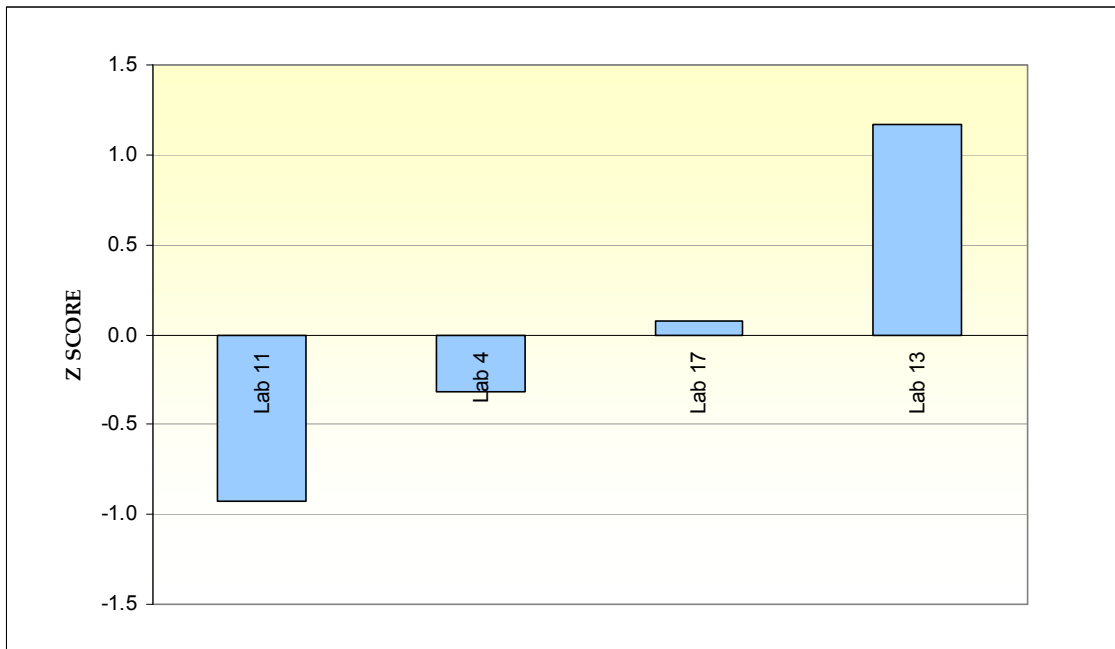
**Διάγραμμα 5.171 Μέση Ένταση ηλεκτρικού πεδίου E(V/m) στη φασματική περιοχή UMTS(1900-2200MHz): Σενάριο μέτρησης 2, Θέση μέτρησης 2**



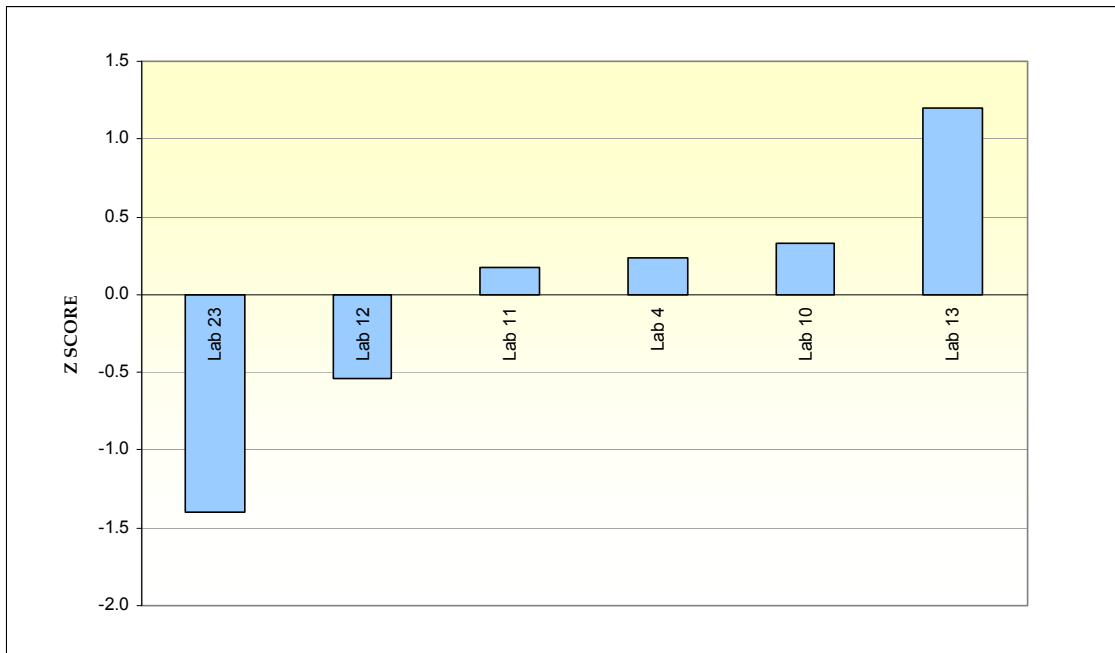
**Διάγραμμα 5.172 Μέση Ένταση ηλεκτρικού πεδίου E(V/m) στη φασματική περιοχή UMTS(1900-2200MHz): Σενάριο μέτρησης 1, Θέση μέτρησης 1, Ύψος μέτρησης 1.5m**



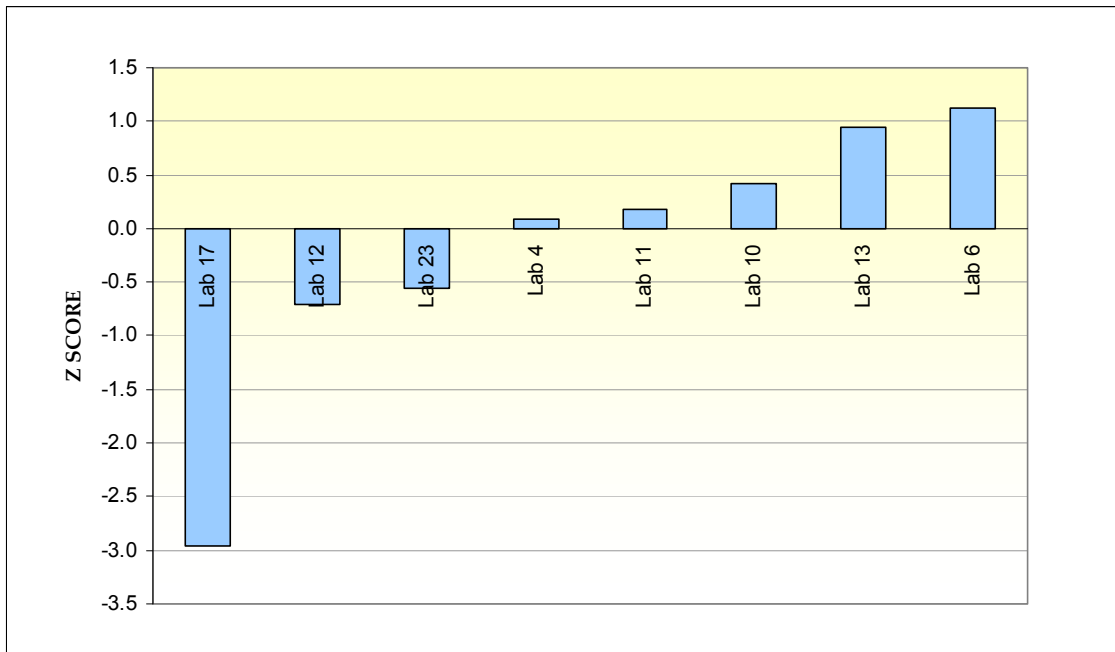
**Διάγραμμα 5.173 Μέση Ένταση ηλεκτρικού πεδίου E(V/m) στη φασματική περιοχή UMTS(1900-2200MHz): Σενάριο μέτρησης 1, Θέση μέτρησης 2, Ύψος μέτρησης 1.5m**



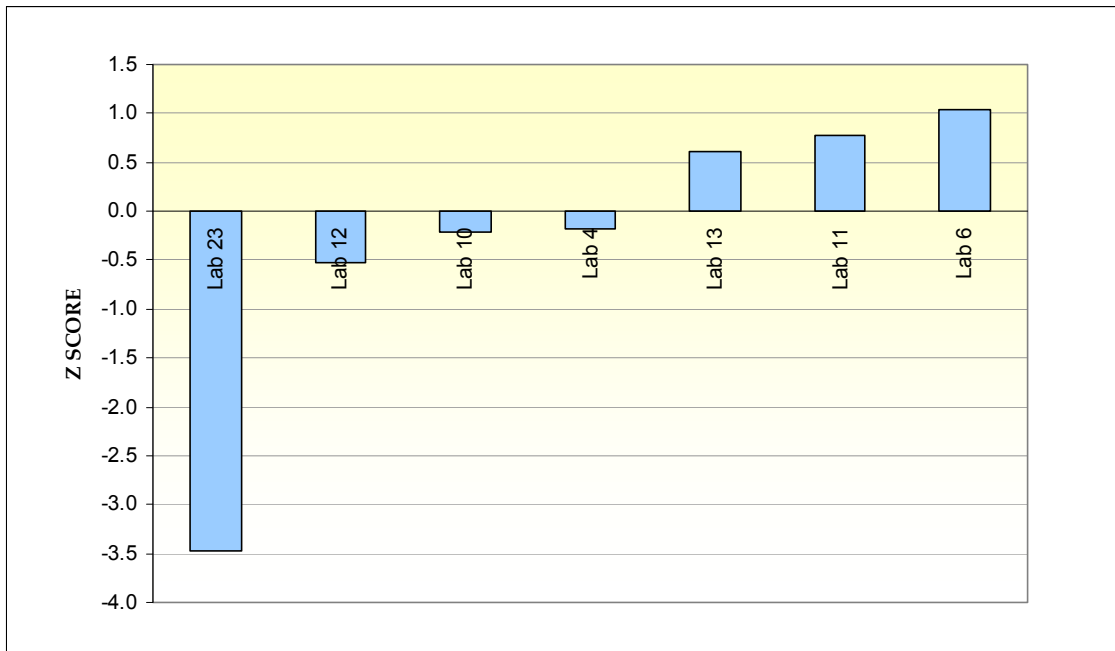
**Διάγραμμα 5.174 Μέση Ένταση ηλεκτρικού πεδίου E(V/m) στη φασματική περιοχή UMTS(1900-2200MHz): Σενάριο μέτρησης 1, Θέση μέτρησης 3, Ύψος μέτρησης 1.5m**



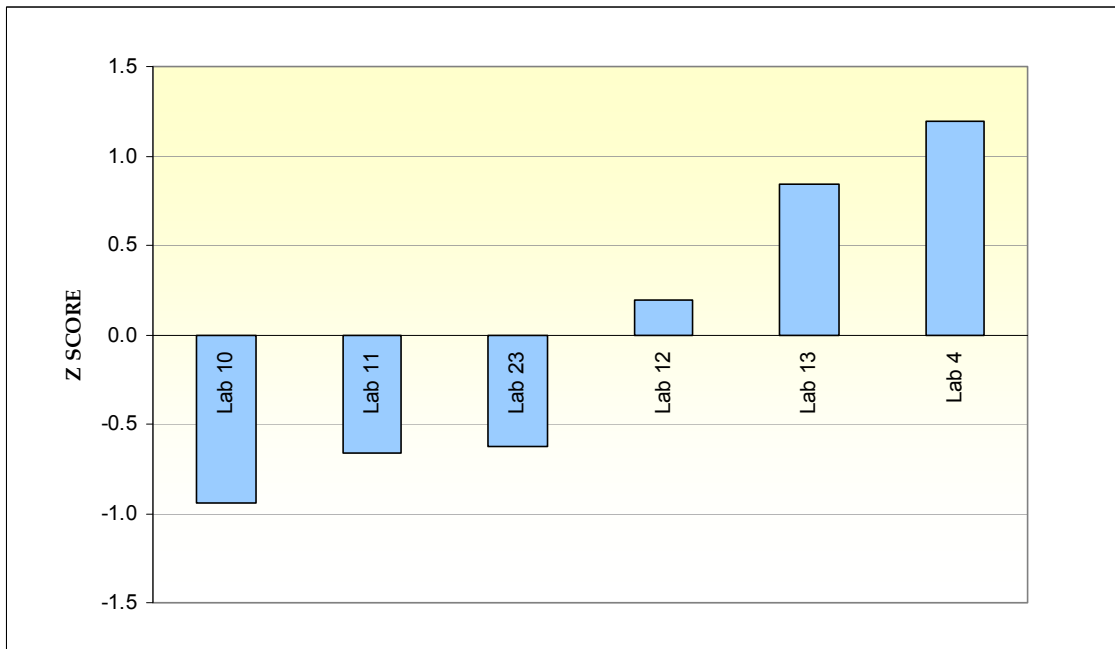
**Διάγραμμα 5.175 Μέση Ένταση ηλεκτρικού πεδίου E(V/m) στη φασματική περιοχή UMTS(1900-2200MHz): Σενάριο μέτρησης 2, Θέση μέτρησης 1, Ύψος μέτρησης 1.1m**



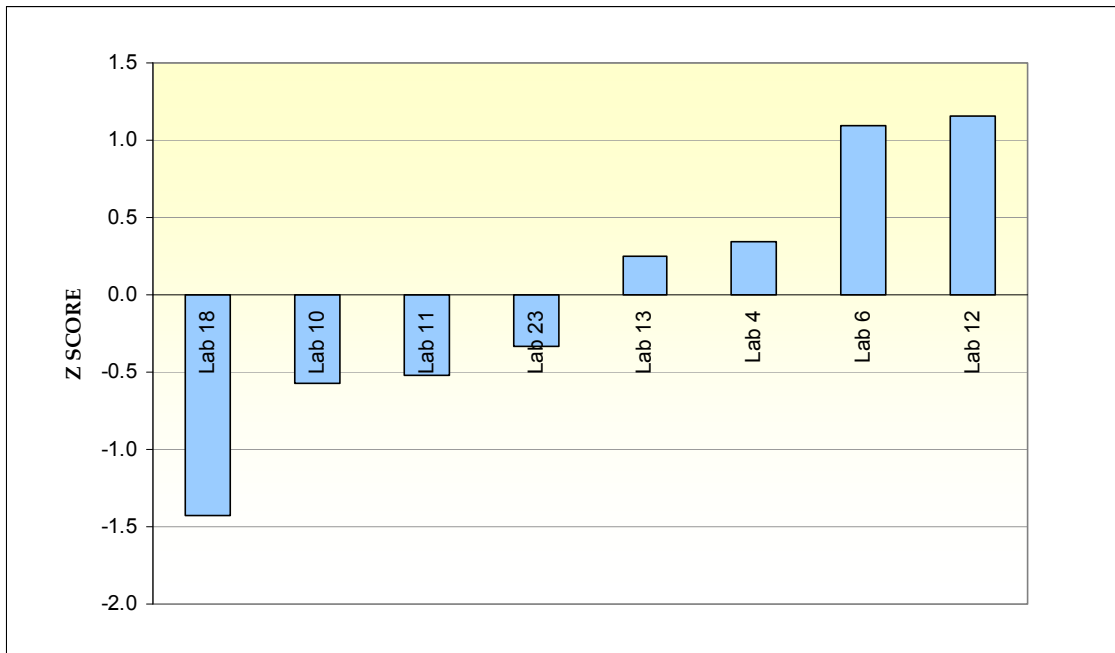
**Διάγραμμα 5.176 Μέση Ένταση ηλεκτρικού πεδίου E(V/m) στη φασματική περιοχή UMTS(1900-2200MHz): Σενάριο μέτρησης 2, Θέση μέτρησης 1, Ύψος μέτρησης 1.5m**



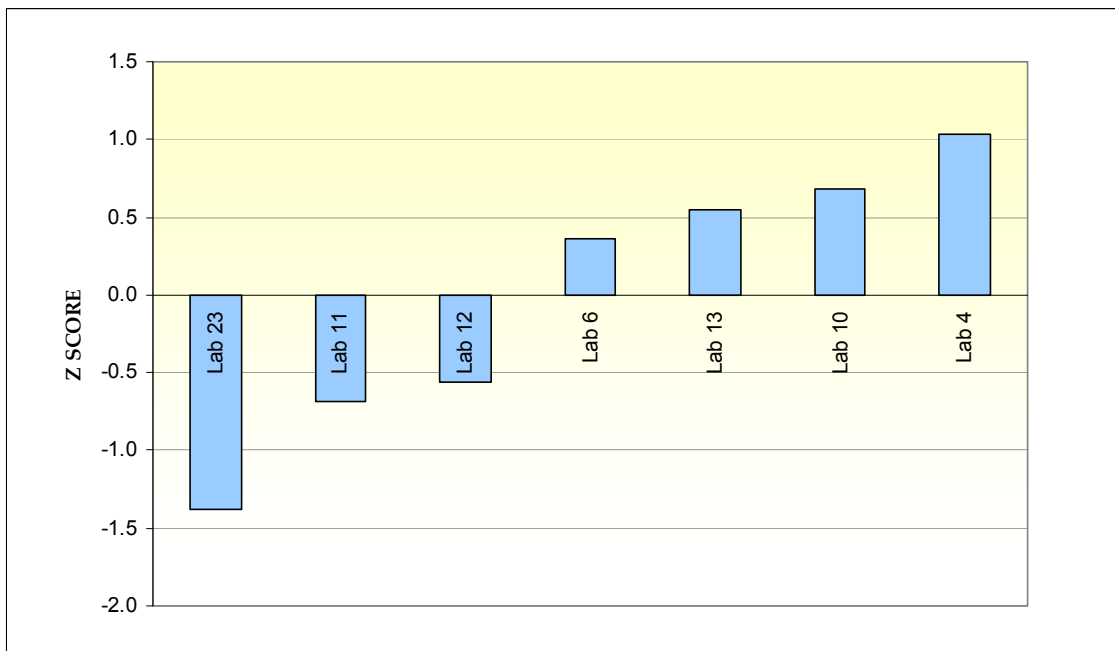
**Διάγραμμα 5.177 Μέση Ένταση ηλεκτρικού πεδίου E(V/m) στη φασματική περιοχή UMTS(1900-2200MHz): Σενάριο μέτρησης 2, Θέση μέτρησης 1, Ύψος μέτρησης 1.7m**



**Διάγραμμα 5.178 Μέση Ένταση ηλεκτρικού πεδίου E(V/m) στη φασματική περιοχή UMTS(1900-2200MHz): Σενάριο μέτρησης 2, Θέση μέτρησης 2, Ύψος μέτρησης 1.1m**

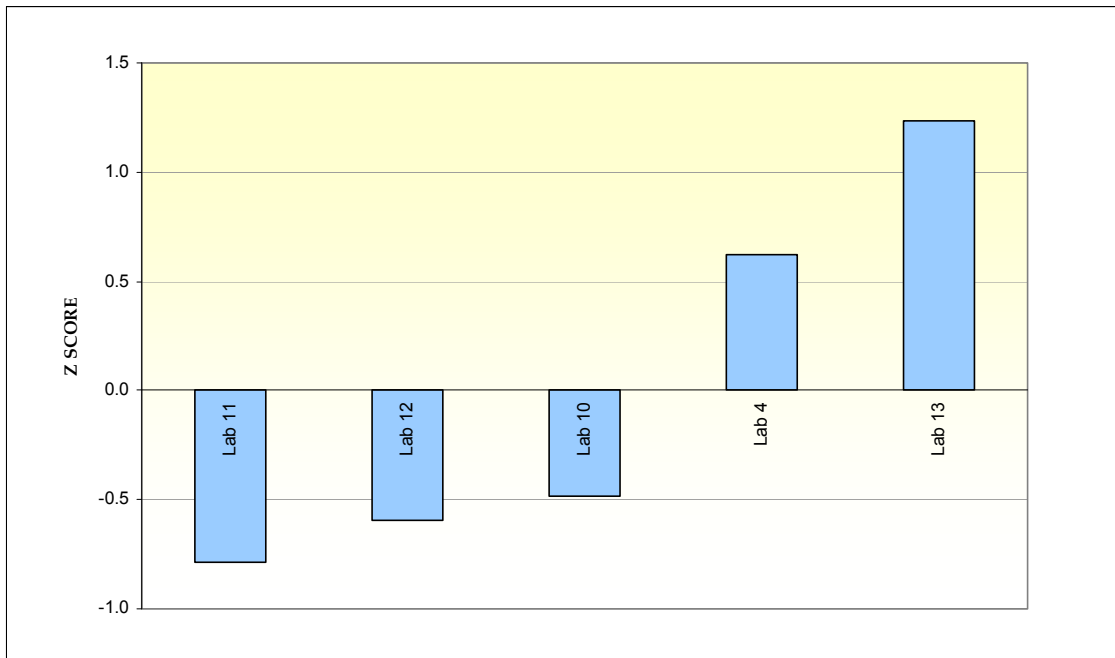


**Διάγραμμα 5.179 Μέση Ένταση ηλεκτρικού πεδίου E(V/m) στη φασματική περιοχή UMTS(1900-2200MHz): Σενάριο μέτρησης 2, Θέση μέτρησης 2, Ύψος μέτρησης 1.5m**

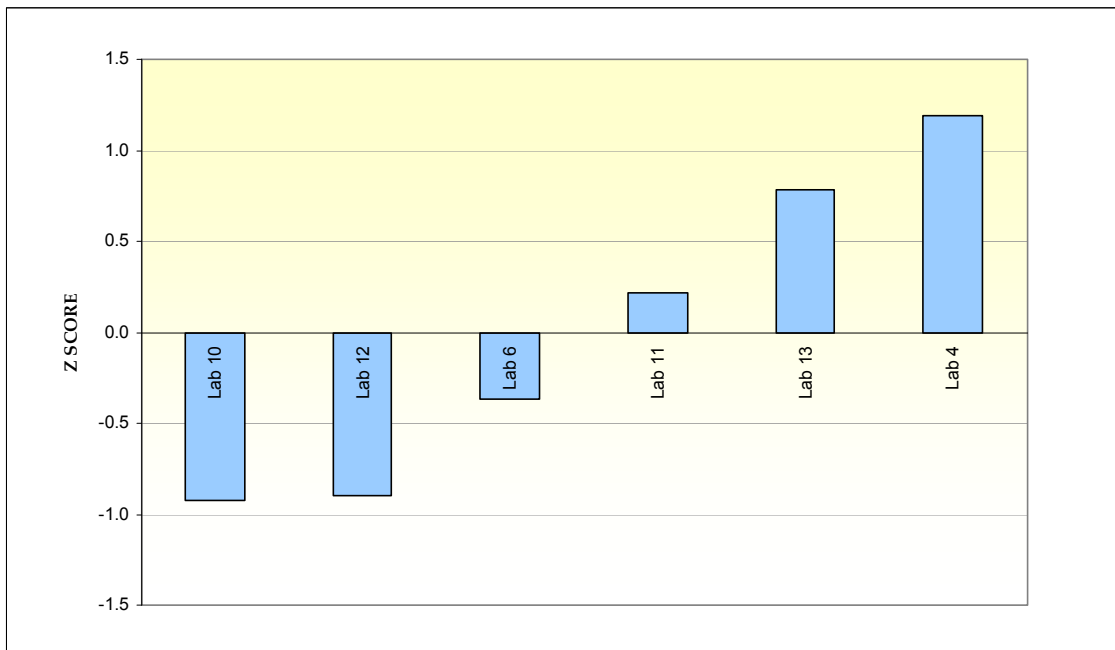


**Διάγραμμα 5.180 Μέση Ένταση ηλεκτρικού πεδίου E(V/m) στη φασματική περιοχή UMTS(1900-2200MHz): Σενάριο μέτρησης 2, Θέση μέτρησης 2, Ύψος μέτρησης 1.7m**

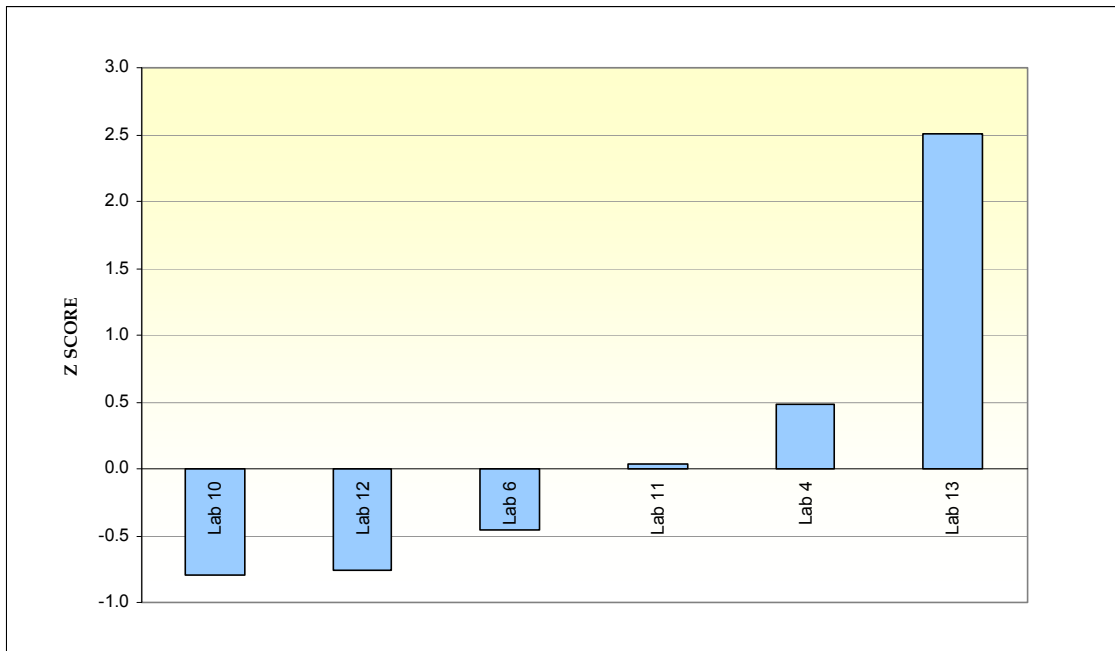




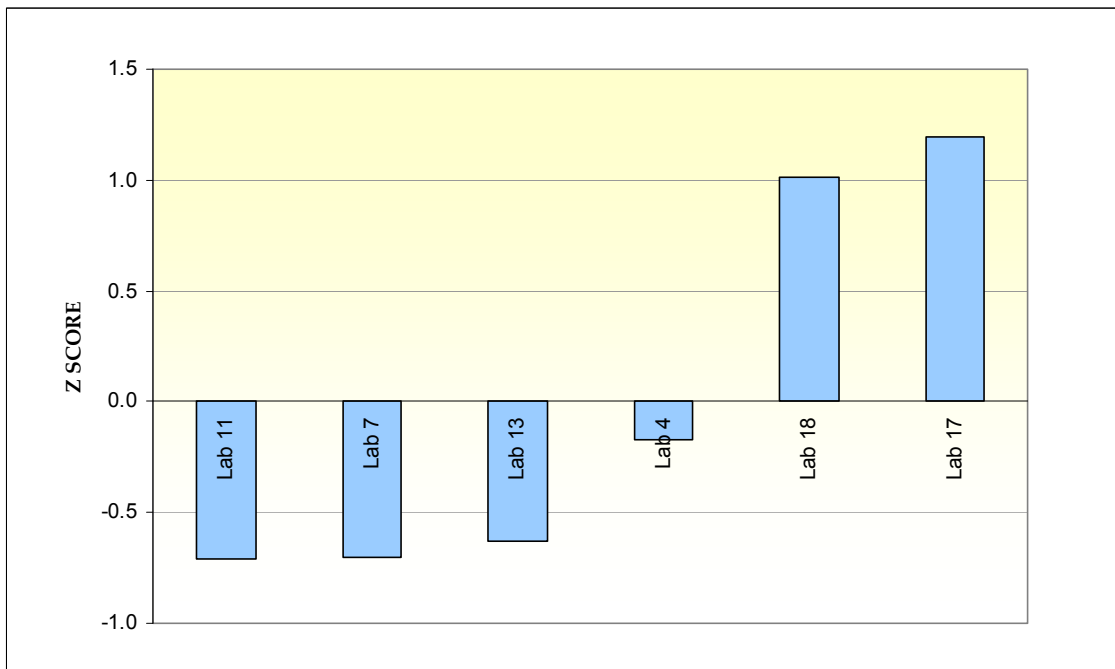
**Διάγραμμα 5.181 Μέση Ένταση ηλεκτρικού πεδίου E(V/m) στη φασματική περιοχή UMTS(1900-2200MHz): Σενάριο μέτρησης 2, Θέση μέτρησης 3, Ύψος μέτρησης 1.1m**



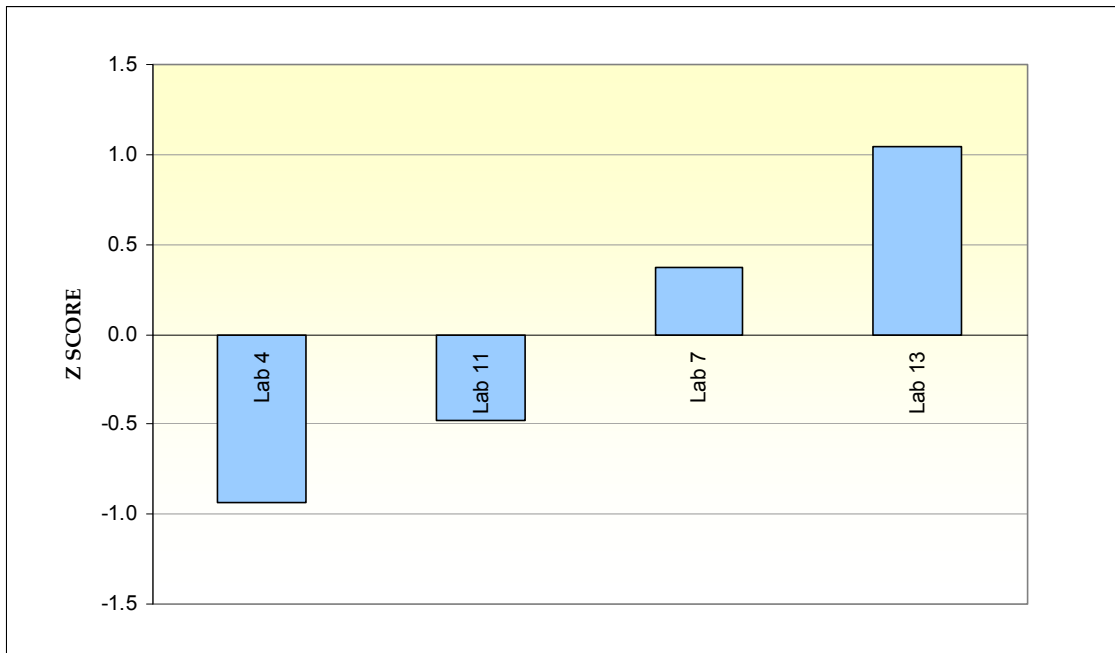
**Διάγραμμα 5.182 Μέση Ένταση ηλεκτρικού πεδίου E(V/m) στη φασματική περιοχή UMTS(1900-2200MHz): Σενάριο μέτρησης 2, Θέση μέτρησης 3, Ύψος μέτρησης 1.5m**



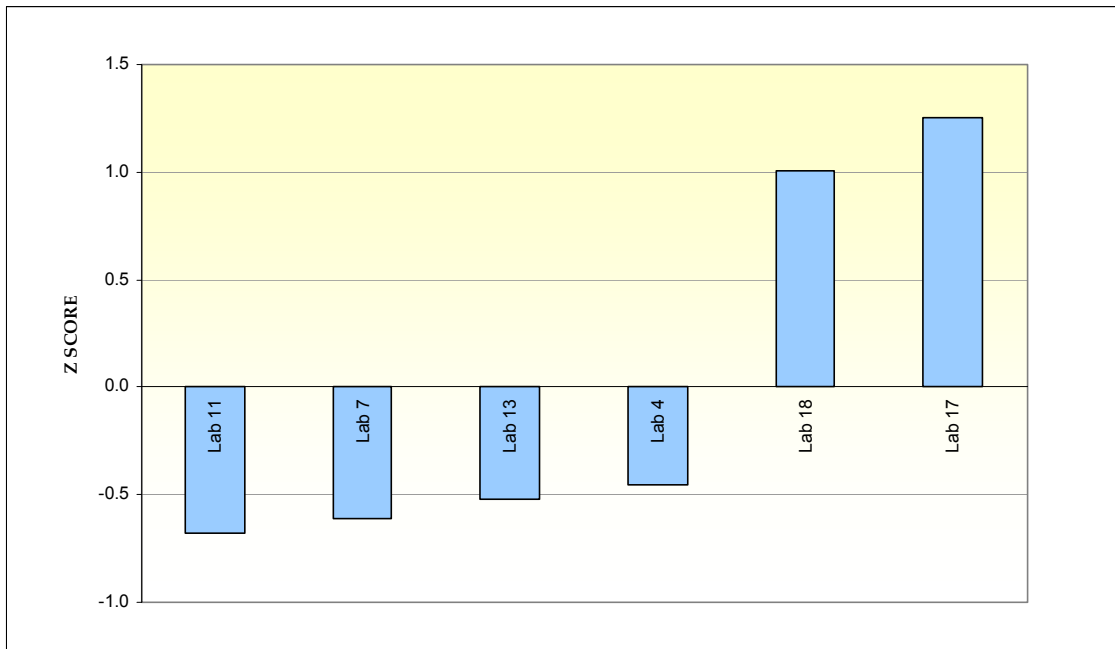
**Διάγραμμα 5.182 Μέση Ένταση ηλεκτρικού πεδίου E(V/m) στη φασματική περιοχή UMTS(1900-2200MHz): Σενάριο μέτρησης 2, Θέση μέτρησης 3, Ύψος μέτρησης 1.7m**



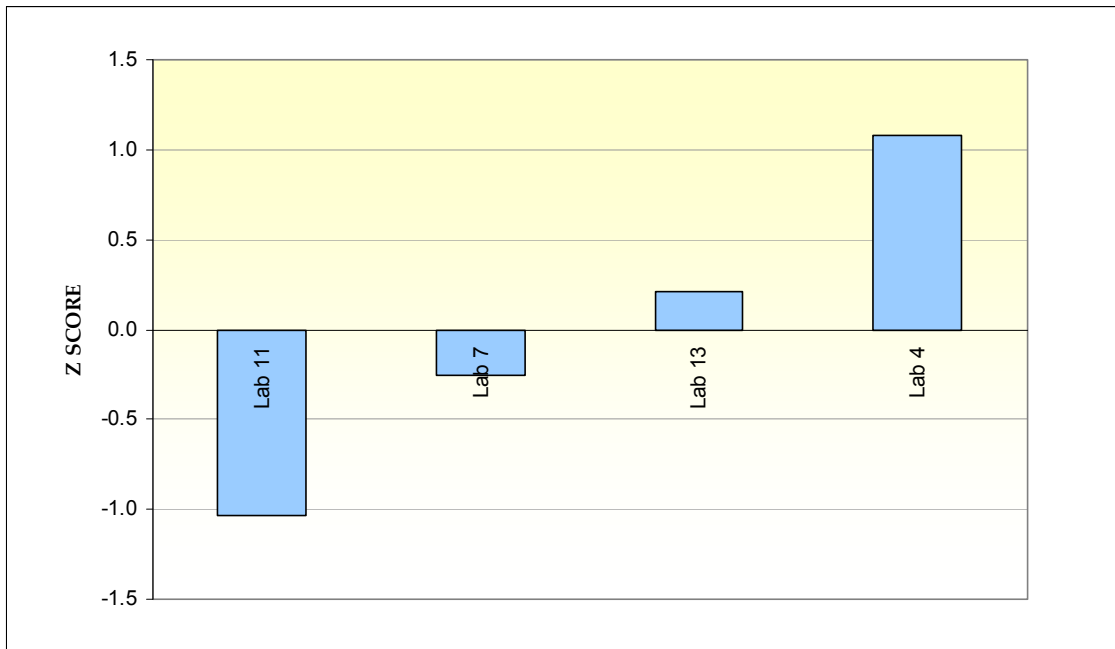
**Διάγραμμα 5.183 Μέση Ένταση ηλεκτρικού πεδίου E(V/m) στη φασματική περιοχή Radio FM(75-108MHz): Σενάριο μέτρησης 1, Θέση μέτρησης 1, Ύψος μέτρησης 1.5m**



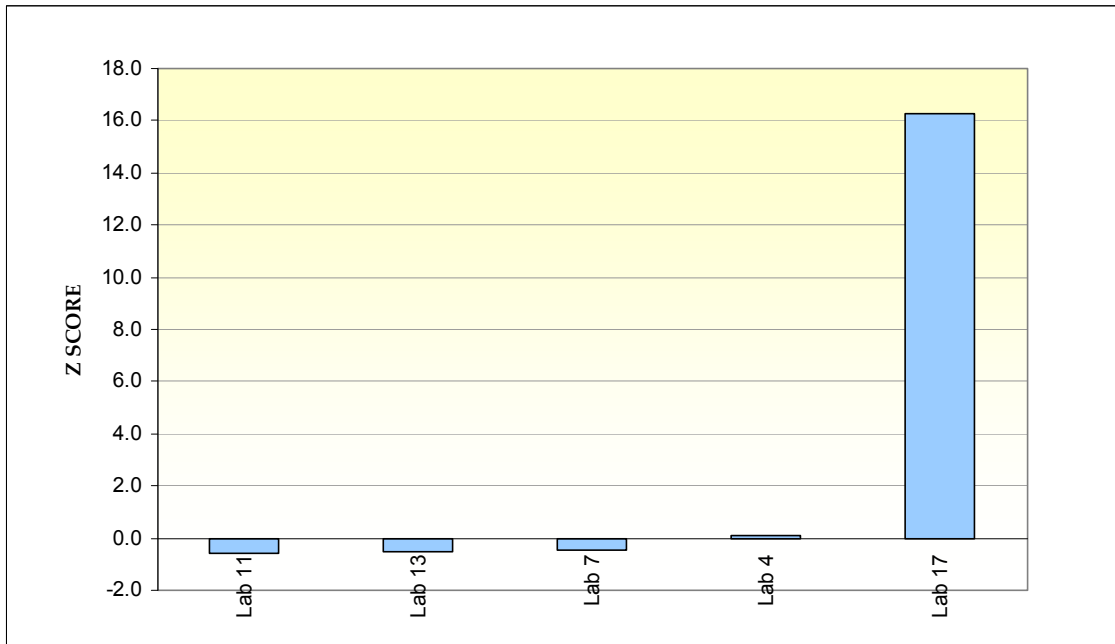
**Διάγραμμα 5.184 Μέση Ένταση ηλεκτρικού πεδίου E(V/m) στη φασματική περιοχή Radio FM(75-108MHz): Σενάριο μέτρησης 1, Θέση μέτρησης 1, Ύψος μέτρησης 1.7m**



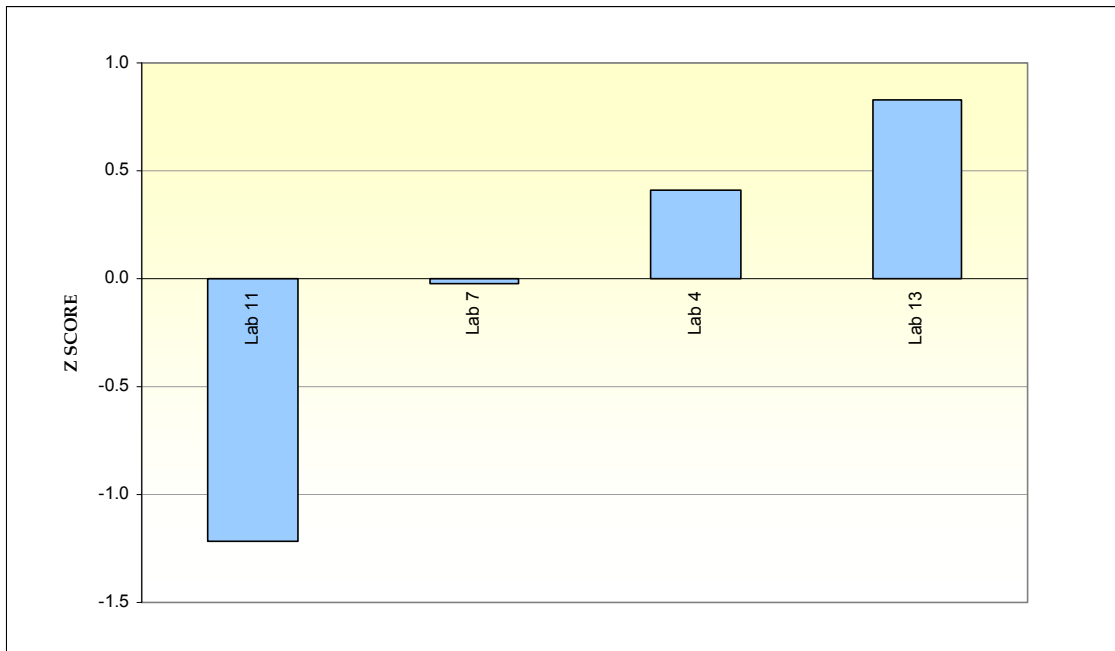
**Διάγραμμα 5.185 Μέση Ένταση ηλεκτρικού πεδίου E(V/m) στη φασματική περιοχή Radio FM(75-108MHz): Σενάριο μέτρησης 1, Θέση μέτρησης 2, Ύψος μέτρησης 1.5m**



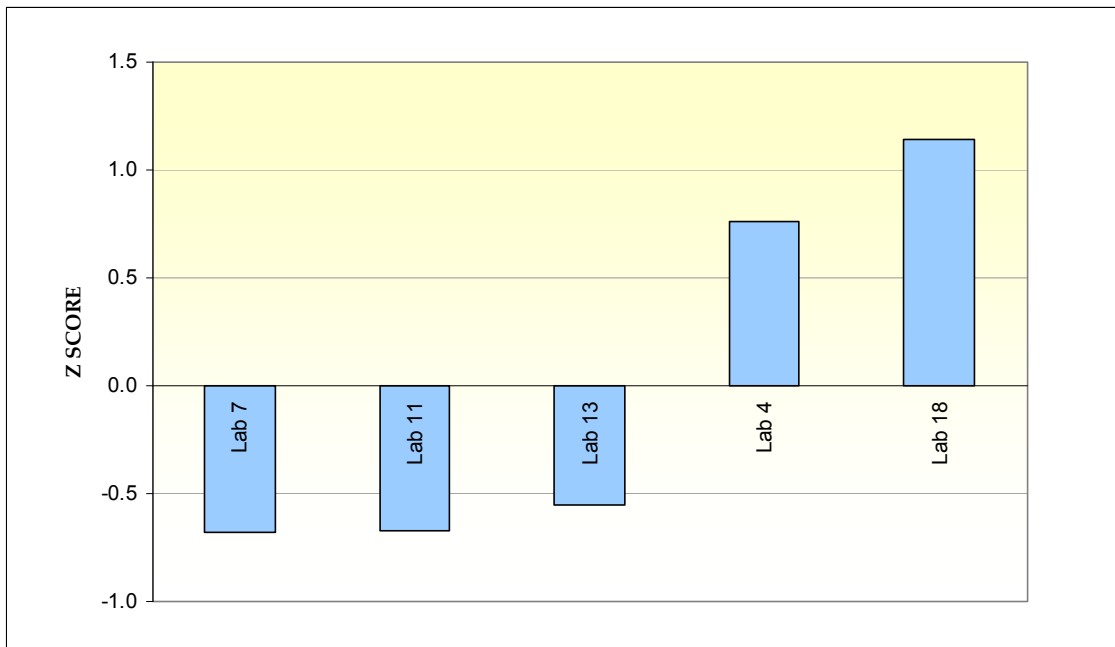
**Διάγραμμα 5.186 Μέση Ένταση ηλεκτρικού πεδίου E(V/m) στη φασματική περιοχή Radio FM(75-108MHz): Σενάριο μέτρησης 1, Θέση μέτρησης 2, Ύψος μέτρησης 1.7m**



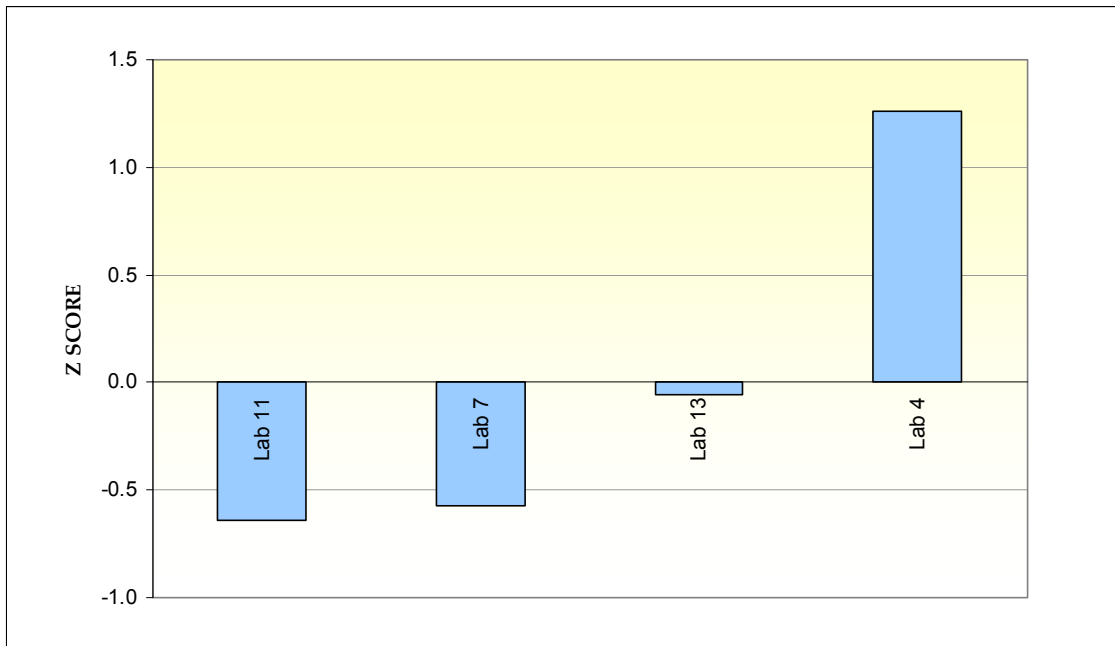
**Διάγραμμα 5.187 Μέση Ένταση ηλεκτρικού πεδίου E(V/m) στη φασματική περιοχή Radio FM(75-108MHz): Σενάριο μέτρησης 1, Θέση μέτρησης 3, Ύψος μέτρησης 1.5m**



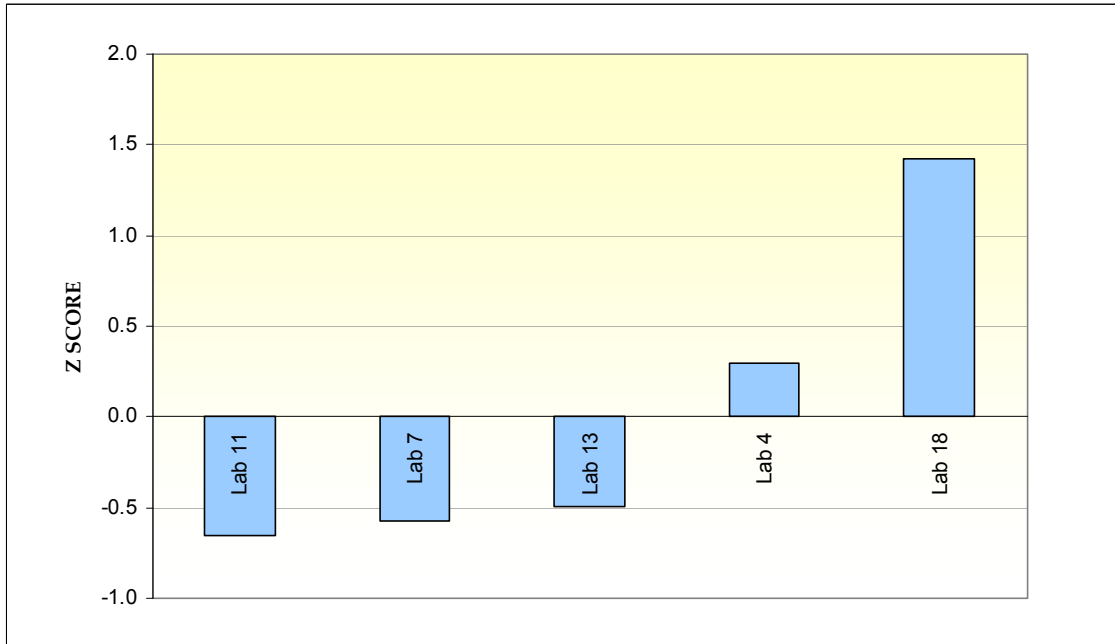
**Διάγραμμα 5.188 Μέση Ένταση ηλεκτρικού πεδίου E(V/m) στη φασματική περιοχή Radio FM(75-108MHz): Σενάριο μέτρησης 1, Θέση μέτρησης 3, Ύψος μέτρησης 1.7m**



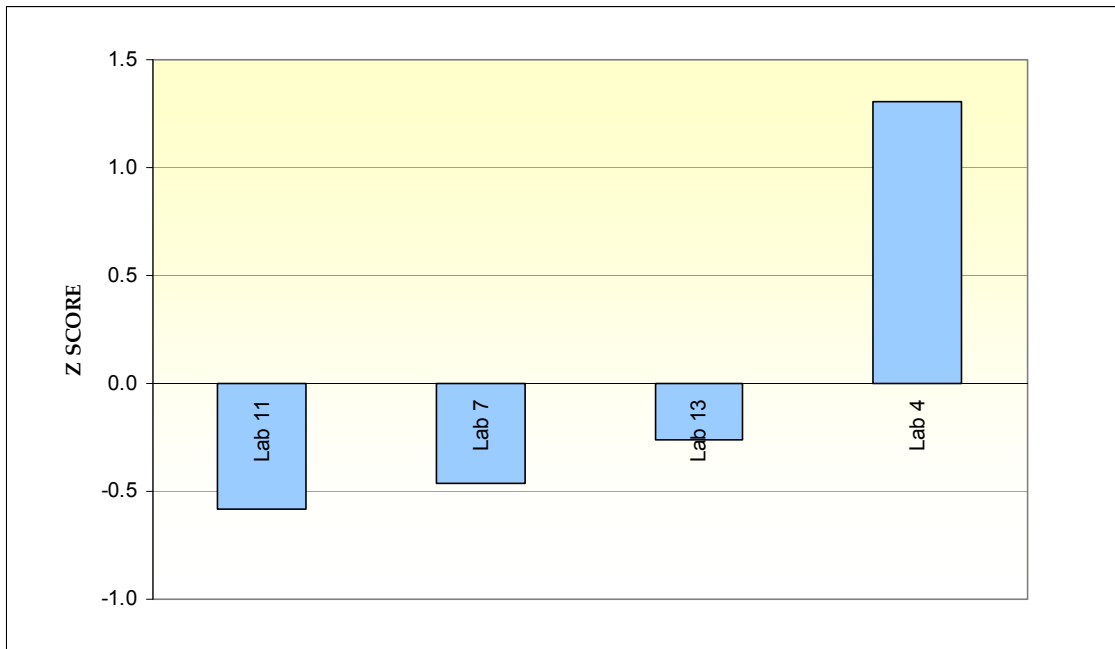
**Διάγραμμα 5.189 Μέση Ένταση ηλεκτρικού πεδίου E(V/m) στη φασματική περιοχή Radio FM(75-108MHz): Σενάριο μέτρησης 2, Θέση μέτρησης 1, Ύψος μέτρησης 1.5m**



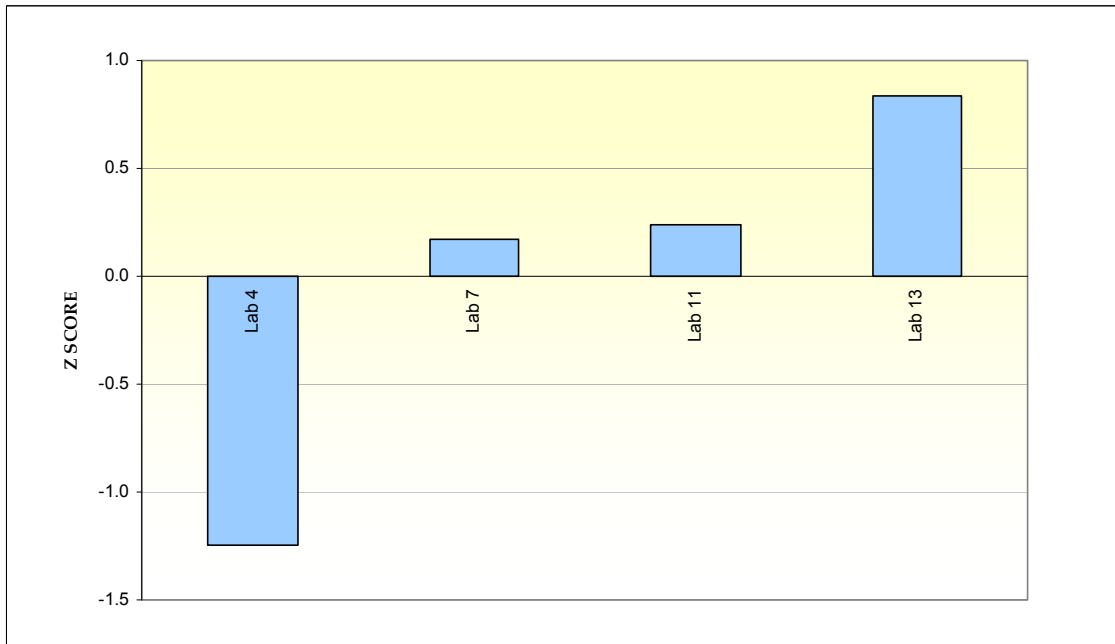
**Διάγραμμα 5.190 Μέση Ένταση ηλεκτρικού πεδίου E(V/m) στη φασματική περιοχή Radio FM(75-108MHz): Σενάριο μέτρησης 2, Θέση μέτρησης 1, Ύψος μέτρησης 1.7m**



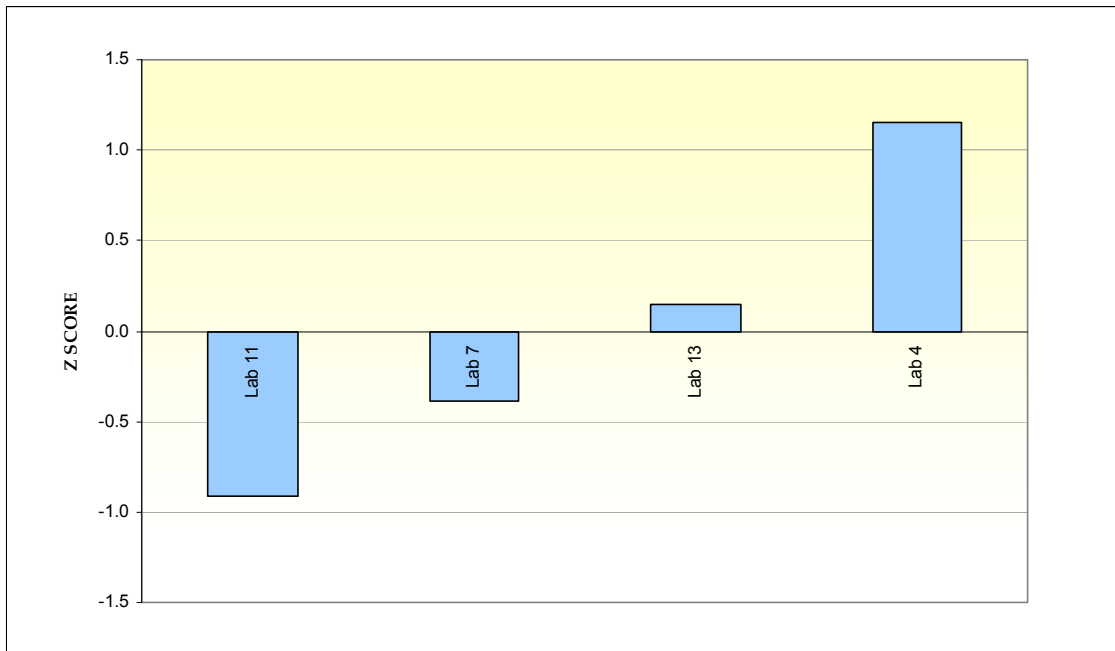
**Διάγραμμα 5.191 Μέση Ένταση ηλεκτρικού πεδίου E(V/m) στη φασματική περιοχή Radio FM(75-108MHz): Σενάριο μέτρησης 2, Θέση μέτρησης 2, Ύψος μέτρησης 1.5m**



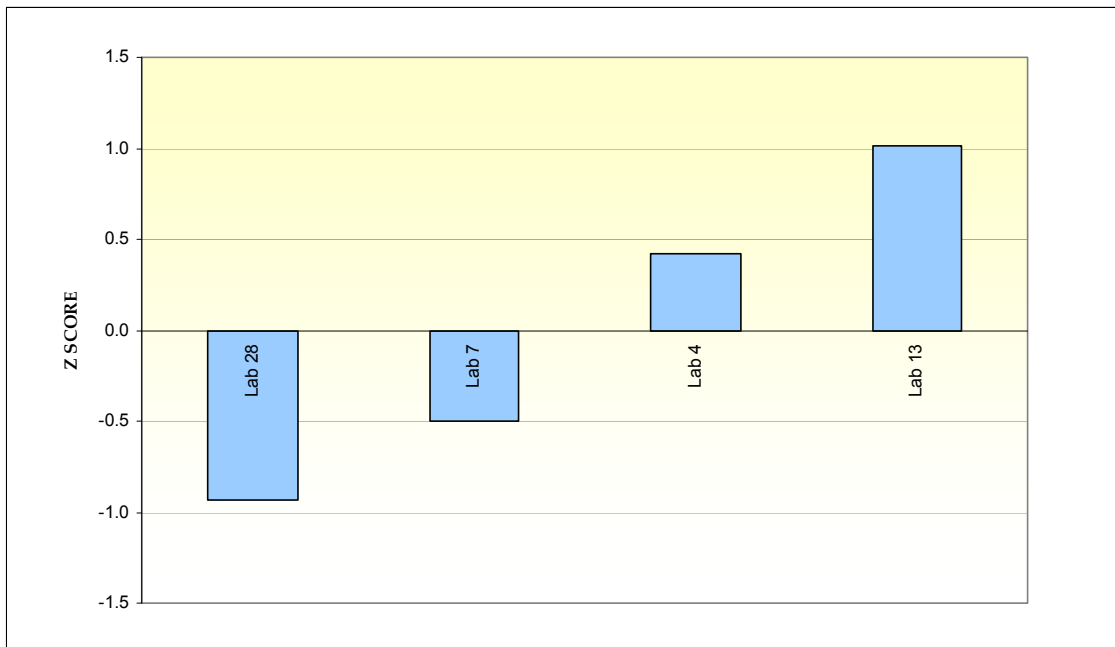
**Διάγραμμα 5.192 Μέση Ένταση ηλεκτρικού πεδίου E(V/m) στη φασματική περιοχή Radio FM(75-108MHz): Σενάριο μέτρησης 2, Θέση μέτρησης 2, Ύψος μέτρησης 1.7m**



**Διάγραμμα 5.193 Μέση Ένταση ηλεκτρικού πεδίου E(V/m) στη φασματική περιοχή Radio FM(75-108MHz): Σενάριο μέτρησης 2, Θέση μέτρησης 3, Ύψος μέτρησης 1.5m**

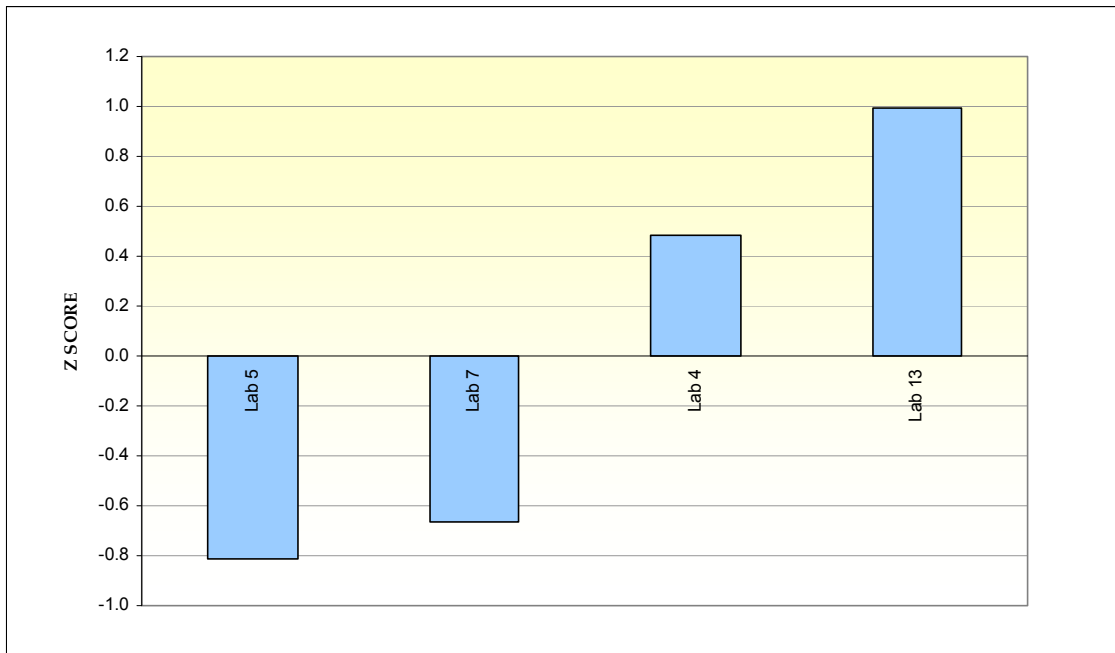


**Διάγραμμα 5.194 Μέση Ένταση ηλεκτρικού πεδίου E(V/m) στη φασματική περιοχή Radio FM(75-108MHz): Σενάριο μέτρησης 2, Θέση μέτρησης 3, Ύψος μέτρησης 1.7m**

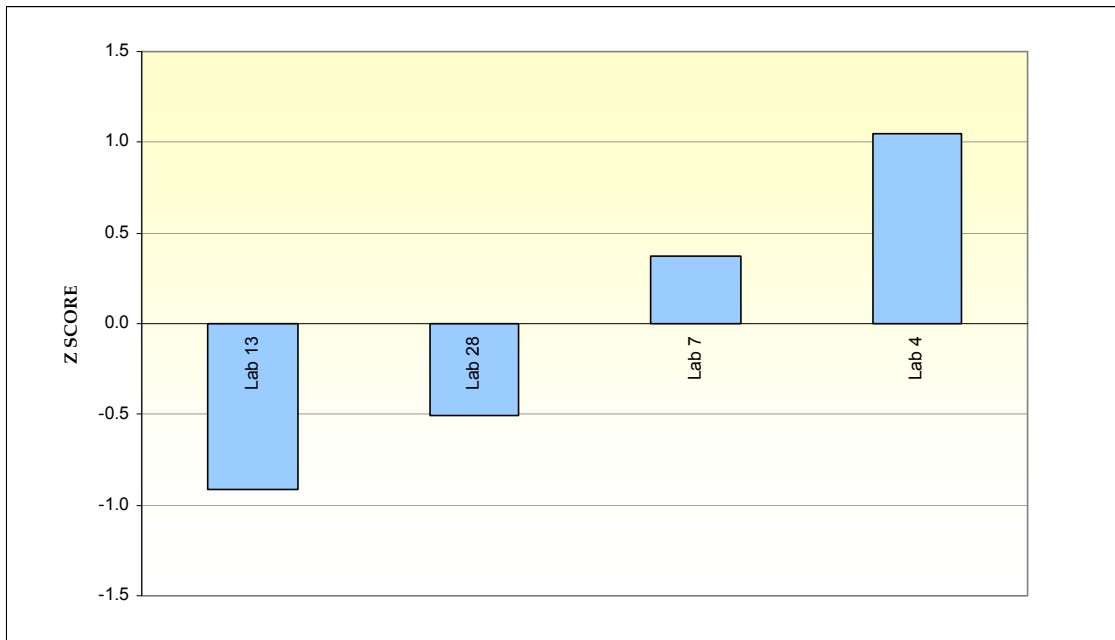


**Διάγραμμα 5.195 Μέση Ένταση ηλεκτρικού πεδίου E(V/m) στη φασματική περιοχή Radio FM(75-108MHz): Σενάριο μέτρησης 3, Θέση μέτρησης 1, Ύψος μέτρησης 1.5m**

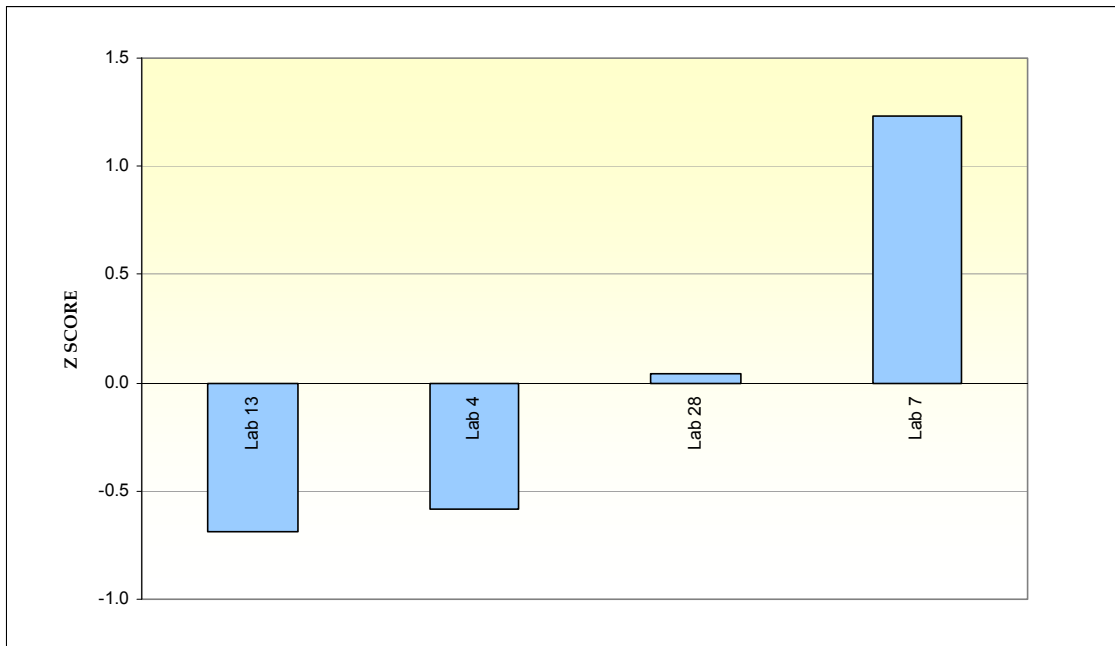




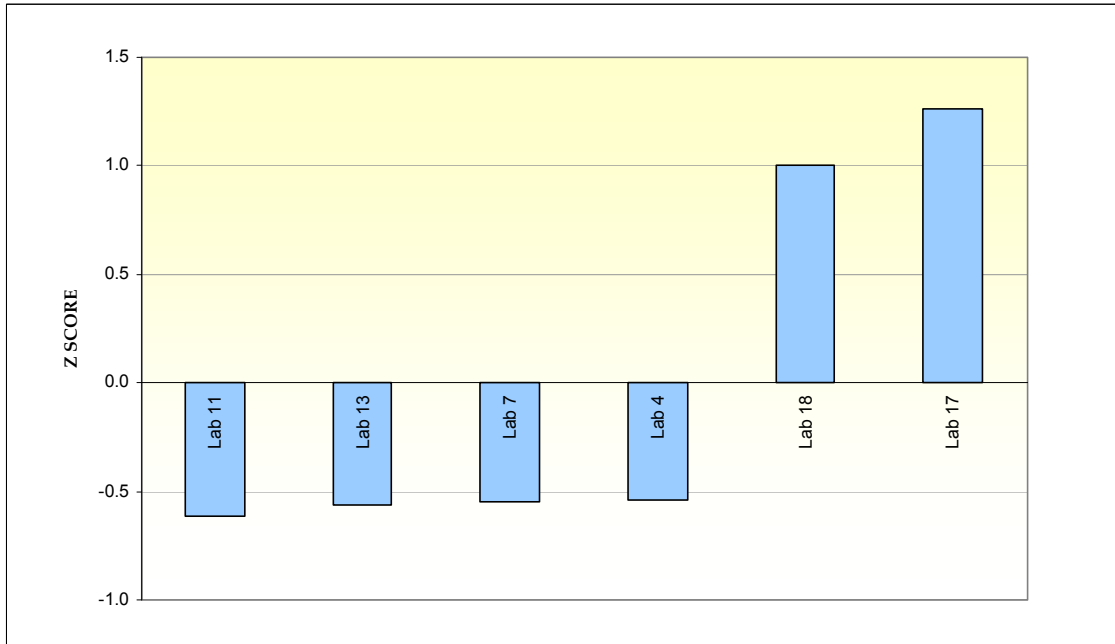
**Διάγραμμα 5.196 Μέση Ένταση ηλεκτρικού πεδίου E(V/m) στη φασματική περιοχή Radio FM(75-108MHz): Σενάριο μέτρησης 3, Θέση μέτρησης 1, Ύψος μέτρησης 1.7m**



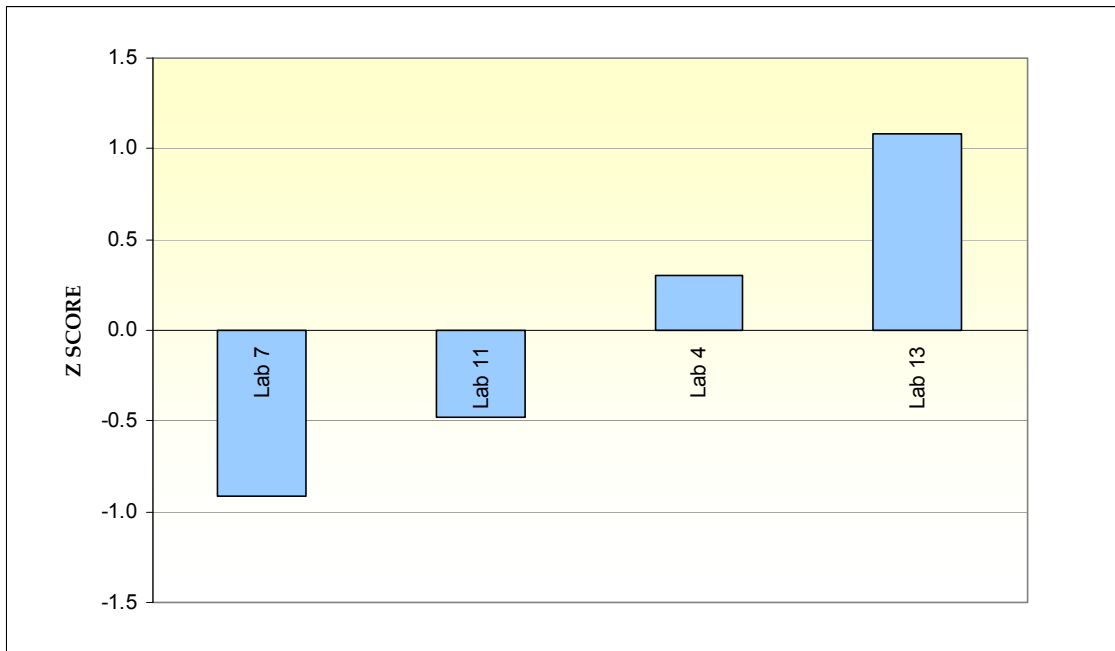
**Διάγραμμα 5.197 Μέση Ένταση ηλεκτρικού πεδίου E(V/m) στη φασματική περιοχή Radio FM(75-108MHz): Σενάριο μέτρησης 3, Θέση μέτρησης 2, Ύψος μέτρησης 1.5m**



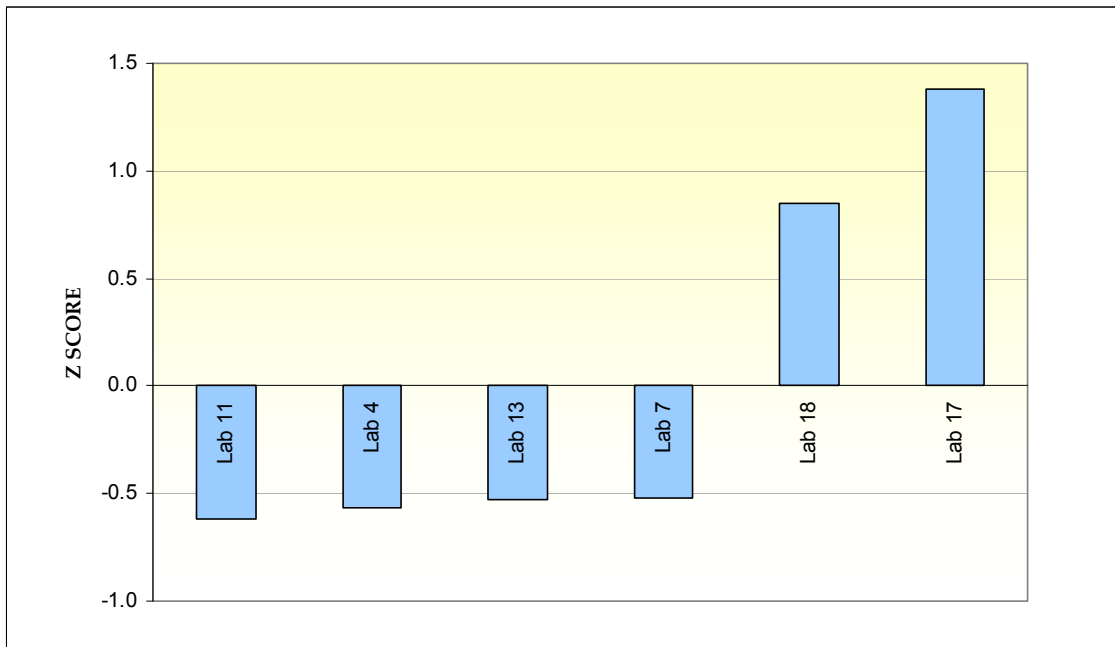
**Διάγραμμα 5.198 Μέση Ένταση ηλεκτρικού πεδίου E(V/m) στη φασματική περιοχή Radio FM(75-108MHz): Σενάριο μέτρησης 3, Θέση μέτρησης 2, Ύψος μέτρησης 1.7m**



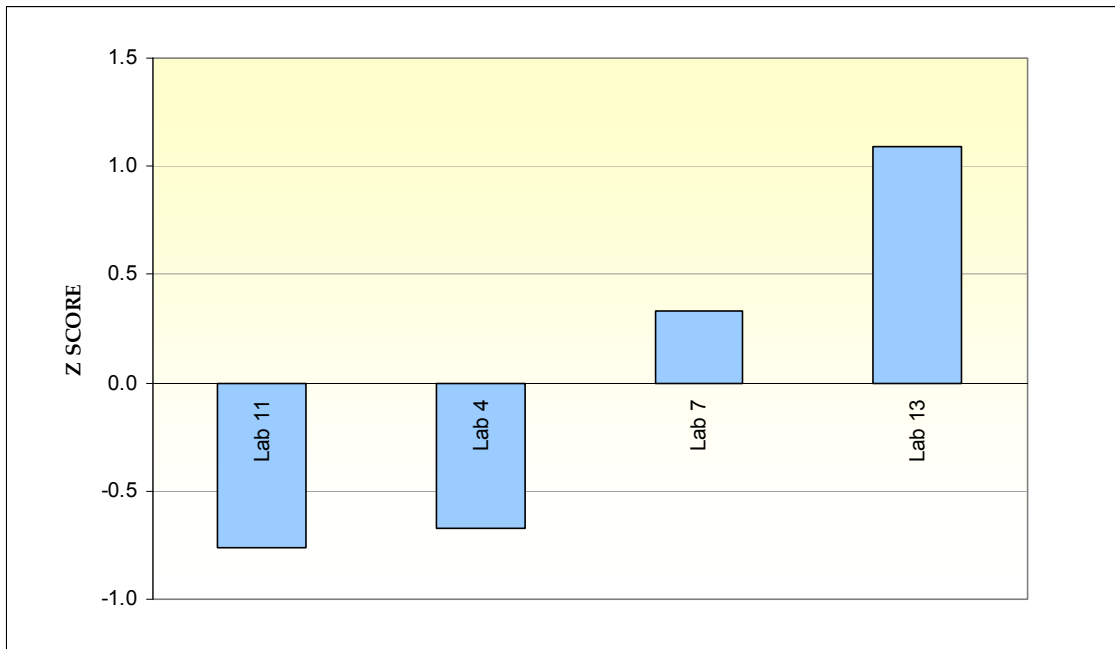
**Διάγραμμα 5.199 Μέση Ένταση ηλεκτρικού πεδίου E(V/m) στη φασματική περιοχή TV UHF(460-880MHz): Σενάριο μέτρησης 1, Θέση μέτρησης 1, Ύψος μέτρησης 1.5m**



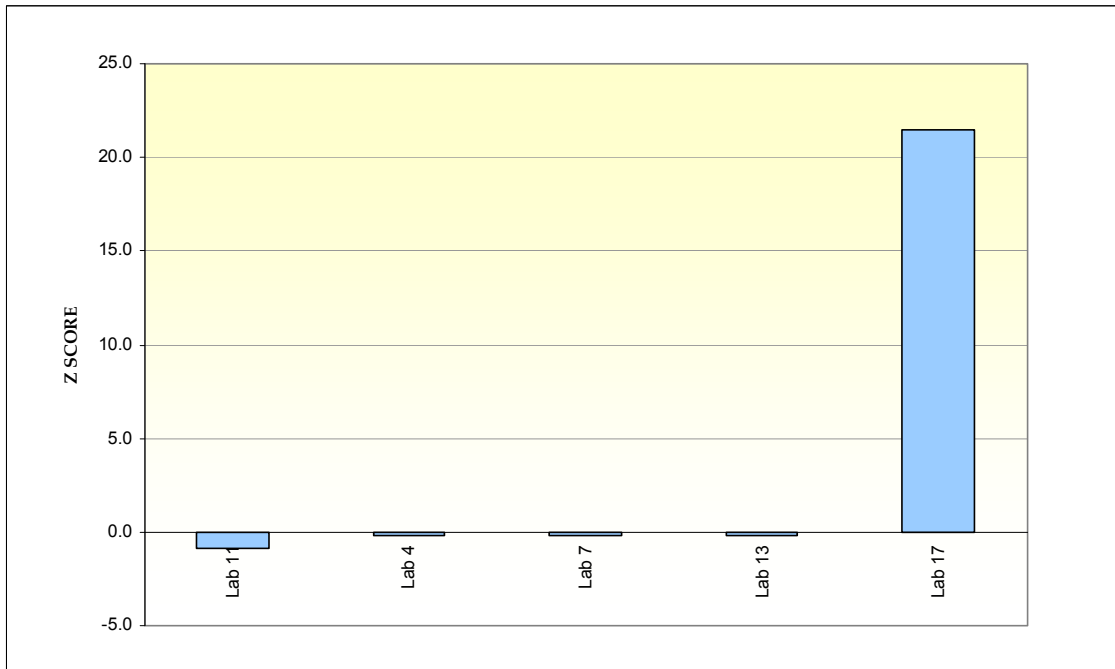
**Διάγραμμα 5.200 Μέση Ένταση ηλεκτρικού πεδίου E(V/m) στη φασματική περιοχή TV UHF(460-880MHz): Σενάριο μέτρησης 1, Θέση μέτρησης 1, Ύψος μέτρησης 1.7m**



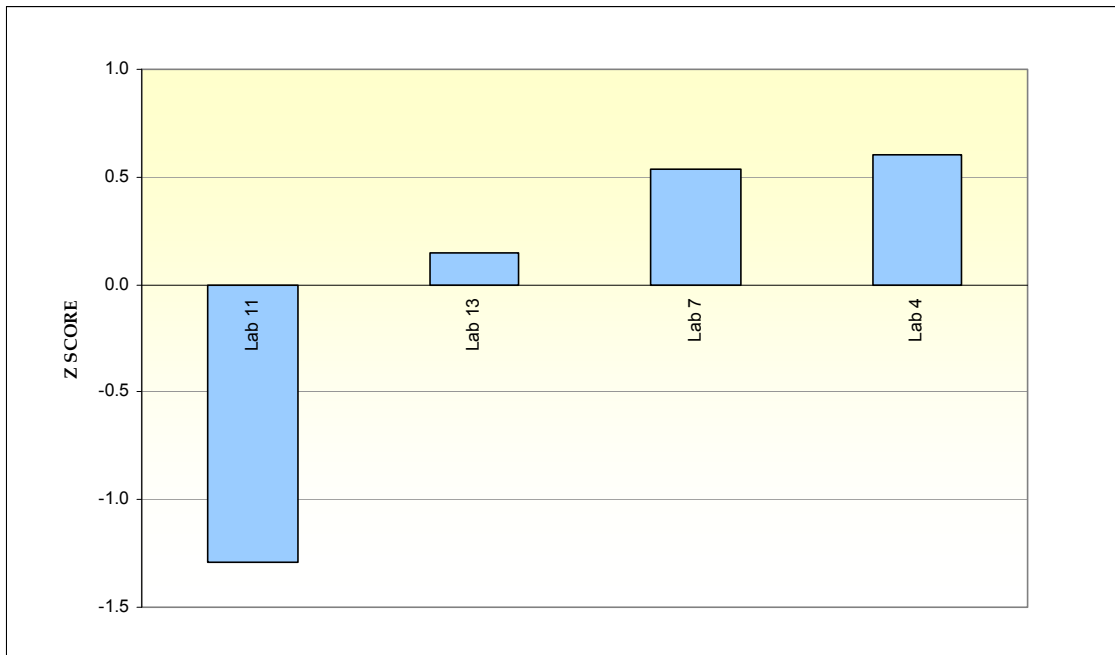
**Διάγραμμα 5.201 Μέση Ένταση ηλεκτρικού πεδίου E(V/m) στη φασματική περιοχή TV UHF(460-880MHz): Σενάριο μέτρησης 1, Θέση μέτρησης 2, Ύψος μέτρησης 1.5m**



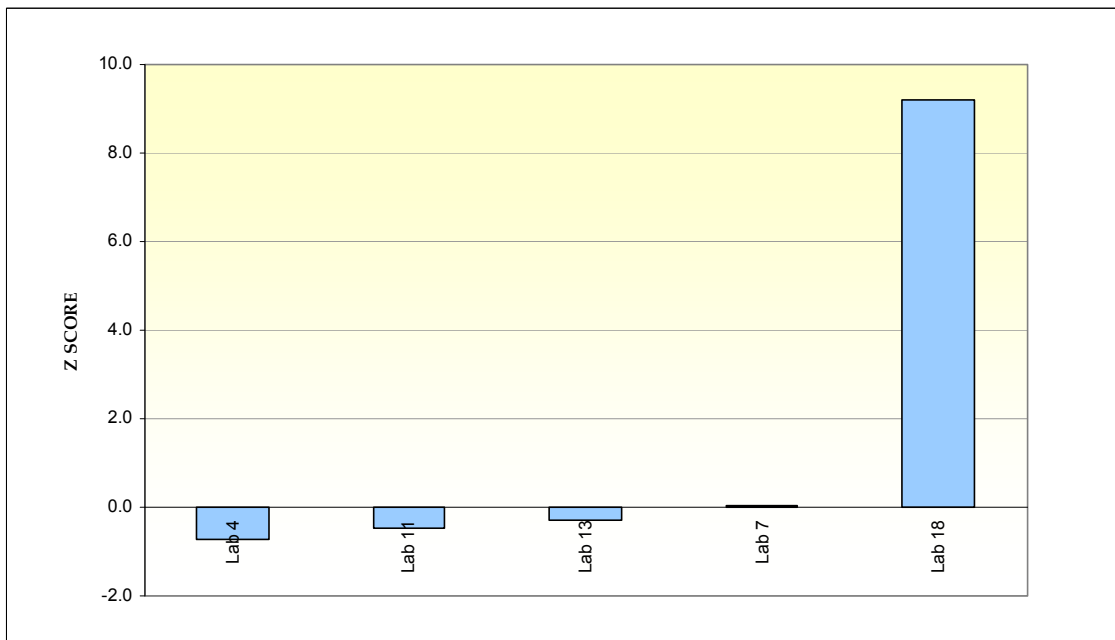
**Διάγραμμα 5.202 Μέση Ένταση ηλεκτρικού πεδίου E(V/m) στη φασματική περιοχή TV UHF(460-880MHz): Σενάριο μέτρησης 1, Θέση μέτρησης 2, Ύψος μέτρησης 1.7m**



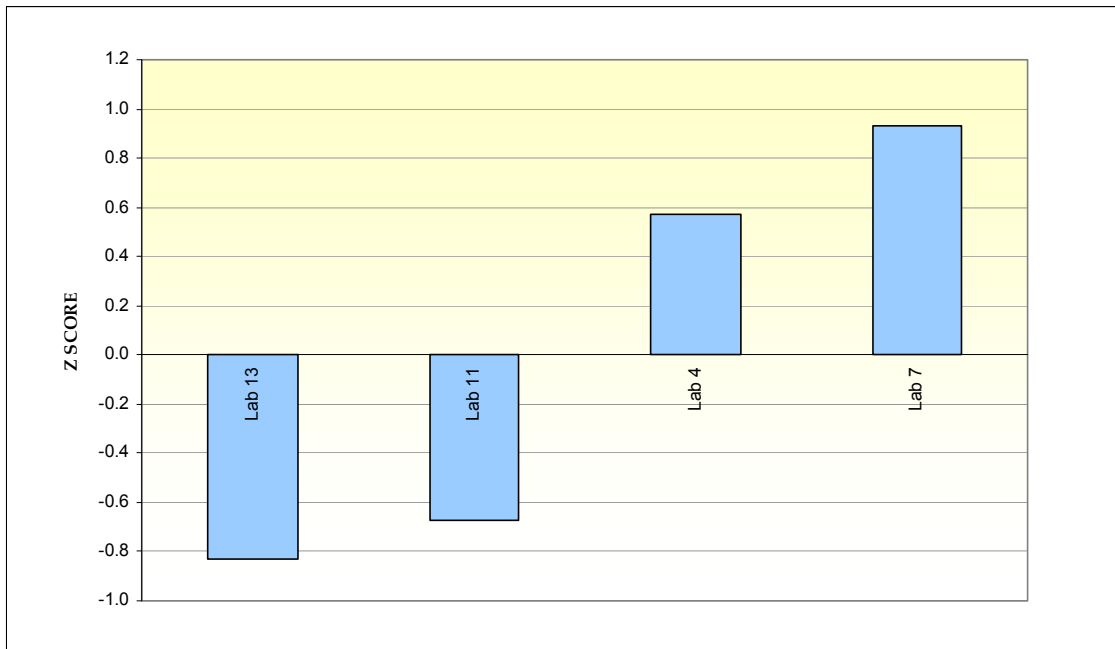
**Διάγραμμα 5.203 Μέση Ένταση ηλεκτρικού πεδίου E(V/m) στη φασματική περιοχή TV UHF(460-880MHz): Σενάριο μέτρησης 1, Θέση μέτρησης 3, Ύψος μέτρησης 1.5m**



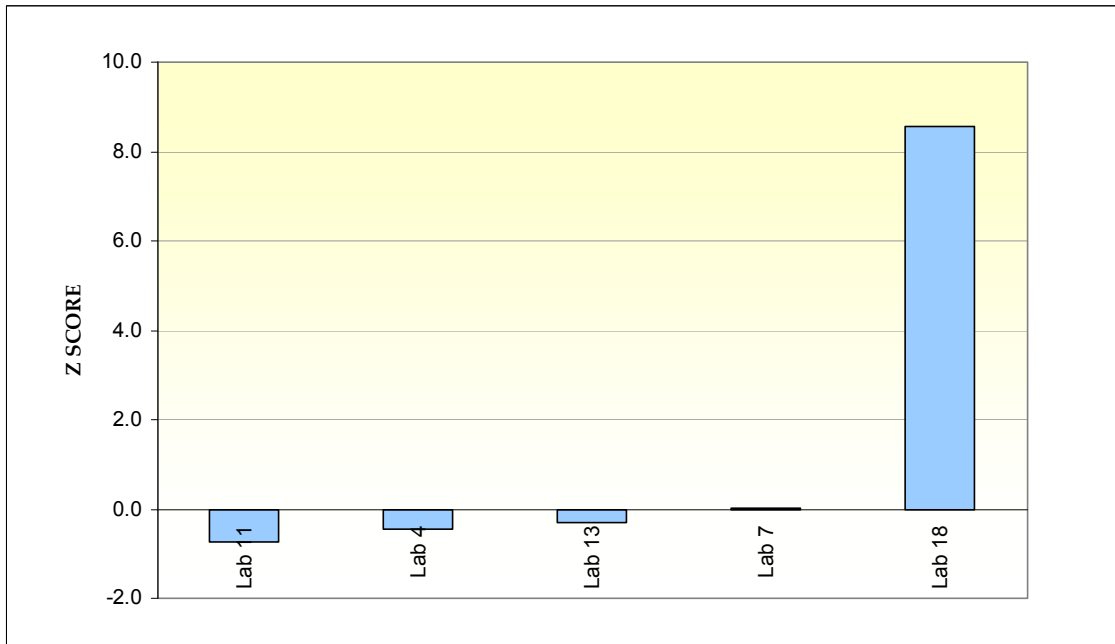
**Διάγραμμα 5.204 Μέση Ένταση ηλεκτρικού πεδίου E(V/m) στη φασματική περιοχή TV UHF(460-880MHz): Σενάριο μέτρησης 1, Θέση μέτρησης 3, Ύψος μέτρησης 1.7m**



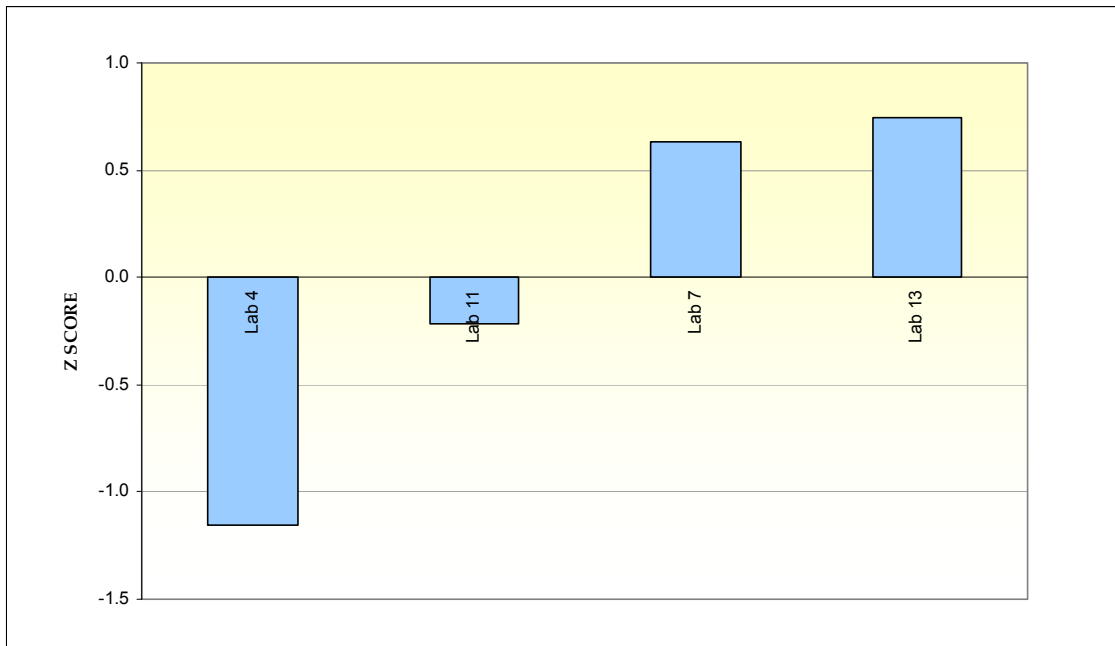
**Διάγραμμα 5.204 Μέση Ένταση ηλεκτρικού πεδίου E(V/m) στη φασματική περιοχή TV UHF(460-880MHz): Σενάριο μέτρησης 2, Θέση μέτρησης 1, Ύψος μέτρησης 1.5m**



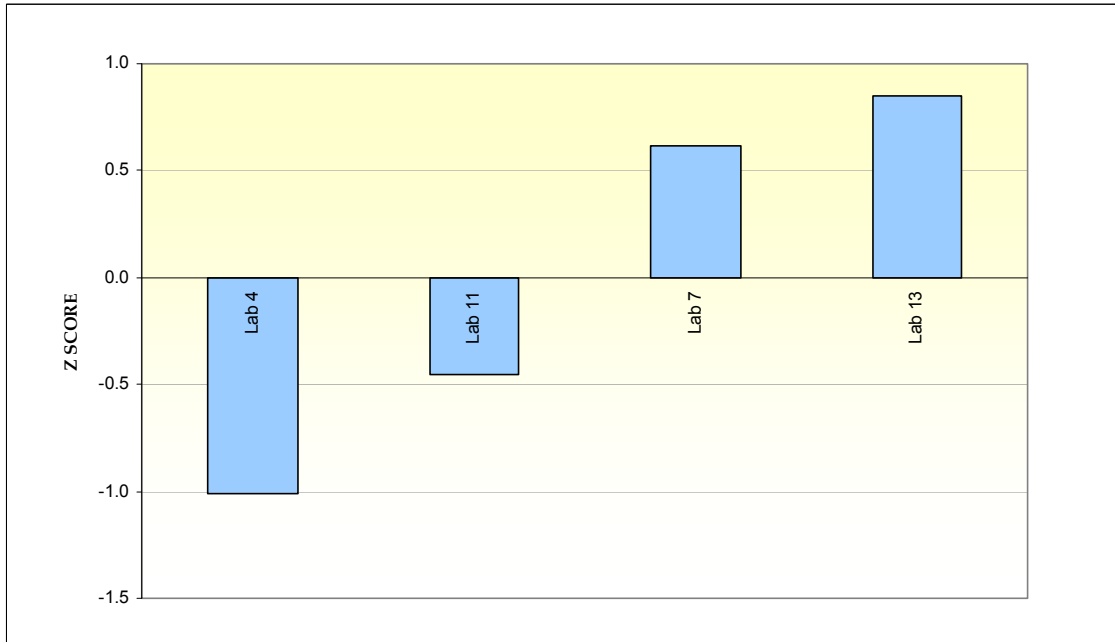
**Διάγραμμα 5.204 Μέση Ένταση ηλεκτρικού πεδίου E(V/m) στη φασματική περιοχή TV UHF(460-880MHz): Σενάριο μέτρησης 2, Θέση μέτρησης 1, Ύψος μέτρησης 1.7m**



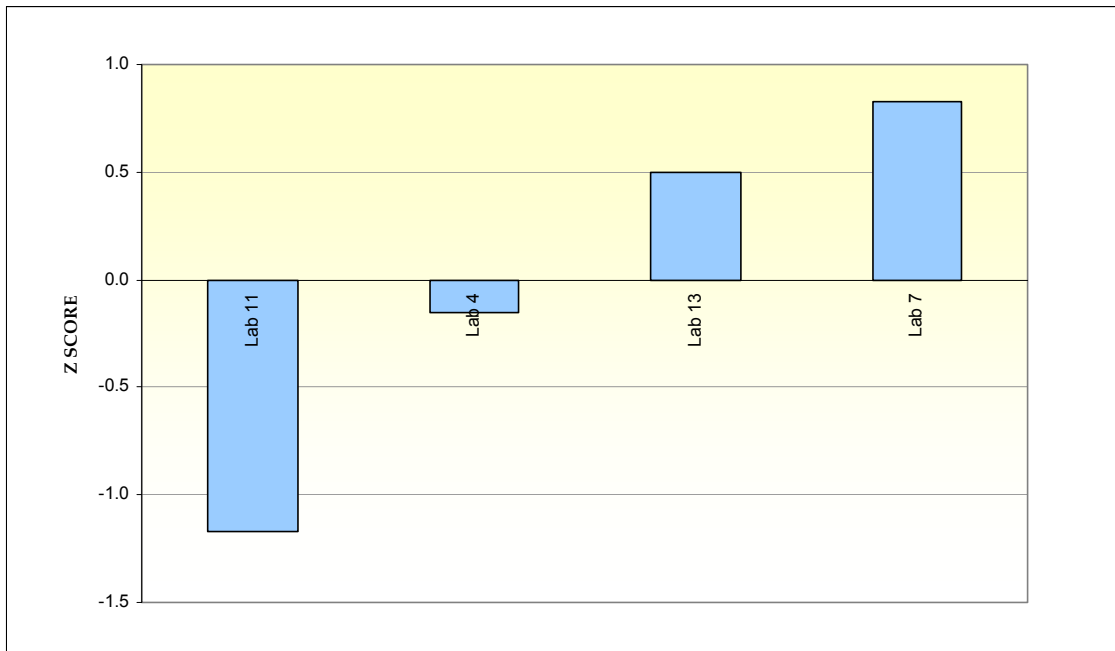
**Διάγραμμα 5.205 Μέση Ένταση ηλεκτρικού πεδίου E(V/m) στη φασματική περιοχή TV UHF(460-880MHz): Σενάριο μέτρησης 2, Θέση μέτρησης 2, Ύψος μέτρησης 1.5m**



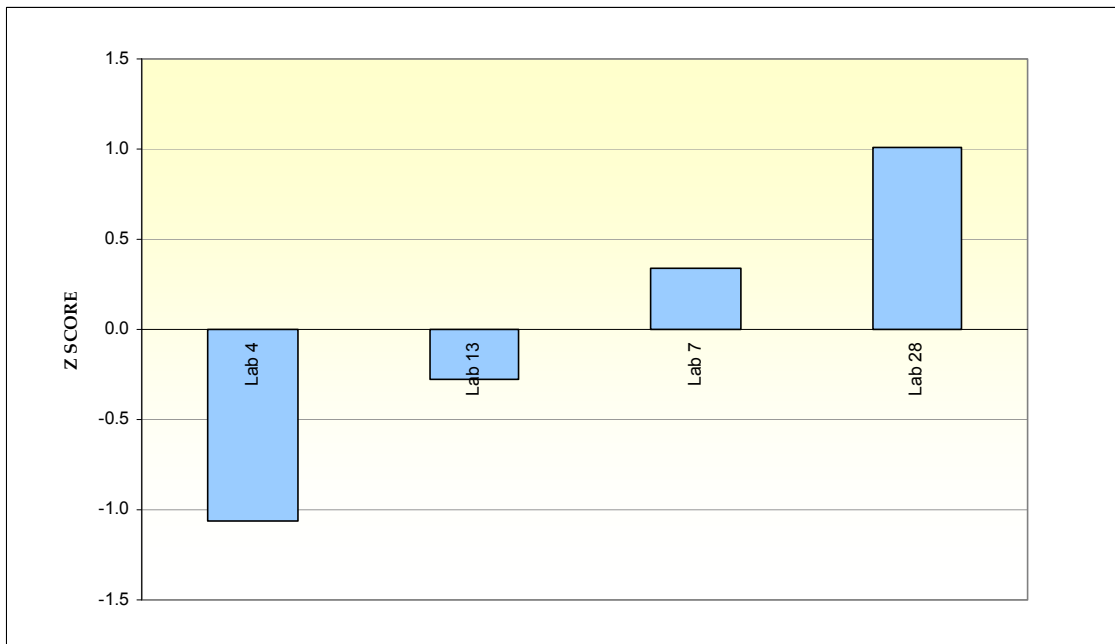
**Διάγραμμα 5.206 Μέση Ένταση ηλεκτρικού πεδίου E(V/m) στη φασματική περιοχή TV UHF(460-880MHz): Σενάριο μέτρησης 2, Θέση μέτρησης 2, Ύψος μέτρησης 1.7m**



**Διάγραμμα 5.207 Μέση Ένταση ηλεκτρικού πεδίου E(V/m) στη φασματική περιοχή TV UHF(460-880MHz): Σενάριο μέτρησης 2, Θέση μέτρησης 3, Ύψος μέτρησης 1.5m**

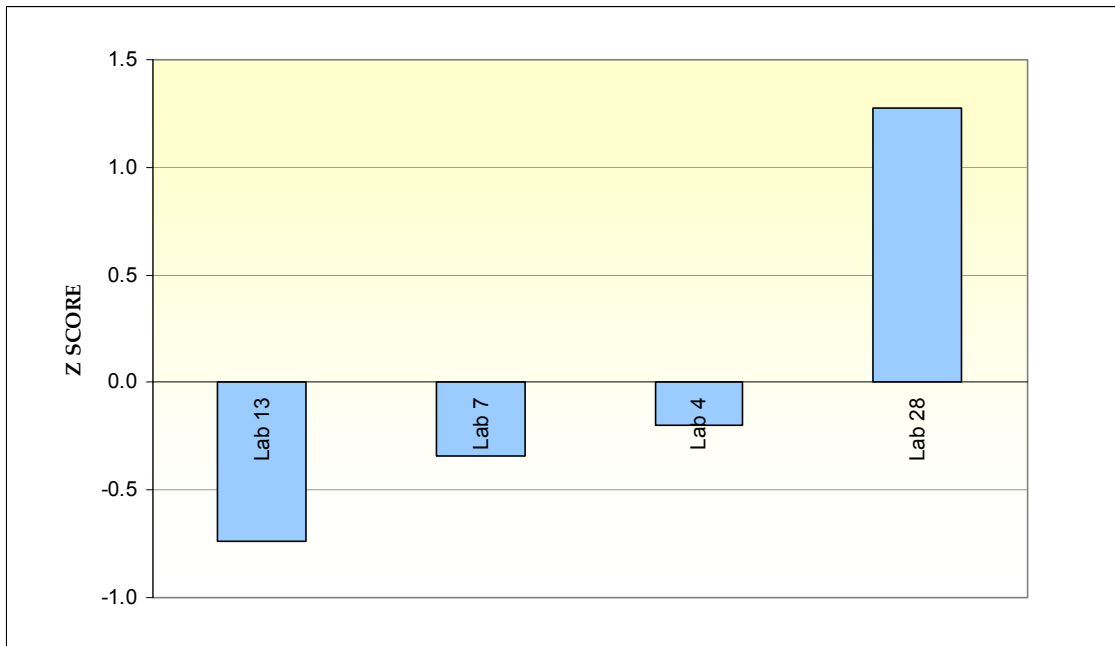


**Διάγραμμα 5.208 Μέση Ένταση ηλεκτρικού πεδίου E(V/m) στη φασματική περιοχή TV UHF(460-880MHz): Σενάριο μέτρησης 2, Θέση μέτρησης 3, Ύψος μέτρησης 1.7m**

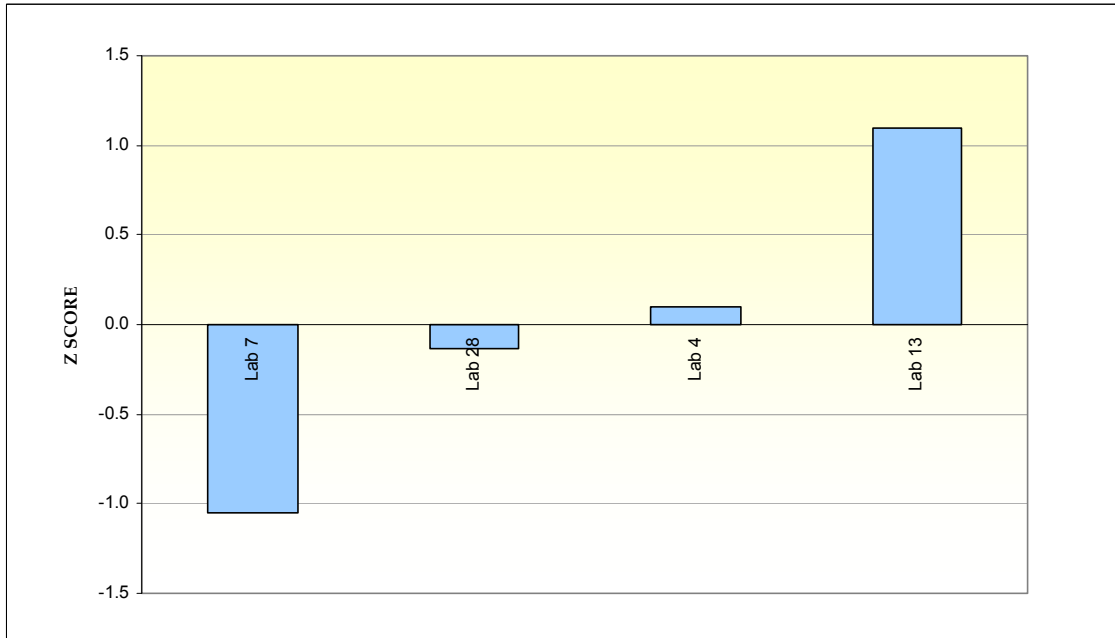


**Διάγραμμα 5.209 Μέση Ένταση ηλεκτρικού πεδίου E(V/m) στη φασματική περιοχή TV UHF(460-880MHz): Σενάριο μέτρησης 3, Θέση μέτρησης 1, Ύψος μέτρησης 1.5m**

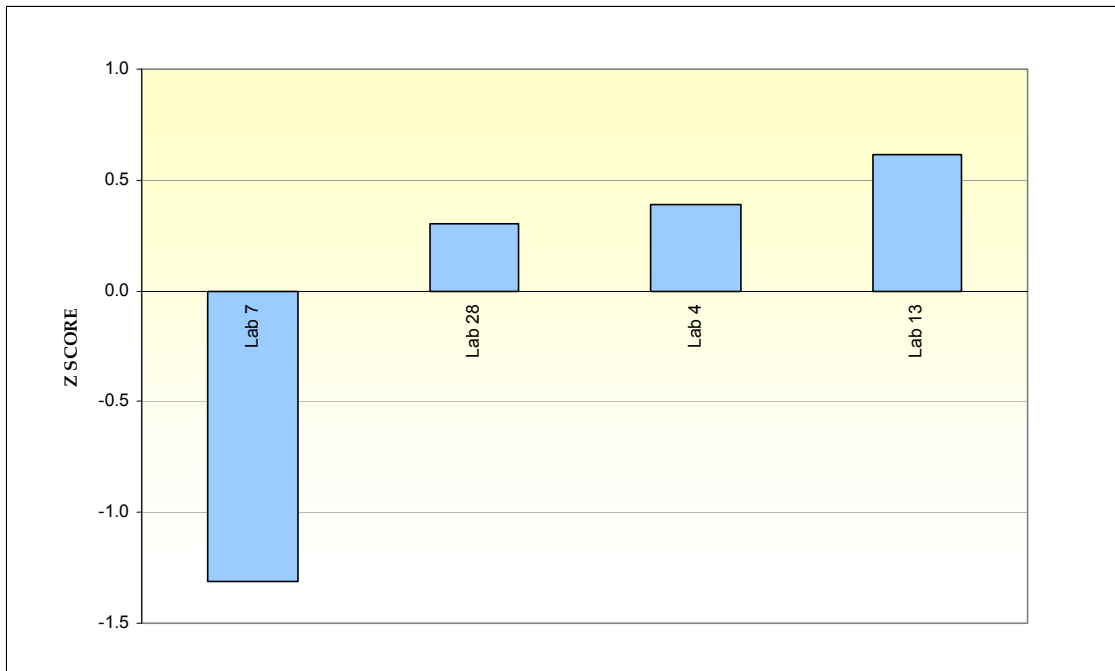




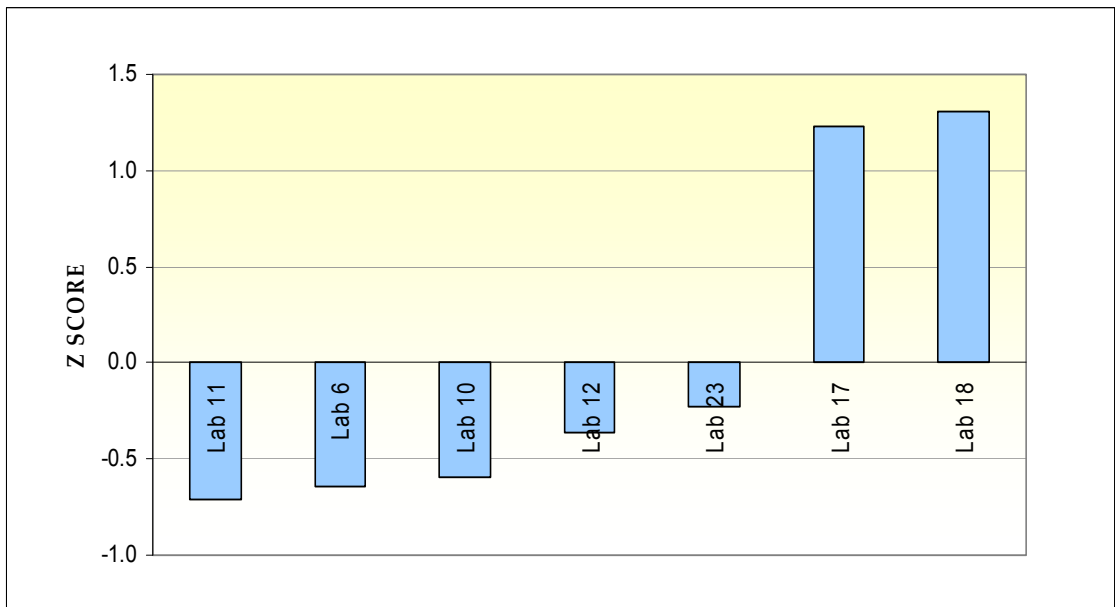
**Διάγραμμα 5.210 Μέση Ένταση ηλεκτρικού πεδίου E(V/m) στη φασματική περιοχή TV UHF(460-880MHz): Σενάριο μέτρησης 3, Θέση μέτρησης 1, Ύψος μέτρησης 1.7m**



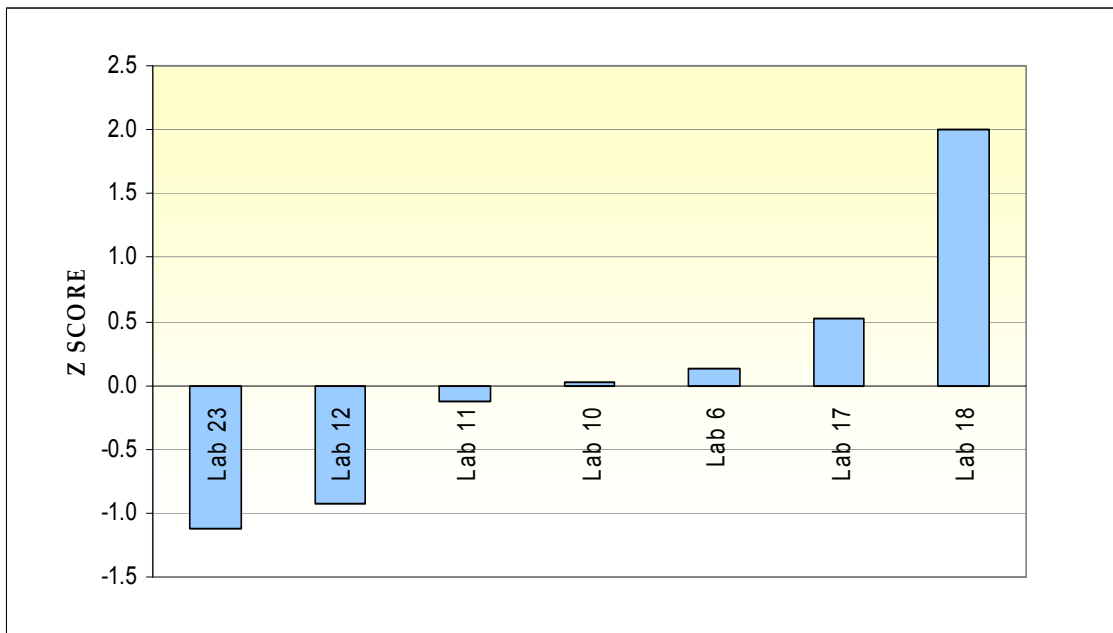
**Διάγραμμα 5.211 Μέση Ένταση ηλεκτρικού πεδίου E(V/m) στη φασματική περιοχή TV UHF(460-880MHz): Σενάριο μέτρησης 3, Θέση μέτρησης 2, Ύψος μέτρησης 1.5m**



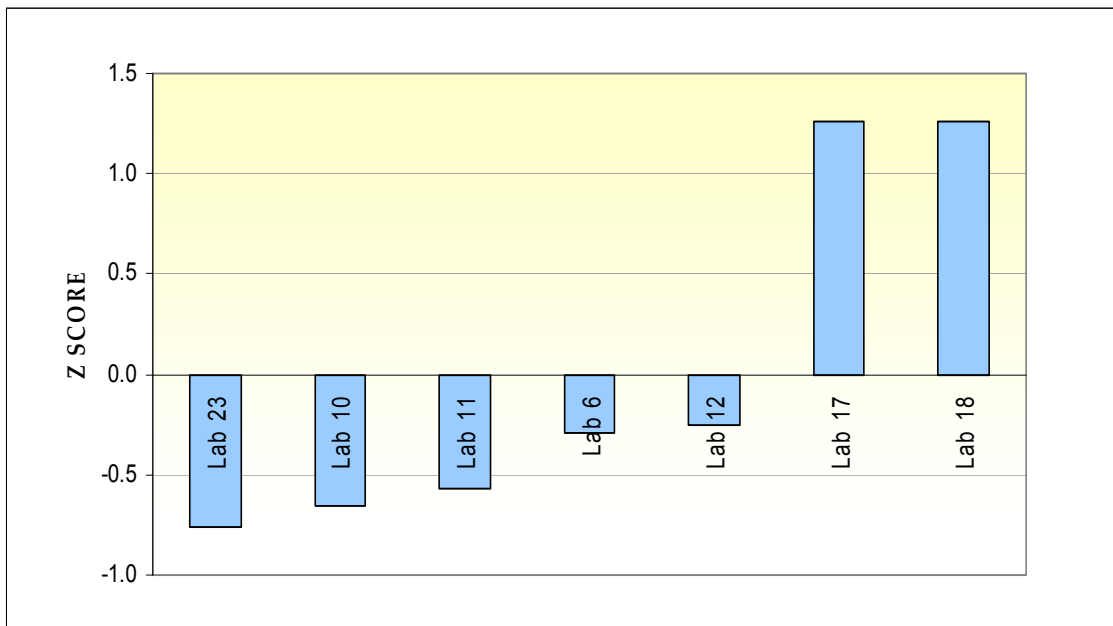
**Διάγραμμα 5.212 Μέση Ένταση ηλεκτρικού πεδίου E(V/m) στη φασματική περιοχή TV UHF(460-880MHz): Σενάριο μέτρησης 3, Θέση μέτρησης 2, Ύψος μέτρησης 1.7m**



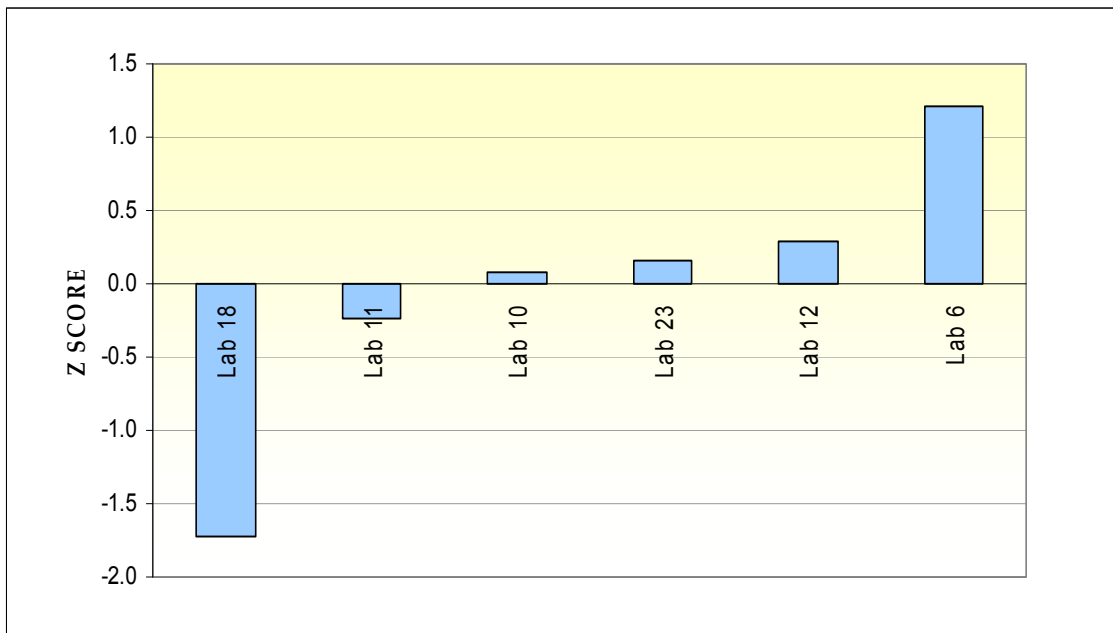
**Διάγραμμα 5.213 Μέγιστη Ένταση ηλεκτρικού πεδίου E(V/m) στη φασματική περιοχή GSM(880-1000MHz): Σενάριο μέτρησης 1, Θέση μέτρησης 1**



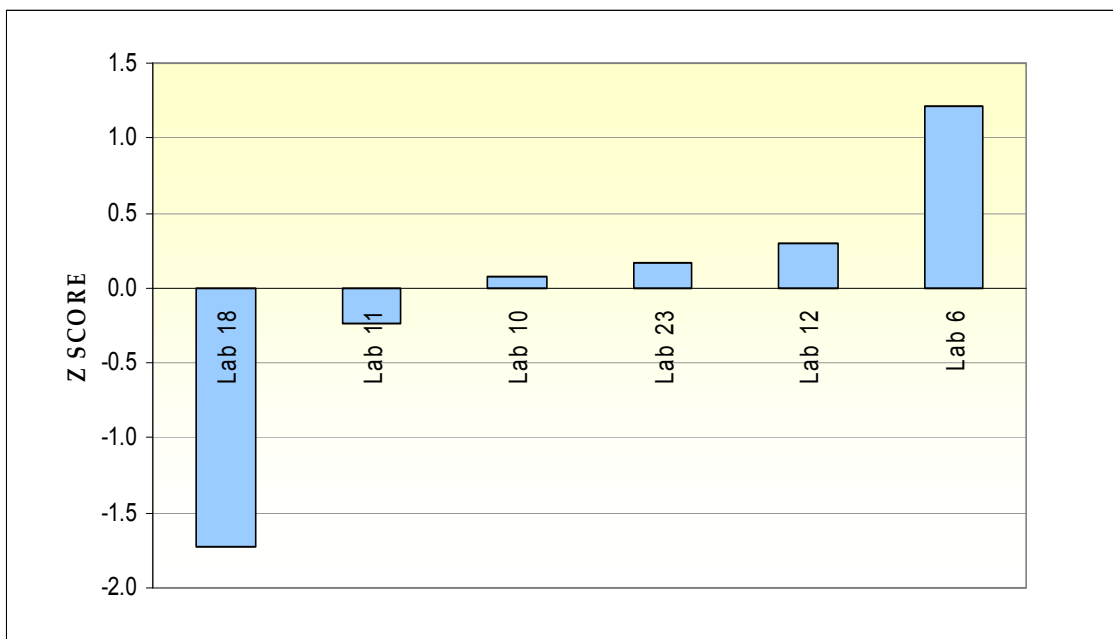
**Διάγραμμα 5.214** Μέγιστη Ένταση ηλεκτρικού πεδίου E(V/m) στη φασματική περιοχή GSM(880-1000MHz): Σενάριο μέτρησης 1, Θέση μέτρησης 2



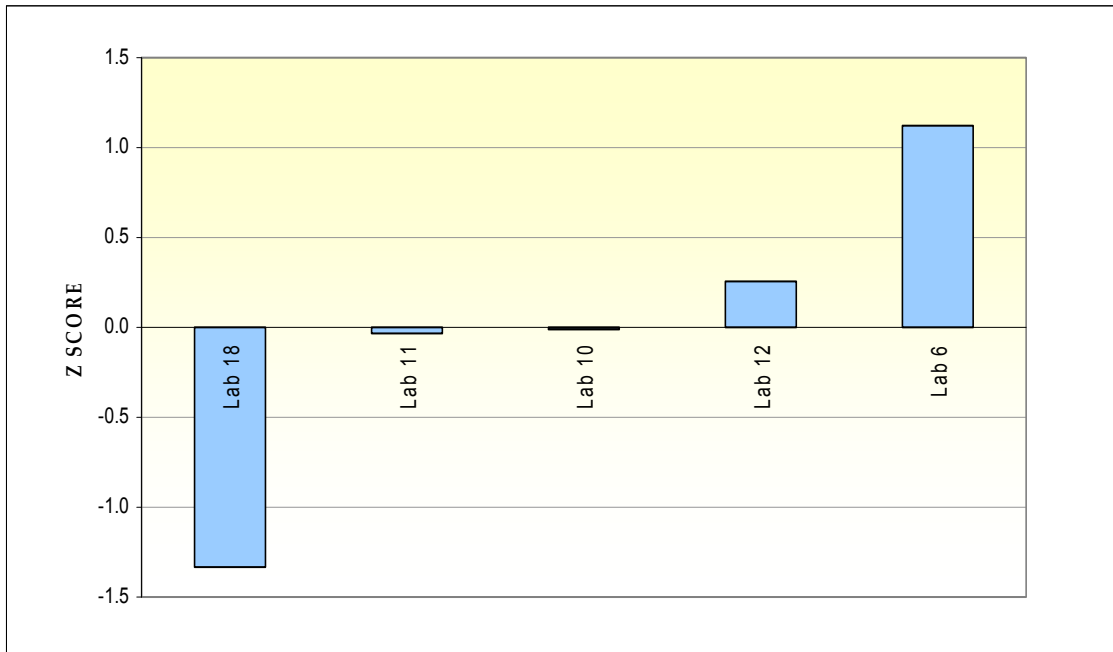
**Διάγραμμα 5.215** Μέγιστη Ένταση ηλεκτρικού πεδίου E(V/m) στη φασματική περιοχή GSM(880-1000MHz): Σενάριο μέτρησης 1, Θέση μέτρησης 3



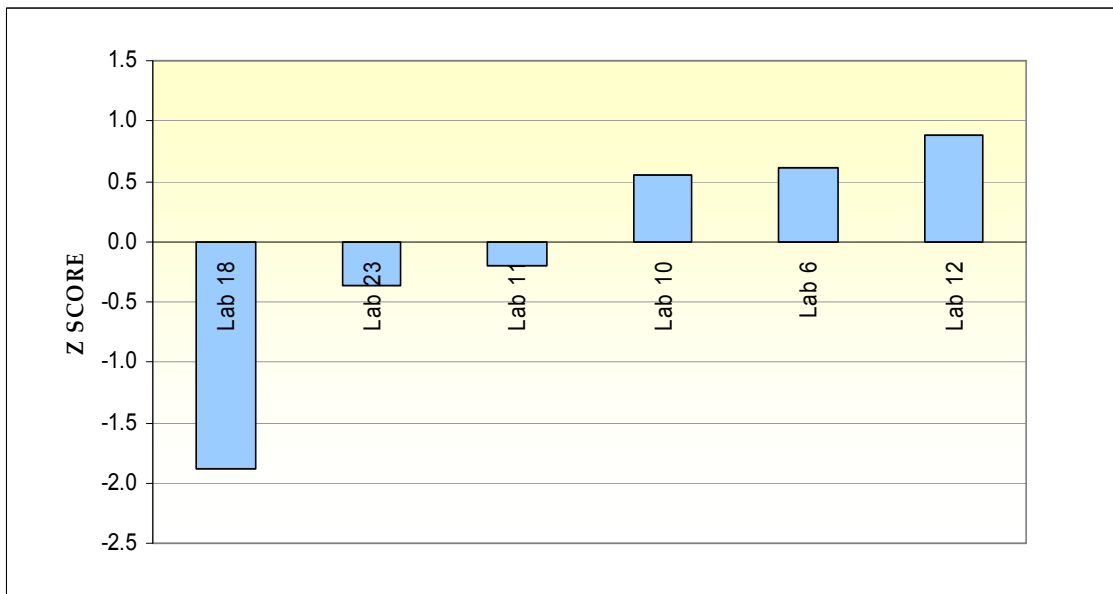
**Διάγραμμα 5.216** Μέγιστη Ένταση ηλεκτρικού πεδίου E(V/m) στη φασματική περιοχή DCS(1700-1900MHz): Σενάριο μέτρησης 2, Θέση μέτρησης 1



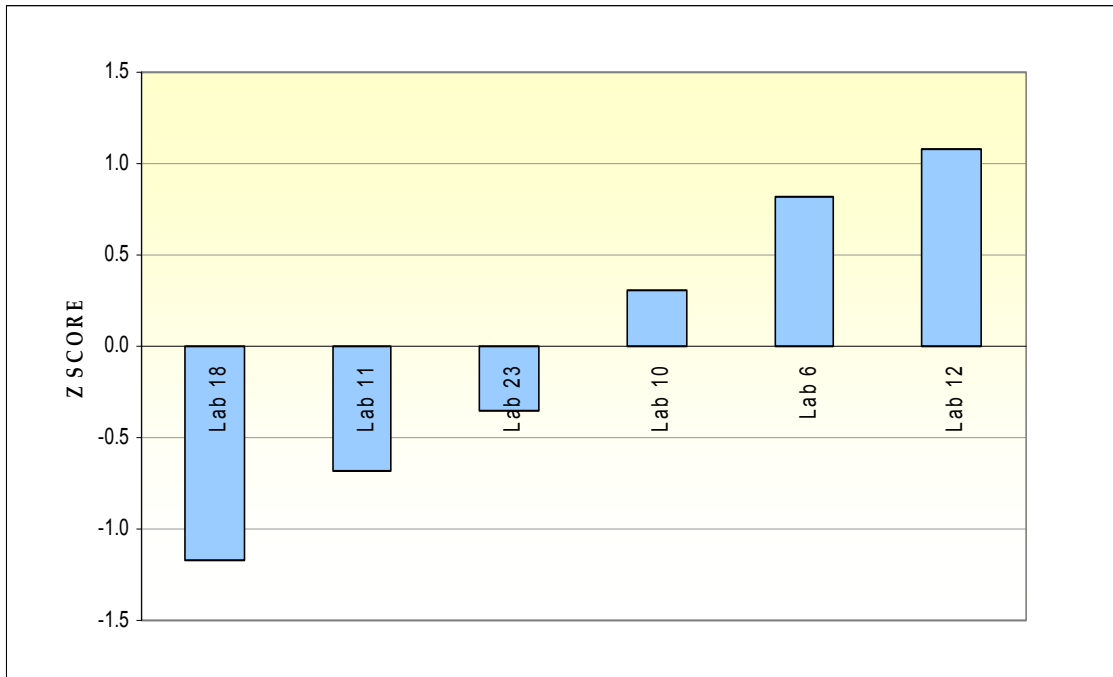
**Διάγραμμα 5.217** Μέγιστη Ένταση ηλεκτρικού πεδίου E(V/m) στη φασματική περιοχή DCS(1700-1900MHz): Σενάριο μέτρησης 2, Θέση μέτρησης 2



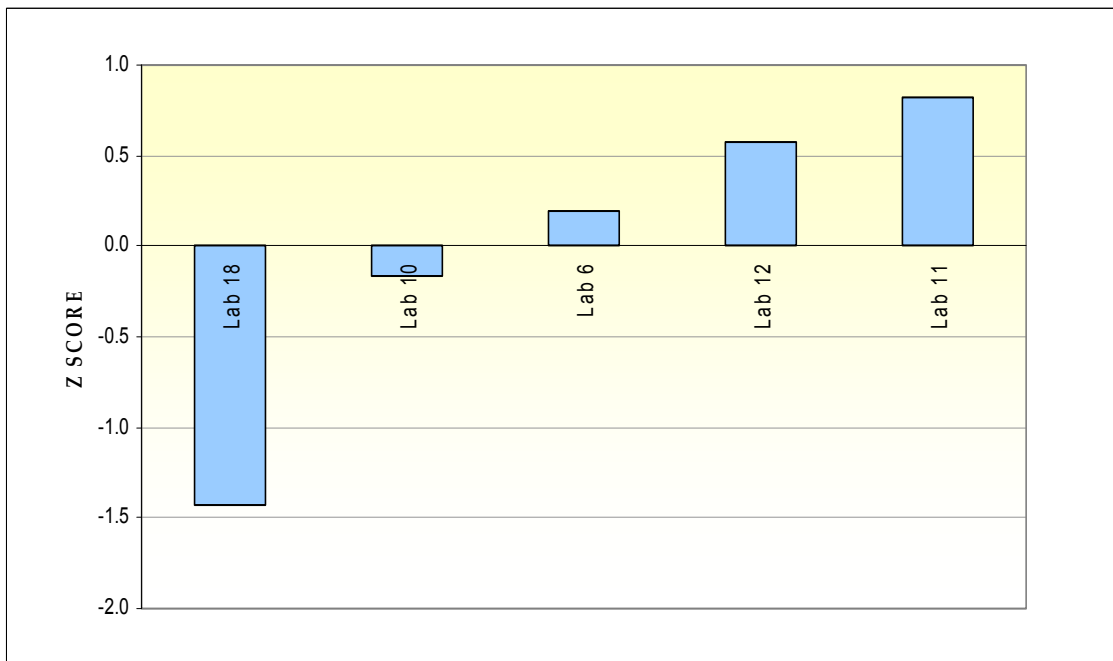
**Διάγραμμα 5.218** Μέγιστη Ένταση ηλεκτρικού πεδίου E(V/m) στη φασματική περιοχή DCS(1700-1900MHz): Σενάριο μέτρησης 2, Θέση μέτρησης 3



**Διάγραμμα 5.219** Μέγιστη Ένταση ηλεκτρικού πεδίου E(V/m) στη φασματική περιοχή UMTS(1900-2200MHz): Σενάριο μέτρησης 2, Θέση μέτρησης 1



**Διάγραμμα 5.220 Μέγιστη Ένταση ηλεκτρικού πεδίου E(V/m) στη φασματική περιοχή UMTS(1900-2200MHz): Σενάριο μέτρησης 2, Θέση μέτρησης 2**



**Διάγραμμα 5.221 Μέγιστη Ένταση ηλεκτρικού πεδίου E(V/m) στη φασματική περιοχή UMTS(1900-2200MHz): Σενάριο μέτρησης 2, Θέση μέτρησης 3**

## 5.6 ΣΥΓΚΕΝΤΡΩΤΙΚΑ ΑΠΟΤΕΛΕΣΜΑΤΑ

Στους πίνακες που ακολουθούν παρουσιάζονται από κοινού τα z scores κάθε εργαστηρίου σε όλα τα επίπεδα δοκιμών. Για την αξιολόγηση των εργαστηρίων σε σχέση με επόμενους κύκλους δοκιμών έχουν υπολογιστεί συγκεντρωτικοί βαθμοί επίδοσης ( $\Sigma z$ ,  $\Sigma |z|$ ,  $\Sigma z^2$ ). Επίσης, για να έχουμε μια εικόνα της “μέσης” συμπεριφοράς του κάθε εργαστηρίου χωρίς να αλληλοαναιρούνται ετερόσημα z scores, έχει υπολογιστεί η τιμή  $\text{avg } |z|$  διαιρώντας το  $\Sigma |z|$  με το πλήθος των επιπέδων δοκιμής στα οποία έχει πραγματοποιήσει μετρήσεις το κάθε εργαστήριο. Τέλος, με βάση το ποσοστό των επιμέρους επιπέδων δοκιμής, στα οποία ισχύει  $|z| > 2$ , εξετάζεται εάν το εκάστοτε εργαστήριο μπορεί να χαρακτηριστεί “καλώς συμπεριφερόμενο”.

Σημείωση: Σε κάθε επίπεδο δοκιμής έχει χρησιμοποιηθεί ο συμβολισμός x.y, όπου x ο αριθμός του σεναρίου μέτρησης και y η θέση μέτρησης.

ΠΙΝΑΚΑΣ 5.4	Λ TOT 1.1	Λ TOT 1.2	Λ TOT 1.3	Λ TOT 2.1	Λ TOT 2.2	Λ TOT 2.3	Λ TOT 3.1	Λ TOT 3.2	Λ GSM 1.1	Λ GSM 1.2	Λ GSM 1.3	Λ GSM 2.1	Λ GSM 2.2	Λ GSM 2.3	Λ GSM 3.1	Λ GSM 3.2
Lab 1																
Lab 2	-0.96	-0.87	-1.21	-0.90	-1.20	-1.08	1.96	2.17	-1.41	-0.94	-2.63	-0.68	0.20	-0.85	0.11	-0.13
Lab 3	-0.45	-0.56	0.51						-0.69	-0.68	0.95					
Lab 4	0.81	2.88	1.67	-0.01	0.43	1.09	1.32	-0.03								
Lab 5																
Lab 6	-0.19	0.68	0.25	0.35	4.10	3.46			-0.05	0.93	0.54					
Lab 7	0.82	1.04	-0.21	-0.22	0.61	-0.30	-0.34	0.05								
Lab 8	2.35	1.23	1.25	2.17	3.64	6.90	-0.33	0.27								
Lab 9	-0.37	-0.55	0.12	-0.54	-0.72	0.22	-0.91		-0.47	-0.64	0.12	-0.31	-0.37	-0.40	-0.83	
Lab 10	-0.37	0.10	0.11	-0.35	-0.27	-0.43			-0.50	0.14	-0.05	0.08	0.05	-0.01		
Lab 11	-1.22	-0.37	-1.03	-0.79	-1.12	-1.08										
Lab 12	0.42	-1.04	0.21	-0.59	-0.28	-0.53			0.88	3.06	0.32					
Lab 13	0.49	1.09	0.01	0.28	1.16	1.84	1.27	-0.95	0.81	1.25	-0.19	0.80	1.01	0.43	-1.49	1.23
Lab 14	-1.22	-0.58	-1.36	-0.79	0.84											
Lab 15	-1.56	-0.89	-1.50	-0.91	-0.14											
Lab 16	0.06	-0.27	0.54	-0.33	-0.19	-0.20			0.26	-0.29	1.04	-0.15	-0.17	-0.08		
Lab 17	0.10	-0.87	-1.71						0.35	-0.99	-0.42					
Lab 18	-0.86	-0.57		-1.13	-1.99	-2.65			-1.26	-0.59		-0.80	-0.96			
Lab 19	5.52	4.49	6.79													
Lab 20	1.42	1.20	0.94	2.60	-0.68	0.51	-0.51	0.08	2.50	1.36	1.84	0.83	0.62	1.28	0.51	0.15
Lab 21	0.95	-0.03	0.01	1.35	0.68	-0.45	0.42	-0.09	1.69	-0.06	-0.10	2.33	3.81	1.78	-0.10	0.35
Lab 22	0.12	-0.07	0.53	2.04	-0.28	-1.00	-0.51	-0.42	0.25	-0.13	0.95	3.83	1.23	1.04	0.17	-0.11
Lab 23	-0.44	-1.31	-0.51	0.65	-1.15				-0.47	-1.42	-1.10					
Lab 24	0.00	-0.87	0.01	1.35	-0.73	-0.05	-0.55		0.16	-0.24	-0.11	-0.31	-0.37	-0.40	0.15	
Lab 25							-1.10	-1.38								
Lab 26				-0.47	0.84	0.22						-0.99	-1.18	-1.05		
Lab 27				-0.41	0.51	-0.27						-0.99	-1.18	-1.05		
Lab 28				-0.29	0.58	0.16	-0.60	-0.50								
Lab 29		0.57	0.01							0.81	-1.49					
Lab 30	-0.61	-0.05	-0.17	-0.73	-0.39	0.20			-0.85	-0.02	-0.46	-0.48	-0.37	-0.40		
Lab 31							0.34	1.60							1.49	-1.49



ΠΙΝΑΚΑΣ 5.5	Λ DCS 1.1	Λ DCS 1.2	Λ DCS 1.3	Λ DCS 2.1	Λ DCS 2.2	Λ DCS 2.3	Λ DCS 3.1	Λ UMTS 1.1	Λ UMTS 1.2	Λ UMTS 1.3	Λ UMTS 2.1	Λ UMTS 2.2	Λ UMTS 2.3	Λ UMTS 3.1	Λ FM 1.1	Λ FM 1.2
Lab 1																
Lab 2															-1.77	-1.97
Lab 3																
Lab 4																
Lab 5																
Lab 6				2.54	5.34	9.85					1.30	1.67	-0.17			
Lab 7																
Lab 8																
Lab 9	-0.17	22.77	0.54	-0.41	-0.41	0.83	-0.40	-0.56	-0.51	-0.21	0.13	-0.76	-0.46	-0.52	0.02	-0.19
Lab 10	1.38	0.39	1.17	-0.14	-0.34	-0.81		0.62	0.44	0.04	0.63	0.09	-1.08		0.32	0.18
Lab 11																
Lab 12				-0.54	-0.50	-0.77					-0.13	0.71	-1.03			
Lab 13	0.53	0.18	-0.31	1.72	0.63	0.55	-0.95	1.75	1.53	0.52	1.71	1.24	6.29	-0.67	0.55	0.59
Lab 14																
Lab 15																
Lab 16	0.09	0.16	0.37	0.35	0.13	-0.61		-0.23	0.63	-0.04	0.25	-0.27	-0.09		-0.50	-0.23
Lab 17																
Lab 18	-1.63	-1.32		-1.81	-1.62			-1.11	-1.02		-1.31	-1.46			-1.03	-1.25
Lab 19																
Lab 20															1.33	1.07
Lab 21															0.89	1.16
Lab 22															0.75	0.81
Lab 23				-0.68	-0.67						-0.76	-0.74				
Lab 24	0.09	-0.30	0.37	-0.25	-0.51	-0.35	0.26	-0.56	-0.44	-0.38	-0.20	-0.60	0.18	-0.09	0.01	-0.07
Lab 25																
Lab 26				0.13	1.43	1.04					-0.01	-0.43	-0.17			
Lab 27				0.61	0.56	-0.73					-1.33	0.62	-0.17			
Lab 28																
Lab 29			-1.80							-1.41						
Lab 30	-0.43	-0.61	-0.63	-0.56	-0.31	-0.65		0.35	-0.59	2.23	-0.06	0.10	1.92		-0.83	-0.57
Lab 31							1.10							1.27		

ΠΙΝΑΚΑΣ 5.6	Λ FM 1.3	Λ FM 2.1	Λ FM 2.2	Λ FM 2.3	Λ FM 3.1	Λ FM 3.2	Λ VHF TV 1.1	Λ VHF TV 1.2	Λ VHF TV 1.3	Λ VHF TV 2.1	Λ VHF TV 2.2	Λ VHF TV 2.3	Λ VHF TV 3.1	Λ VHF TV 3.2	Λ TETRA 1.1	Λ TETRA 1.2
Lab 1																
Lab 2	-3.22	-0.70	-0.93	-0.96	1.51	0.94	-1.41	-1.44	-2.49	-0.27	-0.60	-0.68	-0.14	0.78	-0.86	-0.90
Lab 3																
Lab 4																
Lab 5																
Lab 6																
Lab 7																
Lab 8																
Lab 9	-0.22	-0.04	-0.36	-0.05	-0.95		-0.45	-0.25	0.26	-0.50	-0.29	-0.43	-0.40		-0.78	-0.67
Lab 10	2.07	0.50	0.55	-0.16			0.77	0.21	2.93	0.58	0.74	0.74			-0.06	-0.15
Lab 11																
Lab 12																
Lab 13	0.06	0.93	0.76	0.85	1.01	-1.02	1.34	1.38	0.64	1.16	1.70	1.74	21.60	-0.97	0.10	0.17
Lab 14																
Lab 15																
Lab 16	-0.18	-0.36	-0.16	0.19			0.09	0.19	0.68	-0.08	-0.10	0.10			-0.34	-0.56
Lab 17															0.11	-0.34
Lab 18		-1.57	-1.31				-1.18	-1.30		-1.15	-1.15					
Lab 19																
Lab 20	0.85	0.85	1.27	1.36	-0.66	-0.26	0.30	0.47	-0.26	0.03	0.25	0.66	-0.69	0.33	0.90	1.18
Lab 21	-0.27	0.71	0.84	0.86	0.24	-0.56	0.52	0.56	-0.28	1.20	1.11	0.81	-0.71	0.97	1.24	1.21
Lab 22	0.85	1.01	0.34		-0.61		0.99	1.01	0.11	1.13	0.56	0.04	-0.68	-1.14	1.66	1.46
Lab 23																
Lab 24	-0.16	-0.14	0.02	0.05	-0.64		-0.45	-0.24	0.03	-0.49	-0.21	-0.31	-0.12		-0.78	-0.56
Lab 25																
Lab 26		-3.11	-2.90	-2.91						-1.81	-1.98	-2.38				
Lab 27																
Lab 28																
Lab 29																
Lab 30	-0.94	0.24	0.48	-0.65			-0.52	-0.59	-1.18	-0.11	-0.30	-0.93			-1.03	-0.85
Lab 31					0.11	0.90							1.25	0.02		

ΠΙΝΑΚΑΣ 5.7	Λ TETRA 1.3	Λ TETRA 2.1	Λ TETRA 2.2	Λ TETRA 2.3	Λ TETRA 3.1	Λ TETRA 3.2	Λ TV UHF 1.1	Λ TV UHF 1.2	Λ TV UHF 1.3	Λ TV UHF 2.1	Λ TV UHF 2.2	Λ TV UHF 2.3	Λ TV UHF 3.1	Λ TV UHF 3.2	Λ AFTER 1.1	Λ AFTER 1.2
Lab 1																
Lab 2	-0.49	0.14	0.08	0.21	3.80	0.20	-1.32	-1.36	-1.34	-0.97	-0.79	-0.79	3.28	2.95	0.05	0.08
Lab 3																
Lab 4																
Lab 5																
Lab 6																
Lab 7																
Lab 8																
Lab 9	-0.16	-0.30	-0.24	-0.36	-0.57		-0.31	0.15	-0.25	-0.34	0.07	0.01	-1.24		-0.80	-0.63
Lab 10	1.90	0.13	-0.13	0.02			-0.32	-0.15	1.29	0.65	-0.12	0.23			0.46	0.08
Lab 11																
Lab 12																
Lab 13	-0.33	0.31	11.28	0.48	-1.09	-1.22	1.45	1.87	0.81	1.30	1.23	1.56	-0.25	0.41	1.00	1.10
Lab 14																
Lab 15																
Lab 16	0.03	-0.04	-0.28	-0.07			0.11	-0.19	-0.43	-0.16	-0.63	-0.11			-0.42	-0.41
Lab 17	-0.43														-1.07	-1.09
Lab 18							-0.49	-0.75		-0.41	-1.09				-0.81	-0.81
Lab 19																
Lab 20	0.34	0.65	0.45	0.71	-0.45	-0.35	0.70	0.99	0.95	1.13	1.01	1.18	0.25	-0.20	1.26	1.32
Lab 21	1.02	2.10	1.35	2.19	-0.03	-0.05	0.96	0.23	-0.13	0.93	0.23	0.60	0.26	-0.07	0.14	0.18
Lab 22	1.19	1.12	0.72	1.08	-0.23	-0.07	0.93	0.67	0.59	0.33	0.23	0.49	-0.53	-0.55	1.59	1.69
Lab 23																
Lab 24	-0.21	-0.25	-0.32	-0.26	-0.28		-0.02	0.30	0.02	0.40	0.08	-0.02	-0.77		-0.55	-0.56
Lab 25																
Lab 26		-1.45	-1.25	-1.40				-1.52		-1.33	-1.46	-1.30				
Lab 27		-1.45	-1.25	-1.40						-1.33	3.64	-1.30				
Lab 28																
Lab 29	-1.93						-1.38		-1.46							
Lab 30	-0.95	-0.35	-0.63	-0.50			-0.30	0.09	-0.03	-0.20	-0.26	-0.48			-0.76	-0.76
Lab 31					1.17	6.96							0.79	-1.07		

ΠΙΝΑΚΑΣ 5.8	Λ AFTER 1.3	Λ AFTER 2.1	Λ AFTER 2.2	Λ AFTER 2.3	Λ AFTER 3.1	Λ AFTER 3.2	Λ OTHERS 1.1	Λ OTHERS 1.2	Λ OTHERS 1.3	Λ OTHERS 2.1	Λ OTHERS 2.2	Λ OTHERS 2.3	Λ OTHERS 3.1	Λ DCS- UMTS 1.1	Λ DCS- UMTS 1.2	Λ DCS- UMTS 1.3	Λ DCS- UMTS 2.1	Λ DCS- UMTS 2.2
Lab 1																		
Lab 2	0.02	-0.61	-0.59	-0.73	1.79	2.42								-0.71	-0.70	-0.46	-1.49	-1.02
Lab 3																		
Lab 4																		
Lab 5																		
Lab 6																		
Lab 7																		
Lab 8																		
Lab 9	0.07	-0.60	-0.54	-0.60	-0.59		-0.39	-0.35	0.61	-0.23	-0.20	-0.24	-0.59					
Lab 10	0.91	0.97	0.78	0.73														
Lab 11																		
Lab 12																		
Lab 13	0.71	1.42	1.53	1.33	-0.90	-0.95	14.14	3.56	0.80	2.44	2.49	1.82	-0.50					
Lab 14																		
Lab 15																		
Lab 16	-0.05	-0.33	-0.27	-0.33			0.63	0.60	0.65	0.33	0.38	0.38						
Lab 17	-1.34						-0.78	-0.84	-1.16									
Lab 18		-0.45	-0.76															
Lab 19																		
Lab 20	0.96	0.05	0.12	0.05	-0.59	-0.32								0.29	0.39	0.36	0.77	-0.67
Lab 21	-0.14	2.43	2.54	2.25	0.04	0.57								-0.70	-0.75	-0.94	0.11	0.93
Lab 22	1.28	0.44	0.51	0.41	-0.60	-0.33								1.12	1.06	1.05	0.52	-0.11
Lab 23																		
Lab 24	-0.06	-0.52	-0.45	-0.50	-0.01		-0.34	-0.30	0.14	-0.23	-0.20	-0.19	-0.20					
Lab 25																		
Lab 26			-1.11							-1.18	-1.15	-1.14						
Lab 27		-1.15		-1.12														
Lab 28																	0.09	0.87
Lab 29	-1.35																	
Lab 30	-1.01	-0.72	-0.68	-0.73			-0.61	-0.61	-1.04	-0.20	-0.33	-0.32						
Lab 31					1.15	-0.46							1.30					

ΠΙΝΑΚΣ 5.9	Λ DCS- UMTS 2.3	Λ DCS- UMTS 3.1	Λ DCS- UMTS 3.2	E TOT AVG 1.1	E TOT AVG 1.2	E TOT AVG 1.3	E TOT AVG 2.1	E TOT AVG 2.2	E TOT AVG 2.3	E TOT AVG 3.1	E TOT AVG 3.2	E TOT AVG 1.1@1.1m	E TOT AVG 1.1@1.5m	E TOT AVG 1.1@1.7m	E TOT AVG 1.2@1.1m	E TOT AVG 1.2@1.5m
Lab 1												0.31		-0.19	-0.30	
Lab 2	-0.80	1.29	1.30							1.38	1.29		-1.77	-1.13		-1.41
Lab 3				-0.84	-1.10	-0.18							-1.04	-0.87		-1.44
Lab 4				0.57	1.92	0.79	1.19	0.18	0.81	0.89	-0.29	1.15	0.53	0.61	1.01	0.53
Lab 5				-0.77	-0.64	-0.74	-0.49	1.43	-1.46							
Lab 6																
Lab 7				0.33	0.45	-0.73	0.22	0.16	-0.42	-0.51	-0.26		0.00	0.67		-0.23
Lab 8				-0.13	-0.47	-0.69	0.35	-0.43	-0.13	-0.20	0.27		0.09			-0.67
Lab 9																
Lab 10				-0.64	-0.29	-0.41	0.11	-0.31	-0.39				-0.67	-0.99		-0.63
Lab 11												-0.09	-0.73	-1.28	-1.27	0.31
Lab 12																
Lab 13												0.63	0.21	-0.19	0.99	0.16
Lab 14												-0.83	1.38	1.23	0.01	1.22
Lab 15												-1.17	0.92	0.48	-0.43	0.83
Lab 16				1.27	-0.04	1.09	1.10	1.16	2.29							
Lab 17				9.24	6.55	2.46							7.28			5.93
Lab 18				-0.37	-0.43		-5.47	-2.63					-0.85			-0.35
Lab 19																
Lab 20	1.14	-0.60	-0.59										0.39	1.37		0.87
Lab 21	-0.19	-0.17	-0.19										0.30	0.38		-0.34
Lab 22	-0.82	-0.52	-0.52										-0.53	-0.09		-0.34
Lab 23																
Lab 24																
Lab 25										-1.04	-1.23					
Lab 26																
Lab 27																
Lab 28	0.67						-0.01	-0.34	-0.10	-0.74	-0.68					
Lab 29																
Lab 30				-0.92	-0.46	-0.63	-0.97	-0.35	0.20							
Lab 31										0.22	0.90					

ΠΙΝΑΚΑΣ 5.10	E TOT AVG 1.2@1.7m	E TOT AVG 1.3@1.1m	E TOT AVG 1.3@1.5m	E TOT AVG 1.3@1.7m	E TOT AVG 2.1@1.1m	E TOT AVG 2.1@1.5m	E TOT AVG 2.1@1.7m	E TOT AVG 2.2@1.1m	E TOT AVG 2.2@1.5m	E TOT AVG 2.2@1.7m	E TOT AVG 2.3@1.1m	E TOT AVG 2.3@1.5m	E TOT AVG 2.3@1.7m	E TOT AVG 3.1@1.5m	E TOT AVG 3.1@1.7m	E TOT AVG 3.2@1.5m	E TOT AVG 3.2@1.7m
Lab 1	0.31	0.15		0.32													
Lab 2	-1.28		-1.45	-3.28		-1.69	-2.08		-0.79	-1.76		-1.67	-0.89				
Lab 3	-0.64		0.51	-0.27													
Lab 4	3.71	-1.40	2.69	3.38	1.09	0.96	0.48	0.54	-0.01	1.00	0.31	1.56	0.87	0.86	0.94	1.24	-1.22
Lab 5																	
Lab 6																	
Lab 7	0.92		-0.40	-0.99		0.35	0.64		1.14	-1.03		-0.91	-0.38	-0.25	-0.64	0.26	0.95
Lab 8			-0.39			0.23			-0.55			-0.35		0.24		1.19	
Lab 9																	
Lab 10	0.05		-0.26	-0.02	0.02	0.47	-0.07	-0.96	-0.37	0.35	-0.69	0.29	-0.99				
Lab 11	0.55	-0.14	-0.67	0.23	-0.31	-0.07	-0.66	-0.76	-1.12	0.11	0.12	0.58	0.21				
Lab 12																	
Lab 13	-2.82	-0.39	0.43	0.21	1.72	1.40	1.36	0.96	0.71	1.04	1.30	1.64	1.66	1.78	1.77	-0.94	-1.18
Lab 14	0.77	1.16	-0.62	0.76	-0.81	-0.73	-0.93	0.02	2.07	0.09							
Lab 15	0.42	0.62	-1.00	0.28	-1.07	-1.04	-1.31	-0.54	1.60	-0.35							
Lab 16																	
Lab 17			7.67														
Lab 18						-4.30			-2.10								
Lab 19																	
Lab 20	0.11		0.01	1.47		0.59	1.32		-0.54	-1.07		-0.58	0.51	-0.86	-0.47	0.42	0.78
Lab 21	-0.59		-0.07	-0.79		0.84	0.02		0.27	0.76		-0.57	-0.97	0.80	0.01	0.23	0.42
Lab 22	-0.62		0.92	-0.92		-0.80	0.04		-0.05	-0.65		0.04	-1.05	-0.73	-0.58	-0.64	0.31
Lab 23																	
Lab 24																	
Lab 25														-0.83		-1.13	
Lab 26					-0.23	0.71	-0.29	1.41	-0.27	2.46	0.22	0.36	1.13				
Lab 27					-0.19	0.24	0.16	-0.68	0.45	-0.22	-1.25	0.25	0.03				
Lab 28						-0.17	0.71		-0.38	-0.05		-0.61	0.03	-0.73	-0.75	-0.64	-0.06
Lab 29				-0.26													
Lab 30																	
Lab 31																	

ΠΙΝΑΚΑΣ 5.11	E TOT MAX 1.1	E TOT MAX 1.2	E TOT MAX 1.3	E TOT MAX 2.1	E TOT MAX 2.2	E TOT MAX 2.3	E TOT MAX 3.1	E TOT MAX 3.2	E TOT MAX 1.1@1.5m	E TOT MAX 1.1@1.7m	E TOT MAX 1.2@1.5m	E TOT MAX 1.2@1.7m	E TOT MAX 1.3@1.5m	E TOT MAX 1.3@1.7m	E TOT MAX 2.1@1.5m	E TOT MAX 2.1@1.7m
Lab 1	-0.83	0.01	-0.04							-0.80		0.01		-0.07		
Lab 2	-1.97	-1.76	-4.09	-1.87	-2.24	-0.84	-2.88	-5.32	-2.17	-1.68	-1.31	-1.44	-3.19	-1.89	-1.34	-3.63
Lab 3	-0.79	-0.74	0.83						-0.85	-0.45	-0.78	-0.60	0.74	-0.11		
Lab 4	2.29	5.49	6.05	3.56	4.88	4.42	1.30	0.13	2.44	1.13	1.49	4.51	4.92	2.49	2.24	2.82
Lab 5	-1.34	-0.58	-1.39	-0.94	0.20	-1.09										
Lab 6																
Lab 7	0.16	0.90	-0.79	-0.05	0.61	-0.15	0.22	0.27	0.22	0.03	0.05	0.75	-0.55	-0.45	-0.05	-0.18
Lab 8	0.47	0.43	0.64	0.70	0.38	0.44	-0.28	0.53								
Lab 9																
Lab 10	-0.03	0.44	-0.39	0.66	0.28	0.08										
Lab 11																
Lab 12																
Lab 13	0.91	1.45	0.88	1.32	0.08	1.47	2.81	-0.41								
Lab 14	1.16	0.54	-0.24	-0.87	0.94											
Lab 15	0.69	0.18	-0.71	-1.05	0.45											
Lab 16	-1.00	-1.14	-0.68	-0.49	-0.96	-0.35										
Lab 17	0.24	-1.38	-0.66						0.30		-0.78		-0.45			
Lab 18	-0.20	-0.60	-0.29	-2.41	-3.18	-1.97			-0.16		-0.11		-0.15		-1.81	
Lab 19																
Lab 20	0.46	0.47	2.62	0.20	-1.03	0.41	0.16	0.34	-0.18	0.87	0.83	0.07	-0.13	1.10	0.24	0.27
Lab 21	0.79	0.23	0.57	0.45	0.41	-0.13	0.31	0.99	0.88	0.18	0.62	0.15	-0.22	0.20	0.66	-0.63
Lab 22	0.15	-0.51	0.86	0.21	-0.71	-0.27	-0.13	-0.21	-0.20	0.54	-0.02	-0.43	0.76	-0.49	-0.10	0.29
Lab 23																
Lab 24																
Lab 25							-1.09	-1.40								
Lab 26				0.28	1.19										0.42	-0.52
Lab 27				0.35	0.30										0.15	-0.15
Lab 28				0.56	0.13		-0.40	-0.12							0.02	0.92
Lab 29			-0.26											-0.17		
Lab 30	-0.84	0.30	0.17	0.17	-0.76	0.44										
Lab 31							-0.08	1.38								

	E TOT MAX 2.2@1.5m	E TOT MAX 2.2@1.7m	E TOT MAX 2.3@1.5m	E TOT MAX 2.3@1.7m	E TOT MAX 3.1@1.5m	E TOT MAX 3.1@1.7m	E TOT MAX 3.2@1.5m	E TOT MAX 3.2@1.7m	E AVG GSM 1.1	E AVG GSM 1.2	E AVG GSM 1.3	E AVG GSM 1.1@1.1m	E AVG GSM 1.1@1.5m	E AVG GSM 1.1@1.7m	E AVG GSM 1.2@1.1m
Lab 1															
Lab 2	-1.13	-1.48	-1.25	-1.31											
Lab 3									-0.69	-0.46	0.18		-1.02	-0.94	
Lab 4	1.63	3.37	5.84	3.73	0.73	1.16	0.23	-2.05				1.25	0.56	0.97	1.05
Lab 5															
Lab 6									-0.43	0.49	0.07		-0.58	-0.17	
Lab 7	0.86	-0.49	-0.32	-0.44	0.32	0.29	0.24	0.44					0.01	0.95	
Lab 8					0.15		0.72								
Lab 9															
Lab 10									-0.58	0.11	-0.33		-0.65	-0.87	
Lab 11												-0.03	-0.68	-1.30	0.36
Lab 12									-0.21	-0.90	-0.21	-0.12	0.09	1.02	-1.05
Lab 13												0.63	0.20	-0.25	0.72
Lab 14															
Lab 15															
Lab 16															
Lab 17	-1.56								1.46	0.81	3.61		2.10		
Lab 18			-2.00						1.05	1.15			1.46		
Lab 19															
Lab 20	-0.20	-0.66	-0.06	0.27	-0.57	0.18	0.13	0.55							
Lab 21	0.22	0.32	0.19	-0.41	1.24	0.44	1.31	1.02							
Lab 22	-0.07	-0.44	0.09	-0.89	0.42	-1.22	-0.27	-0.33							
Lab 23									-0.61	-1.19	-1.21	-1.31	-0.88	0.80	-1.02
Lab 24															
Lab 25					-1.40		-1.71								
Lab 26	-0.04	0.86	0.60	0.60											
Lab 27	0.59	0.25	0.66	0.81											
Lab 28	-0.23	0.13	0.09	-0.13	-0.89	-0.86	-0.87	-0.18							
Lab 29												-0.43		-0.21	-0.06
Lab 30															
Lab 31															



ΠΙΝΑΚΑΣ 5.12	E AVG GSM 1.2@1.5m	E AVG GSM 1.2@1.7m	E AVG GSM 1.3@1.1m	E AVG GSM 1.3@1.5m	E AVG GSM 1.3@1.7m	E AVG GSM 2.1@1.5m	E AVG GSM 2.1@1.7m	E AVG GSM 2.2@1.5m	E AVG GSM 2.2@1.7m	E AVG GSM 2.3@1.5m	E AVG GSM 2.3@1.7m	E AVG DCS 2.1	E AVG DCS 2.2	E AVG DCS 1.1@1.5m	E AVG DCS 1.2@1.5m	E AVG DCS 1.3@1.5m
Lab 1																
Lab 2																
Lab 3	-1.20	-0.40	1.26	-0.19												
Lab 4	0.65	2.19	-0.91	1.47	1.67	-0.42	-0.08	-0.35	-0.03	-0.12	-0.44			-0.37	-0.39	-0.36
Lab 5																
Lab 6	0.54	0.04		-0.98	0.75							1.21	1.43			
Lab 7	-0.08	0.53		-0.44	-0.55	0.03	1.12	0.00	1.08	1.09	-0.20					
Lab 8																
Lab 9				-0.31												
Lab 10	-0.34	0.07			-0.01							0.21	-0.05			
Lab 11	0.47	0.34	-0.40	-0.58	0.10	-0.36	0.00	-0.37	0.03	0.08	1.29			-0.48	-0.47	-0.41
Lab 12	-0.87	-1.25	1.08	0.39	-1.48							-0.04	-0.15			
Lab 13	0.26	0.61	-0.55	0.07	0.06	-0.75	-1.04	-0.79	-1.08	-1.06	-0.65			-0.71	-0.71	-0.54
Lab 14																
Lab 15																
Lab 16																
Lab 17	0.82			1.48										2.59	2.82	1.32
Lab 18	1.24					1.53		1.78				-1.26	-1.00	0.07	0.08	
Lab 19																
Lab 20																
Lab 21																
Lab 22																
Lab 23	-1.51	-1.60	0.27	-0.93	-0.37							-0.12	-0.23			
Lab 24																
Lab 25																
Lab 26																
Lab 27																
Lab 28																
Lab 29		0.07	-0.75													
Lab 30																
Lab 31																

ΠΙΝΑΚΑΣ 5.13	E AVG DCS 2.1@1.1m	E AVG DCS 2.1@1.5m	E AVG DCS 2.1@1.7m	E AVG DCS 2.2@1.1m	E AVG DCS 2.2@1.5m	E AVG DCS 2.2@1.7m	E AVG DCS 2.3@1.1m	E AVG DCS 2.3@1.5m	E AVG DCS 2.3@1.7m	E AVG UMTS 2.1	E AVG UMTS 2.2	E AVG UMTS 1.1@1.5m	E AVG UMTS 1.2@1.5m	E AVG UMTS 1.3@1.5m	E AVG UMTS 2.1@1.1m	E AVG UMTS 2.1@1.5m
Lab 1																
Lab 2																
Lab 3																
Lab 4	1.02	0.54	0.28	0.23	0.35	0.03	-0.17	0.15	0.24			0.21	0.02	-0.31	0.23	0.10
Lab 5																
Lab 6		1.44	1.24		0.06	6.60		1.10	2.58	0.98	0.96					1.12
Lab 7																
Lab 8																
Lab 9																
Lab 10	-0.31	0.14	-0.35	0.15	0.25	-0.53	-0.22	-0.04	-1.12	0.63	0.22				0.33	0.42
Lab 11	-0.51	-0.02	-1.40	0.42	-0.93	0.39	1.34	-0.43	-0.25			-0.43	-0.28	-0.93	0.18	0.19
Lab 12	-0.70	-0.42	-0.37	-1.39	0.63	-1.08	-1.10	-1.43	0.14	0.10	0.54				-0.54	-0.71
Lab 13	1.22	0.57	0.87	1.17	1.47	0.47	0.15	0.64	-0.51			1.11	1.15	1.17	1.20	0.94
Lab 14																
Lab 15																
Lab 16																
Lab 17												0.35	0.36	0.07		
Lab 18		-1.23			-1.20					-1.24	-1.29	-1.24	-1.26			-2.95
Lab 19																
Lab 20																
Lab 21																
Lab 22																
Lab 23	-0.72	-1.02	-0.26	-0.58	-0.63	-0.78				-0.46	-0.42				-1.40	-0.56
Lab 24																
Lab 25																
Lab 26																
Lab 27																
Lab 28																
Lab 29																
Lab 30																
Lab 31																

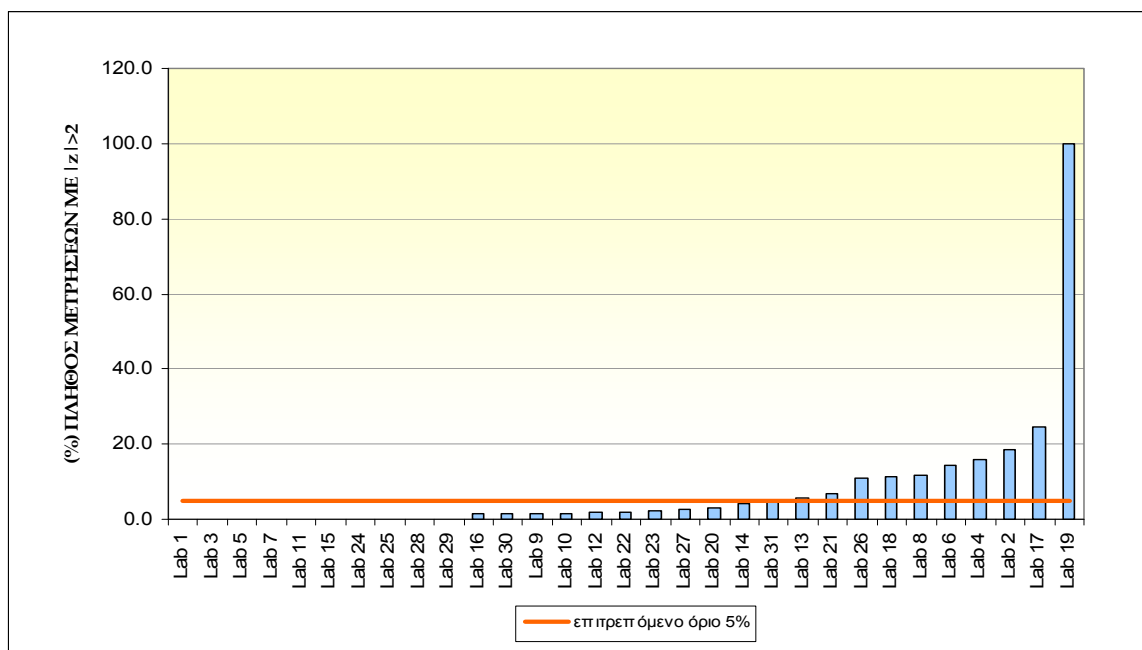
ΠΙΝΑΚΑΣ 5.14	E AVG UMTS 2.1@1.7m	E AVG UMTS 2.2@1.1m	E AVG UMTS 2.2@1.5m	E AVG UMTS 2.2@1.7m	E AVG UMTS 2.3@1.1m	E AVG UMTS 2.3@1.5m	E AVG UMTS 2.3@1.7m	E AVG FM 1.1@1.5m	E AVG FM 1.1@1.7m	E AVG FM 1.2@1.5m	E AVG FM 1.2@1.7m	E AVG FM 1.3@1.5m	E AVG FM 1.3@1.7m	E AVG FM 2.1@1.5m	E AVG FM 2.1@1.7m	E AVG FM 2.2@1.5m
Lab 1																
Lab 2																
Lab 3																
Lab 4	-0.17	1.19	0.35	1.04	0.62	1.19	0.48	-0.17	-0.93	-0.45	1.08	0.11	0.41	0.76	1.26	0.29
Lab 5																
Lab 6	1.04		1.09	0.36		-0.37	-0.46									
Lab 7								-0.71	0.37	-0.61	-0.25	-0.48	-0.03	-0.68	-0.57	-0.57
Lab 8																
Lab 9																
Lab 10	-0.21	-0.94	-0.57	0.68	-0.48	-0.92	-0.80									
Lab 11	0.77	-0.67	-0.52	-0.69	-0.78	0.22	0.03	-0.71	-0.48	-0.67	-1.03	-0.61	-1.21	-0.67	-0.64	-0.65
Lab 12	-0.53	0.19	1.15	-0.56	-0.59	-0.90	-0.76									
Lab 13	0.61	0.84	0.25	0.55	1.24	0.78	2.51	-0.63	1.05	-0.52	0.21	-0.52	0.83	-0.55	-0.05	-0.49
Lab 14																
Lab 15																
Lab 16																
Lab 17								1.20		1.26		16.30				
Lab 18			-1.43					1.02		1.00				1.14		1.42
Lab 19																
Lab 20																
Lab 21																
Lab 22																
Lab 23	-3.47	-0.62	-0.33	-1.38												
Lab 24																
Lab 25																
Lab 26																
Lab 27																
Lab 28																
Lab 29																
Lab 30																
Lab 31																

ΠΙΝΑΚΑΣ 5.15	E AVG FM 2.2@1.7m	E AVG FM 2.3@1.5m	E AVG FM 2.3@1.7m	E AVG FM 3.1@1.5m	E AVG FM 3.1@1.7m	E AVG FM 3.2@1.5m	E AVG FM 3.2@1.7m	E AVG UHF TV 1.1@1.5m	E AVG UHF TV 1.1@1.7m	E AVG UHF TV 1.2@1.5m	E AVG UHF TV 1.2@1.7m	E AVG UHF TV 1.3@1.5m	E AVG UHF TV 1.3@1.7m	E AVG UHF TV 2.1@1.5m	E AVG UHF TV 2.1@1.7m	E AVG UHF TV 2.2@1.5m
Lab 1																
Lab 2																
Lab 3																
Lab 4	1.31	-1.24	1.15	0.42	0.48	1.05	-0.58	-0.54	0.30	-0.56	-0.67	-0.23	0.60	-0.74	0.57	-0.45
Lab 5					-0.82											
Lab 6																
Lab 7	-0.47	0.17	-0.38	-0.50	-0.66	0.37	1.23	-0.55	-0.91	-0.52	0.33	-0.21	0.54	0.02	0.93	0.03
Lab 8																
Lab 9																
Lab 10																
Lab 11	-0.58	0.24	-0.92					-0.61	-0.48	-0.62	-0.76	-0.86	-1.29	-0.47	-0.68	-0.75
Lab 12																
Lab 13	-0.26	0.84	0.15	1.01	1.00	-0.92	-0.69	-0.57	1.09	-0.52	1.09	-0.20	0.14	-0.30	-0.83	-0.32
Lab 14																
Lab 15																
Lab 16																
Lab 17								1.26		1.38		21.46				
Lab 18								1.01		0.85				9.19		8.57
Lab 19																
Lab 20																
Lab 21																
Lab 22																
Lab 23																
Lab 24																
Lab 25																
Lab 26																
Lab 27							0.04									
Lab 28				-0.94		-0.51										
Lab 29																
Lab 30																
Lab 31																

ΠΙΝΑΚΑΣ 5.16	E AVG UHF TV 2.2@1.7m	E AVG UHF TV 2.3@1.5m	E AVG UHF TV 2.3@1.7m	E AVG UHF TV 3.1@1.5m	E AVG UHF TV 3.1@1.7m	E AVG UHF TV 3.2@1.5m	E AVG UHF TV 3.2@1.7m	E GSM MAX 1.1	E GSM MAX 1.2	E GSM MAX 1.3	E DCS MAX 2.1	E DCS MAX 2.2	E DCS MAX 2.3	E UMTS MAX 2.1	E UMTS MAX 2.2	E UMTS MAX 2.3
Lab 1																
Lab 2																
Lab 3																
Lab 4	-1.16	-1.01	-0.15	-1.06	-0.20	0.10	0.39									
Lab 5																
Lab 6								-0.64	0.13	-0.29	1.21	1.21	1.13	0.61	0.82	0.19
Lab 7	0.63	0.62	0.83	0.34	-0.34	-1.05	-1.31									
Lab 8																
Lab 9																
Lab 10								-0.59	0.03	-0.66	0.07	0.08	-0.01	0.56	0.31	-0.16
Lab 11	-0.22	-0.45	-1.17					-0.71	-0.12	-0.57	-0.24	-0.24	-0.03	-0.19	-0.68	0.82
Lab 12								-0.37	-0.93	-0.25	0.29	0.29	0.25	0.89	1.08	0.57
Lab 13	0.74	0.85	0.50	-0.28	-0.74	1.09	0.61									
Lab 14																
Lab 15																
Lab 16																
Lab 17								1.23	0.52	1.26						
Lab 18								1.31	2.00	1.26	-1.72	-1.72	-1.33	-1.89	-1.17	-1.43
Lab 19																
Lab 20																
Lab 21																
Lab 22																
Lab 23								-0.23	-1.12	-0.76	0.16	0.16		-0.37	-0.35	
Lab 24																
Lab 25																
Lab 26																
Lab 27																
Lab 28				1.00	1.28	-0.14	0.31									
Lab 29																
Lab 30																
Lab 31																

ΚΩΔΙΚΟΣ ΕΡΓΑΣΤΗΡΙΟΥ	ΠΛΗΘΟΣ Z SCORES ΟΠΟΥ ΣΤΗΜΜΕΤΕΙΧΕ ΤΟ ΕΡΓΑΣΤΗΡΙΟ	ΠΛΗΘΟΣ Z SCORES ΟΠΟΥ  z >2	(%)ΠΛΗΘΟΣ Z SCORES ΟΠΟΥ  z >2	$\Sigma z$	$\Sigma  z $	avg  z	$\Sigma z^2$
Lab 1	12	0	0.0	-1.15	3.35	0.28	1.79
Lab 2	98	18	18.4	-79.31	135.43	1.38	278.60
Lab 3	33	0	0.0	-13.02	22.99	0.70	19.44
Lab 4	133	21	15.8	114.04	152.64	1.15	382.90
Lab 5	13	0	0.0	-8.62	11.88	0.91	12.81
Lab 6	49	7	14.3	55.07	63.73	1.30	240.05
Lab 7	100	0	0.0	1.83	48.54	0.49	34.21
Lab 8	34	4	11.8	20.01	29.25	0.86	80.64
Lab 9	71	1	1.4	-0.07	51.88	0.73	534.83
Lab 10	120	2	1.7	5.67	54.25	0.45	47.64
Lab 11	96	0	0.0	-35.51	54.32	0.57	43.57
Lab 12	58	1	1.7	-9.98	38.65	0.67	39.86
Lab 13	178	10	5.6	140.85	210.39	1.18	1034.45
Lab 14	25	1	4.0	3.22	21.19	0.85	23.21
Lab 15	25	0	0.0	-7.20	20.15	0.81	20.54
Lab 16	72	1	1.4	1.34	28.99	0.40	22.28
Lab 17	49	12	24.5	88.01	119.77	2.44	1074.99
Lab 18	87	10	11.5	-53.24	127.51	1.47	359.89
Lab 19	3	3	100.0	16.79	16.79	5.60	96.65
Lab 20	104	3	2.9	45.61	71.95	0.69	78.04
Lab 21	104	7	6.7	49.22	70.71	0.68	92.12
Lab 22	102	2	2.0	20.02	65.02	0.64	70.09
Lab 23	47	1	2.1	-33.65	37.75	0.80	45.08
Lab 24	70	0	0.0	-14.12	21.34	0.30	10.74
Lab 25	10	0	0.0	-12.33	12.33	1.23	15.74
Lab 26	46	5	10.9	-21.17	48.93	1.06	79.60
Lab 27	38	1	2.6	-7.41	27.83	0.73	36.46
Lab 28	43	0	0.0	-4.37	19.49	0.45	13.67
Lab 29	18	0	0.0	-11.50	14.41	0.80	18.97
Lab 30	72	1	1.4	-26.39	40.15	0.56	32.95
Lab 31	21	1	4.8	18.88	25.08	1.19	69.91

Πίνακας 5.17 Συγκεντρωτικοί δείκτες επίδοσης



**Διάγραμμα 5.222: Ποσοστό των μετρήσεων που αξιολογούνται με  $|z| > 2$  για κάθε εργαστήριο**

## 5.7 ΣΥΜΠΕΡΑΣΜΑΤΑ

Από την επεξεργασία των μετρήσεων απορρέουν ορισμένα συμπεράσματα που σχετίζονται με το περιβάλλον διεξαγωγής των μετρήσεων, την καταλληλότητα της διαδικασίας υπολογισμού, τους παράγοντες που επηρεάζουν την αξιολόγηση των εργαστηρίων και βέβαια την ίδια την επίδοση των εργαστηρίων:

### 5.7.1 Αξιολόγηση της επίδοσης των εργαστηρίων

Βάσει του % ποσοστού των περιπτώσεων, στις οποίες τα εργαστήρια έχουν  $|z| > 2$ , γίνεται η κατάταξη των εργαστηρίων:

ΚΑΤΑΤΑΞΗ	Ικανοποιητική επίδοση	Μη ικανοποιητική επίδοση
<b>ΚΩΔΙΚΟΣ ΕΡΓΑΣΤΗΡΙΟΥ</b>	1, 3, 5, 7, 9, 10, 11, 12, 14, 15, 16, 20, 22, 23, 24, 25, 27, 28, 29, 30, 31	2, 4, 6, 8, 13, 17, 18, 19, 21, 26

**Πίνακας 5.18 Κατάταξη των εργαστηρίων βάσει της συνολικής τους επίδοσης**

Ειδικά τα Εργαστήρια 1, 3, 5, 7, 11, 15, 24, 25, 28 και 29 μπορούν να χαρακτηριστούν ως απόλυτα καλώς συμπεριφερόμενα, διότι όλες οι μετρήσεις τους έχουν αξιολογηθεί με  $|z| \leq 2$ . Επίσης, αξίζει να σημειωθεί το εξής: σε κανονική κατανομή το ακριβές ποσοστό των περιπτώσεων στις οποίες μπορεί να βρεθούν τιμές εκτός του διαστήματος  $\mu \pm 2\sigma$  είναι 4.6%. Επομένως, για το Εργαστήριο 31, που έχει βρεθεί στο διάστημα  $|z| > 2$  στο 4.8% των μετρήσεων, η κατάταξή του στα καλώς συμπεριφερόμενα εργαστήρια είναι οριακή.

Παρατηρούμε ότι ο συγκεντρωτικός δείκτης  $\text{avg } |z|$  δεν αντιπροσωπεύει την επίδοση των εργαστηρίων με τόση ακρίβεια όσο το ποσοστό των  $|z| > 2$ . Χαρακτηριστικά, μόνο τα Εργαστήρια 17 και 19 που έχουν αποκλίνοντα αποτελέσματα στο 24.5% και 100% των μετρήσεων αντίστοιχα παρουσιάζουν  $\text{avg } |z|$  μεγαλύτερο του 2. Τα υπόλοιπα εργαστήρια, των οποίων η επίδοση έχει κριθεί μη ικανοποιητική, βαθμολογούνται με χαμηλές τιμές  $\text{avg } |z|$ . Αυτό πιθανώς οφείλεται στο ότι η επίδραση μεμονωμένων υψηλών  $|z|$  αντισταθμίζεται από επαναλαμβανόμενα χαμηλά  $|z|$ . Όπως έχουμε προαναφέρει και στο Κεφάλαιο 3, η αξιολόγηση των warning signals ( $2 < |z| < 3$ ) δεν προσδιορίζεται επακριβώς στα διεθνή πρότυπα, αλλά γίνεται κατά περίπτωση ανάλογα με τη συχνότητα εμφάνισής τους. Με την αξιολόγηση των εργαστηρίων βάσει του ποσοστού των  $|z| > 2$  αντιμετωπίζεται το συγκεκριμένο πρόβλημα, διότι εξετάζεται αθροιστικά η εμφάνιση όλων των action και warning signals.

### **5.7.2 Παράγοντες που υπεισέρχονται στα z scores**

Οι παράγοντες που διαμορφώνουν τους δείκτες επίδοσης κάθε εργαστηρίου μπορούν να χωριστούν σε ορισμένες βασικές κατηγορίες:

- ο Εξοπλισμός

Στην κατηγορία αυτή εντάσσονται τα όργανα με τα οποία διεξάγονται οι μετρήσεις, καθώς και τα ιδιαίτερα τεχνικά τους χαρακτηριστικά που επηρεάζουν τη διαδικασία μέτρησης και τα αποτελέσματα, όπως για παράδειγμα το συνολικό μετρούμενο εύρος ζώνης συχνοτήτων. Σε γενικές γραμμές οι μετρήσεις καλύπτουν τη συνολική φασματική περιοχή 75MHz-3GHz, ενώ από τα εργαστήρια που δεν έχουν καταταγεί στα καλώς



συμπεριφερόμενα, μεγάλη απόκλιση στο εύρος ζώνης παρουσιάζουν τα **Εργαστήρια 8** (100kHz-3GHz) και **19** (400MHz-2GHz).

Κατά την επιλογή των οργάνων πρέπει να εξετάζεται μία σειρά από παράγοντες, όπως ο χρόνος απόκρισης του οργάνου, οι περιορισμοί μέγιστης ισχύος του αισθητήρα, η πόλωση του πεδίου, το δυναμικό εύρος του οργάνου, η απόκριση στα χρονικά και φασματικά χαρακτηριστικά του μετρούμενου σήματος και η βαθμονόμηση του οργάνου. Οι κυριότερες μέθοδοι που χρησιμοποιούνται για τις εξωτερικές μετρήσεις πεδίου είναι τα φορητά όργανα με αισθητήρες μέτρησης πεδίου και οι αναλυτές φάσματος (spectrum analyzer).

- Οι φορητοί αισθητήρες είναι ευρυζωνικά όργανα με μεταβαλλόμενη απόκριση συχνότητας, των οποίων η ευαισθησία ανίχνευσης ποικίλλει ως συνάρτηση της συχνότητας. Πιθανοί περιορισμοί κατά τη χρήση τους είναι η σχετική φασματική “αναισθησία” και ο αργός χρόνος απόκρισης. Πρόκειται για τα όργανα που έχουν χρησιμοποιηθεί από την πλειοψηφία των εργαστηρίων και μάλιστα όσων έχουν σημειώσει ικανοποιητική επίδοση. Τα εργαστήρια που χρησιμοποίησαν αυτό το είδος οργάνου μπορούν να χωριστούν σε δύο κατηγορίες:

(A) σε αυτά που πραγματοποίησαν συχνοεπιλεκτικές μετρήσεις με τα όργανα SRM (Selective Radiation Meter) της εταιρείας Narda

(B) σε όσα χρησιμοποίησαν άλλο είδος φορητών αισθητήρων.

Από τα εργαστήρια της πρώτης κατηγορίας (SRMs) μόνο το **Εργαστήριο 21** (οριακά ενδεχομένως και το **Εργαστήριο 31**) έχει σημειώσει χαμηλή επίδοση. Αυτό είναι πιθανώς αποτέλεσμα της απόδοσης του χειριστή κατά την εφαρμογή της συγκεκριμένης μεθόδου μέτρησης με SRMs.

Τα Εργαστήρια 6 και 8, που απαρτίζουν μαζί με το Εργαστήριο 25 τη δεύτερη κατηγορία, έχουν χαρακτηριστεί ως μη καλώς συμπεριφερόμενα. Ειδικότερα, το **Εργαστήριο 6** έχει πραγματοποιήσει μετρήσεις μόνο στις φασματικές περιοχές GSM, DCS και UMTS με το όργανο AARONIA SPECTRAN HF-6065 V4. Οι αποκλίσεις του στο συνολικό λόγο έκθεσης οφείλονται στο γεγονός ότι έχουν αγνοηθεί οι υπόλοιπες φασματικές συνιστώσες και έχει εξισωθεί ο συνολικός λόγος

έκθεσης με το λόγο έκθεσης στη ζώνη GSM για το σενάριο μέτρησης 1 και με το άθροισμα των λόγων έκθεσης στις ζώνες DCS και UMTS στο σενάριο μέτρησης 2. Οι αποκλίσεις του στα DCS αποτελέσματα οφείλονται πιθανώς στο μικρό εύρος ζώνης (RBW, resolution bandwidth) που έχει επιλεγεί για την ανάλυση (RBW=300kHz για τη ζώνη DCS, RBW=5MHz για τη ζώνη UMTS). Μικρό RBW σημαίνει αυξημένη φασματική επιλεκτικότητα, αλλά και χαμηλή ταχύτητα σάρωσης, με αποτέλεσμα να αλλάζει η απόκριση του οργάνου.

Το **Εργαστήριο 8** πραγματοποίησε μετρήσεις με το ευρυζωνικό PROBE 18.0 (100KHz-3GHz). Τα αποκλίνοντα αποτελέσματα αποδίδονται στη φασματική απόκριση και το μεγάλο εύρος ζώνης του οργάνου (και πιθανώς στη μετέπειτα αριθμητική διαδικασία υπολογισμού του συνολικού λόγου έκθεσης).

- Οι αναλυτές φάσματος παρέχουν ακριβείς μετρήσεις στενής ζώνης, ωστόσο βασικός περιορισμός κατά τη χρήση τους είναι η απαιτούμενη σωστή ρύθμιση πολλών παραμέτρων, προκειμένου να επιτευχθεί σωστή ανάγνωση του επιθυμητού σήματος. Επίσης, το είδος και το μεγάλο μέγεθος των κεραιών που χρησιμοποιούνται ως δέκτες σε συνδυασμό με αυτά τα όργανα επιβάλλει μια διαδικασία, που απαιτεί μεγάλη ακρίβεια κατά την εκτέλεση των μετρήσεων από πλευράς του χειριστή. Είναι επομένως μια κατηγορία οργάνων στην οποία υπαισέρχεται έντονα και ο ανθρώπινος παράγοντας κατά τις μετρήσεις. Έτσι δικαιολογείται η μη ικανοποιητική επίδοση των **Εργαστηρίων 2, 4 και 19** που έχουν χρησιμοποιήσει αναλυτή φάσματος για τη διεξαγωγή των μετρήσεων.
- Εφαρμογή της διαδικασίας μέτρησης που έχει τεθεί από τον οργανωτή  
Η κατηγορία αυτή σχετίζεται με τις επιλογές που έχει κάνει το κάθε εργαστήριο για το πλήθος και τα ύψη των επιμέρους σημείων μέτρησης σε κάθε θέση μέτρησης και για τη γενικότερη συμμόρφωσή του με τους κανόνες και τη διαδικασία που έχει οριστεί από το συντονιστή.  
Για παράδειγμα, το **Εργαστήριο 8** έχει πραγματοποιήσει μετρήσεις στα ύψη 1.05m, 1.5m και 2m σε κάθε θέση μέτρησης και όχι στα προτεινόμενα από το συντονιστή ύψη (1.1m, 1.5m και 1.7m). Επίσης, τα δεδομένα του **Εργαστηρίου 19** για το σενάριο μέτρησης 3 έχουν απορριφθεί, διότι οι

μετρήσεις του στο πάρκο κεραιών Υμηττού έχουν γίνει σε διαφορετικό σημείο από τα προβλεπόμενα.

ο Επεξεργασία των αποτελεσμάτων

Με τον όρο αυτό αποδίδονται όλα τα πιθανά υπολογιστικά βήματα που έχουν ακολουθήσει τα εργαστήρια προκειμένου να προσδιορίσουν παράγωγα μεγέθη βάσει των μετρήσεών τους. Συγκεκριμένα:

Το **Εργαστήριο 4** προκειμένου να εισάγει μεγάλο συντελεστή ασφαλείας στα αποτελέσματά του, έχει εκτιμήσει τις μέγιστες τιμές του ηλεκτρικού πεδίου με τη βοήθεια ειδικού λογισμικού και όχι από απευθείας μετρήσεις, κάνοντας προεκβολή (extrapolation) στη μέγιστη δυνατή εκπεμπόμενη ισχύ των σταθμών βάσης για όλες τις φασματικές περιοχές. Όπως είναι φυσικό, οι τιμές που προκύπτουν είναι υπερεκτιμημένες και αποκλίνουν από τα υπόλοιπα εργαστήρια.

Το **Εργαστήριο 17** έχει υπολογίσει τις ολικές μέγιστες και μέσες τιμές του ηλεκτρικού πεδίου αθροίζοντας γραμμικά τις εντάσεις των επιμέρους φασματικών συνιστωσών, ενώ ισχύει η τετραγωνική άθροιση.

ο Παρουσίαση των αποτελεσμάτων

Η ακρίβεια σε δεκαδικά ψηφία με την οποία επιλέγει ο εκάστοτε συντάκτης της αναφοράς να παρουσιάσει τις μετρήσεις του εργαστηρίου επηρεάζει τον υπολογισμό των στατιστικών επίδοσης, ειδικά όταν πρόκειται για το λόγο έκθεσης, ο οποίος είναι ένας αριθμός μικρής τάξης μεγέθους. Συγκεκριμένα:

Το **Εργαστήριο 26** (αλλά και τα Εργαστήρια 1, 27 και 29) έχουν κρατήσει στους λόγους έκθεσης πολύ λίγα δεκαδικά ψηφία, έχουν δώσει στις περισσότερες φασματικές περιοχές μηδενικά αποτελέσματα και επομένως ο συνολικός λόγος έκθεσης δεν ταυτίζεται με το άθροισμα των επιμέρους λόγων έκθεσης.

ο Σφάλματα χειριστή/ συντάκτη της αναφοράς των μετρήσεων

Στην κατηγορία αυτή εμπίπτουν περιπτώσεις εσφαλμένης αντιγραφής των δεδομένων μέτρησης με αποτέλεσμα να λείπουν δεκαδικά ψηφία από τα αποτελέσματα. Μία τέτοια παράλειψη ψηφίων πιθανώς εξηγεί ορισμένες τιμές που έχει δώσει το **Εργαστήριο 13**, οι οποίες είναι έως και δύο τάξεις μεγέθους μεγαλύτερες από τις αντίστοιχες των υπόλοιπων εργαστηρίων και δεν μπορούν να αποδοθούν σε μεταβολή της εκπεμπόμενης ισχύος.

ΠΑΡΑΓΟΝΤΕΣ ΠΟΥ ΟΔΗΓΟΥΝ ΣΕ ΧΑΜΗΛΗ ΕΠΙΔΟΣΗ	ΚΩΔΙΚΟΣ ΕΡΓΑΣΤΗΡΙΟΥ									
	2	4	6	8	13	17	18	19	21	26
Εξοπλισμός	√	√	√	√				√	√	
Συμμόρφωση με τη διαδικασία	√			√				√		
Επεξεργασία αποτελεσμάτων		√				√	√			
Παρουσίαση αποτελεσμάτων										√
Σφάλματα χειριστή/συντάκτη της αναφοράς					√					

**Πίνακας 5.19: Ενδεικτική αντιστοίχιση των εργαστηρίων με μη ικανοποιητική επίδοση με πιθανές πηγές σφάλματος**

Στον πίνακα 5.6 φαίνεται συγκεντρωτικά μία αρχική αντιστοίχιση των εργαστηρίων με παράγοντες που υποβαθμίζουν την επίδοσή τους, όπως αυτοί προκύπτουν από την ανάλυση που προηγήθηκε. Η παραπάνω κατηγοριοποίηση δεν είναι δεσμευτική, πράγμα που σημαίνει ότι μπορεί σε κάποιο εργαστήριο να αποδοθούν και άλλες πηγές σφάλματος πέρα από αυτές που έχουν ήδη σημειωθεί, όπως ζητήματα συμμόρφωσης με τη διαδικασία ή επεξεργασίας των δεδομένων που δεν έγιναν αντιληπτά κατά τη διάρκεια των μετρήσεων ή δεν προκύπτουν άμεσα από τις αναφορές των αποτελεσμάτων. Δε θα πρέπει επίσης να ξεχνάμε, ότι σε όλες τις μετρήσεις υπεισέρχεται ο ανθρώπινος παράγοντας, δηλαδή η εξάρτηση του αποτελέσματος από τον τρόπο, με τον οποίο εκτελείται η μέτρηση από το χειριστή. Η περαιτέρω αναζήτηση παραγόντων που εισάγουν ανακρίβεια στις μετρήσεις και η επιλογή των ανάλογων διορθωτικών δράσεων είναι θέμα εσωτερικού ελέγχου του κάθε εργαστηρίου.

### 5.7.3 Παρατηρήσεις πάνω στο θεωρητικό πλαίσιο

- ο Το περιβάλλον διεξαγωγής των μετρήσεων είναι μη ελεγχόμενο, διότι υπάρχουν και πηγές που εκπέμπουν σε άλλες φασματικές περιοχές πέραν των σεναρίων μέτρησης. Επιπλέον, η ισχύς εκπομπής των σταθμών βάσης των κινητών επικοινωνιών μεταβάλλεται ανάλογα με την τηλεπικοινωνιακή κίνηση που πρέπει να εξυπηρετηθεί. Επομένως, το υπό μέτρηση ηλεκτρικό πεδίο παρουσιάζει χρονική μεταβλητότητα, κυρίως ως προς τις υπηρεσίες

κινητών επικοινωνιών, αλλά και σε μικρότερο βαθμό στις υπόλοιπες φασματικές περιοχές.

- Υπό αυτές τις συνθήκες δεν θα ήταν αξιόπιστη η απόρριψη απόμακρων τιμών με το στατιστικό τεστ του Grubbs, γεγονός που δικαιώνει την επιλογή του ανθεκτικού αλγορίθμου υπολογισμού των z scores.
- Η χρονική μεταβλητότητα της έντασης του πεδίου επηρεάζει ενδεχομένως ορισμένα z scores σε επιμέρους επίπεδα δοκιμών, ωστόσο είναι ένας παράγοντας, στον οποίο εκτίθενται όλα τα εργαστήρια σε όλη τη διάρκεια των μετρήσεων. Ειδικά στα σενάρια μέτρησης 1 και 2 οι μετρήσεις σε φασματικές περιοχές, όπως FM, VHF TV και TV UHF εξαλείφουν αυτό τον παράγοντα, διότι οι υπηρεσίες ραδιοφωνικών και τηλεοπτικών εκπομπών είναι πιο σταθερές χρονικά. Άρα, μπορούμε να θεωρήσουμε ότι οι αποκλίσεις που οφείλονται στη χρονική μεταβολή του μετρούμενου πεδίου εξισορροπούνται στα συγκεντρωτικά αποτελέσματα.
- Η μεταβολή του πεδίου έχει καταγραφεί και από το επιτελείο του οργανωτή του σχήματος, το οποίο καθ'όλη τη διάρκεια των δοκιμών κρατούσε ευρυζωνικές μετρήσεις του συνολικού ηλεκτρικού πεδίου. Διαπιστώθηκε ότι η αυξομείωση της έντασης του πεδίου δεν επηρεάζει σε σημαντικό βαθμό τις μετρήσεις. Αυτός είναι και ο βασικός λόγος για τον οποίο στα σενάρια μέτρησης 1 και 2 δεν προχωρήσαμε σε αναγωγή των μετρήσεων στην τηλεπικοινωνιακή κίνηση του κινητού σταθμού βάσης.
- Το γεγονός ότι σε όλες τις περιπτώσεις, εντοπίστηκαν προφανείς τεχνικές αιτίες για την μη ικανοποιητική επίδοση των εργαστηρίων αποδεικνύει την αποτελεσματικότητα και τη σωστή λειτουργία του σχήματος δοκιμών. Οι δείκτες επίδοσης επαλήθευσαν την επίδραση όλων εκείνων των παραγόντων που γνωρίζουμε εκ των προτέρων ότι υποβαθμίζουν την ποιότητα των μετρήσεων. Αυτό σημαίνει ότι κατά το σχεδιασμό της πειραματικής διαδικασίας και την εφαρμογή του στατιστικού αλγορίθμου έγιναν οι κατάλληλες επιλογές. Τέλος, λαμβάνοντας υπόψη ότι το όριο του 5% είναι αυστηρότερο από αντίστοιχα όρια που χρησιμοποιούνται στην πράξη, αναδείχθηκε η καταλληλότητά του ως ορίου αξιολόγησης και η αξιόπιστη θεωρητική του βάση, εφόσον σε όλα τα εργαστήρια που το υπερβαίνουν ανιχνεύθηκαν πηγές σφάλματος.

# ΚΕΦΑΛΑΙΟ 6

## Η ΕΠΟΜΕΝΗ ΜΕΡΑ

### 6.1 ΕΠΕΚΤΑΣΗ ΤΩΝ ΕΦΑΡΜΟΓΩΝ

Τα οφέλη που προκύπτουν για όλους τους εμπλεκόμενους φορείς επιβάλλουν τη συνέχιση της διεξαγωγής διεργασθριακών μετρήσεων ηλεκτρομαγνητικών πεδίων και την καθιέρωσή τους και στη χώρα μας ως της πλέον αξιόπιστης μεθόδου για το συνεχή έλεγχο της αξιοπιστίας των εργαστηρίων που δραστηριοποιούνται σε αυτό τον τομέα.

Όσον αφορά στις μετρήσεις χαμηλόσυχνων πεδίων που αναλύθηκαν στην παρούσα εργασία, πρόκειται για το πρώτο σχήμα δοκιμών που οργανώθηκε στο συγκεκριμένο πεδίο, καθώς δεν έχουν υπάρξει διαθέσιμα αντίστοιχα προγράμματα ούτε από ελληνικούς, αλλά ούτε και από διεθνείς φορείς. Επομένως, θα πρέπει η εν λόγω συγκριτική δοκιμή να αναλάβει μεγαλύτερη δημοσιότητα μέσω του ΕΣΥΔ, της Ελληνικής Ένωσης Εργαστηρίων (HELLASLAB), του τεχνικού Τύπου και σχετικών ιστοσελίδων, ώστε να συμμετάσχουν όχι μόνο τα διαπιστευμένα εργαστήρια, αλλά και όποια άλλη ομάδα επιθυμεί.

Η οργάνωση του σχήματος δοκιμών από κάποιον διαπιστευμένο φορέα που θα πληροί τις προδιαγραφές του ISO/IEC Guide 43-1 θα προσέδιδε ιδιαίτερο κύρος στο όλο εγχείρημα και θα μπορούσε να προσελκύσει συμμετοχές και από άλλες χώρες. Εναλλακτικά, θα μπορούσαν το ΕΜΠ ή η ΕΕΑΕ να εξετάσουν το ενδεχόμενο διαπίστευσής τους ως φορέων διεξαγωγής δοκιμών ικανότητας. Για να διασφαλισθεί η ποιότητα της συγκριτικής δοκιμής, απαιτείται η αναβάθμιση και η διακρίβωση του εξοπλισμού που χρησιμοποιείται από τον οργανωτή για τη διεξαγωγή του πειράματος. Το σχετικό κόστος μπορεί να επιμερισθεί στα συμμετέχοντα εργαστήρια μέσω της καταβολής ενός μικρού ποσού.

Το σχήμα δοκιμών των υψηλόσυχνων πεδίων αποτελεί με τη σειρά του το πρώτο στο είδος του εγχείρημα στην Ελλάδα, στο οποίο μάλιστα συμμετείχαν ορισμένοι από τους σημαντικότερους φορείς που διενεργούν μετρήσεις ηλεκτρομαγνητικών πεδίων.

Η αναγκαιότητα συνέχισής του επιβεβαιώνεται και από τα αποτελέσματα της αξιολόγησης των εργαστηρίων, καθώς το ένα τρίτο σχεδόν των ομάδων μέτρησης σημείωσε μη ικανοποιητική επίδοση που χρήζει διορθωτικών παρεμβάσεων, ενώ παράλληλα εντοπίστηκαν και μέθοδοι μέτρησης (όπως η χρήση αναλυτών φάσματος) που απαιτούν ιδιαίτερη προσοχή κατά την εφαρμογή τους. Το συγκεκριμένο διεργαστηριακό σχήμα αποτελεί στο σύνολό του ένα αποδοτικό εργαλείο, το οποίο δοκιμάστηκε υπό πραγματικές συνθήκες με ορισμένα δεδομένα που εξ αρχής έπασχαν και έδωσε τη σωστή απόκριση, καθώς ανέδειξε όλες εκείνες τις αναμενόμενες και τεχνικά εξηγήσιμες μη ικανοποιητικές επιδόσεις, χωρίς να επηρεαστεί η αξιολόγηση των υπόλοιπων εργαστηρίων.

## **6.2 ΠΡΟΤΑΣΕΙΣ ΒΕΛΤΙΩΣΗΣ ΤΗΣ ΠΕΙΡΑΜΑΤΙΚΗΣ ΔΙΑΔΙΚΑΣΙΑΣ**

Η συμμετοχή των εργαστηρίων ανά τακτά διαστήματα σε συγκριτικές μετρήσεις έχει θεσμοθετηθεί από το ΕΣΥΔ. Η ορθότητα της πειραματικής διαδικασίας που τίθεται από το συντονιστή είναι βασική προϋπόθεση για την αντικειμενική αξιολόγηση των εργαστηρίων. Βάσει της εμπειρίας από τις εφαρμογές που αναλύθηκαν στην παρούσα εργασία προκύπτουν ορισμένες προτάσεις για περαιτέρω βελτίωση των σχημάτων δοκιμών σε μελλοντική επανάληψή τους.

### **6.2.1 Εφαρμογή 1: Χαμηλές Συχνότητες**

Κατά τη διάρκεια των μετρήσεων του μαγνητικού πεδίου η ένταση του ρεύματος που διέρρεε τον αγωγό δεν ήταν σταθερή, διότι η διακύμανση της τάσης του δικτύου προκαλούσε διακύμανση και της τάσης τροφοδοσίας του μετασχηματιστή έντασης. Το πρόβλημα αυτό θα μπορούσε να ξεπεραστεί με την παρεμβολή ενός σταθεροποιητή τάσης ανάμεσα στην τροφοδοσία από το δίκτυο της ΔΕΗ και τον αυτομετασχηματιστή, όπως συμβαίνει και στην κυκλωματική διάταξη για τη μέτρηση του ηλεκτρικού πεδίου. Μία εναλλακτική λύση που δεν απαιτεί πρόσθετο εξοπλισμό θα ήταν η συνεχής καταγραφή του ρεύματος –και όχι μόνο στην αρχή και στο τέλος κάθε σειράς μετρήσεων σε διαφορετικό επίπεδο ρεύματος- ώστε να είναι δυνατή η αναγωγή των τιμών του μαγνητικού πεδίου που καταγράφει η κάθε ομάδα.

Ο μέγιστος χρόνος λειτουργίας του μετασχηματιστή εντάσεως είναι μόλις μία ώρα, γεγονός που περιορίζει σημαντικά τη διάρκεια των μετρήσεων και άρα και τον αριθμό των ομάδων μέτρησης που μπορούν να λάβουν μέρος. Εφόσον στο χώρο μέτρησης δεν υπάρχουν άλλες φασματικές συνιστώσες πέρα από τη συχνότητα των 50Hz και όπως διαπιστώθηκε τα broadband αποτελέσματα του μαγνητικού πεδίου είναι πολύ κοντά με τα αντίστοιχα band pass, σε επόμενο κύκλο δοκιμών μπορεί να διπλασιασθεί ο αριθμός των συμμετεχόντων εργαστηρίων επιλέγοντας μόνο μία από τις δύο μεθόδους μέτρησης (broadband ή band pass).

### **6.2.2 Εφαρμογή 2: Υψηλές Συχνότητες**

Σε αυτό το σχήμα δοκιμών οι μετρήσεις διεξήχθησαν στο περιβάλλον πραγματικών κεραιοδιατάξεων εκπομπής και άρα σε μη ελεγχόμενες συνθήκες. Αυτό δεν αποτελεί αναγκαστικά μειονέκτημα της μεθόδου, διότι σκοπός των διεργασηριακών μετρήσεων είναι η αξιολόγηση των εργαστηρίων ως προς τους ελέγχους ρουτίνας που εκτελούν και τα περιβάλλοντα, στα οποία καλούνται στην πράξη τα εργαστήρια να πραγματοποιήσουν μετρήσεις, είναι συνήθως τέτοιοι ανοιχτοί χώροι.

Άλλωστε η μέτρηση του ηλεκτρομαγνητικού πεδίου δε συγκαταλέγεται γενικά στις μετρήσεις που απαιτούν ιδιαίτερα μεγάλη ακρίβεια, αφενός διότι επηρεάζεται από πολλούς παράγοντες και αφετέρου, διότι στις περισσότερες εφαρμογές χρησιμοποιείται για τη σύγκριση με γενικά επίπεδα τιμών. Εάν, ωστόσο, κριθεί απαραίτητη η αύξηση της ακρίβειας και η εξισορρόπηση του παράγοντα της μεταβαλλόμενης ισχύος εκπομπής στις κινητές επικοινωνίες, είναι δυνατή η αναγωγή των μετρήσεων στην τηλεπικοινωνιακή κίνηση του σταθμού βάσης.

Η αυστηρότερη συμμόρφωση των εργαστηρίων με τις οδηγίες του συντονιστή, όχι μόνο ως προς τον τρόπο διενέργειας των μετρήσεων, αλλά κυρίως ως προς τον τρόπο παρουσίασης και τη μορφή των αποτελεσμάτων θα έδινε μεγαλύτερη ομοιογένεια στα δεδομένα.

Όσον αφορά στις παραδοχές που έχουν γίνει κατά την κατηγοριοποίηση των μετρήσεων, θα ήταν επιθυμητό να χρησιμοποιήσουν τα εργαστήρια κατά το



δυνατόν τα ίδια όρια στις επιμέρους φασματικές περιοχές, ώστε να είναι απόλυτα συγκρίσιμες οι ανάλογες μετρήσεις.

### **6.3 ΑΞΙΟΛΟΓΗΣΗ ΜΕΤΑΞΥ ΚΥΚΛΩΝ ΤΟΥ ΣΧΗΜΑΤΟΣ**

Κατά την επανάληψη των σχημάτων δοκιμών, που πραγματεύεται η εν λόγω εργασία, πέρα από τη βελτίωση της πειραματικής διαδικασίας, χρήζει εξέτασης και ο συνδυασμός των αποτελεσμάτων μεταξύ των διαφόρων κύκλων του σχήματος. Η αξιολόγηση των εργαστηρίων μεταξύ κύκλων του σχήματος αφορά τόσο στη συνολική επίδοση σε κάθε κύκλο όσο και στην επίδοση σε κάθε μεμονωμένο επίπεδο μέτρησης.

#### **6.3.1 Γραφική αναπαράσταση**

Η σύγκριση των αποτελεσμάτων ενός εργαστηρίου σε μία επιμέρους δοκιμή μεταξύ διαφορετικών κύκλων είναι αξιόπιστη, όταν οι χρησιμοποιηθείσες τυπικές αποκλίσεις είναι συγκρίσιμες μεταξύ τους. Η γραφική αναπαράσταση των z scores σε διάφορους κύκλους δοκιμών (Shewhart control chart for z-scores) δίνει μια εικόνα της χρονικής εξέλιξης της επίδοσης του εργαστηρίου στην εκάστοτε μέτρηση και αποτελεί κατάλληλο τρόπο αξιολόγησης σε περιπτώσεις μικρού αριθμού συμμετεχόντων εργαστηρίων και περιορισμένου αριθμού δοκιμών, όπως η εφαρμογή 1.

Για την εφαρμογή 2, όπου είναι πολύ μεγάλος ο αριθμός των επιμέρους δοκιμών, η ανωτέρω γραφική αναπαράσταση διευκολύνει την εξαγωγή συμπερασμάτων, όταν εφαρμοστεί μόνο στους συγκεντρωτικούς δείκτες επίδοσης.

#### **6.3.2 Συνδυαστικοί δείκτες επίδοσης**

##### **Τρέχουσα βαθμολογία**

Προκειμένου τα εργαστήρια να έχουν μια μέση εικόνα για την επίδοσή τους κατά τη διάρκεια ενός αριθμού κύκλων της δοκιμασίας μπορεί να υπολογιστεί για κάθε εργαστήριο ένας δείκτης που θα δηλώνει την τρέχουσα βαθμολογία του (running score).

Εάν χρησιμοποιούνται τα τετράγωνα των  $z$  ( $SSZ$ ), τότε η τρέχουσα βαθμολογία που καλύπτει την επίδοση του  $n$ -οστού τρέχοντος κύκλου και των  $k$  προηγούμενων υπολογίζεται από την παρακάτω σχέση:

$$RSSZ_n = \sum_{j=n-k}^n SSZ_j = \sum_{j=n-k}^n \sum_{i=1}^m z_{ij}^2 \quad (6.1)$$

Η σύγκριση των εργαστηρίων με βάση τις τρέχουσες βαθμολογίες  $RSSZ$  έχει ασφαλώς νόημα, μόνο εφόσον όλα τα εργαστήρια έχουν συμμετάσχει στον ίδιο αριθμό δοκιμών  $m$ , διότι εργαστήρια που έχουν δώσει περισσότερες μετρήσεις είναι αναμενόμενο να έχουν και μεγαλύτερα  $SSZ$ . Το πλεονέκτημα της χρήσης τρέχουσας βαθμολογίας είναι ότι περιπτώσεις χαμηλής επίδοσης στον τρέχοντα κύκλο μπορούν να εξομαλυνθούν από ικανοποιητικές επιδόσεις σε προηγούμενους κύκλους. Αυτή η αθροιστική αποτίμηση της επίδοσης αποτελεί ταυτόχρονα και μειονέκτημα, διότι μια μεμονωμένη σοβαρή αποτυχία θα έχει “επίδραση μνήμης” και θα επιμένει να εμφανίζεται μέχρι τους επόμενους  $(k+1)$  κύκλους.

### **Κατανομή των $\Sigma z^2$**

Η χρήση τρέχουσας βαθμολογίας έχει ως πιθανό αποτέλεσμα ένα εργαστήριο να εμφανίζεται ως χαμηλής επίδοσης ακόμα και αφότου έχει κάνει τις απαραίτητες διορθωτικές κινήσεις. Για να αποφύγουμε κάτι τέτοιο, θα μπορούσαμε να αξιολογήσουμε τα εργαστήρια βάσει της κατανομής των συγκεντρωτικών δεικτών επίδοσης ( $\Sigma|z|$  ή  $\Sigma z^2$ ) κατ’ αντιστοιχία προς την αξιολόγηση εντός ενός κύκλου δοκιμών βάσει της κανονικής κατανομής που ακολουθούν τα  $z$  scores. Η κατανομή που ακολουθούν οι βαθμοί  $\Sigma|z|$  είναι περίπλοκη και δε συνιστάται η χρήση τους, ενώ οι βαθμοί  $\Sigma z^2$  είναι πιο βολικοί από μαθηματικής πλευράς και προτιμούνται στις στατιστικές αναλύσεις.

Αναλυτικότερα, εφόσον οι βαθμοί  $z$  εντός ενός κύκλου δοκιμών είναι ανεξάρτητοι και ακολουθούν την κανονική κατανομή  $N(0, 1)$ , το άθροισμα των τετραγώνων τους ακολουθεί την τετραγωνική κατανομή (κατανομή  $\chi^2$ ) με  $m$  βαθμούς ελευθερίας για ένα καλώς συμπεριφερόμενο εργαστήριο, όπου  $m$  το πλήθος των μετρήσεων, στις οποίες έχει λάβει μέρος το εργαστήριο στον κύκλο. Θεωρητικά, λοιπόν, θα μπορούσαμε να προσδιορίσουμε από την καμπύλη πυκνότητας πιθανότητας  $\chi^2$ , μία τιμή την οποία αναμένεται να υπερβαίνει η

μεταβλητή  $\Sigma z^2$  σε ένα επιθυμητό ποσοστό των κύκλων δοκιμών (σε αντιστοιχία του 5% των μετρήσεων στις οποίες ένα καλώς συμπεριφερόμενο εργαστήριο λαμβάνει  $|z| > 2$ ).

Κατά την εφαρμογή αυτής της ανάλυσης θα πρέπει να δοθεί ιδιαίτερη σημασία σε ορισμένα σημεία. Ο κυριότερος περιορισμός είναι η απαίτηση κάθε εργαστήριο να συμμετέχει σε όλους τους κύκλους στον ίδιο αριθμό επιμέρους δοκιμών  $m$ . Εάν αλλάζει ο αριθμός αυτός από κύκλο σε κύκλο, τότε το εργαστήριο ακολουθεί σε κάθε κύκλο διαφορετική κατανομή  $\chi^2$  κι έτσι δεν είναι δυνατή η σύγκριση των επιμέρους  $\Sigma z^2$ .

Στην πράξη είναι πολύ δύσκολο να διατηρηθεί ίδιο το πλήθος των μετρήσεων που δίνει κάθε εργαστήριο σε κάθε κύκλο του σχήματος, είτε λόγω μελλοντικών αλλαγών στα ίδια τα στάδια της πειραματικής διαδικασίας κατόπιν απόφασης του οργανωτή είτε λόγω χρήσης διαφορετικού οργάνου/μεθόδου μέτρησης από πλευράς του εργαστηρίου. Μία σκέψη θα ήταν η αξιολόγηση βάσει του ελάχιστου κοινού πλήθους των επιπέδων δοκιμής στα οποία συμμετέχει το εκάστοτε εργαστήριο σε όλους τους κύκλους του σχήματος. Αυτό όμως συνεπάγεται εξαίρεση ορισμένων μετρήσεων από τη διαμόρφωση του συνδυαστικού δείκτη σε κάθε κύκλο κι έτσι η αξιολόγηση δεν είναι πλήρης.

Επιπλέον, ακόμα και αν τηρείται η παραπάνω προϋπόθεση για ίδιο πλήθος μετρήσεων  $m$  ανά κύκλο του σχήματος, το πλήθος αυτό διαφέρει από εργαστήριο σε εργαστήριο εντός ενός κύκλου δοκιμών. Συνεπώς, προκύπτουν για κάθε εργαστήριο διαφορετικές κατανομές  $\chi^2$ . Αυτό σημαίνει ότι –για ένα σταθερό ποσοστό υπέρβασης της οριακής τιμής– θα πρέπει για κάθε εργαστήριο να προσδιοριστούν διαφορετικές οριακές τιμές για την αξιολόγηση των δεικτών  $\Sigma z^2$ . Το ποσοστό υπέρβασης θα πρέπει πιθανώς να επιλεγεί κατόπιν συμφωνίας με τα συμμετέχοντα εργαστήρια, διότι δεν πρόκειται για κάποια προτυποποιημένη τιμή.

### **6.3.3 Προτεινόμενη μέθοδος**

Από όλα τα παραπάνω συμπεραίνουμε ότι η χρήση των συνδυαστικών δεικτών επίδοσης δεν ενδείκνυται για σχήματα δοκιμών, όπως η εφαρμογή των υψηλών συχνοτήτων, όπου ποικίλλει το πλήθος των επιμέρους επιπέδων δοκιμής ανά εργαστήριο και ανά κύκλο.

Για την απλούστερη και αποτελεσματικότερη αξιολόγηση των εργαστηρίων μεταξύ κύκλων του σχήματος είναι προτιμότερη η γραφική απεικόνιση για κάθε εργαστήριο της χρονικής εξέλιξης του ποσοστού των μετρήσεων του που έχουν βαθμολογηθεί με  $|z| > 2$  εντός κάθε κύκλου δοκιμών. Η μέθοδος αυτή δεν επηρεάζεται από τυχόν αλλαγές στη δομή του σχήματος δοκιμών, ενώ παρέχει σημαντική δυνατότητα σύγκρισης της επίδοσης ακόμα και σε πολύ μικρό αριθμό κύκλων του σχήματος, σε αντίθεση με τις υπόλοιπες μεθόδους (τρέχουσα βαθμολογία, συνδυαστικοί δείκτες επίδοσης), οι οποίες έχουν νόημα κυρίως για σχετικά μεγάλο αριθμό εκτελεσθέντων κύκλων του σχήματος.

**ΠΑΡΑΡΤΗΜΑ**  
**ΠΙΝΑΚΕΣ ΥΠΟΛΟΓΙΣΜΟΥ Z SCORES**  
**ΓΙΑ ΤΗΝ ΕΦΑΡΜΟΓΗ 2**

Πίνακας Π.1 Συνολικός λόγος έκθεσης: Σενάριο μέτρησης 1, Θέση μέτρησης 1

Number of laboratories=		23						
Iteration	0	xi-x*	1	2	3	4	Z-Score	Z-Score αύξουσα σειρά
$\delta=1.5s^*$	-		<b>0.001576</b>	<b>0.001676</b>	<b>0.001724</b>	<b>0.001743</b>		
$x^*-\delta$	-		<b>0.001050</b>	<b>0.000939</b>	<b>0.000898</b>	<b>0.000882</b>		
$x^*+\delta$	-		<b>0.004202</b>	<b>0.004292</b>	<b>0.004346</b>	<b>0.004369</b>		
Lab 2	0.001510	0.001116	0.001510	0.001510	0.001510	0.001510	-0.956	Lab 15 -1.564
Lab 3	0.002098	0.000528	0.002098	0.002098	0.002098	0.002098	-0.453	Lab 11 -1.222
Lab 4	0.003576	0.000950	0.003576	0.003576	0.003576	0.003576	0.813	Lab 14 -1.222
Lab 6	0.002400	0.000226	0.002400	0.002400	0.002400	0.002400	-0.194	Lab 2 -0.956
Lab 7	0.003582	0.000956	0.003582	0.003582	0.003582	0.003582	0.818	Lab 18 -0.860
Lab 8	<b>0.005370</b>	0.002744	0.004202	0.004292	0.004346	0.004369	<b>2.350</b>	Lab 30 -0.607
Lab 9	0.002192	0.000434	0.002192	0.002192	0.002192	0.002192	-0.372	Lab 3 -0.453
Lab 10	0.002200	0.000426	0.002200	0.002200	0.002200	0.002200	-0.365	Lab 23 -0.442
Lab 11	0.001200	0.001426	0.001200	0.001200	0.001200	0.001200	-1.222	Lab 9 -0.372
Lab 12	0.003120	0.000494	0.003120	0.003120	0.003120	0.003120	0.423	Lab 10 -0.365
Lab 13	0.003200	0.000574	0.003200	0.003200	0.003200	0.003200	0.491	Lab 6 -0.194
Lab 14	0.001200	0.001426	0.001200	0.001200	0.001200	0.001200	-1.222	Lab 24 0.000
Lab 15	0.000800	0.001826	0.001050	0.000939	0.000898	0.000882	-1.564	Lab 16 0.062
Lab 16	0.002699	0.000073	0.002699	0.002699	0.002699	0.002699	0.062	Lab 17 0.103
Lab 17	0.002746	0.000120	0.002746	0.002746	0.002746	0.002746	0.103	Lab 22 0.123
Lab 18	0.001623	0.001003	0.001623	0.001623	0.001623	0.001623	-0.860	Lab 12 0.423
Lab 19	<b>0.009070</b>	0.006444	0.004202	0.004292	0.004346	0.004369	<b>5.519</b>	Lab 13 0.491
Lab 20	0.004290	0.001664	0.004202	0.004290	0.004290	0.004290	1.425	Lab 4 0.813
Lab 21	0.003730	0.001104	0.003730	0.003730	0.003730	0.003730	0.945	Lab 7 0.818
Lab 22	0.002770	0.000144	0.002770	0.002770	0.002770	0.002770	0.123	Lab 21 0.945
Lab 23	0.002110	0.000516	0.002110	0.002110	0.002110	0.002110	-0.442	Lab 20 1.425
Lab 24	0.002626	0.000000	0.002626	0.002626	0.002626	0.002626	0.000	Lab 8 2.350
Lab 30	0.001918	0.000708	0.001918	0.001918	0.001918	0.001918	-0.607	Lab 19 5.519
Average	<b>0.002871</b>		<b>0.002615</b>	<b>0.002622</b>	<b>0.002625</b>	<b>0.002626</b>		
SD	<b>0.001722</b>	<b>0.001342</b>	<b>0.000985</b>	<b>0.001014</b>	<b>0.001025</b>	<b>0.001030</b>		
New x*	<b>0.002626</b>	<b>0.000708</b>	<b>0.002615</b>	<b>0.002622</b>	<b>0.002625</b>	<b>0.002626</b>		
New s*	<b>0.001050</b>		<b>0.001117</b>	<b>0.001149</b>	<b>0.001162</b>	<b>0.001168</b>	<b>1.134*SD</b>	

Πίνακας Π.2 Συνολικός λόγος έκθεσης: Σενάριο μέτρησης 1, Θέση μέτρησης 2

Number of laboratories=		24										
Iteration	0	$\chi_i - x^*$	1	2	3	4	5	6	Z-Score	Z-Score	Z-Score	
$\bar{\delta} = 1.5s^*$	-		<b>0.001500</b>	<b>0.001413</b>	<b>0.001429</b>	<b>0.001434</b>	<b>0.001436</b>	<b>0.001437</b>				
$x^* - \bar{\delta}$	-		<b>-0.000210</b>	<b>0.000032</b>	<b>0.000021</b>	<b>0.000018</b>	<b>0.000016</b>	<b>0.000016</b>				
$x^* + \bar{\delta}$	-		<b>0.002791</b>	<b>0.002857</b>	<b>0.002879</b>	<b>0.002886</b>	<b>0.002889</b>	<b>0.002889</b>				
Lab 2	0.000619	0.000672	0.000619	0.000619	0.000619	0.000619	0.000619	0.000619	-0.870	Lab 23	-1.310	
Lab 3	0.000919	0.000372	0.000919	0.000919	0.000919	0.000919	0.000919	0.000919	-0.558	Lab 12	-1.039	
<b>Lab 4</b>	<b>0.004210</b>	0.002919	0.002791	0.002857	0.002879	0.002886	0.002889	0.002889	<b>2.878</b>	Lab 15	-0.890	
Lab 6	0.002100	0.000809	0.002100	0.002100	0.002100	0.002100	0.002100	0.002100	0.676	Lab 17	-0.873	
Lab 7	0.002452	0.001161	0.002452	0.002452	0.002452	0.002452	0.002452	0.002452	1.043	Lab 24	-0.873	
Lab 8	0.002630	0.001339	0.002630	0.002630	0.002630	0.002630	0.002630	0.002630	1.229	Lab 2	-0.870	
Lab 9	0.000925	0.000366	0.000925	0.000925	0.000925	0.000925	0.000925	0.000925	-0.551	Lab 14	-0.577	
Lab 10	0.001550	0.000259	0.001550	0.001550	0.001550	0.001550	0.001550	0.001550	0.101	Lab 18	-0.575	
Lab 11	0.001100	0.000191	0.001100	0.001100	0.001100	0.001100	0.001100	0.001100	-0.368	Lab 3	-0.558	
Lab 12	0.000457	0.000834	0.000457	0.000457	0.000457	0.000457	0.000457	0.000457	-1.039	Lab 9	-0.551	
Lab 13	0.002500	0.001209	0.002500	0.002500	0.002500	0.002500	0.002500	0.002500	1.093	Lab 11	-0.368	
Lab 14	0.000900	0.000391	0.000900	0.000900	0.000900	0.000900	0.000900	0.000900	-0.577	Lab 16	-0.273	
Lab 15	0.000600	0.000691	0.000600	0.000600	0.000600	0.000600	0.000600	0.000600	-0.890	Lab 22	-0.066	
Lab 16	0.001191	0.000099	0.001191	0.001191	0.001191	0.001191	0.001191	0.001191	-0.273	Lab 30	-0.053	
Lab 17	0.000616	0.000674	0.000616	0.000616	0.000616	0.000616	0.000616	0.000616	-0.873	Lab 21	-0.034	
Lab 18	0.000902	0.000388	0.000902	0.000902	0.000902	0.000902	0.000902	0.000902	-0.575	Lab 10	0.101	
<b>Lab 19</b>	<b>0.005751</b>	0.004460	0.002791	0.002857	0.002879	0.002886	0.002889	0.002889	<b>4.487</b>	Lab 29	0.571	
Lab 20	0.002600	0.001309	0.002600	0.002600	0.002600	0.002600	0.002600	0.002600	1.198	Lab 6	0.676	
Lab 21	0.001420	0.000129	0.001420	0.001420	0.001420	0.001420	0.001420	0.001420	-0.034	Lab 7	1.043	
Lab 22	0.001390	0.000099	0.001390	0.001390	0.001390	0.001390	0.001390	0.001390	-0.066	Lab 13	1.093	
Lab 23	0.000198	0.001093	0.000198	0.000198	0.000198	0.000198	0.000198	0.000198	-1.310	Lab 20	1.198	
Lab 24	0.000616	0.000674	0.000616	0.000616	0.000616	0.000616	0.000616	0.000616	-0.873	Lab 8	1.229	
Lab 29	0.002000	0.000709	0.002000	0.002000	0.002000	0.002000	0.002000	0.002000	0.571	<b>Lab 4</b>	<b>2.878</b>	
Lab 30	0.001402	0.000112	0.001402	0.001402	0.001402	0.001402	0.001402	0.001402	-0.053	<b>Lab 19</b>	<b>4.487</b>	
Average	<b>0.001627</b>		<b>0.001445</b>	<b>0.001450</b>	<b>0.001452</b>	<b>0.001453</b>	<b>0.001453</b>	<b>0.001453</b>				
SD	<b>0.001279</b>	<b>0.000979</b>	<b>0.000831</b>	<b>0.000840</b>	<b>0.000843</b>	<b>0.000844</b>	<b>0.000845</b>	<b>0.000845</b>				
New $x^*$	<b>0.001291</b>	<b>0.000674</b>	<b>0.001445</b>	<b>0.001450</b>	<b>0.001452</b>	<b>0.001453</b>	<b>0.001453</b>	<b>0.001453</b>				
New $s^*$	<b>0.001000</b>		<b>0.000942</b>	<b>0.000953</b>	<b>0.000956</b>	<b>0.000957</b>	<b>0.000958</b>	<b>0.000958</b>	<b>1.134*SD</b>			

Πίνακας Π.3 Συνολικός λόγος έκθεσης: Σενάριο μέτρησης 1, Θέση μέτρησης 3

Number of laboratories=		23									Z-Score	Z-Score	
Iteration	0	$\bar{x}_i - x^*$	1	2	3	4	5	6	7	8		αύξουσα	σειρά
$\bar{\delta} = 1.5s^*$	-		<b>0.002425</b>	<b>0.002703</b>	<b>0.002912</b>	<b>0.003040</b>	<b>0.003105</b>	<b>0.003138</b>	<b>0.003156</b>	<b>0.003165</b>			
$x^* - \bar{\delta}$	-		<b>0.001575</b>	<b>0.001295</b>	<b>0.001076</b>	<b>0.000938</b>	<b>0.000871</b>	<b>0.000837</b>	<b>0.000820</b>	<b>0.000811</b>			
$x^* + \bar{\delta}$	-		<b>0.006425</b>	<b>0.006702</b>	<b>0.006900</b>	<b>0.007017</b>	<b>0.007081</b>	<b>0.007114</b>	<b>0.007131</b>	<b>0.007141</b>			
Lab 2	0.001420	0.002580	0.001575	0.001420	0.001420	0.001420	0.001420	0.001420	0.001420	0.001420	-1.209	Lab 17	-1.709
Lab 3	0.005059	0.001059	0.005059	0.005059	0.005059	0.005059	0.005059	0.005059	0.005059	0.005059	0.513	Lab 15	-1.503
Lab 4	0.007515	0.003515	0.006425	0.006702	0.006900	0.007017	0.007081	0.007114	0.007131	0.007141	1.675	Lab 14	-1.361
Lab 6	0.004500	0.000500	0.004500	0.004500	0.004500	0.004500	0.004500	0.004500	0.004500	0.004500	0.248	Lab 2	-1.209
Lab 7	0.003523	0.000477	0.003523	0.003523	0.003523	0.003523	0.003523	0.003523	0.003523	0.003523	-0.214	Lab 11	-1.030
Lab 8	0.006620	0.002620	0.006425	0.006620	0.006620	0.006620	0.006620	0.006620	0.006620	0.006620	1.251	Lab 23	-0.514
Lab 9	0.004220	0.000220	0.004220	0.004220	0.004220	0.004220	0.004220	0.004220	0.004220	0.004220	0.116	Lab 7	-0.214
Lab 10	0.004200	0.000200	0.004200	0.004200	0.004200	0.004200	0.004200	0.004200	0.004200	0.004200	0.106	Lab 30	-0.169
Lab 11	0.001800	0.002200	0.001800	0.001800	0.001800	0.001800	0.001800	0.001800	0.001800	0.001800	-1.030	Lab 21	0.007
Lab 12	0.004420	0.000420	0.004420	0.004420	0.004420	0.004420	0.004420	0.004420	0.004420	0.004420	0.210	Lab 24	0.009
Lab 13	0.004000	0.000000	0.004000	0.004000	0.004000	0.004000	0.004000	0.004000	0.004000	0.004000	0.012	Lab 13	0.012
Lab 14	0.001100	0.002900	0.001575	0.001295	0.001100	0.001100	0.001100	0.001100	0.001100	0.001100	-1.361	Lab 29	0.012
Lab 15	0.000800	0.003200	0.001575	0.001295	0.001076	0.000938	0.000871	0.000837	0.000820	0.000811	-1.503	Lab 10	0.106
Lab 16	0.005123	0.001123	0.005123	0.005123	0.005123	0.005123	0.005123	0.005123	0.005123	0.005123	0.543	Lab 9	0.116
Lab 17	0.000364	0.003636	0.001575	0.001295	0.001076	0.000938	0.000871	0.000837	0.000820	0.000811	-1.709	Lab 12	0.210
Lab 19	<b>0.018318</b>	0.014318	0.006425	0.006702	0.006900	0.007017	0.007081	0.007114	0.007131	0.007141	<b>6.787</b>	Lab 6	0.248
Lab 20	0.005970	0.001970	0.005970	0.005970	0.005970	0.005970	0.005970	0.005970	0.005970	0.005970	0.944	Lab 3	0.513
Lab 21	0.003990	0.000010	0.003990	0.003990	0.003990	0.003990	0.003990	0.003990	0.003990	0.003990	0.007	Lab 22	0.527
Lab 22	0.005090	0.001090	0.005090	0.005090	0.005090	0.005090	0.005090	0.005090	0.005090	0.005090	0.527	Lab 16	0.543
Lab 23	0.002890	0.001110	0.002890	0.002890	0.002890	0.002890	0.002890	0.002890	0.002890	0.002890	-0.514	Lab 20	0.944
Lab 24	0.003994	0.000006	0.003994	0.003994	0.003994	0.003994	0.003994	0.003994	0.003994	0.003994	0.009	Lab 8	1.251
Lab 29	0.004000	0.000000	0.004000	0.004000	0.004000	0.004000	0.004000	0.004000	0.004000	0.004000	0.012	Lab 4	1.675
Lab 30	0.003618	0.000382	0.003618	0.003618	0.003618	0.003618	0.003618	0.003618	0.003618	0.003618	-0.169	Lab 19	<b>6.787</b>
Average	<b>0.004458</b>		<b>0.003999</b>	<b>0.003988</b>	<b>0.003978</b>	<b>0.003976</b>	<b>0.003976</b>	<b>0.003976</b>	<b>0.003976</b>	<b>0.003976</b>			
SD	<b>0.003518</b>	<b>0.002975</b>	<b>0.001589</b>	<b>0.001712</b>	<b>0.001787</b>	<b>0.001825</b>	<b>0.001845</b>	<b>0.001855</b>	<b>0.001861</b>	<b>0.001864</b>			
New $x^*$	<b>0.004000</b>	<b>0.001090</b>	<b>0.003999</b>	<b>0.003988</b>	<b>0.003978</b>	<b>0.003976</b>	<b>0.003976</b>	<b>0.003976</b>	<b>0.003976</b>	<b>0.003976</b>			
New $s^*$	<b>0.001616</b>		<b>0.001802</b>	<b>0.001941</b>	<b>0.002026</b>	<b>0.002070</b>	<b>0.002092</b>	<b>0.002104</b>	<b>0.002110</b>	<b>0.002113</b>	1.134*SD		



Πίνακας Π.4 Συνολικός λόγος έκθεσης: Σενάριο μέτρησης 2, Θέση μέτρησης 1

Number of laboratories=		23													
Iteration	0	xi-x*	1	2	3	4	5	6	7	8	9	10	11	Z-Score	Z-Score
$\bar{\delta}=1.5s^*$	-		<b>0.00164</b>	<b>0.00169</b>	<b>0.00187</b>	<b>0.00201</b>	<b>0.00213</b>	<b>0.00223</b>	<b>0.00230</b>	<b>0.00234</b>	<b>0.00236</b>	<b>0.00237</b>	<b>0.00238</b>		
$x^*-\bar{\delta}$	-		<b>-0.00030</b>	<b>-0.00009</b>	<b>-0.00020</b>	<b>-0.00029</b>	<b>-0.00037</b>	<b>-0.00043</b>	<b>-0.00048</b>	<b>-0.00050</b>	<b>-0.00052</b>	<b>-0.00052</b>	<b>-0.00053</b>		
$x^*+\bar{\delta}$	-		<b>0.00297</b>	<b>0.00329</b>	<b>0.00354</b>	<b>0.00373</b>	<b>0.00390</b>	<b>0.00403</b>	<b>0.00413</b>	<b>0.00418</b>	<b>0.00421</b>	<b>0.00422</b>	<b>0.00423</b>		
Lab 2	0.00042	0.00092	0.00042	0.00042	0.00042	0.00042	0.00042	0.00042	0.00042	0.00042	0.00042	0.00042	0.00042	-0.902	Lab 18 -1.133
Lab 4	0.00183	0.00049	0.00183	0.00183	0.00183	0.00183	0.00183	0.00183	0.00183	0.00183	0.00183	0.00183	0.00183	-0.013	Lab 15 -0.914
Lab 6	0.00240	0.00106	0.00240	0.00240	0.00240	0.00240	0.00240	0.00240	0.00240	0.00240	0.00240	0.00240	0.00240	0.346	Lab 2 -0.902
Lab 7	0.00150	0.00016	0.00150	0.00150	0.00150	0.00150	0.00150	0.00150	0.00150	0.00150	0.00150	0.00150	0.00150	-0.222	Lab 11 -0.788
Lab 8	<b>0.00530</b>	0.00396	0.00297	0.00329	0.00354	0.00373	0.00390	0.00403	0.00413	0.00418	0.00421	0.00422	0.00423	<b>2.173</b>	Lab 14 -0.788
Lab 9	0.00099	0.00035	0.00099	0.00099	0.00099	0.00099	0.00099	0.00099	0.00099	0.00099	0.00099	0.00099	0.00099	-0.544	Lab 30 -0.734
Lab 10	0.00130	0.00004	0.00130	0.00130	0.00130	0.00130	0.00130	0.00130	0.00130	0.00130	0.00130	0.00130	0.00130	-0.347	Lab 12 -0.590
Lab 11	0.00060	0.00074	0.00060	0.00060	0.00060	0.00060	0.00060	0.00060	0.00060	0.00060	0.00060	0.00060	0.00060	-0.788	Lab 9 -0.544
Lab 12	0.00092	0.00042	0.00092	0.00092	0.00092	0.00092	0.00092	0.00092	0.00092	0.00092	0.00092	0.00092	0.00092	-0.590	Lab 26 -0.473
Lab 13	0.00230	0.00096	0.00230	0.00230	0.00230	0.00230	0.00230	0.00230	0.00230	0.00230	0.00230	0.00230	0.00230	0.283	Lab 27 -0.410
Lab 14	0.00060	0.00074	0.00060	0.00060	0.00060	0.00060	0.00060	0.00060	0.00060	0.00060	0.00060	0.00060	0.00060	-0.788	Lab 10 -0.347
Lab 15	0.00040	0.00094	0.00040	0.00040	0.00040	0.00040	0.00040	0.00040	0.00040	0.00040	0.00040	0.00040	0.00040	-0.914	Lab 16 -0.325
Lab 16	0.00134	0.00000	0.00134	0.00134	0.00134	0.00134	0.00134	0.00134	0.00134	0.00134	0.00134	0.00134	0.00134	-0.325	Lab 28 -0.287
Lab 18	0.00005	0.00128	0.00005	0.00005	0.00005	0.00005	0.00005	0.00005	0.00005	0.00005	0.00005	0.00005	0.00005	-1.133	Lab 7 -0.222
Lab 20	<b>0.00597</b>	0.00463	0.00297	0.00329	0.00354	0.00373	0.00390	0.00403	0.00413	0.00418	0.00421	0.00422	0.00423	<b>2.595</b>	Lab 4 -0.013
Lab 21	0.00399	0.00265	0.00297	0.00329	0.00354	0.00373	0.00390	0.00399	0.00399	0.00399	0.00399	0.00399	0.00399	1.348	Lab 13 0.283
Lab 22	<b>0.00509</b>	0.00375	0.00297	0.00329	0.00354	0.00373	0.00390	0.00403	0.00413	0.00418	0.00421	0.00422	0.00423	<b>2.041</b>	Lab 6 0.346
Lab 23	0.00289	0.00155	0.00289	0.00289	0.00289	0.00289	0.00289	0.00289	0.00289	0.00289	0.00289	0.00289	0.00289	0.655	Lab 23 0.655
Lab 24	0.00399	0.00266	0.00297	0.00329	0.00354	0.00373	0.00390	0.00399	0.00399	0.00399	0.00399	0.00399	0.00399	1.350	Lab 21 1.348
Lab 26	0.00110	0.00024	0.00110	0.00110	0.00110	0.00110	0.00110	0.00110	0.00110	0.00110	0.00110	0.00110	0.00110	-0.473	Lab 24 1.350
Lab 27	0.00120	0.00014	0.00120	0.00120	0.00120	0.00120	0.00120	0.00120	0.00120	0.00120	0.00120	0.00120	0.00120	-0.410	Lab 22 2.041
Lab 28	0.00140	0.00006	0.00140	0.00140	0.00140	0.00140	0.00140	0.00140	0.00140	0.00140	0.00140	0.00140	0.00140	-0.287	Lab 8 2.173
Lab 30	0.00069	0.00065	0.00069	0.00069	0.00069	0.00069	0.00069	0.00069	0.00069	0.00069	0.00069	0.00069	0.00069	-0.734	Lab 20 2.595
Average	<b>0.00201</b>		<b>0.00160</b>	<b>0.00167</b>	<b>0.00172</b>	<b>0.00176</b>	<b>0.00180</b>	<b>0.00183</b>	<b>0.00184</b>	<b>0.00184</b>	<b>0.00185</b>	<b>0.00185</b>	<b>0.00185</b>		
SD	<b>0.00172</b>	<b>0.00135</b>	<b>0.00099</b>	<b>0.00110</b>	<b>0.00118</b>	<b>0.00125</b>	<b>0.00131</b>	<b>0.00135</b>	<b>0.00138</b>	<b>0.00139</b>	<b>0.00139</b>	<b>0.00140</b>	<b>0.00140</b>		
New $x^*$	<b>0.00134</b>	<b>0.00074</b>	<b>0.00160</b>	<b>0.00167</b>	<b>0.00172</b>	<b>0.00176</b>	<b>0.00180</b>	<b>0.00183</b>	<b>0.00184</b>	<b>0.00184</b>	<b>0.00185</b>	<b>0.00185</b>	<b>0.00185</b>		
New $s^*$	<b>0.00109</b>		<b>0.00113</b>	<b>0.00125</b>	<b>0.00134</b>	<b>0.00142</b>	<b>0.00149</b>	<b>0.00154</b>	<b>0.00156</b>	<b>0.00157</b>	<b>0.00158</b>	<b>0.00159</b>	<b>0.00159</b>	1.134*SD	

Πίνακας Π.5 Συνολικός λόγος έκθεσης: Σενάριο μέτρησης 2, Θέση μέτρησης 2

Number of laboratories=		23						Z-Score	Z-Score
Iteration	0	xi-x*	1	2	3	4	5		αύξουσα σειρά
$\bar{\delta}=1.5s^*$	-		<b>0.000525</b>	<b>0.000479</b>	<b>0.000467</b>	<b>0.000462</b>	<b>0.000461</b>		
$x^*-\bar{\delta}$	-		<b>0.000062</b>	<b>0.000160</b>	<b>0.000177</b>	<b>0.000182</b>	<b>0.000183</b>		
$x^*+\bar{\delta}$	-		<b>0.001112</b>	<b>0.001119</b>	<b>0.001111</b>	<b>0.001106</b>	<b>0.001104</b>		
Lab 2	0.000277	0.000310	0.000277	0.000277	0.000277	0.000277	0.000277	-1.197	Lab 18 -1.995
Lab 4	0.000777	0.000190	0.000777	0.000777	0.000777	0.000777	0.000777	0.434	Lab 2 -1.197
Lab 6	<b>0.001900</b>	0.001313	0.001112	0.001119	0.001111	0.001106	0.001104	<b>4.098</b>	Lab 23 -1.151
Lab 7	0.000830	0.000243	0.000830	0.000830	0.000830	0.000830	0.000830	0.607	Lab 11 -1.122
Lab 8	<b>0.001760</b>	0.001173	0.001112	0.001119	0.001111	0.001106	0.001104	<b>3.641</b>	Lab 24 -0.726
Lab 9	0.000422	0.000165	0.000422	0.000422	0.000422	0.000422	0.000422	-0.724	Lab 9 -0.724
Lab 10	0.000560	0.000027	0.000560	0.000560	0.000560	0.000560	0.000560	-0.273	Lab 20 -0.684
Lab 11	0.000300	0.000287	0.000300	0.000300	0.000300	0.000300	0.000300	-1.122	Lab 30 -0.387
Lab 12	0.000558	0.000029	0.000558	0.000558	0.000558	0.000558	0.000558	-0.280	Lab 12 -0.280
Lab 13	0.001000	0.000413	0.001000	0.001000	0.001000	0.001000	0.001000	1.162	Lab 22 -0.280
Lab 14	0.000900	0.000313	0.000900	0.000900	0.000900	0.000900	0.000900	0.836	Lab 10 -0.273
Lab 15	0.000600	0.000013	0.000600	0.000600	0.000600	0.000600	0.000600	-0.143	Lab 16 -0.186
Lab 16	0.000587	0.000000	0.000587	0.000587	0.000587	0.000587	0.000587	-0.186	Lab 15 -0.143
Lab 18	<b>0.000032</b>	0.000555	0.000062	0.000160	0.000177	0.000182	0.000183	<b>-1.995</b>	Lab 4 0.434
Lab 20	0.000434	0.000153	0.000434	0.000434	0.000434	0.000434	0.000434	-0.684	Lab 27 0.510
Lab 21	0.000852	0.000265	0.000852	0.000852	0.000852	0.000852	0.000852	0.679	Lab 28 0.584
Lab 22	0.000558	0.000029	0.000558	0.000558	0.000558	0.000558	0.000558	-0.280	Lab 7 0.607
Lab 23	0.000291	0.000296	0.000291	0.000291	0.000291	0.000291	0.000291	-1.151	Lab 21 0.679
Lab 24	0.000421	0.000166	0.000421	0.000421	0.000421	0.000421	0.000421	-0.726	Lab 14 0.836
Lab 26	0.000900	0.000313	0.000900	0.000900	0.000900	0.000900	0.000900	0.836	Lab 26 0.836
Lab 27	0.000800	0.000213	0.000800	0.000800	0.000800	0.000800	0.000800	0.510	Lab 13 1.162
Lab 28	0.000823	0.000236	0.000823	0.000823	0.000823	0.000823	0.000823	0.584	Lab 8 3.641
Lab 30	0.000525	0.000062	0.000525	0.000525	0.000525	0.000525	0.000525	-0.387	Lab 6 4.098
Average	<b>0.000700</b>		<b>0.000639</b>	<b>0.000644</b>	<b>0.000644</b>	<b>0.000644</b>	<b>0.000644</b>		
SD	<b>0.000431</b>	<b>0.000330</b>	<b>0.000282</b>	<b>0.000274</b>	<b>0.000272</b>	<b>0.000271</b>	<b>0.000270</b>		
New x*	<b>0.000587</b>	<b>0.000236</b>	<b>0.000639</b>	<b>0.000644</b>	<b>0.000644</b>	<b>0.000644</b>	<b>0.000644</b>		
New s*	<b>0.000350</b>		<b>0.000320</b>	<b>0.000311</b>	<b>0.000308</b>	<b>0.000307</b>	<b>0.000307</b>	<b>1.134*SD</b>	

Πίνακας Π.6 Συνολικός λόγος έκθεσης: Σενάριο μέτρησης 2, Θέση μέτρησης 3

Number of laboratories=

20

Iteration	0	xi-x*	1	2	3	4	5	...	9	10	11	12	13	Z-Score	Z-Score
$\bar{\delta}=1.5s^*$	-		<b>5.15E-04</b>	<b>6.28E-04</b>	<b>7.28E-04</b>	<b>7.98E-04</b>	<b>8.42E-04</b>	...	<b>9.10E-04</b>	<b>9.16E-04</b>	<b>9.19E-04</b>	<b>9.22E-04</b>	<b>9.24E-04</b>		
$x^*-\bar{\delta}$	-		<b>1.07E-03</b>	<b>9.77E-04</b>	<b>8.91E-04</b>	<b>8.39E-04</b>	<b>8.05E-04</b>	...	<b>7.52E-04</b>	<b>7.48E-04</b>	<b>7.45E-04</b>	<b>7.43E-04</b>	<b>7.42E-04</b>		
$x^*+\bar{\delta}$	-		<b>2.10E-03</b>	<b>2.23E-03</b>	<b>2.35E-03</b>	<b>2.43E-03</b>	<b>2.49E-03</b>	...	<b>2.57E-03</b>	<b>2.58E-03</b>	<b>2.58E-03</b>	<b>2.59E-03</b>	<b>2.59E-03</b>		
Lab 2	1.00E-03	5.86E-04	1.07E-03	1.00E-03	1.00E-03	1.00E-03	1.00E-03	...	1.00E-03	1.00E-03	1.00E-03	1.00E-03	1.00E-03	-1.079	Lab 18 -2.649
Lab 4	2.34E-03	7.50E-04	2.10E-03	2.23E-03	2.34E-03	2.34E-03	2.34E-03	...	2.34E-03	2.34E-03	2.34E-03	2.34E-03	2.34E-03	1.088	Lab 2 -1.079
Lab 6	<b>3.80E-03</b>	2.21E-03	2.10E-03	2.23E-03	2.35E-03	2.43E-03	2.49E-03	...	2.57E-03	2.58E-03	2.58E-03	2.59E-03	2.59E-03	<b>3.463</b>	Lab 11 -1.079
Lab 7	1.48E-03	1.04E-04	1.48E-03	1.48E-03	1.48E-03	1.48E-03	1.48E-03	...	1.48E-03	1.48E-03	1.48E-03	1.48E-03	1.48E-03	-0.297	Lab 22 -0.998
Lab 8	<b>5.92E-03</b>	4.33E-03	2.10E-03	2.23E-03	2.35E-03	2.43E-03	2.49E-03	...	2.57E-03	2.58E-03	2.58E-03	2.59E-03	2.59E-03	<b>6.901</b>	Lab 12 -0.528
Lab 9	1.80E-03	2.18E-04	1.80E-03	1.80E-03	1.80E-03	1.80E-03	1.80E-03	...	1.80E-03	1.80E-03	1.80E-03	1.80E-03	1.80E-03	0.224	Lab 21 -0.447
Lab 10	1.40E-03	1.86E-04	1.40E-03	1.40E-03	1.40E-03	1.40E-03	1.40E-03	...	1.40E-03	1.40E-03	1.40E-03	1.40E-03	1.40E-03	-0.430	Lab 10 -0.430
Lab 11	1.00E-03	5.86E-04	1.07E-03	1.00E-03	1.00E-03	1.00E-03	1.00E-03	...	1.00E-03	1.00E-03	1.00E-03	1.00E-03	1.00E-03	-1.079	Lab 7 -0.297
Lab 12	1.34E-03	2.46E-04	1.34E-03	1.34E-03	1.34E-03	1.34E-03	1.34E-03	...	1.34E-03	1.34E-03	1.34E-03	1.34E-03	1.34E-03	-0.528	Lab 27 -0.268
Lab 13	2.80E-03	1.21E-03	2.10E-03	2.23E-03	2.35E-03	2.43E-03	2.49E-03	...	2.57E-03	2.58E-03	2.58E-03	2.59E-03	2.59E-03	1.840	Lab 16 -0.205
Lab 16	1.54E-03	4.65E-05	1.54E-03	1.54E-03	1.54E-03	1.54E-03	1.54E-03	...	1.54E-03	1.54E-03	1.54E-03	1.54E-03	1.54E-03	-0.205	Lab 24 -0.054
Lab 18	<b>3.23E-05</b>	1.55E-03	1.07E-03	9.77E-04	8.91E-04	8.39E-04	8.05E-04	...	7.52E-04	7.48E-04	7.45E-04	7.43E-04	7.42E-04	<b>-2.649</b>	Lab 28 0.155
Lab 20	1.98E-03	3.94E-04	1.98E-03	1.98E-03	1.98E-03	1.98E-03	1.98E-03	...	1.98E-03	1.98E-03	1.98E-03	1.98E-03	1.98E-03	0.510	Lab 30 0.196
Lab 21	1.39E-03	1.96E-04	1.39E-03	1.39E-03	1.39E-03	1.39E-03	1.39E-03	...	1.39E-03	1.39E-03	1.39E-03	1.39E-03	1.39E-03	-0.447	Lab 26 0.218
Lab 22	1.05E-03	5.36E-04	1.07E-03	1.05E-03	1.05E-03	1.05E-03	1.05E-03	...	1.05E-03	1.05E-03	1.05E-03	1.05E-03	1.05E-03	-0.998	Lab 9 0.224
Lab 24	1.63E-03	4.65E-05	1.63E-03	1.63E-03	1.63E-03	1.63E-03	1.63E-03	...	1.63E-03	1.63E-03	1.63E-03	1.63E-03	1.63E-03	-0.054	Lab 20 0.510
Lab 26	1.80E-03	2.14E-04	1.80E-03	1.80E-03	1.80E-03	1.80E-03	1.80E-03	...	1.80E-03	1.80E-03	1.80E-03	1.80E-03	1.80E-03	0.218	Lab 4 1.088
Lab 27	1.50E-03	8.56E-05	1.50E-03	1.50E-03	1.50E-03	1.50E-03	1.50E-03	...	1.50E-03	1.50E-03	1.50E-03	1.50E-03	1.50E-03	-0.268	Lab 13 1.840
Lab 28	1.76E-03	1.75E-04	1.76E-03	1.76E-03	1.76E-03	1.76E-03	1.76E-03	...	1.76E-03	1.76E-03	1.76E-03	1.76E-03	1.76E-03	0.155	Lab 6 3.463
Lab 30	1.79E-03	2.01E-04	1.79E-03	1.79E-03	1.79E-03	1.79E-03	1.79E-03	...	1.79E-03	1.79E-03	1.79E-03	1.79E-03	1.79E-03	0.196	Lab 8 6.901
Average	<b>1.87E-03</b>		<b>1.60E-03</b>	<b>1.62E-03</b>	<b>1.64E-03</b>	<b>1.65E-03</b>	<b>1.65E-03</b>	...	<b>1.66E-03</b>	<b>1.66E-03</b>	<b>1.66E-03</b>	<b>1.67E-03</b>	<b>1.67E-03</b>		
SD	<b>1.21E-03</b>	<b>1.02E-03</b>	<b>3.69E-04</b>	<b>4.28E-04</b>	<b>4.69E-04</b>	<b>4.95E-04</b>	<b>5.12E-04</b>	...	<b>5.38E-04</b>	<b>5.41E-04</b>	<b>5.42E-04</b>	<b>5.43E-04</b>	<b>5.44E-04</b>		
New x*	<b>1.59E-03</b>	<b>2.32E-04</b>	<b>1.60E-03</b>	<b>1.62E-03</b>	<b>1.64E-03</b>	<b>1.65E-03</b>	<b>1.65E-03</b>	...	<b>1.66E-03</b>	<b>1.66E-03</b>	<b>1.66E-03</b>	<b>1.67E-03</b>	<b>1.67E-03</b>		
New s*	<b>3.44E-04</b>		<b>4.19E-04</b>	<b>4.85E-04</b>	<b>5.32E-04</b>	<b>5.61E-04</b>	<b>5.80E-04</b>	...	<b>6.10E-04</b>	<b>6.13E-04</b>	<b>6.15E-04</b>	<b>6.16E-04</b>	<b>6.16E-04</b>	<b>1.134*SD</b>	

Πίνακας Π.7 Συνολικός λόγος έκθεσης: Σενάριο μέτρησης 3, Θέση μέτρησης 1

Number of laboratories=		<b>13</b>								Z-Score	Z-Score	
Iteration	0	$\bar{x}$	1	2	3	4	5	6	7		αύξουσα	σειρά
$\bar{\delta}=1.5s^*$	-		<b>0.214153</b>	<b>0.205822</b>	<b>0.225861</b>	<b>0.242617</b>	<b>0.248543</b>	<b>0.250421</b>	<b>0.251018</b>			
$x^*-\bar{\delta}$	-		<b>0.272791</b>	<b>0.321592</b>	<b>0.308970</b>	<b>0.298220</b>	<b>0.294322</b>	<b>0.293056</b>	<b>0.292651</b>			
$x^*+\bar{\delta}$	-		<b>0.701097</b>	<b>0.733236</b>	<b>0.760692</b>	<b>0.783453</b>	<b>0.791408</b>	<b>0.793898</b>	<b>0.794686</b>			
Lab 2	0.872000	0.385056	0.701097	0.733236	0.760692	0.783453	0.791408	0.793898	0.794686	1.960	Lab 25	-1.103
Lab 4	0.764300	0.277356	0.701097	0.733236	0.760692	0.764300	0.764300	0.764300	0.764300	1.317	Lab 9	-0.914
Lab 7	0.486944	0.000000	0.486944	0.486944	0.486944	0.486944	0.486944	0.486944	0.486944	-0.339	Lab 28	-0.598
Lab 8	0.489000	0.002056	0.489000	0.489000	0.489000	0.489000	0.489000	0.489000	0.489000	-0.327	Lab 24	-0.551
Lab 9	0.390674	0.096270	0.390674	0.390674	0.390674	0.390674	0.390674	0.390674	0.390674	-0.914	Lab 20	-0.506
Lab 13	0.756400	0.269456	0.701097	0.733236	0.756400	0.756400	0.756400	0.756400	0.756400	1.270	Lab 22	-0.506
Lab 20	0.459000	0.027944	0.459000	0.459000	0.459000	0.459000	0.459000	0.459000	0.459000	-0.506	Lab 7	-0.339
Lab 21	0.614000	0.127056	0.614000	0.614000	0.614000	0.614000	0.614000	0.614000	0.614000	0.420	Lab 8	-0.327
Lab 22	0.459000	0.027944	0.459000	0.459000	0.459000	0.459000	0.459000	0.459000	0.459000	-0.506	Lab 31	0.339
Lab 24	0.451428	0.035516	0.451428	0.451428	0.451428	0.451428	0.451428	0.451428	0.451428	-0.551	Lab 21	0.420
Lab 25	0.359000	0.127944	0.359000	0.359000	0.359000	0.359000	0.359000	0.359000	0.359000	-1.103	Lab 13	1.270
Lab 28	0.443500	0.043444	0.443500	0.443500	0.443500	0.443500	0.443500	0.443500	0.443500	-0.598	Lab 4	1.317
Lab 31	0.600547	0.113603	0.600547	0.600547	0.600547	0.600547	0.600547	0.600547	0.600547	0.339	Lab 2	1.960
Average	<b>0.549676</b>		<b>0.527414</b>	<b>0.534831</b>	<b>0.540837</b>	<b>0.542865</b>	<b>0.543477</b>	<b>0.543669</b>	<b>0.543729</b>			
SD	<b>0.159698</b>	<b>0.121200</b>	<b>0.121001</b>	<b>0.132781</b>	<b>0.142632</b>	<b>0.146116</b>	<b>0.147220</b>	<b>0.147571</b>	<b>0.147682</b>			
New $x^*$	<b>0.486944</b>	<b>0.096270</b>	<b>0.527414</b>	<b>0.534831</b>	<b>0.540837</b>	<b>0.542865</b>	<b>0.543477</b>	<b>0.543669</b>	<b>0.543729</b>			
New $s^*$	<b>0.142769</b>		<b>0.137215</b>	<b>0.150574</b>	<b>0.161744</b>	<b>0.165696</b>	<b>0.166948</b>	<b>0.167345</b>	<b>0.167472</b>	1.134*SD		

Πίνακας Π.8 Συνολικός λόγος έκθεσης: Σενάριο μέτρησης 3, Θέση μέτρησης 2

Number of laboratories=		11																
Iteration	0	xi-x*	1	2	3	4	5	...	9	10	11	12	13	14	Z-Score	Z-Score		
$\bar{\delta}=1.5s^*$	-		<b>0.130133</b>	<b>0.150602</b>	<b>0.166709</b>	<b>0.179397</b>	<b>0.190042</b>	...	<b>0.216571</b>	<b>0.219528</b>	<b>0.221753</b>	<b>0.223432</b>	<b>0.224701</b>	<b>0.225662</b>		αύξουσα		
$x^*-\bar{\delta}$	-		<b>0.466367</b>	<b>0.440080</b>	<b>0.423522</b>	<b>0.412176</b>	<b>0.403051</b>	...	<b>0.381941</b>	<b>0.379933</b>	<b>0.378418</b>	<b>0.377272</b>	<b>0.376405</b>	<b>0.375748</b>		σειρά		
$x^*+\bar{\delta}$	-		<b>0.726633</b>	<b>0.741284</b>	<b>0.756941</b>	<b>0.770971</b>	<b>0.783134</b>	...	<b>0.815082</b>	<b>0.818988</b>	<b>0.821924</b>	<b>0.824136</b>	<b>0.825808</b>	<b>0.827073</b>				
Lab 2	0.9290	0.3325	0.7266	0.7413	0.7569	0.7710	0.7831	...	0.8151	0.8190	0.8219	0.8241	0.8258	0.8271	2.169	Lab 25	-1.376	
Lab 4	0.5965	0.0000	0.5965	0.5965	0.5965	0.5965	0.5965	...	0.5965	0.5965	0.5965	0.5965	0.5965	0.5965	-0.034	Lab 13	-0.949	
Lab 7	0.6085	0.0120	0.6085	0.6085	0.6085	0.6085	0.6085	...	0.6085	0.6085	0.6085	0.6085	0.6085	0.6085	0.045	Lab 28	-0.504	
Lab 8	0.6420	0.0455	0.6420	0.6420	0.6420	0.6420	0.6420	...	0.6420	0.6420	0.6420	0.6420	0.6420	0.6420	0.267	Lab 22	-0.422	
Lab 13	0.4584	0.1381	0.4664	0.4584	0.4584	0.4584	0.4584	...	0.4584	0.4584	0.4584	0.4584	0.4584	0.4584	-0.949	Lab 21	-0.090	
Lab 20	0.6130	0.0165	0.6130	0.6130	0.6130	0.6130	0.6130	...	0.6130	0.6130	0.6130	0.6130	0.6130	0.6130	0.075	Lab 4	-0.034	
Lab 21	0.5880	0.0085	0.5880	0.5880	0.5880	0.5880	0.5880	...	0.5880	0.5880	0.5880	0.5880	0.5880	0.5880	-0.090	Lab 7	0.045	
Lab 22	0.5380	0.0585	0.5380	0.5380	0.5380	0.5380	0.5380	...	0.5380	0.5380	0.5380	0.5380	0.5380	0.5380	-0.422	Lab 20	0.075	
Lab 25	0.3940	0.2025	0.4664	0.4401	0.4235	0.4122	0.4031	...	0.3940	0.3940	0.3940	0.3940	0.3940	0.3940	-1.376	Lab 8	0.267	
Lab 28	0.5255	0.0710	0.5255	0.5255	0.5255	0.5255	0.5255	...	0.5255	0.5255	0.5255	0.5255	0.5255	0.5255	-0.504	Lab 31	1.600	
Lab 31	0.8431	0.2466	0.7266	0.7413	0.7569	0.7710	0.7831	...	0.8151	0.8190	0.8219	0.8241	0.8258	0.8271	1.600	Lab 2	2.169	
Average	<b>0.612365</b>		<b>0.590682</b>	<b>0.590232</b>	<b>0.591573</b>	<b>0.593092</b>	<b>0.594474</b>	...	<b>0.599460</b>	<b>0.600171</b>	<b>0.600704</b>	<b>0.601107</b>	<b>0.601411</b>	<b>0.601641</b>				
SD	<b>0.154825</b>	<b>0.112268</b>	<b>0.088537</b>	<b>0.098007</b>	<b>0.105466</b>	<b>0.111723</b>	<b>0.117105</b>	...	<b>0.129058</b>	<b>0.130366</b>	<b>0.131353</b>	<b>0.132100</b>	<b>0.132665</b>	<b>0.133093</b>				
New x*	<b>0.596500</b>	<b>0.058500</b>	<b>0.590682</b>	<b>0.590232</b>	<b>0.591573</b>	<b>0.593092</b>	<b>0.594474</b>	...	<b>0.599460</b>	<b>0.600171</b>	<b>0.600704</b>	<b>0.601107</b>	<b>0.601411</b>	<b>0.601641</b>				
New s*	<b>0.086756</b>		<b>0.100401</b>	<b>0.111140</b>	<b>0.119598</b>	<b>0.126694</b>	<b>0.132797</b>	...	<b>0.146352</b>	<b>0.147835</b>	<b>0.148955</b>	<b>0.149801</b>	<b>0.150442</b>	<b>0.150927</b>	1.134*SD			

**Πίνακας Π.9 Λόγος έκθεσης στη φασματική περιοχή FM(75-108MHz): Σενάριο μέτρησης 1, Θέση μέτρησης 1**

Number of laboratories=		11								
Iteration	0	xi-x*	1	2	3	4	5	Z-Score	Z-Score	
$\delta=1.5s^*$	-		<b>1.891E-05</b>	<b>1.795E-05</b>	<b>1.777E-05</b>	<b>1.770E-05</b>	<b>1.767E-05</b>			
$x^*-\delta$	-		<b>6.692E-06</b>	<b>7.293E-06</b>	<b>7.526E-06</b>	<b>7.615E-06</b>	<b>7.649E-06</b>			
$x^*+\delta$	-		<b>4.451E-05</b>	<b>4.318E-05</b>	<b>4.306E-05</b>	<b>4.301E-05</b>	<b>4.300E-05</b>			
Lab 2	4.432E-06	2.117E-05	6.692E-06	7.293E-06	7.526E-06	7.615E-06	7.649E-06	-1.774	Lab 2	-1.774
Lab 9	2.560E-05	0.000E+00	2.560E-05	2.560E-05	2.560E-05	2.560E-05	2.560E-05	0.023	Lab 18	-1.031
Lab 10	2.912E-05	3.515E-06	2.912E-05	2.912E-05	2.912E-05	2.912E-05	2.912E-05	0.322	Lab 30	-0.834
Lab 13	3.180E-05	6.200E-06	3.180E-05	3.180E-05	3.180E-05	3.180E-05	3.180E-05	0.550	Lab 16	-0.503
Lab 16	1.940E-05	6.200E-06	1.940E-05	1.940E-05	1.940E-05	1.940E-05	1.940E-05	-0.503	Lab 24	0.015
Lab 18	1.319E-05	1.241E-05	1.319E-05	1.319E-05	1.319E-05	1.319E-05	1.319E-05	-1.031	Lab 9	0.023
Lab 20	4.097E-05	1.537E-05	4.097E-05	4.097E-05	4.097E-05	4.097E-05	4.097E-05	1.328	Lab 10	0.322
Lab 21	3.576E-05	1.016E-05	3.576E-05	3.576E-05	3.576E-05	3.576E-05	3.576E-05	0.886	Lab 13	0.550
Lab 22	3.410E-05	8.500E-06	3.410E-05	3.410E-05	3.410E-05	3.410E-05	3.410E-05	0.745	Lab 22	0.745
Lab 24	2.550E-05	1.000E-07	2.550E-05	2.550E-05	2.550E-05	2.550E-05	2.550E-05	0.015	Lab 21	0.886
Lab 30	1.550E-05	1.010E-05	1.550E-05	1.550E-05	1.550E-05	1.550E-05	1.550E-05	-0.834	Lab 20	1.328
Average	<b>2.503E-05</b>		<b>2.524E-05</b>	<b>2.529E-05</b>	<b>2.531E-05</b>	<b>2.532E-05</b>	<b>2.533E-05</b>			
SD	<b>1.096E-05</b>	<b>6.376E-06</b>	<b>1.055E-05</b>	<b>1.045E-05</b>	<b>1.041E-05</b>	<b>1.039E-05</b>	<b>1.038E-05</b>			
New x*	<b>2.560E-05</b>	<b>8.500E-06</b>	<b>2.524E-05</b>	<b>2.529E-05</b>	<b>2.531E-05</b>	<b>2.532E-05</b>	<b>2.533E-05</b>			
New s*	<b>1.261E-05</b>		<b>1.196E-05</b>	<b>1.185E-05</b>	<b>1.180E-05</b>	<b>1.178E-05</b>	<b>1.178E-05</b>	<b>1.134*SD</b>		

**ΣΗΜΕΙΩΣΗ:** Για τα εργαστήρια 2, 9, 10, 16, 20, 21, 22, 24 και 30 έχει χρησιμοποιηθεί το άθροισμα των λόγων έκθεσης στις φασματικές περιοχές Before(75-87MHz) και FM(87-109MHz)

**Πίνακας Π.10 Λόγος έκθεσης στη φασματική περιοχή FM(75-108MHz): Σενάριο μέτρησης 1, Θέση μέτρησης 2**

Number of laboratories=		<b>11</b>						
Iteration	0	xi-x*	1	2	3	4	Z-Score	Z-Score αύξουσα σειρά
$\delta=1.5s^*$	-		<b>1.490E-05</b>	<b>1.526E-05</b>	<b>1.516E-05</b>	<b>1.512E-05</b>		
$x^*-\delta$	-		<b>8.996E-06</b>	<b>9.334E-06</b>	<b>9.464E-06</b>	<b>9.514E-06</b>		
$x^*+\delta$	-		<b>3.880E-05</b>	<b>3.985E-05</b>	<b>3.978E-05</b>	<b>3.975E-05</b>		
Lab 2	4.826E-06	1.907E-05	8.996E-06	9.334E-06	9.464E-06	9.514E-06	-1.967	Lab 2 -1.967
Lab 9	2.270E-05	1.200E-06	2.270E-05	2.270E-05	2.270E-05	2.270E-05	-0.192	Lab 18 -1.247
Lab 10	2.643E-05	2.530E-06	2.643E-05	2.643E-05	2.643E-05	2.643E-05	0.178	Lab 30 -0.570
Lab 13	3.060E-05	6.700E-06	3.060E-05	3.060E-05	3.060E-05	3.060E-05	0.592	Lab 16 -0.232
Lab 16	2.230E-05	1.600E-06	2.230E-05	2.230E-05	2.230E-05	2.230E-05	-0.232	Lab 9 -0.192
Lab 18	1.208E-05	1.182E-05	1.208E-05	1.208E-05	1.208E-05	1.208E-05	-1.247	Lab 24 -0.073
Lab 20	3.545E-05	1.155E-05	3.545E-05	3.545E-05	3.545E-05	3.545E-05	1.074	Lab 10 0.178
Lab 21	3.636E-05	1.246E-05	3.636E-05	3.636E-05	3.636E-05	3.636E-05	1.164	Lab 13 0.592
Lab 22	3.279E-05	8.890E-06	3.279E-05	3.279E-05	3.279E-05	3.279E-05	0.809	Lab 22 0.809
Lab 24	2.390E-05	0.000E+00	2.390E-05	2.390E-05	2.390E-05	2.390E-05	-0.073	Lab 20 1.074
Lab 30	1.890E-05	5.000E-06	1.890E-05	1.890E-05	1.890E-05	1.890E-05	-0.570	Lab 21 1.164
Average	<b>2.421E-05</b>		<b>2.459E-05</b>	<b>2.462E-05</b>	<b>2.463E-05</b>	<b>2.464E-05</b>		
SD	<b>9.749E-06</b>	<b>5.980E-06</b>	<b>8.970E-06</b>	<b>8.911E-06</b>	<b>8.889E-06</b>	<b>8.881E-06</b>		
New $x^*$	<b>2.390E-05</b>	<b>6.700E-06</b>	<b>2.459E-05</b>	<b>2.462E-05</b>	<b>2.463E-05</b>	<b>2.464E-05</b>		
New $s^*$	<b>9.936E-06</b>		<b>1.017E-05</b>	<b>1.011E-05</b>	<b>1.008E-05</b>	<b>1.007E-05</b>	<b>1.134*SD</b>	

**ΣΗΜΕΙΩΣΗ:** Για τα εργαστήρια 2, 9, 10, 16, 20, 21, 22, 24 και 30 έχει χρησιμοποιηθεί το άθροισμα των λόγων έκθεσης στις φασματικές περιοχές Before(75-87MHz) και FM(87-109MHz)

**Πίνακας Π.11 Λόγος έκθεσης στη φασματική περιοχή FM(75-108MHz): Σενάριο μέτρησης 1, Θέση μέτρησης 3**

Number of laboratories=		10											Z-Score	Z-Score		
Iteration	0	xi-x*	1	2	3	4	5	...	9	10	11	12		13	αύξουσα	σειρά
$\delta=1.5s^*$	-		1.001E-05	1.146E-05	1.225E-05	1.274E-05	1.304E-05	...	1.347E-05	1.350E-05	1.352E-05	1.354E-05	1.355E-05			
$x^*-\delta$	-		2.299E-05	2.278E-05	2.223E-05	2.180E-05	2.151E-05	...	2.108E-05	2.104E-05	2.102E-05	2.101E-05	2.100E-05			
$x^*+\delta$	-		4.301E-05	4.570E-05	4.674E-05	4.727E-05	4.758E-05	...	4.802E-05	4.805E-05	4.807E-05	4.808E-05	4.809E-05			
Lab 2	5.452E-06	2.755E-05	2.299E-05	2.278E-05	2.223E-05	2.180E-05	2.151E-05	...	2.108E-05	2.104E-05	2.102E-05	2.101E-05	2.100E-05	-3.221	Lab 2	-3.221
Lab 9	3.260E-05	4.000E-07	3.260E-05	3.260E-05	3.260E-05	3.260E-05	3.260E-05	...	3.260E-05	3.260E-05	3.260E-05	3.260E-05	3.260E-05	-0.216	Lab 30	-0.935
Lab 10	5.322E-05	2.022E-05	4.301E-05	4.570E-05	4.674E-05	4.727E-05	4.758E-05	...	4.802E-05	4.805E-05	4.807E-05	4.808E-05	4.809E-05	2.066	Lab 21	-0.269
Lab 13	3.510E-05	2.100E-06	3.510E-05	3.510E-05	3.510E-05	3.510E-05	3.510E-05	...	3.510E-05	3.510E-05	3.510E-05	3.510E-05	3.510E-05	0.061	Lab 9	-0.216
Lab 16	3.290E-05	1.000E-07	3.290E-05	3.290E-05	3.290E-05	3.290E-05	3.290E-05	...	3.290E-05	3.290E-05	3.290E-05	3.290E-05	3.290E-05	-0.182	Lab 16	-0.182
Lab 20	4.226E-05	9.260E-06	4.226E-05	4.226E-05	4.226E-05	4.226E-05	4.226E-05	...	4.226E-05	4.226E-05	4.226E-05	4.226E-05	4.226E-05	0.854	Lab 24	-0.160
Lab 21	3.212E-05	8.800E-07	3.212E-05	3.212E-05	3.212E-05	3.212E-05	3.212E-05	...	3.212E-05	3.212E-05	3.212E-05	3.212E-05	3.212E-05	-0.269	Lab 13	0.061
Lab 22	4.220E-05	9.200E-06	4.220E-05	4.220E-05	4.220E-05	4.220E-05	4.220E-05	...	4.220E-05	4.220E-05	4.220E-05	4.220E-05	4.220E-05	0.847	Lab 22	0.847
Lab 24	3.310E-05	1.000E-07	3.310E-05	3.310E-05	3.310E-05	3.310E-05	3.310E-05	...	3.310E-05	3.310E-05	3.310E-05	3.310E-05	3.310E-05	-0.160	Lab 20	0.854
Lab 30	2.610E-05	6.900E-06	2.610E-05	2.610E-05	2.610E-05	2.610E-05	2.610E-05	...	2.610E-05	2.610E-05	2.610E-05	2.610E-05	2.610E-05	-0.935	Lab 10	2.066
Average	3.350E-05		3.424E-05	3.449E-05	3.454E-05	3.455E-05	3.455E-05	...	3.455E-05	3.455E-05	3.455E-05	3.455E-05	3.455E-05			
SD	1.242E-05	9.443E-06	6.737E-06	7.203E-06	7.487E-06	7.664E-06	7.775E-06	...	7.939E-06	7.951E-06	7.958E-06	7.963E-06	7.966E-06			
New x*	3.300E-05	4.500E-06	3.424E-05	3.449E-05	3.454E-05	3.455E-05	3.455E-05	...	3.455E-05	3.455E-05	3.455E-05	3.455E-05	3.455E-05			
New s*	6.674E-06		7.639E-06	8.168E-06	8.490E-06	8.690E-06	8.817E-06	...	9.002E-06	9.016E-06	9.025E-06	9.030E-06	9.034E-06	1.134*SD		

**ΣΗΜΕΙΩΣΗ:** Για τα εργαστήρια 2, 9, 10, 16, 20, 21, 22, 24 και 30 έχει χρησιμοποιηθεί το άθροισμα των λόγων έκθεσης στις φασματικές περιοχές Before(75-87MHz) και FM(87-109MHz)



Πίνακας Π.12 Λόγος έκθεσης στη φασματική περιοχή FM(75-108MHz): Σενάριο μέτρησης 2, Θέση μέτρησης 1

Number of laboratories=		12										Z-Score	Z-Score	
Iteration	0	$\bar{x}_i - x^*$	1	2	3	4	5	6	7	8	9		αύξουσα	σειρά
$\bar{\delta} = 1.5s^*$	-		1.319E-05	1.272E-05	1.285E-05	1.295E-05	1.301E-05	1.306E-05	1.309E-05	1.311E-05	1.313E-05			
$x^* - \bar{\delta}$	-		1.491E-05	1.464E-05	1.446E-05	1.434E-05	1.425E-05	1.419E-05	1.415E-05	1.412E-05	1.410E-05			
$x^* + \bar{\delta}$	-		4.129E-05	4.007E-05	4.017E-05	4.023E-05	4.028E-05	4.031E-05	4.033E-05	4.034E-05	4.035E-05			
Lab 2	2.105E-05	7.049E-06	2.105E-05	2.105E-05	2.105E-05	2.105E-05	2.105E-05	2.105E-05	2.105E-05	2.105E-05	2.105E-05	-0.705	Lab 26	-3.109
Lab 9	2.690E-05	1.200E-06	2.690E-05	2.690E-05	2.690E-05	2.690E-05	2.690E-05	2.690E-05	2.690E-05	2.690E-05	2.690E-05	-0.037	Lab 18	-1.567
Lab 10	3.158E-05	3.480E-06	3.158E-05	3.158E-05	3.158E-05	3.158E-05	3.158E-05	3.158E-05	3.158E-05	3.158E-05	3.158E-05	0.497	Lab 2	-0.705
Lab 13	3.540E-05	7.300E-06	3.540E-05	3.540E-05	3.540E-05	3.540E-05	3.540E-05	3.540E-05	3.540E-05	3.540E-05	3.540E-05	0.934	Lab 16	-0.357
Lab 16	2.410E-05	4.000E-06	2.410E-05	2.410E-05	2.410E-05	2.410E-05	2.410E-05	2.410E-05	2.410E-05	2.410E-05	2.410E-05	-0.357	Lab 24	-0.140
Lab 18	1.350E-05	1.460E-05	1.491E-05	1.464E-05	1.446E-05	1.434E-05	1.425E-05	1.419E-05	1.415E-05	1.412E-05	1.410E-05	-1.567	Lab 9	-0.037
Lab 20	3.464E-05	6.540E-06	3.464E-05	3.464E-05	3.464E-05	3.464E-05	3.464E-05	3.464E-05	3.464E-05	3.464E-05	3.464E-05	0.847	Lab 30	0.237
Lab 21	3.342E-05	5.320E-06	3.342E-05	3.342E-05	3.342E-05	3.342E-05	3.342E-05	3.342E-05	3.342E-05	3.342E-05	3.342E-05	0.708	Lab 10	0.497
Lab 22	3.609E-05	7.990E-06	3.609E-05	3.609E-05	3.609E-05	3.609E-05	3.609E-05	3.609E-05	3.609E-05	3.609E-05	3.609E-05	1.012	Lab 21	0.708
Lab 24	2.600E-05	2.100E-06	2.600E-05	2.600E-05	2.600E-05	2.600E-05	2.600E-05	2.600E-05	2.600E-05	2.600E-05	2.600E-05	-0.140	Lab 20	0.847
Lab 26	0.000E+00	2.810E-05	1.491E-05	1.464E-05	1.446E-05	1.434E-05	1.425E-05	1.419E-05	1.415E-05	1.412E-05	1.410E-05	-3.109	Lab 13	0.934
Lab 30	2.930E-05	1.200E-06	2.930E-05	2.930E-05	2.930E-05	2.930E-05	2.930E-05	2.930E-05	2.930E-05	2.930E-05	2.930E-05	0.237	Lab 22	1.012
Average	2.600E-05		2.736E-05	2.731E-05	2.728E-05	2.726E-05	2.725E-05	2.724E-05	2.723E-05	2.723E-05	2.722E-05			
SD	1.054E-05	7.494E-06	7.475E-06	7.556E-06	7.612E-06	7.650E-06	7.677E-06	7.695E-06	7.708E-06	7.716E-06	7.722E-06			
New $x^*$	2.810E-05	5.930E-06	2.736E-05	2.731E-05	2.728E-05	2.726E-05	2.725E-05	2.724E-05	2.723E-05	2.723E-05	2.722E-05			
New $s^*$	8.794E-06		8.477E-06	8.569E-06	8.632E-06	8.675E-06	8.705E-06	8.726E-06	8.741E-06	8.750E-06	8.757E-06			

**ΣΗΜΕΙΩΣΗ:** Για τα εργαστήρια 2, 9, 10, 16, 20, 21, 22, 24 και 30 έχει χρησιμοποιηθεί το άθροισμα των λόγων έκθεσης στις φασματικές περιοχές Before(75-87MHz) και FM(87-109MHz)

**Πίνακας Π.13 Λόγος έκθεσης στη φασματική περιοχή FM(75-108MHz): Σενάριο μέτρησης 2, Θέση μέτρησης 2**

Number of laboratories=		12										
Iteration	0	xi-x*	1	2	3	4	5	6	7	Z-Score	Z-Score αύξουσα σειρά	
$\delta=1.5s^*$	-		<b>1.090E-05</b>	<b>1.169E-05</b>	<b>1.255E-05</b>	<b>1.288E-05</b>	<b>1.300E-05</b>	<b>1.304E-05</b>	<b>1.305E-05</b>			
$x^*-\delta$	-		<b>1.588E-05</b>	<b>1.404E-05</b>	<b>1.287E-05</b>	<b>1.242E-05</b>	<b>1.227E-05</b>	<b>1.222E-05</b>	<b>1.220E-05</b>			
$x^*+\delta$	-		<b>3.769E-05</b>	<b>3.742E-05</b>	<b>3.797E-05</b>	<b>3.819E-05</b>	<b>3.827E-05</b>	<b>3.829E-05</b>	<b>3.830E-05</b>			
Lab 2	1.714E-05	9.649E-06	1.714E-05	1.714E-05	1.714E-05	1.714E-05	1.714E-05	1.714E-05	1.714E-05	-0.932	Lab 26 -2.901	
Lab 9	2.210E-05	4.685E-06	2.210E-05	2.210E-05	2.210E-05	2.210E-05	2.210E-05	2.210E-05	2.210E-05	-0.362	Lab 18 -1.313	
Lab 10	3.006E-05	3.273E-06	3.006E-05	3.006E-05	3.006E-05	3.006E-05	3.006E-05	3.006E-05	3.006E-05	0.552	Lab 2 -0.932	
Lab 13	3.190E-05	5.115E-06	3.190E-05	3.190E-05	3.190E-05	3.190E-05	3.190E-05	3.190E-05	3.190E-05	0.764	Lab 9 -0.362	
Lab 16	2.390E-05	2.885E-06	2.390E-05	2.390E-05	2.390E-05	2.390E-05	2.390E-05	2.390E-05	2.390E-05	-0.155	Lab 16 -0.155	
Lab 18	1.382E-05	1.297E-05	1.588E-05	1.404E-05	1.382E-05	1.382E-05	1.382E-05	1.382E-05	1.382E-05	-1.313	Lab 24 0.017	
Lab 20	3.633E-05	9.545E-06	3.633E-05	3.633E-05	3.633E-05	3.633E-05	3.633E-05	3.633E-05	3.633E-05	1.273	Lab 22 0.336	
Lab 21	3.258E-05	5.795E-06	3.258E-05	3.258E-05	3.258E-05	3.258E-05	3.258E-05	3.258E-05	3.258E-05	0.842	Lab 30 0.477	
Lab 22	2.817E-05	1.385E-06	2.817E-05	2.817E-05	2.817E-05	2.817E-05	2.817E-05	2.817E-05	2.817E-05	0.336	Lab 10 0.552	
Lab 24	2.540E-05	1.385E-06	2.540E-05	2.540E-05	2.540E-05	2.540E-05	2.540E-05	2.540E-05	2.540E-05	0.017	Lab 13 0.764	
Lab 26	0.000E+00	2.679E-05	1.588E-05	1.404E-05	1.287E-05	1.242E-05	1.227E-05	1.222E-05	1.220E-05	-2.901	Lab 21 0.842	
Lab 30	2.940E-05	2.615E-06	2.940E-05	2.940E-05	2.940E-05	2.940E-05	2.940E-05	2.940E-05	2.940E-05	0.477	Lab 20 1.273	
Average	<b>2.423E-05</b>		<b>2.573E-05</b>	<b>2.542E-05</b>	<b>2.531E-05</b>	<b>2.527E-05</b>	<b>2.526E-05</b>	<b>2.525E-05</b>	<b>2.525E-05</b>			
SD	<b>1.001E-05</b>	<b>7.158E-06</b>	<b>6.874E-06</b>	<b>7.376E-06</b>	<b>7.574E-06</b>	<b>7.642E-06</b>	<b>7.665E-06</b>	<b>7.673E-06</b>	<b>7.676E-06</b>			
New $\chi^*$	<b>2.679E-05</b>	<b>4.900E-06</b>	<b>2.573E-05</b>	<b>2.542E-05</b>	<b>2.531E-05</b>	<b>2.527E-05</b>	<b>2.526E-05</b>	<b>2.525E-05</b>	<b>2.525E-05</b>			
New $s^*$	<b>7.267E-06</b>		<b>7.796E-06</b>	<b>8.364E-06</b>	<b>8.588E-06</b>	<b>8.666E-06</b>	<b>8.692E-06</b>	<b>8.702E-06</b>	<b>8.705E-06</b>	<b>1.134*SD</b>		

**ΣΗΜΕΙΩΣΗ:** Για τα εργαστήρια 2, 9, 10, 16, 20, 21, 22, 24 και 30 έχει χρησιμοποιηθεί το άθροισμα των λόγων έκθεσης στις φασματικές περιοχές Before(75-87MHz) και FM(87-109MHz)

**Πίνακας Π.14 Λόγος έκθεσης στη φασματική περιοχή FM(75-108MHz): Σενάριο μέτρησης 2, Θέση μέτρησης 3**

Number of laboratories=		<b>10</b>							Z-Score	Z-Score	
Iteration	0	$\chi_i - x^*$	1	2	3	4	5	6		αύξουσα	σειρά
$\delta = 1.5s^*$	-		<b>1.835E-05</b>	<b>1.707E-05</b>	<b>1.671E-05</b>	<b>1.656E-05</b>	<b>1.650E-05</b>	<b>1.647E-05</b>			
$x^* - \delta$	-		<b>1.360E-05</b>	<b>1.467E-05</b>	<b>1.513E-05</b>	<b>1.533E-05</b>	<b>1.541E-05</b>	<b>1.545E-05</b>			
$x^* + \delta$	-		<b>5.030E-05</b>	<b>4.881E-05</b>	<b>4.856E-05</b>	<b>4.845E-05</b>	<b>4.841E-05</b>	<b>4.839E-05</b>			
Lab 2	2.134E-05	1.061E-05	2.134E-05	2.134E-05	2.134E-05	2.134E-05	2.134E-05	2.134E-05	-0.964	Lab 26	-2.909
Lab 9	3.140E-05	5.500E-07	3.140E-05	3.140E-05	3.140E-05	3.140E-05	3.140E-05	3.140E-05	-0.048	Lab 2	-0.964
Lab 10	3.022E-05	1.733E-06	3.022E-05	3.022E-05	3.022E-05	3.022E-05	3.022E-05	3.022E-05	-0.156	Lab 30	-0.649
Lab 13	4.130E-05	9.350E-06	4.130E-05	4.130E-05	4.130E-05	4.130E-05	4.130E-05	4.130E-05	0.855	Lab 10	-0.156
Lab 16	3.400E-05	2.050E-06	3.400E-05	3.400E-05	3.400E-05	3.400E-05	3.400E-05	3.400E-05	0.189	Lab 9	-0.048
Lab 20	4.690E-05	1.495E-05	4.690E-05	4.690E-05	4.690E-05	4.690E-05	4.690E-05	4.690E-05	1.365	Lab 24	0.053
Lab 21	4.133E-05	9.380E-06	4.133E-05	4.133E-05	4.133E-05	4.133E-05	4.133E-05	4.133E-05	0.857	Lab 16	0.189
Lab 24	3.250E-05	5.500E-07	3.250E-05	3.250E-05	3.250E-05	3.250E-05	3.250E-05	3.250E-05	0.053	Lab 13	0.855
Lab 26	<b>0.000E+00</b>	3.195E-05	1.360E-05	1.467E-05	1.513E-05	1.533E-05	1.541E-05	1.545E-05	<b>-2.909</b>	Lab 21	0.857
Lab 30	2.480E-05	7.150E-06	2.480E-05	2.480E-05	2.480E-05	2.480E-05	2.480E-05	2.480E-05	-0.649	Lab 20	1.365
Average	<b>3.038E-05</b>		<b>3.174E-05</b>	<b>3.185E-05</b>	<b>3.189E-05</b>	<b>3.191E-05</b>	<b>3.192E-05</b>	<b>3.192E-05</b>			
SD	<b>1.319E-05</b>	<b>9.499E-06</b>	<b>1.004E-05</b>	<b>9.826E-06</b>	<b>9.737E-06</b>	<b>9.699E-06</b>	<b>9.683E-06</b>	<b>9.676E-06</b>			
New $x^*$	<b>3.195E-05</b>	<b>8.250E-06</b>	<b>3.174E-05</b>	<b>3.185E-05</b>	<b>3.189E-05</b>	<b>3.191E-05</b>	<b>3.192E-05</b>	<b>3.192E-05</b>			
New $s^*$	<b>1.223E-05</b>		<b>1.138E-05</b>	<b>1.114E-05</b>	<b>1.104E-05</b>	<b>1.100E-05</b>	<b>1.098E-05</b>	<b>1.097E-05</b>	<b>1.134*SD</b>		

**ΣΗΜΕΙΩΣΗ:** Για τα εργαστήρια 2, 9, 10, 16, 20, 21, 24 και 30 έχει χρησιμοποιηθεί το άθροισμα των λόγων έκθεσης στις φασματικές περιοχές Before(75-87MHz) και FM(87-109MHz)

**Πίνακας Π.15 Λόγος έκθεσης στη φασματική περιοχή FM(75-108MHz): Σενάριο μέτρησης 3, Θέση μέτρησης 1**

Number of laboratories=		8											
Iteration	0	$\chi_i - x^*$	1	2	3	4	5	6	7	8	9	Z-Score	Z-Score αύξουσα σειρά
$\delta = 1.5s^*$	-		<b>1.708E-01</b>	<b>1.961E-01</b>	<b>2.259E-01</b>	<b>2.406E-01</b>	<b>2.484E-01</b>	<b>2.525E-01</b>	<b>2.547E-01</b>	<b>2.558E-01</b>	<b>2.565E-01</b>		
$x^* - \delta$	-		<b>3.067E-01</b>	<b>3.025E-01</b>	<b>2.842E-01</b>	<b>2.745E-01</b>	<b>2.693E-01</b>	<b>2.665E-01</b>	<b>2.650E-01</b>	<b>2.641E-01</b>	<b>2.637E-01</b>		
$x^* + \delta$	-		<b>6.483E-01</b>	<b>6.947E-01</b>	<b>7.359E-01</b>	<b>7.558E-01</b>	<b>7.660E-01</b>	<b>7.714E-01</b>	<b>7.743E-01</b>	<b>7.758E-01</b>	<b>7.766E-01</b>		
Lab 2	7.790E-01	3.015E-01	6.483E-01	6.947E-01	7.359E-01	7.558E-01	7.660E-01	7.714E-01	7.743E-01	7.758E-01	7.766E-01	1.511	Lab 9 -0.954
Lab 9	3.570E-01	1.205E-01	3.570E-01	3.570E-01	3.570E-01	3.570E-01	3.570E-01	3.570E-01	3.570E-01	3.570E-01	3.570E-01	-0.954	Lab 20 -0.656
Lab 13	6.930E-01	2.155E-01	6.483E-01	6.930E-01	6.930E-01	6.930E-01	6.930E-01	6.930E-01	6.930E-01	6.930E-01	6.930E-01	1.009	Lab 24 -0.638
Lab 20	4.080E-01	6.950E-02	4.080E-01	4.080E-01	4.080E-01	4.080E-01	4.080E-01	4.080E-01	4.080E-01	4.080E-01	4.080E-01	-0.656	Lab 22 -0.605
Lab 21	5.616E-01	8.407E-02	5.616E-01	5.616E-01	5.616E-01	5.616E-01	5.616E-01	5.616E-01	5.616E-01	5.616E-01	5.616E-01	0.241	Lab 31 0.106
Lab 22	4.166E-01	6.085E-02	4.166E-01	4.166E-01	4.166E-01	4.166E-01	4.166E-01	4.166E-01	4.166E-01	4.166E-01	4.166E-01	-0.605	Lab 21 0.241
Lab 24	4.110E-01	6.646E-02	4.110E-01	4.110E-01	4.110E-01	4.110E-01	4.110E-01	4.110E-01	4.110E-01	4.110E-01	4.110E-01	-0.638	Lab 13 1.009
Lab 31	5.383E-01	6.085E-02	5.383E-01	5.383E-01	5.383E-01	5.383E-01	5.383E-01	5.383E-01	5.383E-01	5.383E-01	5.383E-01	0.106	Lab 2 1.511
Average	<b>5.206E-01</b>		<b>4.986E-01</b>	<b>5.100E-01</b>	<b>5.152E-01</b>	<b>5.177E-01</b>	<b>5.189E-01</b>	<b>5.196E-01</b>	<b>5.200E-01</b>	<b>5.202E-01</b>	<b>5.203E-01</b>		
SD	<b>1.516E-01</b>	<b>8.923E-02</b>	<b>1.153E-01</b>	<b>1.328E-01</b>	<b>1.415E-01</b>	<b>1.460E-01</b>	<b>1.484E-01</b>	<b>1.497E-01</b>	<b>1.504E-01</b>	<b>1.508E-01</b>	<b>1.510E-01</b>		
New $x^*$	<b>4.775E-01</b>	<b>7.679E-02</b>	<b>4.986E-01</b>	<b>5.100E-01</b>	<b>5.152E-01</b>	<b>5.177E-01</b>	<b>5.189E-01</b>	<b>5.196E-01</b>	<b>5.200E-01</b>	<b>5.202E-01</b>	<b>5.203E-01</b>		
New $s^*$	<b>1.139E-01</b>		<b>1.307E-01</b>	<b>1.506E-01</b>	<b>1.604E-01</b>	<b>1.656E-01</b>	<b>1.683E-01</b>	<b>1.698E-01</b>	<b>1.706E-01</b>	<b>1.710E-01</b>	<b>1.712E-01</b>	<b>1.134*SD</b>	

**ΣΗΜΕΙΩΣΗ:** Για τα εργαστήρια 2, 9, 20, 21, 22, 24 και 31 έχει χρησιμοποιηθεί το άθροισμα των λόγων έκθεσης στις φασματικές περιοχές Before(75-87MHz) και FM(87-109MHz)

**Πίνακας Π.16 Λόγος έκθεσης στη φασματική περιοχή FM(75-108MHz): Σενάριο μέτρησης 3, Θέση μέτρησης 2**

Number of laboratories=				5			
Iteration	0	xi-x*	1	2	Z-Score	Z-Score αύξουσα σειρά	
δ=1.5s*	-		<b>3.601E-01</b>	<b>3.200E-01</b>			
x*-δ	-		<b>1.988E-01</b>	<b>2.939E-01</b>			
x*+δ	-		<b>9.190E-01</b>	<b>9.340E-01</b>			
Lab 2	8.140E-01	2.551E-01	8.140E-01	8.140E-01	0.938	Lab 13	-1.017
Lab 13	3.970E-01	1.619E-01	3.970E-01	3.970E-01	-1.017	Lab 21	-0.565
Lab 20	5.589E-01	0.000E+00	5.589E-01	5.589E-01	-0.258	Lab 20	-0.258
Lab 21	4.934E-01	6.546E-02	4.934E-01	4.934E-01	-0.565	Lab 31	0.901
Lab 31	8.062E-01	2.473E-01	8.062E-01	8.062E-01	0.901	Lab 2	0.938
Average	<b>6.139E-01</b>		<b>6.139E-01</b>	<b>6.139E-01</b>			
SD	<b>1.881E-01</b>	<b>1.120E-01</b>	<b>1.881E-01</b>	<b>1.881E-01</b>			
New x*	<b>5.589E-01</b>	<b>1.619E-01</b>	<b>6.139E-01</b>	<b>6.139E-01</b>			
New s*	<b>2.401E-01</b>		<b>2.134E-01</b>	<b>2.134E-01</b>	<b>1.134*SD</b>		

**ΣΗΜΕΙΩΣΗ:** Για τα εργαστήρια 2, 20, 21 και 31 έχει χρησιμοποιηθεί το άθροισμα των λόγων έκθεσης στις φασματικές περιοχές Before(75-87MHz) και FM(87-109MHz)

**Πίνακας Π.17 Λόγος έκθεσης στη φασματική περιοχή VHF TV(108-300MHz): Σενάριο μέτρησης 1, Θέση μέτρησης 1**

Number of laboratories=		<b>11</b>				Z-Score	Z-Score	
Iteration	0	$\chi_i - x^*$	1	2	3		αύξουσα	σειρά
$\delta = 1.5s^*$	-		<b>8.898E-06</b>	<b>9.589E-06</b>	<b>9.826E-06</b>			
$x^* - \delta$	-		<b>3.902E-06</b>	<b>2.717E-06</b>	<b>2.398E-06</b>			
$x^* + \delta$	-		<b>2.170E-05</b>	<b>2.190E-05</b>	<b>2.205E-05</b>			
Lab 2	3.000E-06	9.800E-06	3.902E-06	3.000E-06	3.000E-06	-1.408	Lab 2	-1.408
Lab 9	9.300E-06	3.500E-06	9.300E-06	9.300E-06	9.300E-06	-0.446	Lab 18	-1.180
Lab 10	1.727E-05	4.471E-06	1.727E-05	1.727E-05	1.727E-05	0.770	Lab 30	-0.523
Lab 13	2.100E-05	8.200E-06	2.100E-05	2.100E-05	2.100E-05	1.340	Lab 9	-0.446
Lab 16	1.280E-05	0.000E+00	1.280E-05	1.280E-05	1.280E-05	0.088	Lab 24	-0.446
Lab 18	4.496E-06	8.304E-06	4.496E-06	4.496E-06	4.496E-06	-1.180	Lab 16	0.088
Lab 20	1.420E-05	1.400E-06	1.420E-05	1.420E-05	1.420E-05	0.302	Lab 20	0.302
Lab 21	1.560E-05	2.800E-06	1.560E-05	1.560E-05	1.560E-05	0.515	Lab 21	0.515
Lab 22	1.870E-05	5.900E-06	1.870E-05	1.870E-05	1.870E-05	0.989	Lab 10	0.770
Lab 24	9.300E-06	3.500E-06	9.300E-06	9.300E-06	9.300E-06	-0.446	Lab 22	0.989
Lab 30	8.800E-06	4.000E-06	8.800E-06	8.800E-06	8.800E-06	-0.523	Lab 13	1.340
Average	<b>1.222E-05</b>		<b>1.231E-05</b>	<b>1.222E-05</b>	<b>1.222E-05</b>			
SD	<b>5.777E-06</b>	<b>3.045E-06</b>	<b>5.637E-06</b>	<b>5.777E-06</b>	<b>5.777E-06</b>			
New $x^*$	<b>1.280E-05</b>	<b>4.000E-06</b>	<b>1.231E-05</b>	<b>1.222E-05</b>	<b>1.222E-05</b>			
New $s^*$	<b>5.932E-06</b>		<b>6.393E-06</b>	<b>6.551E-06</b>	<b>6.551E-06</b>	<b>1.134*SD</b>		

Πίνακας Π.18 Λόγος έκθεσης στη φασματική περιοχή VHF TV(108-300MHz): Σενάριο μέτρησης 1, Θέση μέτρησης 2

Number of laboratories=		11									
Iteration	0	xi-x*	1	2	3	4	5	6	Z-Score	Z-Score αύξουσα σειρά	
$\delta=1.5s^*$	-		7.341E-06	8.652E-06	9.771E-06	1.072E-05	1.110E-05	1.112E-05			
$x^*-\delta$	-		8.159E-06	6.069E-06	4.618E-06	3.481E-06	2.986E-06	2.964E-06			
$x^*+\delta$	-		2.284E-05	2.337E-05	2.416E-05	2.491E-05	2.519E-05	2.520E-05			
Lab 2	3.420E-06	1.208E-05	8.159E-06	6.069E-06	4.618E-06	3.481E-06	3.420E-06	3.420E-06	-1.438	Lab 2 -1.438	
Lab 9	1.220E-05	3.300E-06	1.220E-05	1.220E-05	1.220E-05	1.220E-05	1.220E-05	1.220E-05	-0.254	Lab 18 -1.301	
Lab 10	1.567E-05	1.694E-07	1.567E-05	1.567E-05	1.567E-05	1.567E-05	1.567E-05	1.567E-05	0.214	Lab 30 -0.591	
Lab 13	2.430E-05	8.800E-06	2.284E-05	2.337E-05	2.416E-05	2.430E-05	2.430E-05	2.430E-05	1.378	Lab 9 -0.254	
Lab 16	1.550E-05	0.000E+00	1.550E-05	1.550E-05	1.550E-05	1.550E-05	1.550E-05	1.550E-05	0.191	Lab 24 -0.241	
Lab 18	4.437E-06	1.106E-05	8.159E-06	6.069E-06	4.618E-06	4.437E-06	4.437E-06	4.437E-06	-1.301	Lab 16 0.191	
Lab 20	1.760E-05	2.100E-06	1.760E-05	1.760E-05	1.760E-05	1.760E-05	1.760E-05	1.760E-05	0.474	Lab 10 0.214	
Lab 21	1.820E-05	2.700E-06	1.820E-05	1.820E-05	1.820E-05	1.820E-05	1.820E-05	1.820E-05	0.555	Lab 20 0.474	
Lab 22	2.160E-05	6.100E-06	2.160E-05	2.160E-05	2.160E-05	2.160E-05	2.160E-05	2.160E-05	1.014	Lab 21 0.555	
Lab 24	1.230E-05	3.200E-06	1.230E-05	1.230E-05	1.230E-05	1.230E-05	1.230E-05	1.230E-05	-0.241	Lab 22 1.014	
Lab 30	9.700E-06	5.800E-06	9.700E-06	9.700E-06	9.700E-06	9.700E-06	9.700E-06	9.700E-06	-0.591	Lab 13 1.378	
Average	1.408E-05		1.472E-05	1.439E-05	1.420E-05	1.409E-05	1.408E-05	1.408E-05			
SD	6.538E-06	4.139E-06	5.086E-06	5.744E-06	6.300E-06	6.528E-06	6.538E-06	6.538E-06			
New x*	1.550E-05	3.300E-06	1.472E-05	1.439E-05	1.420E-05	1.409E-05	1.408E-05	1.408E-05			
New s*	4.894E-06		5.768E-06	6.514E-06	7.144E-06	7.403E-06	7.414E-06	7.414E-06	1.134*SD		

Πίνακας Π.19 Λόγος έκθεσης στη φασματική περιοχή VHF TV(108-300MHz): Σενάριο μέτρησης 1, Θέση μέτρησης 3

Number of laboratories=		10											Z-Score	Z-Score		
Iteration	0	xi-x*	1	2	3	4	5	...	9	10	11	12		13	αύξουσα	σειρά
$\delta=1.5s^*$	-		7.563E-06	8.478E-06	9.331E-06	9.971E-06	1.036E-05	...	1.092E-05	1.096E-05	1.098E-05	1.100E-05	1.101E-05			
$x^*-\delta$	-		1.474E-05	1.358E-05	1.256E-05	1.184E-05	1.143E-05	...	1.087E-05	1.083E-05	1.080E-05	1.079E-05	1.078E-05			
$x^*+\delta$	-		2.986E-05	3.053E-05	3.122E-05	3.178E-05	3.215E-05	...	3.271E-05	3.275E-05	3.277E-05	3.279E-05	3.280E-05			
Lab 2	3.530E-06	1.877E-05	1.474E-05	1.358E-05	1.256E-05	1.184E-05	1.143E-05	...	1.087E-05	1.083E-05	1.080E-05	1.079E-05	1.078E-05	-2.486	Lab 2	-2.486
Lab 9	2.370E-05	1.400E-06	2.370E-05	2.370E-05	2.370E-05	2.370E-05	2.370E-05	...	2.370E-05	2.370E-05	2.370E-05	2.370E-05	2.370E-05	0.260	Lab 30	-1.183
Lab 10	4.328E-05	2.098E-05	2.986E-05	3.053E-05	3.122E-05	3.178E-05	3.215E-05	...	3.271E-05	3.275E-05	3.277E-05	3.279E-05	3.280E-05	2.927	Lab 21	-0.284
Lab 13	2.650E-05	4.200E-06	2.650E-05	2.650E-05	2.650E-05	2.650E-05	2.650E-05	...	2.650E-05	2.650E-05	2.650E-05	2.650E-05	2.650E-05	0.642	Lab 20	-0.257
Lab 16	2.680E-05	4.500E-06	2.680E-05	2.680E-05	2.680E-05	2.680E-05	2.680E-05	...	2.680E-05	2.680E-05	2.680E-05	2.680E-05	2.680E-05	0.682	Lab 24	0.029
Lab 20	1.990E-05	2.400E-06	1.990E-05	1.990E-05	1.990E-05	1.990E-05	1.990E-05	...	1.990E-05	1.990E-05	1.990E-05	1.990E-05	1.990E-05	-0.257	Lab 22	0.111
Lab 21	1.970E-05	2.600E-06	1.970E-05	1.970E-05	1.970E-05	1.970E-05	1.970E-05	...	1.970E-05	1.970E-05	1.970E-05	1.970E-05	1.970E-05	-0.284	Lab 9	0.260
Lab 22	2.260E-05	3.000E-07	2.260E-05	2.260E-05	2.260E-05	2.260E-05	2.260E-05	...	2.260E-05	2.260E-05	2.260E-05	2.260E-05	2.260E-05	0.111	Lab 13	0.642
Lab 24	2.200E-05	3.000E-07	2.200E-05	2.200E-05	2.200E-05	2.200E-05	2.200E-05	...	2.200E-05	2.200E-05	2.200E-05	2.200E-05	2.200E-05	0.029	Lab 16	0.682
Lab 30	1.310E-05	9.200E-06	1.474E-05	1.358E-05	1.310E-05	1.310E-05	1.310E-05	...	1.310E-05	1.310E-05	1.310E-05	1.310E-05	1.310E-05	-1.183	Lab 10	2.927
Average	2.211E-05		2.205E-05	2.189E-05	2.181E-05	2.179E-05	2.179E-05	...	2.179E-05	2.179E-05	2.179E-05	2.179E-05	2.179E-05			
SD	1.016E-05	7.541E-06	4.984E-06	5.486E-06	5.862E-06	6.091E-06	6.234E-06	...	6.442E-06	6.457E-06	6.467E-06	6.473E-06	6.477E-06			
New $x^*$	2.230E-05	3.400E-06	2.205E-05	2.189E-05	2.181E-05	2.179E-05	2.179E-05	...	2.179E-05	2.179E-05	2.179E-05	2.179E-05	2.179E-05			
New $s^*$	5.042E-06		5.652E-06	6.221E-06	6.647E-06	6.907E-06	7.070E-06	...	7.305E-06	7.322E-06	7.333E-06	7.340E-06	7.345E-06	1.134*SD		



Πίνακας Π.20 Λόγος έκθεσης στη φασματική περιοχή VHF TV(108-300MHz): Σενάριο μέτρησης 2, Θέση μέτρησης 1

Number of laboratories=		12										
Iteration	0	xi-x*	1	2	3	4	5	6	7	Z-Score	Z-Score αύξουσα σειρά	
$\bar{\delta}=1.5s^*$	-		8.296E-06	9.766E-06	1.023E-05	1.034E-05	1.038E-05	1.039E-05	1.040E-05			
$x^*-\bar{\delta}$	-		3.604E-06	2.812E-06	2.388E-06	2.244E-06	2.195E-06	2.178E-06	2.172E-06			
$x^*+\bar{\delta}$	-		2.020E-05	2.234E-05	2.285E-05	2.293E-05	2.295E-05	2.296E-05	2.296E-05			
Lab 2	1.070E-05	1.200E-06	1.070E-05	1.070E-05	1.070E-05	1.070E-05	1.070E-05	1.070E-05	1.070E-05	-0.269	Lab 26 -1.813	
Lab 9	9.100E-06	2.800E-06	9.100E-06	9.100E-06	9.100E-06	9.100E-06	9.100E-06	9.100E-06	9.100E-06	-0.500	Lab 18 -1.153	
Lab 10	1.656E-05	4.659E-06	1.656E-05	1.656E-05	1.656E-05	1.656E-05	1.656E-05	1.656E-05	1.656E-05	0.576	Lab 9 -0.500	
Lab 13	2.060E-05	8.700E-06	2.020E-05	2.060E-05	2.060E-05	2.060E-05	2.060E-05	2.060E-05	2.060E-05	1.159	Lab 24 -0.486	
Lab 16	1.200E-05	1.000E-07	1.200E-05	1.200E-05	1.200E-05	1.200E-05	1.200E-05	1.200E-05	1.200E-05	-0.082	Lab 2 -0.269	
Lab 18	4.576E-06	7.324E-06	4.576E-06	4.576E-06	4.576E-06	4.576E-06	4.576E-06	4.576E-06	4.576E-06	-1.153	Lab 30 -0.111	
Lab 20	1.280E-05	9.000E-07	1.280E-05	1.280E-05	1.280E-05	1.280E-05	1.280E-05	1.280E-05	1.280E-05	0.034	Lab 16 -0.082	
Lab 21	2.090E-05	9.000E-06	2.020E-05	2.090E-05	2.090E-05	2.090E-05	2.090E-05	2.090E-05	2.090E-05	1.202	Lab 20 0.034	
Lab 22	2.040E-05	8.500E-06	2.020E-05	2.040E-05	2.040E-05	2.040E-05	2.040E-05	2.040E-05	2.040E-05	1.130	Lab 10 0.576	
Lab 24	9.200E-06	2.700E-06	9.200E-06	9.200E-06	9.200E-06	9.200E-06	9.200E-06	9.200E-06	9.200E-06	-0.486	Lab 22 1.130	
Lab 26	0.000E+00	1.190E-05	3.604E-06	2.812E-06	2.388E-06	2.244E-06	2.195E-06	2.178E-06	2.172E-06	-1.813	Lab 13 1.159	
Lab 30	1.180E-05	1.000E-07	1.180E-05	1.180E-05	1.180E-05	1.180E-05	1.180E-05	1.180E-05	1.180E-05	-0.111	Lab 21 1.202	
Average	1.239E-05		1.258E-05	1.262E-05	1.259E-05	1.257E-05	1.257E-05	1.257E-05	1.257E-05			
SD	6.470E-06	4.091E-06	5.741E-06	6.016E-06	6.079E-06	6.101E-06	6.109E-06	6.111E-06	6.112E-06			
New $x^*$	1.190E-05	3.730E-06	1.258E-05	1.262E-05	1.259E-05	1.257E-05	1.257E-05	1.257E-05	1.257E-05			
New $s^*$	5.531E-06		6.510E-06	6.822E-06	6.894E-06	6.919E-06	6.927E-06	6.930E-06	6.931E-06	1.134*SD		

Πίνακας Π.21 Λόγος έκθεσης στη φασματική περιοχή VHF TV(108-300MHz): Σενάριο μέτρησης 2, Θέση μέτρησης 2

Number of laboratories=		12											
Iteration	0	xi-x*	1	2	3	4	5	6	7	8	Z-Score	Z-Score	
δ=1.5s*	-		8.898E-06	9.642E-06	9.988E-06	1.016E-05	1.026E-05	1.030E-05	1.033E-05	1.034E-05			αύξουσα
x*-δ	-		3.702E-06	3.847E-06	3.650E-06	3.498E-06	3.411E-06	3.364E-06	3.339E-06	3.326E-06			σειρά
x*+δ	-		2.150E-05	2.313E-05	2.362E-05	2.383E-05	2.392E-05	2.397E-05	2.400E-05	2.401E-05			
Lab 2	9.500E-06	3.100E-06	9.500E-06	9.500E-06	9.500E-06	9.500E-06	9.500E-06	9.500E-06	9.500E-06	9.500E-06	-0.604	Lab 26	-1.981
Lab 9	1.170E-05	9.000E-07	1.170E-05	1.170E-05	1.170E-05	1.170E-05	1.170E-05	1.170E-05	1.170E-05	1.170E-05	-0.285	Lab 18	-1.153
Lab 10	1.876E-05	6.156E-06	1.876E-05	1.876E-05	1.876E-05	1.876E-05	1.876E-05	1.876E-05	1.876E-05	1.876E-05	0.738	Lab 2	-0.604
Lab 13	2.540E-05	1.280E-05	2.150E-05	2.313E-05	2.362E-05	2.383E-05	2.392E-05	2.397E-05	2.400E-05	2.401E-05	1.701	Lab 30	-0.300
Lab 16	1.300E-05	4.000E-07	1.300E-05	1.300E-05	1.300E-05	1.300E-05	1.300E-05	1.300E-05	1.300E-05	1.300E-05	-0.097	Lab 9	-0.285
Lab 18	5.713E-06	6.887E-06	5.713E-06	5.713E-06	5.713E-06	5.713E-06	5.713E-06	5.713E-06	5.713E-06	5.713E-06	-1.153	Lab 24	-0.213
Lab 20	1.540E-05	2.800E-06	1.540E-05	1.540E-05	1.540E-05	1.540E-05	1.540E-05	1.540E-05	1.540E-05	1.540E-05	0.251	Lab 16	-0.097
Lab 21	2.130E-05	8.700E-06	2.130E-05	2.130E-05	2.130E-05	2.130E-05	2.130E-05	2.130E-05	2.130E-05	2.130E-05	1.106	Lab 20	0.251
Lab 22	1.750E-05	4.900E-06	1.750E-05	1.750E-05	1.750E-05	1.750E-05	1.750E-05	1.750E-05	1.750E-05	1.750E-05	0.556	Lab 22	0.556
Lab 24	1.220E-05	4.000E-07	1.220E-05	1.220E-05	1.220E-05	1.220E-05	1.220E-05	1.220E-05	1.220E-05	1.220E-05	-0.213	Lab 10	0.738
Lab 26	0.000E+00	1.260E-05	3.702E-06	3.847E-06	3.650E-06	3.498E-06	3.411E-06	3.364E-06	3.339E-06	3.326E-06	-1.981	Lab 21	1.106
Lab 30	1.160E-05	1.000E-06	1.160E-05	1.160E-05	1.160E-05	1.160E-05	1.160E-05	1.160E-05	1.160E-05	1.160E-05	-0.300	Lab 13	1.701
Average	1.351E-05		1.349E-05	1.364E-05	1.366E-05	1.367E-05	1.367E-05	1.367E-05	1.367E-05	1.367E-05			
SD	6.858E-06	4.480E-06	5.669E-06	5.872E-06	5.975E-06	6.029E-06	6.057E-06	6.072E-06	6.080E-06	6.084E-06			
New x*	1.260E-05	4.000E-06	1.349E-05	1.364E-05	1.366E-05	1.367E-05	1.367E-05	1.367E-05	1.367E-05	1.367E-05			
New s*	5.932E-06		6.428E-06	6.658E-06	6.776E-06	6.837E-06	6.869E-06	6.885E-06	6.894E-06	6.899E-06	1.134*SD		

Πίνακας Π.22 Λόγος έκθεσης στη φασματική περιοχή VHF TV(108-300MHz): Σενάριο μέτρησης 2, Θέση μέτρησης 3

Number of laboratories=		11											
Iteration	0	xi-x*	1	2	3	4	5	6	7	8	Z-Score	Z-Score αύξουσα σειρά	
$\delta=1.5s^*$	-		1.054E-05	1.034E-05	1.022E-05	1.014E-05	1.010E-05	1.008E-05	1.007E-05	1.006E-05			
$x^*-\delta$	-		5.659E-06	5.667E-06	5.752E-06	5.817E-06	5.857E-06	5.881E-06	5.894E-06	5.902E-06			
$x^*+\delta$	-		2.674E-05	2.634E-05	2.618E-05	2.611E-05	2.606E-05	2.604E-05	2.603E-05	2.602E-05			
Lab 2	1.140E-05	4.800E-06	1.140E-05	1.140E-05	1.140E-05	1.140E-05	1.140E-05	1.140E-05	1.140E-05	1.140E-05	-0.680	Lab 26 -2.381	
Lab 9	1.310E-05	3.100E-06	1.310E-05	1.310E-05	1.310E-05	1.310E-05	1.310E-05	1.310E-05	1.310E-05	1.310E-05	-0.427	Lab 30 -0.934	
Lab 10	2.094E-05	4.739E-06	2.094E-05	2.094E-05	2.094E-05	2.094E-05	2.094E-05	2.094E-05	2.094E-05	2.094E-05	0.743	Lab 2 -0.680	
Lab 13	2.760E-05	1.140E-05	2.674E-05	2.634E-05	2.618E-05	2.611E-05	2.606E-05	2.604E-05	2.603E-05	2.602E-05	1.737	Lab 9 -0.427	
Lab 16	1.660E-05	4.000E-07	1.660E-05	1.660E-05	1.660E-05	1.660E-05	1.660E-05	1.660E-05	1.660E-05	1.660E-05	0.096	Lab 24 -0.307	
Lab 20	2.040E-05	4.200E-06	2.040E-05	2.040E-05	2.040E-05	2.040E-05	2.040E-05	2.040E-05	2.040E-05	2.040E-05	0.663	Lab 22 0.036	
Lab 21	2.140E-05	5.200E-06	2.140E-05	2.140E-05	2.140E-05	2.140E-05	2.140E-05	2.140E-05	2.140E-05	2.140E-05	0.812	Lab 16 0.096	
Lab 22	1.620E-05	0.000E+00	1.620E-05	1.620E-05	1.620E-05	1.620E-05	1.620E-05	1.620E-05	1.620E-05	1.620E-05	0.036	Lab 20 0.663	
Lab 24	1.390E-05	2.300E-06	1.390E-05	1.390E-05	1.390E-05	1.390E-05	1.390E-05	1.390E-05	1.390E-05	1.390E-05	-0.307	Lab 10 0.743	
Lab 26	0.000E+00	1.620E-05	5.659E-06	5.667E-06	5.752E-06	5.817E-06	5.857E-06	5.881E-06	5.894E-06	5.902E-06	-2.381	Lab 21 0.812	
Lab 30	9.700E-06	6.500E-06	9.700E-06	9.700E-06	9.700E-06	9.700E-06	9.700E-06	9.700E-06	9.700E-06	9.700E-06	-0.934	Lab 13 1.737	
Average	1.557E-05		1.600E-05	1.597E-05	1.596E-05	1.596E-05	1.596E-05	1.596E-05	1.596E-05	1.596E-05			
SD	7.318E-06	4.745E-06	6.077E-06	6.006E-06	5.964E-06	5.940E-06	5.926E-06	5.917E-06	5.913E-06	5.910E-06			
New $x^*$	1.620E-05	4.739E-06	1.600E-05	1.597E-05	1.596E-05	1.596E-05	1.596E-05	1.596E-05	1.596E-05	1.596E-05			
New $s^*$	7.027E-06		6.891E-06	6.810E-06	6.763E-06	6.736E-06	6.720E-06	6.710E-06	6.705E-06	6.702E-06	1.134*SD		

Πίνακας Π.23 Λόγος έκθεσης στη φασματική περιοχή VHF TV(108-300MHz): Σενάριο μέτρησης 3, Θέση μέτρησης 1

Number of laboratories=		8											
Iteration	0	xi-x*	1	2	3	4	...	11	12	13	14	Z-Score	Z-Score
$\delta=1.5s^*$	-		7.193E-04	7.493E-04	8.221E-04	8.940E-04	...	1.179E-03	1.182E-03	1.183E-03	1.184E-03		
$x^*-\delta$	-		9.558E-06	5.042E-05	2.810E-06	-4.455E-05	...	-2.352E-04	-2.373E-04	-2.384E-04	-2.390E-04		
$x^*+\delta$	-		1.448E-03	1.549E-03	1.647E-03	1.743E-03	...	2.122E-03	2.126E-03	2.128E-03	2.129E-03		
Lab 2	8.320E-04	1.032E-04	8.320E-04	8.320E-04	8.320E-04	8.320E-04	...	8.320E-04	8.320E-04	8.320E-04	8.320E-04	-0.143	Lab 21 -0.711
Lab 9	6.257E-04	1.032E-04	6.257E-04	6.257E-04	6.257E-04	6.257E-04	...	6.257E-04	6.257E-04	6.257E-04	6.257E-04	-0.405	Lab 20 -0.687
Lab 13	1.800E-02	1.727E-02	1.448E-03	1.549E-03	1.647E-03	1.743E-03	...	2.122E-03	2.126E-03	2.128E-03	2.129E-03	21.599	Lab 22 -0.680
Lab 20	4.030E-04	3.259E-04	4.030E-04	4.030E-04	4.030E-04	4.030E-04	...	4.030E-04	4.030E-04	4.030E-04	4.030E-04	-0.687	Lab 9 -0.405
Lab 21	3.840E-04	3.449E-04	3.840E-04	3.840E-04	3.840E-04	3.840E-04	...	3.840E-04	3.840E-04	3.840E-04	3.840E-04	-0.711	Lab 2 -0.143
Lab 22	4.080E-04	3.209E-04	4.080E-04	4.080E-04	4.080E-04	4.080E-04	...	4.080E-04	4.080E-04	4.080E-04	4.080E-04	-0.680	Lab 24 -0.122
Lab 24	8.487E-04	1.199E-04	8.487E-04	8.487E-04	8.487E-04	8.487E-04	...	8.487E-04	8.487E-04	8.487E-04	8.487E-04	-0.122	Lab 31 1.248
Lab 31	1.931E-03	1.202E-03	1.448E-03	1.549E-03	1.647E-03	1.743E-03	...	1.931E-03	1.931E-03	1.931E-03	1.931E-03	1.248	Lab 13 21.599
Average	2.929E-03		7.997E-04	8.249E-04	8.494E-04	8.735E-04	...	9.442E-04	9.447E-04	9.450E-04	9.451E-04		
SD	6.111E-03	5.990E-03	4.405E-04	4.833E-04	5.256E-04	5.676E-04	...	6.946E-04	6.955E-04	6.960E-04	6.963E-04		
New x*	7.289E-04	3.234E-04	7.997E-04	8.249E-04	8.494E-04	8.735E-04	...	9.442E-04	9.447E-04	9.450E-04	9.451E-04		
New s*	4.795E-04		4.995E-04	5.481E-04	5.960E-04	6.436E-04	...	7.877E-04	7.888E-04	7.893E-04	7.896E-04	1.134*SD	

Πίνακας Π.24 Λόγος έκθεσης στη φασματική περιοχή VHF TV(108-300MHz): Σενάριο μέτρησης 3, Θέση μέτρησης 2

Number of laboratories=			6				
Iteration	0	xi-x*	1	2	Z-Score	Z-Score αύξουσα σειρά	
$\delta=1.5s^*$	-		<b>3.382E-03</b>	<b>3.285E-03</b>			
$x^*-\delta$	-		<b>2.008E-03</b>	<b>1.712E-03</b>			
$x^*+\delta$	-		<b>8.772E-03</b>	<b>8.282E-03</b>			
Lab 2	6.710E-03	1.320E-03	6.710E-03	6.710E-03	0.782	Lab 22	-1.135
Lab 13	2.870E-03	2.520E-03	2.870E-03	2.870E-03	-0.971	Lab 13	-0.971
Lab 20	5.730E-03	3.404E-04	5.730E-03	5.730E-03	0.335	Lab 31	0.024
Lab 21	7.110E-03	1.720E-03	7.110E-03	7.110E-03	0.965	Lab 20	0.335
Lab 22	2.510E-03	2.880E-03	2.510E-03	2.510E-03	-1.135	Lab 2	0.782
Lab 31	5.049E-03	3.404E-04	5.049E-03	5.049E-03	0.024	Lab 21	0.965
Average	<b>4.997E-03</b>		<b>4.997E-03</b>	<b>4.997E-03</b>			
SD	<b>1.931E-03</b>	<b>1.069E-03</b>	<b>1.931E-03</b>	<b>1.931E-03</b>			
New $x^*$	<b>5.390E-03</b>	<b>1.520E-03</b>	<b>4.997E-03</b>	<b>4.997E-03</b>			
New $s^*$	<b>2.255E-03</b>		<b>2.190E-03</b>	<b>2.190E-03</b>			
							1.134*SD

Πίνακας Π.25 Λόγος έκθεσης στη φασματική περιοχή TETRA(300-450MHz): Σενάριο μέτρησης 1, Θέση μέτρησης 1

Number of laboratories=		11						
Iteration	0	xi-x*	1	2	3	4	Z-Score	Z-Score αύξουσα σειρά
$\bar{\delta}=1.5s^*$	-		<b>2.588E-06</b>	<b>2.432E-06</b>	<b>2.415E-06</b>	<b>2.408E-06</b>		
$x^*-\bar{\delta}$	-		<b>5.753E-07</b>	<b>8.293E-07</b>	<b>8.412E-07</b>	<b>8.456E-07</b>		
$x^*+\bar{\delta}$	-		<b>5.752E-06</b>	<b>5.693E-06</b>	<b>5.671E-06</b>	<b>5.662E-06</b>		
Lab 2	1.870E-06	1.294E-06	1.870E-06	1.870E-06	1.870E-06	1.870E-06	-0.862	Lab 30 -1.031
Lab 9	2.000E-06	1.164E-06	2.000E-06	2.000E-06	2.000E-06	2.000E-06	-0.781	Lab 2 -0.862
Lab 10	3.164E-06	0.000E+00	3.164E-06	3.164E-06	3.164E-06	3.164E-06	-0.056	Lab 9 -0.781
Lab 13	3.420E-06	2.565E-07	3.420E-06	3.420E-06	3.420E-06	3.420E-06	0.104	Lab 24 -0.781
Lab 16	2.700E-06	4.635E-07	2.700E-06	2.700E-06	2.700E-06	2.700E-06	-0.345	Lab 16 -0.345
Lab 17	3.430E-06	2.665E-07	3.430E-06	3.430E-06	3.430E-06	3.430E-06	0.110	Lab 10 -0.056
Lab 20	4.700E-06	1.537E-06	4.700E-06	4.700E-06	4.700E-06	4.700E-06	0.902	Lab 13 0.104
Lab 21	5.240E-06	2.077E-06	5.240E-06	5.240E-06	5.240E-06	5.240E-06	1.239	Lab 17 0.110
Lab 22	5.910E-06	2.747E-06	5.752E-06	5.693E-06	5.671E-06	5.662E-06	1.656	Lab 20 0.902
Lab 24	2.000E-06	1.164E-06	2.000E-06	2.000E-06	2.000E-06	2.000E-06	-0.781	Lab 21 1.239
Lab 30	1.600E-06	1.564E-06	1.600E-06	1.600E-06	1.600E-06	1.600E-06	-1.031	Lab 22 1.656
Average	<b>3.276E-06</b>		<b>3.261E-06</b>	<b>3.256E-06</b>	<b>3.254E-06</b>	<b>3.253E-06</b>		
SD	<b>1.458E-06</b>	<b>8.438E-07</b>	<b>1.430E-06</b>	<b>1.420E-06</b>	<b>1.416E-06</b>	<b>1.414E-06</b>		
New $x^*$	<b>3.164E-06</b>	<b>1.164E-06</b>	<b>3.261E-06</b>	<b>3.256E-06</b>	<b>3.254E-06</b>	<b>3.253E-06</b>		
New $s^*$	<b>1.725E-06</b>		<b>1.621E-06</b>	<b>1.610E-06</b>	<b>1.606E-06</b>	<b>1.604E-06</b>	<b>1.134*SD</b>	

**ΣΗΜΕΙΩΣΗ:** Η πλειοψηφία των εργαστηρίων ορίζει τη φασματική περιοχή TETRA στο εύρος 370-430MHz. Τα εργαστήρια 2, 7, 20, 21 και 22 δίνουν μετρήσεις συνολικά στη ζώνη 300-450MHz τις οποίες χρησιμοποιούμε για την αξιολόγησή τους στην περιοχή TETRA. Το εργαστήριο 13 δίνει μετρήσεις στις ζώνες 300-380MHz, 380-430MHz και 430-460MHz. Για τη σύγκρισή του με τα υπόλοιπα εργαστήρια στην περιοχή TETRA χρησιμοποιούμε μόνο τις μετρήσεις στη ζώνη 380-430MHz. Επομένως, οι μετρήσεις του στις περιοχές 300-380MHz και 430-460MHz κατατάσσονται στην κατηγορία OTHERS.

Πίνακας Π.26 Λόγος έκθεσης στη φασματική περιοχή TETRA(300-450MHz): Σενάριο μέτρησης 1, Θέση μέτρησης 2

Number of laboratories=	11								Z-Score	Z-Score	Z-Score
Iteration	0	χί-x*	1	2	3	4	5	6		αύξουσα	σειρά
δ=1.5s*	-		1.935E-06	1.944E-06	2.204E-06	2.464E-06	2.565E-06	2.592E-06			
x*-δ	-		7.347E-07	1.079E-06	9.178E-07	7.547E-07	6.892E-07	6.709E-07			
x*+δ	-		4.605E-06	4.968E-06	5.327E-06	5.682E-06	5.819E-06	5.855E-06			
Lab 2	1.700E-06	9.700E-07	1.700E-06	1.700E-06	1.700E-06	1.700E-06	1.700E-06	1.700E-06	-0.904	Lab 2	-0.904
Lab 9	2.100E-06	5.700E-07	2.100E-06	2.100E-06	2.100E-06	2.100E-06	2.100E-06	2.100E-06	-0.673	Lab 30	-0.847
Lab 10	3.011E-06	3.406E-07	3.011E-06	3.011E-06	3.011E-06	3.011E-06	3.011E-06	3.011E-06	-0.146	Lab 9	-0.673
Lab 13	3.560E-06	8.900E-07	3.560E-06	3.560E-06	3.560E-06	3.560E-06	3.560E-06	3.560E-06	0.172	Lab 16	-0.557
Lab 16	2.300E-06	3.700E-07	2.300E-06	2.300E-06	2.300E-06	2.300E-06	2.300E-06	2.300E-06	-0.557	Lab 24	-0.557
Lab 17	2.670E-06	0.000E+00	2.670E-06	2.670E-06	2.670E-06	2.670E-06	2.670E-06	2.670E-06	-0.343	Lab 17	-0.343
Lab 20	5.310E-06	2.640E-06	4.605E-06	4.968E-06	5.310E-06	5.310E-06	5.310E-06	5.310E-06	1.185	Lab 10	-0.146
Lab 21	5.360E-06	2.690E-06	4.605E-06	4.968E-06	5.327E-06	5.360E-06	5.360E-06	5.360E-06	1.214	Lab 13	0.172
Lab 22	5.780E-06	3.110E-06	4.605E-06	4.968E-06	5.327E-06	5.682E-06	5.780E-06	5.780E-06	1.457	Lab 20	1.185
Lab 24	2.300E-06	3.700E-07	2.300E-06	2.300E-06	2.300E-06	2.300E-06	2.300E-06	2.300E-06	-0.557	Lab 21	1.214
Lab 30	1.800E-06	8.700E-07	1.800E-06	1.800E-06	1.800E-06	1.800E-06	1.800E-06	1.800E-06	-0.847	Lab 22	1.457
Average	3.263E-06		3.023E-06	3.122E-06	3.219E-06	3.254E-06	3.263E-06	3.263E-06			
SD	1.524E-06	1.102E-06	1.143E-06	1.296E-06	1.448E-06	1.508E-06	1.524E-06	1.524E-06			
New x*	2.670E-06	8.700E-07	3.023E-06	3.122E-06	3.219E-06	3.254E-06	3.263E-06	3.263E-06			
New s*	1.290E-06		1.296E-06	1.470E-06	1.643E-06	1.710E-06	1.728E-06	1.728E-06	1.134*SD		

ΣΗΜΕΙΩΣΗ: Για το εργαστήριο 13 έχουν χρησιμοποιηθεί οι μετρήσεις στη ζώνη 380-430MHz.

**Πίνακας Π.27 Λόγος έκθεσης στη φασματική περιοχή TETRA(300-450MHz): Σενάριο μέτρησης 1, Θέση μέτρησης 3**

Number of laboratories=		<b>12</b>												
Iteration	0	xi-x*	1	2	3	4	5	6	7	8	Z-Score	Z-Score		
$\delta=1.5s^*$	-		<b>1.880E-06</b>	<b>2.186E-06</b>	<b>2.528E-06</b>	<b>2.797E-06</b>	<b>2.929E-06</b>	<b>2.996E-06</b>	<b>3.030E-06</b>	<b>3.048E-06</b>				
$x^*-\delta$	-		<b>1.670E-06</b>	<b>1.556E-06</b>	<b>1.330E-06</b>	<b>1.122E-06</b>	<b>1.001E-06</b>	<b>9.360E-07</b>	<b>9.017E-07</b>	<b>8.837E-07</b>				
$x^*+\delta$	-		<b>5.430E-06</b>	<b>5.929E-06</b>	<b>6.385E-06</b>	<b>6.717E-06</b>	<b>6.859E-06</b>	<b>6.927E-06</b>	<b>6.962E-06</b>	<b>6.980E-06</b>				
Lab 2	2.930E-06	6.200E-07	2.930E-06	2.930E-06	2.930E-06	2.930E-06	2.930E-06	2.930E-06	2.930E-06	2.930E-06	-0.492	Lab 29	-1.929	
Lab 9	3.600E-06	5.000E-08	3.600E-06	3.600E-06	3.600E-06	3.600E-06	3.600E-06	3.600E-06	3.600E-06	3.600E-06	-0.163	Lab 30	-0.948	
Lab 10	7.811E-06	4.261E-06	5.430E-06	5.929E-06	6.385E-06	6.717E-06	6.859E-06	6.927E-06	6.962E-06	6.980E-06	1.903	Lab 2	-0.492	
Lab 13	3.250E-06	3.000E-07	3.250E-06	3.250E-06	3.250E-06	3.250E-06	3.250E-06	3.250E-06	3.250E-06	3.250E-06	-0.335	Lab 17	-0.433	
Lab 16	4.000E-06	4.500E-07	4.000E-06	4.000E-06	4.000E-06	4.000E-06	4.000E-06	4.000E-06	4.000E-06	4.000E-06	0.033	Lab 13	-0.335	
Lab 17	3.050E-06	5.000E-07	3.050E-06	3.050E-06	3.050E-06	3.050E-06	3.050E-06	3.050E-06	3.050E-06	3.050E-06	-0.433	Lab 24	-0.212	
Lab 20	4.620E-06	1.070E-06	4.620E-06	4.620E-06	4.620E-06	4.620E-06	4.620E-06	4.620E-06	4.620E-06	4.620E-06	0.338	Lab 9	-0.163	
Lab 21	6.020E-06	2.470E-06	5.430E-06	5.929E-06	6.020E-06	6.020E-06	6.020E-06	6.020E-06	6.020E-06	6.020E-06	1.024	Lab 16	0.033	
Lab 22	6.350E-06	2.800E-06	5.430E-06	5.929E-06	6.350E-06	6.350E-06	6.350E-06	6.350E-06	6.350E-06	6.350E-06	1.186	Lab 20	0.338	
Lab 24	3.500E-06	5.000E-08	3.500E-06	3.500E-06	3.500E-06	3.500E-06	3.500E-06	3.500E-06	3.500E-06	3.500E-06	-0.212	Lab 21	1.024	
Lab 29	0.000E+00	3.550E-06	1.670E-06	1.556E-06	1.330E-06	1.122E-06	1.001E-06	9.360E-07	9.017E-07	8.837E-07	-1.929	Lab 22	1.186	
Lab 30	2.000E-06	1.550E-06	2.000E-06	2.000E-06	2.000E-06	2.000E-06	2.000E-06	2.000E-06	2.000E-06	2.000E-06	-0.948	Lab 10	1.903	
Average	<b>3.928E-06</b>		<b>3.742E-06</b>	<b>3.858E-06</b>	<b>3.920E-06</b>	<b>3.930E-06</b>	<b>3.932E-06</b>	<b>3.932E-06</b>	<b>3.932E-06</b>	<b>3.932E-06</b>				
SD	<b>2.077E-06</b>	<b>1.451E-06</b>	<b>1.285E-06</b>	<b>1.486E-06</b>	<b>1.645E-06</b>	<b>1.722E-06</b>	<b>1.761E-06</b>	<b>1.781E-06</b>	<b>1.792E-06</b>	<b>1.798E-06</b>				
New $x^*$	<b>3.550E-06</b>	<b>8.450E-07</b>	<b>3.742E-06</b>	<b>3.858E-06</b>	<b>3.920E-06</b>	<b>3.930E-06</b>	<b>3.932E-06</b>	<b>3.932E-06</b>	<b>3.932E-06</b>	<b>3.932E-06</b>				
New $s^*$	<b>1.253E-06</b>		<b>1.457E-06</b>	<b>1.685E-06</b>	<b>1.865E-06</b>	<b>1.953E-06</b>	<b>1.997E-06</b>	<b>2.020E-06</b>	<b>2.032E-06</b>	<b>2.038E-06</b>	1.134*SD			

**ΣΗΜΕΙΩΣΗ:** Για το εργαστήριο 13 έχουν χρησιμοποιηθεί οι μετρήσεις στη ζώνη 380-430MHz.



Πίνακας Π.28 Λόγος έκθεσης στη φασματική περιοχή TETRA(300-450MHz): Σενάριο μέτρησης 2, Θέση μέτρησης 1

Number of laboratories=		12											
Iteration	0	$\bar{x}_i - x^*$	1	2	3	4	...	7	8	9	10	Z-Score	Z-Score
$\delta=1.5s^*$	-		1.579E-06	1.851E-06	2.099E-06	2.326E-06	...	2.718E-06	2.798E-06	2.853E-06	2.865E-06		
$x^* - \delta$	-		1.281E-06	9.998E-07	7.485E-07	5.188E-07	...	7.334E-08	-1.907E-08	-8.056E-08	-8.911E-08		
$x^* + \delta$	-		4.439E-06	4.702E-06	4.947E-06	5.170E-06	...	5.509E-06	5.577E-06	5.625E-06	5.642E-06		
Lab 2	3.040E-06	1.800E-07	3.040E-06	3.040E-06	3.040E-06	3.040E-06	...	3.040E-06	3.040E-06	3.040E-06	3.040E-06	0.137	Lab 26 -1.452
Lab 9	2.200E-06	6.600E-07	2.200E-06	2.200E-06	2.200E-06	2.200E-06	...	2.200E-06	2.200E-06	2.200E-06	2.200E-06	-0.302	Lab 27 -1.452
Lab 10	3.020E-06	1.600E-07	3.020E-06	3.020E-06	3.020E-06	3.020E-06	...	3.020E-06	3.020E-06	3.020E-06	3.020E-06	0.127	Lab 30 -0.354
Lab 13	3.380E-06	5.200E-07	3.380E-06	3.380E-06	3.380E-06	3.380E-06	...	3.380E-06	3.380E-06	3.380E-06	3.380E-06	0.315	Lab 9 -0.302
Lab 16	2.700E-06	1.600E-07	2.700E-06	2.700E-06	2.700E-06	2.700E-06	...	2.700E-06	2.700E-06	2.700E-06	2.700E-06	-0.041	Lab 24 -0.250
Lab 20	4.030E-06	1.170E-06	4.030E-06	4.030E-06	4.030E-06	4.030E-06	...	4.030E-06	4.030E-06	4.030E-06	4.030E-06	0.655	Lab 16 -0.041
Lab 21	6.790E-06	3.930E-06	4.439E-06	4.702E-06	4.947E-06	5.170E-06	...	5.509E-06	5.577E-06	5.625E-06	5.642E-06	2.097	Lab 10 0.127
Lab 22	4.920E-06	2.060E-06	4.439E-06	4.702E-06	4.920E-06	4.920E-06	...	4.920E-06	4.920E-06	4.920E-06	4.920E-06	1.120	Lab 2 0.137
Lab 24	2.300E-06	5.600E-07	2.300E-06	2.300E-06	2.300E-06	2.300E-06	...	2.300E-06	2.300E-06	2.300E-06	2.300E-06	-0.250	Lab 13 0.315
Lab 26	0.000E+00	2.860E-06	1.281E-06	9.998E-07	7.485E-07	5.188E-07	...	7.334E-08	0.000E+00	0.000E+00	0.000E+00	-1.452	Lab 20 0.655
Lab 27	0.000E+00	2.860E-06	1.281E-06	9.998E-07	7.485E-07	5.188E-07	...	7.334E-08	0.000E+00	0.000E+00	0.000E+00	-1.452	Lab 22 1.120
Lab 30	2.100E-06	7.600E-07	2.100E-06	2.100E-06	2.100E-06	2.100E-06	...	2.100E-06	2.100E-06	2.100E-06	2.100E-06	-0.354	Lab 21 2.097
Average	2.873E-06		2.851E-06	2.848E-06	2.845E-06	2.825E-06	...	2.779E-06	2.772E-06	2.776E-06	2.778E-06		
SD	1.885E-06	1.282E-06	1.088E-06	1.234E-06	1.367E-06	1.464E-06	...	1.645E-06	1.677E-06	1.685E-06	1.687E-06		
New $x^*$	2.860E-06	7.100E-07	2.851E-06	2.848E-06	2.845E-06	2.825E-06	...	2.779E-06	2.772E-06	2.776E-06	2.778E-06		
New $s^*$	1.053E-06		1.234E-06	1.400E-06	1.550E-06	1.660E-06	...	1.865E-06	1.902E-06	1.910E-06	1.913E-06	1.134*SD	

ΣΗΜΕΙΩΣΗ: Για το εργαστήριο 13 έχουν χρησιμοποιηθεί οι μετρήσεις στη ζώνη 380-430MHz.

Πίνακας Π.29 Λόγος έκθεσης στη φασματική περιοχή TETRA(300-450MHz): Σενάριο μέτρησης 2, Θέση μέτρησης 2

Number of laboratories=		12									
Iteration	0	$\chi_i - x^*$	1	2	3	4	5	6	Z-Score	Z-Score αύξουσα σειρά	
$\delta = 1.5s^*$	-		<b>3.114E-06</b>	<b>3.393E-06</b>	<b>3.659E-06</b>	<b>3.814E-06</b>	<b>3.866E-06</b>	<b>3.885E-06</b>			
$x^* - \delta$	-		<b>-3.592E-07</b>	<b>-3.343E-07</b>	<b>-5.027E-07</b>	<b>-6.041E-07</b>	<b>-6.395E-07</b>	<b>-6.519E-07</b>			
$x^* + \delta$	-		<b>5.869E-06</b>	<b>6.452E-06</b>	<b>6.815E-06</b>	<b>7.023E-06</b>	<b>7.093E-06</b>	<b>7.117E-06</b>			
Lab 2	3.450E-06	6.949E-07	3.450E-06	3.450E-06	3.450E-06	3.450E-06	3.450E-06	3.450E-06	0.083	Lab 26 -1.247	
Lab 9	2.600E-06	1.551E-07	2.600E-06	2.600E-06	2.600E-06	2.600E-06	2.600E-06	2.600E-06	-0.245	Lab 27 -1.247	
Lab 10	2.910E-06	1.551E-07	2.910E-06	2.910E-06	2.910E-06	2.910E-06	2.910E-06	2.910E-06	-0.125	Lab 30 -0.630	
<b>Lab 13</b>	<b>3.250E-05</b>	2.974E-05	5.869E-06	6.452E-06	6.815E-06	7.023E-06	7.093E-06	7.117E-06	<b>11.282</b>	Lab 24 -0.322	
Lab 16	2.500E-06	2.551E-07	2.500E-06	2.500E-06	2.500E-06	2.500E-06	2.500E-06	2.500E-06	-0.283	Lab 16 -0.283	
Lab 20	4.400E-06	1.645E-06	4.400E-06	4.400E-06	4.400E-06	4.400E-06	4.400E-06	4.400E-06	0.449	Lab 9 -0.245	
Lab 21	6.730E-06	3.975E-06	5.869E-06	6.452E-06	6.730E-06	6.730E-06	6.730E-06	6.730E-06	1.347	Lab 10 -0.125	
Lab 22	5.110E-06	2.355E-06	5.110E-06	5.110E-06	5.110E-06	5.110E-06	5.110E-06	5.110E-06	0.723	Lab 2 0.083	
Lab 24	2.400E-06	3.551E-07	2.400E-06	2.400E-06	2.400E-06	2.400E-06	2.400E-06	2.400E-06	-0.322	Lab 20 0.449	
Lab 26	0.000E+00	2.755E-06	0.000E+00	0.000E+00	0.000E+00	0.000E+00	0.000E+00	0.000E+00	-1.247	Lab 22 0.723	
Lab 27	0.000E+00	2.755E-06	0.000E+00	0.000E+00	0.000E+00	0.000E+00	0.000E+00	0.000E+00	-1.247	Lab 21 1.347	
Lab 30	1.600E-06	1.155E-06	1.600E-06	1.600E-06	1.600E-06	1.600E-06	1.600E-06	1.600E-06	-0.630	<b>Lab 13 11.282</b>	
Average	<b>5.350E-06</b>		<b>3.059E-06</b>	<b>3.156E-06</b>	<b>3.210E-06</b>	<b>3.227E-06</b>	<b>3.233E-06</b>	<b>3.235E-06</b>			
SD	<b>8.766E-06</b>	<b>8.256E-06</b>	<b>1.995E-06</b>	<b>2.151E-06</b>	<b>2.242E-06</b>	<b>2.273E-06</b>	<b>2.284E-06</b>	<b>2.287E-06</b>			
New $x^*$	<b>2.755E-06</b>	<b>1.400E-06</b>	<b>3.059E-06</b>	<b>3.156E-06</b>	<b>3.210E-06</b>	<b>3.227E-06</b>	<b>3.233E-06</b>	<b>3.235E-06</b>			
New $s^*$	<b>2.076E-06</b>		<b>2.262E-06</b>	<b>2.439E-06</b>	<b>2.542E-06</b>	<b>2.578E-06</b>	<b>2.590E-06</b>	<b>2.594E-06</b>	<b>1.134*SD</b>		

**ΣΗΜΕΙΩΣΗ:** Για το εργαστήριο 13 έχουν χρησιμοποιηθεί οι μετρήσεις στη ζώνη 380-430MHz.

Πίνακας Π.30 Λόγος έκθεσης στη φασματική περιοχή TETRA(300-450MHz): Σενάριο μέτρησης 2, Θέση μέτρησης 3

Number of laboratories=		12								
Iteration	0	xi-x*	1	2	3	4	5	6	Z-Score	Z-Score
$\delta=1.5s^*$	-		<b>2.291E-06</b>	<b>2.638E-06</b>	<b>2.872E-06</b>	<b>3.046E-06</b>	<b>3.131E-06</b>	<b>3.152E-06</b>		
$x^*-\delta$	-		<b>6.059E-07</b>	<b>3.354E-07</b>	<b>9.423E-08</b>	<b>-1.005E-07</b>	<b>-1.885E-07</b>	<b>-2.028E-07</b>		
$x^*+\delta$	-		<b>5.188E-06</b>	<b>5.612E-06</b>	<b>5.839E-06</b>	<b>5.991E-06</b>	<b>6.073E-06</b>	<b>6.101E-06</b>		
Lab 2	3.390E-06	4.929E-07	3.390E-06	3.390E-06	3.390E-06	3.390E-06	3.390E-06	3.390E-06	0.208	Lab 26 -1.401
Lab 9	2.200E-06	6.971E-07	2.200E-06	2.200E-06	2.200E-06	2.200E-06	2.200E-06	2.200E-06	-0.357	Lab 27 -1.401
Lab 10	2.994E-06	9.710E-08	2.994E-06	2.994E-06	2.994E-06	2.994E-06	2.994E-06	2.994E-06	0.020	Lab 30 -0.499
Lab 13	3.960E-06	1.063E-06	3.960E-06	3.960E-06	3.960E-06	3.960E-06	3.960E-06	3.960E-06	0.479	Lab 9 -0.357
Lab 16	2.800E-06	9.710E-08	2.800E-06	2.800E-06	2.800E-06	2.800E-06	2.800E-06	2.800E-06	-0.072	Lab 24 -0.262
Lab 20	4.450E-06	1.553E-06	4.450E-06	4.450E-06	4.450E-06	4.450E-06	4.450E-06	4.450E-06	0.712	Lab 16 -0.072
Lab 21	<b>7.570E-06</b>	4.673E-06	5.188E-06	5.612E-06	5.839E-06	5.991E-06	6.073E-06	6.101E-06	<b>2.193</b>	Lab 10 0.020
Lab 22	5.220E-06	2.323E-06	5.188E-06	5.220E-06	5.220E-06	5.220E-06	5.220E-06	5.220E-06	1.077	Lab 2 0.208
Lab 24	2.400E-06	4.971E-07	2.400E-06	2.400E-06	2.400E-06	2.400E-06	2.400E-06	2.400E-06	-0.262	Lab 13 0.479
Lab 26	0.000E+00	2.897E-06	6.059E-07	3.354E-07	9.423E-08	0.000E+00	0.000E+00	0.000E+00	-1.401	Lab 20 0.712
Lab 27	0.000E+00	2.897E-06	6.059E-07	3.354E-07	9.423E-08	0.000E+00	0.000E+00	0.000E+00	-1.401	Lab 22 1.077
Lab 30	1.900E-06	9.971E-07	1.900E-06	1.900E-06	1.900E-06	1.900E-06	1.900E-06	1.900E-06	-0.499	Lab 21 <b>2.193</b>
Average	<b>3.074E-06</b>		<b>2.974E-06</b>	<b>2.966E-06</b>	<b>2.945E-06</b>	<b>2.942E-06</b>	<b>2.949E-06</b>	<b>2.951E-06</b>		
SD	<b>2.114E-06</b>	<b>1.404E-06</b>	<b>1.551E-06</b>	<b>1.689E-06</b>	<b>1.790E-06</b>	<b>1.840E-06</b>	<b>1.853E-06</b>	<b>1.857E-06</b>		
New $x^*$	<b>2.897E-06</b>	<b>1.030E-06</b>	<b>2.974E-06</b>	<b>2.966E-06</b>	<b>2.945E-06</b>	<b>2.942E-06</b>	<b>2.949E-06</b>	<b>2.951E-06</b>		
New $s^*$	<b>1.527E-06</b>		<b>1.759E-06</b>	<b>1.915E-06</b>	<b>2.030E-06</b>	<b>2.087E-06</b>	<b>2.101E-06</b>	<b>2.106E-06</b>	<b>1.134*SD</b>	

ΣΗΜΕΙΩΣΗ: Για το εργαστήριο 13 έχουν χρησιμοποιηθεί οι μετρήσεις στη ζώνη 380-430MHz.

Πίνακας Π.31 Λόγος έκθεσης στη φασματική περιοχή TETRA(300-450MHz): Σενάριο μέτρησης 3, Θέση μέτρησης 1

Number of laboratories=		8											
Iteration	0	xi-x*	1	2	3	4	...	8	9	10	11	Z-Score	Z-Score
$\delta=1.5s^*$	-		<b>6.206E-05</b>	<b>7.457E-05</b>	<b>8.853E-05</b>	<b>1.040E-04</b>	...	<b>1.506E-04</b>	<b>1.539E-04</b>	<b>1.557E-04</b>	<b>1.566E-04</b>		
$x^*-\delta$	-		<b>6.249E-05</b>	<b>5.406E-05</b>	<b>4.319E-05</b>	<b>3.065E-05</b>	...	<b>-1.134E-06</b>	<b>-3.400E-06</b>	<b>-4.618E-06</b>	<b>-5.272E-06</b>		
$x^*+\delta$	-		<b>1.866E-04</b>	<b>2.032E-04</b>	<b>2.202E-04</b>	<b>2.386E-04</b>	...	<b>3.001E-04</b>	<b>3.044E-04</b>	<b>3.067E-04</b>	<b>3.080E-04</b>		
Lab 2	<b>5.500E-04</b>	4.255E-04	1.866E-04	2.032E-04	2.202E-04	2.386E-04	...	3.001E-04	3.044E-04	3.067E-04	3.080E-04	<b>3.805</b>	Lab 13 -1.092
Lab 9	9.220E-05	3.235E-05	9.220E-05	9.220E-05	9.220E-05	9.220E-05	...	9.220E-05	9.220E-05	9.220E-05	9.220E-05	-0.566	Lab 9 -0.566
Lab 13	3.710E-05	8.745E-05	6.249E-05	5.406E-05	4.319E-05	3.710E-05	...	3.710E-05	3.710E-05	3.710E-05	3.710E-05	-1.092	Lab 20 -0.453
Lab 20	1.040E-04	2.055E-05	1.040E-04	1.040E-04	1.040E-04	1.040E-04	...	1.040E-04	1.040E-04	1.040E-04	1.040E-04	-0.453	Lab 24 -0.281
Lab 21	1.480E-04	2.345E-05	1.480E-04	1.480E-04	1.480E-04	1.480E-04	...	1.480E-04	1.480E-04	1.480E-04	1.480E-04	-0.033	Lab 22 -0.234
Lab 22	1.270E-04	2.450E-06	1.270E-04	1.270E-04	1.270E-04	1.270E-04	...	1.270E-04	1.270E-04	1.270E-04	1.270E-04	-0.234	Lab 21 -0.033
Lab 24	1.221E-04	2.450E-06	1.221E-04	1.221E-04	1.221E-04	1.221E-04	...	1.221E-04	1.221E-04	1.221E-04	1.221E-04	-0.281	Lab 31 1.166
Lab 31	2.736E-04	1.491E-04	1.866E-04	2.032E-04	2.202E-04	2.386E-04	...	2.736E-04	2.736E-04	2.736E-04	2.736E-04	1.166	Lab 2 3.805
Average	<b>1.818E-04</b>		<b>1.286E-04</b>	<b>1.317E-04</b>	<b>1.346E-04</b>	<b>1.384E-04</b>	...	<b>1.505E-04</b>	<b>1.511E-04</b>	<b>1.513E-04</b>	<b>1.515E-04</b>		
SD	<b>1.633E-04</b>	<b>1.434E-04</b>	<b>4.384E-05</b>	<b>5.204E-05</b>	<b>6.112E-05</b>	<b>6.984E-05</b>	...	<b>9.048E-05</b>	<b>9.152E-05</b>	<b>9.207E-05</b>	<b>9.237E-05</b>		
New $x^*$	<b>1.246E-04</b>	<b>2.790E-05</b>	<b>1.286E-04</b>	<b>1.317E-04</b>	<b>1.346E-04</b>	<b>1.384E-04</b>	...	<b>1.505E-04</b>	<b>1.511E-04</b>	<b>1.513E-04</b>	<b>1.515E-04</b>		
New $s^*$	<b>4.138E-05</b>		<b>4.971E-05</b>	<b>5.902E-05</b>	<b>6.932E-05</b>	<b>7.920E-05</b>	...	<b>1.026E-04</b>	<b>1.038E-04</b>	<b>1.044E-04</b>	<b>1.047E-04</b>	<b>1.134*SD</b>	

ΣΗΜΕΙΩΣΗ: Για το εργαστήριο 13 έχουν χρησιμοποιηθεί οι μετρήσεις στη ζώνη 380-430MHz.

Πίνακας Π.32 Λόγος έκθεσης στη φασματική περιοχή TETRA(300-450MHz): Σενάριο μέτρησης 3, Θέση μέτρησης 2

Number of laboratories=		6													
Iteration	0	$\chi_i - x^*$	1	2	3	4	...	11	12	13	14	Z-Score	Z-Score αύξουσα σειρά		
$\delta=1.5s^*$	-		6.229E-05	7.350E-05	8.463E-05	9.592E-05	...	1.476E-04	1.494E-04	1.507E-04	1.516E-04				
$x^* - \delta$	-		1.027E-04	9.084E-05	7.948E-05	6.812E-05	...	2.183E-05	2.057E-05	1.964E-05	1.895E-05				
$x^* + \delta$	-		2.273E-04	2.378E-04	2.487E-04	2.600E-04	...	3.170E-04	3.193E-04	3.210E-04	3.222E-04				
Lab 2	1.910E-04	2.600E-05	1.910E-04	1.910E-04	1.910E-04	1.910E-04	...	1.910E-04	1.910E-04	1.910E-04	1.910E-04	0.199	Lab 13 -1.223		
Lab 13	4.660E-05	1.184E-04	1.027E-04	9.084E-05	7.948E-05	6.812E-05	...	4.660E-05	4.660E-05	4.660E-05	4.660E-05	-1.223	Lab 20 -0.353		
Lab 20	1.350E-04	3.000E-05	1.350E-04	1.350E-04	1.350E-04	1.350E-04	...	1.350E-04	1.350E-04	1.350E-04	1.350E-04	-0.353	Lab 22 -0.067		
Lab 21	1.660E-04	1.000E-06	1.660E-04	1.660E-04	1.660E-04	1.660E-04	...	1.660E-04	1.660E-04	1.660E-04	1.660E-04	-0.047	Lab 21 -0.047		
Lab 22	1.640E-04	1.000E-06	1.640E-04	1.640E-04	1.640E-04	1.640E-04	...	1.640E-04	1.640E-04	1.640E-04	1.640E-04	-0.067	Lab 2 0.199		
Lab 31	8.780E-04	7.130E-04	2.273E-04	2.378E-04	2.487E-04	2.600E-04	...	3.170E-04	3.193E-04	3.210E-04	3.222E-04	6.962	Lab 31 6.962		
Average	2.634E-04		1.643E-04	1.641E-04	1.640E-04	1.640E-04	...	1.699E-04	1.703E-04	1.706E-04	1.708E-04				
SD	3.052E-04	2.800E-04	4.321E-05	4.975E-05	5.639E-05	6.321E-05	...	8.781E-05	8.858E-05	8.915E-05	8.958E-05				
New $x^*$	1.650E-04	2.800E-05	1.643E-04	1.641E-04	1.640E-04	1.640E-04	...	1.699E-04	1.703E-04	1.706E-04	1.708E-04				
New $s^*$	4.152E-05		4.900E-05	5.642E-05	6.395E-05	7.168E-05	...	9.957E-05	1.004E-04	1.011E-04	1.016E-04	1.134*SD			

ΣΗΜΕΙΩΣΗ: Για το εργαστήριο 13 έχουν χρησιμοποιηθεί οι μετρήσεις στη ζώνη 380-430MHz.

**Πίνακας Π.33 Λόγος έκθεσης στη φασματική περιοχή TV UHF (460-880MHz): Σενάριο μέτρησης 1, Θέση μέτρησης 1**

Number of laboratories=		<b>12</b>					Z-Score	Z-Score	
Iteration	0	$\chi_i - x^*$	1	2	3	4		αύξουσα	σειρά
$\delta = 1.5s^*$	-		<b>3.892E-05</b>	<b>4.204E-05</b>	<b>4.372E-05</b>	<b>4.403E-05</b>			
$x^* - \delta$	-		<b>-3.218E-06</b>	<b>-2.313E-06</b>	<b>-3.391E-06</b>	<b>-3.599E-06</b>			
$x^* + \delta$	-		<b>7.462E-05</b>	<b>8.177E-05</b>	<b>8.404E-05</b>	<b>8.445E-05</b>			
Lab 2	1.670E-06	3.403E-05	1.670E-06	1.670E-06	1.670E-06	1.670E-06	-1.320	Lab 29	-1.377
Lab 9	3.140E-05	4.300E-06	3.140E-05	3.140E-05	3.140E-05	3.140E-05	-0.308	Lab 2	-1.320
Lab 10	3.104E-05	4.660E-06	3.104E-05	3.104E-05	3.104E-05	3.104E-05	-0.320	Lab 18	-0.495
Lab 13	8.300E-05	4.730E-05	7.462E-05	8.177E-05	8.300E-05	8.300E-05	1.451	Lab 10	-0.320
Lab 16	4.360E-05	7.900E-06	4.360E-05	4.360E-05	4.360E-05	4.360E-05	0.108	Lab 9	-0.308
Lab 18	2.591E-05	9.790E-06	2.591E-05	2.591E-05	2.591E-05	2.591E-05	-0.495	Lab 30	-0.301
Lab 20	6.090E-05	2.520E-05	6.090E-05	6.090E-05	6.090E-05	6.090E-05	0.698	Lab 24	-0.021
Lab 21	6.850E-05	3.280E-05	6.850E-05	6.850E-05	6.850E-05	6.850E-05	0.956	Lab 16	0.108
Lab 22	6.770E-05	3.200E-05	6.770E-05	6.770E-05	6.770E-05	6.770E-05	0.929	Lab 20	0.698
Lab 24	3.980E-05	4.100E-06	3.980E-05	3.980E-05	3.980E-05	3.980E-05	-0.021	Lab 22	0.929
Lab 29	0.000E+00	3.570E-05	0.000E+00	0.000E+00	0.000E+00	0.000E+00	-1.377	Lab 21	0.956
Lab 30	3.160E-05	4.100E-06	3.160E-05	3.160E-05	3.160E-05	3.160E-05	-0.301	Lab 13	1.451
Average	<b>4.043E-05</b>		<b>3.973E-05</b>	<b>4.032E-05</b>	<b>4.043E-05</b>	<b>4.043E-05</b>			
SD	<b>2.588E-05</b>	<b>1.584E-05</b>	<b>2.472E-05</b>	<b>2.570E-05</b>	<b>2.588E-05</b>	<b>2.588E-05</b>			
New $x^*$	<b>3.570E-05</b>	<b>1.750E-05</b>	<b>3.973E-05</b>	<b>4.032E-05</b>	<b>4.043E-05</b>	<b>4.043E-05</b>			
New $s^*$	<b>2.595E-05</b>		<b>2.803E-05</b>	<b>2.914E-05</b>	<b>2.935E-05</b>	<b>2.935E-05</b>	1.134*SD		

Πίνακας Π.34 Λόγος έκθεσης στη φασματική περιοχή TV UHF (460-880MHz): Σενάριο μέτρησης 1, Θέση μέτρησης 2

Number of laboratories=		12											
Iteration	0	xi-x*	1	2	3	4	5	6	7	8	9	Z-Score	Z-Score αύξουσα σειρά
$\delta=1.5s^*$	-		1.846E-05	2.153E-05	2.387E-05	2.566E-05	2.707E-05	2.800E-05	2.848E-05	2.873E-05	2.886E-05		
$x^*-\delta$	-		1.329E-05	9.091E-06	6.221E-06	4.093E-06	2.455E-06	1.410E-06	9.139E-07	6.629E-07	5.328E-07		
$x^*+\delta$	-		5.021E-05	5.216E-05	5.395E-05	5.542E-05	5.660E-05	5.741E-05	5.787E-05	5.811E-05	5.824E-05		
Lab 2	3.190E-06	2.856E-05	1.329E-05	9.091E-06	6.221E-06	4.093E-06	3.190E-06	3.190E-06	3.190E-06	3.190E-06	3.190E-06	-1.359	Lab 26 -1.524
Lab 9	3.230E-05	5.500E-07	3.230E-05	3.230E-05	3.230E-05	3.230E-05	3.230E-05	3.230E-05	3.230E-05	3.230E-05	3.230E-05	0.151	Lab 2 -1.359
Lab 10	2.653E-05	5.218E-06	2.653E-05	2.653E-05	2.653E-05	2.653E-05	2.653E-05	2.653E-05	2.653E-05	2.653E-05	2.653E-05	-0.148	Lab 18 -0.748
Lab 13	6.550E-05	3.375E-05	5.021E-05	5.216E-05	5.395E-05	5.542E-05	5.660E-05	5.741E-05	5.787E-05	5.811E-05	5.824E-05	1.873	Lab 16 -0.186
Lab 16	2.580E-05	5.950E-06	2.580E-05	2.580E-05	2.580E-05	2.580E-05	2.580E-05	2.580E-05	2.580E-05	2.580E-05	2.580E-05	-0.186	Lab 10 -0.148
Lab 18	1.496E-05	1.679E-05	1.496E-05	1.496E-05	1.496E-05	1.496E-05	1.496E-05	1.496E-05	1.496E-05	1.496E-05	1.496E-05	-0.748	Lab 30 0.094
Lab 20	4.850E-05	1.675E-05	4.850E-05	4.850E-05	4.850E-05	4.850E-05	4.850E-05	4.850E-05	4.850E-05	4.850E-05	4.850E-05	0.991	Lab 9 0.151
Lab 21	3.380E-05	2.050E-06	3.380E-05	3.380E-05	3.380E-05	3.380E-05	3.380E-05	3.380E-05	3.380E-05	3.380E-05	3.380E-05	0.229	Lab 21 0.229
Lab 22	4.240E-05	1.065E-05	4.240E-05	4.240E-05	4.240E-05	4.240E-05	4.240E-05	4.240E-05	4.240E-05	4.240E-05	4.240E-05	0.675	Lab 24 0.301
Lab 24	3.520E-05	3.450E-06	3.520E-05	3.520E-05	3.520E-05	3.520E-05	3.520E-05	3.520E-05	3.520E-05	3.520E-05	3.520E-05	0.301	Lab 22 0.675
Lab 26	0.000E+00	3.175E-05	1.329E-05	9.091E-06	6.221E-06	4.093E-06	2.455E-06	1.410E-06	9.139E-07	6.629E-07	5.328E-07	-1.524	Lab 20 0.991
Lab 30	3.120E-05	5.500E-07	3.120E-05	3.120E-05	3.120E-05	3.120E-05	3.120E-05	3.120E-05	3.120E-05	3.120E-05	3.120E-05	0.094	Lab 13 1.873
Average	2.995E-05		3.062E-05	3.009E-05	2.976E-05	2.952E-05	2.941E-05	2.939E-05	2.939E-05	2.939E-05	2.939E-05		
SD	1.829E-05	1.239E-05	1.266E-05	1.403E-05	1.509E-05	1.591E-05	1.646E-05	1.674E-05	1.689E-05	1.696E-05	1.700E-05		
New $x^*$	3.175E-05	8.300E-06	3.062E-05	3.009E-05	2.976E-05	2.952E-05	2.941E-05	2.939E-05	2.939E-05	2.939E-05	2.939E-05		
New $s^*$	1.231E-05		1.436E-05	1.591E-05	1.711E-05	1.805E-05	1.867E-05	1.899E-05	1.915E-05	1.924E-05	1.928E-05	1.134*SD	

Πίνακας Π.35 Λόγος έκθεσης στη φασματική περιοχή TV UHF (460-880MHz): Σενάριο μέτρησης 1, Θέση μέτρησης 3

Number of laboratories=		<b>11</b>					
Iteration	0	$\chi_i - x^*$	1	2	3	Z-Score	Z-Score αύξουσα σειρά
$\delta = 1.5s^*$	-		<b>4.049E-05</b>	<b>4.371E-05</b>	<b>4.416E-05</b>		
$x^* - \delta$	-		<b>1.614E-06</b>	<b>-4.921E-07</b>	<b>-1.089E-06</b>		
$x^* + \delta$	-		<b>8.259E-05</b>	<b>8.694E-05</b>	<b>8.724E-05</b>		
Lab 2	3.530E-06	3.857E-05	3.530E-06	3.530E-06	3.530E-06	-1.343	Lab 29 -1.463
Lab 9	3.560E-05	6.500E-06	3.560E-05	3.560E-05	3.560E-05	-0.254	Lab 2 -1.343
Lab 10	8.100E-05	3.890E-05	8.100E-05	8.100E-05	8.100E-05	1.288	Lab 16 -0.434
Lab 13	6.700E-05	2.490E-05	6.700E-05	6.700E-05	6.700E-05	0.813	Lab 9 -0.254
Lab 16	3.030E-05	1.180E-05	3.030E-05	3.030E-05	3.030E-05	-0.434	Lab 21 -0.128
Lab 20	7.100E-05	2.890E-05	7.100E-05	7.100E-05	7.100E-05	0.948	Lab 30 -0.033
Lab 21	3.930E-05	2.800E-06	3.930E-05	3.930E-05	3.930E-05	-0.128	Lab 24 0.021
Lab 22	6.030E-05	1.820E-05	6.030E-05	6.030E-05	6.030E-05	0.585	Lab 22 0.585
Lab 24	4.370E-05	1.600E-06	4.370E-05	4.370E-05	4.370E-05	0.021	Lab 13 0.813
Lab 29	0.000E+00	4.210E-05	1.614E-06	0.000E+00	0.000E+00	-1.463	Lab 20 0.948
Lab 30	4.210E-05	0.000E+00	4.210E-05	4.210E-05	4.210E-05	-0.033	Lab 10 1.288
Average	<b>4.308E-05</b>		<b>4.322E-05</b>	<b>4.308E-05</b>	<b>4.308E-05</b>		
SD	<b>2.596E-05</b>	<b>1.606E-05</b>	<b>2.570E-05</b>	<b>2.596E-05</b>	<b>2.596E-05</b>		
New $x^*$	<b>4.210E-05</b>	<b>1.820E-05</b>	<b>4.322E-05</b>	<b>4.308E-05</b>	<b>4.308E-05</b>		
New $s^*$	<b>2.699E-05</b>		<b>2.914E-05</b>	<b>2.944E-05</b>	<b>2.944E-05</b>	<b>1.134*SD</b>	



Πίνακας Π.36 Λόγος έκθεσης στη φασματική περιοχή TV UHF (460-880MHz): Σενάριο μέτρησης 2, Θέση μέτρησης 1

Number of laboratories=			13				
Iteration	0	xi-x*	1	2	Z-Score	Z-Score αύξουσα σειρά	
$\bar{\delta}=1.5s^*$	-		<b>4.582E-05</b>	<b>3.852E-05</b>			
$x^*-\bar{\delta}$	-		<b>-1.572E-05</b>	<b>-4.420E-06</b>			
$x^*+\bar{\delta}$	-		<b>7.592E-05</b>	<b>7.263E-05</b>			
Lab 2	9.150E-06	2.095E-05	9.150E-06	9.150E-06	-0.972	Lab 26	-1.328
Lab 9	2.550E-05	4.600E-06	2.550E-05	2.550E-05	-0.335	Lab 27	-1.328
Lab 10	5.070E-05	2.060E-05	5.070E-05	5.070E-05	0.646	Lab 2	-0.972
Lab 13	6.760E-05	3.750E-05	6.760E-05	6.760E-05	1.304	Lab 18	-0.413
Lab 16	3.010E-05	0.000E+00	3.010E-05	3.010E-05	-0.156	Lab 9	-0.335
Lab 18	2.350E-05	6.600E-06	2.350E-05	2.350E-05	-0.413	Lab 30	-0.203
Lab 20	6.300E-05	3.290E-05	6.300E-05	6.300E-05	1.125	Lab 16	-0.156
Lab 21	5.790E-05	2.780E-05	5.790E-05	5.790E-05	0.927	Lab 22	0.335
Lab 22	4.270E-05	1.260E-05	4.270E-05	4.270E-05	0.335	Lab 24	0.397
Lab 24	4.430E-05	1.420E-05	4.430E-05	4.430E-05	0.397	Lab 10	0.646
Lab 26	0.000E+00	3.010E-05	0.000E+00	0.000E+00	-1.328	Lab 21	0.927
Lab 27	0.000E+00	3.010E-05	0.000E+00	0.000E+00	-1.328	Lab 20	1.125
Lab 30	2.890E-05	1.200E-06	2.890E-05	2.890E-05	-0.203	Lab 13	1.304
Average	<b>3.410E-05</b>		<b>3.410E-05</b>	<b>3.410E-05</b>			
SD	<b>2.265E-05</b>	<b>1.279E-05</b>	<b>2.265E-05</b>	<b>2.265E-05</b>			
New $x^*$	<b>3.010E-05</b>	<b>2.060E-05</b>	<b>3.410E-05</b>	<b>3.410E-05</b>			
New $s^*$	<b>3.055E-05</b>		<b>2.568E-05</b>	<b>2.568E-05</b>	<b>1.134*SD</b>		

Πίνακας Π.37 Λόγος έκθεσης στη φασματική περιοχή TV UHF (460-880MHz): Σενάριο μέτρησης 2, Θέση μέτρησης 2

Number of laboratories=		<b>13</b>						
Iteration	0	xi-x*	1	2	3	4	Z-Score	Z-Score αύξουσα σειρά
$\delta=1.5s^*$	-		<b>3.048E-05</b>	<b>3.001E-05</b>	<b>2.960E-05</b>	<b>2.947E-05</b>		
$x^*-\delta$	-		<b>-4.757E-07</b>	<b>-1.163E-06</b>	<b>-8.821E-07</b>	<b>-7.934E-07</b>		
$x^*+\delta$	-		<b>6.048E-05</b>	<b>5.885E-05</b>	<b>5.832E-05</b>	<b>5.815E-05</b>		
Lab 2	1.320E-05	1.680E-05	1.320E-05	1.320E-05	1.320E-05	1.320E-05	-0.788	Lab 26 -1.461
Lab 9	3.000E-05	0.000E+00	3.000E-05	3.000E-05	3.000E-05	3.000E-05	0.068	Lab 18 -1.091
Lab 10	2.633E-05	3.666E-06	2.633E-05	2.633E-05	2.633E-05	2.633E-05	-0.119	Lab 2 -0.788
Lab 13	5.280E-05	2.280E-05	5.280E-05	5.280E-05	5.280E-05	5.280E-05	1.230	Lab 16 -0.630
Lab 16	1.630E-05	1.370E-05	1.630E-05	1.630E-05	1.630E-05	1.630E-05	-0.630	Lab 30 -0.258
Lab 18	7.258E-06	2.274E-05	7.258E-06	7.258E-06	7.258E-06	7.258E-06	-1.091	Lab 10 -0.119
Lab 20	4.850E-05	1.850E-05	4.850E-05	4.850E-05	4.850E-05	4.850E-05	1.011	Lab 9 0.068
Lab 21	3.310E-05	3.100E-06	3.310E-05	3.310E-05	3.310E-05	3.310E-05	0.226	Lab 24 0.083
Lab 22	3.310E-05	3.100E-06	3.310E-05	3.310E-05	3.310E-05	3.310E-05	0.226	Lab 21 0.226
Lab 24	3.030E-05	3.000E-07	3.030E-05	3.030E-05	3.030E-05	3.030E-05	0.083	Lab 22 0.226
Lab 26	0.000E+00	3.000E-05	0.000E+00	0.000E+00	0.000E+00	0.000E+00	-1.461	Lab 20 1.011
<b>Lab 27</b>	<b>1.000E-04</b>	7.000E-05	6.048E-05	5.885E-05	5.832E-05	5.815E-05	<b>3.636</b>	Lab 13 1.230
Lab 30	2.360E-05	6.400E-06	2.360E-05	2.360E-05	2.360E-05	2.360E-05	-0.258	<b>Lab 27 3.636</b>
Average	<b>3.188E-05</b>		<b>2.884E-05</b>	<b>2.872E-05</b>	<b>2.868E-05</b>	<b>2.866E-05</b>		
SD	<b>2.529E-05</b>	<b>1.892E-05</b>	<b>1.764E-05</b>	<b>1.740E-05</b>	<b>1.733E-05</b>	<b>1.730E-05</b>		
New x*	<b>3.000E-05</b>	<b>1.370E-05</b>	<b>2.884E-05</b>	<b>2.872E-05</b>	<b>2.868E-05</b>	<b>2.866E-05</b>		
New s*	<b>2.032E-05</b>		<b>2.000E-05</b>	<b>1.973E-05</b>	<b>1.965E-05</b>	<b>1.962E-05</b>		1.134*SD

Πίνακας Π.38 Λόγος έκθεσης στη φασματική περιοχή TV UHF (460-880MHz): Σενάριο μέτρησης 2, Θέση μέτρησης 3

Iteration	0	xi-x*	1	2	3	4	5	6	Z-Score	Z-Score αύξουσα σειρά
Number of laboratories=			12							
$\bar{\delta}=1.5s^*$	-		3.437E-05	3.910E-05	4.098E-05	4.149E-05	4.167E-05	4.173E-05		
$x^*-\bar{\delta}$	-		1.681E-06	-3.192E-06	-4.974E-06	-5.314E-06	-5.432E-06	-5.474E-06		
$x^*+\bar{\delta}$	-		7.042E-05	7.501E-05	7.700E-05	7.767E-05	7.790E-05	7.798E-05		
Lab 2	1.420E-05	2.185E-05	1.420E-05	1.420E-05	1.420E-05	1.420E-05	1.420E-05	1.420E-05	-0.793	Lab 26 -1.303
Lab 9	3.640E-05	3.500E-07	3.640E-05	3.640E-05	3.640E-05	3.640E-05	3.640E-05	3.640E-05	0.005	Lab 27 -1.303
Lab 10	4.263E-05	6.576E-06	4.263E-05	4.263E-05	4.263E-05	4.263E-05	4.263E-05	4.263E-05	0.229	Lab 2 -0.793
Lab 13	7.970E-05	4.365E-05	7.042E-05	7.501E-05	7.700E-05	7.767E-05	7.790E-05	7.798E-05	1.561	Lab 30 -0.480
Lab 16	3.330E-05	2.750E-06	3.330E-05	3.330E-05	3.330E-05	3.330E-05	3.330E-05	3.330E-05	-0.106	Lab 16 -0.106
Lab 20	6.900E-05	3.295E-05	6.900E-05	6.900E-05	6.900E-05	6.900E-05	6.900E-05	6.900E-05	1.176	Lab 24 -0.020
Lab 21	5.300E-05	1.695E-05	5.300E-05	5.300E-05	5.300E-05	5.300E-05	5.300E-05	5.300E-05	0.602	Lab 9 0.005
Lab 22	5.000E-05	1.395E-05	5.000E-05	5.000E-05	5.000E-05	5.000E-05	5.000E-05	5.000E-05	0.494	Lab 10 0.229
Lab 24	3.570E-05	3.500E-07	3.570E-05	3.570E-05	3.570E-05	3.570E-05	3.570E-05	3.570E-05	-0.020	Lab 22 0.494
Lab 26	0.000E+00	3.605E-05	1.681E-06	0.000E+00	0.000E+00	0.000E+00	0.000E+00	0.000E+00	-1.303	Lab 21 0.602
Lab 27	0.000E+00	3.605E-05	1.681E-06	0.000E+00	0.000E+00	0.000E+00	0.000E+00	0.000E+00	-1.303	Lab 20 1.176
Lab 30	2.290E-05	1.315E-05	2.290E-05	2.290E-05	2.290E-05	2.290E-05	2.290E-05	2.290E-05	-0.480	Lab 13 1.561
Average	3.640E-05		3.591E-05	3.601E-05	3.618E-05	3.623E-05	3.625E-05	3.626E-05		
SD	2.481E-05	1.528E-05	2.299E-05	2.409E-05	2.439E-05	2.449E-05	2.453E-05	2.454E-05		
New $x^*$	3.605E-05	1.545E-05	3.591E-05	3.601E-05	3.618E-05	3.623E-05	3.625E-05	3.626E-05		
New $s^*$	2.291E-05		2.607E-05	2.732E-05	2.766E-05	2.778E-05	2.782E-05	2.783E-05	1.134*SD	

**Πίνακας Π.39 Λόγος έκθεσης στη φασματική περιοχή TV UHF (460-880MHz): Σενάριο μέτρησης 3, Θέση μέτρησης 1**

Number of laboratories=		8					
Iteration	0	xi-x*	1	2	3	Z-Score	Z-Score αύξουσα σειρά
$\delta=1.5s^*$	-		<b>1.780E-02</b>	<b>1.829E-02</b>	<b>1.846E-02</b>		
$x^*-\delta$	-		<b>2.940E-02</b>	<b>2.884E-02</b>	<b>2.872E-02</b>		
$x^*+\delta$	-		<b>6.500E-02</b>	<b>6.541E-02</b>	<b>6.563E-02</b>		
Lab 2	<b>8.770E-02</b>	4.050E-02	6.500E-02	6.541E-02	6.563E-02	<b>3.275</b>	Lab 9 -1.241
Lab 9	3.186E-02	1.534E-02	3.186E-02	3.186E-02	3.186E-02	-1.241	Lab 24 -0.769
Lab 13	4.410E-02	3.100E-03	4.410E-02	4.410E-02	4.410E-02	-0.251	Lab 22 -0.526
Lab 20	5.030E-02	3.100E-03	5.030E-02	5.030E-02	5.030E-02	0.250	Lab 13 -0.251
Lab 21	5.040E-02	3.200E-03	5.040E-02	5.040E-02	5.040E-02	0.258	Lab 20 0.250
Lab 22	4.070E-02	6.500E-03	4.070E-02	4.070E-02	4.070E-02	-0.526	Lab 21 0.258
Lab 24	3.770E-02	9.503E-03	3.770E-02	3.770E-02	3.770E-02	-0.769	Lab 31 0.788
Lab 31	5.695E-02	9.749E-03	5.695E-02	5.695E-02	5.695E-02	0.788	Lab 2 <b>3.275</b>
Average	<b>4.996E-02</b>		<b>4.713E-02</b>	<b>4.718E-02</b>	<b>4.721E-02</b>		
SD	<b>1.720E-02</b>	<b>1.252E-02</b>	<b>1.075E-02</b>	<b>1.085E-02</b>	<b>1.090E-02</b>		
New $x^*$	<b>4.720E-02</b>	<b>8.002E-03</b>	<b>4.713E-02</b>	<b>4.718E-02</b>	<b>4.721E-02</b>		
New $s^*$	<b>1.187E-02</b>		<b>1.219E-02</b>	<b>1.230E-02</b>	<b>1.236E-02</b>	<b>1.134*SD</b>	

Πίνακας Π.40 Λόγος έκθεσης στη φασματική περιοχή TV UHF (460-880MHz): Σενάριο μέτρησης 3, Θέση μέτρησης 2

Number of laboratories=		6											
Iteration	0	xi-x*	1	2	3	4	...	7	8	9	10	Z-Score	Z-Score αύξουσα σειρά
$\bar{\delta}=1.5s^*$	-		1.969E-02	2.213E-02	2.378E-02	2.495E-02	...	2.685E-02	2.718E-02	2.743E-02	2.761E-02		
$x^*-\bar{\delta}$	-		2.826E-02	2.662E-02	2.551E-02	2.470E-02	...	2.337E-02	2.314E-02	2.296E-02	2.284E-02		
$x^*+\bar{\delta}$	-		6.764E-02	7.087E-02	7.306E-02	7.460E-02	...	7.708E-02	7.750E-02	7.782E-02	7.805E-02		
Lab 2	1.050E-01	5.705E-02	6.764E-02	7.087E-02	7.306E-02	7.460E-02	...	7.708E-02	7.750E-02	7.782E-02	7.805E-02	2.948	Lab 31 -1.073
Lab 13	5.800E-02	1.005E-02	5.800E-02	5.800E-02	5.800E-02	5.800E-02	...	5.800E-02	5.800E-02	5.800E-02	5.800E-02	0.407	Lab 22 -0.551
Lab 20	4.670E-02	1.250E-03	4.670E-02	4.670E-02	4.670E-02	4.670E-02	...	4.670E-02	4.670E-02	4.670E-02	4.670E-02	-0.204	Lab 20 -0.204
Lab 21	4.920E-02	1.250E-03	4.920E-02	4.920E-02	4.920E-02	4.920E-02	...	4.920E-02	4.920E-02	4.920E-02	4.920E-02	-0.069	Lab 21 -0.069
Lab 22	4.030E-02	7.650E-03	4.030E-02	4.030E-02	4.030E-02	4.030E-02	...	4.030E-02	4.030E-02	4.030E-02	4.030E-02	-0.551	Lab 13 0.407
Lab 31	3.064E-02	1.731E-02	3.064E-02	3.064E-02	3.064E-02	3.064E-02	...	3.064E-02	3.064E-02	3.064E-02	3.064E-02	-1.073	Lab 2 2.948
Average	5.497E-02		4.875E-02	4.929E-02	4.965E-02	4.991E-02	...	5.032E-02	5.039E-02	5.044E-02	5.048E-02		
SD	2.616E-02	2.110E-02	1.301E-02	1.398E-02	1.467E-02	1.516E-02	...	1.598E-02	1.612E-02	1.623E-02	1.631E-02		
New $x^*$	4.795E-02	8.850E-03	4.875E-02	4.929E-02	4.965E-02	4.991E-02	...	5.032E-02	5.039E-02	5.044E-02	5.048E-02		
New $s^*$	1.312E-02		1.475E-02	1.585E-02	1.663E-02	1.719E-02	...	1.812E-02	1.828E-02	1.841E-02	1.849E-02	1.134*SD	

Πίνακας Π.41 Λόγος έκθεσης στη φασματική περιοχή GSM (880-1000MHz): Σενάριο μέτρησης 1, Θέση μέτρησης 1

Number of laboratories=		16					
Iteration	0	$\chi_i - x^*$	1	2	3	Z-Score	Z-Score αύξουσα σειρά
$\delta = 1.5s^*$	-		<b>9.857E-04</b>	<b>1.020E-03</b>	<b>1.021E-03</b>		
$x^* - \delta$	-		<b>1.483E-03</b>	<b>1.413E-03</b>	<b>1.410E-03</b>		
$x^* + \delta$	-		<b>3.455E-03</b>	<b>3.452E-03</b>	<b>3.452E-03</b>		
Lab 2	1.470E-03	9.991E-04	1.483E-03	1.470E-03	1.470E-03	-1.412	Lab 2 -1.412
Lab 3	1.960E-03	5.091E-04	1.960E-03	1.960E-03	1.960E-03	-0.692	Lab 3 -0.692
Lab 6	2.400E-03	6.910E-05	2.400E-03	2.400E-03	2.400E-03	-0.045	Lab 18 -1.256
Lab 9	2.113E-03	3.558E-04	2.113E-03	2.113E-03	2.113E-03	-0.467	Lab 30 -0.852
Lab 10	2.092E-03	3.771E-04	2.092E-03	2.092E-03	2.092E-03	-0.498	Lab 10 -0.498
Lab 12	3.030E-03	5.609E-04	3.030E-03	3.030E-03	3.030E-03	0.880	Lab 23 -0.472
Lab 13	2.980E-03	5.109E-04	2.980E-03	2.980E-03	2.980E-03	0.807	Lab 9 -0.467
Lab 16	2.605E-03	1.358E-04	2.605E-03	2.605E-03	2.605E-03	0.256	Lab 6 -0.045
Lab 17	2.666E-03	1.974E-04	2.666E-03	2.666E-03	2.666E-03	0.346	Lab 24 0.158
Lab 18	1.576E-03	8.930E-04	1.576E-03	1.576E-03	1.576E-03	-1.256	Lab 22 0.248
Lab 20	<b>4.130E-03</b>	1.661E-03	3.455E-03	3.452E-03	3.452E-03	<b>2.496</b>	Lab 16 0.256
Lab 21	3.580E-03	1.111E-03	3.455E-03	3.452E-03	3.452E-03	1.688	Lab 17 0.346
Lab 22	2.600E-03	1.309E-04	2.600E-03	2.600E-03	2.600E-03	0.248	Lab 13 0.807
Lab 23	2.110E-03	3.591E-04	2.110E-03	2.110E-03	2.110E-03	-0.472	Lab 12 0.880
Lab 24	2.538E-03	6.910E-05	2.538E-03	2.538E-03	2.538E-03	0.158	Lab 21 1.688
Lab 30	1.851E-03	6.183E-04	1.851E-03	1.851E-03	1.851E-03	-0.852	Lab 20 <b>2.496</b>
Average	<b>2.481E-03</b>		<b>2.432E-03</b>	<b>2.431E-03</b>	<b>2.431E-03</b>		
SD	<b>7.064E-04</b>	<b>4.405E-04</b>	<b>5.994E-04</b>	<b>6.001E-04</b>	<b>6.002E-04</b>		
New $x^*$	<b>2.469E-03</b>	<b>4.431E-04</b>	<b>2.432E-03</b>	<b>2.431E-03</b>	<b>2.431E-03</b>		
New $s^*$	<b>6.571E-04</b>		<b>6.797E-04</b>	<b>6.806E-04</b>	<b>6.806E-04</b>		1.134*SD

Πίνακας Π.42 Λόγος έκθεσης στη φασματική περιοχή GSM (880-1000MHz): Σενάριο μέτρησης 1, Θέση μέτρησης 2

Number of laboratories=		17								Z-Score	Z-Score αύξουσα σειρά	
Iteration	0	xi-x*	1	2	3	4	5	6	7			
$\delta=1.5s^*$	-		9.899E-04	1.097E-03	1.180E-03	1.208E-03	1.215E-03	1.216E-03	1.216E-03			
$x^*-\delta$	-		2.501E-04	2.119E-04	1.554E-04	1.356E-04	1.313E-04	1.302E-04	1.300E-04			
$x^*+\delta$	-		2.230E-03	2.407E-03	2.516E-03	2.552E-03	2.560E-03	2.562E-03	2.563E-03			
Lab 2	5.840E-04	6.560E-04	5.840E-04	5.840E-04	5.840E-04	5.840E-04	5.840E-04	5.840E-04	5.840E-04	-0.940	Lab 23	-1.416
Lab 3	7.950E-04	4.450E-04	7.950E-04	7.950E-04	7.950E-04	7.950E-04	7.950E-04	7.950E-04	7.950E-04	-0.680	Lab 17	-0.989
Lab 6	2.100E-03	8.600E-04	2.100E-03	2.100E-03	2.100E-03	2.100E-03	2.100E-03	2.100E-03	2.100E-03	0.929	Lab 2	-0.940
Lab 9	8.305E-04	4.095E-04	8.305E-04	8.305E-04	8.305E-04	8.305E-04	8.305E-04	8.305E-04	8.305E-04	-0.636	Lab 3	-0.680
Lab 10	1.463E-03	2.230E-04	1.463E-03	1.463E-03	1.463E-03	1.463E-03	1.463E-03	1.463E-03	1.463E-03	0.144	Lab 9	-0.636
Lab 12	3.830E-03	2.590E-03	2.230E-03	2.407E-03	2.516E-03	2.552E-03	2.560E-03	2.562E-03	2.563E-03	3.062	Lab 18	-0.591
Lab 13	2.360E-03	1.120E-03	2.230E-03	2.360E-03	2.360E-03	2.360E-03	2.360E-03	2.360E-03	2.360E-03	1.250	Lab 16	-0.294
Lab 16	1.108E-03	1.317E-04	1.108E-03	1.108E-03	1.108E-03	1.108E-03	1.108E-03	1.108E-03	1.108E-03	-0.294	Lab 24	-0.236
Lab 17	5.442E-04	6.958E-04	5.442E-04	5.442E-04	5.442E-04	5.442E-04	5.442E-04	5.442E-04	5.442E-04	-0.989	Lab 22	-0.131
Lab 18	8.673E-04	3.727E-04	8.673E-04	8.673E-04	8.673E-04	8.673E-04	8.673E-04	8.673E-04	8.673E-04	-0.591	Lab 21	-0.057
Lab 20	2.450E-03	1.210E-03	2.230E-03	2.407E-03	2.450E-03	2.450E-03	2.450E-03	2.450E-03	2.450E-03	1.361	Lab 30	-0.017
Lab 21	1.300E-03	6.000E-05	1.300E-03	1.300E-03	1.300E-03	1.300E-03	1.300E-03	1.300E-03	1.300E-03	-0.057	Lab 10	0.144
Lab 22	1.240E-03	0.000E+00	1.240E-03	1.240E-03	1.240E-03	1.240E-03	1.240E-03	1.240E-03	1.240E-03	-0.131	Lab 29	0.806
Lab 23	1.980E-04	1.042E-03	2.501E-04	2.119E-04	1.980E-04	1.980E-04	1.980E-04	1.980E-04	1.980E-04	-1.416	Lab 6	0.929
Lab 24	1.155E-03	8.500E-05	1.155E-03	1.155E-03	1.155E-03	1.155E-03	1.155E-03	1.155E-03	1.155E-03	-0.236	Lab 13	1.250
Lab 29	2.000E-03	7.600E-04	2.000E-03	2.000E-03	2.000E-03	2.000E-03	2.000E-03	2.000E-03	2.000E-03	0.806	Lab 20	1.361
Lab 30	1.332E-03	9.240E-05	1.332E-03	1.332E-03	1.332E-03	1.332E-03	1.332E-03	1.332E-03	1.332E-03	-0.017	Lab 12	3.062
Average	1.421E-03		1.309E-03	1.336E-03	1.344E-03	1.346E-03	1.346E-03	1.346E-03	1.347E-03			
SD	8.937E-04	6.390E-04	6.452E-04	6.938E-04	7.103E-04	7.140E-04	7.149E-04	7.152E-04	7.152E-04			
New x*	1.240E-03	4.450E-04	1.309E-03	1.336E-03	1.344E-03	1.346E-03	1.346E-03	1.346E-03	1.347E-03			
New s*	6.599E-04		7.317E-04	7.868E-04	8.054E-04	8.097E-04	8.107E-04	8.110E-04	8.110E-04	1.134*SD		

Πίνακας Π.43 Λόγος έκθεσης στη φασματική περιοχή GSM (880-1000MHz): Σενάριο μέτρησης 1, Θέση μέτρησης 3

Number of laboratories=		16												
Iteration	0	$\chi_i - x^*$	1	2	3	4	5	6	7	8	9	Z-Score	Z-Score	
$\delta = 1.5s^*$	-		1.104E-03	1.292E-03	1.375E-03	1.420E-03	1.446E-03	1.462E-03	1.471E-03	1.477E-03	1.479E-03		αύξουσα	
$x^* - \delta$	-		2.794E-03	2.689E-03	2.610E-03	2.560E-03	2.530E-03	2.512E-03	2.501E-03	2.495E-03	2.492E-03		σειρά	
$x^* + \delta$	-		5.003E-03	5.273E-03	5.360E-03	5.400E-03	5.423E-03	5.436E-03	5.444E-03	5.449E-03	5.451E-03			
Lab 2	1.380E-03	2.519E-03	2.794E-03	2.689E-03	2.610E-03	2.560E-03	2.530E-03	2.512E-03	2.501E-03	2.495E-03	2.492E-03	-2.626	Lab 2	-2.626
Lab 3	4.910E-03	1.012E-03	4.910E-03	4.910E-03	4.910E-03	4.910E-03	4.910E-03	4.910E-03	4.910E-03	4.910E-03	4.910E-03	0.951	Lab 29	-1.491
Lab 6	4.500E-03	6.015E-04	4.500E-03	4.500E-03	4.500E-03	4.500E-03	4.500E-03	4.500E-03	4.500E-03	4.500E-03	4.500E-03	0.535	Lab 23	-1.096
Lab 9	4.093E-03	1.941E-04	4.093E-03	4.093E-03	4.093E-03	4.093E-03	4.093E-03	4.093E-03	4.093E-03	4.093E-03	4.093E-03	0.123	Lab 30	-0.457
Lab 10	3.927E-03	2.850E-05	3.927E-03	3.927E-03	3.927E-03	3.927E-03	3.927E-03	3.927E-03	3.927E-03	3.927E-03	3.927E-03	-0.045	Lab 17	-0.425
Lab 12	4.290E-03	3.915E-04	4.290E-03	4.290E-03	4.290E-03	4.290E-03	4.290E-03	4.290E-03	4.290E-03	4.290E-03	4.290E-03	0.323	Lab 13	-0.194
Lab 13	3.780E-03	1.185E-04	3.780E-03	3.780E-03	3.780E-03	3.780E-03	3.780E-03	3.780E-03	3.780E-03	3.780E-03	3.780E-03	-0.194	Lab 24	-0.109
Lab 16	4.997E-03	1.099E-03	4.997E-03	4.997E-03	4.997E-03	4.997E-03	4.997E-03	4.997E-03	4.997E-03	4.997E-03	4.997E-03	1.039	Lab 21	-0.103
Lab 17	3.552E-03	3.461E-04	3.552E-03	3.552E-03	3.552E-03	3.552E-03	3.552E-03	3.552E-03	3.552E-03	3.552E-03	3.552E-03	-0.425	Lab 10	-0.045
Lab 20	5.790E-03	1.892E-03	5.003E-03	5.273E-03	5.360E-03	5.400E-03	5.423E-03	5.436E-03	5.444E-03	5.449E-03	5.451E-03	1.842	Lab 9	0.123
Lab 21	3.870E-03	2.850E-05	3.870E-03	3.870E-03	3.870E-03	3.870E-03	3.870E-03	3.870E-03	3.870E-03	3.870E-03	3.870E-03	-0.103	Lab 12	0.323
Lab 22	4.910E-03	1.012E-03	4.910E-03	4.910E-03	4.910E-03	4.910E-03	4.910E-03	4.910E-03	4.910E-03	4.910E-03	4.910E-03	0.951	Lab 6	0.535
Lab 23	2.890E-03	1.009E-03	2.890E-03	2.890E-03	2.890E-03	2.890E-03	2.890E-03	2.890E-03	2.890E-03	2.890E-03	2.890E-03	-1.096	Lab 3	0.951
Lab 24	3.864E-03	3.480E-05	3.864E-03	3.864E-03	3.864E-03	3.864E-03	3.864E-03	3.864E-03	3.864E-03	3.864E-03	3.864E-03	-0.109	Lab 22	0.951
Lab 29	2.500E-03	1.399E-03	2.794E-03	2.689E-03	2.610E-03	2.560E-03	2.530E-03	2.512E-03	2.501E-03	2.500E-03	2.500E-03	-1.491	Lab 16	1.039
Lab 30	3.520E-03	3.781E-04	3.520E-03	3.520E-03	3.520E-03	3.520E-03	3.520E-03	3.520E-03	3.520E-03	3.520E-03	3.520E-03	-0.457	Lab 20	1.842
Average	3.923E-03		3.981E-03	3.985E-03	3.980E-03	3.977E-03	3.974E-03	3.973E-03	3.972E-03	3.972E-03	3.972E-03			
SD	1.064E-03	7.252E-04	7.596E-04	8.083E-04	8.348E-04	8.502E-04	8.594E-04	8.650E-04	8.683E-04	8.698E-04	8.703E-04			
New $x^*$	3.899E-03	4.965E-04	3.981E-03	3.985E-03	3.980E-03	3.977E-03	3.974E-03	3.973E-03	3.972E-03	3.972E-03	3.972E-03			
New $s^*$	7.363E-04		8.613E-04	9.166E-04	9.466E-04	9.641E-04	9.746E-04	9.809E-04	9.846E-04	9.863E-04	9.869E-04	1.134*SD		



Πίνακας Π.44 Λόγος έκθεσης στη φασματική περιοχή GSM (880-1000MHz): Σενάριο μέτρησης 2, Θέση μέτρησης 1

Number of laboratories=		13											
Iteration	0	$\bar{x}_i - x^*$	1	2	3	4	...	9	10	11	12	Z-Score	Z-Score
$\bar{\delta} = 1.5s^*$	-		<b>6.351E-07</b>	<b>6.892E-07</b>	<b>7.668E-07</b>	<b>8.135E-07</b>	...	<b>8.828E-07</b>	<b>8.857E-07</b>	<b>8.875E-07</b>	<b>8.886E-07</b>		
$x^* - \bar{\delta}$	-		<b>-2.351E-07</b>	<b>-1.758E-07</b>	<b>-2.222E-07</b>	<b>-2.522E-07</b>	...	<b>-2.985E-07</b>	<b>-3.004E-07</b>	<b>-3.016E-07</b>	<b>-3.024E-07</b>		
$x^* + \bar{\delta}$	-		<b>1.035E-06</b>	<b>1.203E-06</b>	<b>1.311E-06</b>	<b>1.375E-06</b>	...	<b>1.467E-06</b>	<b>1.471E-06</b>	<b>1.473E-06</b>	<b>1.475E-06</b>		
Lab 2	1.840E-07	2.160E-07	1.840E-07	1.840E-07	1.840E-07	1.840E-07	...	1.840E-07	1.840E-07	1.840E-07	1.840E-07	-0.679	Lab 26 -0.989
Lab 9	4.000E-07	0.000E+00	4.000E-07	4.000E-07	4.000E-07	4.000E-07	...	4.000E-07	4.000E-07	4.000E-07	4.000E-07	-0.314	Lab 27 -0.989
Lab 10	6.356E-07	2.356E-07	6.356E-07	6.356E-07	6.356E-07	6.356E-07	...	6.356E-07	6.356E-07	6.356E-07	6.356E-07	0.083	Lab 18 -0.796
Lab 13	1.060E-06	6.600E-07	1.035E-06	1.060E-06	1.060E-06	1.060E-06	...	1.060E-06	1.060E-06	1.060E-06	1.060E-06	0.799	Lab 2 -0.679
Lab 16	5.000E-07	1.000E-07	5.000E-07	5.000E-07	5.000E-07	5.000E-07	...	5.000E-07	5.000E-07	5.000E-07	5.000E-07	-0.146	Lab 30 -0.483
Lab 18	1.145E-07	2.855E-07	1.145E-07	1.145E-07	1.145E-07	1.145E-07	...	1.145E-07	1.145E-07	1.145E-07	1.145E-07	-0.796	Lab 9 -0.314
Lab 20	1.080E-06	6.800E-07	1.035E-06	1.080E-06	1.080E-06	1.080E-06	...	1.080E-06	1.080E-06	1.080E-06	1.080E-06	0.832	Lab 24 -0.314
Lab 21	<b>1.970E-06</b>	1.570E-06	1.035E-06	1.203E-06	1.311E-06	1.375E-06	...	1.467E-06	1.471E-06	1.473E-06	1.475E-06	<b>2.334</b>	Lab 16 -0.146
Lab 22	<b>2.860E-06</b>	2.460E-06	1.035E-06	1.203E-06	1.311E-06	1.375E-06	...	1.467E-06	1.471E-06	1.473E-06	1.475E-06	<b>3.835</b>	Lab 10 0.083
Lab 24	4.000E-07	0.000E+00	4.000E-07	4.000E-07	4.000E-07	4.000E-07	...	4.000E-07	4.000E-07	4.000E-07	4.000E-07	-0.314	Lab 13 0.799
Lab 26	0.000E+00	4.000E-07	0.000E+00	0.000E+00	0.000E+00	0.000E+00	...	0.000E+00	0.000E+00	0.000E+00	0.000E+00	-0.989	Lab 20 0.832
Lab 27	0.000E+00	4.000E-07	0.000E+00	0.000E+00	0.000E+00	0.000E+00	...	0.000E+00	0.000E+00	0.000E+00	0.000E+00	-0.989	Lab 21 2.334
Lab 30	3.000E-07	1.000E-07	3.000E-07	3.000E-07	3.000E-07	3.000E-07	...	3.000E-07	3.000E-07	3.000E-07	3.000E-07	-0.483	Lab 22 3.835
Average	<b>7.311E-07</b>		<b>5.134E-07</b>	<b>5.446E-07</b>	<b>5.613E-07</b>	<b>5.711E-07</b>	...	<b>5.853E-07</b>	<b>5.858E-07</b>	<b>5.862E-07</b>	<b>5.864E-07</b>		
SD	<b>8.423E-07</b>	<b>7.102E-07</b>	<b>4.052E-07</b>	<b>4.508E-07</b>	<b>4.782E-07</b>	<b>4.951E-07</b>	...	<b>5.207E-07</b>	<b>5.217E-07</b>	<b>5.224E-07</b>	<b>5.228E-07</b>		
New $x^*$	<b>4.000E-07</b>	<b>2.855E-07</b>	<b>5.134E-07</b>	<b>5.446E-07</b>	<b>5.613E-07</b>	<b>5.711E-07</b>	...	<b>5.853E-07</b>	<b>5.858E-07</b>	<b>5.862E-07</b>	<b>5.864E-07</b>		
New $s^*$	<b>4.234E-07</b>		<b>4.595E-07</b>	<b>5.112E-07</b>	<b>5.423E-07</b>	<b>5.615E-07</b>	...	<b>5.905E-07</b>	<b>5.917E-07</b>	<b>5.924E-07</b>	<b>5.929E-07</b>	<b>1.134*SD</b>	

Πίνακας Π.45 Λόγος έκθεσης στη φασματική περιοχή GSM (880-1000MHz): Σενάριο μέτρησης 2, Θέση μέτρησης 2

Number of laboratories=		13							
Iteration	0	xi-x*	1	2	3	4	12	Z-Score	Z-Score αύξουσα σειρά
$\delta=1.5s^*$	-		<b>8.692E-07</b>	<b>7.569E-07</b>	<b>7.513E-07</b>	<b>7.495E-07</b>	<b>7.486E-07</b>		
$x^*-\delta$	-		<b>-3.692E-07</b>	<b>-1.676E-07</b>	<b>-1.637E-07</b>	<b>-1.625E-07</b>	<b>-1.619E-07</b>		
$x^*+\delta$	-		<b>1.369E-06</b>	<b>1.346E-06</b>	<b>1.339E-06</b>	<b>1.336E-06</b>	<b>1.335E-06</b>		
Lab 2	6.850E-07	1.850E-07	6.850E-07	6.850E-07	6.850E-07	6.850E-07	6.850E-07	0.197	Lab 26 -1.175
Lab 9	4.000E-07	1.000E-07	4.000E-07	4.000E-07	4.000E-07	4.000E-07	4.000E-07	-0.374	Lab 27 -1.175
Lab 10	6.120E-07	1.120E-07	6.120E-07	6.120E-07	6.120E-07	6.120E-07	6.120E-07	0.050	Lab 18 -0.957
Lab 13	1.090E-06	5.900E-07	1.090E-06	1.090E-06	1.090E-06	1.090E-06	1.090E-06	1.008	Lab 9 -0.374
Lab 16	5.000E-07	0.000E+00	5.000E-07	5.000E-07	5.000E-07	5.000E-07	5.000E-07	-0.174	Lab 24 -0.374
Lab 18	1.092E-07	3.908E-07	1.092E-07	1.092E-07	1.092E-07	1.092E-07	1.092E-07	-0.957	Lab 30 -0.374
Lab 20	8.960E-07	3.960E-07	8.960E-07	8.960E-07	8.960E-07	8.960E-07	8.960E-07	0.619	Lab 16 -0.174
Lab 21	<b>2.490E-06</b>	1.990E-06	1.369E-06	1.346E-06	1.339E-06	1.336E-06	1.335E-06	<b>3.812</b>	Lab 10 0.050
Lab 22	1.200E-06	7.000E-07	1.200E-06	1.200E-06	1.200E-06	1.200E-06	1.200E-06	1.228	Lab 2 0.197
Lab 24	4.000E-07	1.000E-07	4.000E-07	4.000E-07	4.000E-07	4.000E-07	4.000E-07	-0.374	Lab 20 0.619
Lab 26	0.000E+00	5.000E-07	0.000E+00	0.000E+00	0.000E+00	0.000E+00	0.000E+00	-1.175	Lab 13 1.008
Lab 27	0.000E+00	5.000E-07	0.000E+00	0.000E+00	0.000E+00	0.000E+00	0.000E+00	-1.175	Lab 22 1.228
Lab 30	4.000E-07	1.000E-07	4.000E-07	4.000E-07	4.000E-07	4.000E-07	4.000E-07	-0.374	Lab 21 3.812
Average	<b>6.756E-07</b>		<b>5.893E-07</b>	<b>5.876E-07</b>	<b>5.870E-07</b>	<b>5.868E-07</b>	<b>5.867E-07</b>		
SD	<b>6.636E-07</b>	<b>5.178E-07</b>	<b>4.450E-07</b>	<b>4.417E-07</b>	<b>4.406E-07</b>	<b>4.403E-07</b>	<b>4.401E-07</b>		
New $x^*$	<b>5.000E-07</b>	<b>3.908E-07</b>	<b>5.893E-07</b>	<b>5.876E-07</b>	<b>5.870E-07</b>	<b>5.868E-07</b>	<b>5.867E-07</b>		
New $s^*$	<b>5.795E-07</b>		<b>5.046E-07</b>	<b>5.009E-07</b>	<b>4.997E-07</b>	<b>4.993E-07</b>	<b>4.991E-07</b>	<b>1.134*SD</b>	

Πίνακας Π.46 Λόγος έκθεσης στη φασματική περιοχή GSM (880-1000MHz): Σενάριο μέτρησης 2, Θέση μέτρησης 3

Number of laboratories=	12											
Iteration	0	xi-x*	1	2	3	4	5	6	7	Z-Score	Z-Score	
$\delta=1.5s^*$	-		<b>8.820E-07</b>	<b>8.671E-07</b>	<b>9.074E-07</b>	<b>9.212E-07</b>	<b>9.259E-07</b>	<b>9.276E-07</b>	<b>9.281E-07</b>			
$x^*-\delta$	-		<b>-3.820E-07</b>	<b>-2.392E-07</b>	<b>-2.652E-07</b>	<b>-2.744E-07</b>	<b>-2.776E-07</b>	<b>-2.788E-07</b>	<b>-2.791E-07</b>			
$x^*+\delta$	-		<b>1.382E-06</b>	<b>1.495E-06</b>	<b>1.550E-06</b>	<b>1.568E-06</b>	<b>1.574E-06</b>	<b>1.576E-06</b>	<b>1.577E-06</b>			
Lab 2	1.240E-07	3.760E-07	1.240E-07	1.240E-07	1.240E-07	1.240E-07	1.240E-07	1.240E-07	1.240E-07	-0.848	Lab 26	-1.049
Lab 9	4.000E-07	1.000E-07	4.000E-07	4.000E-07	4.000E-07	4.000E-07	4.000E-07	4.000E-07	4.000E-07	-0.402	Lab 27	-1.049
Lab 10	6.404E-07	1.404E-07	6.404E-07	6.404E-07	6.404E-07	6.404E-07	6.404E-07	6.404E-07	6.404E-07	-0.014	Lab 2	-0.848
Lab 13	9.170E-07	4.170E-07	9.170E-07	9.170E-07	9.170E-07	9.170E-07	9.170E-07	9.170E-07	9.170E-07	0.433	Lab 9	-0.402
Lab 16	6.000E-07	1.000E-07	6.000E-07	6.000E-07	6.000E-07	6.000E-07	6.000E-07	6.000E-07	6.000E-07	-0.079	Lab 24	-0.402
Lab 20	1.440E-06	9.400E-07	1.382E-06	1.440E-06	1.440E-06	1.440E-06	1.440E-06	1.440E-06	1.440E-06	1.278	Lab 30	-0.402
Lab 21	1.750E-06	1.250E-06	1.382E-06	1.495E-06	1.550E-06	1.568E-06	1.574E-06	1.576E-06	1.577E-06	1.779	Lab 16	-0.079
Lab 22	1.290E-06	7.900E-07	1.290E-06	1.290E-06	1.290E-06	1.290E-06	1.290E-06	1.290E-06	1.290E-06	1.036	Lab 10	-0.014
Lab 24	4.000E-07	1.000E-07	4.000E-07	4.000E-07	4.000E-07	4.000E-07	4.000E-07	4.000E-07	4.000E-07	-0.402	Lab 13	0.433
Lab 26	0.000E+00	5.000E-07	0.000E+00	0.000E+00	0.000E+00	0.000E+00	0.000E+00	0.000E+00	0.000E+00	-1.049	Lab 22	1.036
Lab 27	0.000E+00	5.000E-07	0.000E+00	0.000E+00	0.000E+00	0.000E+00	0.000E+00	0.000E+00	0.000E+00	-1.049	Lab 20	1.278
Lab 30	4.000E-07	1.000E-07	4.000E-07	4.000E-07	4.000E-07	4.000E-07	4.000E-07	4.000E-07	4.000E-07	-0.402	Lab 21	1.779
Average	<b>6.634E-07</b>		<b>6.280E-07</b>	<b>6.422E-07</b>	<b>6.467E-07</b>	<b>6.483E-07</b>	<b>6.488E-07</b>	<b>6.490E-07</b>	<b>6.490E-07</b>			
SD	<b>5.740E-07</b>	<b>3.805E-07</b>	<b>5.098E-07</b>	<b>5.334E-07</b>	<b>5.415E-07</b>	<b>5.443E-07</b>	<b>5.453E-07</b>	<b>5.456E-07</b>	<b>5.457E-07</b>			
New x*	<b>5.000E-07</b>	<b>3.965E-07</b>	<b>6.280E-07</b>	<b>6.422E-07</b>	<b>6.467E-07</b>	<b>6.483E-07</b>	<b>6.488E-07</b>	<b>6.490E-07</b>	<b>6.490E-07</b>			
New s*	<b>5.880E-07</b>		<b>5.781E-07</b>	<b>6.049E-07</b>	<b>6.141E-07</b>	<b>6.173E-07</b>	<b>6.184E-07</b>	<b>6.187E-07</b>	<b>6.189E-07</b>	<b>1.134*SD</b>		

Πίνακας Π.47 Λόγος έκθεσης στη φασματική περιοχή GSM (880-1000MHz): Σενάριο μέτρησης 3, Θέση μέτρησης 1

Number of laboratories=		8											
Iteration	0	$\chi_i - \chi^*$	1	2	3	4	...	12	13	14	15	Z-Score	Z-Score αύξουσα σειρά
$\delta = 1.5s^*$	-		5.450E-05	6.433E-05	7.580E-05	8.643E-05	...	1.178E-04	1.191E-04	1.202E-04	1.204E-04		
$\chi^* - \delta$	-		1.099E-04	9.526E-05	8.074E-05	6.839E-05	...	3.642E-05	3.511E-05	3.404E-05	3.381E-05		
$\chi^* + \delta$	-		2.190E-04	2.239E-04	2.323E-04	2.413E-04	...	2.721E-04	2.734E-04	2.745E-04	2.747E-04		
Lab 2	1.630E-04	1.450E-06	1.630E-04	1.630E-04	1.630E-04	1.630E-04	...	1.630E-04	1.630E-04	1.630E-04	1.630E-04	0.109	Lab 13 -1.488
Lab 9	8.760E-05	7.685E-05	1.099E-04	9.526E-05	8.760E-05	8.760E-05	...	8.760E-05	8.760E-05	8.760E-05	8.760E-05	-0.830	Lab 9 -0.830
Lab 13	3.480E-05	1.297E-04	1.099E-04	9.526E-05	8.074E-05	6.839E-05	...	3.642E-05	3.511E-05	3.480E-05	3.480E-05	-1.488	Lab 21 -0.103
Lab 20	1.950E-04	3.055E-05	1.950E-04	1.950E-04	1.950E-04	1.950E-04	...	1.950E-04	1.950E-04	1.950E-04	1.950E-04	0.508	Lab 2 0.109
Lab 21	1.460E-04	1.845E-05	1.460E-04	1.460E-04	1.460E-04	1.460E-04	...	1.460E-04	1.460E-04	1.460E-04	1.460E-04	-0.103	Lab 24 0.145
Lab 22	1.680E-04	3.550E-06	1.680E-04	1.680E-04	1.680E-04	1.680E-04	...	1.680E-04	1.680E-04	1.680E-04	1.680E-04	0.171	Lab 22 0.171
Lab 24	1.659E-04	1.450E-06	1.659E-04	1.659E-04	1.659E-04	1.659E-04	...	1.659E-04	1.659E-04	1.659E-04	1.659E-04	0.145	Lab 20 0.508
Lab 31	2.736E-04	1.092E-04	2.190E-04	2.239E-04	2.323E-04	2.413E-04	...	2.721E-04	2.734E-04	2.736E-04	2.736E-04	1.487	Lab 31 1.487
Average	1.542E-04		1.596E-04	1.565E-04	1.548E-04	1.544E-04	...	1.543E-04	1.543E-04	1.542E-04	1.542E-04		
SD	7.080E-05	5.169E-05	3.782E-05	4.456E-05	5.081E-05	5.544E-05	...	7.004E-05	7.067E-05	7.080E-05	7.080E-05		
New $\chi^*$	1.645E-04	2.450E-05	1.596E-04	1.565E-04	1.548E-04	1.544E-04	...	1.543E-04	1.543E-04	1.542E-04	1.542E-04		
New $s^*$	3.633E-05		4.289E-05	5.054E-05	5.762E-05	6.287E-05	...	7.943E-05	8.014E-05	8.028E-05	8.028E-05	1.134*SD	

**Πίνακας Π.48 Λόγος έκθεσης στη φασματική περιοχή GSM (880-1000MHz): Σενάριο μέτρησης 3, Θέση μέτρησης 2**

Number of laboratories=	6											Z-Score	Z-Score
Iteration	0	χ <sub>i</sub> -x*	1	2	3	4	...	13	14	15	16		αύξουσα σειρά
δ=1.5s*	-		<b>1.435E-05</b>	<b>1.746E-05</b>	<b>2.046E-05</b>	<b>2.345E-05</b>	...	<b>4.029E-05</b>	<b>4.062E-05</b>	<b>4.087E-05</b>	<b>4.089E-05</b>		
x*-δ	-		<b>8.185E-05</b>	<b>7.952E-05</b>	<b>7.679E-05</b>	<b>7.388E-05</b>	...	<b>5.547E-05</b>	<b>5.504E-05</b>	<b>5.472E-05</b>	<b>5.469E-05</b>		
x*+δ	-		<b>1.105E-04</b>	<b>1.144E-04</b>	<b>1.177E-04</b>	<b>1.208E-04</b>	...	<b>1.360E-04</b>	<b>1.363E-04</b>	<b>1.365E-04</b>	<b>1.365E-04</b>		
Lab 2	9.210E-05	4.100E-06	9.210E-05	9.210E-05	9.210E-05	9.210E-05	...	9.210E-05	9.210E-05	9.210E-05	9.210E-05	-0.128	Lab 31 -1.489
Lab 13	1.290E-04	3.280E-05	1.105E-04	1.144E-04	1.177E-04	1.208E-04	...	1.290E-04	1.290E-04	1.290E-04	1.290E-04	1.226	Lab 2 -0.128
Lab 20	9.970E-05	3.500E-06	9.970E-05	9.970E-05	9.970E-05	9.970E-05	...	9.970E-05	9.970E-05	9.970E-05	9.970E-05	0.151	Lab 22 -0.106
Lab 21	1.050E-04	8.800E-06	1.050E-04	1.050E-04	1.050E-04	1.050E-04	...	1.050E-04	1.050E-04	1.050E-04	1.050E-04	0.345	Lab 20 0.151
Lab 22	9.270E-05	3.500E-06	9.270E-05	9.270E-05	9.270E-05	9.270E-05	...	9.270E-05	9.270E-05	9.270E-05	9.270E-05	-0.106	Lab 21 0.345
Lab 31	5.500E-05	4.120E-05	8.185E-05	7.952E-05	7.679E-05	7.388E-05	...	5.547E-05	5.504E-05	5.500E-05	5.500E-05	-1.489	Lab 13 1.226
Average	<b>9.558E-05</b>		<b>9.698E-05</b>	<b>9.724E-05</b>	<b>9.733E-05</b>	<b>9.736E-05</b>	...	<b>9.566E-05</b>	<b>9.559E-05</b>	<b>9.558E-05</b>	<b>9.558E-05</b>		
SD	<b>2.404E-05</b>	<b>1.687E-05</b>	<b>1.026E-05</b>	<b>1.203E-05</b>	<b>1.379E-05</b>	<b>1.558E-05</b>	...	<b>2.388E-05</b>	<b>2.403E-05</b>	<b>2.404E-05</b>	<b>2.404E-05</b>		
New x*	<b>9.620E-05</b>	<b>6.450E-06</b>	<b>9.698E-05</b>	<b>9.724E-05</b>	<b>9.733E-05</b>	<b>9.736E-05</b>	...	<b>9.566E-05</b>	<b>9.559E-05</b>	<b>9.558E-05</b>	<b>9.558E-05</b>		
New s*	<b>9.565E-06</b>		<b>1.164E-05</b>	<b>1.364E-05</b>	<b>1.563E-05</b>	<b>1.766E-05</b>	...	<b>2.708E-05</b>	<b>2.725E-05</b>	<b>2.726E-05</b>	<b>2.726E-05</b>	1.134*SD	

Πίνακας Π.49 Λόγος έκθεσης στη φασματική περιοχή DCS (1700-1900MHz): Σενάριο μέτρησης 1, Θέση μέτρησης 1

Number of laboratories=		7												
Iteration	0	xi-x*	1	2	3	4	...	11	12	13	14	Z-Score	Z-Score αύξουσα σειρά	
$\delta=1.5s^*$	-		<b>3.759E-07</b>	<b>4.159E-07</b>	<b>4.507E-07</b>	<b>4.818E-07</b>	...	<b>5.752E-07</b>	<b>5.766E-07</b>	<b>5.774E-07</b>	<b>5.780E-07</b>			
$x^*-\delta$	-		<b>3.241E-07</b>	<b>2.653E-07</b>	<b>2.252E-07</b>	<b>1.926E-07</b>	...	<b>9.060E-08</b>	<b>8.879E-08</b>	<b>8.766E-08</b>	<b>8.695E-08</b>			
$x^*+\delta$	-		<b>1.076E-06</b>	<b>1.097E-06</b>	<b>1.127E-06</b>	<b>1.156E-06</b>	...	<b>1.241E-06</b>	<b>1.242E-06</b>	<b>1.243E-06</b>	<b>1.243E-06</b>			
Lab 9	6.000E-07	1.000E-07	6.000E-07	6.000E-07	6.000E-07	6.000E-07	...	6.000E-07	6.000E-07	6.000E-07	6.000E-07	-0.168	Lab 18 -1.627	
Lab 10	1.198E-06	4.978E-07	1.076E-06	1.097E-06	1.127E-06	1.156E-06	...	1.198E-06	1.198E-06	1.198E-06	1.198E-06	1.382	Lab 30 -0.428	
Lab 13	8.690E-07	1.690E-07	8.690E-07	8.690E-07	8.690E-07	8.690E-07	...	8.690E-07	8.690E-07	8.690E-07	8.690E-07	0.530	Lab 9 -0.168	
Lab 16	7.000E-07	0.000E+00	7.000E-07	7.000E-07	7.000E-07	7.000E-07	...	7.000E-07	7.000E-07	7.000E-07	7.000E-07	0.091	Lab 16 0.091	
Lab 18	3.769E-08	6.623E-07	3.241E-07	2.653E-07	2.252E-07	1.926E-07	...	9.060E-08	8.879E-08	8.766E-08	8.695E-08	-1.627	Lab 24 0.091	
Lab 24	7.000E-07	0.000E+00	7.000E-07	7.000E-07	7.000E-07	7.000E-07	...	7.000E-07	7.000E-07	7.000E-07	7.000E-07	0.091	Lab 13 0.530	
Lab 30	5.000E-07	2.000E-07	5.000E-07	5.000E-07	5.000E-07	5.000E-07	...	5.000E-07	5.000E-07	5.000E-07	5.000E-07	-0.428	Lab 10 1.382	
Average	<b>6.578E-07</b>		<b>6.813E-07</b>	<b>6.759E-07</b>	<b>6.744E-07</b>	<b>6.740E-07</b>	...	<b>6.653E-07</b>	<b>6.651E-07</b>	<b>6.649E-07</b>	<b>6.648E-07</b>			
SD	<b>3.542E-07</b>	<b>2.536E-07</b>	<b>2.445E-07</b>	<b>2.650E-07</b>	<b>2.833E-07</b>	<b>2.998E-07</b>	...	<b>3.390E-07</b>	<b>3.395E-07</b>	<b>3.398E-07</b>	<b>3.400E-07</b>			
New $x^*$	<b>7.000E-07</b>	<b>1.690E-07</b>	<b>6.813E-07</b>	<b>6.759E-07</b>	<b>6.744E-07</b>	<b>6.740E-07</b>	...	<b>6.653E-07</b>	<b>6.651E-07</b>	<b>6.649E-07</b>	<b>6.648E-07</b>			
New $s^*$	<b>2.506E-07</b>		<b>2.773E-07</b>	<b>3.005E-07</b>	<b>3.212E-07</b>	<b>3.400E-07</b>	...	<b>3.844E-07</b>	<b>3.850E-07</b>	<b>3.853E-07</b>	<b>3.855E-07</b>	1.134*SD		

Πίνακας Π.50 Λόγος έκθεσης στη φασματική περιοχή DCS (1700-1900MHz): Σενάριο μέτρησης 1, Θέση μέτρησης 2

Number of laboratories=		7												
Iteration	0	$\chi_i - x^*$	1	2	3	4	...	9	10	11	12	Z-Score	Z-Score	
$\delta = 1.5s^*$	-		<b>6.674E-07</b>	<b>7.581E-07</b>	<b>8.300E-07</b>	<b>8.935E-07</b>	...	<b>9.631E-07</b>	<b>9.656E-07</b>	<b>9.673E-07</b>	<b>9.683E-07</b>			
$x^* - \delta$	-		<b>3.327E-07</b>	<b>1.496E-07</b>	<b>5.127E-08</b>	<b>-1.968E-08</b>	...	<b>-7.126E-08</b>	<b>-7.307E-08</b>	<b>-7.420E-08</b>	<b>-7.490E-08</b>			
$x^* + \delta$	-		<b>1.667E-06</b>	<b>1.666E-06</b>	<b>1.711E-06</b>	<b>1.767E-06</b>	...	<b>1.855E-06</b>	<b>1.858E-06</b>	<b>1.860E-06</b>	<b>1.862E-06</b>			
Lab 9	<b>1.560E-05</b>	1.460E-05	1.667E-06	1.666E-06	1.711E-06	1.767E-06	...	1.855E-06	1.858E-06	1.860E-06	1.862E-06	<b>22.768</b>	Lab 18 -1.322	
Lab 10	1.144E-06	1.438E-07	1.144E-06	1.144E-06	1.144E-06	1.144E-06	...	1.144E-06	1.144E-06	1.144E-06	1.144E-06	0.387	Lab 30 -0.609	
Lab 13	1.010E-06	1.000E-08	1.010E-06	1.010E-06	1.010E-06	1.010E-06	...	1.010E-06	1.010E-06	1.010E-06	1.010E-06	0.180	Lab 24 -0.300	
Lab 16	1.000E-06	0.000E+00	1.000E-06	1.000E-06	1.000E-06	1.000E-06	...	1.000E-06	1.000E-06	1.000E-06	1.000E-06	0.165	Lab 16 0.165	
Lab 18	3.936E-08	9.606E-07	3.327E-07	1.496E-07	5.127E-08	3.936E-08	...	3.936E-08	3.936E-08	3.936E-08	3.936E-08	-1.322	Lab 13 0.180	
Lab 24	7.000E-07	3.000E-07	7.000E-07	7.000E-07	7.000E-07	7.000E-07	...	7.000E-07	7.000E-07	7.000E-07	7.000E-07	-0.300	Lab 10 0.387	
Lab 30	5.000E-07	5.000E-07	5.000E-07	5.000E-07	5.000E-07	5.000E-07	...	5.000E-07	5.000E-07	5.000E-07	5.000E-07	-0.609	Lab 9 22.768	
Average	<b>2.856E-06</b>		<b>9.077E-07</b>	<b>8.813E-07</b>	<b>8.738E-07</b>	<b>8.801E-07</b>	...	<b>8.926E-07</b>	<b>8.931E-07</b>	<b>8.934E-07</b>	<b>8.935E-07</b>			
SD	<b>5.632E-06</b>	<b>5.408E-06</b>	<b>4.457E-07</b>	<b>4.880E-07</b>	<b>5.253E-07</b>	<b>5.434E-07</b>	...	<b>5.677E-07</b>	<b>5.686E-07</b>	<b>5.692E-07</b>	<b>5.696E-07</b>			
New $x^*$	<b>1.000E-06</b>	<b>3.000E-07</b>	<b>9.077E-07</b>	<b>8.813E-07</b>	<b>8.738E-07</b>	<b>8.801E-07</b>	...	<b>8.926E-07</b>	<b>8.931E-07</b>	<b>8.934E-07</b>	<b>8.935E-07</b>			
New $s^*$	<b>4.449E-07</b>		<b>5.054E-07</b>	<b>5.534E-07</b>	<b>5.956E-07</b>	<b>6.162E-07</b>	...	<b>6.438E-07</b>	<b>6.448E-07</b>	<b>6.455E-07</b>	<b>6.459E-07</b>	1.134*SD		

Πίνακας Π.51 Λόγος έκθεσης στη φασματική περιοχή DCS (1700-1900MHz): Σενάριο μέτρησης 1, Θέση μέτρησης 3

Number of laboratories=	7											Z-Score	Z-Score	Z-Score	
Iteration	0	xi-x*	1	2	3	4	5	...	8	9	10	11		αύξουσα	σειρά
$\delta=1.5s^*$	-		<b>9.031E-07</b>	<b>7.996E-07</b>	<b>8.379E-07</b>	<b>8.611E-07</b>	<b>8.754E-07</b>	...	<b>8.932E-07</b>	<b>8.953E-07</b>	<b>8.966E-07</b>	<b>8.975E-07</b>			
$x^*-\delta$	-		<b>3.969E-07</b>	<b>3.102E-07</b>	<b>2.596E-07</b>	<b>2.291E-07</b>	<b>2.104E-07</b>	...	<b>1.874E-07</b>	<b>1.846E-07</b>	<b>1.829E-07</b>	<b>1.818E-07</b>			
$x^*+\delta$	-		<b>2.203E-06</b>	<b>1.909E-06</b>	<b>1.935E-06</b>	<b>1.951E-06</b>	<b>1.961E-06</b>	...	<b>1.974E-06</b>	<b>1.975E-06</b>	<b>1.976E-06</b>	<b>1.977E-06</b>			
Lab 9	1.400E-06	1.000E-07	1.400E-06	1.400E-06	1.400E-06	1.400E-06	1.400E-06	...	1.400E-06	1.400E-06	1.400E-06	1.400E-06	0.536	Lab 29	-1.803
Lab 10	1.778E-06	4.780E-07	1.778E-06	1.778E-06	1.778E-06	1.778E-06	1.778E-06	...	1.778E-06	1.778E-06	1.778E-06	1.778E-06	1.167	Lab 30	-0.633
Lab 13	8.940E-07	4.060E-07	8.940E-07	8.940E-07	8.940E-07	8.940E-07	8.940E-07	...	8.940E-07	8.940E-07	8.940E-07	8.940E-07	-0.309	Lab 13	-0.309
Lab 16	1.300E-06	0.000E+00	1.300E-06	1.300E-06	1.300E-06	1.300E-06	1.300E-06	...	1.300E-06	1.300E-06	1.300E-06	1.300E-06	0.369	Lab 16	0.369
Lab 24	1.300E-06	0.000E+00	1.300E-06	1.300E-06	1.300E-06	1.300E-06	1.300E-06	...	1.300E-06	1.300E-06	1.300E-06	1.300E-06	0.369	Lab 24	0.369
Lab 29	0.000E+00	1.300E-06	3.969E-07	3.102E-07	2.596E-07	2.291E-07	2.104E-07	...	1.874E-07	1.846E-07	1.829E-07	1.818E-07	-1.803	Lab 9	0.536
Lab 30	7.000E-07	6.000E-07	7.000E-07	7.000E-07	7.000E-07	7.000E-07	7.000E-07	...	7.000E-07	7.000E-07	7.000E-07	7.000E-07	-0.633	Lab 10	1.167
Average	<b>1.053E-06</b>		<b>1.110E-06</b>	<b>1.097E-06</b>	<b>1.090E-06</b>	<b>1.086E-06</b>	<b>1.083E-06</b>	...	<b>1.080E-06</b>	<b>1.080E-06</b>	<b>1.079E-06</b>	<b>1.079E-06</b>			
SD	<b>5.812E-07</b>	<b>4.592E-07</b>	<b>4.701E-07</b>	<b>4.926E-07</b>	<b>5.063E-07</b>	<b>5.147E-07</b>	<b>5.198E-07</b>	...	<b>5.263E-07</b>	<b>5.271E-07</b>	<b>5.276E-07</b>	<b>5.279E-07</b>			
New $x^*$	<b>1.300E-06</b>	<b>4.060E-07</b>	<b>1.110E-06</b>	<b>1.097E-06</b>	<b>1.090E-06</b>	<b>1.086E-06</b>	<b>1.083E-06</b>	...	<b>1.080E-06</b>	<b>1.080E-06</b>	<b>1.079E-06</b>	<b>1.079E-06</b>			
New $s^*$	<b>6.021E-07</b>		<b>5.331E-07</b>	<b>5.586E-07</b>	<b>5.741E-07</b>	<b>5.836E-07</b>	<b>5.895E-07</b>	...	<b>5.969E-07</b>	<b>5.978E-07</b>	<b>5.983E-07</b>	<b>5.986E-07</b>	1.134*SD		



Πίνακας Π.52 Λόγος έκθεσης στη φασματική περιοχή DCS (1700-1900MHz): Σενάριο μέτρησης 2, Θέση μέτρησης 1

Number of laboratories=		12											Z-Score	Z-Score	
Iteration	0	$\chi_i - \chi^*$	1	2	3	4	...	17	18	19	20	21		αύξουσα	σειρά
$\delta = 1.5s^*$	-	-	3.916E-04	4.321E-04	4.687E-04	4.985E-04	...	6.147E-04	6.164E-04	6.178E-04	6.189E-04	6.199E-04			
$\chi^* - \delta$	-	-	2.756E-04	2.768E-04	2.541E-04	2.307E-04	...	1.326E-04	1.311E-04	1.300E-04	1.290E-04	1.282E-04			
$\chi^* + \delta$	-	-	1.059E-03	1.141E-03	1.191E-03	1.228E-03	...	1.362E-03	1.364E-03	1.365E-03	1.367E-03	1.368E-03			
Lab 6	1.800E-03	1.133E-03	1.059E-03	1.141E-03	1.191E-03	1.228E-03	...	1.362E-03	1.364E-03	1.365E-03	1.367E-03	1.368E-03	2.542	Lab 18	-1.808
Lab 9	5.804E-04	8.685E-05	5.804E-04	5.804E-04	5.804E-04	5.804E-04	...	5.804E-04	5.804E-04	5.804E-04	5.804E-04	5.804E-04	-0.405	Lab 23	-0.679
Lab 10	6.900E-04	2.275E-05	6.900E-04	6.900E-04	6.900E-04	6.900E-04	...	6.900E-04	6.900E-04	6.900E-04	6.900E-04	6.900E-04	-0.141	Lab 30	-0.562
Lab 12	5.250E-04	1.423E-04	5.250E-04	5.250E-04	5.250E-04	5.250E-04	...	5.250E-04	5.250E-04	5.250E-04	5.250E-04	5.250E-04	-0.539	Lab 12	-0.539
Lab 13	1.460E-03	7.928E-04	1.059E-03	1.141E-03	1.191E-03	1.228E-03	...	1.362E-03	1.364E-03	1.365E-03	1.367E-03	1.368E-03	1.720	Lab 9	-0.405
Lab 16	8.914E-04	2.242E-04	8.914E-04	8.914E-04	8.914E-04	8.914E-04	...	8.914E-04	8.914E-04	8.914E-04	8.914E-04	8.914E-04	0.346	Lab 24	-0.250
Lab 18	3.852E-08	6.672E-04	2.756E-04	2.768E-04	2.541E-04	2.307E-04	...	1.326E-04	1.311E-04	1.300E-04	1.290E-04	1.282E-04	-1.808	Lab 10	-0.141
Lab 23	4.670E-04	2.003E-04	4.670E-04	4.670E-04	4.670E-04	4.670E-04	...	4.670E-04	4.670E-04	4.670E-04	4.670E-04	4.670E-04	-0.679	Lab 26	0.125
Lab 24	6.445E-04	2.275E-05	6.445E-04	6.445E-04	6.445E-04	6.445E-04	...	6.445E-04	6.445E-04	6.445E-04	6.445E-04	6.445E-04	-0.250	Lab 16	0.346
Lab 26	8.000E-04	1.328E-04	8.000E-04	8.000E-04	8.000E-04	8.000E-04	...	8.000E-04	8.000E-04	8.000E-04	8.000E-04	8.000E-04	0.125	Lab 27	0.609
Lab 27	1.000E-03	3.328E-04	1.000E-03	1.000E-03	1.000E-03	1.000E-03	...	1.000E-03	1.000E-03	1.000E-03	1.000E-03	1.000E-03	0.609	Lab 13	1.720
Lab 30	5.154E-04	1.519E-04	5.154E-04	5.154E-04	5.154E-04	5.154E-04	...	5.154E-04	5.154E-04	5.154E-04	5.154E-04	5.154E-04	-0.562	Lab 6	2.542
Average	7.811E-04		7.089E-04	7.227E-04	7.292E-04	7.333E-04	...	7.475E-04	7.477E-04	7.479E-04	7.480E-04	7.481E-04			
SD	4.740E-04	3.508E-04	2.540E-04	2.755E-04	2.930E-04	3.070E-04	...	3.624E-04	3.632E-04	3.639E-04	3.644E-04	3.649E-04			
New $\chi^*$	6.673E-04	1.761E-04	7.089E-04	7.227E-04	7.292E-04	7.333E-04	...	7.475E-04	7.477E-04	7.479E-04	7.480E-04	7.481E-04			
New $s^*$	2.611E-04		2.881E-04	3.124E-04	3.323E-04	3.482E-04	...	4.109E-04	4.118E-04	4.126E-04	4.132E-04	4.138E-04	1.134*SD		

Πίνακας Π.53 Λόγος έκθεσης στη φασματική περιοχή DCS (1700-1900MHz): Σενάριο μέτρησης 2, Θέση μέτρησης 2

Number of laboratories=		12										Z-Score	Z-Score	
Iteration	0	xi-x*	1	2	3	4	...	8	9	10	11		αύξουσα	σειρά
$\delta=1.5s^*$	-		2.024E-04	2.306E-04	2.581E-04	2.807E-04	...	3.328E-04	3.391E-04	3.423E-04	3.440E-04			
$x^*-\delta$	-		9.532E-05	1.113E-04	9.842E-05	8.187E-05	...	3.852E-05	3.305E-05	2.995E-05	2.829E-05			
$x^*+\delta$	-		5.002E-04	5.724E-04	6.147E-04	6.432E-04	...	7.042E-04	7.112E-04	7.145E-04	7.162E-04			
Lab 6	1.600E-03	1.302E-03	5.002E-04	5.724E-04	6.147E-04	6.432E-04	...	7.042E-04	7.112E-04	7.145E-04	7.162E-04	5.341	Lab 18	-1.619
Lab 9	2.770E-04	2.075E-05	2.770E-04	2.770E-04	2.770E-04	2.770E-04	...	2.770E-04	2.770E-04	2.770E-04	2.770E-04	-0.414	Lab 23	-0.667
Lab 10	2.950E-04	2.750E-06	2.950E-04	2.950E-04	2.950E-04	2.950E-04	...	2.950E-04	2.950E-04	2.950E-04	2.950E-04	-0.336	Lab 24	-0.506
Lab 12	2.580E-04	3.975E-05	2.580E-04	2.580E-04	2.580E-04	2.580E-04	...	2.580E-04	2.580E-04	2.580E-04	2.580E-04	-0.497	Lab 12	-0.497
Lab 13	5.160E-04	2.183E-04	5.002E-04	5.160E-04	5.160E-04	5.160E-04	...	5.160E-04	5.160E-04	5.160E-04	5.160E-04	0.625	Lab 9	-0.414
Lab 16	4.010E-04	1.033E-04	4.010E-04	4.010E-04	4.010E-04	4.010E-04	...	4.010E-04	4.010E-04	4.010E-04	4.010E-04	0.125	Lab 10	-0.336
Lab 18	3.914E-08	2.977E-04	9.532E-05	1.113E-04	9.842E-05	8.187E-05	...	3.852E-05	3.305E-05	2.995E-05	2.829E-05	-1.619	Lab 30	-0.312
Lab 23	2.190E-04	7.875E-05	2.190E-04	2.190E-04	2.190E-04	2.190E-04	...	2.190E-04	2.190E-04	2.190E-04	2.190E-04	-0.667	Lab 16	0.125
Lab 24	2.560E-04	4.175E-05	2.560E-04	2.560E-04	2.560E-04	2.560E-04	...	2.560E-04	2.560E-04	2.560E-04	2.560E-04	-0.506	Lab 27	0.556
Lab 26	7.000E-04	4.023E-04	5.002E-04	5.724E-04	6.147E-04	6.432E-04	...	7.000E-04	7.000E-04	7.000E-04	7.000E-04	1.426	Lab 13	0.625
Lab 27	5.000E-04	2.023E-04	5.000E-04	5.000E-04	5.000E-04	5.000E-04	...	5.000E-04	5.000E-04	5.000E-04	5.000E-04	0.556	Lab 26	1.426
Lab 30	3.005E-04	2.750E-06	3.005E-04	3.005E-04	3.005E-04	3.005E-04	...	3.005E-04	3.005E-04	3.005E-04	3.005E-04	-0.312	Lab 6	5.341
Average	4.435E-04		3.419E-04	3.566E-04	3.625E-04	3.659E-04	...	3.721E-04	3.722E-04	3.722E-04	3.722E-04			
SD	4.046E-04	3.621E-04	1.355E-04	1.518E-04	1.650E-04	1.755E-04	...	1.993E-04	2.012E-04	2.022E-04	2.027E-04			
New $x^*$	2.978E-04	9.100E-05	3.419E-04	3.566E-04	3.625E-04	3.659E-04	...	3.721E-04	3.722E-04	3.722E-04	3.722E-04			
New $s^*$	1.350E-04		1.537E-04	1.721E-04	1.871E-04	1.990E-04	...	2.260E-04	2.282E-04	2.293E-04	2.299E-04	1.134*SD		

Πίνακας Π.54 Λόγος έκθεσης στη φασματική περιοχή DCS (1700-1900MHz): Σενάριο μέτρησης 2, Θέση μέτρησης 3

Number of laboratories=		10											
Iteration	0	xi-x*	1	2	3	4	5	6	7	8	9	Z-Score	Z-Score
$\delta=1.5s^*$	-		1.565E-04	1.784E-04	2.305E-04	2.851E-04	3.178E-04	3.310E-04	3.366E-04	3.389E-04	3.399E-04		
$x^*-\delta$	-		8.994E-04	9.166E-04	8.889E-04	8.590E-04	8.395E-04	8.308E-04	8.270E-04	8.254E-04	8.248E-04		
$x^*+\delta$	-		1.212E-03	1.273E-03	1.350E-03	1.429E-03	1.475E-03	1.493E-03	1.500E-03	1.503E-03	1.504E-03		
Lab 6	3.400E-03	2.344E-03	1.212E-03	1.273E-03	1.350E-03	1.429E-03	1.475E-03	1.493E-03	1.500E-03	1.503E-03	1.504E-03	9.854	Lab 10 -0.814
Lab 9	1.352E-03	2.964E-04	1.212E-03	1.273E-03	1.350E-03	1.352E-03	1.352E-03	1.352E-03	1.352E-03	1.352E-03	1.352E-03	0.826	Lab 12 -0.766
Lab 10	9.800E-04	7.585E-05	9.800E-04	9.800E-04	9.800E-04	9.800E-04	9.800E-04	9.800E-04	9.800E-04	9.800E-04	9.800E-04	-0.814	Lab 27 -0.726
Lab 12	9.910E-04	6.485E-05	9.910E-04	9.910E-04	9.910E-04	9.910E-04	9.910E-04	9.910E-04	9.910E-04	9.910E-04	9.910E-04	-0.766	Lab 30 -0.646
Lab 13	1.290E-03	2.342E-04	1.212E-03	1.273E-03	1.290E-03	1.290E-03	1.290E-03	1.290E-03	1.290E-03	1.290E-03	1.290E-03	0.552	Lab 16 -0.615
Lab 16	1.025E-03	3.055E-05	1.025E-03	1.025E-03	1.025E-03	1.025E-03	1.025E-03	1.025E-03	1.025E-03	1.025E-03	1.025E-03	-0.615	Lab 24 -0.345
Lab 24	1.086E-03	3.055E-05	1.086E-03	1.086E-03	1.086E-03	1.086E-03	1.086E-03	1.086E-03	1.086E-03	1.086E-03	1.086E-03	-0.345	Lab 13 0.552
Lab 26	1.400E-03	3.442E-04	1.212E-03	1.273E-03	1.350E-03	1.400E-03	1.400E-03	1.400E-03	1.400E-03	1.400E-03	1.400E-03	1.037	Lab 9 0.826
Lab 27	1.000E-03	5.585E-05	1.000E-03	1.000E-03	1.000E-03	1.000E-03	1.000E-03	1.000E-03	1.000E-03	1.000E-03	1.000E-03	-0.726	Lab 26 1.037
Lab 30	1.018E-03	3.775E-05	1.018E-03	1.018E-03	1.018E-03	1.018E-03	1.018E-03	1.018E-03	1.018E-03	1.018E-03	1.018E-03	-0.646	Lab 6 9.854
Average	1.354E-03		1.095E-03	1.119E-03	1.144E-03	1.157E-03	1.162E-03	1.164E-03	1.164E-03	1.165E-03	1.165E-03		
SD	7.365E-04	7.100E-04	1.049E-04	1.355E-04	1.676E-04	1.868E-04	1.946E-04	1.979E-04	1.992E-04	1.998E-04	2.000E-04		
New $x^*$	1.056E-03	7.035E-05	1.095E-03	1.119E-03	1.144E-03	1.157E-03	1.162E-03	1.164E-03	1.164E-03	1.165E-03	1.165E-03		
New $s^*$	1.043E-04		1.189E-04	1.537E-04	1.901E-04	2.118E-04	2.207E-04	2.244E-04	2.259E-04	2.266E-04	2.268E-04	1.134*SD	

Πίνακας Π.55 Λόγος έκθεσης στη φασματική περιοχή DCS (1700-1900MHz): Σενάριο μέτρησης 3, Θέση μέτρησης 1

Number of laboratories=			<b>4</b>			
Iteration	0	$\chi_i - \chi^*$	1	2	Z-Score	Z-Score αύξουσα σειρά
$\delta = 1.5s^*$	-		<b>5.839E-05</b>	<b>6.521E-05</b>		
$\chi^* - \delta$	-		<b>2.821E-05</b>	<b>2.454E-05</b>		
$\chi^* + \delta$	-		<b>1.450E-04</b>	<b>1.550E-04</b>		
Lab 9	7.230E-05	1.430E-05	7.230E-05	7.230E-05	-0.401	Lab 13 -0.951
Lab 13	4.840E-05	3.820E-05	4.840E-05	4.840E-05	-0.951	Lab 9 -0.401
Lab 24	1.009E-04	1.430E-05	1.009E-04	1.009E-04	0.256	Lab 24 0.256
Lab 31	1.374E-04	5.080E-05	1.374E-04	1.374E-04	1.096	Lab 31 1.096
Average	<b>8.975E-05</b>		<b>8.975E-05</b>	<b>8.975E-05</b>		
SD	<b>3.834E-05</b>	<b>1.818E-05</b>	<b>3.834E-05</b>	<b>3.834E-05</b>		
New $\chi^*$	<b>8.660E-05</b>	<b>2.625E-05</b>	<b>8.975E-05</b>	<b>8.975E-05</b>		
New $s^*$	<b>3.893E-05</b>		<b>4.347E-05</b>	<b>4.347E-05</b>		1.134*SD

**Πίνακας Π.56 Λόγος έκθεσης στη φασματική περιοχή UMTS (1900-2200MHz): Σενάριο μέτρησης 1, Θέση μέτρησης 1**

Number of laboratories=		7									Z-Score	Z-Score	Z-Score
Iteration	0	$\bar{x}-x^*$	1	2	3	4	5	6	7	8		αύξουσα	σειρά
$\delta=1.5s^*$	-		<b>1.557E-06</b>	<b>1.575E-06</b>	<b>1.670E-06</b>	<b>1.727E-06</b>	<b>1.763E-06</b>	<b>1.784E-06</b>	<b>1.798E-06</b>	<b>1.806E-06</b>			
$x^*-\delta$	-		<b>-4.572E-07</b>	<b>-2.723E-07</b>	<b>-3.358E-07</b>	<b>-3.751E-07</b>	<b>-3.994E-07</b>	<b>-4.145E-07</b>	<b>-4.240E-07</b>	<b>-4.298E-07</b>			
$x^*+\delta$	-		<b>2.657E-06</b>	<b>2.878E-06</b>	<b>3.004E-06</b>	<b>3.080E-06</b>	<b>3.126E-06</b>	<b>3.154E-06</b>	<b>3.171E-06</b>	<b>3.182E-06</b>			
Lab 9	7.000E-07	4.000E-07	7.000E-07	7.000E-07	7.000E-07	7.000E-07	7.000E-07	7.000E-07	7.000E-07	7.000E-07	-0.561	Lab 18	-1.114
Lab 10	2.129E-06	1.029E-06	2.129E-06	2.129E-06	2.129E-06	2.129E-06	2.129E-06	2.129E-06	2.129E-06	2.129E-06	0.622	Lab 9	-0.561
Lab 13	3.490E-06	2.390E-06	2.657E-06	2.878E-06	3.004E-06	3.080E-06	3.126E-06	3.154E-06	3.171E-06	3.182E-06	1.749	Lab 24	-0.561
Lab 16	1.100E-06	0.000E+00	1.100E-06	1.100E-06	1.100E-06	1.100E-06	1.100E-06	1.100E-06	1.100E-06	1.100E-06	-0.230	Lab 16	-0.230
Lab 18	3.300E-08	1.067E-06	3.300E-08	3.300E-08	3.300E-08	3.300E-08	3.300E-08	3.300E-08	3.300E-08	3.300E-08	-1.114	Lab 30	0.350
Lab 24	7.000E-07	4.000E-07	7.000E-07	7.000E-07	7.000E-07	7.000E-07	7.000E-07	7.000E-07	7.000E-07	7.000E-07	-0.561	Lab 10	0.622
Lab 30	1.800E-06	7.000E-07	1.800E-06	1.800E-06	1.800E-06	1.800E-06	1.800E-06	1.800E-06	1.800E-06	1.800E-06	0.350	Lab 13	1.749
Average	<b>1.422E-06</b>		<b>1.303E-06</b>	<b>1.334E-06</b>	<b>1.352E-06</b>	<b>1.363E-06</b>	<b>1.370E-06</b>	<b>1.374E-06</b>	<b>1.376E-06</b>	<b>1.378E-06</b>			
SD	<b>1.154E-06</b>	<b>7.747E-07</b>	<b>9.259E-07</b>	<b>9.818E-07</b>	<b>1.016E-06</b>	<b>1.036E-06</b>	<b>1.049E-06</b>	<b>1.057E-06</b>	<b>1.062E-06</b>	<b>1.065E-06</b>			
New $x^*$	<b>1.100E-06</b>	<b>7.000E-07</b>	<b>1.303E-06</b>	<b>1.334E-06</b>	<b>1.352E-06</b>	<b>1.363E-06</b>	<b>1.370E-06</b>	<b>1.374E-06</b>	<b>1.376E-06</b>	<b>1.378E-06</b>			
New $s^*$	<b>1.038E-06</b>		<b>1.050E-06</b>	<b>1.113E-06</b>	<b>1.152E-06</b>	<b>1.175E-06</b>	<b>1.189E-06</b>	<b>1.198E-06</b>	<b>1.204E-06</b>	<b>1.207E-06</b>	<b>1.134*SD</b>		

**ΣΗΜΕΙΩΣΗ:** Για το εργαστήριο 18 έχει χρησιμοποιηθεί το άθροισμα των λόγων έκθεσης στις φασματικές περιοχές 2110-2120MHz και 2125-2130MHz

**Πίνακας Π.57 Λόγος έκθεσης στη φασματική περιοχή UMTS (1900-2200MHz): Σενάριο μέτρησης 1, Θέση μέτρησης 2**

Number of laboratories=		7											
Iteration	0	$\chi_i - x^*$	1	2	3	4	5	6	7	8	Z-Score	Z-Score	
$\delta = 1.5s^*$	-		<b>1.705E-06</b>	<b>1.608E-06</b>	<b>1.753E-06</b>	<b>1.839E-06</b>	<b>1.891E-06</b>	<b>1.923E-06</b>	<b>1.943E-06</b>	<b>1.955E-06</b>			
$x^* - \delta$	-		<b>-9.051E-07</b>	<b>-3.540E-07</b>	<b>-4.470E-07</b>	<b>-5.052E-07</b>	<b>-5.411E-07</b>	<b>-5.634E-07</b>	<b>-5.773E-07</b>	<b>-5.859E-07</b>			
$x^* + \delta$	-		<b>2.505E-06</b>	<b>2.863E-06</b>	<b>3.058E-06</b>	<b>3.172E-06</b>	<b>3.241E-06</b>	<b>3.282E-06</b>	<b>3.308E-06</b>	<b>3.324E-06</b>			
Lab 9	7.000E-07	1.000E-07	7.000E-07	7.000E-07	7.000E-07	7.000E-07	7.000E-07	7.000E-07	7.000E-07	7.000E-07	-0.513	Lab 18	-1.023
Lab 10	1.943E-06	1.143E-06	1.943E-06	1.943E-06	1.943E-06	1.943E-06	1.943E-06	1.943E-06	1.943E-06	1.943E-06	0.436	Lab 30	-0.590
Lab 13	3.370E-06	2.570E-06	2.505E-06	2.863E-06	3.058E-06	3.172E-06	3.241E-06	3.282E-06	3.308E-06	3.324E-06	1.527	Lab 9	-0.513
Lab 16	2.200E-06	1.400E-06	2.200E-06	2.200E-06	2.200E-06	2.200E-06	2.200E-06	2.200E-06	2.200E-06	2.200E-06	0.633	Lab 24	-0.437
Lab 18	3.349E-08	7.665E-07	3.349E-08	3.349E-08	3.349E-08	3.349E-08	3.349E-08	3.349E-08	3.349E-08	3.349E-08	-1.023	Lab 10	0.436
Lab 24	8.000E-07	0.000E+00	8.000E-07	8.000E-07	8.000E-07	8.000E-07	8.000E-07	8.000E-07	8.000E-07	8.000E-07	-0.437	Lab 16	0.633
Lab 30	6.000E-07	2.000E-07	6.000E-07	6.000E-07	6.000E-07	6.000E-07	6.000E-07	6.000E-07	6.000E-07	6.000E-07	-0.590	Lab 13	1.527
Average	<b>1.378E-06</b>		<b>1.254E-06</b>	<b>1.306E-06</b>	<b>1.333E-06</b>	<b>1.350E-06</b>	<b>1.360E-06</b>	<b>1.366E-06</b>	<b>1.369E-06</b>	<b>1.371E-06</b>			
SD	<b>1.167E-06</b>	<b>9.177E-07</b>	<b>9.456E-07</b>	<b>1.030E-06</b>	<b>1.081E-06</b>	<b>1.112E-06</b>	<b>1.130E-06</b>	<b>1.142E-06</b>	<b>1.149E-06</b>	<b>1.154E-06</b>			
New $x^*$	<b>8.000E-07</b>	<b>7.665E-07</b>	<b>1.254E-06</b>	<b>1.306E-06</b>	<b>1.333E-06</b>	<b>1.350E-06</b>	<b>1.360E-06</b>	<b>1.366E-06</b>	<b>1.369E-06</b>	<b>1.371E-06</b>			
New $s^*$	<b>1.137E-06</b>		<b>1.072E-06</b>	<b>1.168E-06</b>	<b>1.226E-06</b>	<b>1.261E-06</b>	<b>1.282E-06</b>	<b>1.295E-06</b>	<b>1.303E-06</b>	<b>1.309E-06</b>	<b>1.134*SD</b>		

**ΣΗΜΕΙΩΣΗ:** Για το εργαστήριο 18 έχει χρησιμοποιηθεί το άθροισμα των λόγων έκθεσης στις φασματικές περιοχές 2110-2120MHz και 2125-2130MHz

Πίνακας Π.58 Λόγος έκθεσης στη φασματική περιοχή UMTS (1900-2200MHz): Σενάριο μέτρησης 1, Θέση μέτρησης 3

Number of laboratories=		7										Z-Score		Z-Score	
Iteration	0	xi-x*	1	2	3	4	...	9	10	11	12		αύξουσα	σειρά	
$\delta=1.5s^*$	-		<b>1.335E-06</b>	<b>1.554E-06</b>	<b>1.738E-06</b>	<b>1.900E-06</b>	...	<b>2.499E-06</b>	<b>2.567E-06</b>	<b>2.603E-06</b>	<b>2.625E-06</b>				
$x^*-\delta$	-		<b>1.065E-06</b>	<b>8.795E-07</b>	<b>7.041E-07</b>	<b>5.456E-07</b>	...	<b>-5.254E-08</b>	<b>-1.135E-07</b>	<b>-1.384E-07</b>	<b>-1.539E-07</b>				
$x^*+\delta$	-		<b>3.735E-06</b>	<b>3.987E-06</b>	<b>4.181E-06</b>	<b>4.345E-06</b>	...	<b>4.945E-06</b>	<b>5.021E-06</b>	<b>5.068E-06</b>	<b>5.097E-06</b>				
Lab 9	2.100E-06	3.000E-07	2.100E-06	2.100E-06	2.100E-06	2.100E-06	...	2.100E-06	2.100E-06	2.100E-06	2.100E-06	-0.213	Lab 29	-1.407	
Lab 10	2.542E-06	1.420E-07	2.542E-06	2.542E-06	2.542E-06	2.542E-06	...	2.542E-06	2.542E-06	2.542E-06	2.542E-06	0.038	Lab 24	-0.384	
Lab 13	3.390E-06	9.900E-07	3.390E-06	3.390E-06	3.390E-06	3.390E-06	...	3.390E-06	3.390E-06	3.390E-06	3.390E-06	0.520	Lab 9	-0.213	
Lab 16	2.400E-06	0.000E+00	2.400E-06	2.400E-06	2.400E-06	2.400E-06	...	2.400E-06	2.400E-06	2.400E-06	2.400E-06	-0.043	Lab 16	-0.043	
Lab 24	1.800E-06	6.000E-07	1.800E-06	1.800E-06	1.800E-06	1.800E-06	...	1.800E-06	1.800E-06	1.800E-06	1.800E-06	-0.384	Lab 10	0.038	
Lab 29	0.000E+00	2.400E-06	1.065E-06	8.795E-07	7.041E-07	5.456E-07	...	0.000E+00	0.000E+00	0.000E+00	0.000E+00	-1.407	Lab 13	0.520	
Lab 30	<b>6.400E-06</b>	4.000E-06	3.735E-06	3.987E-06	4.181E-06	4.345E-06	...	4.945E-06	5.021E-06	5.068E-06	5.097E-06	<b>2.231</b>	Lab 30	<b>2.231</b>	
Average	<b>2.662E-06</b>		<b>2.433E-06</b>	<b>2.443E-06</b>	<b>2.445E-06</b>	<b>2.446E-06</b>	...	<b>2.454E-06</b>	<b>2.465E-06</b>	<b>2.471E-06</b>	<b>2.476E-06</b>				
SD	<b>1.946E-06</b>	<b>1.475E-06</b>	<b>9.134E-07</b>	<b>1.022E-06</b>	<b>1.117E-06</b>	<b>1.201E-06</b>	...	<b>1.509E-06</b>	<b>1.530E-06</b>	<b>1.543E-06</b>	<b>1.551E-06</b>				
New x*	<b>2.400E-06</b>	<b>6.000E-07</b>	<b>2.433E-06</b>	<b>2.443E-06</b>	<b>2.445E-06</b>	<b>2.446E-06</b>	...	<b>2.454E-06</b>	<b>2.465E-06</b>	<b>2.471E-06</b>	<b>2.476E-06</b>				
New s*	<b>8.898E-07</b>		<b>1.036E-06</b>	<b>1.159E-06</b>	<b>1.267E-06</b>	<b>1.362E-06</b>	...	<b>1.712E-06</b>	<b>1.735E-06</b>	<b>1.750E-06</b>	<b>1.759E-06</b>	<b>1.134*SD</b>			

Πίνακας Π.59 Λόγος έκθεσης στη φασματική περιοχή UMTS (1900-2200MHz): Σενάριο μέτρησης 2, Θέση μέτρησης 1

Number of laboratories=		12											
Iteration	0	xi-x*	1	2	3	4	5	6	7	Z-Score	Z-Score αύξουσα σειρά		
$\delta=1.5s^*$	-		2.427E-04	2.782E-04	3.111E-04	3.332E-04	3.393E-04	3.413E-04	3.420E-04				
$x^*-\delta$	-		5.236E-05	1.951E-05	-1.259E-05	-3.281E-05	-3.682E-05	-3.823E-05	-3.872E-05				
$x^*+\delta$	-		5.377E-04	5.758E-04	6.097E-04	6.337E-04	6.417E-04	6.444E-04	6.454E-04				
Lab 6	6.000E-04	3.050E-04	5.377E-04	5.758E-04	6.000E-04	6.000E-04	6.000E-04	6.000E-04	6.000E-04	1.300	Lab 27	-1.330	
Lab 9	3.334E-04	3.835E-05	3.334E-04	3.334E-04	3.334E-04	3.334E-04	3.334E-04	3.334E-04	3.334E-04	0.131	Lab 18	-1.313	
Lab 10	4.480E-04	1.530E-04	4.480E-04	4.480E-04	4.480E-04	4.480E-04	4.480E-04	4.480E-04	4.480E-04	0.634	Lab 23	-0.764	
Lab 12	2.740E-04	2.105E-05	2.740E-04	2.740E-04	2.740E-04	2.740E-04	2.740E-04	2.740E-04	2.740E-04	-0.129	Lab 24	-0.203	
Lab 13	6.940E-04	3.990E-04	5.377E-04	5.758E-04	6.097E-04	6.337E-04	6.417E-04	6.444E-04	6.454E-04	1.712	Lab 12	-0.129	
Lab 16	3.603E-04	6.525E-05	3.603E-04	3.603E-04	3.603E-04	3.603E-04	3.603E-04	3.603E-04	3.603E-04	0.249	Lab 30	-0.058	
Lab 18	3.735E-06	2.913E-04	5.236E-05	1.951E-05	3.735E-06	3.735E-06	3.735E-06	3.735E-06	3.735E-06	-1.313	Lab 26	-0.015	
Lab 23	1.290E-04	1.661E-04	1.290E-04	1.290E-04	1.290E-04	1.290E-04	1.290E-04	1.290E-04	1.290E-04	-0.764	Lab 9	0.131	
Lab 24	2.570E-04	3.805E-05	2.570E-04	2.570E-04	2.570E-04	2.570E-04	2.570E-04	2.570E-04	2.570E-04	-0.203	Lab 16	0.249	
Lab 26	3.000E-04	4.950E-06	3.000E-04	3.000E-04	3.000E-04	3.000E-04	3.000E-04	3.000E-04	3.000E-04	-0.015	Lab 10	0.634	
Lab 27	0.000E+00	2.951E-04	5.236E-05	1.951E-05	0.000E+00	0.000E+00	0.000E+00	0.000E+00	0.000E+00	-1.330	Lab 6	1.300	
Lab 30	2.901E-04	4.950E-06	2.901E-04	2.901E-04	2.901E-04	2.901E-04	2.901E-04	2.901E-04	2.901E-04	-0.058	Lab 13	1.712	
Average	3.075E-04		2.977E-04	2.985E-04	3.004E-04	3.024E-04	3.031E-04	3.033E-04	3.034E-04				
SD	2.091E-04	1.408E-04	1.635E-04	1.829E-04	1.959E-04	1.994E-04	2.007E-04	2.011E-04	2.012E-04				
New $x^*$	2.951E-04	1.091E-04	2.977E-04	2.985E-04	3.004E-04	3.024E-04	3.031E-04	3.033E-04	3.034E-04				
New $s^*$	1.618E-04		1.854E-04	2.074E-04	2.222E-04	2.262E-04	2.276E-04	2.280E-04	2.282E-04	1.134*SD			



Πίνακας Π.60 Λόγος έκθεσης στη φασματική περιοχή UMTS (1900-2200MHz): Σενάριο μέτρησης 2, Θέση μέτρησης 2

Number of laboratories=		12									
Iteration	0	xi-x*	1	2	3	4	5	Z-Score	Z-Score αύξουσα σειρά		
$\bar{\delta}=1.5s^*$	-		<b>1.396E-04</b>	<b>1.399E-04</b>	<b>1.418E-04</b>	<b>1.425E-04</b>	<b>1.427E-04</b>				
$x^*-\bar{\delta}$	-		<b>-6.637E-06</b>	<b>5.015E-07</b>	<b>-8.052E-07</b>	<b>-1.262E-06</b>	<b>-1.420E-06</b>				
$x^*+\bar{\delta}$	-		<b>2.725E-04</b>	<b>2.802E-04</b>	<b>2.828E-04</b>	<b>2.837E-04</b>	<b>2.840E-04</b>				
Lab 6	3.000E-04	1.671E-04	2.725E-04	2.802E-04	2.828E-04	2.837E-04	2.840E-04	1.667	Lab 18	-1.464	
Lab 9	6.910E-05	6.385E-05	6.910E-05	6.910E-05	6.910E-05	6.910E-05	6.910E-05	-0.759	Lab 9	-0.759	
Lab 10	1.500E-04	1.705E-05	1.500E-04	1.500E-04	1.500E-04	1.500E-04	1.500E-04	0.091	Lab 23	-0.736	
Lab 12	2.090E-04	7.605E-05	2.090E-04	2.090E-04	2.090E-04	2.090E-04	2.090E-04	0.711	Lab 24	-0.597	
Lab 13	2.590E-04	1.261E-04	2.590E-04	2.590E-04	2.590E-04	2.590E-04	2.590E-04	1.236	Lab 26	-0.434	
Lab 16	1.159E-04	1.705E-05	1.159E-04	1.159E-04	1.159E-04	1.159E-04	1.159E-04	-0.267	Lab 16	-0.267	
Lab 18	1.983E-06	1.310E-04	1.983E-06	1.983E-06	1.983E-06	1.983E-06	1.983E-06	-1.464	Lab 10	0.091	
Lab 23	7.130E-05	6.165E-05	7.130E-05	7.130E-05	7.130E-05	7.130E-05	7.130E-05	-0.736	Lab 30	0.102	
Lab 24	8.450E-05	4.845E-05	8.450E-05	8.450E-05	8.450E-05	8.450E-05	8.450E-05	-0.597	Lab 27	0.616	
Lab 26	1.000E-04	3.295E-05	1.000E-04	1.000E-04	1.000E-04	1.000E-04	1.000E-04	-0.434	Lab 12	0.711	
Lab 27	2.000E-04	6.705E-05	2.000E-04	2.000E-04	2.000E-04	2.000E-04	2.000E-04	0.616	Lab 13	1.236	
Lab 30	1.510E-04	1.805E-05	1.510E-04	1.510E-04	1.510E-04	1.510E-04	1.510E-04	0.102	Lab 6	1.667	
Average	<b>1.426E-04</b>		<b>1.404E-04</b>	<b>1.410E-04</b>	<b>1.412E-04</b>	<b>1.413E-04</b>	<b>1.413E-04</b>				
SD	<b>8.651E-05</b>	<b>4.914E-05</b>	<b>8.222E-05</b>	<b>8.337E-05</b>	<b>8.376E-05</b>	<b>8.390E-05</b>	<b>8.394E-05</b>				
New $x^*$	<b>1.330E-04</b>	<b>6.275E-05</b>	<b>1.404E-04</b>	<b>1.410E-04</b>	<b>1.412E-04</b>	<b>1.413E-04</b>	<b>1.413E-04</b>				
New $s^*$	<b>9.306E-05</b>		<b>9.324E-05</b>	<b>9.454E-05</b>	<b>9.498E-05</b>	<b>9.514E-05</b>	<b>9.519E-05</b>	<b>1.134*SD</b>			

Πίνακας Π.61 Λόγος έκθεσης στη φασματική περιοχή UMTS (1900-2200MHz): Σενάριο μέτρησης 2, Θέση μέτρησης 3

Number of laboratories=		10											
Iteration	0	xi-x*	1	2	3	4	...	14	15	16	17	Z-Score	Z-Score αύξουσα σειρά
$\bar{\delta}=1.5s^*$	-		<b>1.021E-04</b>	<b>1.217E-04</b>	<b>1.430E-04</b>	<b>1.591E-04</b>	...	<b>2.108E-04</b>	<b>2.124E-04</b>	<b>2.137E-04</b>	<b>2.148E-04</b>		
$x^*-\bar{\delta}$	-		<b>2.979E-04</b>	<b>2.805E-04</b>	<b>2.601E-04</b>	<b>2.470E-04</b>	...	<b>2.124E-04</b>	<b>2.113E-04</b>	<b>2.104E-04</b>	<b>2.096E-04</b>		
$x^*+\bar{\delta}$	-		<b>5.021E-04</b>	<b>5.238E-04</b>	<b>5.460E-04</b>	<b>5.651E-04</b>	...	<b>6.339E-04</b>	<b>6.360E-04</b>	<b>6.378E-04</b>	<b>6.392E-04</b>		
Lab 6	4.000E-04	0.000E+00	4.000E-04	4.000E-04	4.000E-04	4.000E-04	...	4.000E-04	4.000E-04	4.000E-04	4.000E-04	-0.172	Lab 10 -1.076
Lab 9	3.588E-04	4.120E-05	3.588E-04	3.588E-04	3.588E-04	3.588E-04	...	3.588E-04	3.588E-04	3.588E-04	3.588E-04	-0.458	Lab 12 -1.027
Lab 10	2.700E-04	1.300E-04	2.979E-04	2.805E-04	2.700E-04	2.700E-04	...	2.700E-04	2.700E-04	2.700E-04	2.700E-04	-1.076	Lab 9 -0.458
Lab 12	2.770E-04	1.230E-04	2.979E-04	2.805E-04	2.770E-04	2.770E-04	...	2.770E-04	2.770E-04	2.770E-04	2.770E-04	-1.027	Lab 6 -0.172
Lab 13	<b>1.330E-03</b>	9.300E-04	5.021E-04	5.238E-04	5.460E-04	5.651E-04	...	6.339E-04	6.360E-04	6.378E-04	6.392E-04	<b>6.294</b>	Lab 26 -0.172
Lab 16	4.122E-04	1.220E-05	4.122E-04	4.122E-04	4.122E-04	4.122E-04	...	4.122E-04	4.122E-04	4.122E-04	4.122E-04	-0.087	Lab 27 -0.172
Lab 24	4.506E-04	5.060E-05	4.506E-04	4.506E-04	4.506E-04	4.506E-04	...	4.506E-04	4.506E-04	4.506E-04	4.506E-04	0.180	Lab 16 -0.087
Lab 26	4.000E-04	0.000E+00	4.000E-04	4.000E-04	4.000E-04	4.000E-04	...	4.000E-04	4.000E-04	4.000E-04	4.000E-04	-0.172	Lab 24 0.180
Lab 27	4.000E-04	0.000E+00	4.000E-04	4.000E-04	4.000E-04	4.000E-04	...	4.000E-04	4.000E-04	4.000E-04	4.000E-04	-0.172	Lab 30 1.924
Lab 30	7.014E-04	3.014E-04	5.021E-04	5.238E-04	5.460E-04	5.651E-04	...	6.339E-04	6.360E-04	6.378E-04	6.392E-04	1.924	Lab 13 <b>6.294</b>
Average	<b>5.000E-04</b>		<b>4.022E-04</b>	<b>4.030E-04</b>	<b>4.061E-04</b>	<b>4.099E-04</b>	...	<b>4.236E-04</b>	<b>4.241E-04</b>	<b>4.244E-04</b>	<b>4.247E-04</b>		
SD	<b>3.149E-04</b>	<b>2.867E-04</b>	<b>7.154E-05</b>	<b>8.404E-05</b>	<b>9.350E-05</b>	<b>9.999E-05</b>	...	<b>1.249E-04</b>	<b>1.256E-04</b>	<b>1.263E-04</b>	<b>1.268E-04</b>		
New $\chi^*$	<b>4.000E-04</b>	<b>4.590E-05</b>	<b>4.022E-04</b>	<b>4.030E-04</b>	<b>4.061E-04</b>	<b>4.099E-04</b>	...	<b>4.236E-04</b>	<b>4.241E-04</b>	<b>4.244E-04</b>	<b>4.247E-04</b>		
New $s^*$	<b>6.807E-05</b>		<b>8.113E-05</b>	<b>9.530E-05</b>	<b>1.060E-04</b>	<b>1.134E-04</b>	...	<b>1.416E-04</b>	<b>1.425E-04</b>	<b>1.432E-04</b>	<b>1.438E-04</b>	<b>1.134*SD</b>	

Πίνακας Π.62 Λόγος έκθεσης στη φασματική περιοχή UMTS (1900-2200MHz): Σενάριο μέτρησης 3, Θέση μέτρησης 1

Iteration	0	$\chi_i - \chi^*$	1	2	3	4	5	6	7	Z-Score	Z-Score αύξουσα σειρά
Number of laboratories=			4								
$\delta = 1.5s^*$	-		4.638E-05	5.570E-05	6.629E-05	7.723E-05	8.872E-05	1.009E-04	1.082E-04		
$\chi^* - \delta$	-		2.862E-05	2.432E-05	1.731E-05	9.914E-06	2.055E-06	-6.350E-06	-1.144E-05		
$\chi^* + \delta$	-		1.214E-04	1.357E-04	1.499E-04	1.644E-04	1.795E-04	1.954E-04	2.050E-04		
Lab 9	5.960E-05	1.540E-05	5.960E-05	5.960E-05	5.960E-05	5.960E-05	5.960E-05	5.960E-05	5.960E-05	-0.516	Lab 13 -0.667
Lab 13	4.870E-05	2.630E-05	4.870E-05	4.870E-05	4.870E-05	4.870E-05	4.870E-05	4.870E-05	4.870E-05	-0.667	Lab 9 -0.516
Lab 24	9.040E-05	1.540E-05	9.040E-05	9.040E-05	9.040E-05	9.040E-05	9.040E-05	9.040E-05	9.040E-05	-0.089	Lab 24 -0.089
Lab 31	1.885E-04	1.135E-04	1.214E-04	1.357E-04	1.499E-04	1.644E-04	1.795E-04	1.885E-04	1.885E-04	1.271	Lab 31 1.271
Average	<b>9.680E-05</b>		<b>8.002E-05</b>	<b>8.360E-05</b>	<b>8.715E-05</b>	<b>9.077E-05</b>	<b>9.455E-05</b>	<b>9.680E-05</b>	<b>9.680E-05</b>		
SD	<b>6.363E-05</b>	<b>4.751E-05</b>	<b>3.274E-05</b>	<b>3.897E-05</b>	<b>4.541E-05</b>	<b>5.216E-05</b>	<b>5.932E-05</b>	<b>6.363E-05</b>	<b>6.363E-05</b>		
New $\chi^*$	<b>7.500E-05</b>	<b>2.085E-05</b>	<b>8.002E-05</b>	<b>8.360E-05</b>	<b>8.715E-05</b>	<b>9.077E-05</b>	<b>9.455E-05</b>	<b>9.680E-05</b>	<b>9.680E-05</b>		
New $s^*$	<b>3.092E-05</b>		<b>3.713E-05</b>	<b>4.419E-05</b>	<b>5.149E-05</b>	<b>5.914E-05</b>	<b>6.726E-05</b>	<b>7.216E-05</b>	<b>7.216E-05</b>	1.134*SD	

**Πίνακας Π.63 Λόγος έκθεσης στη φασματική περιοχή AFTER (2200-3000MHz): Σενάριο μέτρησης 1, Θέση μέτρησης 1**

Number of laboratories=	12						Z-Score	Z-Score	Z-Score
Iteration	0	xi-x*	1	2	3	4		αύξουσα	σειρά
$\delta=1.5s^*$	-		<b>1.676E-05</b>	<b>1.718E-05</b>	<b>1.791E-05</b>	<b>1.816E-05</b>			
$x^*-\delta$	-		<b>-5.763E-06</b>	<b>-4.308E-06</b>	<b>-4.783E-06</b>	<b>-4.952E-06</b>			
$x^*+\delta$	-		<b>2.776E-05</b>	<b>3.004E-05</b>	<b>3.104E-05</b>	<b>3.137E-05</b>			
Lab 2	1.390E-05	2.900E-06	1.390E-05	1.390E-05	1.390E-05	1.390E-05	0.054	Lab 17	-1.072
Lab 9	3.500E-06	7.500E-06	3.500E-06	3.500E-06	3.500E-06	3.500E-06	-0.800	Lab 18	-0.806
Lab 10	1.886E-05	7.861E-06	1.886E-05	1.886E-05	1.886E-05	1.886E-05	0.462	Lab 9	-0.800
Lab 13	2.540E-05	1.440E-05	2.540E-05	2.540E-05	2.540E-05	2.540E-05	1.000	Lab 30	-0.759
Lab 16	8.100E-06	2.900E-06	8.100E-06	8.100E-06	8.100E-06	8.100E-06	-0.422	Lab 24	-0.554
Lab 17	2.000E-07	1.080E-05	2.000E-07	2.000E-07	2.000E-07	2.000E-07	-1.072	Lab 16	-0.422
Lab 18	3.429E-06	7.571E-06	3.429E-06	3.429E-06	3.429E-06	3.429E-06	-0.806	Lab 2	0.054
Lab 20	2.860E-05	1.760E-05	2.776E-05	2.860E-05	2.860E-05	2.860E-05	1.263	Lab 21	0.145
Lab 21	1.500E-05	4.000E-06	1.500E-05	1.500E-05	1.500E-05	1.500E-05	0.145	Lab 10	0.462
Lab 22	3.260E-05	2.160E-05	2.776E-05	3.004E-05	3.104E-05	3.137E-05	1.591	Lab 13	1.000
Lab 24	6.500E-06	4.500E-06	6.500E-06	6.500E-06	6.500E-06	6.500E-06	-0.554	Lab 20	1.263
Lab 30	4.000E-06	7.000E-06	4.000E-06	4.000E-06	4.000E-06	4.000E-06	-0.759	Lab 22	1.591
Average	<b>1.334E-05</b>		<b>1.287E-05</b>	<b>1.313E-05</b>	<b>1.321E-05</b>	<b>1.324E-05</b>			
SD	<b>1.092E-05</b>	<b>5.987E-06</b>	<b>1.010E-05</b>	<b>1.053E-05</b>	<b>1.068E-05</b>	<b>1.073E-05</b>			
New x*	<b>1.100E-05</b>	<b>7.536E-06</b>	<b>1.287E-05</b>	<b>1.313E-05</b>	<b>1.321E-05</b>	<b>1.324E-05</b>			
New s*	<b>1.118E-05</b>		<b>1.145E-05</b>	<b>1.194E-05</b>	<b>1.211E-05</b>	<b>1.217E-05</b>	<b>1.134*SD</b>		

**ΣΗΜΕΙΩΣΗ:** Για το εργαστήριο 18 έχει χρησιμοποιηθεί το άθροισμα των λόγων έκθεσης στις φασματικές περιοχές 2400.75-27000MHz και 2701-3000MHz

**Πίνακας Π.64 Λόγος έκθεσης στη φασματική περιοχή AFTER (2200-3000MHz): Σενάριο μέτρησης 1, Θέση μέτρησης 2**

Number of laboratories=		12										
Iteration	0	$\bar{x}-x^*$	1	2	3	4	5	6	Z-Score	Z-Score αύξουσα σειρά		
$\bar{\delta}=1.5s^*$	-		<b>1.376E-05</b>	<b>1.508E-05</b>	<b>1.639E-05</b>	<b>1.711E-05</b>	<b>1.735E-05</b>	<b>1.744E-05</b>				
$x^*-\bar{\delta}$	-		<b>-2.826E-06</b>	<b>-3.052E-06</b>	<b>-3.880E-06</b>	<b>-4.347E-06</b>	<b>-4.510E-06</b>	<b>-4.568E-06</b>				
$x^*+\bar{\delta}$	-		<b>2.470E-05</b>	<b>2.711E-05</b>	<b>2.890E-05</b>	<b>2.987E-05</b>	<b>3.019E-05</b>	<b>3.030E-05</b>				
Lab 2	1.380E-05	2.863E-06	1.380E-05	1.380E-05	1.380E-05	1.380E-05	1.380E-05	1.380E-05	0.079	Lab 17	-1.088	
Lab 9	5.500E-06	5.437E-06	5.500E-06	5.500E-06	5.500E-06	5.500E-06	5.500E-06	5.500E-06	-0.634	Lab 18	-0.810	
Lab 10	1.377E-05	2.837E-06	1.377E-05	1.377E-05	1.377E-05	1.377E-05	1.377E-05	1.377E-05	0.077	Lab 30	-0.762	
Lab 13	2.570E-05	1.476E-05	2.470E-05	2.570E-05	2.570E-05	2.570E-05	2.570E-05	2.570E-05	1.101	Lab 9	-0.634	
Lab 16	8.100E-06	2.837E-06	8.100E-06	8.100E-06	8.100E-06	8.100E-06	8.100E-06	8.100E-06	-0.410	Lab 24	-0.556	
Lab 17	2.100E-07	1.073E-05	2.100E-07	2.100E-07	2.100E-07	2.100E-07	2.100E-07	2.100E-07	-1.088	Lab 16	-0.410	
Lab 18	3.441E-06	7.496E-06	3.441E-06	3.441E-06	3.441E-06	3.441E-06	3.441E-06	3.441E-06	-0.810	Lab 10	0.077	
Lab 20	2.830E-05	1.736E-05	2.470E-05	2.711E-05	2.830E-05	2.830E-05	2.830E-05	2.830E-05	1.325	Lab 2	0.079	
Lab 21	1.500E-05	4.063E-06	1.500E-05	1.500E-05	1.500E-05	1.500E-05	1.500E-05	1.500E-05	0.182	Lab 21	0.182	
Lab 22	3.260E-05	2.166E-05	2.470E-05	2.711E-05	2.890E-05	2.987E-05	3.019E-05	3.030E-05	1.694	Lab 13	1.101	
Lab 24	6.400E-06	4.537E-06	6.400E-06	6.400E-06	6.400E-06	6.400E-06	6.400E-06	6.400E-06	-0.556	Lab 20	1.325	
Lab 30	4.000E-06	6.937E-06	4.000E-06	4.000E-06	4.000E-06	4.000E-06	4.000E-06	4.000E-06	-0.762	Lab 22	1.694	
Average	<b>1.307E-05</b>		<b>1.203E-05</b>	<b>1.251E-05</b>	<b>1.276E-05</b>	<b>1.284E-05</b>	<b>1.287E-05</b>	<b>1.288E-05</b>				
SD	<b>1.064E-05</b>	<b>6.325E-06</b>	<b>8.865E-06</b>	<b>9.636E-06</b>	<b>1.006E-05</b>	<b>1.020E-05</b>	<b>1.025E-05</b>	<b>1.027E-05</b>				
New $x^*$	<b>1.094E-05</b>	<b>6.187E-06</b>	<b>1.203E-05</b>	<b>1.251E-05</b>	<b>1.276E-05</b>	<b>1.284E-05</b>	<b>1.287E-05</b>	<b>1.288E-05</b>				
New $s^*$	<b>9.176E-06</b>		<b>1.005E-05</b>	<b>1.093E-05</b>	<b>1.140E-05</b>	<b>1.157E-05</b>	<b>1.162E-05</b>	<b>1.164E-05</b>	<b>1.134*SD</b>			

**ΣΗΜΕΙΩΣΗ:** Για το εργαστήριο 18 έχει χρησιμοποιηθεί το άθροισμα των λόγων έκθεσης στις φασματικές περιοχές 2400.75-27000MHz και 2701-3000MHz

Πίνακας Π.65 Λόγος έκθεσης στη φασματική περιοχή AFTER (2200-3000MHz): Σενάριο μέτρησης 1, Θέση μέτρησης 3

Number of laboratories=		12					
Iteration	0	xi-x*	1	2	Z-Score	Z-Score αύξουσα σειρά	
$\delta=1.5s^*$	-		<b>2.274E-05</b>	<b>1.863E-05</b>			
$x^*-\delta$	-		<b>-6.142E-06</b>	<b>-1.842E-06</b>			
$x^*+\delta$	-		<b>3.934E-05</b>	<b>3.542E-05</b>			
Lab 2	1.700E-05	4.000E-07	1.700E-05	1.700E-05	0.017	Lab 29	-1.352
Lab 9	1.760E-05	1.000E-06	1.760E-05	1.760E-05	0.065	Lab 17	-1.336
Lab 10	2.805E-05	1.145E-05	2.805E-05	2.805E-05	0.907	Lab 30	-1.014
Lab 13	2.560E-05	9.000E-06	2.560E-05	2.560E-05	0.710	Lab 21	-0.136
Lab 16	1.620E-05	4.000E-07	1.620E-05	1.620E-05	-0.047	Lab 24	-0.055
Lab 17	2.000E-07	1.640E-05	2.000E-07	2.000E-07	-1.336	Lab 16	-0.047
Lab 20	2.870E-05	1.210E-05	2.870E-05	2.870E-05	0.959	Lab 2	0.017
Lab 21	1.510E-05	1.500E-06	1.510E-05	1.510E-05	-0.136	Lab 9	0.065
Lab 22	3.270E-05	1.610E-05	3.270E-05	3.270E-05	1.281	Lab 13	0.710
Lab 24	1.610E-05	5.000E-07	1.610E-05	1.610E-05	-0.055	Lab 10	0.907
Lab 29	0.000E+00	1.660E-05	0.000E+00	0.000E+00	-1.352	Lab 20	0.959
Lab 30	4.200E-06	1.240E-05	4.200E-06	4.200E-06	-1.014	Lab 22	1.281
Average	<b>1.679E-05</b>		<b>1.679E-05</b>	<b>1.679E-05</b>			
SD	<b>1.095E-05</b>	<b>6.888E-06</b>	<b>1.095E-05</b>	<b>1.095E-05</b>			
New x*	<b>1.660E-05</b>	<b>1.022E-05</b>	<b>1.679E-05</b>	<b>1.679E-05</b>			
New s*	<b>1.516E-05</b>		<b>1.242E-05</b>	<b>1.242E-05</b>	<b>1.134*SD</b>		

**ΣΗΜΕΙΩΣΗ:** Για το εργαστήριο 29 έχει χρησιμοποιηθεί το άθροισμα των λόγων έκθεσης στις φασματικές περιοχές other services και Wi-Fi 2.4.

**Πίνακας Π.66 Λόγος έκθεσης στη φασματική περιοχή AFTER (2200-3000MHz): Σενάριο μέτρησης 2, Θέση μέτρησης 1**

Number of laboratories=		12											
Iteration	0	xi-x*	1	2	3	4	...	7	8	9	10	Z-Score	Z-Score αύξουσα σειρά
$\delta=1.5s^*$	-		<b>8.453E-06</b>	<b>9.451E-06</b>	<b>1.112E-05</b>	<b>1.262E-05</b>	...	<b>1.464E-05</b>	<b>1.481E-05</b>	<b>1.486E-05</b>	<b>1.488E-05</b>		
$x^*-\delta$	-		<b>-9.481E-07</b>	<b>-1.141E-07</b>	<b>-1.075E-06</b>	<b>-1.991E-06</b>	...	<b>-3.299E-06</b>	<b>-3.412E-06</b>	<b>-3.451E-06</b>	<b>-3.465E-06</b>		
$x^*+\delta$	-		<b>1.596E-05</b>	<b>1.879E-05</b>	<b>2.116E-05</b>	<b>2.325E-05</b>	...	<b>2.598E-05</b>	<b>2.620E-05</b>	<b>2.628E-05</b>	<b>2.630E-05</b>		
Lab 2	5.360E-06	2.145E-06	5.360E-06	5.360E-06	5.360E-06	5.360E-06	...	5.360E-06	5.360E-06	5.360E-06	5.360E-06	-0.611	Lab 27 -1.150
Lab 9	5.500E-06	2.005E-06	5.500E-06	5.500E-06	5.500E-06	5.500E-06	...	5.500E-06	5.500E-06	5.500E-06	5.500E-06	-0.596	Lab 30 -0.717
Lab 10	2.109E-05	1.358E-05	1.596E-05	1.879E-05	2.109E-05	2.109E-05	...	2.109E-05	2.109E-05	2.109E-05	2.109E-05	0.973	Lab 2 -0.611
Lab 13	2.550E-05	1.800E-05	1.596E-05	1.879E-05	2.116E-05	2.325E-05	...	2.550E-05	2.550E-05	2.550E-05	2.550E-05	1.418	Lab 9 -0.596
Lab 16	8.100E-06	5.950E-07	8.100E-06	8.100E-06	8.100E-06	8.100E-06	...	8.100E-06	8.100E-06	8.100E-06	8.100E-06	-0.335	Lab 24 -0.516
Lab 18	6.910E-06	5.950E-07	6.910E-06	6.910E-06	6.910E-06	6.910E-06	...	6.910E-06	6.910E-06	6.910E-06	6.910E-06	-0.454	Lab 18 -0.454
Lab 20	1.190E-05	4.395E-06	1.190E-05	1.190E-05	1.190E-05	1.190E-05	...	1.190E-05	1.190E-05	1.190E-05	1.190E-05	0.048	Lab 16 -0.335
<b>Lab 21</b>	<b>3.550E-05</b>	2.800E-05	1.596E-05	1.879E-05	2.116E-05	2.325E-05	...	2.598E-05	2.620E-05	2.628E-05	2.630E-05	<b>2.425</b>	Lab 20 0.048
Lab 22	1.580E-05	8.295E-06	1.580E-05	1.580E-05	1.580E-05	1.580E-05	...	1.580E-05	1.580E-05	1.580E-05	1.580E-05	0.441	Lab 22 0.441
Lab 24	6.300E-06	1.205E-06	6.300E-06	6.300E-06	6.300E-06	6.300E-06	...	6.300E-06	6.300E-06	6.300E-06	6.300E-06	-0.516	Lab 10 0.973
Lab 27	0.000E+00	7.505E-06	0.000E+00	0.000E+00	0.000E+00	0.000E+00	...	0.000E+00	0.000E+00	0.000E+00	0.000E+00	-1.150	Lab 13 1.418
Lab 30	4.300E-06	3.205E-06	4.300E-06	4.300E-06	4.300E-06	4.300E-06	...	4.300E-06	4.300E-06	4.300E-06	4.300E-06	-0.717	<b>Lab 21 2.425</b>
Average	<b>1.219E-05</b>		<b>9.337E-06</b>	<b>1.004E-05</b>	<b>1.063E-05</b>	<b>1.098E-05</b>	...	<b>1.139E-05</b>	<b>1.141E-05</b>	<b>1.142E-05</b>	<b>1.142E-05</b>		
SD	<b>1.042E-05</b>	<b>8.473E-06</b>	<b>5.556E-06</b>	<b>6.537E-06</b>	<b>7.421E-06</b>	<b>7.983E-06</b>	...	<b>8.705E-06</b>	<b>8.739E-06</b>	<b>8.750E-06</b>	<b>8.755E-06</b>		
New x*	<b>7.505E-06</b>	<b>3.800E-06</b>	<b>9.337E-06</b>	<b>1.004E-05</b>	<b>1.063E-05</b>	<b>1.098E-05</b>	...	<b>1.139E-05</b>	<b>1.141E-05</b>	<b>1.142E-05</b>	<b>1.142E-05</b>		
New s*	<b>5.635E-06</b>		<b>6.301E-06</b>	<b>7.413E-06</b>	<b>8.415E-06</b>	<b>9.053E-06</b>	...	<b>9.871E-06</b>	<b>9.910E-06</b>	<b>9.923E-06</b>	<b>9.928E-06</b>	1.134*SD	

**ΣΗΜΕΙΩΣΗ:** Για το εργαστήριο 18 έχει χρησιμοποιηθεί το άθροισμα των λόγων έκθεσης στις φασματικές περιοχές 2400.75-27000MHz και 2701-3000MHz

Για το εργαστήριο 29 έχει χρησιμοποιηθεί το άθροισμα των λόγων έκθεσης στις φασματικές περιοχές other services και Wi-Fi 2.4.

Πίνακας Π.67 Λόγος έκθεσης στη φασματική περιοχή AFTER (2200-3000MHz): Σενάριο μέτρησης 2, Θέση μέτρησης 2

Iteration	0 xi-x*	1	2	3	4	...	12	13	14	15	Z-Score	Z-Score	
Number of laboratories=		12											
$\bar{\delta}=1.5s^*$	-	9.511E-06	1.031E-05	1.172E-05	1.263E-05	...	1.442E-05	1.445E-05	1.447E-05	1.448E-05		Z-Score	
$x^*-\bar{\delta}$	-	-2.261E-06	-1.118E-06	-1.951E-06	-2.528E-06	...	-3.719E-06	-3.739E-06	-3.752E-06	-3.762E-06		αύξουσα	
$x^*+\bar{\delta}$	-	1.676E-05	1.950E-05	2.149E-05	2.273E-05	...	2.511E-05	2.515E-05	2.518E-05	2.520E-05		σειρά	
Lab 2	4.980E-06	2.270E-06	4.980E-06	4.980E-06	4.980E-06	...	4.980E-06	4.980E-06	4.980E-06	4.980E-06	-0.594	Lab 27	-1.110
Lab 9	5.500E-06	1.750E-06	5.500E-06	5.500E-06	5.500E-06	...	5.500E-06	5.500E-06	5.500E-06	5.500E-06	-0.540	Lab 18	-0.763
Lab 10	1.822E-05	1.097E-05	1.676E-05	1.822E-05	1.822E-05	...	1.822E-05	1.822E-05	1.822E-05	1.822E-05	0.777	Lab 30	-0.675
Lab 13	2.550E-05	1.825E-05	1.676E-05	1.950E-05	2.149E-05	...	2.511E-05	2.515E-05	2.518E-05	2.520E-05	1.530	Lab 2	-0.594
Lab 16	8.100E-06	8.500E-07	8.100E-06	8.100E-06	8.100E-06	...	8.100E-06	8.100E-06	8.100E-06	8.100E-06	-0.271	Lab 9	-0.540
Lab 18	3.349E-06	3.901E-06	3.349E-06	3.349E-06	3.349E-06	...	3.349E-06	3.349E-06	3.349E-06	3.349E-06	-0.763	Lab 24	-0.447
Lab 20	1.190E-05	4.650E-06	1.190E-05	1.190E-05	1.190E-05	...	1.190E-05	1.190E-05	1.190E-05	1.190E-05	0.122	Lab 16	-0.271
Lab 21	3.530E-05	2.805E-05	1.676E-05	1.950E-05	2.149E-05	...	2.511E-05	2.515E-05	2.518E-05	2.520E-05	2.545	Lab 20	0.122
Lab 22	1.560E-05	8.350E-06	1.560E-05	1.560E-05	1.560E-05	...	1.560E-05	1.560E-05	1.560E-05	1.560E-05	0.505	Lab 22	0.505
Lab 24	6.400E-06	8.500E-07	6.400E-06	6.400E-06	6.400E-06	...	6.400E-06	6.400E-06	6.400E-06	6.400E-06	-0.447	Lab 10	0.777
Lab 27	0.000E+00	7.250E-06	0.000E+00	0.000E+00	0.000E+00	...	0.000E+00	0.000E+00	0.000E+00	0.000E+00	-1.110	Lab 13	1.530
Lab 30	4.200E-06	3.050E-06	4.200E-06	4.200E-06	4.200E-06	...	4.200E-06	4.200E-06	4.200E-06	4.200E-06	-0.675	Lab 21	2.545
Average	1.159E-05		9.193E-06	9.771E-06	1.010E-05	1.031E-05	...	1.071E-05	1.071E-05	1.072E-05	1.072E-05		
SD	1.041E-05	8.204E-06	6.062E-06	6.892E-06	7.426E-06	7.779E-06	...	8.492E-06	8.504E-06	8.512E-06	8.518E-06		
New x*	7.250E-06	4.276E-06	9.193E-06	9.771E-06	1.010E-05	1.031E-05	...	1.071E-05	1.071E-05	1.072E-05	1.072E-05		
New s*	6.341E-06		6.874E-06	7.815E-06	8.421E-06	8.821E-06	...	9.630E-06	9.643E-06	9.653E-06	9.659E-06	1.134*SD	

**ΣΗΜΕΙΩΣΗ:** Για το εργαστήριο 18 έχει χρησιμοποιηθεί το άθροισμα των λόγων έκθεσης στις φασματικές περιοχές 2400.75-27000MHz και 2701-3000MHz  
 Για το εργαστήριο 29 έχει χρησιμοποιηθεί το άθροισμα των λόγων έκθεσης στις φασματικές περιοχές other services και Wi-Fi 2.4.



**Πίνακας Π.68 Λόγος έκθεσης στη φασματική περιοχή AFTER (2200-3000MHz): Σενάριο μέτρησης 2, Θέση μέτρησης 3**

Iteration	0	xi-x*	1	2	3	4	5	6	7	8	Z-Score	Z-Score	Z-Score
Number of laboratories=			<b>12</b>										
$\delta=1.5s^*$	-		<b>9.276E-06</b>	<b>1.094E-05</b>	<b>1.272E-05</b>	<b>1.395E-05</b>	<b>1.483E-05</b>	<b>1.526E-05</b>	<b>1.542E-05</b>	<b>1.548E-05</b>			
$x^*-\delta$	-		<b>-1.076E-06</b>	<b>-1.076E-06</b>	<b>-2.098E-06</b>	<b>-2.872E-06</b>	<b>-3.446E-06</b>	<b>-3.727E-06</b>	<b>-3.835E-06</b>	<b>-3.877E-06</b>			
$x^*+\delta$	-		<b>1.748E-05</b>	<b>2.080E-05</b>	<b>2.333E-05</b>	<b>2.503E-05</b>	<b>2.622E-05</b>	<b>2.678E-05</b>	<b>2.700E-05</b>	<b>2.707E-05</b>			
Lab 2	4.030E-06	4.170E-06	4.030E-06	4.030E-06	4.030E-06	4.030E-06	4.030E-06	4.030E-06	4.030E-06	4.030E-06	-0.733	Lab 27	-1.123
Lab 9	5.400E-06	2.800E-06	5.400E-06	5.400E-06	5.400E-06	5.400E-06	5.400E-06	5.400E-06	5.400E-06	5.400E-06	-0.601	Lab 2	-0.733
Lab 10	1.917E-05	1.097E-05	1.748E-05	1.917E-05	1.917E-05	1.917E-05	1.917E-05	1.917E-05	1.917E-05	1.917E-05	0.732	Lab 30	-0.726
Lab 13	2.540E-05	1.720E-05	1.748E-05	2.080E-05	2.333E-05	2.503E-05	2.540E-05	2.540E-05	2.540E-05	2.540E-05	1.335	Lab 9	-0.601
Lab 16	8.200E-06	0.000E+00	8.200E-06	8.200E-06	8.200E-06	8.200E-06	8.200E-06	8.200E-06	8.200E-06	8.200E-06	-0.330	Lab 24	-0.504
Lab 20	1.210E-05	3.900E-06	1.210E-05	1.210E-05	1.210E-05	1.210E-05	1.210E-05	1.210E-05	1.210E-05	1.210E-05	0.048	Lab 16	-0.330
<b>Lab 21</b>	<b>3.490E-05</b>	2.670E-05	1.748E-05	2.080E-05	2.333E-05	2.503E-05	2.622E-05	2.678E-05	2.700E-05	2.707E-05	<b>2.254</b>	Lab 20	0.048
Lab 22	1.580E-05	7.600E-06	1.580E-05	1.580E-05	1.580E-05	1.580E-05	1.580E-05	1.580E-05	1.580E-05	1.580E-05	0.406	Lab 22	0.406
Lab 24	6.400E-06	1.800E-06	6.400E-06	6.400E-06	6.400E-06	6.400E-06	6.400E-06	6.400E-06	6.400E-06	6.400E-06	-0.504	Lab 10	0.732
Lab 27	0.000E+00	8.200E-06	0.000E+00	0.000E+00	0.000E+00	0.000E+00	0.000E+00	0.000E+00	0.000E+00	0.000E+00	-1.123	Lab 13	1.335
Lab 30	4.100E-06	4.100E-06	4.100E-06	4.100E-06	4.100E-06	4.100E-06	4.100E-06	4.100E-06	4.100E-06	4.100E-06	-0.726	<b>Lab 21</b>	<b>2.254</b>
Average	<b>1.232E-05</b>		<b>9.860E-06</b>	<b>1.062E-05</b>	<b>1.108E-05</b>	<b>1.139E-05</b>	<b>1.153E-05</b>	<b>1.158E-05</b>	<b>1.160E-05</b>	<b>1.161E-05</b>			
SD	<b>1.062E-05</b>	<b>7.871E-06</b>	<b>6.429E-06</b>	<b>7.475E-06</b>	<b>8.201E-06</b>	<b>8.720E-06</b>	<b>8.969E-06</b>	<b>9.062E-06</b>	<b>9.098E-06</b>	<b>9.111E-06</b>			
New $x^*$	<b>8.200E-06</b>	<b>4.170E-06</b>	<b>9.860E-06</b>	<b>1.062E-05</b>	<b>1.108E-05</b>	<b>1.139E-05</b>	<b>1.153E-05</b>	<b>1.158E-05</b>	<b>1.160E-05</b>	<b>1.161E-05</b>			
New $s^*$	<b>6.184E-06</b>		<b>7.291E-06</b>	<b>8.477E-06</b>	<b>9.300E-06</b>	<b>9.889E-06</b>	<b>1.017E-05</b>	<b>1.028E-05</b>	<b>1.032E-05</b>	<b>1.033E-05</b>	<b>1.134*SD</b>		

**ΣΗΜΕΙΩΣΗ:** Για το εργαστήριο 29 έχει χρησιμοποιηθεί το άθροισμα των λόγων έκθεσης στις φασματικές περιοχές other services και Wi-Fi 2.4.

Πίνακας Π.69 Λόγος έκθεσης στη φασματική περιοχή AFTER (2200-3000MHz): Σενάριο μέτρησης 3, Θέση μέτρησης 1

Number of laboratories=	8													Z-Score	Z-Score
Iteration	0	xi-x*	1	2	3	4	...	10	11	12	13	Z-Score	Z-Score		
$\bar{\delta}=1.5s^*$	-		4.082E-04	4.949E-04	5.766E-04	6.537E-04	...	8.606E-04	8.634E-04	8.648E-04	8.656E-04		αύξουσα		
$x^*-\bar{\delta}$	-		2.573E-04	2.112E-04	1.614E-04	1.127E-04	...	-2.352E-05	-2.542E-05	-2.645E-05	-2.700E-05		σειρά		
$x^*+\bar{\delta}$	-		1.074E-03	1.201E-03	1.315E-03	1.420E-03	...	1.698E-03	1.701E-03	1.703E-03	1.704E-03				
Lab 2	1.870E-03	1.205E-03	1.074E-03	1.201E-03	1.315E-03	1.420E-03	...	1.698E-03	1.701E-03	1.703E-03	1.704E-03	1.786	Lab 13	-0.902	
Lab 9	4.978E-04	1.677E-04	4.978E-04	4.978E-04	4.978E-04	4.978E-04	...	4.978E-04	4.978E-04	4.978E-04	4.978E-04	-0.591	Lab 22	-0.597	
Lab 13	3.180E-04	3.475E-04	3.180E-04	3.180E-04	3.180E-04	3.180E-04	...	3.180E-04	3.180E-04	3.180E-04	3.180E-04	-0.902	Lab 9	-0.591	
Lab 20	4.980E-04	1.675E-04	4.980E-04	4.980E-04	4.980E-04	4.980E-04	...	4.980E-04	4.980E-04	4.980E-04	4.980E-04	-0.590	Lab 20	-0.590	
Lab 21	8.610E-04	1.955E-04	8.610E-04	8.610E-04	8.610E-04	8.610E-04	...	8.610E-04	8.610E-04	8.610E-04	8.610E-04	0.039	Lab 24	-0.010	
Lab 22	4.940E-04	1.715E-04	4.940E-04	4.940E-04	4.940E-04	4.940E-04	...	4.940E-04	4.940E-04	4.940E-04	4.940E-04	-0.597	Lab 21	0.039	
Lab 24	8.330E-04	1.675E-04	8.330E-04	8.330E-04	8.330E-04	8.330E-04	...	8.330E-04	8.330E-04	8.330E-04	8.330E-04	-0.010	Lab 31	1.152	
Lab 31	1.504E-03	8.385E-04	1.074E-03	1.201E-03	1.315E-03	1.420E-03	...	1.504E-03	1.504E-03	1.504E-03	1.504E-03	1.152	Lab 2	1.786	
Average	8.595E-04		7.061E-04	7.380E-04	7.664E-04	7.927E-04	...	8.379E-04	8.384E-04	8.386E-04	8.388E-04				
SD	5.510E-04	3.960E-04	2.910E-04	3.390E-04	3.843E-04	4.279E-04	...	5.076E-04	5.084E-04	5.089E-04	5.091E-04				
New $x^*$	6.655E-04	1.835E-04	7.061E-04	7.380E-04	7.664E-04	7.927E-04	...	8.379E-04	8.384E-04	8.386E-04	8.388E-04				
New $s^*$	2.721E-04		3.300E-04	3.844E-04	4.358E-04	4.853E-04	...	5.756E-04	5.766E-04	5.771E-04	5.774E-04	1.134*SD			

Πίνακας Π.70 Λόγος έκθεσης στη φασματική περιοχή AFTER (2200-3000MHz): Σενάριο μέτρησης 3, Θέση μέτρησης 2

Number of laboratories=		<b>6</b>												
Iteration	0	xi-x*	1	2	3	4	...	12	13	14	15	Z-Score	Z-Score	
$\bar{\delta}=1.5s^*$	-		<b>4.199E-04</b>	<b>4.926E-04</b>	<b>5.694E-04</b>	<b>6.220E-04</b>	...	<b>7.460E-04</b>	<b>7.491E-04</b>	<b>7.514E-04</b>	<b>7.531E-04</b>		<b>Z-Score</b>	<b>Z-Score</b>
$x^*-\bar{\delta}$	-		<b>2.106E-04</b>	<b>2.149E-04</b>	<b>1.680E-04</b>	<b>1.332E-04</b>	...	<b>4.703E-05</b>	<b>4.485E-05</b>	<b>4.322E-05</b>	<b>4.202E-05</b>		<b>αύξουσα</b>	<b>σειρά</b>
$x^*+\bar{\delta}$	-		<b>1.050E-03</b>	<b>1.200E-03</b>	<b>1.307E-03</b>	<b>1.377E-03</b>	...	<b>1.539E-03</b>	<b>1.543E-03</b>	<b>1.546E-03</b>	<b>1.548E-03</b>			
Lab 2	<b>2.010E-03</b>	1.380E-03	1.050E-03	1.200E-03	1.307E-03	1.377E-03	...	1.539E-03	1.543E-03	1.546E-03	1.548E-03	<b>2.415</b>	Lab 13	-0.951
Lab 13	3.170E-04	3.135E-04	3.170E-04	3.170E-04	3.170E-04	3.170E-04	...	3.170E-04	3.170E-04	3.170E-04	3.170E-04	-0.951	Lab 31	-0.455
Lab 20	6.340E-04	3.500E-06	6.340E-04	6.340E-04	6.340E-04	6.340E-04	...	6.340E-04	6.340E-04	6.340E-04	6.340E-04	-0.321	Lab 22	-0.335
Lab 21	1.080E-03	4.495E-04	1.050E-03	1.080E-03	1.080E-03	1.080E-03	...	1.080E-03	1.080E-03	1.080E-03	1.080E-03	0.566	Lab 20	-0.321
Lab 22	6.270E-04	3.500E-06	6.270E-04	6.270E-04	6.270E-04	6.270E-04	...	6.270E-04	6.270E-04	6.270E-04	6.270E-04	-0.335	Lab 21	0.566
Lab 31	5.665E-04	6.400E-05	5.665E-04	5.665E-04	5.665E-04	5.665E-04	...	5.665E-04	5.665E-04	5.665E-04	5.665E-04	-0.455	Lab 2	<b>2.415</b>
Average	<b>8.724E-04</b>		<b>7.075E-04</b>	<b>7.374E-04</b>	<b>7.552E-04</b>	<b>7.670E-04</b>	...	<b>7.939E-04</b>	<b>7.946E-04</b>	<b>7.951E-04</b>	<b>7.954E-04</b>			
SD	<b>6.093E-04</b>	<b>5.274E-04</b>	<b>2.896E-04</b>	<b>3.348E-04</b>	<b>3.657E-04</b>	<b>3.874E-04</b>	...	<b>4.404E-04</b>	<b>4.417E-04</b>	<b>4.427E-04</b>	<b>4.435E-04</b>			
New x*	<b>6.305E-04</b>	<b>1.888E-04</b>	<b>7.075E-04</b>	<b>7.374E-04</b>	<b>7.552E-04</b>	<b>7.670E-04</b>	...	<b>7.939E-04</b>	<b>7.946E-04</b>	<b>7.951E-04</b>	<b>7.954E-04</b>			
New s*	<b>2.799E-04</b>		<b>3.284E-04</b>	<b>3.796E-04</b>	<b>4.147E-04</b>	<b>4.393E-04</b>	...	<b>4.994E-04</b>	<b>5.009E-04</b>	<b>5.020E-04</b>	<b>5.029E-04</b>	<b>1.134*SD</b>		

**Πίνακας Π.71 Λόγος έκθεσης στη φασματική περιοχή OTHERS: Σενάριο μέτρησης 1, Θέση μέτρησης 1**

Number of laboratories=		6										Z-Score	Z-Score
Iteration	0	$\chi_i - \chi^*$	1	2	3	4	...	10	11	12	13		αύξουσα σειρά
$\delta=1.5s^*$	-		<b>1.657E-06</b>	<b>1.883E-06</b>	<b>2.329E-06</b>	<b>2.638E-06</b>	...	<b>3.288E-06</b>	<b>3.320E-06</b>	<b>3.343E-06</b>	<b>3.360E-06</b>		
$\chi^* - \delta$	-		<b>1.893E-06</b>	<b>1.971E-06</b>	<b>1.702E-06</b>	<b>1.507E-06</b>	...	<b>1.060E-06</b>	<b>1.038E-06</b>	<b>1.022E-06</b>	<b>1.010E-06</b>		
$\chi^* + \delta$	-		<b>5.207E-06</b>	<b>5.737E-06</b>	<b>6.360E-06</b>	<b>6.783E-06</b>	...	<b>7.637E-06</b>	<b>7.677E-06</b>	<b>7.707E-06</b>	<b>7.729E-06</b>		
Lab 9	3.500E-06	5.000E-08	3.500E-06	3.500E-06	3.500E-06	3.500E-06	...	3.500E-06	3.500E-06	3.500E-06	3.500E-06	-0.388	Lab 17 -0.784
<b>Lab 13</b>	<b>3.616E-05</b>	3.261E-05	5.207E-06	5.737E-06	6.360E-06	6.783E-06	...	7.637E-06	7.677E-06	7.707E-06	7.729E-06	<b>14.138</b>	Lab 30 -0.611
Lab 16	5.800E-06	2.250E-06	5.207E-06	5.737E-06	5.800E-06	5.800E-06	...	5.800E-06	5.800E-06	5.800E-06	5.800E-06	0.635	Lab 9 -0.388
Lab 17	2.610E-06	9.400E-07	2.610E-06	2.610E-06	2.610E-06	2.610E-06	...	2.610E-06	2.610E-06	2.610E-06	2.610E-06	-0.784	Lab 24 -0.344
Lab 24	3.600E-06	5.000E-08	3.600E-06	3.600E-06	3.600E-06	3.600E-06	...	3.600E-06	3.600E-06	3.600E-06	3.600E-06	-0.344	Lab 16 0.635
Lab 30	3.000E-06	5.500E-07	3.000E-06	3.000E-06	3.000E-06	3.000E-06	...	3.000E-06	3.000E-06	3.000E-06	3.000E-06	-0.611	<b>Lab 13 14.138</b>
Average	<b>9.112E-06</b>		<b>3.854E-06</b>	<b>4.031E-06</b>	<b>4.145E-06</b>	<b>4.215E-06</b>	...	<b>4.358E-06</b>	<b>4.365E-06</b>	<b>4.370E-06</b>	<b>4.373E-06</b>		
SD	<b>1.330E-05</b>	<b>1.302E-05</b>	<b>1.107E-06</b>	<b>1.369E-06</b>	<b>1.551E-06</b>	<b>1.676E-06</b>	...	<b>1.952E-06</b>	<b>1.965E-06</b>	<b>1.975E-06</b>	<b>1.983E-06</b>		
New $\chi^*$	<b>3.550E-06</b>	<b>7.450E-07</b>	<b>3.854E-06</b>	<b>4.031E-06</b>	<b>4.145E-06</b>	<b>4.215E-06</b>	...	<b>4.358E-06</b>	<b>4.365E-06</b>	<b>4.370E-06</b>	<b>4.373E-06</b>		
New $s^*$	<b>1.105E-06</b>		<b>1.256E-06</b>	<b>1.553E-06</b>	<b>1.759E-06</b>	<b>1.901E-06</b>	...	<b>2.213E-06</b>	<b>2.228E-06</b>	<b>2.240E-06</b>	<b>2.248E-06</b>	1.134*SD	

**ΣΗΜΕΙΩΣΗ:** Για το εργαστήριο 13 έχει χρησιμοποιηθεί το άθροισμα των λόγων έκθεσης στις φασματικές περιοχές 300-380MHz, 430-460MHz και 960-1825MHz.

Για το εργαστήριο 29 έχει χρησιμοποιηθεί το άθροισμα των λόγων έκθεσης στις φασματικές περιοχές other services και Wi-Fi 2.4.

**Πίνακας Π.72 Λόγος έκθεσης στη φασματική περιοχή OTHERS: Σενάριο μέτρησης 1, Θέση μέτρησης 2**

Number of laboratories=		<b>6</b>											
Iteration	0	$\bar{x}_i - x^*$	1	2	3	4	...	11	12	13	14	Z-Score	Z-Score αύξουσα σειρά
$\bar{\delta} = 1.5s^*$	-		<b>2.058E-06</b>	<b>2.342E-06</b>	<b>2.675E-06</b>	<b>2.904E-06</b>	...	<b>3.430E-06</b>	<b>3.448E-06</b>	<b>3.462E-06</b>	<b>3.472E-06</b>		
$x^* - \bar{\delta}$	-		<b>1.592E-06</b>	<b>1.685E-06</b>	<b>1.478E-06</b>	<b>1.325E-06</b>	...	<b>9.598E-07</b>	<b>9.469E-07</b>	<b>9.373E-07</b>	<b>9.302E-07</b>		
$x^* + \bar{\delta}$	-		<b>5.708E-06</b>	<b>6.370E-06</b>	<b>6.829E-06</b>	<b>7.134E-06</b>	...	<b>7.819E-06</b>	<b>7.843E-06</b>	<b>7.860E-06</b>	<b>7.873E-06</b>		
Lab 9	3.600E-06	5.000E-08	3.600E-06	3.600E-06	3.600E-06	3.600E-06	...	3.600E-06	3.600E-06	3.600E-06	3.600E-06	-0.347	Lab 17 -0.842
<b>Lab 13</b>	<b>1.265E-05</b>	9.000E-06	5.708E-06	6.370E-06	6.829E-06	7.134E-06	...	7.819E-06	7.843E-06	7.860E-06	7.873E-06	<b>3.555</b>	Lab 30 -0.605
Lab 16	5.800E-06	2.150E-06	5.708E-06	5.800E-06	5.800E-06	5.800E-06	...	5.800E-06	5.800E-06	5.800E-06	5.800E-06	0.602	Lab 9 -0.347
Lab 17	2.450E-06	1.200E-06	2.450E-06	2.450E-06	2.450E-06	2.450E-06	...	2.450E-06	2.450E-06	2.450E-06	2.450E-06	-0.842	Lab 24 -0.303
Lab 24	3.700E-06	5.000E-08	3.700E-06	3.700E-06	3.700E-06	3.700E-06	...	3.700E-06	3.700E-06	3.700E-06	3.700E-06	-0.303	Lab 16 0.602
Lab 30	3.000E-06	6.500E-07	3.000E-06	3.000E-06	3.000E-06	3.000E-06	...	3.000E-06	3.000E-06	3.000E-06	3.000E-06	-0.605	<b>Lab 13 3.555</b>
Average	<b>5.200E-06</b>		<b>4.028E-06</b>	<b>4.153E-06</b>	<b>4.230E-06</b>	<b>4.281E-06</b>	...	<b>4.395E-06</b>	<b>4.399E-06</b>	<b>4.402E-06</b>	<b>4.404E-06</b>		
SD	<b>3.823E-06</b>	<b>3.432E-06</b>	<b>1.377E-06</b>	<b>1.573E-06</b>	<b>1.707E-06</b>	<b>1.802E-06</b>	...	<b>2.027E-06</b>	<b>2.035E-06</b>	<b>2.041E-06</b>	<b>2.045E-06</b>		
New $x^*$	<b>3.650E-06</b>	<b>9.250E-07</b>	<b>4.028E-06</b>	<b>4.153E-06</b>	<b>4.230E-06</b>	<b>4.281E-06</b>	...	<b>4.395E-06</b>	<b>4.399E-06</b>	<b>4.402E-06</b>	<b>4.404E-06</b>		
New $s^*$	<b>1.372E-06</b>		<b>1.561E-06</b>	<b>1.783E-06</b>	<b>1.936E-06</b>	<b>2.044E-06</b>	...	<b>2.299E-06</b>	<b>2.308E-06</b>	<b>2.314E-06</b>	<b>2.319E-06</b>	<b>1.134*SD</b>	

**ΣΗΜΕΙΩΣΗ:** Για το εργαστήριο 13 έχει χρησιμοποιηθεί το άθροισμα των λόγων έκθεσης στις φασματικές περιοχές 300-380MHz, 430-460MHz και 960-1825MHz.

**Πίνακας Π.73 Λόγος έκθεσης στη φασματική περιοχή OTHERS: Σενάριο μέτρησης 1, Θέση μέτρησης 3**

Number of laboratories=		<b>6</b>							
Iteration	0	$\bar{x}_i - x^*$	1	2	3	4	5	Z-Score	Z-Score αύξουσα σειρά
$\delta=1.5s^*$	-		<b>3.826E-06</b>	<b>4.511E-06</b>	<b>5.644E-06</b>	<b>6.983E-06</b>	<b>7.281E-06</b>		
$x^* - \delta$	-		<b>6.124E-06</b>	<b>4.737E-06</b>	<b>3.142E-06</b>	<b>1.270E-06</b>	<b>8.592E-07</b>		
$x^* + \delta$	-		<b>1.378E-05</b>	<b>1.376E-05</b>	<b>1.443E-05</b>	<b>1.524E-05</b>	<b>1.542E-05</b>		
Lab 9	1.110E-05	1.150E-06	1.110E-05	1.110E-05	1.110E-05	1.110E-05	1.110E-05	0.610	Lab 17 -1.162
Lab 13	1.204E-05	2.090E-06	1.204E-05	1.204E-05	1.204E-05	1.204E-05	1.204E-05	0.803	Lab 30 -1.038
Lab 16	1.130E-05	1.350E-06	1.130E-05	1.130E-05	1.130E-05	1.130E-05	1.130E-05	0.651	Lab 24 0.136
Lab 17	2.500E-06	7.450E-06	6.124E-06	4.737E-06	3.142E-06	2.500E-06	2.500E-06	-1.162	Lab 9 0.610
Lab 24	8.800E-06	1.150E-06	8.800E-06	8.800E-06	8.800E-06	8.800E-06	8.800E-06	0.136	Lab 16 0.651
Lab 30	3.100E-06	6.850E-06	6.124E-06	4.737E-06	3.142E-06	3.100E-06	3.100E-06	-1.038	Lab 13 0.803
Average	<b>8.140E-06</b>		<b>9.248E-06</b>	<b>8.786E-06</b>	<b>8.254E-06</b>	<b>8.140E-06</b>	<b>8.140E-06</b>		
SD	<b>4.280E-06</b>	<b>2.977E-06</b>	<b>2.652E-06</b>	<b>3.318E-06</b>	<b>4.106E-06</b>	<b>4.280E-06</b>	<b>4.280E-06</b>		
New $x^*$	<b>9.950E-06</b>	<b>1.720E-06</b>	<b>9.248E-06</b>	<b>8.786E-06</b>	<b>8.254E-06</b>	<b>8.140E-06</b>	<b>8.140E-06</b>		
New $s^*$	<b>2.551E-06</b>		<b>3.007E-06</b>	<b>3.763E-06</b>	<b>4.656E-06</b>	<b>4.854E-06</b>	<b>4.854E-06</b>	<b>1.134*SD</b>	

**ΣΗΜΕΙΩΣΗ:** Για το εργαστήριο 13 έχει χρησιμοποιηθεί το άθροισμα των λόγων έκθεσης στις φασματικές περιοχές 300-380MHz, 430-460MHz και 960-1825MHz.

**Πίνακας Π.74 Λόγος έκθεσης στη φασματική περιοχή OTHERS: Σενάριο μέτρησης 2, Θέση μέτρησης 1**

Number of laboratories=		6												
Iteration	0	xi-x*	1	2	3	4	...	14	15	16	17	Z-Score	Z-Score	
$\delta=1.5s^*$	-		<b>2.336E-06</b>	<b>2.892E-06</b>	<b>3.400E-06</b>	<b>3.904E-06</b>	...	<b>5.594E-06</b>	<b>5.614E-06</b>	<b>5.629E-06</b>	<b>5.640E-06</b>		<b>αύξουσα</b>	
$x^*-\delta$	-		<b>1.314E-06</b>	<b>1.091E-06</b>	<b>6.945E-07</b>	<b>2.278E-07</b>	...	<b>-1.162E-06</b>	<b>-1.176E-06</b>	<b>-1.187E-06</b>	<b>-1.195E-06</b>		<b>σειρά</b>	
$x^*+\delta$	-		<b>5.986E-06</b>	<b>6.875E-06</b>	<b>7.494E-06</b>	<b>8.035E-06</b>	...	<b>1.003E-05</b>	<b>1.005E-05</b>	<b>1.007E-05</b>	<b>1.008E-05</b>			
Lab 9	3.600E-06	5.000E-08	3.600E-06	3.600E-06	3.600E-06	3.600E-06	...	3.600E-06	3.600E-06	3.600E-06	3.600E-06	-0.225	Lab 26 -1.181	
<b>Lab 13</b>	<b>1.362E-05</b>	9.970E-06	5.986E-06	6.875E-06	7.494E-06	8.035E-06	...	1.003E-05	1.005E-05	1.007E-05	1.008E-05	<b>2.436</b>	Lab 9 -0.225	
Lab 16	5.700E-06	2.050E-06	5.700E-06	5.700E-06	5.700E-06	5.700E-06	...	5.700E-06	5.700E-06	5.700E-06	5.700E-06	0.333	Lab 24 -0.225	
Lab 24	3.600E-06	5.000E-08	3.600E-06	3.600E-06	3.600E-06	3.600E-06	...	3.600E-06	3.600E-06	3.600E-06	3.600E-06	-0.225	Lab 30 -0.199	
Lab 26	0.000E+00	3.650E-06	1.314E-06	1.091E-06	6.945E-07	2.278E-07	...	0.000E+00	0.000E+00	0.000E+00	0.000E+00	-1.181	Lab 16 0.333	
Lab 30	3.700E-06	5.000E-08	3.700E-06	3.700E-06	3.700E-06	3.700E-06	...	3.700E-06	3.700E-06	3.700E-06	3.700E-06	-0.199	<b>Lab 13 2.436</b>	
Average	<b>5.037E-06</b>		<b>3.983E-06</b>	<b>4.094E-06</b>	<b>4.131E-06</b>	<b>4.144E-06</b>	...	<b>4.438E-06</b>	<b>4.442E-06</b>	<b>4.445E-06</b>	<b>4.447E-06</b>			
SD	<b>4.591E-06</b>	<b>3.879E-06</b>	<b>1.700E-06</b>	<b>1.999E-06</b>	<b>2.295E-06</b>	<b>2.596E-06</b>	...	<b>3.300E-06</b>	<b>3.309E-06</b>	<b>3.316E-06</b>	<b>3.320E-06</b>			
New $x^*$	<b>3.650E-06</b>	<b>1.050E-06</b>	<b>3.983E-06</b>	<b>4.094E-06</b>	<b>4.131E-06</b>	<b>4.144E-06</b>	...	<b>4.438E-06</b>	<b>4.442E-06</b>	<b>4.445E-06</b>	<b>4.447E-06</b>			
New $s^*$	<b>1.557E-06</b>		<b>1.928E-06</b>	<b>2.267E-06</b>	<b>2.602E-06</b>	<b>2.944E-06</b>	...	<b>3.743E-06</b>	<b>3.753E-06</b>	<b>3.760E-06</b>	<b>3.765E-06</b>	<b>1.134*SD</b>		

**ΣΗΜΕΙΩΣΗ:** Για το εργαστήριο 13 έχει χρησιμοποιηθεί το άθροισμα των λόγων έκθεσης στις φασματικές περιοχές 300-380MHz, 430-460MHz και 960-1825MHz.

**Πίνακας Π.75 Λόγος έκθεσης στη φασματική περιοχή OTHERS: Σενάριο μέτρησης 2, Θέση μέτρησης 2**

Number of laboratories=		6											
Iteration	0	$\bar{x}_i - x^*$	1	2	3	4	...	13	14	15	16	Z-Score	Z-Score αύξουσα σειρά
$\bar{\delta} = 1.5s^*$	-		<b>3.003E-06</b>	<b>3.620E-06</b>	<b>4.208E-06</b>	<b>4.682E-06</b>	...	<b>5.660E-06</b>	<b>5.677E-06</b>	<b>5.690E-06</b>	<b>5.700E-06</b>		
$x^* - \bar{\delta}$	-		<b>5.969E-07</b>	<b>2.633E-07</b>	<b>-2.305E-07</b>	<b>-6.342E-07</b>	...	<b>-1.314E-06</b>	<b>-1.326E-06</b>	<b>-1.336E-06</b>	<b>-1.343E-06</b>		
$x^* + \bar{\delta}$	-		<b>6.603E-06</b>	<b>7.503E-06</b>	<b>8.186E-06</b>	<b>8.730E-06</b>	...	<b>1.001E-05</b>	<b>1.003E-05</b>	<b>1.004E-05</b>	<b>1.006E-05</b>		
Lab 9	3.600E-06	0.000E+00	3.600E-06	3.600E-06	3.600E-06	3.600E-06	...	3.600E-06	3.600E-06	3.600E-06	3.600E-06	-0.200	Lab 26 -1.146
<b>Lab 13</b>	<b>1.384E-05</b>	1.024E-05	6.603E-06	7.503E-06	8.186E-06	8.730E-06	...	1.001E-05	1.003E-05	1.004E-05	1.006E-05	<b>2.492</b>	Lab 30 -0.331
Lab 16	5.800E-06	2.200E-06	5.800E-06	5.800E-06	5.800E-06	5.800E-06	...	5.800E-06	5.800E-06	5.800E-06	5.800E-06	0.379	Lab 9 -0.200
Lab 24	3.600E-06	0.000E+00	3.600E-06	3.600E-06	3.600E-06	3.600E-06	...	3.600E-06	3.600E-06	3.600E-06	3.600E-06	-0.200	Lab 24 -0.200
Lab 26	0.000E+00	3.600E-06	5.969E-07	2.633E-07	0.000E+00	0.000E+00	...	0.000E+00	0.000E+00	0.000E+00	0.000E+00	-1.146	Lab 16 0.379
Lab 30	3.100E-06	5.000E-07	3.100E-06	3.100E-06	3.100E-06	3.100E-06	...	3.100E-06	3.100E-06	3.100E-06	3.100E-06	-0.331	<b>Lab 13 2.492</b>
Average	<b>4.990E-06</b>		<b>3.883E-06</b>	<b>3.978E-06</b>	<b>4.048E-06</b>	<b>4.138E-06</b>	...	<b>4.351E-06</b>	<b>4.355E-06</b>	<b>4.357E-06</b>	<b>4.360E-06</b>		
SD	<b>4.718E-06</b>	<b>3.932E-06</b>	<b>2.128E-06</b>	<b>2.474E-06</b>	<b>2.752E-06</b>	<b>2.920E-06</b>	...	<b>3.338E-06</b>	<b>3.345E-06</b>	<b>3.351E-06</b>	<b>3.355E-06</b>		
New $x^*$	<b>3.600E-06</b>	<b>1.350E-06</b>	<b>3.883E-06</b>	<b>3.978E-06</b>	<b>4.048E-06</b>	<b>4.138E-06</b>	...	<b>4.351E-06</b>	<b>4.355E-06</b>	<b>4.357E-06</b>	<b>4.360E-06</b>		
New $s^*$	<b>2.002E-06</b>		<b>2.413E-06</b>	<b>2.805E-06</b>	<b>3.121E-06</b>	<b>3.311E-06</b>	...	<b>3.785E-06</b>	<b>3.794E-06</b>	<b>3.800E-06</b>	<b>3.805E-06</b>	1.134*SD	

**ΣΗΜΕΙΩΣΗ:** Για το εργαστήριο 13 έχει χρησιμοποιηθεί το άθροισμα των λόγων έκθεσης στις φασματικές περιοχές 300-380MHz, 430-460MHz και 960-1825MHz.



**Πίνακας Π.76 Λόγος έκθεσης στη φασματική περιοχή OTHERS: Σενάριο μέτρησης 2, Θέση μέτρησης 3**

Number of laboratories=		6												
Iteration	0	xi-x*	1	2	3	4	...	14	15	16	17	Z-Score	Z-Score	
$\bar{\delta}=1.5s^*$	-		<b>3.003E-06</b>	<b>3.641E-06</b>	<b>4.243E-06</b>	<b>4.734E-06</b>	...	<b>5.762E-06</b>	<b>5.775E-06</b>	<b>5.785E-06</b>	<b>5.793E-06</b>			
$x^*-\bar{\delta}$	-		<b>5.969E-07</b>	<b>2.760E-07</b>	<b>-2.208E-07</b>	<b>-6.399E-07</b>	...	<b>-1.354E-06</b>	<b>-1.364E-06</b>	<b>-1.371E-06</b>	<b>-1.376E-06</b>			
$x^*+\bar{\delta}$	-		<b>6.603E-06</b>	<b>7.557E-06</b>	<b>8.265E-06</b>	<b>8.828E-06</b>	...	<b>1.017E-05</b>	<b>1.019E-05</b>	<b>1.020E-05</b>	<b>1.021E-05</b>			
Lab 9	3.500E-06	1.000E-07	3.500E-06	3.500E-06	3.500E-06	3.500E-06	...	3.500E-06	3.500E-06	3.500E-06	3.500E-06	-0.238	Lab 26 -1.143	
Lab 13	1.144E-05	7.840E-06	6.603E-06	7.557E-06	8.265E-06	8.828E-06	...	1.017E-05	1.019E-05	1.020E-05	1.021E-05	1.817	Lab 30 -0.315	
Lab 16	5.900E-06	2.300E-06	5.900E-06	5.900E-06	5.900E-06	5.900E-06	...	5.900E-06	5.900E-06	5.900E-06	5.900E-06	0.383	Lab 9 -0.238	
Lab 24	3.700E-06	1.000E-07	3.700E-06	3.700E-06	3.700E-06	3.700E-06	...	3.700E-06	3.700E-06	3.700E-06	3.700E-06	-0.186	Lab 24 -0.186	
Lab 26	0.000E+00	3.600E-06	5.969E-07	2.760E-07	0.000E+00	0.000E+00	...	0.000E+00	0.000E+00	0.000E+00	0.000E+00	-1.143	Lab 16 0.383	
Lab 30	3.200E-06	4.000E-07	3.200E-06	3.200E-06	3.200E-06	3.200E-06	...	3.200E-06	3.200E-06	3.200E-06	3.200E-06	-0.315	Lab 13 1.817	
Average	<b>4.623E-06</b>		<b>3.917E-06</b>	<b>4.022E-06</b>	<b>4.094E-06</b>	<b>4.188E-06</b>	...	<b>4.412E-06</b>	<b>4.414E-06</b>	<b>4.417E-06</b>	<b>4.418E-06</b>			
SD	<b>3.837E-06</b>	<b>3.021E-06</b>	<b>2.140E-06</b>	<b>2.494E-06</b>	<b>2.783E-06</b>	<b>2.956E-06</b>	...	<b>3.395E-06</b>	<b>3.401E-06</b>	<b>3.405E-06</b>	<b>3.409E-06</b>			
New $x^*$	<b>3.600E-06</b>	<b>1.350E-06</b>	<b>3.917E-06</b>	<b>4.022E-06</b>	<b>4.094E-06</b>	<b>4.188E-06</b>	...	<b>4.412E-06</b>	<b>4.414E-06</b>	<b>4.417E-06</b>	<b>4.418E-06</b>			
New $s^*$	<b>2.002E-06</b>		<b>2.427E-06</b>	<b>2.829E-06</b>	<b>3.156E-06</b>	<b>3.352E-06</b>	...	<b>3.850E-06</b>	<b>3.857E-06</b>	<b>3.862E-06</b>	<b>3.865E-06</b>	<b>1.134*SD</b>		

**ΣΗΜΕΙΩΣΗ:** Για το εργαστήριο 13 έχει χρησιμοποιηθεί το άθροισμα των λόγων έκθεσης στις φασματικές περιοχές 300-380MHz, 430-460MHz και 960-1825MHz.

Πίνακας Π.77 Λόγος έκθεσης στη φασματική περιοχή OTHERS: Σενάριο μέτρησης 3, Θέση μέτρησης 1

Number of laboratories=		4											
Iteration	0	xi-x*	1	2	3	4	...	7	8	9	10	Z-Score	Z-Score αύξουσα σειρά
$\delta=1.5s^*$	-		1.276E-04	1.532E-04	1.825E-04	2.128E-04	...	3.141E-04	3.528E-04	3.947E-04	4.401E-04		
$x^*-\delta$	-		3.685E-04	3.570E-04	3.376E-04	3.172E-04	...	2.473E-04	2.203E-04	1.911E-04	1.594E-04		
$x^*+\delta$	-		6.237E-04	6.634E-04	7.027E-04	7.427E-04	...	8.756E-04	9.260E-04	9.805E-04	1.039E-03		
Lab 9	4.250E-04	7.110E-05	4.250E-04	4.250E-04	4.250E-04	4.250E-04	...	4.250E-04	4.250E-04	4.250E-04	4.250E-04	-0.594	Lab 9 -0.594
Lab 13	4.525E-04	4.360E-05	4.525E-04	4.525E-04	4.525E-04	4.525E-04	...	4.525E-04	4.525E-04	4.525E-04	4.525E-04	-0.501	Lab 13 -0.501
Lab 24	5.397E-04	4.360E-05	5.397E-04	5.397E-04	5.397E-04	5.397E-04	...	5.397E-04	5.397E-04	5.397E-04	5.397E-04	-0.204	Lab 24 -0.204
Lab 31	9.811E-04	4.850E-04	6.237E-04	6.634E-04	7.027E-04	7.427E-04	...	8.756E-04	9.260E-04	9.805E-04	9.811E-04	1.299	Lab 31 1.299
Average	5.996E-04		5.102E-04	5.202E-04	5.300E-04	5.400E-04	...	5.732E-04	5.858E-04	5.994E-04	5.996E-04		
SD	2.590E-04	2.165E-04	9.007E-05	1.073E-04	1.251E-04	1.437E-04	...	2.074E-04	2.320E-04	2.587E-04	2.590E-04		
New $x^*$	4.961E-04	5.735E-05	5.102E-04	5.202E-04	5.300E-04	5.400E-04	...	5.732E-04	5.858E-04	5.994E-04	5.996E-04		
New $s^*$	8.505E-05		1.021E-04	1.217E-04	1.418E-04	1.630E-04	...	2.352E-04	2.631E-04	2.934E-04	2.937E-04	1.134*SD	

**ΣΗΜΕΙΩΣΗ:** Για το εργαστήριο 13 έχει χρησιμοποιηθεί το άθροισμα των λόγων έκθεσης στις φασματικές περιοχές 300-380MHz, 430-460MHz και 960-1825MHz.

Πίνακας Π.78 Λόγος έκθεσης στη φασματική περιοχή DCS-UMTS(1700-2200MHz): Σενάριο μέτρησης 1, Θέση μέτρησης 1

Number of laboratories=		4						
Iteration	0	$x_i - x^*$	1	2	3	Z-Score	Z-Score αύξουσα σειρά	
$\delta = 1.5s^*$	-		2.280E-06	2.768E-06	3.060E-06			
$x^* - \delta$	-		3.025E-06	2.848E-06	2.660E-06			
$x^* + \delta$	-		7.585E-06	8.384E-06	8.780E-06			
Lab 2	4.270E-06	1.035E-06	4.270E-06	4.270E-06	4.270E-06	-0.711	Lab 2	-0.711
Lab 20	6.320E-06	1.015E-06	6.320E-06	6.320E-06	6.320E-06	0.294	Lab 21	-0.701
Lab 21	4.290E-06	1.015E-06	4.290E-06	4.290E-06	4.290E-06	-0.701	Lab 20	0.294
Lab 22	8.000E-06	2.695E-06	7.585E-06	8.000E-06	8.000E-06	1.118	Lab 22	1.118
Average	<b>5.720E-06</b>		<b>5.616E-06</b>	<b>5.720E-06</b>	<b>5.720E-06</b>			
SD	<b>1.799E-06</b>	<b>8.367E-07</b>	<b>1.627E-06</b>	<b>1.799E-06</b>	<b>1.799E-06</b>			
New $x^*$	<b>5.305E-06</b>	<b>1.025E-06</b>	<b>5.616E-06</b>	<b>5.720E-06</b>	<b>5.720E-06</b>			
New $s^*$	<b>1.520E-06</b>		<b>1.845E-06</b>	<b>2.040E-06</b>	<b>2.040E-06</b>			1.134*SD

Πίνακας Π.79 Λόγος έκθεσης στη φασματική περιοχή DCS-UMTS(1700-2200MHz): Σενάριο μέτρησης 1, Θέση μέτρησης 2

Number of laboratories=		4						
Iteration	0	$x_i - x^*$	1	2	3	Z-Score	Z-Score αύξουσα σειρά	
$\delta = 1.5s^*$	-		2.169E-06	2.575E-06	2.575E-06			
$x^* - \delta$	-		3.296E-06	3.160E-06	3.160E-06			
$x^* + \delta$	-		7.634E-06	8.310E-06	8.310E-06			
Lab 2	4.530E-06	9.350E-07	4.530E-06	4.530E-06	4.530E-06	-0.702	Lab 21	-0.748
Lab 20	6.400E-06	9.350E-07	6.400E-06	6.400E-06	6.400E-06	0.387	Lab 2	-0.702
Lab 21	4.450E-06	1.015E-06	4.450E-06	4.450E-06	4.450E-06	-0.748	Lab 20	0.387
Lab 22	7.560E-06	2.095E-06	7.560E-06	7.560E-06	7.560E-06	1.063	Lab 22	1.063
Average	<b>5.735E-06</b>		<b>5.735E-06</b>	<b>5.735E-06</b>	<b>5.735E-06</b>			
SD	<b>1.514E-06</b>	<b>5.679E-07</b>	<b>1.514E-06</b>	<b>1.514E-06</b>	<b>1.514E-06</b>			
New $x^*$	<b>5.465E-06</b>	<b>9.750E-07</b>	<b>5.735E-06</b>	<b>5.735E-06</b>	<b>5.735E-06</b>			
New $s^*$	<b>1.446E-06</b>		<b>1.717E-06</b>	<b>1.717E-06</b>	<b>1.717E-06</b>			1.134*SD

Πίνακας Π.80 Λόγος έκθεσης στη φασματική περιοχή DCS-UMTS(1700-2200MHz): Σενάριο μέτρησης 1, Θέση μέτρησης 3

Number of laboratories=		4						
Iteration	0	xi-x*	1	2	3	Z-Score	Z-Score αύξουσα σειρά	
$\delta=1.5s^*$	-		2.336E-06	2.422E-06	2.422E-06			
$x^*-\delta$	-		3.474E-06	3.473E-06	3.473E-06			
$x^*+\delta$	-		8.146E-06	8.317E-06	8.317E-06			
Lab 2	5.150E-06	6.600E-07	5.150E-06	5.150E-06	5.150E-06	-0.461	Lab 21	-0.944
Lab 20	6.470E-06	6.600E-07	6.470E-06	6.470E-06	6.470E-06	0.356	Lab 2	-0.461
Lab 21	4.370E-06	1.440E-06	4.370E-06	4.370E-06	4.370E-06	-0.944	Lab 20	0.356
Lab 22	7.590E-06	1.780E-06	7.590E-06	7.590E-06	7.590E-06	1.050	Lab 22	1.050
Average	<b>5.895E-06</b>		<b>5.895E-06</b>	<b>5.895E-06</b>	<b>5.895E-06</b>			
SD	<b>1.424E-06</b>	<b>5.658E-07</b>	<b>1.424E-06</b>	<b>1.424E-06</b>	<b>1.424E-06</b>			
New x*	<b>5.810E-06</b>	<b>1.050E-06</b>	<b>5.895E-06</b>	<b>5.895E-06</b>	<b>5.895E-06</b>			
New s*	<b>1.557E-06</b>		<b>1.615E-06</b>	<b>1.615E-06</b>	<b>1.615E-06</b>	1.134*SD		

Πίνακας Π.81 Λόγος έκθεσης στη φασματική περιοχή DCS-UMTS(1700-2200MHz): Σενάριο μέτρησης 2, Θέση μέτρησης 1

Number of laboratories=		5												
Iteration	0	xi-x*	1	2	3	4	...	21	22	23	24	Z-Score	Z-Score αύξουσα σειρά	
$\delta=1.5s^*$	-		5.116E-04	5.708E-04	6.001E-04	6.260E-04	...	8.229E-04	8.275E-04	8.317E-04	8.356E-04			
$x^*-\delta$	-		7.484E-04	7.049E-04	6.669E-04	6.334E-04	...	3.805E-04	3.746E-04	3.692E-04	3.642E-04			
$x^*+\delta$	-		1.772E-03	1.846E-03	1.867E-03	1.885E-03	...	2.026E-03	2.030E-03	2.033E-03	2.035E-03			
Lab 2	3.680E-04	8.920E-04	7.484E-04	7.049E-04	6.669E-04	6.334E-04	...	3.805E-04	3.746E-04	3.692E-04	3.680E-04	-1.491	Lab 2	-1.491
Lab 20	1.630E-03	3.700E-04	1.630E-03	1.630E-03	1.630E-03	1.630E-03	...	1.630E-03	1.630E-03	1.630E-03	1.630E-03	0.772	Lab 28	0.090
Lab 21	1.260E-03	0.000E+00	1.260E-03	1.260E-03	1.260E-03	1.260E-03	...	1.260E-03	1.260E-03	1.260E-03	1.260E-03	0.108	Lab 21	0.108
Lab 22	1.490E-03	2.300E-04	1.490E-03	1.490E-03	1.490E-03	1.490E-03	...	1.490E-03	1.490E-03	1.490E-03	1.490E-03	0.521	Lab 22	0.521
Lab 28	1.250E-03	1.000E-05	1.250E-03	1.250E-03	1.250E-03	1.250E-03	...	1.250E-03	1.250E-03	1.250E-03	1.250E-03	0.090	Lab 20	0.772
Average	<b>1.200E-03</b>		<b>1.276E-03</b>	<b>1.267E-03</b>	<b>1.259E-03</b>	<b>1.253E-03</b>	...	<b>1.202E-03</b>	<b>1.201E-03</b>	<b>1.200E-03</b>	<b>1.200E-03</b>			
SD	<b>4.918E-04</b>	<b>3.655E-04</b>	<b>3.356E-04</b>	<b>3.528E-04</b>	<b>3.680E-04</b>	<b>3.815E-04</b>	...	<b>4.865E-04</b>	<b>4.890E-04</b>	<b>4.913E-04</b>	<b>4.918E-04</b>			
New x*	<b>1.260E-03</b>	<b>2.300E-04</b>	<b>1.276E-03</b>	<b>1.267E-03</b>	<b>1.259E-03</b>	<b>1.253E-03</b>	...	<b>1.202E-03</b>	<b>1.201E-03</b>	<b>1.200E-03</b>	<b>1.200E-03</b>			
New s*	<b>3.411E-04</b>		<b>3.805E-04</b>	<b>4.001E-04</b>	<b>4.173E-04</b>	<b>4.326E-04</b>	...	<b>5.517E-04</b>	<b>5.545E-04</b>	<b>5.571E-04</b>	<b>5.577E-04</b>	1.134*SD		

**Πίνακας Π.82 Λόγος έκθεσης στη φασματική περιοχή DCS-UMTS(1700-2200MHz): Σενάριο μέτρησης 2, Θέση μέτρησης 2**

Number of laboratories=			5				
Iteration	0	xi-x*	1	2	Z-Score	Z-Score αύξουσα σειρά	
$\delta=1.5s^*$	-		<b>5.050E-04</b>	<b>3.742E-04</b>			
$x^*-\delta$	-		<b>-5.096E-05</b>	<b>1.068E-04</b>			
$x^*+\delta$	-		<b>9.590E-04</b>	<b>8.552E-04</b>			
Lab 2	2.270E-04	2.270E-04	2.270E-04	2.270E-04	-1.018	Lab 2	-1.018
Lab 20	3.140E-04	1.400E-04	3.140E-04	3.140E-04	-0.669	Lab 20	-0.669
Lab 21	7.120E-04	2.580E-04	7.120E-04	7.120E-04	0.926	Lab 28	-0.108
Lab 22	4.540E-04	0.000E+00	4.540E-04	4.540E-04	-0.108	Lab 21	0.870
Lab 28	6.980E-04	2.440E-04	6.980E-04	6.980E-04	0.870	Lab 22	0.926
Average	<b>4.810E-04</b>		<b>4.810E-04</b>	<b>4.810E-04</b>			
SD	<b>2.200E-04</b>	<b>1.075E-04</b>	<b>2.200E-04</b>	<b>2.200E-04</b>			
New $x^*$	<b>4.540E-04</b>	<b>2.270E-04</b>	<b>4.810E-04</b>	<b>4.810E-04</b>			
New $s^*$	<b>3.366E-04</b>		<b>2.495E-04</b>	<b>2.495E-04</b>			1.134*SD

**Πίνακας Π.83 Λόγος έκθεσης στη φασματική περιοχή DCS-UMTS(1700-2200MHz): Σενάριο μέτρησης 2, Θέση μέτρησης 3**

Number of laboratories=			5				
Iteration	0	xi-x*	1	2	Z-Score	Z-Score αύξουσα σειρά	
$\delta=1.5s^*$	-		<b>6.384E-04</b>	<b>6.773E-04</b>			
$x^*-\delta$	-		<b>5.816E-04</b>	<b>6.281E-04</b>			
$x^*+\delta$	-		<b>1.858E-03</b>	<b>1.983E-03</b>			
Lab 2	9.440E-04	2.760E-04	9.440E-04	9.440E-04	-0.800	Lab 22	-0.825
Lab 20	1.820E-03	6.000E-04	1.820E-03	1.820E-03	1.140	Lab 2	-0.800
Lab 21	1.220E-03	0.000E+00	1.220E-03	1.220E-03	-0.189	Lab 21	-0.189
Lab 22	9.330E-04	2.870E-04	9.330E-04	9.330E-04	-0.825	Lab 28	0.675
Lab 28	1.610E-03	3.900E-04	1.610E-03	1.610E-03	0.675	Lab 20	1.140
Average	<b>1.305E-03</b>		<b>1.305E-03</b>	<b>1.305E-03</b>			
SD	<b>3.982E-04</b>	<b>2.170E-04</b>	<b>3.982E-04</b>	<b>3.982E-04</b>			
New $x^*$	<b>1.220E-03</b>	<b>2.870E-04</b>	<b>1.305E-03</b>	<b>1.305E-03</b>			
New $s^*$	<b>4.256E-04</b>		<b>4.515E-04</b>	<b>4.515E-04</b>			1.134*SD

Πίνακας Π.84 Λόγος έκθεσης στη φασματική περιοχή DCS-UMTS(1700-2200MHz): Σενάριο μέτρησης 3, Θέση μέτρησης 1

Number of laboratories=		4											
Iteration	0	xi-x*	1	2	3	4	...	7	8	9	10	Z-Score	Z-Score
$\delta=1.5s^*$	-		1.157E-04	1.390E-04	1.661E-04	1.940E-04	...	2.871E-04	3.227E-04	3.611E-04	3.687E-04		
$x^*-\delta$	-		9.483E-05	8.501E-05	6.719E-05	4.838E-05	...	-1.581E-05	-4.055E-05	-6.736E-05	-7.272E-05		
$x^*+\delta$	-		3.262E-04	3.631E-04	3.994E-04	4.363E-04	...	5.584E-04	6.048E-04	6.547E-04	6.647E-04		
Lab 2	6.140E-04	4.035E-04	3.262E-04	3.631E-04	3.994E-04	4.363E-04	...	5.584E-04	6.048E-04	6.140E-04	6.140E-04	1.294	Lab 20 -0.598
Lab 20	1.490E-04	6.150E-05	1.490E-04	1.490E-04	1.490E-04	1.490E-04	...	1.490E-04	1.490E-04	1.490E-04	1.490E-04	-0.598	Lab 22 -0.521
Lab 21	2.530E-04	4.250E-05	2.530E-04	2.530E-04	2.530E-04	2.530E-04	...	2.530E-04	2.530E-04	2.530E-04	2.530E-04	-0.175	Lab 21 -0.175
Lab 22	1.680E-04	4.250E-05	1.680E-04	1.680E-04	1.680E-04	1.680E-04	...	1.680E-04	1.680E-04	1.680E-04	1.680E-04	-0.521	Lab 2 1.294
Average	2.960E-04		2.240E-04	2.333E-04	2.423E-04	2.516E-04	...	2.821E-04	2.937E-04	2.960E-04	2.960E-04		
SD	2.168E-04	1.776E-04	8.173E-05	9.764E-05	1.140E-04	1.312E-04	...	1.897E-04	2.123E-04	2.168E-04	2.168E-04		
New $x^*$	2.105E-04	5.200E-05	2.240E-04	2.333E-04	2.423E-04	2.516E-04	...	2.821E-04	2.937E-04	2.960E-04	2.960E-04		
New $s^*$	7.712E-05		9.269E-05	1.107E-04	1.293E-04	1.488E-04	...	2.151E-04	2.407E-04	2.458E-04	2.458E-04	1.134*SD	

Πίνακας Π.85 Λόγος έκθεσης στη φασματική περιοχή DCS-UMTS(1700-2200MHz): Σενάριο μέτρησης 3, Θέση μέτρησης 2

Number of laboratories=		4											
Iteration	0	xi-x*	1	2	3	4	...	7	8	9	10	Z-Score	Z-Score
$\delta=1.5s^*$	-		1.068E-04	1.283E-04	1.533E-04	1.789E-04	...	2.648E-04	2.976E-04	3.330E-04	3.525E-04		
$x^*-\delta$	-		1.892E-04	1.801E-04	1.637E-04	1.464E-04	...	8.717E-05	6.436E-05	3.964E-05	2.600E-05		
$x^*+\delta$	-		4.028E-04	4.368E-04	4.702E-04	5.042E-04	...	6.168E-04	6.596E-04	7.056E-04	7.310E-04		
Lab 2	6.830E-04	3.870E-04	4.028E-04	4.368E-04	4.702E-04	5.042E-04	...	6.168E-04	6.596E-04	6.830E-04	6.830E-04	1.296	Lab 20 -0.594
Lab 20	2.390E-04	5.700E-05	2.390E-04	2.390E-04	2.390E-04	2.390E-04	...	2.390E-04	2.390E-04	2.390E-04	2.390E-04	-0.594	Lab 22 -0.517
Lab 21	3.350E-04	3.900E-05	3.350E-04	3.350E-04	3.350E-04	3.350E-04	...	3.350E-04	3.350E-04	3.350E-04	3.350E-04	-0.185	Lab 21 -0.185
Lab 22	2.570E-04	3.900E-05	2.570E-04	2.570E-04	2.570E-04	2.570E-04	...	2.570E-04	2.570E-04	2.570E-04	2.570E-04	-0.517	Lab 2 1.296
Average	3.785E-04		3.084E-04	3.169E-04	3.253E-04	3.338E-04	...	3.620E-04	3.726E-04	3.785E-04	3.785E-04		
SD	2.072E-04	1.712E-04	7.544E-05	9.010E-05	1.052E-04	1.210E-04	...	1.750E-04	1.958E-04	2.072E-04	2.072E-04		
New $x^*$	2.960E-04	4.800E-05	3.084E-04	3.169E-04	3.253E-04	3.338E-04	...	3.620E-04	3.726E-04	3.785E-04	3.785E-04		
New $s^*$	7.118E-05		8.555E-05	1.022E-04	1.193E-04	1.372E-04	...	1.984E-04	2.220E-04	2.350E-04	2.350E-04	1.134*SD	

Πίνακας Π.86 Μέση συνολική ένταση ηλεκτρικού πεδίου E(V/m): Σενάριο μέτρησης 1, Θέση μέτρησης 1

Number of laboratories=		10										
Iteration	0	xi-x*	1	2	3	4	5	6	7	Z-Score	Z-Score	Z-Score
$\bar{\delta}=1.5s^*$	-		<b>0.491</b>	<b>0.492</b>	<b>0.532</b>	<b>0.552</b>	<b>0.560</b>	<b>0.564</b>	<b>0.565</b>			
$x^*-\bar{\delta}$	-		<b>1.151</b>	<b>1.218</b>	<b>1.193</b>	<b>1.180</b>	<b>1.174</b>	<b>1.172</b>	<b>1.171</b>			
$x^*+\bar{\delta}$	-		<b>2.132</b>	<b>2.203</b>	<b>2.257</b>	<b>2.283</b>	<b>2.294</b>	<b>2.299</b>	<b>2.301</b>			
Lab 3	1.420	0.222	1.420	1.420	1.420	1.420	1.420	1.420	1.420	-0.838	Lab 3	-0.838
Lab 4	1.950	0.309	1.950	1.950	1.950	1.950	1.950	1.950	1.950	0.568	Lab 30	-0.917
Lab 5	1.445	0.197	1.445	1.445	1.445	1.445	1.445	1.445	1.445	-0.771	Lab 5	-0.771
Lab 7	1.861	0.220	1.861	1.861	1.861	1.861	1.861	1.861	1.861	0.332	Lab 10	-0.644
Lab 8	1.685	0.043	1.685	1.685	1.685	1.685	1.685	1.685	1.685	-0.135	Lab 18	-0.366
Lab 10	1.493	0.149	1.493	1.493	1.493	1.493	1.493	1.493	1.493	-0.644	Lab 8	-0.135
Lab 16	2.216	0.574	2.132	2.203	2.216	2.216	2.216	2.216	2.216	1.272	Lab 7	0.332
Lab 17	<b>5.220</b>	3.578	2.132	2.203	2.257	2.283	2.294	2.299	2.301	<b>9.240</b>	Lab 4	0.568
Lab 18	1.598	0.044	1.598	1.598	1.598	1.598	1.598	1.598	1.598	-0.366	Lab 16	1.272
Lab 30	1.390	0.251	1.390	1.390	1.390	1.390	1.390	1.390	1.390	-0.917	Lab 17	<b>9.240</b>
Average	<b>2.028</b>		<b>1.711</b>	<b>1.725</b>	<b>1.731</b>	<b>1.734</b>	<b>1.735</b>	<b>1.736</b>	<b>1.736</b>			
SD	<b>1.153</b>	<b>1.072</b>	<b>0.289</b>	<b>0.313</b>	<b>0.324</b>	<b>0.329</b>	<b>0.331</b>	<b>0.332</b>	<b>0.333</b>			
New x*	<b>1.642</b>	<b>0.221</b>	<b>1.711</b>	<b>1.725</b>	<b>1.731</b>	<b>1.734</b>	<b>1.735</b>	<b>1.736</b>	<b>1.736</b>			
New s*	<b>0.327</b>		<b>0.328</b>	<b>0.355</b>	<b>0.368</b>	<b>0.373</b>	<b>0.376</b>	<b>0.377</b>	<b>0.377</b>	<b>1.134*SD</b>		

**ΣΗΜΕΙΩΣΗ:** Στα αποτελέσματα του εργαστηρίου 18 αναγράφονται στη στήλη «μέγιστη τιμή στη θέση μέτρησης» δύο τιμές, μία max και μία avg. Στο σημείο αυτό ενδεχομένως να υπάρχει ασάφεια στον τρόπο παρουσίασης των αποτελεσμάτων που έχει επιλέξει το εργαστήριο. Η παραπάνω avg τιμή έχει χρησιμοποιηθεί ως η συνολική ένταση του ηλεκτρικού πεδίου.

Πίνακας Π.87 Μέση συνολική ένταση ηλεκτρικού πεδίου E(V/m): Σενάριο μέτρησης 1, Θέση μέτρησης 2

Iteration	0	xi-x*	1	2	3	4	...	19	20	21	22	Z-Score	Z-Score
Number of laboratories=			<b>10</b>										
$\bar{\delta}=1.5s^*$	-		<b>0.258</b>	<b>0.299</b>	<b>0.353</b>	<b>0.402</b>	...	<b>0.582</b>	<b>0.584</b>	<b>0.586</b>	<b>0.587</b>		
$x^*-\bar{\delta}$	-		<b>0.967</b>	<b>0.970</b>	<b>0.940</b>	<b>0.903</b>	...	<b>0.782</b>	<b>0.781</b>	<b>0.780</b>	<b>0.779</b>		
$x^*+\bar{\delta}$	-		<b>1.482</b>	<b>1.568</b>	<b>1.646</b>	<b>1.707</b>	...	<b>1.947</b>	<b>1.949</b>	<b>1.951</b>	<b>1.953</b>		
Lab 3	0.935	0.290	0.967	0.970	0.940	0.935	...	0.935	0.935	0.935	0.935	-1.099	Lab 3
Lab 4	2.120	0.896	1.482	1.568	1.646	1.707	...	1.947	1.949	1.951	1.953	1.921	Lab 5
Lab 5	1.117	0.108	1.117	1.117	1.117	1.117	...	1.117	1.117	1.117	1.117	-0.635	Lab 8
Lab 7	1.541	0.317	1.482	1.541	1.541	1.541	...	1.541	1.541	1.541	1.541	0.446	Lab 30
Lab 8	1.180	0.045	1.180	1.180	1.180	1.180	...	1.180	1.180	1.180	1.180	-0.475	Lab 18
Lab 10	1.253	0.029	1.253	1.253	1.253	1.253	...	1.253	1.253	1.253	1.253	-0.289	Lab 10
Lab 16	1.349	0.124	1.349	1.349	1.349	1.349	...	1.349	1.349	1.349	1.349	-0.044	Lab 16
Lab 17	<b>3.938</b>	2.713	1.482	1.568	1.646	1.707	...	1.947	1.949	1.951	1.953	<b>6.553</b>	Lab 7
Lab 18	1.196	0.029	1.196	1.196	1.196	1.196	...	1.196	1.196	1.196	1.196	-0.434	Lab 4
Lab 30	1.185	0.039	1.185	1.185	1.185	1.185	...	1.185	1.185	1.185	1.185	-0.462	Lab 17
Average	<b>1.581</b>		<b>1.269</b>	<b>1.293</b>	<b>1.305</b>	<b>1.317</b>	...	<b>1.365</b>	<b>1.365</b>	<b>1.366</b>	<b>1.366</b>		
SD	<b>0.889</b>	<b>0.835</b>	<b>0.176</b>	<b>0.207</b>	<b>0.236</b>	<b>0.257</b>	...	<b>0.343</b>	<b>0.344</b>	<b>0.345</b>	<b>0.346</b>		
New $x^*$	<b>1.225</b>	<b>0.116</b>	<b>1.269</b>	<b>1.293</b>	<b>1.305</b>	<b>1.317</b>	...	<b>1.365</b>	<b>1.365</b>	<b>1.366</b>	<b>1.366</b>		
New $s^*$	<b>0.172</b>		<b>0.199</b>	<b>0.235</b>	<b>0.268</b>	<b>0.292</b>	...	<b>0.390</b>	<b>0.391</b>	<b>0.392</b>	<b>0.392</b>	<b>1.134*SD</b>	

ΣΗΜΕΙΩΣΗ: Για το εργαστήριο 18 χρησιμοποιήθηκε η τιμή avg της στήλης «μέγιστη τιμή στη θέση μέτρησης».



Πίνακας Π.88 Μέση μυνολική ένταση ηλεκτρικού πεδίου E(V/m): Σενάριο μέτρησης 1, Θέση μέτρησης 3

Number of laboratories=		9											Z-Score	Z-Score αύξουσα σειρά		
Iteration	0	xi-x*	1	2	3	4	5	6	7	8	9	10				11
$\bar{\delta}=1.5s^*$	-		<b>0.473</b>	<b>0.527</b>	<b>0.642</b>	<b>0.776</b>	<b>0.885</b>	<b>0.937</b>	<b>0.961</b>	<b>0.972</b>	<b>0.977</b>	<b>0.980</b>	<b>0.981</b>			
$x^*-\bar{\delta}$	-		<b>1.584</b>	<b>1.621</b>	<b>1.553</b>	<b>1.474</b>	<b>1.408</b>	<b>1.374</b>	<b>1.358</b>	<b>1.350</b>	<b>1.346</b>	<b>1.344</b>	<b>1.344</b>			
$x^*+\bar{\delta}$	-		<b>2.530</b>	<b>2.675</b>	<b>2.838</b>	<b>3.026</b>	<b>3.177</b>	<b>3.247</b>	<b>3.279</b>	<b>3.294</b>	<b>3.301</b>	<b>3.304</b>	<b>3.306</b>			
Lab 3	2.210	0.153	2.210	2.210	2.210	2.210	2.210	2.210	2.210	2.210	2.210	2.210	2.210	-0.176	Lab 5	-0.736
Lab 4	2.840	0.783	2.530	2.675	2.838	2.840	2.840	2.840	2.840	2.840	2.840	2.840	2.840	0.787	Lab 7	-0.734
Lab 5	1.843	0.214	1.843	1.843	1.843	1.843	1.843	1.843	1.843	1.843	1.843	1.843	1.843	-0.736	Lab 8	-0.694
Lab 7	1.844	0.213	1.844	1.844	1.844	1.844	1.844	1.844	1.844	1.844	1.844	1.844	1.844	-0.734	Lab 30	-0.630
Lab 8	1.871	0.186	1.871	1.871	1.871	1.871	1.871	1.871	1.871	1.871	1.871	1.871	1.871	-0.694	Lab 10	-0.409
Lab 10	2.057	0.000	2.057	2.057	2.057	2.057	2.057	2.057	2.057	2.057	2.057	2.057	2.057	-0.409	Lab 3	-0.176
Lab 16	3.041	0.984	2.530	2.675	2.838	3.026	3.041	3.041	3.041	3.041	3.041	3.041	3.041	1.094	Lab 4	0.787
Lab 17	<b>3.938</b>	1.881	2.530	2.675	2.838	3.026	3.177	3.247	3.279	3.294	3.301	3.304	3.306	<b>2.464</b>	Lab 16	1.094
Lab 30	1.912	0.145	1.912	1.912	1.912	1.912	1.912	1.912	1.912	1.912	1.912	1.912	1.912	-0.630	Lab 17	<b>2.464</b>
Average	<b>2.395</b>		<b>2.148</b>	<b>2.196</b>	<b>2.250</b>	<b>2.292</b>	<b>2.311</b>	<b>2.318</b>	<b>2.322</b>	<b>2.324</b>	<b>2.324</b>	<b>2.325</b>	<b>2.325</b>			
SD	<b>0.730</b>	<b>0.610</b>	<b>0.310</b>	<b>0.378</b>	<b>0.456</b>	<b>0.520</b>	<b>0.551</b>	<b>0.565</b>	<b>0.571</b>	<b>0.575</b>	<b>0.576</b>	<b>0.577</b>	<b>0.577</b>			
New $x^*$	<b>2.057</b>	<b>0.213</b>	<b>2.148</b>	<b>2.196</b>	<b>2.250</b>	<b>2.292</b>	<b>2.311</b>	<b>2.318</b>	<b>2.322</b>	<b>2.324</b>	<b>2.324</b>	<b>2.325</b>	<b>2.325</b>			
New $s^*$	<b>0.316</b>		<b>0.351</b>	<b>0.428</b>	<b>0.517</b>	<b>0.590</b>	<b>0.624</b>	<b>0.641</b>	<b>0.648</b>	<b>0.652</b>	<b>0.653</b>	<b>0.654</b>	<b>0.654</b>	1.134*SD		

Πίνακας Π.89 Μέση συνολική ένταση ηλεκτρικού πεδίου E(V/m): Σενάριο μέτρησης 2, Θέση μέτρησης 1

Number of laboratories=		9							Z-Score	Z-Score	
Iteration	0	$x_i - x^*$	1	2	3	4	5	6		αύξουσα	σειρά
$\bar{\delta} = 1.5s^*$	-		<b>0.360</b>	<b>0.377</b>	<b>0.390</b>	<b>0.396</b>	<b>0.399</b>	<b>0.400</b>			
$x^* - \bar{\delta}$	-		<b>1.253</b>	<b>1.213</b>	<b>1.196</b>	<b>1.188</b>	<b>1.184</b>	<b>1.182</b>			
$x^* + \bar{\delta}$	-		<b>1.973</b>	<b>1.967</b>	<b>1.976</b>	<b>1.980</b>	<b>1.982</b>	<b>1.983</b>			
Lab 4	1.900	0.287	1.900	1.900	1.900	1.900	1.900	1.900	1.189	Lab 18	-5.473
Lab 5	1.451	0.162	1.451	1.451	1.451	1.451	1.451	1.451	-0.491	Lab 30	-0.970
Lab 7	1.641	0.028	1.641	1.641	1.641	1.641	1.641	1.641	0.219	Lab 5	-0.491
Lab 8	1.675	0.062	1.675	1.675	1.675	1.675	1.675	1.675	0.347	Lab 28	-0.009
Lab 10	1.613	0.000	1.613	1.613	1.613	1.613	1.613	1.613	0.115	Lab 10	0.115
Lab 16	1.875	0.262	1.875	1.875	1.875	1.875	1.875	1.875	1.097	Lab 7	0.219
Lab 18	<b>0.120</b>	1.493	1.253	1.213	1.196	1.188	1.184	1.182	<b>-5.473</b>	Lab 8	0.347
Lab 28	1.580	0.033	1.580	1.580	1.580	1.580	1.580	1.580	-0.009	Lab 16	1.097
Lab 30	1.323	0.290	1.323	1.323	1.323	1.323	1.323	1.323	-0.970	Lab 4	1.189
Average	<b>1.464</b>		<b>1.590</b>	<b>1.586</b>	<b>1.584</b>	<b>1.583</b>	<b>1.582</b>	<b>1.582</b>			
SD	<b>0.536</b>	<b>0.466</b>	<b>0.221</b>	<b>0.229</b>	<b>0.233</b>	<b>0.234</b>	<b>0.235</b>	<b>0.236</b>			
New $x^*$	<b>1.613</b>	<b>0.162</b>	<b>1.590</b>	<b>1.586</b>	<b>1.584</b>	<b>1.583</b>	<b>1.582</b>	<b>1.582</b>			
New $s^*$	<b>0.240</b>		<b>0.251</b>	<b>0.260</b>	<b>0.264</b>	<b>0.266</b>	<b>0.267</b>	<b>0.267</b>			1.134*SD

ΣΗΜΕΙΩΣΗ: Για το εργαστήριο 18 χρησιμοποιήθηκε η τιμή avg της στήλης «μέγιστη τιμή στη θέση μέτρησης».

Πίνακας Π.90 Μέση συνολική ένταση ηλεκτρικού πεδίου E(V/m): Σενάριο μέτρησης 2, Θέση μέτρησης 2

Number of laboratories=		9													
Iteration	0	$\bar{x}_i - x^*$	1	2	3	4	5	6	7	8	9	10	Z-Score	Z-Score αύξουσα σειρά	
$\bar{\delta} = 1.5s^*$	-		<b>0.420</b>	<b>0.446</b>	<b>0.486</b>	<b>0.532</b>	<b>0.563</b>	<b>0.584</b>	<b>0.594</b>	<b>0.598</b>	<b>0.600</b>	<b>0.601</b>			
$x^* - \bar{\delta}$	-		<b>0.594</b>	<b>0.649</b>	<b>0.638</b>	<b>0.606</b>	<b>0.578</b>	<b>0.557</b>	<b>0.546</b>	<b>0.541</b>	<b>0.538</b>	<b>0.537</b>			
$x^* + \bar{\delta}$	-		<b>1.434</b>	<b>1.540</b>	<b>1.611</b>	<b>1.670</b>	<b>1.704</b>	<b>1.726</b>	<b>1.735</b>	<b>1.737</b>	<b>1.739</b>	<b>1.739</b>			
Lab 4	1.210	0.196	1.210	1.210	1.210	1.210	1.210	1.210	1.210	1.210	1.210	1.210	0.179	Lab 18	-2.625
Lab 5	1.712	0.698	1.434	1.540	1.611	1.670	1.704	1.712	1.712	1.712	1.712	1.712	1.431	Lab 8	-0.434
Lab 7	1.203	0.189	1.203	1.203	1.203	1.203	1.203	1.203	1.203	1.203	1.203	1.203	0.162	Lab 30	-0.347
Lab 8	0.964	0.050	0.964	0.964	0.964	0.964	0.964	0.964	0.964	0.964	0.964	0.964	-0.434	Lab 28	-0.344
Lab 10	1.014	0.000	1.014	1.014	1.014	1.014	1.014	1.014	1.014	1.014	1.014	1.014	-0.309	Lab 10	-0.309
Lab 16	1.603	0.589	1.434	1.540	1.603	1.603	1.603	1.603	1.603	1.603	1.603	1.603	1.160	Lab 7	0.162
Lab 18	<b>0.085</b>	0.929	0.594	0.649	0.638	0.606	0.578	0.557	0.546	0.541	0.538	0.537	<b>-2.625</b>	Lab 4	0.179
Lab 28	1.000	0.014	1.000	1.000	1.000	1.000	1.000	1.000	1.000	1.000	1.000	1.000	-0.344	Lab 16	1.160
Lab 30	0.999	0.015	0.999	0.999	0.999	0.999	0.999	0.999	0.999	0.999	0.999	0.999	-0.347	Lab 5	1.431
Average	<b>1.088</b>		<b>1.095</b>	<b>1.124</b>	<b>1.138</b>	<b>1.141</b>	<b>1.142</b>	<b>1.140</b>	<b>1.139</b>	<b>1.138</b>	<b>1.138</b>	<b>1.138</b>			
SD	<b>0.464</b>	<b>0.349</b>	<b>0.262</b>	<b>0.286</b>	<b>0.313</b>	<b>0.331</b>	<b>0.344</b>	<b>0.349</b>	<b>0.352</b>	<b>0.353</b>	<b>0.353</b>	<b>0.354</b>			
New $x^*$	<b>1.014</b>	<b>0.189</b>	<b>1.095</b>	<b>1.124</b>	<b>1.138</b>	<b>1.141</b>	<b>1.142</b>	<b>1.140</b>	<b>1.139</b>	<b>1.138</b>	<b>1.138</b>	<b>1.138</b>			
New $s^*$	<b>0.280</b>		<b>0.297</b>	<b>0.324</b>	<b>0.355</b>	<b>0.375</b>	<b>0.390</b>	<b>0.396</b>	<b>0.399</b>	<b>0.400</b>	<b>0.401</b>	<b>0.401</b>	<b>1.134*SD</b>		

ΣΗΜΕΙΩΣΗ: Για το εργαστήριο 18 χρησιμοποιήθηκε η τιμή avg της στήλης «μέγιστη τιμή στη θέση μέτρησης».

Πίνακας Π.91 Μέση συνολική ένταση ηλεκτρικού πεδίου E(V/m): Σενάριο μέτρησης 2, Θέση μέτρησης 3

Number of laboratories=		9													
Iteration	0	$x_i - x^*$	1	2	3	4	5	...	12	13	14	15	Z-Score	Z-Score	
$\bar{\delta} = 1.5s^*$	-		<b>0.322</b>	<b>0.389</b>	<b>0.463</b>	<b>0.523</b>	<b>0.568</b>	...	<b>0.700</b>	<b>0.703</b>	<b>0.704</b>	<b>0.705</b>			
$x^* - \bar{\delta}$	-		<b>1.452</b>	<b>1.410</b>	<b>1.353</b>	<b>1.300</b>	<b>1.257</b>	...	<b>1.127</b>	<b>1.125</b>	<b>1.124</b>	<b>1.123</b>			
$x^* + \bar{\delta}$	-		<b>2.097</b>	<b>2.187</b>	<b>2.279</b>	<b>2.346</b>	<b>2.393</b>	...	<b>2.526</b>	<b>2.530</b>	<b>2.532</b>	<b>2.533</b>			
Lab 4	2.210	0.436	2.097	2.187	2.210	2.210	2.210	...	2.210	2.210	2.210	2.210	0.812	Lab 5	-1.464
Lab 5	1.140	0.635	1.452	1.410	1.353	1.300	1.257	...	1.140	1.140	1.140	1.140	-1.464	Lab 7	-0.421
Lab 7	1.630	0.144	1.630	1.630	1.630	1.630	1.630	...	1.630	1.630	1.630	1.630	-0.421	Lab 10	-0.392
Lab 8	1.769	0.006	1.769	1.769	1.769	1.769	1.769	...	1.769	1.769	1.769	1.769	-0.126	Lab 8	-0.126
Lab 10	1.644	0.131	1.644	1.644	1.644	1.644	1.644	...	1.644	1.644	1.644	1.644	-0.392	Lab 28	-0.103
Lab 16	<b>2.907</b>	1.132	2.097	2.187	2.279	2.346	2.393	...	2.526	2.530	2.532	2.533	<b>2.293</b>	Lab 30	0.195
Lab 28	1.780	0.006	1.780	1.780	1.780	1.780	1.780	...	1.780	1.780	1.780	1.780	-0.103	Lab 4	0.812
Lab 30	1.920	0.146	1.920	1.920	1.920	1.920	1.920	...	1.920	1.920	1.920	1.920	0.195	Lab 16	<b>2.293</b>
Average	<b>1.875</b>		<b>1.799</b>	<b>1.816</b>	<b>1.823</b>	<b>1.825</b>	<b>1.825</b>	...	<b>1.827</b>	<b>1.828</b>	<b>1.828</b>	<b>1.828</b>			
SD	<b>0.514</b>	<b>0.390</b>	<b>0.229</b>	<b>0.272</b>	<b>0.308</b>	<b>0.334</b>	<b>0.354</b>	...	<b>0.413</b>	<b>0.414</b>	<b>0.414</b>	<b>0.415</b>			
New $x^*$	<b>1.775</b>	<b>0.145</b>	<b>1.799</b>	<b>1.816</b>	<b>1.823</b>	<b>1.825</b>	<b>1.825</b>	...	<b>1.827</b>	<b>1.828</b>	<b>1.828</b>	<b>1.828</b>			
New $s^*$	<b>0.215</b>		<b>0.259</b>	<b>0.309</b>	<b>0.349</b>	<b>0.379</b>	<b>0.402</b>	...	<b>0.468</b>	<b>0.469</b>	<b>0.470</b>	<b>0.470</b>	<b>1.134*SD</b>		

**Πίνακας Π.92 Μέση συνολική ένταση ηλεκτρικού πεδίου E(V/m): Σενάριο μέτρησης 3, Θέση μέτρησης 1**

Number of laboratories=		<b>7</b>							
Iteration	0	xi-x*	1	2	3	4	Z-Score	Z-Score αύξουσα σειρά	
$\bar{\delta}=1.5s^*$	-		<b>3.315</b>	<b>3.717</b>	<b>4.047</b>	<b>4.151</b>			
$x^*-\bar{\delta}$	-		<b>12.775</b>	<b>12.787</b>	<b>12.574</b>	<b>12.504</b>			
$x^*+\bar{\delta}$	-		<b>19.405</b>	<b>20.221</b>	<b>20.667</b>	<b>20.806</b>			
Lab 2	20.460	4.370	19.405	20.221	20.460	20.460	1.375	Lab 25	-1.038
Lab 4	19.130	3.040	19.130	19.130	19.130	19.130	0.894	Lab 28	-0.743
Lab 7	15.255	0.835	15.255	15.255	15.255	15.255	-0.506	Lab 7	-0.506
Lab 8	16.090	0.000	16.090	16.090	16.090	16.090	-0.204	Lab 8	-0.204
Lab 25	13.783	2.307	13.783	13.783	13.783	13.783	-1.038	Lab 31	0.221
Lab 28	14.600	1.490	14.600	14.600	14.600	14.600	-0.743	Lab 4	0.894
Lab 31	17.266	1.176	17.266	17.266	17.266	17.266	0.221	Lab 2	1.375
Average	<b>16.655</b>		<b>16.504</b>	<b>16.621</b>	<b>16.655</b>	<b>16.655</b>			
SD	<b>2.440</b>	<b>1.472</b>	<b>2.185</b>	<b>2.379</b>	<b>2.440</b>	<b>2.440</b>			
New $x^*$	<b>16.090</b>	<b>1.490</b>	<b>16.504</b>	<b>16.621</b>	<b>16.655</b>	<b>16.655</b>			
New $s^*$	<b>2.210</b>		<b>2.478</b>	<b>2.698</b>	<b>2.767</b>	<b>2.767</b>	<b>1.134*SD</b>		

**Πίνακας Π.93 Μέση συνολική ένταση ηλεκτρικού πεδίου E(V/m): Σενάριο μέτρησης 3, Θέση μέτρησης 2**

Number of laboratories=		<b>7</b>						
Iteration	0	xi-x*	1	2	3	Z-Score	Z-Score αύξουσα σειρά	
$\delta=1.5s^*$	-		<b>3.114</b>	<b>3.610</b>	<b>3.992</b>			
$x^*-\delta$	-		<b>13.916</b>	<b>13.967</b>	<b>13.728</b>			
$x^*+\delta$	-		<b>20.144</b>	<b>21.187</b>	<b>21.713</b>			
Lab 2	21.150	4.120	20.144	21.150	21.150	1.289	Lab 25	-1.227
Lab 4	16.960	0.070	16.960	16.960	16.960	-0.286	Lab 28	-0.684
Lab 7	17.030	0.000	17.030	17.030	17.030	-0.259	Lab 4	-0.286
Lab 8	18.430	1.400	18.430	18.430	18.430	0.267	Lab 7	-0.259
Lab 25	14.455	2.575	14.455	14.455	14.455	-1.227	Lab 8	0.267
Lab 28	15.900	1.130	15.900	15.900	15.900	-0.684	Lab 31	0.901
Lab 31	20.119	3.089	20.119	20.119	20.119	0.901	Lab 2	1.289
Average	<b>17.721</b>		<b>17.577</b>	<b>17.721</b>	<b>17.721</b>			
SD	<b>2.347</b>	<b>1.553</b>	<b>2.122</b>	<b>2.347</b>	<b>2.347</b>			
New x*	<b>17.030</b>	<b>1.400</b>	<b>17.577</b>	<b>17.721</b>	<b>17.721</b>			
New s*	<b>2.076</b>		<b>2.406</b>	<b>2.661</b>	<b>2.661</b>	<b>1.134*SD</b>		

**Πίνακας Π.94 Μέση συνολική ένταση ηλεκτρικού πεδίου E(V/m): Σενάριο μέτρησης 1, Θέση μέτρησης 1, Ύψος μέτρησης 1.1m**

Number of laboratories=			6				
Iteration	0	xi-x*	1	2	Z-Score	Z-Score αύξουσα σειρά	
$\bar{\delta}=1.5s^*$	-		<b>0.562</b>	<b>0.518</b>			
$x^*-\bar{\delta}$	-		<b>0.967</b>	<b>0.974</b>			
$x^*+\bar{\delta}$	-		<b>2.091</b>	<b>2.010</b>			
Lab 1	1.598	0.069	1.598	1.598	0.307	Lab 15	-1.168
Lab 4	1.890	0.361	1.890	1.890	1.153	Lab 14	-0.832
Lab 11	1.460	0.069	1.460	1.460	-0.093	Lab 11	-0.093
Lab 13	1.710	0.181	1.710	1.710	0.632	Lab 1	0.307
Lab 14	1.205	0.324	1.205	1.205	-0.832	Lab 13	0.632
Lab 15	1.089	0.440	1.089	1.089	-1.168	Lab 4	1.153
Average	<b>1.492</b>		<b>1.492</b>	<b>1.492</b>			
SD	<b>0.304</b>	<b>0.157</b>	<b>0.304</b>	<b>0.304</b>			
New x*	<b>1.529</b>	<b>0.253</b>	<b>1.492</b>	<b>1.492</b>			
New s*	<b>0.374</b>		<b>0.345</b>	<b>0.345</b>	<b>1.134*SD</b>		

**Πίνακας Π.95 Μέση συνολική ένταση ηλεκτρικού πεδίου E(V/m): Σενάριο μέτρησης 1, Θέση μέτρησης 1, Ύψος μέτρησης 1.5m**

Number of laboratories=		<b>15</b>								Z-Score	Z-Score αύξουσα σειρά	
Iteration	0	xi-x*	1	2	3	4	5	6	7			
$\bar{\delta}=1.5s^*$	-		<b>0.756</b>	<b>0.707</b>	<b>0.685</b>	<b>0.675</b>	<b>0.671</b>	<b>0.670</b>	<b>0.669</b>			
$x^*-\bar{\delta}$	-		<b>1.259</b>	<b>1.274</b>	<b>1.291</b>	<b>1.300</b>	<b>1.303</b>	<b>1.305</b>	<b>1.306</b>			
$x^*+\bar{\delta}$	-		<b>2.771</b>	<b>2.687</b>	<b>2.660</b>	<b>2.650</b>	<b>2.646</b>	<b>2.645</b>	<b>2.644</b>			
Lab 2	1.186	0.829	1.259	1.274	1.291	1.300	1.303	1.305	1.306	-1.769	Lab 2	-1.769
Lab 3	1.510	0.505	1.510	1.510	1.510	1.510	1.510	1.510	1.510	-1.043	Lab 3	-1.043
Lab 4	2.210	0.195	2.210	2.210	2.210	2.210	2.210	2.210	2.210	0.527	Lab 18	-0.845
Lab 7	1.977	0.038	1.977	1.977	1.977	1.977	1.977	1.977	1.977	0.004	Lab 11	-0.729
Lab 8	2.015	0.000	2.015	2.015	2.015	2.015	2.015	2.015	2.015	0.090	Lab 10	-0.673
Lab 10	1.675	0.340	1.675	1.675	1.675	1.675	1.675	1.675	1.675	-0.673	Lab 22	-0.527
Lab 11	1.650	0.365	1.650	1.650	1.650	1.650	1.650	1.650	1.650	-0.729	Lab 7	0.004
Lab 13	2.067	0.052	2.067	2.067	2.067	2.067	2.067	2.067	2.067	0.207	Lab 8	0.090
Lab 14	2.590	0.575	2.590	2.590	2.590	2.590	2.590	2.590	2.590	1.379	Lab 13	0.207
Lab 15	2.386	0.371	2.386	2.386	2.386	2.386	2.386	2.386	2.386	0.922	Lab 21	0.299
<b>Lab 17</b>	<b>5.220</b>	3.205	2.771	2.687	2.660	2.650	2.646	2.645	2.644	<b>7.277</b>	Lab 20	0.388
Lab 18	1.598	0.417	1.598	1.598	1.598	1.598	1.598	1.598	1.598	-0.845	Lab 4	0.527
Lab 20	2.148	0.133	2.148	2.148	2.148	2.148	2.148	2.148	2.148	0.388	Lab 15	0.922
Lab 21	2.108	0.093	2.108	2.108	2.108	2.108	2.108	2.108	2.108	0.299	Lab 14	1.379
Lab 22	1.740	0.275	1.740	1.740	1.740	1.740	1.740	1.740	1.740	-0.527	<b>Lab 17</b>	<b>7.277</b>
Average	<b>2.139</b>		<b>1.980</b>	<b>1.976</b>	<b>1.975</b>	<b>1.975</b>	<b>1.975</b>	<b>1.975</b>	<b>1.975</b>			
SD	<b>0.927</b>	<b>0.784</b>	<b>0.415</b>	<b>0.402</b>	<b>0.397</b>	<b>0.395</b>	<b>0.394</b>	<b>0.393</b>	<b>0.393</b>			
New x*	<b>2.015</b>	<b>0.340</b>	<b>1.980</b>	<b>1.976</b>	<b>1.975</b>	<b>1.975</b>	<b>1.975</b>	<b>1.975</b>	<b>1.975</b>			
New s*	<b>0.504</b>		<b>0.471</b>	<b>0.456</b>	<b>0.450</b>	<b>0.448</b>	<b>0.447</b>	<b>0.446</b>	<b>0.446</b>	<b>1.134*SD</b>		

**ΣΗΜΕΙΩΣΗ:** Για το εργαστήριο 18 χρησιμοποιήθηκε η τιμή avg της στήλης «μέγιστη τιμή στη θέση μέτρησης».



**Πίνακας Π.96 Μέση συνολική ένταση ηλεκτρικού πεδίου E(V/m): Σενάριο μέτρησης 1, Θέση μέτρησης 1, Ύψος μέτρησης 1.7m**

Number of laboratories=		<b>13</b>					
Iteration	0	$\chi_i - x^*$	1	2	Z-Score	Z-Score	
$\delta = 1.5s^*$	-		<b>0.462</b>	<b>0.406</b>			
$x^* - \delta$	-		<b>1.068</b>	<b>1.149</b>			
$x^* + \delta$	-		<b>1.992</b>	<b>1.961</b>			
Lab 1	1.503	0.027	1.503	1.503	-0.193	Lab 11	-1.275
Lab 2	1.249	0.281	1.249	1.249	-1.131	Lab 2	-1.131
Lab 3	1.320	0.210	1.320	1.320	-0.869	Lab 10	-0.994
Lab 4	1.720	0.190	1.720	1.720	0.609	Lab 3	-0.869
Lab 7	1.738	0.208	1.738	1.738	0.675	Lab 1	-0.193
Lab 10	1.286	0.244	1.286	1.286	-0.994	Lab 13	-0.193
Lab 11	1.210	0.320	1.210	1.210	-1.275	Lab 22	-0.093
Lab 13	1.503	0.027	1.503	1.503	-0.193	Lab 21	0.376
Lab 14	1.889	0.359	1.889	1.889	1.233	Lab 15	0.483
Lab 15	1.686	0.156	1.686	1.686	0.483	Lab 4	0.609
Lab 20	1.926	0.396	1.926	1.926	1.370	Lab 7	0.675
Lab 21	1.657	0.127	1.657	1.657	0.376	Lab 14	1.233
Lab 22	1.530	0.000	1.530	1.530	-0.093	Lab 20	1.370
Average	<b>1.555</b>		<b>1.555</b>	<b>1.555</b>			
SD	<b>0.239</b>	<b>0.127</b>	<b>0.239</b>	<b>0.239</b>			
New $x^*$	<b>1.530</b>	<b>0.208</b>	<b>1.555</b>	<b>1.555</b>			
New $s^*$	<b>0.308</b>		<b>0.271</b>	<b>0.271</b>	<b>1.134*SD</b>		

Πίνακας Π.97 Μέση συνολική ένταση ηλεκτρικού πεδίου E(V/m): Σενάριο μέτρησης 1, Θέση μέτρησης 2, Ύψος μέτρησης 1.1m

Number of laboratories=			6				
Iteration	0	xi-x*	1	2	Z-Score	Z-Score αύξουσα σειρά	
$\delta=1.5s^*$	-		<b>0.375</b>	<b>0.357</b>			
$x^*-\delta$	-		<b>0.790</b>	<b>0.842</b>			
$x^*+\delta$	-		<b>1.540</b>	<b>1.557</b>			
Lab 1	1.127	0.038	1.127	1.127	-0.305	Lab 11	-1.271
Lab 4	1.44	0.275	1.440	1.440	1.010	Lab 15	-0.435
Lab 11	0.897	0.268	0.897	0.897	-1.271	Lab 1	-0.305
Lab 13	1.434	0.269	1.434	1.434	0.985	Lab 14	0.015
Lab 14	1.203	0.038	1.203	1.203	0.015	Lab 13	0.985
Lab 15	1.096	0.069	1.096	1.096	-0.435	Lab 4	1.010
Average	<b>1.200</b>		<b>1.200</b>	<b>1.200</b>			
SD	<b>0.210</b>	<b>0.122</b>	<b>0.210</b>	<b>0.210</b>			
New $x^*$	<b>1.165</b>	<b>0.169</b>	<b>1.200</b>	<b>1.200</b>			
New $s^*$	<b>0.250</b>		<b>0.238</b>	<b>0.238</b>			1.134*SD

**Πίνακας Π.98 Μέση συνολική ένταση ηλεκτρικού πεδίου E(V/m): Σενάριο μέτρησης 1, Θέση μέτρησης 2, Ύψος μέτρησης 1.5m**

Number of laboratories=		<b>15</b>										
Iteration	0	$\bar{x}_i - \bar{x}^*$	1	2	3	4	5	6	7	Z-Score	Z-Score αύξουσα σειρά	
$\delta=1.5s^*$	-		<b>0.523</b>	<b>0.594</b>	<b>0.635</b>	<b>0.650</b>	<b>0.653</b>	<b>0.654</b>	<b>0.654</b>			
$\bar{x}^* - \delta$	-		<b>0.727</b>	<b>0.734</b>	<b>0.709</b>	<b>0.698</b>	<b>0.696</b>	<b>0.695</b>	<b>0.695</b>			
$\bar{x}^* + \delta$	-		<b>1.774</b>	<b>1.921</b>	<b>1.980</b>	<b>1.997</b>	<b>2.002</b>	<b>2.003</b>	<b>2.004</b>			
Lab 2	0.736	0.515	0.736	0.736	0.736	0.736	0.736	0.736	0.736	-1.406	Lab 3	-1.445
Lab 3	0.719	0.532	0.727	0.734	0.719	0.719	0.719	0.719	0.719	-1.445	Lab 2	-1.406
Lab 4	1.580	0.329	1.580	1.580	1.580	1.580	1.580	1.580	1.580	0.529	Lab 8	-0.668
Lab 7	1.251	0.000	1.251	1.251	1.251	1.251	1.251	1.251	1.251	-0.226	Lab 10	-0.631
Lab 8	1.058	0.193	1.058	1.058	1.058	1.058	1.058	1.058	1.058	-0.668	Lab 18	-0.351
Lab 10	1.074	0.177	1.074	1.074	1.074	1.074	1.074	1.074	1.074	-0.631	Lab 21	-0.345
Lab 11	1.486	0.235	1.486	1.486	1.486	1.486	1.486	1.486	1.486	0.313	Lab 22	-0.342
Lab 13	1.420	0.169	1.420	1.420	1.420	1.420	1.420	1.420	1.420	0.162	Lab 7	-0.226
Lab 14	1.880	0.629	1.774	1.880	1.880	1.880	1.880	1.880	1.880	1.216	Lab 13	0.162
Lab 15	1.711	0.460	1.711	1.711	1.711	1.711	1.711	1.711	1.711	0.829	Lab 11	0.313
<b>Lab 17</b>	<b>3.938</b>	2.687	1.774	1.921	1.980	1.997	2.002	2.003	2.004	<b>5.932</b>	Lab 4	0.529
Lab 18	1.196	0.055	1.196	1.196	1.196	1.196	1.196	1.196	1.196	-0.351	Lab 15	0.829
Lab 20	1.727	0.476	1.727	1.727	1.727	1.727	1.727	1.727	1.727	0.865	Lab 20	0.865
Lab 21	1.199	0.052	1.199	1.199	1.199	1.199	1.199	1.199	1.199	-0.345	Lab 14	1.216
Lab 22	1.200	0.051	1.200	1.200	1.200	1.200	1.200	1.200	1.200	-0.342	<b>Lab 17</b>	<b>5.932</b>
Average	<b>1.478</b>		<b>1.328</b>	<b>1.345</b>	<b>1.348</b>	<b>1.349</b>	<b>1.349</b>	<b>1.349</b>	<b>1.349</b>			
SD	<b>0.760</b>	<b>0.655</b>	<b>0.349</b>	<b>0.374</b>	<b>0.382</b>	<b>0.384</b>	<b>0.385</b>	<b>0.385</b>	<b>0.385</b>			
New $\bar{x}^*$	<b>1.251</b>	<b>0.235</b>	<b>1.328</b>	<b>1.345</b>	<b>1.348</b>	<b>1.349</b>	<b>1.349</b>	<b>1.349</b>	<b>1.349</b>			
New $s^*$	<b>0.349</b>		<b>0.396</b>	<b>0.424</b>	<b>0.433</b>	<b>0.435</b>	<b>0.436</b>	<b>0.436</b>	<b>0.436</b>	<b>1.134*SD</b>		

**ΣΗΜΕΙΩΣΗ:** Για το εργαστήριο 18 χρησιμοποιήθηκε η τιμή avg της στήλης «μέγιστη τιμή στη θέση μέτρησης».

**Πίνακας Π.99 Μέση συνολική ένταση ηλεκτρικού πεδίου E(V/m): Σενάριο μέτρησης 1, Θέση μέτρησης 2, Ύψος μέτρησης 1.7m**

Number of laboratories=		<b>12</b>							Z-Score	Z-Score αύξουσα σειρά	
Iteration	0	xi-x*	1	2	3	4	5	6			
$\bar{\delta}=1.5s^*$	-		<b>0.670</b>	<b>0.659</b>	<b>0.653</b>	<b>0.650</b>	<b>0.649</b>	<b>0.648</b>			
$x^*-\bar{\delta}$	-		<b>0.765</b>	<b>0.736</b>	<b>0.736</b>	<b>0.738</b>	<b>0.739</b>	<b>0.740</b>			
$x^*+\bar{\delta}$	-		<b>2.105</b>	<b>2.054</b>	<b>2.042</b>	<b>2.039</b>	<b>2.037</b>	<b>2.036</b>			
Lab 1	1.522	0.087	1.522	1.522	1.522	1.522	1.522	1.522	0.310	Lab 13	-2.819
Lab 2	0.833	0.602	0.833	0.833	0.833	0.833	0.833	0.833	-1.284	Lab 2	-1.284
Lab 3	1.110	0.325	1.110	1.110	1.110	1.110	1.110	1.110	-0.643	Lab 3	-0.643
<b>Lab 4</b>	<b>2.990</b>	1.555	2.105	2.054	2.042	2.039	2.037	2.036	<b>3.708</b>	Lab 22	-0.620
Lab 7	1.785	0.350	1.785	1.785	1.785	1.785	1.785	1.785	0.919	Lab 21	-0.588
Lab 10	1.410	0.025	1.410	1.410	1.410	1.410	1.410	1.410	0.051	Lab 10	0.051
Lab 11	1.627	0.192	1.627	1.627	1.627	1.627	1.627	1.627	0.553	Lab 20	0.109
<b>Lab 13</b>	<b>0.170</b>	1.265	0.765	0.736	0.736	0.738	0.739	0.740	<b>-2.819</b>	Lab 1	0.310
Lab 14	1.721	0.286	1.721	1.721	1.721	1.721	1.721	1.721	0.771	Lab 15	0.421
Lab 15	1.570	0.135	1.570	1.570	1.570	1.570	1.570	1.570	0.421	Lab 11	0.553
Lab 20	1.435	0.000	1.435	1.435	1.435	1.435	1.435	1.435	0.109	Lab 14	0.771
Lab 21	1.134	0.301	1.134	1.134	1.134	1.134	1.134	1.134	-0.588	Lab 7	0.919
Lab 22	1.120	0.315	1.120	1.120	1.120	1.120	1.120	1.120	-0.620	<b>Lab 4</b>	<b>3.708</b>
Average	<b>1.417</b>		<b>1.395</b>	<b>1.389</b>	<b>1.388</b>	<b>1.388</b>	<b>1.388</b>	<b>1.388</b>			
SD	<b>0.642</b>	<b>0.472</b>	<b>0.387</b>	<b>0.384</b>	<b>0.382</b>	<b>0.382</b>	<b>0.381</b>	<b>0.381</b>			
New x*	<b>1.435</b>	<b>0.301</b>	<b>1.395</b>	<b>1.389</b>	<b>1.388</b>	<b>1.388</b>	<b>1.388</b>	<b>1.388</b>			
New s*	<b>0.446</b>		<b>0.439</b>	<b>0.436</b>	<b>0.434</b>	<b>0.433</b>	<b>0.432</b>	<b>0.432</b>	1.134*SD		

Πίνακας Π.100 Μέση συνολική ένταση ηλεκτρικού πεδίου E(V/m): Σενάριο μέτρησης 1, Θέση μέτρησης 3, Ύψος μέτρησης 1.1m

Number of laboratories=		<b>6</b>						
Iteration	0	xi-x*	1	2	3	4	Z-Score	Z-Score αύξουσα σειρά
$\bar{\delta}=1.5s^*$	-		<b>0.304</b>	<b>0.362</b>	<b>0.390</b>	<b>0.404</b>		
$x^*-\bar{\delta}$	-		<b>1.004</b>	<b>0.956</b>	<b>0.921</b>	<b>0.903</b>		
$x^*+\bar{\delta}$	-		<b>1.611</b>	<b>1.680</b>	<b>1.702</b>	<b>1.711</b>		
Lab 1	1.347	0.0395	1.347	1.347	1.347	1.347	0.148	Lab 4 -1.399
Lab 4	0.930	0.378	1.004	0.956	0.930	0.930	-1.399	Lab 13 -0.390
Lab 11	1.268	0.040	1.268	1.268	1.268	1.268	-0.145	Lab 11 -0.145
Lab 13	1.202	0.106	1.202	1.202	1.202	1.202	-0.390	Lab 1 0.148
Lab 14	1.620	0.313	1.611	1.620	1.620	1.620	1.161	Lab 15 0.623
Lab 15	1.475	0.168	1.475	1.475	1.475	1.475	0.623	Lab 14 1.161
Average	<b>1.307</b>		<b>1.318</b>	<b>1.311</b>	<b>1.307</b>	<b>1.307</b>		
SD	<b>0.238</b>	<b>0.142</b>	<b>0.213</b>	<b>0.229</b>	<b>0.238</b>	<b>0.238</b>		
New x*	<b>1.308</b>	<b>0.137</b>	<b>1.318</b>	<b>1.311</b>	<b>1.307</b>	<b>1.307</b>		
New s*	<b>0.202</b>		<b>0.241</b>	<b>0.260</b>	<b>0.270</b>	<b>0.270</b>	<b>1.134*SD</b>	

Πίνακας Π.101 Μέση συνολική ένταση ηλεκτρικού πεδίου E(V/m): Σενάριο μέτρησης 1, Θέση μέτρησης 3, Ύψος μέτρησης 1.5m

Number of laboratories=		14													
Iteration	0	xi-x*	1	2	3	4	5	6	7	8	9	10	Z-Score	Z-Score αύξουσα σειρά	
$\bar{\delta}=1.5s^*$	-		<b>0.623</b>	<b>0.664</b>	<b>0.699</b>	<b>0.724</b>	<b>0.741</b>	<b>0.752</b>	<b>0.757</b>	<b>0.760</b>	<b>0.762</b>	<b>0.764</b>			
$x^*-\bar{\delta}$	-		<b>1.374</b>	<b>1.387</b>	<b>1.367</b>	<b>1.347</b>	<b>1.333</b>	<b>1.325</b>	<b>1.321</b>	<b>1.319</b>	<b>1.317</b>	<b>1.316</b>			
$x^*+\bar{\delta}$	-		<b>2.619</b>	<b>2.714</b>	<b>2.764</b>	<b>2.794</b>	<b>2.815</b>	<b>2.828</b>	<b>2.835</b>	<b>2.840</b>	<b>2.842</b>	<b>2.844</b>			
Lab 2	1.340	0.657	1.374	1.387	1.367	1.347	1.340	1.340	1.340	1.340	1.340	1.340	-1.453	Lab 2	-1.453
Lab 3	2.340	0.344	2.340	2.340	2.340	2.340	2.340	2.340	2.340	2.340	2.340	2.340	0.510	Lab 15	-1.000
Lab 4	3.450	1.454	2.619	2.714	2.764	2.794	2.815	2.828	2.835	2.840	2.842	2.844	2.689	Lab 11	-0.672
Lab 7	1.874	0.122	1.874	1.874	1.874	1.874	1.874	1.874	1.874	1.874	1.874	1.874	-0.404	Lab 14	-0.619
Lab 8	1.884	0.113	1.884	1.884	1.884	1.884	1.884	1.884	1.884	1.884	1.884	1.884	-0.385	Lab 7	-0.404
Lab 10	1.950	0.047	1.950	1.950	1.950	1.950	1.950	1.950	1.950	1.950	1.950	1.950	-0.256	Lab 8	-0.385
Lab 11	1.738	0.259	1.738	1.738	1.738	1.738	1.738	1.738	1.738	1.738	1.738	1.738	-0.672	Lab 10	-0.256
Lab 13	2.298	0.302	2.298	2.298	2.298	2.298	2.298	2.298	2.298	2.298	2.298	2.298	0.427	Lab 21	-0.073
Lab 14	1.765	0.232	1.765	1.765	1.765	1.765	1.765	1.765	1.765	1.765	1.765	1.765	-0.619	Lab 20	0.005
Lab 15	1.571	0.426	1.571	1.571	1.571	1.571	1.571	1.571	1.571	1.571	1.571	1.571	-1.000	Lab 13	0.427
Lab 17	5.988	3.991	2.619	2.714	2.764	2.794	2.815	2.828	2.835	2.840	2.842	2.844	7.670	Lab 3	0.510
Lab 20	2.083	0.087	2.083	2.083	2.083	2.083	2.083	2.083	2.083	2.083	2.083	2.083	0.005	Lab 22	0.922
Lab 21	2.043	0.047	2.043	2.043	2.043	2.043	2.043	2.043	2.043	2.043	2.043	2.043	-0.073	Lab 4	2.689
Lab 22	2.550	0.554	2.550	2.550	2.550	2.550	2.550	2.550	2.550	2.550	2.550	2.550	0.922	Lab 17	7.670
Average	<b>2.348</b>		<b>2.051</b>	<b>2.065</b>	<b>2.071</b>	<b>2.074</b>	<b>2.076</b>	<b>2.078</b>	<b>2.079</b>	<b>2.080</b>	<b>2.080</b>	<b>2.080</b>			
SD	<b>1.164</b>	<b>1.038</b>	<b>0.390</b>	<b>0.411</b>	<b>0.425</b>	<b>0.436</b>	<b>0.442</b>	<b>0.445</b>	<b>0.447</b>	<b>0.448</b>	<b>0.449</b>	<b>0.449</b>			
New x*	<b>1.997</b>	<b>0.280</b>	<b>2.051</b>	<b>2.065</b>	<b>2.071</b>	<b>2.074</b>	<b>2.076</b>	<b>2.078</b>	<b>2.079</b>	<b>2.080</b>	<b>2.080</b>	<b>2.080</b>			
New s*	<b>0.415</b>		<b>0.442</b>	<b>0.466</b>	<b>0.482</b>	<b>0.494</b>	<b>0.501</b>	<b>0.505</b>	<b>0.507</b>	<b>0.508</b>	<b>0.509</b>	<b>0.509</b>	1.134*SD		

Πίνακας Π.102 Μέση συνολική ένταση ηλεκτρικού πεδίου E(V/m): Σενάριο μέτρησης 1, Θέση μέτρησης 3, Ύψος μέτρησης 1.7m

Number of laboratories=		14											Z-Score	Z-Score	
Iteration	0	xi-x*	1	2	3	4	5	6	7	8	9	10		αύξουσα σειρά	
$\delta=1.5s^*$	-		<b>0.412</b>	<b>0.467</b>	<b>0.493</b>	<b>0.509</b>	<b>0.520</b>	<b>0.527</b>	<b>0.531</b>	<b>0.533</b>	<b>0.534</b>	<b>0.534</b>			
$x^*-\delta$	-		<b>1.789</b>	<b>1.700</b>	<b>1.671</b>	<b>1.656</b>	<b>1.646</b>	<b>1.640</b>	<b>1.637</b>	<b>1.635</b>	<b>1.634</b>	<b>1.634</b>			
$x^*+\delta$	-		<b>2.613</b>	<b>2.634</b>	<b>2.657</b>	<b>2.674</b>	<b>2.686</b>	<b>2.695</b>	<b>2.699</b>	<b>2.701</b>	<b>2.702</b>	<b>2.702</b>			
Lab 1	2.281	0.080	2.281	2.281	2.281	2.281	2.281	2.281	2.281	2.281	2.281	2.281	0.318	Lab 2	-3.280
Lab 2	1.000	1.202	1.789	1.700	1.671	1.656	1.646	1.640	1.637	1.635	1.634	1.634	-3.280	Lab 7	-0.994
Lab 3	2.070	0.131	2.070	2.070	2.070	2.070	2.070	2.070	2.070	2.070	2.070	2.070	-0.275	Lab 22	-0.921
Lab 4	3.370	1.169	2.613	2.634	2.657	2.674	2.686	2.695	2.699	2.701	2.702	2.702	3.375	Lab 21	-0.791
Lab 7	1.814	0.387	1.814	1.814	1.814	1.814	1.814	1.814	1.814	1.814	1.814	1.814	-0.994	Lab 3	-0.275
Lab 10	2.159	0.042	2.159	2.159	2.159	2.159	2.159	2.159	2.159	2.159	2.159	2.159	-0.025	Lab 29	-0.261
Lab 11	2.250	0.049	2.250	2.250	2.250	2.250	2.250	2.250	2.250	2.250	2.250	2.250	0.231	Lab 10	-0.025
Lab 13	2.243	0.042	2.243	2.243	2.243	2.243	2.243	2.243	2.243	2.243	2.243	2.243	0.211	Lab 13	0.211
Lab 14	2.440	0.239	2.440	2.440	2.440	2.440	2.440	2.440	2.440	2.440	2.440	2.440	0.764	Lab 11	0.231
Lab 15	2.267	0.066	2.267	2.267	2.267	2.267	2.267	2.267	2.267	2.267	2.267	2.267	0.278	Lab 15	0.278
Lab 20	2.690	0.489	2.613	2.634	2.657	2.674	2.686	2.690	2.690	2.690	2.690	2.690	1.466	Lab 1	0.318
Lab 21	1.886	0.315	1.886	1.886	1.886	1.886	1.886	1.886	1.886	1.886	1.886	1.886	-0.791	Lab 14	0.764
Lab 22	1.840	0.361	1.840	1.840	1.840	1.840	1.840	1.840	1.840	1.840	1.840	1.840	-0.921	Lab 20	1.466
Lab 29	2.075	0.126	2.075	2.075	2.075	2.075	2.075	2.075	2.075	2.075	2.075	2.075	-0.261	Lab 4	3.375
Average	2.170		<b>2.167</b>	<b>2.164</b>	<b>2.165</b>	<b>2.166</b>	<b>2.167</b>	<b>2.168</b>	<b>2.168</b>	<b>2.168</b>	<b>2.168</b>	<b>2.168</b>			
SD	0.521	0.388	<b>0.274</b>	<b>0.290</b>	<b>0.299</b>	<b>0.306</b>	<b>0.310</b>	<b>0.312</b>	<b>0.313</b>	<b>0.314</b>	<b>0.314</b>	<b>0.314</b>			
New x*	2.201	0.185	<b>2.167</b>	<b>2.164</b>	<b>2.165</b>	<b>2.166</b>	<b>2.167</b>	<b>2.168</b>	<b>2.168</b>	<b>2.168</b>	<b>2.168</b>	<b>2.168</b>			
New s*	0.274		<b>0.311</b>	<b>0.329</b>	<b>0.339</b>	<b>0.347</b>	<b>0.352</b>	<b>0.354</b>	<b>0.355</b>	<b>0.356</b>	<b>0.356</b>	<b>0.356</b>	1.134*SD		

Πίνακας Π.103 Μέση συνολική ένταση ηλεκτρικού πεδίου E(V/m): Σενάριο μέτρησης 2, Θέση μέτρησης 1, Ύψος μέτρησης 1.1m

Number of laboratories=		8											Z-Score	Z-Score		
Iteration	0	xi-x*	1	2	3	4	5	6	7	8	9	10		11	αύξουσα	σειρά
$\bar{\delta}=1.5s^*$	-		<b>0.430</b>	<b>0.504</b>	<b>0.575</b>	<b>0.633</b>	<b>0.663</b>	<b>0.678</b>	<b>0.687</b>	<b>0.691</b>	<b>0.693</b>	<b>0.695</b>	<b>0.695</b>			
$x^*-\bar{\delta}$	-		<b>1.224</b>	<b>1.181</b>	<b>1.137</b>	<b>1.099</b>	<b>1.079</b>	<b>1.068</b>	<b>1.063</b>	<b>1.060</b>	<b>1.058</b>	<b>1.057</b>	<b>1.057</b>			
$x^*+\bar{\delta}$	-		<b>2.085</b>	<b>2.189</b>	<b>2.286</b>	<b>2.365</b>	<b>2.405</b>	<b>2.425</b>	<b>2.436</b>	<b>2.442</b>	<b>2.445</b>	<b>2.447</b>	<b>2.448</b>			
Lab 4	2.26	0.606	2.085	2.189	2.260	2.260	2.260	2.260	2.260	2.260	2.260	2.260	2.260	1.095	Lab 15	-1.074
Lab 10	1.762	0.108	1.762	1.762	1.762	1.762	1.762	1.762	1.762	1.762	1.762	1.762	1.762	0.021	Lab 14	-0.813
Lab 11	1.61	0.045	1.610	1.610	1.610	1.610	1.610	1.610	1.610	1.610	1.610	1.610	1.610	-0.307	Lab 11	-0.307
Lab 13	2.55	0.896	2.085	2.189	2.286	2.365	2.405	2.425	2.436	2.442	2.445	2.447	2.448	1.720	Lab 26	-0.227
Lab 14	1.375	0.280	1.375	1.375	1.375	1.375	1.375	1.375	1.375	1.375	1.375	1.375	1.375	-0.813	Lab 27	-0.194
Lab 15	1.254	0.401	1.254	1.254	1.254	1.254	1.254	1.254	1.254	1.254	1.254	1.254	1.254	-1.074	Lab 10	0.021
Lab 26	1.647	0.008	1.647	1.647	1.647	1.647	1.647	1.647	1.647	1.647	1.647	1.647	1.647	-0.227	Lab 4	1.095
Lab 27	1.662	0.007	1.662	1.662	1.662	1.662	1.662	1.662	1.662	1.662	1.662	1.662	1.662	-0.194	Lab 13	1.720
Average	<b>1.765</b>		<b>1.685</b>	<b>1.711</b>	<b>1.732</b>	<b>1.742</b>	<b>1.747</b>	<b>1.749</b>	<b>1.751</b>	<b>1.751</b>	<b>1.752</b>	<b>1.752</b>	<b>1.752</b>			
SD	<b>0.435</b>	<b>0.323</b>	<b>0.296</b>	<b>0.338</b>	<b>0.372</b>	<b>0.390</b>	<b>0.399</b>	<b>0.404</b>	<b>0.406</b>	<b>0.408</b>	<b>0.408</b>	<b>0.409</b>	<b>0.409</b>			
New x*	<b>1.655</b>	<b>0.194</b>	<b>1.685</b>	<b>1.711</b>	<b>1.732</b>	<b>1.742</b>	<b>1.747</b>	<b>1.749</b>	<b>1.751</b>	<b>1.751</b>	<b>1.752</b>	<b>1.752</b>	<b>1.752</b>			
New s*	<b>0.287</b>		<b>0.336</b>	<b>0.383</b>	<b>0.422</b>	<b>0.442</b>	<b>0.452</b>	<b>0.458</b>	<b>0.461</b>	<b>0.462</b>	<b>0.463</b>	<b>0.464</b>	<b>0.464</b>	1.134*SD		



Πίνακας Π.104 Μέση συνολική ένταση ηλεκτρικού πεδίου E(V/m): Σενάριο μέτρησης 2, Θέση μέτρησης 1, Ύψος μέτρησης 1.5m

Number of laboratories=		16								Z-Score	Z-Score	
Iteration	0	xi-x*	1	2	3	4	5	6	7		αύξουσα σειρά	
$\bar{\delta}=1.5s^*$	-		<b>0.367</b>	<b>0.397</b>	<b>0.424</b>	<b>0.439</b>	<b>0.447</b>	<b>0.450</b>	<b>0.452</b>			
$x^*-\bar{\delta}$	-		<b>1.124</b>	<b>1.045</b>	<b>1.006</b>	<b>0.986</b>	<b>0.976</b>	<b>0.971</b>	<b>0.969</b>			
$x^*+\bar{\delta}$	-		<b>1.858</b>	<b>1.838</b>	<b>1.854</b>	<b>1.865</b>	<b>1.870</b>	<b>1.872</b>	<b>1.874</b>			
Lab 2	0.911	0.580	1.124	1.045	1.006	0.986	0.976	0.971	0.969	-1.689	Lab 18	-4.305
Lab 4	1.710	0.219	1.710	1.710	1.710	1.710	1.710	1.710	1.710	0.957	Lab 2	-1.689
Lab 7	1.528	0.037	1.528	1.528	1.528	1.528	1.528	1.528	1.528	0.354	Lab 15	-1.039
Lab 8	1.490	0.001	1.490	1.490	1.490	1.490	1.490	1.490	1.490	0.229	Lab 22	-0.797
Lab 10	1.563	0.072	1.563	1.563	1.563	1.563	1.563	1.563	1.563	0.470	Lab 14	-0.731
Lab 11	1.400	0.091	1.400	1.400	1.400	1.400	1.400	1.400	1.400	-0.069	Lab 28	-0.168
Lab 13	1.845	0.354	1.845	1.838	1.845	1.845	1.845	1.845	1.845	1.403	Lab 11	-0.069
Lab 14	1.200	0.291	1.200	1.200	1.200	1.200	1.200	1.200	1.200	-0.731	Lab 8	0.229
Lab 15	1.107	0.384	1.124	1.107	1.107	1.107	1.107	1.107	1.107	-1.039	Lab 27	0.235
Lab 18	0.120	1.371	1.124	1.045	1.006	0.986	0.976	0.971	0.969	-4.305	Lab 7	0.354
Lab 20	1.600	0.109	1.600	1.600	1.600	1.600	1.600	1.600	1.600	0.593	Lab 10	0.470
Lab 21	1.676	0.185	1.676	1.676	1.676	1.676	1.676	1.676	1.676	0.844	Lab 20	0.593
Lab 22	1.180	0.311	1.180	1.180	1.180	1.180	1.180	1.180	1.180	-0.797	Lab 26	0.712
Lab 26	1.636	0.145	1.636	1.636	1.636	1.636	1.636	1.636	1.636	0.712	Lab 21	0.844
Lab 27	1.492	0.001	1.492	1.492	1.492	1.492	1.492	1.492	1.492	0.235	Lab 4	0.957
Lab 28	1.370	0.121	1.370	1.370	1.370	1.370	1.370	1.370	1.370	-0.168	Lab 13	1.403
Average	<b>1.364</b>		<b>1.441</b>	<b>1.430</b>	<b>1.426</b>	<b>1.423</b>	<b>1.422</b>	<b>1.421</b>	<b>1.421</b>			
SD	<b>0.413</b>	<b>0.334</b>	<b>0.233</b>	<b>0.249</b>	<b>0.258</b>	<b>0.263</b>	<b>0.265</b>	<b>0.266</b>	<b>0.267</b>			
New $x^*$	<b>1.491</b>	<b>0.165</b>	<b>1.441</b>	<b>1.430</b>	<b>1.426</b>	<b>1.423</b>	<b>1.422</b>	<b>1.421</b>	<b>1.421</b>			
New $s^*$	<b>0.245</b>		<b>0.264</b>	<b>0.283</b>	<b>0.293</b>	<b>0.298</b>	<b>0.300</b>	<b>0.302</b>	<b>0.302</b>	<b>1.134*SD</b>		

ΣΗΜΕΙΩΣΗ: Για το εργαστήριο 18 χρησιμοποιήθηκε η τιμή avg της στήλης «μέγιστη τιμή στη θέση μέτρησης».

Πίνακας Π.105 Μέση συνολική ένταση ηλεκτρικού πεδίου E(V/m): Σενάριο μέτρησης 2, Θέση μέτρησης 1, Ύψος μέτρησης 1.7m

Number of laboratories=		<b>14</b>					Z-Score		
Iteration	0	$x_i - x^*$	1	2	3	4	Z-Score αύξουσα σειρά		
$\bar{\delta} = 1.5s^*$	-		<b>0.494</b>	<b>0.508</b>	<b>0.513</b>	<b>0.515</b>			
$x^* - \bar{\delta}$	-		<b>1.042</b>	<b>1.019</b>	<b>1.013</b>	<b>1.011</b>			
$x^* + \bar{\delta}$	-		<b>2.030</b>	<b>2.036</b>	<b>2.039</b>	<b>2.040</b>			
<b>Lab 2</b>	<b>0.812</b>	0.724	1.042	1.019	1.013	1.011	<b>-2.078</b>	<b>Lab 2</b>	<b>-2.078</b>
Lab 4	1.690	0.154	1.690	1.690	1.690	1.690	0.479	Lab 15	-1.306
Lab 7	1.746	0.210	1.746	1.746	1.746	1.746	0.643	Lab 14	-0.927
Lab 10	1.503	0.033	1.503	1.503	1.503	1.503	-0.065	Lab 11	-0.656
Lab 11	1.300	0.236	1.300	1.300	1.300	1.300	-0.656	Lab 26	-0.292
Lab 13	1.993	0.457	1.993	1.993	1.993	1.993	1.362	Lab 10	-0.065
Lab 14	1.207	0.329	1.207	1.207	1.207	1.207	-0.927	Lab 21	0.019
Lab 15	1.077	0.459	1.077	1.077	1.077	1.077	-1.306	Lab 22	0.043
Lab 20	1.979	0.443	1.979	1.979	1.979	1.979	1.321	Lab 27	0.165
Lab 21	1.532	0.004	1.532	1.532	1.532	1.532	0.019	Lab 4	0.479
Lab 22	1.540	0.004	1.540	1.540	1.540	1.540	0.043	Lab 7	0.643
Lab 26	1.425	0.111	1.425	1.425	1.425	1.425	-0.292	Lab 28	0.712
Lab 27	1.582	0.046	1.582	1.582	1.582	1.582	0.165	Lab 20	1.321
Lab 28	1.770	0.234	1.770	1.770	1.770	1.770	0.712	Lab 13	1.362
Average	1.511		<b>1.528</b>	<b>1.526</b>	<b>1.525</b>	<b>1.525</b>			
SD	0.332	0.214	<b>0.299</b>	<b>0.302</b>	<b>0.303</b>	<b>0.303</b>			
New $x^*$	1.536	0.222	<b>1.528</b>	<b>1.526</b>	<b>1.525</b>	<b>1.525</b>			
New $s^*$	0.329		<b>0.339</b>	<b>0.342</b>	<b>0.343</b>	<b>0.343</b>	<b>1.134*SD</b>		

Πίνακας Π.106 Μέση συνολική ένταση ηλεκτρικού πεδίου E(V/m): Σενάριο μέτρησης 2, Θέση μέτρησης 2, Ύψος μέτρησης 1.1m

Number of laboratories=		8							
Iteration	0	$x_i - x^*$	1	2	3	4	Z-Score	Z-Score αύξουσα σειρά	
$\delta = 1.5s^*$	-		<b>0.257</b>	<b>0.266</b>	<b>0.284</b>	<b>0.289</b>			
$x^* - \delta$	-		<b>0.789</b>	<b>0.822</b>	<b>0.810</b>	<b>0.807</b>			
$x^* + \delta$	-		<b>1.303</b>	<b>1.353</b>	<b>1.377</b>	<b>1.384</b>			
Lab 4	1.200	0.154	1.200	1.200	1.200	1.200	0.544	Lab 10	-0.959
Lab 10	0.911	0.135	0.911	0.911	0.911	0.911	-0.959	Lab 11	-0.756
Lab 11	0.950	0.096	0.950	0.950	0.950	0.950	-0.756	Lab 27	-0.683
Lab 13	1.280	0.234	1.280	1.280	1.280	1.280	0.960	Lab 15	-0.537
Lab 14	1.100	0.054	1.100	1.100	1.100	1.100	0.024	Lab 14	0.024
Lab 15	0.992	0.054	0.992	0.992	0.992	0.992	-0.537	Lab 4	0.544
Lab 26	1.366	0.320	1.303	1.353	1.366	1.366	1.407	Lab 13	0.960
Lab 27	0.964	0.082	0.964	0.964	0.964	0.964	-0.683	Lab 26	1.407
Average	<b>1.095</b>		<b>1.087</b>	<b>1.094</b>	<b>1.095</b>	<b>1.095</b>			
SD	<b>0.170</b>	<b>0.094</b>	<b>0.156</b>	<b>0.167</b>	<b>0.170</b>	<b>0.170</b>			
New $x^*$	<b>1.046</b>	<b>0.116</b>	<b>1.087</b>	<b>1.094</b>	<b>1.095</b>	<b>1.095</b>			
New $s^*$	<b>0.171</b>		<b>0.177</b>	<b>0.189</b>	<b>0.192</b>	<b>0.192</b>	<b>1.134*SD</b>		

Πίνακας Π.107 Μέση συνολική ένταση ηλεκτρικού πεδίου E(V/m): Σενάριο μέτρησης 2, Θέση μέτρησης 2, Ύψος μέτρησης 1.5m

Iteration	0	xi-x*	1	2	3	4	5	6	7	8	9	10	11	12	Z-Score	Z-Score αύξουσα σειρά
Number of laboratories=			<b>16</b>													
$\bar{\delta}=1.5s^*$	-		<b>0.476</b>	<b>0.521</b>	<b>0.561</b>	<b>0.585</b>	<b>0.600</b>	<b>0.608</b>	<b>0.613</b>	<b>0.616</b>	<b>0.618</b>	<b>0.620</b>	<b>0.620</b>	<b>0.621</b>		
$x^*-\bar{\delta}$	-		<b>0.414</b>	<b>0.409</b>	<b>0.384</b>	<b>0.365</b>	<b>0.353</b>	<b>0.346</b>	<b>0.341</b>	<b>0.338</b>	<b>0.337</b>	<b>0.336</b>	<b>0.335</b>	<b>0.335</b>		
$x^*+\bar{\delta}$	-		<b>1.367</b>	<b>1.452</b>	<b>1.506</b>	<b>1.535</b>	<b>1.552</b>	<b>1.562</b>	<b>1.568</b>	<b>1.571</b>	<b>1.574</b>	<b>1.575</b>	<b>1.576</b>	<b>1.576</b>		
Lab 2	0.630	0.261	0.630	0.630	0.630	0.630	0.630	0.630	0.630	0.630	0.630	0.630	0.630	0.630	-0.787	Lab 18 -2.103
Lab 4	0.950	0.059	0.950	0.950	0.950	0.950	0.950	0.950	0.950	0.950	0.950	0.950	0.950	0.950	-0.014	Lab 11 -1.125
Lab 7	1.429	0.538	1.367	1.429	1.429	1.429	1.429	1.429	1.429	1.429	1.429	1.429	1.429	1.429	1.143	Lab 2 -0.787
Lab 8	0.727	0.164	0.727	0.727	0.727	0.727	0.727	0.727	0.727	0.727	0.727	0.727	0.727	0.727	-0.552	Lab 8 -0.552
Lab 10	0.802	0.089	0.802	0.802	0.802	0.802	0.802	0.802	0.802	0.802	0.802	0.802	0.802	0.802	-0.371	Lab 20 -0.535
Lab 11	0.490	0.401	0.490	0.490	0.490	0.490	0.490	0.490	0.490	0.490	0.490	0.490	0.490	0.490	-1.125	Lab 28 -0.376
Lab 13	1.251	0.361	1.251	1.251	1.251	1.251	1.251	1.251	1.251	1.251	1.251	1.251	1.251	1.251	0.714	Lab 10 -0.371
Lab 14	<b>1.813</b>	0.923	1.367	1.452	1.506	1.535	1.552	1.562	1.568	1.571	1.574	1.575	1.576	1.576	<b>2.071</b>	Lab 26 -0.270
Lab 15	1.618	0.728	1.367	1.452	1.506	1.535	1.552	1.562	1.568	1.571	1.574	1.575	1.576	1.576	1.600	Lab 22 -0.045
Lab 18	<b>0.085</b>	0.806	0.414	0.409	0.384	0.365	0.353	0.346	0.341	0.338	0.337	0.336	0.335	0.335	<b>-2.103</b>	Lab 4 -0.014
Lab 20	0.734	0.157	0.734	0.734	0.734	0.734	0.734	0.734	0.734	0.734	0.734	0.734	0.734	0.734	-0.535	Lab 21 0.271
Lab 21	1.068	0.178	1.068	1.068	1.068	1.068	1.068	1.068	1.068	1.068	1.068	1.068	1.068	1.068	0.271	Lab 27 0.448
Lab 22	0.937	0.047	0.937	0.937	0.937	0.937	0.937	0.937	0.937	0.937	0.937	0.937	0.937	0.937	-0.045	Lab 13 0.714
Lab 26	0.844	0.047	0.844	0.844	0.844	0.844	0.844	0.844	0.844	0.844	0.844	0.844	0.844	0.844	-0.270	Lab 7 1.143
Lab 27	1.141	0.251	1.141	1.141	1.141	1.141	1.141	1.141	1.141	1.141	1.141	1.141	1.141	1.141	0.448	Lab 15 1.600
Lab 28	0.800	0.091	0.800	0.800	0.800	0.800	0.800	0.800	0.800	0.800	0.800	0.800	0.800	0.800	-0.376	Lab 14 2.071
Average	<b>0.957</b>		<b>0.930</b>	<b>0.945</b>	<b>0.950</b>	<b>0.952</b>	<b>0.954</b>	<b>0.954</b>	<b>0.955</b>	<b>0.955</b>	<b>0.955</b>	<b>0.956</b>	<b>0.956</b>	<b>0.956</b>		
SD	<b>0.430</b>	<b>0.286</b>	<b>0.306</b>	<b>0.330</b>	<b>0.344</b>	<b>0.352</b>	<b>0.358</b>	<b>0.361</b>	<b>0.362</b>	<b>0.364</b>	<b>0.364</b>	<b>0.365</b>	<b>0.365</b>	<b>0.365</b>		
New $x^*$	<b>0.891</b>	<b>0.214</b>	<b>0.930</b>	<b>0.945</b>	<b>0.950</b>	<b>0.952</b>	<b>0.954</b>	<b>0.954</b>	<b>0.955</b>	<b>0.955</b>	<b>0.955</b>	<b>0.956</b>	<b>0.956</b>	<b>0.956</b>		
New $s^*$	<b>0.317</b>		<b>0.347</b>	<b>0.374</b>	<b>0.390</b>	<b>0.400</b>	<b>0.405</b>	<b>0.409</b>	<b>0.411</b>	<b>0.412</b>	<b>0.413</b>	<b>0.413</b>	<b>0.414</b>	<b>0.414</b>	<b>1.134*SD</b>	

ΣΗΜΕΙΩΣΗ: Για το εργαστήριο 18 χρησιμοποιήθηκε η τιμή avg της στήλης «μέγιστη τιμή στη θέση μέτρησης».

Πίνακας Π.108 Μέση συνολική ένταση ηλεκτρικού πεδίου E(V/m): Σενάριο μέτρησης 2, Θέση μέτρησης 2, Ύψος μέτρησης 1.7m

Number of laboratories=		14								
Iteration	0	xi-x*	1	2	3	4	5	Z-Score	Z-Score	Z-Score
$\bar{\delta}=1.5s^*$	-		<b>0.390</b>	<b>0.382</b>	<b>0.378</b>	<b>0.376</b>	<b>0.375</b>			
$x^*-\bar{\delta}$	-		<b>0.797</b>	<b>0.800</b>	<b>0.804</b>	<b>0.805</b>	<b>0.806</b>			
$x^*+\bar{\delta}$	-		<b>1.578</b>	<b>1.564</b>	<b>1.559</b>	<b>1.557</b>	<b>1.557</b>			
Lab 2	0.741	0.447	0.797	0.800	0.804	0.805	0.806	-1.763	Lab 2	-1.763
Lab 4	1.430	0.243	1.430	1.430	1.430	1.430	1.430	0.995	Lab 20	-1.070
Lab 7	0.924	0.264	0.924	0.924	0.924	0.924	0.924	-1.031	Lab 7	-1.031
Lab 10	1.270	0.083	1.270	1.270	1.270	1.270	1.270	0.355	Lab 22	-0.645
Lab 11	1.210	0.023	1.210	1.210	1.210	1.210	1.210	0.115	Lab 15	-0.349
Lab 13	1.442	0.255	1.442	1.442	1.442	1.442	1.442	1.043	Lab 27	-0.221
Lab 14	1.205	0.018	1.205	1.205	1.205	1.205	1.205	0.095	Lab 28	-0.045
Lab 15	1.094	0.093	1.094	1.094	1.094	1.094	1.094	-0.349	Lab 14	0.095
Lab 20	0.914	0.274	0.914	0.914	0.914	0.914	0.914	-1.070	Lab 11	0.115
Lab 21	1.371	0.184	1.371	1.371	1.371	1.371	1.371	0.759	Lab 10	0.355
Lab 22	1.020	0.168	1.020	1.020	1.020	1.020	1.020	-0.645	Lab 21	0.759
Lab 26	<b>1.796</b>	0.609	1.578	1.564	1.559	1.557	1.557	<b>2.460</b>	Lab 4	0.995
Lab 27	1.126	0.062	1.126	1.126	1.126	1.126	1.126	-0.221	Lab 13	1.043
Lab 28	1.170	0.018	1.170	1.170	1.170	1.170	1.170	-0.045	Lab 26	<b>2.460</b>
Average	<b>1.194</b>		<b>1.182</b>	<b>1.181</b>	<b>1.181</b>	<b>1.181</b>	<b>1.181</b>			
SD	<b>0.266</b>	<b>0.172</b>	<b>0.224</b>	<b>0.222</b>	<b>0.221</b>	<b>0.221</b>	<b>0.220</b>			
New x*	<b>1.188</b>	<b>0.176</b>	<b>1.182</b>	<b>1.181</b>	<b>1.181</b>	<b>1.181</b>	<b>1.181</b>			
New s*	<b>0.260</b>		<b>0.254</b>	<b>0.252</b>	<b>0.251</b>	<b>0.250</b>	<b>0.250</b>	<b>1.134*SD</b>		

Πίνακας Π.109 Μέση συνολική ένταση ηλεκτρικού πεδίου E(V/m): Σενάριο μέτρησης 2, Θέση μέτρησης 3, Ύψος μέτρησης 1.1m

Number of laboratories=		<b>6</b>							
Iteration	0	$x_i - x^*$	1	2	3	4	Z-Score	Z-Score	
$\bar{\delta} = 1.5s^*$	-		<b>0.228</b>	<b>0.277</b>	<b>0.306</b>	<b>0.306</b>			
$x^* - \bar{\delta}$	-		<b>1.212</b>	<b>1.139</b>	<b>1.101</b>	<b>1.101</b>			
$x^* + \bar{\delta}$	-		<b>1.669</b>	<b>1.693</b>	<b>1.712</b>	<b>1.712</b>			
Lab 4	1.47	0.029	1.470	1.470	1.470	1.470	0.312	Lab 27	-1.249
Lab 10	1.265	0.176	1.265	1.265	1.265	1.265	-0.695	Lab 10	-0.695
Lab 11	1.43	0.011	1.430	1.430	1.430	1.430	0.115	Lab 11	0.115
Lab 13	1.671	0.231	1.669	1.671	1.671	1.671	1.299	Lab 26	0.218
Lab 26	1.451	0.011	1.451	1.451	1.451	1.451	0.218	Lab 4	0.312
Lab 27	1.152	0.289	1.212	1.152	1.152	1.152	-1.249	Lab 13	1.299
Average	<b>1.407</b>		<b>1.416</b>	<b>1.407</b>	<b>1.407</b>	<b>1.407</b>			
SD	<b>0.180</b>	<b>0.123</b>	<b>0.163</b>	<b>0.180</b>	<b>0.180</b>	<b>0.180</b>			
New $x^*$	<b>1.441</b>	<b>0.103</b>	<b>1.416</b>	<b>1.407</b>	<b>1.407</b>	<b>1.407</b>			
New $s^*$	<b>0.152</b>		<b>0.184</b>	<b>0.204</b>	<b>0.204</b>	<b>0.204</b>			<b>1.134*SD</b>

Πίνακας Π.110 Μέση συνολική ένταση ηλεκτρικού πεδίου E(V/m): Σενάριο μέτρησης 2, Θέση μέτρησης 3, Ύψος μέτρησης 1.5m

Number of laboratories=		13											Z-Score	Z-Score		
Iteration	0	xi-x*	1	2	3	4	5	6	7	8	9	10	11		αύξουσα σειρά	
$\bar{\delta}=1.5s^*$	-		<b>0.692</b>	<b>0.719</b>	<b>0.733</b>	<b>0.742</b>	<b>0.749</b>	<b>0.754</b>	<b>0.758</b>	<b>0.761</b>	<b>0.763</b>	<b>0.765</b>	<b>0.766</b>			
$x^*-\bar{\delta}$	-		<b>1.138</b>	<b>1.091</b>	<b>1.075</b>	<b>1.066</b>	<b>1.060</b>	<b>1.055</b>	<b>1.052</b>	<b>1.050</b>	<b>1.048</b>	<b>1.046</b>	<b>1.045</b>			
$x^*+\bar{\delta}$	-		<b>2.522</b>	<b>2.529</b>	<b>2.540</b>	<b>2.550</b>	<b>2.558</b>	<b>2.563</b>	<b>2.568</b>	<b>2.571</b>	<b>2.574</b>	<b>2.576</b>	<b>2.577</b>			
Lab 2	0.957	0.873	1.138	1.091	1.075	1.066	1.060	1.055	1.052	1.050	1.048	1.046	1.045	-1.670	Lab 2	-1.670
Lab 4	2.610	0.780	2.522	2.529	2.540	2.550	2.558	2.563	2.568	2.571	2.574	2.576	2.577	1.563	Lab 7	-0.911
Lab 7	1.345	0.485	1.345	1.345	1.345	1.345	1.345	1.345	1.345	1.345	1.345	1.345	1.345	-0.911	Lab 28	-0.609
Lab 8	1.632	0.198	1.632	1.632	1.632	1.632	1.632	1.632	1.632	1.632	1.632	1.632	1.632	-0.351	Lab 20	-0.575
Lab 10	1.960	0.130	1.960	1.960	1.960	1.960	1.960	1.960	1.960	1.960	1.960	1.960	1.960	0.291	Lab 21	-0.572
Lab 11	2.110	0.280	2.110	2.110	2.110	2.110	2.110	2.110	2.110	2.110	2.110	2.110	2.110	0.584	Lab 8	-0.351
Lab 13	2.652	0.822	2.522	2.529	2.540	2.550	2.558	2.563	2.568	2.571	2.574	2.576	2.577	1.645	Lab 22	0.037
Lab 20	1.517	0.313	1.517	1.517	1.517	1.517	1.517	1.517	1.517	1.517	1.517	1.517	1.517	-0.575	Lab 27	0.250
Lab 21	1.519	0.311	1.519	1.519	1.519	1.519	1.519	1.519	1.519	1.519	1.519	1.519	1.519	-0.572	Lab 10	0.291
Lab 22	1.830	0.000	1.830	1.830	1.830	1.830	1.830	1.830	1.830	1.830	1.830	1.830	1.830	0.037	Lab 26	0.358
Lab 26	1.994	0.164	1.994	1.994	1.994	1.994	1.994	1.994	1.994	1.994	1.994	1.994	1.994	0.358	Lab 11	0.584
Lab 27	1.939	0.109	1.939	1.939	1.939	1.939	1.939	1.939	1.939	1.939	1.939	1.939	1.939	0.250	Lab 4	1.563
Lab 28	1.500	0.330	1.500	1.500	1.500	1.500	1.500	1.500	1.500	1.500	1.500	1.500	1.500	-0.609	Lab 13	1.645
Average	1.813		<b>1.810</b>	<b>1.807</b>	<b>1.808</b>	<b>1.809</b>	<b>1.809</b>	<b>1.810</b>	<b>1.810</b>	<b>1.811</b>	<b>1.811</b>	<b>1.811</b>	<b>1.811</b>			
SD	0.479	0.287	<b>0.423</b>	<b>0.431</b>	<b>0.436</b>	<b>0.440</b>	<b>0.443</b>	<b>0.446</b>	<b>0.447</b>	<b>0.449</b>	<b>0.450</b>	<b>0.450</b>	<b>0.451</b>			
New $x^*$	1.830	0.311	<b>1.810</b>	<b>1.807</b>	<b>1.808</b>	<b>1.809</b>	<b>1.809</b>	<b>1.810</b>	<b>1.810</b>	<b>1.811</b>	<b>1.811</b>	<b>1.811</b>	<b>1.811</b>			
New $s^*$	0.461		<b>0.479</b>	<b>0.488</b>	<b>0.495</b>	<b>0.499</b>	<b>0.503</b>	<b>0.505</b>	<b>0.507</b>	<b>0.509</b>	<b>0.510</b>	<b>0.511</b>	<b>0.511</b>	1.134*SD		

Πίνακας Π.111 Μέση συνολική ένταση ηλεκτρικού πεδίου E(V/m): Σενάριο μέτρησης 2, Θέση μέτρησης 3, Ύψος μέτρησης 1.7m

Number of laboratories=		12								
Iteration	0	$\bar{x}_i - x^*$	1	2	3	4	5	6	Z-Score	Z-Score αύξουσα σειρά
$\bar{\delta} = 1.5s^*$	-		<b>0.766</b>	<b>0.602</b>	<b>0.590</b>	<b>0.586</b>	<b>0.585</b>	<b>0.585</b>		
$x^* - \bar{\delta}$	-		<b>1.265</b>	<b>1.423</b>	<b>1.431</b>	<b>1.434</b>	<b>1.435</b>	<b>1.435</b>		
$x^* + \bar{\delta}$	-		<b>2.798</b>	<b>2.627</b>	<b>2.612</b>	<b>2.606</b>	<b>2.605</b>	<b>2.604</b>		
Lab 2	1.671	0.361	1.671	1.671	1.671	1.671	1.671	1.671	-0.894	Lab 22 -1.051
Lab 4	2.360	0.329	2.360	2.360	2.360	2.360	2.360	2.360	0.874	Lab 10 -0.992
Lab 7	1.872	0.159	1.872	1.872	1.872	1.872	1.872	1.872	-0.377	Lab 21 -0.966
Lab 10	1.633	0.399	1.633	1.633	1.633	1.633	1.633	1.633	-0.992	Lab 2 -0.894
Lab 11	2.100	0.069	2.100	2.100	2.100	2.100	2.100	2.100	0.207	Lab 7 -0.377
Lab 13	2.668	0.637	2.668	2.627	2.612	2.606	2.605	2.604	1.665	Lab 28 0.027
Lab 20	2.217	0.186	2.217	2.217	2.217	2.217	2.217	2.217	0.507	Lab 27 0.035
Lab 21	1.643	0.389	1.643	1.643	1.643	1.643	1.643	1.643	-0.966	Lab 11 0.207
Lab 22	1.610	0.422	1.610	1.610	1.610	1.610	1.610	1.610	-1.051	Lab 20 0.507
Lab 26	2.459	0.428	2.459	2.459	2.459	2.459	2.459	2.459	1.128	Lab 4 0.874
Lab 27	2.033	0.002	2.033	2.033	2.033	2.033	2.033	2.033	0.035	Lab 26 1.128
Lab 28	2.030	0.002	2.030	2.030	2.030	2.030	2.030	2.030	0.027	Lab 13 1.665
Average	2.025		<b>2.025</b>	<b>2.021</b>	<b>2.020</b>	<b>2.020</b>	<b>2.019</b>	<b>2.019</b>		
SD	0.354	0.197	<b>0.354</b>	<b>0.347</b>	<b>0.345</b>	<b>0.344</b>	<b>0.344</b>	<b>0.344</b>		
New $x^*$	2.032	0.345	<b>2.025</b>	<b>2.021</b>	<b>2.020</b>	<b>2.020</b>	<b>2.019</b>	<b>2.019</b>		
New $s^*$	0.511		<b>0.401</b>	<b>0.394</b>	<b>0.391</b>	<b>0.390</b>	<b>0.390</b>	<b>0.390</b>		1.134*SD



Πίνακας Π.112 Μέση συνολική ένταση ηλεκτρικού πεδίου E(V/m): Σενάριο μέτρησης 3, Θέση μέτρησης 1, Ύψος μέτρησης 1.5m

Number of laboratories=		9											Z-Score	Z-Score αύξουσα σειρά	
Iteration	0	xi-x*	1	2	3	4	5	6	7	8	9	10			
$\delta=1.5s^*$	-		<b>2.794</b>	<b>2.911</b>	<b>3.081</b>	<b>3.159</b>	<b>3.196</b>	<b>3.213</b>	<b>3.222</b>	<b>3.225</b>	<b>3.227</b>	<b>3.228</b>			
$x^*-\delta$	-		<b>12.245</b>	<b>12.551</b>	<b>12.441</b>	<b>12.388</b>	<b>12.363</b>	<b>12.351</b>	<b>12.345</b>	<b>12.342</b>	<b>12.341</b>	<b>12.341</b>			
$x^*+\delta$	-		<b>17.833</b>	<b>18.372</b>	<b>18.602</b>	<b>18.706</b>	<b>18.755</b>	<b>18.778</b>	<b>18.788</b>	<b>18.793</b>	<b>18.796</b>	<b>18.797</b>			
Lab 4	17.410	2.371	17.410	17.410	17.410	17.410	17.410	17.410	17.410	17.410	17.410	17.410	0.855	Lab 20	-0.859
Lab 7	15.039	0.000	15.039	15.039	15.039	15.039	15.039	15.039	15.039	15.039	15.039	15.039	-0.246	Lab 25	-0.830
Lab 8	16.090	1.051	16.090	16.090	16.090	16.090	16.090	16.090	16.090	16.090	16.090	16.090	0.242	Lab 22	-0.729
Lab 13	19.400	4.361	17.833	18.372	18.602	18.706	18.755	18.778	18.788	18.793	18.796	18.797	1.780	Lab 28	-0.729
Lab 20	13.720	1.319	13.720	13.720	13.720	13.720	13.720	13.720	13.720	13.720	13.720	13.720	-0.859	Lab 7	-0.246
Lab 21	17.280	2.241	17.280	17.280	17.280	17.280	17.280	17.280	17.280	17.280	17.280	17.280	0.795	Lab 8	0.242
Lab 22	14.000	1.039	14.000	14.000	14.000	14.000	14.000	14.000	14.000	14.000	14.000	14.000	-0.729	Lab 21	0.795
Lab 25	13.783	1.256	13.783	13.783	13.783	13.783	13.783	13.783	13.783	13.783	13.783	13.783	-0.830	Lab 4	0.855
Lab 28	14.000	1.039	14.000	14.000	14.000	14.000	14.000	14.000	14.000	14.000	14.000	14.000	-0.729	Lab 13	1.780
Average	<b>15.636</b>		<b>15.462</b>	<b>15.522</b>	<b>15.547</b>	<b>15.559</b>	<b>15.564</b>	<b>15.567</b>	<b>15.568</b>	<b>15.568</b>	<b>15.569</b>	<b>15.569</b>			
SD	<b>2.032</b>	<b>1.240</b>	<b>1.711</b>	<b>1.811</b>	<b>1.857</b>	<b>1.879</b>	<b>1.889</b>	<b>1.894</b>	<b>1.896</b>	<b>1.897</b>	<b>1.898</b>	<b>1.898</b>			
New x*	<b>15.039</b>	<b>1.256</b>	<b>15.462</b>	<b>15.522</b>	<b>15.547</b>	<b>15.559</b>	<b>15.564</b>	<b>15.567</b>	<b>15.568</b>	<b>15.568</b>	<b>15.569</b>	<b>15.569</b>			
New s*	<b>1.863</b>		<b>1.940</b>	<b>2.054</b>	<b>2.106</b>	<b>2.131</b>	<b>2.142</b>	<b>2.148</b>	<b>2.150</b>	<b>2.151</b>	<b>2.152</b>	<b>2.152</b>	1.134*SD		

Πίνακας Π.113 Μέση συνολική ένταση ηλεκτρικού πεδίου E(V/m): Σενάριο μέτρησης 3, Θέση μέτρησης 1, Ύψος μέτρησης 1.7m

Number of laboratories=		7												Z-Score	Z-Score αύξουσα σειρά	
Iteration	0	xi-x*	1	2	3	4	5	...	10	11	12	13	14			
$\delta=1.5s^*$	-		<b>1.468</b>	<b>1.578</b>	<b>1.925</b>	<b>2.287</b>	<b>2.671</b>	...	<b>3.433</b>	<b>3.461</b>	<b>3.478</b>	<b>3.488</b>	<b>3.495</b>			
$x^*-\delta$	-		<b>14.392</b>	<b>14.676</b>	<b>14.472</b>	<b>14.251</b>	<b>14.010</b>	...	<b>13.507</b>	<b>13.488</b>	<b>13.476</b>	<b>13.469</b>	<b>13.464</b>			
$x^*+\delta$	-		<b>17.328</b>	<b>17.831</b>	<b>18.322</b>	<b>18.824</b>	<b>19.352</b>	...	<b>20.374</b>	<b>20.409</b>	<b>20.431</b>	<b>20.445</b>	<b>20.454</b>			
Lab 4	19.150	3.290	17.328	17.831	18.322	18.824	19.150	...	19.150	19.150	19.150	19.150	19.150	0.939	Lab 28	-0.755
Lab 7	15.468	0.392	15.468	15.468	15.468	15.468	15.468	...	15.468	15.468	15.468	15.468	15.468	-0.640	Lab 7	-0.640
Lab 13	21.090	5.230	17.328	17.831	18.322	18.824	19.352	...	20.374	20.409	20.431	20.445	20.454	1.770	Lab 22	-0.583
Lab 20	15.860	0.000	15.860	15.860	15.860	15.860	15.860	...	15.860	15.860	15.860	15.860	15.860	-0.472	Lab 20	-0.472
Lab 21	16.990	1.130	16.990	16.990	16.990	16.990	16.990	...	16.990	16.990	16.990	16.990	16.990	0.013	Lab 21	0.013
Lab 22	15.600	0.260	15.600	15.600	15.600	15.600	15.600	...	15.600	15.600	15.600	15.600	15.600	-0.583	Lab 4	0.939
Lab 28	15.200	0.660	15.200	15.200	15.200	15.200	15.200	...	15.200	15.200	15.200	15.200	15.200	-0.755	Lab 13	1.770
Average	<b>17.051</b>		<b>16.253</b>	<b>16.397</b>	<b>16.537</b>	<b>16.681</b>	<b>16.803</b>	...	<b>16.949</b>	<b>16.954</b>	<b>16.957</b>	<b>16.959</b>	<b>16.960</b>			
SD	<b>2.243</b>	<b>1.956</b>	<b>0.927</b>	<b>1.132</b>	<b>1.344</b>	<b>1.570</b>	<b>1.767</b>	...	<b>2.034</b>	<b>2.044</b>	<b>2.051</b>	<b>2.055</b>	<b>2.057</b>			
New $x^*$	<b>15.860</b>	<b>0.660</b>	<b>16.253</b>	<b>16.397</b>	<b>16.537</b>	<b>16.681</b>	<b>16.803</b>	...	<b>16.949</b>	<b>16.954</b>	<b>16.957</b>	<b>16.959</b>	<b>16.960</b>			
New $s^*$	<b>0.979</b>		<b>1.052</b>	<b>1.283</b>	<b>1.525</b>	<b>1.780</b>	<b>2.003</b>	...	<b>2.307</b>	<b>2.318</b>	<b>2.325</b>	<b>2.330</b>	<b>2.333</b>	<b>1.134*SD</b>		

Πίνακας Π.114 Μέση συνολική ένταση ηλεκτρικού πεδίου E(V/m): Σενάριο μέτρησης 3, Θέση μέτρησης 2, Ύψος μέτρησης 1.5m

Number of laboratories=		9				
Iteration	0	$\bar{x}_i - x^*$	1	2	Z-Score	Z-Score αύξουσα σειρά
$\bar{\delta} = 1.5s^*$	-		<b>3.315</b>	<b>2.570</b>		
$x^* - \bar{\delta}$	-		<b>13.475</b>	<b>13.823</b>		
$x^* + \bar{\delta}$	-		<b>20.105</b>	<b>18.964</b>		
Lab 4	18.520	1.730	18.520	18.520	1.241	Lab 25 -1.131
Lab 7	16.846	0.056	16.846	16.846	0.264	Lab 13 -0.936
Lab 8	18.430	1.640	18.430	18.430	1.189	Lab 22 -0.638
Lab 13	14.790	2.000	14.790	14.790	-0.936	Lab 28 -0.638
Lab 20	17.110	0.320	17.110	17.110	0.418	Lab 21 0.231
Lab 21	16.790	0.000	16.790	16.790	0.231	Lab 7 0.264
Lab 22	15.300	1.490	15.300	15.300	-0.638	Lab 20 0.418
Lab 25	14.455	2.335	14.455	14.455	-1.131	Lab 8 1.189
Lab 28	15.300	1.490	15.300	15.300	-0.638	Lab 4 1.241
Average	<b>16.393</b>		<b>16.393</b>	<b>16.393</b>		
SD	<b>1.511</b>	<b>0.872</b>	<b>1.511</b>	<b>1.511</b>		
New $x^*$	<b>16.790</b>	<b>1.490</b>	<b>16.393</b>	<b>16.393</b>		
New $s^*$	<b>2.210</b>		<b>1.713</b>	<b>1.713</b>	<b>1.134*SD</b>	

Πίνακας Π.115 Μέση συνολική ένταση ηλεκτρικού πεδίου E(V/m): Σενάριο μέτρησης 3, Θέση μέτρησης 2, Ύψος μέτρησης 1.7m

Iteration	0	xi-x*	1	2	3	4	Z-Score	Z-Score αύξουσα σειρά
Number of laboratories=			<b>7</b>					
$\delta=1.5s^*$	-		<b>0.845</b>	<b>0.929</b>	<b>1.098</b>	<b>1.207</b>		
$x^*-\delta$	-		<b>15.855</b>	<b>15.627</b>	<b>15.393</b>	<b>15.243</b>		
$x^*+\delta$	-		<b>17.545</b>	<b>17.485</b>	<b>17.589</b>	<b>17.657</b>		
Lab 4	15.470	1.230	15.855	15.627	15.470	15.470	-1.218	Lab 4 -1.218
Lab 7	17.212	0.512	17.212	17.212	17.212	17.212	0.947	Lab 13 -1.181
Lab 13	15.500	1.200	15.855	15.627	15.500	15.500	-1.181	Lab 28 -0.062
Lab 20	17.080	0.380	17.080	17.080	17.080	17.080	0.783	Lab 22 0.310
Lab 21	16.790	0.090	16.790	16.790	16.790	16.790	0.422	Lab 21 0.422
Lab 22	16.700	0.000	16.700	16.700	16.700	16.700	0.310	Lab 20 0.783
Lab 28	16.400	0.300	16.400	16.400	16.400	16.400	-0.062	Lab 7 0.947
Average	<b>16.450</b>		<b>16.556</b>	<b>16.491</b>	<b>16.450</b>	<b>16.450</b>		
SD	<b>0.710</b>	<b>0.498</b>	<b>0.546</b>	<b>0.646</b>	<b>0.710</b>	<b>0.710</b>		
New x*	<b>16.700</b>	<b>0.380</b>	<b>16.556</b>	<b>16.491</b>	<b>16.450</b>	<b>16.450</b>		
New s*	<b>0.564</b>		<b>0.619</b>	<b>0.732</b>	<b>0.805</b>	<b>0.805</b>		1.134*SD

Πίνακας Π.116 Μέγιστη συνολική ένταση ηλεκτρικού πεδίου E(V/m): Σενάριο μέτρησης 1, Θέση μέτρησης 1

Number of laboratories=		18						
Iteration	0	$x_i - x^*$	1	2	3	4	Z-Score	Z-Score αύξουσα σειρά
$\delta = 1.5s^*$	-		<b>0.670</b>	<b>0.658</b>	<b>0.653</b>	<b>0.652</b>		
$x^* - \delta$	-		<b>1.483</b>	<b>1.434</b>	<b>1.432</b>	<b>1.434</b>		
$x^* + \delta$	-		<b>2.823</b>	<b>2.751</b>	<b>2.739</b>	<b>2.737</b>		
Lab 1	1.724	0.429	1.724	1.724	1.724	1.724	-0.832	Lab 2 -1.970
Lab 2	1.230	0.923	1.483	1.434	1.432	1.434	-1.970	Lab 5 -1.343
Lab 3	1.740	0.413	1.740	1.740	1.740	1.740	-0.795	Lab 16 -1.003
Lab 4	3.080	0.927	2.823	2.751	2.739	2.737	2.293	Lab 30 -0.841
Lab 5	1.502	0.651	1.502	1.502	1.502	1.502	-1.343	Lab 1 -0.832
Lab 7	2.155	0.003	2.155	2.155	2.155	2.155	0.162	Lab 3 -0.795
Lab 8	2.290	0.137	2.290	2.290	2.290	2.290	0.472	Lab 18 -0.201
Lab 10	2.073	0.080	2.073	2.073	2.073	2.073	-0.028	Lab 10 -0.028
Lab 13	2.478	0.325	2.478	2.478	2.478	2.478	0.905	Lab 22 0.150
Lab 14	2.590	0.437	2.590	2.590	2.590	2.590	1.164	Lab 7 0.162
Lab 15	2.386	0.233	2.386	2.386	2.386	2.386	0.694	Lab 17 0.240
Lab 16	1.650	0.503	1.650	1.650	1.650	1.650	-1.003	Lab 20 0.461
Lab 17	2.189	0.036	2.189	2.189	2.189	2.189	0.240	Lab 8 0.472
Lab 18	1.998	0.155	1.998	1.998	1.998	1.998	-0.201	Lab 15 0.694
Lab 20	2.285	0.132	2.285	2.285	2.285	2.285	0.461	Lab 21 0.795
Lab 21	2.430	0.277	2.430	2.430	2.430	2.430	0.795	Lab 13 0.905
Lab 22	2.150	0.003	2.150	2.150	2.150	2.150	0.150	Lab 14 1.164
Lab 30	1.720	0.433	1.720	1.720	1.720	1.720	-0.841	Lab 4 2.293
Average	<b>2.093</b>		<b>2.093</b>	<b>2.086</b>	<b>2.085</b>	<b>2.085</b>		
SD	<b>0.445</b>	<b>0.283</b>	<b>0.387</b>	<b>0.384</b>	<b>0.383</b>	<b>0.383</b>		
New $x^*$	<b>2.153</b>	<b>0.301</b>	<b>2.093</b>	<b>2.086</b>	<b>2.085</b>	<b>2.085</b>		
New $s^*$	<b>0.447</b>		<b>0.439</b>	<b>0.436</b>	<b>0.434</b>	<b>0.434</b>	<b>1.134*SD</b>	

**ΣΗΜΕΙΩΣΗ:** Για το εργαστήριο 17 έχει χρησιμοποιηθεί η τιμή που προκύπτει ως συνδυασμός των x, y, z συνιστωσών και όχι η συνολική τιμή που δίνεται στους πίνακες με τα max μεγέθη. Για τα εργαστήρια 4 και 7 τα δεδομένα έχουν προκύψει με σύγκριση των επιμέρους μέγιστων τιμών ανά ύψος σε κάθε θέση μέτρησης.

Πίνακας Π.117 Μέγιστη συνολική ένταση ηλεκτρικού πεδίου E(V/m): Σενάριο μέτρησης 1, Θέση μέτρησης 2

Number of laboratories=		18						
Iteration	0	xi-x*	1	2	3	4	Z-Score	Z-Score αύξουσα σειρά
$\delta=1.5s^*$	-		<b>0.736</b>	<b>0.715</b>	<b>0.707</b>	<b>0.704</b>		
$x^*-\delta$	-		<b>0.988</b>	<b>0.923</b>	<b>0.922</b>	<b>0.924</b>		
$x^*+\delta$	-		<b>2.459</b>	<b>2.354</b>	<b>2.336</b>	<b>2.332</b>		
Lab 1	1.631	0.093	1.631	1.631	1.631	1.631	0.007	Lab 2 -1.758
Lab 2	0.803	0.920	0.988	0.923	0.922	0.924	-1.758	Lab 17 -1.377
Lab 3	1.280	0.444	1.280	1.280	1.280	1.280	-0.742	Lab 16 -1.143
<b>Lab 4</b>	<b>4.200</b>	2.477	2.459	2.354	2.336	2.332	<b>5.487</b>	Lab 3 -0.742
Lab 5	1.354	0.370	1.354	1.354	1.354	1.354	-0.584	Lab 18 -0.603
Lab 7	2.051	0.328	2.051	2.051	2.051	2.051	0.904	Lab 5 -0.584
Lab 8	1.830	0.107	1.830	1.830	1.830	1.830	0.431	Lab 22 -0.507
Lab 10	1.832	0.109	1.832	1.832	1.832	1.832	0.436	Lab 1 0.007
Lab 13	2.309	0.586	2.309	2.309	2.309	2.309	1.453	Lab 15 0.178
Lab 14	1.880	0.157	1.880	1.880	1.880	1.880	0.538	Lab 21 0.231
Lab 15	1.711	0.013	1.711	1.711	1.711	1.711	0.178	Lab 30 0.305
Lab 16	1.092	0.632	1.092	1.092	1.092	1.092	-1.143	Lab 8 0.431
Lab 17	0.982	0.741	0.988	0.982	0.982	0.982	-1.377	Lab 10 0.436
Lab 18	1.345	0.379	1.345	1.345	1.345	1.345	-0.603	Lab 20 0.472
Lab 20	1.849	0.126	1.849	1.849	1.849	1.849	0.472	Lab 14 0.538
Lab 21	1.736	0.013	1.736	1.736	1.736	1.736	0.231	Lab 7 0.904
Lab 22	1.390	0.334	1.390	1.390	1.390	1.390	-0.507	Lab 13 1.453
Lab 30	1.770	0.047	1.770	1.770	1.770	1.770	0.305	<b>Lab 4 5.487</b>
Average	<b>1.725</b>		<b>1.639</b>	<b>1.629</b>	<b>1.628</b>	<b>1.628</b>		
SD	<b>0.729</b>	<b>0.574</b>	<b>0.420</b>	<b>0.416</b>	<b>0.414</b>	<b>0.413</b>		
New x*	<b>1.724</b>	<b>0.331</b>	<b>1.639</b>	<b>1.629</b>	<b>1.628</b>	<b>1.628</b>		
New s*	<b>0.490</b>		<b>0.477</b>	<b>0.471</b>	<b>0.469</b>	<b>0.469</b>	<b>1.134*SD</b>	

**ΣΗΜΕΙΩΣΗ:** Για το εργαστήριο 17 έχει χρησιμοποιηθεί η τιμή που προκύπτει ως συνδυασμός των x, y, z συνιστωσών και όχι η συνολική τιμή που δίνεται στους πίνακες με τα max μεγέθη. Για τα εργαστήρια 4 και 7 τα δεδομένα έχουν προκύψει με σύγκριση των επιμέρους μέγιστων τιμών ανά ύψος σε κάθε θέση μέτρησης.

**Πίνακας Π.118 Μέγιστη συνολική ένταση ηλεκτρικού πεδίου E(V/m): Σενάριο μέτρησης 1, Θέση μέτρησης 3**

Number of laboratories=		19									Z-Score	Z-Score	
Iteration	0	xi-x*	1	2	3	4	5	6	7	8		αύξουσα	σειρά
$\delta=1.5s^*$	-		<b>0.455</b>	<b>0.502</b>	<b>0.530</b>	<b>0.545</b>	<b>0.553</b>	<b>0.557</b>	<b>0.559</b>	<b>0.560</b>			
$x^*-\delta$	-		<b>1.985</b>	<b>2.009</b>	<b>1.994</b>	<b>1.983</b>	<b>1.977</b>	<b>1.973</b>	<b>1.972</b>	<b>1.971</b>			
$x^*+\delta$	-		<b>2.895</b>	<b>3.013</b>	<b>3.055</b>	<b>3.073</b>	<b>3.082</b>	<b>3.087</b>	<b>3.089</b>	<b>3.090</b>			
Lab 1	2.515	0.075	2.515	2.515	2.515	2.515	2.515	2.515	2.515	2.515	-0.041	Lab 2	-4.085
Lab 2	1.005	1.435	1.985	2.009	1.994	1.983	1.977	1.973	1.972	1.971	-4.085	Lab 5	-1.386
Lab 3	2.840	0.400	2.840	2.840	2.840	2.840	2.840	2.840	2.840	2.840	0.829	Lab 7	-0.790
Lab 4	4.790	2.350	2.895	3.013	3.055	3.073	3.082	3.087	3.089	3.090	6.052	Lab 15	-0.706
Lab 5	2.013	0.427	2.013	2.013	2.013	2.013	2.013	2.013	2.013	2.013	-1.386	Lab 16	-0.678
Lab 7	2.236	0.204	2.236	2.236	2.236	2.236	2.236	2.236	2.236	2.236	-0.790	Lab 17	-0.657
Lab 8	2.770	0.330	2.770	2.770	2.770	2.770	2.770	2.770	2.770	2.770	0.642	Lab 10	-0.392
Lab 10	2.384	0.056	2.384	2.384	2.384	2.384	2.384	2.384	2.384	2.384	-0.392	Lab 18	-0.293
Lab 13	2.859	0.419	2.859	2.859	2.859	2.859	2.859	2.859	2.859	2.859	0.880	Lab 29	-0.256
Lab 14	2.440	0.000	2.440	2.440	2.440	2.440	2.440	2.440	2.440	2.440	-0.242	Lab 14	-0.242
Lab 15	2.267	0.173	2.267	2.267	2.267	2.267	2.267	2.267	2.267	2.267	-0.706	Lab 1	-0.041
Lab 16	2.277	0.163	2.277	2.277	2.277	2.277	2.277	2.277	2.277	2.277	-0.678	Lab 30	0.165
Lab 17	2.285	0.155	2.285	2.285	2.285	2.285	2.285	2.285	2.285	2.285	-0.657	Lab 21	0.572
Lab 18	2.421	0.019	2.421	2.421	2.421	2.421	2.421	2.421	2.421	2.421	-0.293	Lab 8	0.642
Lab 20	3.509	1.069	2.895	3.013	3.055	3.073	3.082	3.087	3.089	3.090	2.621	Lab 3	0.829
Lab 21	2.744	0.304	2.744	2.744	2.744	2.744	2.744	2.744	2.744	2.744	0.572	Lab 22	0.856
Lab 22	2.850	0.410	2.850	2.850	2.850	2.850	2.850	2.850	2.850	2.850	0.856	Lab 13	0.880
Lab 29	2.435	0.005	2.435	2.435	2.435	2.435	2.435	2.435	2.435	2.435	-0.256	Lab 20	2.621
Lab 30	2.592	0.152	2.592	2.592	2.592	2.592	2.592	2.592	2.592	2.592	0.165	Lab 4	6.052
Average	<b>2.591</b>		<b>2.511</b>	<b>2.524</b>	<b>2.528</b>	<b>2.529</b>	<b>2.530</b>	<b>2.530</b>	<b>2.530</b>	<b>2.530</b>			
SD	<b>0.720</b>	<b>0.590</b>	<b>0.295</b>	<b>0.312</b>	<b>0.321</b>	<b>0.325</b>	<b>0.327</b>	<b>0.328</b>	<b>0.329</b>	<b>0.329</b>			
New $x^*$	<b>2.440</b>	<b>0.204</b>	<b>2.511</b>	<b>2.524</b>	<b>2.528</b>	<b>2.529</b>	<b>2.530</b>	<b>2.530</b>	<b>2.530</b>	<b>2.530</b>			
New $s^*$	<b>0.303</b>		<b>0.335</b>	<b>0.353</b>	<b>0.363</b>	<b>0.369</b>	<b>0.371</b>	<b>0.372</b>	<b>0.373</b>	<b>0.373</b>	<b>1.134*SD</b>		

**ΣΗΜΕΙΩΣΗ:** Για το εργαστήριο 17 έχει χρησιμοποιηθεί η τιμή που προκύπτει ως συνδυασμός των x, y, z συνιστωσών και όχι η συνολική τιμή που δίνεται στους πίνακες με τα max μεγέθη. Για τα εργαστήρια 4, 7 και 29 τα δεδομένα έχουν προκύψει με σύγκριση των επιμέρους μέγιστων τιμών ανά ύψος σε κάθε θέση μέτρησης. Ειδικά για το εργαστήριο 29 έχει χρησιμοποιηθεί η max τιμή σε ύψος 1.7m, διότι στα υπόλοιπα ύψη οι τιμές που δίνονται είναι ανά φασματική περιοχή και όχι σε όλη τη ζώνη συχνοτήτων.

Πίνακας Π.119 Μέγιστη συνολική ένταση ηλεκτρικού πεδίου E(V/m): Σενάριο μέτρησης 2, Θέση μέτρησης 1

Number of laboratories=		18													
Iteration	0	xi-x*	1	2	3	4	5	6	7	8	9	10	Z-Score	Z-Score αύξουσα σειρά	
$\delta=1.5s^*$	-		<b>0.722</b>	<b>0.832</b>	<b>0.923</b>	<b>0.973</b>	<b>0.999</b>	<b>1.013</b>	<b>1.020</b>	<b>1.024</b>	<b>1.026</b>	<b>1.027</b>			
$x^*-\delta$	-		<b>1.393</b>	<b>1.192</b>	<b>1.069</b>	<b>1.009</b>	<b>0.979</b>	<b>0.963</b>	<b>0.955</b>	<b>0.950</b>	<b>0.948</b>	<b>0.946</b>			
$x^*+\delta$	-		<b>2.837</b>	<b>2.856</b>	<b>2.914</b>	<b>2.955</b>	<b>2.977</b>	<b>2.989</b>	<b>2.995</b>	<b>2.998</b>	<b>3.000</b>	<b>3.001</b>			
Lab 2	0.694	1.422	1.393	1.192	1.069	1.009	0.979	0.963	0.955	0.950	0.948	0.946	-1.868	Lab 18	-2.415
Lab 4	<b>4.410</b>	2.295	2.837	2.856	2.914	2.955	2.977	2.989	2.995	2.998	3.000	3.001	<b>3.556</b>	Lab 2	-1.868
Lab 5	1.331	0.784	1.393	1.331	1.331	1.331	1.331	1.331	1.331	1.331	1.331	1.331	-0.938	Lab 15	-1.050
Lab 7	1.939	0.176	1.939	1.939	1.939	1.939	1.939	1.939	1.939	1.939	1.939	1.939	-0.050	Lab 5	-0.938
Lab 8	2.450	0.335	2.450	2.450	2.450	2.450	2.450	2.450	2.450	2.450	2.450	2.450	0.695	Lab 14	-0.873
Lab 10	2.429	0.314	2.429	2.429	2.429	2.429	2.429	2.429	2.429	2.429	2.429	2.429	0.665	Lab 16	-0.489
Lab 13	2.875	0.760	2.837	2.856	2.875	2.875	2.875	2.875	2.875	2.875	2.875	2.875	1.316	Lab 7	-0.050
Lab 14	1.375	0.740	1.393	1.375	1.375	1.375	1.375	1.375	1.375	1.375	1.375	1.375	-0.873	Lab 30	0.166
Lab 15	1.254	0.861	1.393	1.254	1.254	1.254	1.254	1.254	1.254	1.254	1.254	1.254	-1.050	Lab 20	0.199
Lab 16	1.638	0.477	1.638	1.638	1.638	1.638	1.638	1.638	1.638	1.638	1.638	1.638	-0.489	Lab 22	0.214
Lab 18	<b>0.319</b>	1.796	1.393	1.192	1.069	1.009	0.979	0.963	0.955	0.950	0.948	0.946	<b>-2.415</b>	Lab 26	0.277
Lab 20	2.110	0.005	2.110	2.110	2.110	2.110	2.110	2.110	2.110	2.110	2.110	2.110	0.199	Lab 27	0.351
Lab 21	2.283	0.168	2.283	2.283	2.283	2.283	2.283	2.283	2.283	2.283	2.283	2.283	0.452	Lab 21	0.452
Lab 22	2.120	0.005	2.120	2.120	2.120	2.120	2.120	2.120	2.120	2.120	2.120	2.120	0.214	Lab 28	0.564
Lab 26	2.163	0.048	2.163	2.163	2.163	2.163	2.163	2.163	2.163	2.163	2.163	2.163	0.277	Lab 10	0.665
Lab 27	2.214	0.099	2.214	2.214	2.214	2.214	2.214	2.214	2.214	2.214	2.214	2.214	0.351	Lab 8	0.695
Lab 28	2.360	0.245	2.360	2.360	2.360	2.360	2.360	2.360	2.360	2.360	2.360	2.360	0.564	Lab 13	1.316
Lab 30	2.088	0.027	2.088	2.088	2.088	2.088	2.088	2.088	2.088	2.088	2.088	2.088	0.166	Lab 4	<b>3.556</b>
Average	<b>2.003</b>		<b>2.024</b>	<b>1.992</b>	<b>1.982</b>	<b>1.978</b>	<b>1.976</b>	<b>1.975</b>	<b>1.974</b>	<b>1.974</b>	<b>1.974</b>	<b>1.973</b>			
SD	<b>0.886</b>	<b>0.659</b>	<b>0.489</b>	<b>0.542</b>	<b>0.572</b>	<b>0.587</b>	<b>0.595</b>	<b>0.600</b>	<b>0.602</b>	<b>0.603</b>	<b>0.604</b>	<b>0.604</b>			
New $x^*$	<b>2.115</b>	<b>0.325</b>	<b>2.024</b>	<b>1.992</b>	<b>1.982</b>	<b>1.978</b>	<b>1.976</b>	<b>1.975</b>	<b>1.974</b>	<b>1.974</b>	<b>1.974</b>	<b>1.973</b>			
New $s^*$	<b>0.481</b>		<b>0.555</b>	<b>0.615</b>	<b>0.649</b>	<b>0.666</b>	<b>0.675</b>	<b>0.680</b>	<b>0.683</b>	<b>0.684</b>	<b>0.685</b>	<b>0.685</b>	<b>1.134*SD</b>		

**ΣΗΜΕΙΩΣΗ:** Για τα εργαστήρια 4 και 7 τα δεδομένα έχουν προκύψει με σύγκριση των επιμέρους μέγιστων τιμών ανά ύψος σε κάθε θέση μέτρησης..



Πίνακας Π.120 Μέγιστη συνολική ένταση ηλεκτρικού πεδίου E(V/m): Σενάριο μέτρησης 2, Θέση μέτρησης 2

Number of laboratories=		18									Z-Score	Z-Score αύξουσα σειρά	
Iteration	0	$\bar{x}_i - x^*$	1	2	3	4	5	6	7	8			
$\bar{\delta} = 1.5s^*$	-		<b>0.474</b>	<b>0.521</b>	<b>0.554</b>	<b>0.573</b>	<b>0.583</b>	<b>0.588</b>	<b>0.591</b>	<b>0.592</b>			
$x^* - \bar{\delta}$	-		<b>1.060</b>	<b>0.943</b>	<b>0.894</b>	<b>0.871</b>	<b>0.859</b>	<b>0.853</b>	<b>0.850</b>	<b>0.848</b>			
$x^* + \bar{\delta}$	-		<b>2.009</b>	<b>1.985</b>	<b>2.003</b>	<b>2.017</b>	<b>2.025</b>	<b>2.029</b>	<b>2.032</b>	<b>2.033</b>			
Lab 2	0.554	0.980	1.060	0.943	0.894	0.871	0.859	0.853	0.850	0.848	-2.241	Lab 18	-3.183
Lab 4	3.370	1.836	2.009	1.985	2.003	2.017	2.025	2.029	2.032	2.033	4.879	Lab 2	-2.241
Lab 5	1.519	0.016	1.519	1.519	1.519	1.519	1.519	1.519	1.519	1.519	0.198	Lab 20	-1.033
Lab 7	1.682	0.148	1.682	1.682	1.682	1.682	1.682	1.682	1.682	1.682	0.611	Lab 16	-0.957
Lab 8	1.590	0.056	1.590	1.590	1.590	1.590	1.590	1.590	1.590	1.590	0.378	Lab 30	-0.761
Lab 10	1.550	0.016	1.550	1.550	1.550	1.550	1.550	1.550	1.550	1.550	0.277	Lab 22	-0.709
Lab 13	1.472	0.063	1.472	1.472	1.472	1.472	1.472	1.472	1.472	1.472	0.080	Lab 13	0.080
Lab 14	1.813	0.279	1.813	1.813	1.813	1.813	1.813	1.813	1.813	1.813	0.942	Lab 28	0.125
Lab 15	1.618	0.084	1.618	1.618	1.618	1.618	1.618	1.618	1.618	1.618	0.449	Lab 5	0.198
Lab 16	1.062	0.472	1.062	1.062	1.062	1.062	1.062	1.062	1.062	1.062	-0.957	Lab 10	0.277
Lab 18	0.182	1.353	1.060	0.943	0.894	0.871	0.859	0.853	0.850	0.848	-3.183	Lab 27	0.297
Lab 20	1.032	0.503	1.060	1.032	1.032	1.032	1.032	1.032	1.032	1.032	-1.033	Lab 8	0.378
Lab 21	1.601	0.067	1.601	1.601	1.601	1.601	1.601	1.601	1.601	1.601	0.406	Lab 21	0.406
Lab 22	1.160	0.375	1.160	1.160	1.160	1.160	1.160	1.160	1.160	1.160	-0.709	Lab 15	0.449
Lab 26	1.913	0.379	1.913	1.913	1.913	1.913	1.913	1.913	1.913	1.913	1.195	Lab 7	0.611
Lab 27	1.558	0.024	1.558	1.558	1.558	1.558	1.558	1.558	1.558	1.558	0.297	Lab 14	0.942
Lab 28	1.490	0.045	1.490	1.490	1.490	1.490	1.490	1.490	1.490	1.490	0.125	Lab 26	1.195
Lab 30	1.139	0.395	1.139	1.139	1.139	1.139	1.139	1.139	1.139	1.139	-0.761	Lab 4	4.879
Average	<b>1.461</b>		<b>1.464</b>	<b>1.448</b>	<b>1.444</b>	<b>1.442</b>	<b>1.441</b>	<b>1.441</b>	<b>1.441</b>	<b>1.441</b>			
SD	<b>0.646</b>	<b>0.509</b>	<b>0.306</b>	<b>0.326</b>	<b>0.337</b>	<b>0.343</b>	<b>0.346</b>	<b>0.347</b>	<b>0.348</b>	<b>0.349</b>			
New $x^*$	<b>1.535</b>	<b>0.213</b>	<b>1.464</b>	<b>1.448</b>	<b>1.444</b>	<b>1.442</b>	<b>1.441</b>	<b>1.441</b>	<b>1.441</b>	<b>1.441</b>			
New $s^*$	<b>0.316</b>		<b>0.347</b>	<b>0.369</b>	<b>0.382</b>	<b>0.388</b>	<b>0.392</b>	<b>0.394</b>	<b>0.395</b>	<b>0.395</b>	1.134*SD		

**ΣΗΜΕΙΩΣΗ:** Για τα εργαστήρια 4 και 7 τα δεδομένα έχουν προκύψει με σύγκριση των επιμέρους μέγιστων τιμών ανά ύψος σε κάθε θέση μέτρησης..

Πίνακας Π.121 Μέγιστη συνολική ένταση ηλεκτρικού πεδίου E(V/m): Σενάριο μέτρησης 2, Θέση μέτρησης 3

Number of laboratories=		13											Z-Score	Z-Score		
Iteration	0	xi-x*	1	2	3	4	5	...	7	8	9	10		11	αύξουσα	σειρά
$\bar{\delta}=1.5s^*$	-		<b>1.176</b>	<b>1.230</b>	<b>1.282</b>	<b>1.322</b>	<b>1.353</b>	...	<b>1.393</b>	<b>1.404</b>	<b>1.409</b>	<b>1.412</b>	<b>1.413</b>			
$x^*-\bar{\delta}$	-		<b>0.793</b>	<b>0.815</b>	<b>0.784</b>	<b>0.752</b>	<b>0.727</b>	...	<b>0.693</b>	<b>0.683</b>	<b>0.678</b>	<b>0.676</b>	<b>0.675</b>			
$x^*+\bar{\delta}$	-		<b>3.145</b>	<b>3.274</b>	<b>3.347</b>	<b>3.397</b>	<b>3.433</b>	...	<b>3.480</b>	<b>3.492</b>	<b>3.497</b>	<b>3.499</b>	<b>3.501</b>			
Lab 2	1.298	0.671	1.298	1.298	1.298	1.298	1.298	...	1.298	1.298	1.298	1.298	1.298	-0.838	Lab 18	-1.974
Lab 4	<b>6.250</b>	4.281	3.145	3.274	3.347	3.397	3.433	...	3.480	3.492	3.497	3.499	3.501	<b>4.417</b>	Lab 5	-1.090
Lab 5	1.061	0.908	1.061	1.061	1.061	1.061	1.061	...	1.061	1.061	1.061	1.061	1.061	-1.090	Lab 2	-0.838
Lab 7	1.947	0.022	1.947	1.947	1.947	1.947	1.947	...	1.947	1.947	1.947	1.947	1.947	-0.149	Lab 16	-0.352
Lab 8	2.500	0.531	2.500	2.500	2.500	2.500	2.500	...	2.500	2.500	2.500	2.500	2.500	0.438	Lab 22	-0.273
Lab 10	2.160	0.191	2.160	2.160	2.160	2.160	2.160	...	2.160	2.160	2.160	2.160	2.160	0.077	Lab 7	-0.149
Lab 13	3.470	1.501	3.145	3.274	3.347	3.397	3.433	...	3.470	3.470	3.470	3.470	3.470	1.467	Lab 21	-0.126
Lab 16	1.756	0.213	1.756	1.756	1.756	1.756	1.756	...	1.756	1.756	1.756	1.756	1.756	-0.352	Lab 10	0.077
Lab 18	<b>0.228</b>	1.741	0.793	0.815	0.784	0.752	0.727	...	0.693	0.683	0.678	0.676	0.675	<b>-1.974</b>	Lab 20	0.412
Lab 20	2.476	0.507	2.476	2.476	2.476	2.476	2.476	...	2.476	2.476	2.476	2.476	2.476	0.412	Lab 30	0.435
Lab 21	1.969	0.000	1.969	1.969	1.969	1.969	1.969	...	1.969	1.969	1.969	1.969	1.969	-0.126	Lab 8	0.438
Lab 22	1.830	0.139	1.830	1.830	1.830	1.830	1.830	...	1.830	1.830	1.830	1.830	1.830	-0.273	Lab 13	1.467
Lab 30	2.498	0.529	2.498	2.498	2.498	2.498	2.498	...	2.498	2.498	2.498	2.498	2.498	0.435	Lab 4	<b>4.417</b>
Average	<b>2.265</b>		<b>2.044</b>	<b>2.066</b>	<b>2.075</b>	<b>2.080</b>	<b>2.084</b>	...	<b>2.087</b>	<b>2.088</b>	<b>2.088</b>	<b>2.088</b>	<b>2.088</b>			
SD	<b>1.434</b>	<b>1.158</b>	<b>0.723</b>	<b>0.753</b>	<b>0.777</b>	<b>0.796</b>	<b>0.809</b>	...	<b>0.825</b>	<b>0.828</b>	<b>0.830</b>	<b>0.831</b>	<b>0.831</b>			
New $x^*$	<b>1.969</b>	<b>0.529</b>	<b>2.044</b>	<b>2.066</b>	<b>2.075</b>	<b>2.080</b>	<b>2.084</b>	...	<b>2.087</b>	<b>2.088</b>	<b>2.088</b>	<b>2.088</b>	<b>2.088</b>			
New $s^*$	<b>0.784</b>		<b>0.820</b>	<b>0.854</b>	<b>0.882</b>	<b>0.902</b>	<b>0.917</b>	...	<b>0.936</b>	<b>0.939</b>	<b>0.941</b>	<b>0.942</b>	<b>0.942</b>	<b>1.134*SD</b>		

**ΣΗΜΕΙΩΣΗ:** Για τα εργαστήρια 4 και 7 τα δεδομένα έχουν προκύψει με σύγκριση των επιμέρους μέγιστων τιμών ανά ύψος σε κάθε θέση μέτρησης..

Πίνακας Π.122 Μέγιστη συνολική ένταση ηλεκτρικού πεδίου E(V/m): Σενάριο μέτρησης 3, Θέση μέτρησης 1

Number of laboratories=		12													
Iteration	0	xi-x*	1	2	3	4	5	...	8	9	10	11	12	Z-Score	Z-Score αύξουσα σειρά
$\delta=1.5s^*$	-		<b>1.855</b>	<b>2.200</b>	<b>2.538</b>	<b>2.881</b>	<b>3.201</b>	...	<b>3.779</b>	<b>3.844</b>	<b>3.881</b>	<b>3.902</b>	<b>3.915</b>		
$x^*-\delta$	-		<b>15.279</b>	<b>15.024</b>	<b>14.717</b>	<b>14.387</b>	<b>14.082</b>	...	<b>13.572</b>	<b>13.508</b>	<b>13.471</b>	<b>13.450</b>	<b>13.438</b>		
$x^*+\delta$	-		<b>18.989</b>	<b>19.423</b>	<b>19.794</b>	<b>20.148</b>	<b>20.484</b>	...	<b>21.130</b>	<b>21.196</b>	<b>21.233</b>	<b>21.254</b>	<b>21.267</b>		
Lab 2	9.821	7.313	15.279	15.024	14.717	14.387	14.082	...	13.572	13.508	13.471	13.450	13.438	-2.881	Lab 2 -2.881
Lab 4	20.740	3.606	18.989	19.423	19.794	20.148	20.484	...	20.740	20.740	20.740	20.740	20.740	1.296	Lab 25 -1.087
Lab 7	17.926	0.792	17.926	17.926	17.926	17.926	17.926	...	17.926	17.926	17.926	17.926	17.926	0.219	Lab 28 -0.402
Lab 8	16.630	0.504	16.630	16.630	16.630	16.630	16.630	...	16.630	16.630	16.630	16.630	16.630	-0.276	Lab 8 -0.276
Lab 13	24.690	7.556	18.989	19.423	19.794	20.148	20.484	...	21.130	21.196	21.233	21.254	21.267	2.807	Lab 22 -0.135
Lab 20	17.780	0.646	17.780	17.780	17.780	17.780	17.780	...	17.780	17.780	17.780	17.780	17.780	0.164	Lab 31 -0.083
Lab 21	18.150	1.016	18.150	18.150	18.150	18.150	18.150	...	18.150	18.150	18.150	18.150	18.150	0.305	Lab 20 0.164
Lab 22	17.000	0.134	17.000	17.000	17.000	17.000	17.000	...	17.000	17.000	17.000	17.000	17.000	-0.135	Lab 7 0.219
Lab 25	14.510	2.624	15.279	15.024	14.717	14.510	14.510	...	14.510	14.510	14.510	14.510	14.510	-1.087	Lab 21 0.305
Lab 28	16.300	0.834	16.300	16.300	16.300	16.300	16.300	...	16.300	16.300	16.300	16.300	16.300	-0.402	Lab 4 1.296
Lab 31	17.134	0.000	17.134	17.134	17.134	17.134	17.134	...	17.134	17.134	17.134	17.134	17.134	-0.083	Lab 13 2.807
Average	<b>17.335</b>		<b>17.223</b>	<b>17.256</b>	<b>17.268</b>	<b>17.283</b>	<b>17.316</b>	...	<b>17.352</b>	<b>17.352</b>	<b>17.352</b>	<b>17.352</b>	<b>17.352</b>		
SD	<b>3.648</b>	<b>2.767</b>	<b>1.293</b>	<b>1.492</b>	<b>1.694</b>	<b>1.882</b>	<b>2.033</b>	...	<b>2.260</b>	<b>2.282</b>	<b>2.294</b>	<b>2.301</b>	<b>2.305</b>		
New $x^*$	<b>17.134</b>	<b>0.834</b>	<b>17.223</b>	<b>17.256</b>	<b>17.268</b>	<b>17.283</b>	<b>17.316</b>	...	<b>17.352</b>	<b>17.352</b>	<b>17.352</b>	<b>17.352</b>	<b>17.352</b>		
New $s^*$	<b>1.237</b>		<b>1.467</b>	<b>1.692</b>	<b>1.920</b>	<b>2.134</b>	<b>2.305</b>	...	<b>2.563</b>	<b>2.587</b>	<b>2.602</b>	<b>2.610</b>	<b>2.614</b>	<b>1.134*SD</b>	

**ΣΗΜΕΙΩΣΗ:** Για τα εργαστήρια 4 και 7 τα δεδομένα έχουν προκύψει με σύγκριση των επιμέρους μέγιστων τιμών ανά ύψος σε κάθε θέση μέτρησης..

**Πίνακας Π.123 Μέγιστη συνολική ένταση ηλεκτρικού πεδίου E(V/m): Σενάριο μέτρησης 3, Θέση μέτρησης 2**

Number of laboratories=		<b>12</b>												
Iteration	0	$\chi_i - x^*$	1	2	3	4	5	6	7	8	9	Z-Score	Z-Score αύξουσα σειρά	
$\bar{\delta} = 1.5s^*$	-		<b>1.846</b>	<b>2.186</b>	<b>2.457</b>	<b>2.681</b>	<b>2.871</b>	<b>3.021</b>	<b>3.111</b>	<b>3.144</b>	<b>3.157</b>			
$x^* - \bar{\delta}$	-		<b>16.684</b>	<b>16.265</b>	<b>15.941</b>	<b>15.678</b>	<b>15.457</b>	<b>15.277</b>	<b>15.158</b>	<b>15.113</b>	<b>15.097</b>			
$x^* + \bar{\delta}$	-		<b>20.376</b>	<b>20.637</b>	<b>20.855</b>	<b>21.041</b>	<b>21.199</b>	<b>21.319</b>	<b>21.379</b>	<b>21.402</b>	<b>21.411</b>			
<b>Lab 2</b>	<b>7.040</b>	11.490	16.684	16.265	15.941	15.678	15.457	15.277	15.158	15.113	15.097	<b>-5.319</b>	<b>Lab 2</b>	<b>-5.319</b>
Lab 4	18.530	0.000	18.530	18.530	18.530	18.530	18.530	18.530	18.530	18.530	18.530	0.132	Lab 25	-1.396
Lab 7	18.823	0.293	18.823	18.823	18.823	18.823	18.823	18.823	18.823	18.823	18.823	0.271	Lab 13	-0.409
Lab 8	19.360	0.830	19.360	19.360	19.360	19.360	19.360	19.360	19.360	19.360	19.360	0.525	Lab 22	-0.215
Lab 13	17.390	1.140	17.390	17.390	17.390	17.390	17.390	17.390	17.390	17.390	17.390	-0.409	Lab 28	-0.120
Lab 20	18.970	0.440	18.970	18.970	18.970	18.970	18.970	18.970	18.970	18.970	18.970	0.340	Lab 4	0.132
Lab 21	20.340	1.810	20.340	20.340	20.340	20.340	20.340	20.340	20.340	20.340	20.340	0.990	Lab 7	0.271
Lab 22	17.800	0.730	17.800	17.800	17.800	17.800	17.800	17.800	17.800	17.800	17.800	-0.215	Lab 20	0.340
Lab 25	15.310	3.220	16.684	16.265	15.941	15.678	15.457	15.310	15.310	15.310	15.310	-1.396	Lab 8	0.525
Lab 28	18.000	0.530	18.000	18.000	18.000	18.000	18.000	18.000	18.000	18.000	18.000	-0.120	Lab 21	0.990
Lab 31	21.155	2.625	20.376	20.637	20.855	21.041	21.155	21.155	21.155	21.155	21.155	1.377	Lab 31	1.377
Average	<b>17.520</b>		<b>18.451</b>	<b>18.398</b>	<b>18.359</b>	<b>18.328</b>	<b>18.298</b>	<b>18.269</b>	<b>18.258</b>	<b>18.254</b>	<b>18.252</b>			
SD	<b>3.800</b>	<b>3.273</b>	<b>1.285</b>	<b>1.445</b>	<b>1.576</b>	<b>1.688</b>	<b>1.776</b>	<b>1.829</b>	<b>1.849</b>	<b>1.856</b>	<b>1.859</b>			
New $x^*$	<b>18.530</b>	<b>0.830</b>	<b>18.451</b>	<b>18.398</b>	<b>18.359</b>	<b>18.328</b>	<b>18.298</b>	<b>18.269</b>	<b>18.258</b>	<b>18.254</b>	<b>18.252</b>			
New $s^*$	<b>1.231</b>		<b>1.457</b>	<b>1.638</b>	<b>1.788</b>	<b>1.914</b>	<b>2.014</b>	<b>2.074</b>	<b>2.096</b>	<b>2.105</b>	<b>2.108</b>	<b>1.134*SD</b>		

**ΣΗΜΕΙΩΣΗ:** Για τα εργαστήρια 4 και 7 τα δεδομένα έχουν προκύψει με σύγκριση των επιμέρους μέγιστων τιμών ανά ύψος σε κάθε θέση μέτρησης..

Πίνακας Π.124 Μέγιστη συνολική ένταση ηλεκτρικού πεδίου E(V/m): Σενάριο μέτρησης 1, Θέση μέτρησης 1, Ύψος μέτρησης 1.5m

Number of laboratories=		9													Z-Score	Z-Score	
Iteration	0	xi-x*	1	2	3	4	5	...	10	11	12	13	14	αύξουσα		σειρά	
$\bar{\delta}=1.5s^*$	-		<b>0.425</b>	<b>0.490</b>	<b>0.531</b>	<b>0.559</b>	<b>0.578</b>	...	<b>0.617</b>	<b>0.619</b>	<b>0.621</b>	<b>0.623</b>	<b>0.624</b>				
$x^*-\bar{\delta}$	-		<b>1.573</b>	<b>1.560</b>	<b>1.530</b>	<b>1.505</b>	<b>1.486</b>	...	<b>1.448</b>	<b>1.445</b>	<b>1.444</b>	<b>1.442</b>	<b>1.441</b>				
$x^*+\bar{\delta}$	-		<b>2.423</b>	<b>2.539</b>	<b>2.592</b>	<b>2.623</b>	<b>2.643</b>	...	<b>2.682</b>	<b>2.684</b>	<b>2.686</b>	<b>2.688</b>	<b>2.689</b>				
Lab 2	1.163	0.835	1.573	1.560	1.530	1.505	1.486	...	1.448	1.445	1.444	1.442	1.441	-2.167	Lab 2	-2.167	
Lab 3	1.710	0.288	1.710	1.710	1.710	1.710	1.710	...	1.710	1.710	1.710	1.710	1.710	-0.853	Lab 3	-0.853	
Lab 4	3.080	1.082	2.423	2.539	2.592	2.623	2.643	...	2.682	2.684	2.686	2.688	2.689	2.439	Lab 22	-0.204	
Lab 7	2.155	0.157	2.155	2.155	2.155	2.155	2.155	...	2.155	2.155	2.155	2.155	2.155	0.218	Lab 20	-0.175	
Lab 17	2.189	0.191	2.189	2.189	2.189	2.189	2.189	...	2.189	2.189	2.189	2.189	2.189	0.298	Lab 18	-0.161	
Lab 18	1.998	0.000	1.998	1.998	1.998	1.998	1.998	...	1.998	1.998	1.998	1.998	1.998	-0.161	Lab 7	0.218	
Lab 20	1.992	0.006	1.992	1.992	1.992	1.992	1.992	...	1.992	1.992	1.992	1.992	1.992	-0.175	Lab 17	0.298	
Lab 21	2.430	0.432	2.423	2.430	2.430	2.430	2.430	...	2.430	2.430	2.430	2.430	2.430	0.877	Lab 21	0.877	
Lab 22	1.980	0.018	1.980	1.980	1.980	1.980	1.980	...	1.980	1.980	1.980	1.980	1.980	-0.204	Lab 4	2.439	
Average	<b>2.077</b>		<b>2.049</b>	<b>2.061</b>	<b>2.064</b>	<b>2.065</b>	<b>2.065</b>	...	<b>2.065</b>	<b>2.065</b>	<b>2.065</b>	<b>2.065</b>	<b>2.065</b>				
SD	<b>0.517</b>	<b>0.386</b>	<b>0.288</b>	<b>0.312</b>	<b>0.329</b>	<b>0.340</b>	<b>0.348</b>	...	<b>0.364</b>	<b>0.365</b>	<b>0.366</b>	<b>0.367</b>	<b>0.367</b>				
New $x^*$	1.998	0.191	2.049	2.061	2.064	2.065	2.065	...	2.065	2.065	2.065	2.065	2.065	2.065			
New $s^*$	0.283		0.326	0.354	0.373	0.386	0.395	...	0.413	0.414	0.415	0.416	0.416	1.134*SD			

**ΣΗΜΕΙΩΣΗ:** Για το εργαστήριο 17 έχει χρησιμοποιηθεί η τιμή που προκύπτει ως συνδυασμός των x, y, z συνιστωσών και όχι η συνολική τιμή που δίνεται στους πίνακες με τα max μεγέθη.

Πίνακας Π.125 Μέγιστη συνολική ένταση ηλεκτρικού πεδίου E(V/m): Σενάριο μέτρησης 1, Θέση μέτρησης 1, Ύψος μέτρησης 1.7m

Number of laboratories=		8							Z-Score	Z-Score	
Iteration	0	xi-x*	1	2	3	4	5	6	αύξουσα		
$\delta=1.5s^*$	-		<b>0.606</b>	<b>0.597</b>	<b>0.608</b>	<b>0.614</b>	<b>0.617</b>	<b>0.619</b>			
$x^*-\delta$	-		<b>1.362</b>	<b>1.334</b>	<b>1.320</b>	<b>1.313</b>	<b>1.309</b>	<b>1.306</b>	σειρά		
$x^*+\delta$	-		<b>2.574</b>	<b>2.529</b>	<b>2.537</b>	<b>2.541</b>	<b>2.543</b>	<b>2.544</b>			
Lab 1	1.593	0.375	1.593	1.593	1.593	1.593	1.593	1.593	-0.804	Lab 2	-1.682
Lab 2	1.230	0.738	1.362	1.334	1.320	1.313	1.309	1.306	-1.682	Lab 1	-0.804
Lab 3	1.740	0.228	1.740	1.740	1.740	1.740	1.740	1.740	-0.448	Lab 3	-0.448
Lab 4	2.390	0.422	2.390	2.390	2.390	2.390	2.390	2.390	1.125	Lab 7	0.026
Lab 7	1.936	0.032	1.936	1.936	1.936	1.936	1.936	1.936	0.026	Lab 21	0.182
Lab 20	2.285	0.317	2.285	2.285	2.285	2.285	2.285	2.285	0.871	Lab 22	0.545
Lab 21	2.000	0.032	2.000	2.000	2.000	2.000	2.000	2.000	0.182	Lab 20	0.871
Lab 22	2.150	0.182	2.150	2.150	2.150	2.150	2.150	2.150	0.545	Lab 4	1.125
Average	<b>1.915</b>		<b>1.932</b>	<b>1.929</b>	<b>1.927</b>	<b>1.926</b>	<b>1.925</b>	<b>1.925</b>			
SD	<b>0.383</b>	<b>0.231</b>	<b>0.351</b>	<b>0.358</b>	<b>0.361</b>	<b>0.363</b>	<b>0.364</b>	<b>0.364</b>			
New $x^*$	<b>1.968</b>	<b>0.273</b>	<b>1.932</b>	<b>1.929</b>	<b>1.927</b>	<b>1.926</b>	<b>1.925</b>	<b>1.925</b>			
New $s^*$	<b>0.404</b>		<b>0.398</b>	<b>0.406</b>	<b>0.409</b>	<b>0.411</b>	<b>0.413</b>	<b>0.413</b>	1.134*SD		

**Πίνακας Π.126 Μέγιστη συνολική ένταση ηλεκτρικού πεδίου E(V/m): Σενάριο μέτρησης 1, Θέση μέτρησης 2, Ύψος μέτρησης 1.5m**

Number of laboratories=		9					
Iteration	0	xi-x*	1	2	Z-Score	Z-Score	Z-Score
$\delta=1.5s^*$	-		<b>0.905</b>	<b>0.806</b>			
$x^*-\delta$	-		<b>0.485</b>	<b>0.596</b>			
$x^*+\delta$	-		<b>2.295</b>	<b>2.208</b>			
Lab 2	0.701	0.689	0.701	0.701	-1.305	Lab 2	-1.305
Lab 3	0.983	0.407	0.983	0.983	-0.779	Lab 17	-0.781
Lab 4	2.200	0.810	2.200	2.200	1.486	Lab 3	-0.779
Lab 7	1.430	0.040	1.430	1.430	0.053	Lab 18	-0.106
Lab 17	0.982	0.408	0.982	0.982	-0.781	Lab 22	-0.022
Lab 18	1.345	0.045	1.345	1.345	-0.106	Lab 7	0.053
Lab 20	1.849	0.459	1.849	1.849	0.832	Lab 21	0.622
Lab 21	1.736	0.346	1.736	1.736	0.622	Lab 20	0.832
Lab 22	1.390	0.000	1.390	1.390	-0.022	Lab 4	1.486
Average	<b>1.402</b>		<b>1.402</b>	<b>1.402</b>			
SD	<b>0.474</b>	<b>0.286</b>	<b>0.474</b>	<b>0.474</b>			
New x*	<b>1.390</b>	<b>0.407</b>	<b>1.402</b>	<b>1.402</b>			
New s*	<b>0.604</b>		<b>0.537</b>	<b>0.537</b>	<b>1.134*SD</b>		

**ΣΗΜΕΙΩΣΗ:** Για το εργαστήριο 17 έχει χρησιμοποιηθεί η τιμή που προκύπτει ως συνδυασμός των x, y, z συνιστωσών και όχι η συνολική τιμή που δίνεται στους πίνακες με τα max μεγέθη.

Πίνακας Π.127 Μέγιστη συνολική ένταση ηλεκτρικού πεδίου E(V/m): Σενάριο μέτρησης 1, Θέση μέτρησης 2, Ύψος μέτρησης 1.7m

Number of laboratories=		8												
Iteration	0	xi-x*	1	2	3	4	5	6	7	8	9	Z-Score	Z-Score αύξουσα σειρά	
$\delta=1.5s^*$	-		<b>0.707</b>	<b>0.753</b>	<b>0.788</b>	<b>0.816</b>	<b>0.839</b>	<b>0.848</b>	<b>0.852</b>	<b>0.855</b>	<b>0.856</b>			
$x^*-\delta$	-		<b>0.941</b>	<b>0.874</b>	<b>0.833</b>	<b>0.804</b>	<b>0.781</b>	<b>0.774</b>	<b>0.771</b>	<b>0.769</b>	<b>0.768</b>			
$x^*+\delta$	-		<b>2.355</b>	<b>2.379</b>	<b>2.409</b>	<b>2.436</b>	<b>2.458</b>	<b>2.470</b>	<b>2.476</b>	<b>2.479</b>	<b>2.481</b>			
Lab 1	1.631	0.017	1.631	1.631	1.631	1.631	1.631	1.631	1.631	1.631	1.631	0.011	Lab 2	-1.438
Lab 2	0.803	0.845	0.941	0.874	0.833	0.804	0.803	0.803	0.803	0.803	0.803	-1.438	Lab 3	-0.604
Lab 3	1.280	0.368	1.280	1.280	1.280	1.280	1.280	1.280	1.280	1.280	1.280	-0.604	Lab 22	-0.429
Lab 4	<b>4.200</b>	2.552	2.355	2.379	2.409	2.436	2.458	2.470	2.476	2.479	2.481	<b>4.506</b>	Lab 1	0.011
Lab 7	2.051	0.403	2.051	2.051	2.051	2.051	2.051	2.051	2.051	2.051	2.051	0.746	Lab 20	0.070
Lab 20	1.665	0.017	1.665	1.665	1.665	1.665	1.665	1.665	1.665	1.665	1.665	0.070	Lab 21	0.145
Lab 21	1.708	0.060	1.708	1.708	1.708	1.708	1.708	1.708	1.708	1.708	1.708	0.145	Lab 7	0.746
Lab 22	1.380	0.268	1.380	1.380	1.380	1.380	1.380	1.380	1.380	1.380	1.380	-0.429	Lab 4	<b>4.506</b>
Average	<b>1.840</b>		<b>1.626</b>	<b>1.621</b>	<b>1.620</b>	<b>1.619</b>	<b>1.622</b>	<b>1.624</b>	<b>1.624</b>	<b>1.625</b>	<b>1.625</b>			
SD	<b>1.022</b>	<b>0.848</b>	<b>0.443</b>	<b>0.463</b>	<b>0.480</b>	<b>0.493</b>	<b>0.498</b>	<b>0.501</b>	<b>0.503</b>	<b>0.503</b>	<b>0.504</b>			
New x*	<b>1.648</b>	<b>0.318</b>	<b>1.626</b>	<b>1.621</b>	<b>1.620</b>	<b>1.619</b>	<b>1.622</b>	<b>1.624</b>	<b>1.624</b>	<b>1.625</b>	<b>1.625</b>			
New s*	<b>0.472</b>		<b>0.502</b>	<b>0.525</b>	<b>0.544</b>	<b>0.559</b>	<b>0.565</b>	<b>0.568</b>	<b>0.570</b>	<b>0.571</b>	<b>0.571</b>	<b>1.134*SD</b>		



Πίνακας Π.128 Μέγιστη συνολική ένταση ηλεκτρικού πεδίου E(V/m): Σενάριο μέτρησης 1, Θέση μέτρησης 3, Ύψος μέτρησης 1.5m

Number of laboratories=		9												Z-Score	Z-Score	
Iteration	0	$\bar{x}$	1	2	3	4	5	...	10	11	12	13	14		αύξουσα	σειρά
$\bar{\delta}=1.5s^*$	-		<b>0.413</b>	<b>0.506</b>	<b>0.568</b>	<b>0.608</b>	<b>0.635</b>	...	<b>0.689</b>	<b>0.693</b>	<b>0.695</b>	<b>0.697</b>	<b>0.699</b>			
$x^*-\bar{\delta}$	-		<b>2.008</b>	<b>1.968</b>	<b>1.922</b>	<b>1.885</b>	<b>1.858</b>	...	<b>1.804</b>	<b>1.800</b>	<b>1.798</b>	<b>1.796</b>	<b>1.795</b>			
$x^*+\bar{\delta}$	-		<b>2.834</b>	<b>2.981</b>	<b>3.057</b>	<b>3.100</b>	<b>3.128</b>	...	<b>3.183</b>	<b>3.186</b>	<b>3.189</b>	<b>3.191</b>	<b>3.192</b>			
Lab 2	1.005	1.416	2.008	1.968	1.922	1.885	1.858	...	1.804	1.800	1.798	1.796	1.795	-3.191	Lab 2	-3.191
Lab 3	2.840	0.419	2.834	2.840	2.840	2.840	2.840	...	2.840	2.840	2.840	2.840	2.840	0.744	Lab 7	-0.553
Lab 4	4.790	2.369	2.834	2.981	3.057	3.100	3.128	...	3.183	3.186	3.189	3.191	3.192	4.924	Lab 17	-0.446
Lab 7	2.236	0.185	2.236	2.236	2.236	2.236	2.236	...	2.236	2.236	2.236	2.236	2.236	-0.553	Lab 21	-0.221
Lab 17	2.285	0.136	2.285	2.285	2.285	2.285	2.285	...	2.285	2.285	2.285	2.285	2.285	-0.446	Lab 18	-0.155
Lab 18	2.421	0.000	2.421	2.421	2.421	2.421	2.421	...	2.421	2.421	2.421	2.421	2.421	-0.155	Lab 20	-0.133
Lab 20	2.431	0.010	2.431	2.431	2.431	2.431	2.431	...	2.431	2.431	2.431	2.431	2.431	-0.133	Lab 3	0.744
Lab 21	2.390	0.031	2.390	2.390	2.390	2.390	2.390	...	2.390	2.390	2.390	2.390	2.390	-0.221	Lab 22	0.765
Lab 22	2.850	0.429	2.834	2.850	2.850	2.850	2.850	...	2.850	2.850	2.850	2.850	2.850	0.765	Lab 4	4.924
Average	<b>2.583</b>		<b>2.475</b>	<b>2.489</b>	<b>2.492</b>	<b>2.493</b>	<b>2.493</b>	...	<b>2.493</b>	<b>2.493</b>	<b>2.493</b>	<b>2.493</b>	<b>2.493</b>			
SD	<b>0.987</b>	<b>0.811</b>	<b>0.298</b>	<b>0.334</b>	<b>0.357</b>	<b>0.373</b>	<b>0.385</b>	...	<b>0.407</b>	<b>0.409</b>	<b>0.410</b>	<b>0.411</b>	<b>0.411</b>			
New $x^*$	<b>2.421</b>	<b>0.185</b>	<b>2.475</b>	<b>2.489</b>	<b>2.492</b>	<b>2.493</b>	<b>2.493</b>	...	<b>2.493</b>	<b>2.493</b>	<b>2.493</b>	<b>2.493</b>	<b>2.493</b>			
New $s^*$	<b>0.275</b>		<b>0.338</b>	<b>0.378</b>	<b>0.405</b>	<b>0.424</b>	<b>0.436</b>	...	<b>0.462</b>	<b>0.464</b>	<b>0.465</b>	<b>0.466</b>	<b>0.466</b>	1.134*SD		

**ΣΗΜΕΙΩΣΗ:** Για το εργαστήριο 17 έχει χρησιμοποιηθεί η τιμή που προκύπτει ως συνδυασμός των x, y, z συνιστωσών και όχι η συνολική τιμή που δίνεται στους πίνακες με τα max μεγέθη.

Πίνακας Π.129 Μέγιστη συνολική ένταση ηλεκτρικού πεδίου E(V/m): Σενάριο μέτρησης 1, Θέση μέτρησης 3, Ύψος μέτρησης 1.7m

Number of laboratories=		9													Z-Score	Z-Score αύξουσα σειρά	
Iteration	0	xi-x*	1	2	3	4	5	...	14	15	16	17	18				
$\bar{\delta}=1.5s^*$	-		<b>0.640</b>	<b>0.731</b>	<b>0.826</b>	<b>0.923</b>	<b>1.023</b>	...	<b>1.267</b>	<b>1.270</b>	<b>1.273</b>	<b>1.275</b>	<b>1.276</b>				
$x^*-\bar{\delta}$	-		<b>1.840</b>	<b>1.781</b>	<b>1.706</b>	<b>1.627</b>	<b>1.544</b>	...	<b>1.310</b>	<b>1.306</b>	<b>1.304</b>	<b>1.302</b>	<b>1.301</b>				
$x^*+\bar{\delta}$	-		<b>3.120</b>	<b>3.243</b>	<b>3.359</b>	<b>3.473</b>	<b>3.589</b>	...	<b>3.843</b>	<b>3.847</b>	<b>3.849</b>	<b>3.851</b>	<b>3.852</b>				
Lab 1	2.515	0.035	2.515	2.515	2.515	2.515	2.515	...	2.515	2.515	2.515	2.515	2.515	-0.072	Lab 2	-1.886	
Lab 2	0.971	1.509	1.840	1.781	1.706	1.627	1.544	...	1.310	1.306	1.304	1.302	1.301	-1.886	Lab 22	-0.489	
Lab 3	2.480	0.000	2.480	2.480	2.480	2.480	2.480	...	2.480	2.480	2.480	2.480	2.480	-0.113	Lab 7	-0.451	
Lab 4	<b>4.700</b>	2.220	3.120	3.243	3.359	3.473	3.589	...	3.843	3.847	3.849	3.851	3.852	<b>2.495</b>	Lab 29	-0.166	
Lab 7	2.192	0.288	2.192	2.192	2.192	2.192	2.192	...	2.192	2.192	2.192	2.192	2.192	-0.451	Lab 3	-0.113	
Lab 20	3.509	1.029	3.120	3.243	3.359	3.473	3.509	...	3.509	3.509	3.509	3.509	3.509	1.096	Lab 1	-0.072	
Lab 21	2.744	0.264	2.744	2.744	2.744	2.744	2.744	...	2.744	2.744	2.744	2.744	2.744	0.197	Lab 21	0.197	
Lab 22	2.160	0.320	2.160	2.160	2.160	2.160	2.160	...	2.160	2.160	2.160	2.160	2.160	-0.489	Lab 20	1.096	
Lab 29	2.435	0.045	2.435	2.435	2.435	2.435	2.435	...	2.435	2.435	2.435	2.435	2.435	-0.166	Lab 4	<b>2.495</b>	
Average	<b>2.634</b>		<b>2.512</b>	<b>2.533</b>	<b>2.550</b>	<b>2.567</b>	<b>2.574</b>	...	<b>2.576</b>	<b>2.576</b>	<b>2.576</b>	<b>2.576</b>	<b>2.576</b>				
SD	<b>1.019</b>	<b>0.783</b>	<b>0.430</b>	<b>0.486</b>	<b>0.543</b>	<b>0.601</b>	<b>0.647</b>	...	<b>0.747</b>	<b>0.748</b>	<b>0.749</b>	<b>0.750</b>	<b>0.751</b>				
New $x^*$	<b>2.480</b>	<b>0.288</b>	<b>2.512</b>	<b>2.533</b>	<b>2.550</b>	<b>2.567</b>	<b>2.574</b>	...	<b>2.576</b>	<b>2.576</b>	<b>2.576</b>	<b>2.576</b>	<b>2.576</b>				
New $s^*$	<b>0.427</b>		<b>0.488</b>	<b>0.551</b>	<b>0.616</b>	<b>0.682</b>	<b>0.733</b>	...	<b>0.847</b>	<b>0.848</b>	<b>0.850</b>	<b>0.851</b>	<b>0.851</b>	1.134*SD			

Πίνακας Π.130 Μέγιστη συνολική ένταση ηλεκτρικού πεδίου E(V/m): Σενάριο μέτρησης 2, Θέση μέτρησης 1, Ύψος μέτρησης 1.5m

Number of laboratories=		10													Z-Score	Z-Score αύξουσα σειρά	
Iteration	0	xi-x*	1	2	3	4	5	...	16	17	18	19	20				
$\bar{\delta}=1.5s^*$	-		<b>0.465</b>	<b>0.560</b>	<b>0.636</b>	<b>0.703</b>	<b>0.764</b>	...	<b>1.181</b>	<b>1.185</b>	<b>1.189</b>	<b>1.191</b>	<b>1.192</b>				
$x^*-\bar{\delta}$	-		<b>1.366</b>	<b>1.282</b>	<b>1.200</b>	<b>1.124</b>	<b>1.053</b>	...	<b>0.581</b>	<b>0.576</b>	<b>0.572</b>	<b>0.570</b>	<b>0.569</b>				
$x^*+\bar{\delta}$	-		<b>2.296</b>	<b>2.403</b>	<b>2.472</b>	<b>2.529</b>	<b>2.581</b>	...	<b>2.942</b>	<b>2.947</b>	<b>2.950</b>	<b>2.952</b>	<b>2.953</b>				
Lab 2	0.694	1.138	1.366	1.282	1.200	1.124	1.053	...	0.694	0.694	0.694	0.694	0.694	-1.343	Lab 18	-1.814	
Lab 4	<b>3.540</b>	1.709	2.296	2.403	2.472	2.529	2.581	...	2.942	2.947	2.950	2.952	2.953	<b>2.237</b>	Lab 2	-1.343	
Lab 7	1.723	0.108	1.723	1.723	1.723	1.723	1.723	...	1.723	1.723	1.723	1.723	1.723	-0.048	Lab 22	-0.102	
Lab 18	0.319	1.512	1.366	1.282	1.200	1.124	1.053	...	0.581	0.576	0.572	0.570	0.569	-1.814	Lab 7	-0.048	
Lab 20	1.949	0.118	1.949	1.949	1.949	1.949	1.949	...	1.949	1.949	1.949	1.949	1.949	0.236	Lab 28	0.024	
Lab 21	2.283	0.452	2.283	2.283	2.283	2.283	2.283	...	2.283	2.283	2.283	2.283	2.283	0.656	Lab 27	0.152	
Lab 22	1.680	0.151	1.680	1.680	1.680	1.680	1.680	...	1.680	1.680	1.680	1.680	1.680	-0.102	Lab 20	0.236	
Lab 26	2.098	0.267	2.098	2.098	2.098	2.098	2.098	...	2.098	2.098	2.098	2.098	2.098	0.424	Lab 26	0.424	
Lab 27	1.882	0.051	1.882	1.882	1.882	1.882	1.882	...	1.882	1.882	1.882	1.882	1.882	0.152	Lab 21	0.656	
Lab 28	1.780	0.051	1.780	1.780	1.780	1.780	1.780	...	1.780	1.780	1.780	1.780	1.780	0.024	Lab 4	<b>2.237</b>	
Average	<b>1.795</b>		<b>1.842</b>	<b>1.836</b>	<b>1.827</b>	<b>1.817</b>	<b>1.808</b>	...	<b>1.761</b>	<b>1.761</b>	<b>1.761</b>	<b>1.761</b>	<b>1.761</b>				
SD	<b>0.870</b>	<b>0.645</b>	<b>0.329</b>	<b>0.374</b>	<b>0.413</b>	<b>0.449</b>	<b>0.483</b>	...	<b>0.697</b>	<b>0.699</b>	<b>0.700</b>	<b>0.701</b>	<b>0.701</b>				
New $x^*$	<b>1.831</b>	<b>0.209</b>	<b>1.842</b>	<b>1.836</b>	<b>1.827</b>	<b>1.817</b>	<b>1.808</b>	...	<b>1.761</b>	<b>1.761</b>	<b>1.761</b>	<b>1.761</b>	<b>1.761</b>				
New $s^*$	<b>0.310</b>		<b>0.373</b>	<b>0.424</b>	<b>0.468</b>	<b>0.509</b>	<b>0.547</b>	...	<b>0.790</b>	<b>0.792</b>	<b>0.794</b>	<b>0.795</b>	<b>0.795</b>	1.134*SD			

Πίνακας Π.131 Μέγιστη συνολική ένταση ηλεκτρικού πεδίου E(V/m): Σενάριο μέτρησης 2, Θέση μέτρησης 1, Ύψος μέτρησης 1.7m

Number of laboratories=		9														
Iteration	0	$\chi_i - x^*$	1	2	3	4	5	...	10	11	12	13	14	Z-Score	Z-Score	
$\delta = 1.5s^*$	-		<b>0.378</b>	<b>0.436</b>	<b>0.479</b>	<b>0.509</b>	<b>0.529</b>	...	<b>0.569</b>	<b>0.571</b>	<b>0.573</b>	<b>0.575</b>	<b>0.576</b>			
$x^* - \delta$	-		<b>1.572</b>	<b>1.555</b>	<b>1.524</b>	<b>1.497</b>	<b>1.478</b>	...	<b>1.438</b>	<b>1.435</b>	<b>1.434</b>	<b>1.432</b>	<b>1.431</b>			
$x^* + \delta$	-		<b>2.328</b>	<b>2.426</b>	<b>2.483</b>	<b>2.515</b>	<b>2.536</b>	...	<b>2.576</b>	<b>2.578</b>	<b>2.580</b>	<b>2.582</b>	<b>2.583</b>			
Lab 2	0.610	1.340	1.572	1.555	1.524	1.497	1.478	...	1.438	1.435	1.434	1.432	1.431	-3.635	Lab 2 -3.635	
Lab 4	3.090	1.140	2.328	2.426	2.483	2.515	2.536	...	2.576	2.578	2.580	2.582	2.583	2.819	Lab 21 -0.635	
Lab 7	1.939	0.011	1.939	1.939	1.939	1.939	1.939	...	1.939	1.939	1.939	1.939	1.939	-0.176	Lab 26 -0.523	
Lab 20	2.110	0.160	2.110	2.110	2.110	2.110	2.110	...	2.110	2.110	2.110	2.110	2.110	0.268	Lab 7 -0.176	
Lab 21	1.763	0.187	1.763	1.763	1.763	1.763	1.763	...	1.763	1.763	1.763	1.763	1.763	-0.635	Lab 27 -0.148	
Lab 22	2.120	0.170	2.120	2.120	2.120	2.120	2.120	...	2.120	2.120	2.120	2.120	2.120	0.294	Lab 20 0.268	
Lab 26	1.806	0.144	1.806	1.806	1.806	1.806	1.806	...	1.806	1.806	1.806	1.806	1.806	-0.523	Lab 22 0.294	
Lab 27	1.950	0.000	1.950	1.950	1.950	1.950	1.950	...	1.950	1.950	1.950	1.950	1.950	-0.148	Lab 28 0.919	
Lab 28	2.360	0.410	2.328	2.360	2.360	2.360	2.360	...	2.360	2.360	2.360	2.360	2.360	0.919	Lab 4 2.819	
Average	<b>1.972</b>		<b>1.991</b>	<b>2.003</b>	<b>2.006</b>	<b>2.007</b>	<b>2.007</b>	...	<b>2.007</b>	<b>2.007</b>	<b>2.007</b>	<b>2.007</b>	<b>2.007</b>			
SD	<b>0.649</b>	<b>0.495</b>	<b>0.256</b>	<b>0.282</b>	<b>0.299</b>	<b>0.311</b>	<b>0.319</b>	...	<b>0.336</b>	<b>0.337</b>	<b>0.338</b>	<b>0.338</b>	<b>0.339</b>			
New $x^*$	<b>1.950</b>	<b>0.170</b>	<b>1.991</b>	<b>2.003</b>	<b>2.006</b>	<b>2.007</b>	<b>2.007</b>	...	<b>2.007</b>	<b>2.007</b>	<b>2.007</b>	<b>2.007</b>	<b>2.007</b>			
New $s^*$	<b>0.252</b>		<b>0.290</b>	<b>0.320</b>	<b>0.339</b>	<b>0.353</b>	<b>0.362</b>	...	<b>0.381</b>	<b>0.382</b>	<b>0.383</b>	<b>0.384</b>	<b>0.384</b>	1.134*SD		

Πίνακας Π.132 Μέγιστη συνολική ένταση ηλεκτρικού πεδίου E(V/m): Σενάριο μέτρησης 2, Θέση μέτρησης 2, Ύψος μέτρησης 1.5m

Number of laboratories=		10													Z-Score	Z-Score	
Iteration	0	xi-x*	1	2	3	4	5	...	9	10	11	12	13	αύξουσα		σειρά	
$\bar{\delta}=1.5s^*$	-		<b>0.632</b>	<b>0.743</b>	<b>0.815</b>	<b>0.859</b>	<b>0.886</b>	...	<b>0.924</b>	<b>0.927</b>	<b>0.929</b>	<b>0.930</b>	<b>0.931</b>				
$x^*-\bar{\delta}$	-		<b>0.486</b>	<b>0.405</b>	<b>0.335</b>	<b>0.292</b>	<b>0.265</b>	...	<b>0.226</b>	<b>0.224</b>	<b>0.222</b>	<b>0.221</b>	<b>0.220</b>				
$x^*+\bar{\delta}$	-		<b>1.750</b>	<b>1.891</b>	<b>1.966</b>	<b>2.010</b>	<b>2.037</b>	...	<b>2.075</b>	<b>2.078</b>	<b>2.080</b>	<b>2.081</b>	<b>2.082</b>				
Lab 2	0.450	0.668	0.486	0.450	0.450	0.450	0.450	...	0.450	0.450	0.450	0.450	0.450	-1.129	Lab 18	-1.560	
Lab 4	2.160	1.042	1.750	1.891	1.966	2.010	2.037	...	2.075	2.078	2.080	2.081	2.082	1.625	Lab 2	-1.129	
Lab 7	1.682	0.564	1.682	1.682	1.682	1.682	1.682	...	1.682	1.682	1.682	1.682	1.682	0.856	Lab 28	-0.227	
Lab 18	0.182	0.936	0.486	0.405	0.335	0.292	0.265	...	0.226	0.224	0.222	0.221	0.220	-1.560	Lab 20	-0.203	
Lab 20	1.025	0.093	1.025	1.025	1.025	1.025	1.025	...	1.025	1.025	1.025	1.025	1.025	-0.203	Lab 22	-0.066	
Lab 21	1.286	0.168	1.286	1.286	1.286	1.286	1.286	...	1.286	1.286	1.286	1.286	1.286	0.218	Lab 26	-0.040	
Lab 22	1.110	0.008	1.110	1.110	1.110	1.110	1.110	...	1.110	1.110	1.110	1.110	1.110	-0.066	Lab 21	0.218	
Lab 26	1.126	0.008	1.126	1.126	1.126	1.126	1.126	...	1.126	1.126	1.126	1.126	1.126	-0.040	Lab 27	0.591	
Lab 27	1.518	0.400	1.518	1.518	1.518	1.518	1.518	...	1.518	1.518	1.518	1.518	1.518	0.591	Lab 7	0.856	
Lab 28	1.010	0.108	1.010	1.010	1.010	1.010	1.010	...	1.010	1.010	1.010	1.010	1.010	-0.227	Lab 4	1.625	
Average	<b>1.155</b>		<b>1.148</b>	<b>1.150</b>	<b>1.151</b>	<b>1.151</b>	<b>1.151</b>	...	<b>1.151</b>	<b>1.151</b>	<b>1.151</b>	<b>1.151</b>	<b>1.151</b>				
SD	<b>0.570</b>	<b>0.386</b>	<b>0.437</b>	<b>0.479</b>	<b>0.505</b>	<b>0.521</b>	<b>0.531</b>	...	<b>0.545</b>	<b>0.546</b>	<b>0.547</b>	<b>0.547</b>	<b>0.548</b>				
New x*	<b>1.118</b>	<b>0.284</b>	<b>1.148</b>	<b>1.150</b>	<b>1.151</b>	<b>1.151</b>	<b>1.151</b>	...	<b>1.151</b>	<b>1.151</b>	<b>1.151</b>	<b>1.151</b>	<b>1.151</b>	<b>1.151</b>			
New s*	<b>0.421</b>		<b>0.495</b>	<b>0.544</b>	<b>0.573</b>	<b>0.591</b>	<b>0.602</b>	...	<b>0.618</b>	<b>0.619</b>	<b>0.620</b>	<b>0.621</b>	<b>0.621</b>	<b>1.134*SD</b>			

Πίνακας Π.133 Μέγιστη συνολική ένταση ηλεκτρικού πεδίου E(V/m): Σενάριο μέτρησης 2, Θέση μέτρησης 2, Ύψος μέτρησης 1.7m

Number of laboratories=		9									
Iteration	0	xi-x*	1	2	3	4	5	6	Z-Score	Z-Score	
										αύξουσα	σειρά
$\delta=1.5s^*$	-		<b>0.807</b>	<b>0.832</b>	<b>0.848</b>	<b>0.859</b>	<b>0.867</b>	<b>0.869</b>			
$x^*-\delta$	-		<b>0.683</b>	<b>0.597</b>	<b>0.568</b>	<b>0.553</b>	<b>0.545</b>	<b>0.543</b>			
$x^*+\delta$	-		<b>2.297</b>	<b>2.261</b>	<b>2.263</b>	<b>2.272</b>	<b>2.279</b>	<b>2.282</b>			
Lab 2	0.554	0.936	0.683	0.597	0.568	0.554	0.554	0.554	-1.480	Lab 2	-1.480
Lab 4	<b>3.370</b>	1.880	2.297	2.261	2.263	2.272	2.279	2.282	<b>3.372</b>	Lab 20	-0.657
Lab 7	1.127	0.363	1.127	1.127	1.127	1.127	1.127	1.127	-0.492	Lab 7	-0.492
Lab 20	1.032	0.458	1.032	1.032	1.032	1.032	1.032	1.032	-0.657	Lab 22	-0.436
Lab 21	1.601	0.111	1.601	1.601	1.601	1.601	1.601	1.601	0.324	Lab 28	0.132
Lab 22	1.160	0.330	1.160	1.160	1.160	1.160	1.160	1.160	-0.436	Lab 27	0.250
Lab 26	1.913	0.423	1.913	1.913	1.913	1.913	1.913	1.913	0.861	Lab 21	0.324
Lab 27	1.558	0.068	1.558	1.558	1.558	1.558	1.558	1.558	0.250	Lab 26	0.861
Lab 28	1.490	0.000	1.490	1.490	1.490	1.490	1.490	1.490	0.132	Lab 4	<b>3.372</b>
Average	<b>1.534</b>		<b>1.429</b>	<b>1.415</b>	<b>1.412</b>	<b>1.412</b>	<b>1.413</b>	<b>1.413</b>			
SD	<b>0.794</b>	<b>0.585</b>	<b>0.489</b>	<b>0.498</b>	<b>0.505</b>	<b>0.510</b>	<b>0.511</b>	<b>0.512</b>			
New $x^*$	<b>1.490</b>	<b>0.363</b>	<b>1.429</b>	<b>1.415</b>	<b>1.412</b>	<b>1.412</b>	<b>1.413</b>	<b>1.413</b>			
New $s^*$	<b>0.538</b>		<b>0.555</b>	<b>0.565</b>	<b>0.573</b>	<b>0.578</b>	<b>0.580</b>	<b>0.580</b>			1.134*SD

Πίνακας Π.134 Μέγιστη συνολική ένταση ηλεκτρικού πεδίου E(V/m): Σενάριο μέτρησης 2, Θέση μέτρησης 3, Ύψος μέτρησης 1.5m

Number of laboratories=		10													Z-Score		Z-Score	
Iteration	0	xi-x*	1	2	3	4	5	...	9	10	11	12	13	Z-Score	Z-Score	αύξουσα σειρά		
$\bar{\delta}=1.5s^*$	-		<b>0.781</b>	<b>0.856</b>	<b>0.930</b>	<b>1.000</b>	<b>1.057</b>	...	<b>1.138</b>	<b>1.144</b>	<b>1.147</b>	<b>1.150</b>	<b>1.151</b>					
$x^*-\bar{\delta}$	-		<b>1.049</b>	<b>0.944</b>	<b>0.853</b>	<b>0.771</b>	<b>0.705</b>	...	<b>0.623</b>	<b>0.617</b>	<b>0.614</b>	<b>0.611</b>	<b>0.610</b>					
$x^*+\bar{\delta}$	-		<b>2.611</b>	<b>2.655</b>	<b>2.713</b>	<b>2.771</b>	<b>2.820</b>	...	<b>2.899</b>	<b>2.905</b>	<b>2.909</b>	<b>2.911</b>	<b>2.912</b>					
Lab 2	0.801	1.029	1.049	0.944	0.853	0.801	0.801	...	0.801	0.801	0.801	0.801	0.801	-1.249	Lab 18	-1.996		
Lab 4	<b>6.250</b>	4.420	2.611	2.655	2.713	2.771	2.820	...	2.899	2.905	2.909	2.911	2.912	<b>5.844</b>	Lab 2	-1.249		
Lab 7	1.518	0.312	1.518	1.518	1.518	1.518	1.518	...	1.518	1.518	1.518	1.518	1.518	-0.316	Lab 7	-0.316		
Lab 18	<b>0.228</b>	1.602	1.049	0.944	0.853	0.771	0.705	...	0.623	0.617	0.614	0.611	0.610	<b>-1.996</b>	Lab 20	-0.057		
Lab 20	1.717	0.113	1.717	1.717	1.717	1.717	1.717	...	1.717	1.717	1.717	1.717	1.717	-0.057	Lab 22	0.090		
Lab 21	1.905	0.075	1.905	1.905	1.905	1.905	1.905	...	1.905	1.905	1.905	1.905	1.905	0.187	Lab 28	0.090		
Lab 22	1.830	0.000	1.830	1.830	1.830	1.830	1.830	...	1.830	1.830	1.830	1.830	1.830	0.090	Lab 21	0.187		
Lab 26	2.220	0.390	2.220	2.220	2.220	2.220	2.220	...	2.220	2.220	2.220	2.220	2.220	0.597	Lab 26	0.597		
Lab 27	2.267	0.437	2.267	2.267	2.267	2.267	2.267	...	2.267	2.267	2.267	2.267	2.267	0.659	Lab 27	0.659		
Lab 28	1.830	0.000	1.830	1.830	1.830	1.830	1.830	...	1.830	1.830	1.830	1.830	1.830	0.090	Lab 4	<b>5.844</b>		
Average	<b>2.057</b>		<b>1.800</b>	<b>1.783</b>	<b>1.771</b>	<b>1.763</b>	<b>1.761</b>	...	<b>1.761</b>	<b>1.761</b>	<b>1.761</b>	<b>1.761</b>	<b>1.761</b>					
SD	<b>1.602</b>	<b>1.358</b>	<b>0.503</b>	<b>0.546</b>	<b>0.588</b>	<b>0.622</b>	<b>0.643</b>	...	<b>0.672</b>	<b>0.675</b>	<b>0.676</b>	<b>0.677</b>	<b>0.677</b>					
New $x^*$	<b>1.830</b>	<b>0.351</b>	<b>1.800</b>	<b>1.783</b>	<b>1.771</b>	<b>1.763</b>	<b>1.761</b>	...	<b>1.761</b>	<b>1.761</b>	<b>1.761</b>	<b>1.761</b>	<b>1.761</b>					
New $s^*$	<b>0.520</b>		<b>0.570</b>	<b>0.620</b>	<b>0.667</b>	<b>0.705</b>	<b>0.729</b>	...	<b>0.763</b>	<b>0.765</b>	<b>0.767</b>	<b>0.768</b>	<b>0.768</b>	<b>1.134*SD</b>				

Πίνακας Π.135 Μέγιστη συνολική ένταση ηλεκτρικού πεδίου E(V/m): Σενάριο μέτρησης 2, Θέση μέτρησης 3, Ύψος μέτρησης 1.7m

Number of laboratories=		9					
Iteration	0	xi-x*	1	2	Z-Score	Z-Score	Z-Score
						αύξουσα	σειρά
$\delta=1.5s^*$	-		<b>1.219</b>	<b>1.123</b>			
$x^*-\delta$	-		<b>0.961</b>	<b>1.154</b>			
$x^*+\delta$	-		<b>3.399</b>	<b>3.399</b>			
Lab 2	1.298	0.882	1.298	1.298	-1.307	Lab 2	-1.307
Lab 4	<b>5.070</b>	2.890	3.399	3.399	<b>3.732</b>	Lab 22	-0.891
Lab 7	1.947	0.233	1.947	1.947	-0.441	Lab 7	-0.441
Lab 20	2.476	0.296	2.476	2.476	0.266	Lab 21	-0.411
Lab 21	1.969	0.211	1.969	1.969	-0.411	Lab 28	-0.129
Lab 22	1.610	0.570	1.610	1.610	-0.891	Lab 20	0.266
Lab 26	2.728	0.548	2.728	2.728	0.603	Lab 26	0.603
Lab 27	2.882	0.702	2.882	2.882	0.809	Lab 27	0.809
Lab 28	2.180	0.000	2.180	2.180	-0.129	Lab 4	<b>3.732</b>
Average	<b>2.462</b>		<b>2.277</b>	<b>2.277</b>			
SD	<b>1.102</b>	<b>0.865</b>	<b>0.660</b>	<b>0.660</b>			
New $x^*$	<b>2.180</b>	<b>0.548</b>	<b>2.277</b>	<b>2.277</b>			
New $s^*$	<b>0.813</b>		<b>0.748</b>	<b>0.748</b>	<b>1.134*SD</b>		



Πίνακας Π.136 Μέγιστη συνολική ένταση ηλεκτρικού πεδίου E(V/m): Σενάριο μέτρησης 3, Θέση μέτρησης 1, Ύψος μέτρησης 1.5m

Number of laboratories=			8					
Iteration	0	xi-x*	1	2	3	Z-Score	Z-Score αύξουσα σειρά	
$\delta=1.5s^*$	-		<b>1.980</b>	<b>1.966</b>	<b>2.063</b>			
$x^*-\delta$	-		<b>14.772</b>	<b>14.496</b>	<b>14.367</b>			
$x^*+\delta$	-		<b>18.732</b>	<b>18.428</b>	<b>18.492</b>			
Lab 4	17.430	0.678	17.430	17.430	17.430	0.728	Lab 25	-1.396
Lab 7	16.874	0.122	16.874	16.874	16.874	0.323	Lab 28	-0.894
Lab 8	16.630	0.122	16.630	16.630	16.630	0.146	Lab 20	-0.567
Lab 20	15.650	1.102	15.650	15.650	15.650	-0.567	Lab 8	0.146
Lab 21	18.140	1.388	18.140	18.140	18.140	1.244	Lab 7	0.323
Lab 22	17.000	0.248	17.000	17.000	17.000	0.415	Lab 22	0.415
Lab 25	14.510	2.242	14.772	14.510	14.510	-1.396	Lab 4	0.728
Lab 28	15.200	1.552	15.200	15.200	15.200	-0.894	Lab 21	1.244
Average	<b>16.429</b>		<b>16.462</b>	<b>16.429</b>	<b>16.429</b>			
SD	<b>1.213</b>	<b>0.773</b>	<b>1.156</b>	<b>1.213</b>	<b>1.213</b>			
New $x^*$	<b>16.752</b>	<b>0.890</b>	<b>16.462</b>	<b>16.429</b>	<b>16.429</b>			
New $s^*$	<b>1.320</b>		<b>1.310</b>	<b>1.375</b>	<b>1.375</b>	<b>1.134*SD</b>		

Πίνακας Π.137 Μέγιστη συνολική ένταση ηλεκτρικού πεδίου E(V/m): Σενάριο μέτρησης 3, Θέση μέτρησης 1, Ύψος μέτρησης 1.7m

Number of laboratories=		6						
Iteration	0	xi-x*	1	2	3	Z-Score	Z-Score αύξουσα σειρά	
$\delta=1.5s^*$	-		<b>1.795</b>	<b>2.008</b>	<b>2.124</b>			
$x^*-\delta$	-		<b>16.058</b>	<b>15.556</b>	<b>15.397</b>			
$x^*+\delta$	-		<b>19.648</b>	<b>19.572</b>	<b>19.645</b>			
Lab 4	19.170	1.317	19.170	19.170	19.170	1.164	Lab 22	-1.215
Lab 7	17.926	0.073	17.926	17.926	17.926	0.286	Lab 28	-0.862
Lab 20	17.780	0.073	17.780	17.780	17.780	0.183	Lab 20	0.183
Lab 21	18.150	0.297	18.150	18.150	18.150	0.444	Lab 7	0.286
Lab 22	15.800	2.053	16.058	15.800	15.800	-1.215	Lab 21	0.444
Lab 28	16.300	1.553	16.300	16.300	16.300	-0.862	Lab 4	1.164
Average	<b>17.521</b>		<b>17.564</b>	<b>17.521</b>	<b>17.521</b>			
SD	<b>1.249</b>	<b>0.856</b>	<b>1.180</b>	<b>1.249</b>	<b>1.249</b>			
New x*	<b>17.853</b>	<b>0.807</b>	<b>17.564</b>	<b>17.521</b>	<b>17.521</b>			
New s*	<b>1.197</b>		<b>1.339</b>	<b>1.416</b>	<b>1.416</b>	<b>1.134*SD</b>		

Πίνακας Π.138 Μέγιστη συνολική ένταση ηλεκτρικού πεδίου E(V/m): Σενάριο μέτρησης 3, Θέση μέτρησης 2, Ύψος μέτρησης 1.5m

Number of laboratories=		8										
Iteration	0	xi-x*	1	2	3	4	5	6	7	Z-Score	Z-Score αύξουσα σειρά	
$\delta=1.5s^*$	-		<b>1.846</b>	<b>2.134</b>	<b>2.316</b>	<b>2.406</b>	<b>2.453</b>	<b>2.478</b>	<b>2.492</b>			
$x^*-\delta$	-		<b>16.604</b>	<b>16.130</b>	<b>15.895</b>	<b>15.776</b>	<b>15.714</b>	<b>15.680</b>	<b>15.663</b>			
$x^*+\delta$	-		<b>20.296</b>	<b>20.399</b>	<b>20.526</b>	<b>20.587</b>	<b>20.619</b>	<b>20.637</b>	<b>20.646</b>			
Lab 4	18.530	0.080	18.530	18.530	18.530	18.530	18.530	18.530	18.530	0.227	Lab 25	-1.706
Lab 7	18.556	0.106	18.556	18.556	18.556	18.556	18.556	18.556	18.556	0.242	Lab 28	-0.872
Lab 8	19.360	0.910	19.360	19.360	19.360	19.360	19.360	19.360	19.360	0.725	Lab 22	-0.272
Lab 20	18.370	0.080	18.370	18.370	18.370	18.370	18.370	18.370	18.370	0.131	Lab 20	0.131
Lab 21	20.340	1.890	20.296	20.340	20.340	20.340	20.340	20.340	20.340	1.313	Lab 4	0.227
Lab 22	17.700	0.750	17.700	17.700	17.700	17.700	17.700	17.700	17.700	-0.272	Lab 7	0.242
Lab 25	15.310	3.140	16.604	16.130	15.895	15.776	15.714	15.680	15.663	-1.706	Lab 8	0.725
Lab 28	16.700	1.750	16.700	16.700	16.700	16.700	16.700	16.700	16.700	-0.872	Lab 21	1.313
Average	<b>18.108</b>		<b>18.264</b>	<b>18.211</b>	<b>18.181</b>	<b>18.166</b>	<b>18.159</b>	<b>18.155</b>	<b>18.152</b>			
SD	<b>1.557</b>	<b>1.098</b>	<b>1.255</b>	<b>1.361</b>	<b>1.414</b>	<b>1.442</b>	<b>1.457</b>	<b>1.465</b>	<b>1.469</b>			
New $x^*$	<b>18.450</b>	<b>0.830</b>	<b>18.264</b>	<b>18.211</b>	<b>18.181</b>	<b>18.166</b>	<b>18.159</b>	<b>18.155</b>	<b>18.152</b>			
New $s^*$	<b>1.231</b>		<b>1.423</b>	<b>1.544</b>	<b>1.604</b>	<b>1.635</b>	<b>1.652</b>	<b>1.661</b>	<b>1.666</b>	<b>1.134*SD</b>		

Πίνακας Π.139 Μέγιστη συνολική ένταση ηλεκτρικού πεδίου E(V/m): Σενάριο μέτρησης 3, Θέση μέτρησης 2, Ύψος μέτρησης 1.7m

Number of laboratories=		6											Z-Score	Z-Score		
Iteration	0	xi-x*	1	2	3	4	5	6	7	8	9	10		11	αύξουσα	σειρά
$\delta=1.5s^*$	-		1.301	1.545	1.680	1.775	1.844	1.893	1.929	1.956	1.975	1.990	2.000			
$x^*-\delta$	-		17.110	16.839	16.658	16.533	16.444	16.380	16.333	16.299	16.273	16.255	16.241			
$x^*+\delta$	-		19.713	19.929	20.019	20.084	20.131	20.166	20.191	20.210	20.224	20.234	20.242			
Lab 4	15.500	2.911	17.110	16.839	16.658	16.533	16.444	16.380	16.333	16.299	16.273	16.255	16.241	-2.046	Lab 4	-2.046
Lab 7	18.823	0.411	18.823	18.823	18.823	18.823	18.823	18.823	18.823	18.823	18.823	18.823	18.823	0.436	Lab 22	-0.328
Lab 20	18.970	0.559	18.970	18.970	18.970	18.970	18.970	18.970	18.970	18.970	18.970	18.970	18.970	0.546	Lab 28	-0.179
Lab 21	19.600	1.189	19.600	19.600	19.600	19.600	19.600	19.600	19.600	19.600	19.600	19.600	19.600	1.017	Lab 7	0.436
Lab 22	17.800	0.611	17.800	17.800	17.800	17.800	17.800	17.800	17.800	17.800	17.800	17.800	17.800	-0.328	Lab 20	0.546
Lab 28	18.000	0.411	18.000	18.000	18.000	18.000	18.000	18.000	18.000	18.000	18.000	18.000	18.000	-0.179	Lab 21	1.017
Average	18.115		18.384	18.339	18.309	18.288	18.273	18.262	18.254	18.249	18.244	18.241	18.239			
SD	1.441	0.972	0.908	0.988	1.044	1.084	1.113	1.134	1.150	1.161	1.170	1.176	1.181			
New $x^*$	18.411	0.585	18.384	18.339	18.309	18.288	18.273	18.262	18.254	18.249	18.244	18.241	18.239			
New $s^*$	0.868		1.030	1.120	1.184	1.229	1.262	1.286	1.304	1.317	1.326	1.334	1.339	1.134*SD		

**Πίνακας Π.140 Μέση Ένταση ηλεκτρικού πεδίου E(V/m) στη φασματική περιοχή GSM(880-1000MHz):  
Σενάριο μέτρησης 1, Θέση μέτρησης 1**

Number of laboratories=		7												Z-Score	Z-Score		
Iteration	0	xi-x*	1	2	3	4	5	6	7	8	9	10	11		12	αύξουσα	σειρά
$\delta=1.5s^*$	-		<b>0.3403</b>	<b>0.3770</b>	<b>0.4472</b>	<b>0.5218</b>	<b>0.6019</b>	<b>0.6888</b>	<b>0.7837</b>	<b>0.8877</b>	<b>0.9624</b>	<b>1.0069</b>	<b>1.0340</b>	<b>1.0473</b>			
$x^*-\delta$	-		<b>1.2257</b>	<b>1.2474</b>	<b>1.2043</b>	<b>1.1576</b>	<b>1.1067</b>	<b>1.0510</b>	<b>0.9899</b>	<b>0.9226</b>	<b>0.8738</b>	<b>0.8436</b>	<b>0.8249</b>	<b>0.8157</b>			
$x^*+\delta$	-		<b>1.9063</b>	<b>2.0014</b>	<b>2.0987</b>	<b>2.2011</b>	<b>2.3105</b>	<b>2.4287</b>	<b>2.5573</b>	<b>2.6981</b>	<b>2.7986</b>	<b>2.8575</b>	<b>2.8929</b>	<b>2.9103</b>			
Lab 3	1.380	0.1860	1.3800	1.3800	1.3800	1.3800	1.3800	1.3800	1.3800	1.3800	1.3800	1.3800	1.3800	1.3800	-0.692	Lab 3	-0.692
Lab 6	1.566	0.0000	1.5660	1.5660	1.5660	1.5660	1.5660	1.5660	1.5660	1.5660	1.5660	1.5660	1.5660	1.5660	-0.425	Lab 23	-0.614
Lab 10	1.459	0.1070	1.4590	1.4590	1.4590	1.4590	1.4590	1.4590	1.4590	1.4590	1.4590	1.4590	1.4590	1.4590	-0.579	Lab 10	-0.579
Lab 12	1.719	0.1530	1.7190	1.7190	1.7190	1.7190	1.7190	1.7190	1.7190	1.7190	1.7190	1.7190	1.7190	1.7190	-0.206	Lab 6	-0.425
Lab 17	2.886	1.3199	1.9063	2.0014	2.0987	2.2011	2.3105	2.4287	2.5573	2.6981	2.7986	2.8575	2.8859	2.8859	1.465	Lab 12	-0.206
Lab 18	2.597	1.0311	1.9063	2.0014	2.0987	2.2011	2.3105	2.4287	2.5573	2.5971	2.5971	2.5971	2.5971	2.5971	1.051	Lab 18	1.051
Lab 23	1.434	0.1320	1.4340	1.4340	1.4340	1.4340	1.4340	1.4340	1.4340	1.4340	1.4340	1.4340	1.4340	1.4340	-0.614	Lab 17	1.465
Average	<b>1.8630</b>		<b>1.6244</b>	<b>1.6515</b>	<b>1.6794</b>	<b>1.7086</b>	<b>1.7399</b>	<b>1.7736</b>	<b>1.8104</b>	<b>1.8362</b>	<b>1.8505</b>	<b>1.8589</b>	<b>1.8630</b>	<b>1.8630</b>			
SD	<b>0.6157</b>	<b>0.5270</b>	<b>0.2216</b>	<b>0.2629</b>	<b>0.3067</b>	<b>0.3539</b>	<b>0.4050</b>	<b>0.4607</b>	<b>0.5219</b>	<b>0.5658</b>	<b>0.5920</b>	<b>0.6079</b>	<b>0.6157</b>	<b>0.6157</b>			
New x*	<b>1.5660</b>	<b>0.1530</b>	<b>1.6244</b>	<b>1.6515</b>	<b>1.6794</b>	<b>1.7086</b>	<b>1.7399</b>	<b>1.7736</b>	<b>1.8104</b>	<b>1.8362</b>	<b>1.8505</b>	<b>1.8589</b>	<b>1.8630</b>	<b>1.8630</b>			
New s*	<b>0.2269</b>		<b>0.2513</b>	<b>0.2981</b>	<b>0.3479</b>	<b>0.4013</b>	<b>0.4592</b>	<b>0.5225</b>	<b>0.5918</b>	<b>0.6416</b>	<b>0.6713</b>	<b>0.6893</b>	<b>0.6982</b>	<b>0.6982</b>	<b>1.134*SD</b>		

**ΣΗΜΕΙΩΣΗ:** Για το εργαστήριο 18 χρησιμοποιήθηκε η τετραγωνική ρίζα του αθροίσματος των τετραγώνων των τιμών στις φασματικές περιοχές 935.1-947.5MHz και 947.7-959.9MHz

**Πίνακας Π.141 Μέση Ένταση ηλεκτρικού πεδίου E(V/m) στη φασματική περιοχή GSM(880-1000MHz):  
Σενάριο μέτρησης 1, Θέση μέτρησης 2**

Number of laboratories=			7				
Iteration	0	$\chi_i - x^*$	1	2	Z-Score	Z-Score αύξουσα σειρά	
$\bar{\delta} = 1.5s^*$	-		<b>0.9411</b>	<b>0.9038</b>			
$x^* - \bar{\delta}$	-		<b>0.2789</b>	<b>0.2524</b>			
$x^* + \bar{\delta}$	-		<b>2.1611</b>	<b>2.0600</b>			
Lab 3	0.879	0.3410	0.8790	0.8790	-0.460	Lab 23	-1.189
Lab 6	1.450	0.2300	1.4500	1.4500	0.488	Lab 12	-0.903
Lab 10	1.220	0.0000	1.2200	1.2200	0.106	Lab 3	-0.460
Lab 12	0.612	0.6080	0.6120	0.6120	-0.903	Lab 10	0.106
Lab 17	1.643	0.4231	1.6431	1.6431	0.808	Lab 6	0.488
Lab 18	1.849	0.6293	1.8493	1.8493	1.150	Lab 17	0.808
Lab 23	0.440	0.7800	0.4400	0.4400	-1.189	Lab 18	1.150
Average	<b>1.156</b>		<b>1.1562</b>	<b>1.1562</b>			
SD	<b>0.531</b>	<b>0.2667</b>	<b>0.5313</b>	<b>0.5313</b>			
New $x^*$	<b>1.220</b>	<b>0.4231</b>	<b>1.1562</b>	<b>1.1562</b>			
New $s^*$	<b>0.627</b>		<b>0.6025</b>	<b>0.6025</b>	<b>1.134*SD</b>		

**ΣΗΜΕΙΩΣΗ:** Για το εργαστήριο 18 χρησιμοποιήθηκε η τετραγωνική ρίζα του αθροίσματος των τετραγώνων των τιμών στις φασματικές περιοχές 935.1-947.5MHz και 947.7-959.9MHz

**Πίνακας Π.142 Μέση Ένταση ηλεκτρικού πεδίου E(V/m) στη φασματική περιοχή GSM(880-1000MHz):  
Σενάριο μέτρησης 1, Θέση μέτρησης 3**

Number of laboratories=		<b>6</b>											Z-Score	Z-Score	
Iteration	0	xi-x*	1	2	3	4	5	...	15	16	17	18		αύξουσα	σειρά
$\bar{\delta}=1.5s^*$	-		<b>0.2124</b>	<b>0.2564</b>	<b>0.2993</b>	<b>0.3424</b>	<b>0.3862</b>	...	<b>0.5477</b>	<b>0.5496</b>	<b>0.5511</b>	<b>0.5521</b>			
$x^*-\bar{\delta}$	-		<b>1.8841</b>	<b>1.8394</b>	<b>1.7963</b>	<b>1.7532</b>	<b>1.7093</b>	...	<b>1.5732</b>	<b>1.5718</b>	<b>1.5708</b>	<b>1.5700</b>			
$x^*+\bar{\delta}$	-		<b>2.3089</b>	<b>2.3522</b>	<b>2.3949</b>	<b>2.4379</b>	<b>2.4817</b>	...	<b>2.6686</b>	<b>2.6711</b>	<b>2.6729</b>	<b>2.6743</b>			
Lab 3	2.190	0.0935	2.1900	2.1900	2.1900	2.1900	2.1900	...	2.1900	2.1900	2.1900	2.1900	0.183	Lab 23	-1.206
Lab 6	2.147	0.0505	2.1470	2.1470	2.1470	2.1470	2.1470	...	2.1470	2.1470	2.1470	2.1470	0.067	Lab 10	-0.335
Lab 10	1.999	0.0975	1.9990	1.9990	1.9990	1.9990	1.9990	...	1.9990	1.9990	1.9990	1.9990	-0.335	Lab 12	-0.207
Lab 12	2.046	0.0505	2.0460	2.0460	2.0460	2.0460	2.0460	...	2.0460	2.0460	2.0460	2.0460	-0.207	Lab 6	0.067
<b>Lab 17</b>	<b>3.454</b>	1.3571	2.3089	2.3522	2.3949	2.4379	2.4817	...	2.6686	2.6711	2.6729	2.6743	<b>3.612</b>	Lab 3	0.183
Lab 23	1.678	0.4185	1.8841	1.8394	1.7963	1.7532	1.7093	...	1.6780	1.6780	1.6780	1.6780	-1.206	<b>Lab 17</b>	<b>3.612</b>
Average	<b>2.2523</b>		<b>2.0958</b>	<b>2.0956</b>	<b>2.0955</b>	<b>2.0955</b>	<b>2.0955</b>	...	<b>2.1214</b>	<b>2.1218</b>	<b>2.1222</b>	<b>2.1224</b>			
SD	<b>0.6156</b>	<b>0.5153</b>	<b>0.1507</b>	<b>0.1760</b>	<b>0.2013</b>	<b>0.2270</b>	<b>0.2536</b>	...	<b>0.3231</b>	<b>0.3240</b>	<b>0.3246</b>	<b>0.3251</b>			
New x*	<b>2.0965</b>	<b>0.0955</b>	<b>2.0958</b>	<b>2.0956</b>	<b>2.0955</b>	<b>2.0955</b>	<b>2.0955</b>	...	<b>2.1214</b>	<b>2.1218</b>	<b>2.1222</b>	<b>2.1224</b>			
New s*	<b>0.1416</b>		<b>0.1709</b>	<b>0.1996</b>	<b>0.2282</b>	<b>0.2575</b>	<b>0.2876</b>	...	<b>0.3664</b>	<b>0.3674</b>	<b>0.3681</b>	<b>0.3686</b>	<b>1.134*SD</b>		

**Πίνακας Π.143 Μέση Ένταση ηλεκτρικού πεδίου E(V/m) στη φασματική περιοχή GSM(880-1000MHz):  
Σενάριο μέτρησης 1, Θέση μέτρησης 1, Ύψος μέτρησης 1.1m**

Number of laboratories=		<b>6</b>						
Iteration	0	xi-x*	1	2	3	Z-Score	Z-Score αύξουσα σειρά	
$\delta=1.5s^*$	-		<b>0.406</b>	<b>0.482</b>	<b>0.514</b>			
$x^*-\delta$	-		<b>1.019</b>	<b>0.963</b>	<b>0.936</b>			
$x^*+\delta$	-		<b>1.831</b>	<b>1.927</b>	<b>1.964</b>			
Lab 4	1.880	0.455	1.831	1.880	1.880	1.254	Lab 23	-1.309
Lab 11	1.441	0.016	1.441	1.441	1.441	-0.026	Lab 29	-0.432
Lab 12	1.409	0.016	1.409	1.409	1.409	-0.120	Lab 12	-0.120
Lab 13	1.667	0.242	1.667	1.667	1.667	0.633	Lab 11	-0.026
Lab 23	1.001	0.424	1.019	1.001	1.001	-1.309	Lab 13	0.633
Lab 29	1.302	0.123	1.302	1.302	1.302	-0.432	Lab 4	1.254
Average	<b>1.450</b>		<b>1.445</b>	<b>1.450</b>	<b>1.450</b>			
SD	<b>0.302</b>	<b>0.195</b>	<b>0.283</b>	<b>0.302</b>	<b>0.302</b>			
New $x^*$	<b>1.425</b>	<b>0.183</b>	<b>1.445</b>	<b>1.450</b>	<b>1.450</b>			
New $s^*$	<b>0.271</b>		<b>0.321</b>	<b>0.343</b>	<b>0.343</b>	<b>1.134*SD</b>		

**ΣΗΜΕΙΩΣΗ:** Για το εργαστήριο 11 χρησιμοποιήθηκε η τετραγωνική ρίζα του αθροίσματος των τετραγώνων των τιμών στις φασματικές περιοχές 876-880MHz και 890-960MHz



**Πίνακας Π.144 Μέση Ένταση ηλεκτρικού πεδίου E(V/m) στη φασματική περιοχή GSM(880-1000MHz):  
Σενάριο μέτρησης 1, Θέση μέτρησης 1, Ύψος μέτρησης 1.5m**

Number of laboratories=		<b>11</b>					
Iteration	0	xi-x*	1	2	3	Z-Score	Z-Score αύξουσα σειρά
$\bar{\delta}=1.5s^*$	-		<b>0.664</b>	<b>0.674</b>	<b>0.676</b>		
$x^*-\bar{\delta}$	-		<b>1.277</b>	<b>1.263</b>	<b>1.262</b>		
$x^*+\bar{\delta}$	-		<b>2.606</b>	<b>2.612</b>	<b>2.614</b>		
Lab 3	1.480	0.462	1.480	1.480	1.480	-1.016	Lab 3 -1.016
Lab 4	2.190	0.248	2.190	2.190	2.190	0.558	Lab 23 -0.883
Lab 6	1.676	0.266	1.676	1.676	1.676	-0.582	Lab 11 -0.679
Lab 7	1.942	0.000	1.942	1.942	1.942	0.007	Lab 10 -0.655
Lab 10	1.643	0.299	1.643	1.643	1.643	-0.655	Lab 6 -0.582
Lab 11	1.632	0.309	1.632	1.632	1.632	-0.679	Lab 7 0.007
Lab 12	1.979	0.037	1.979	1.979	1.979	0.090	Lab 12 0.090
Lab 13	2.030	0.088	2.030	2.030	2.030	0.203	Lab 13 0.203
<b>Lab 17</b>	<b>2.886</b>	0.944	2.606	2.612	2.614	<b>2.100</b>	Lab 4 0.558
Lab 18	2.597	0.655	2.597	2.597	2.597	1.460	Lab 18 1.460
Lab 23	1.540	0.402	1.540	1.540	1.540	-0.883	<b>Lab 17 2.100</b>
Average	<b>1.963</b>		<b>1.938</b>	<b>1.938</b>	<b>1.938</b>		
SD	<b>0.449</b>	<b>0.278</b>	<b>0.396</b>	<b>0.397</b>	<b>0.398</b>		
New x*	<b>1.942</b>	<b>0.299</b>	<b>1.938</b>	<b>1.938</b>	<b>1.938</b>		
New s*	<b>0.443</b>		<b>0.450</b>	<b>0.451</b>	<b>0.451</b>	<b>1.134*SD</b>	

**ΣΗΜΕΙΩΣΗ:** Για το εργαστήριο 11 χρησιμοποιήθηκε η τετραγωνική ρίζα του αθροίσματος των τετραγώνων των τιμών στις φασματικές περιοχές 876-880MHz και 890-960MHz.

Για το εργαστήριο 18 χρησιμοποιήθηκε η τετραγωνική ρίζα του αθροίσματος των τετραγώνων των τιμών στις φασματικές περιοχές 935.1-947.5MHz και 947.7-959.9MHz.

**Πίνακας Π.145 Μέση Ένταση ηλεκτρικού πεδίου E(V/m) στη φασματική περιοχή GSM(880-1000MHz):  
Σενάριο μέτρησης 1, Θέση μέτρησης 1, Ύψος μέτρησης 1.7m**

Iteration	0	xi-x*	1	2	Z-Score	Z-Score αύξουσα σειρά
Number of laboratories=			<b>10</b>			
$\delta=1.5s^*$	-		<b>0.446</b>	<b>0.344</b>		
$x^*-\delta$	-		<b>0.997</b>	<b>1.142</b>		
$x^*+\delta$	-		<b>1.889</b>	<b>1.831</b>		
Lab 3	1.270	0.173	1.270	1.270	-0.942	Lab 11 -1.298
Lab 4	1.710	0.267	1.710	1.710	0.974	Lab 3 -0.942
Lab 6	1.447	0.004	1.447	1.447	-0.171	Lab 10 -0.873
Lab 7	1.704	0.261	1.704	1.704	0.947	Lab 13 -0.254
Lab 10	1.286	0.157	1.286	1.286	-0.873	Lab 29 -0.206
Lab 11	1.188	0.255	1.188	1.188	-1.298	Lab 6 -0.171
Lab 12	1.720	0.277	1.720	1.720	1.018	Lab 23 0.804
Lab 13	1.428	0.015	1.428	1.428	-0.254	Lab 7 0.947
Lab 23	1.671	0.228	1.671	1.671	0.804	Lab 4 0.974
Lab 29	1.439	0.004	1.439	1.439	-0.206	Lab 12 1.018
Average	<b>1.486</b>		<b>1.486</b>	<b>1.486</b>		
SD	<b>0.202</b>	<b>0.115</b>	<b>0.202</b>	<b>0.202</b>		
New x*	<b>1.443</b>	<b>0.201</b>	<b>1.486</b>	<b>1.486</b>		
New s*	<b>0.297</b>		<b>0.230</b>	<b>0.230</b>	<b>1.134*SD</b>	

**ΣΗΜΕΙΩΣΗ:** Για το εργαστήριο 11 χρησιμοποιήθηκε η τετραγωνική ρίζα του αθροίσματος των τετραγώνων των τιμών στις φασματικές περιοχές 876-880MHz και 890-960MHz.

**Πίνακας Π.146 Μέση Ένταση ηλεκτρικού πεδίου E(V/m) στη φασματική περιοχή GSM(880-1000MHz):  
Σενάριο μέτρησης 1, Θέση μέτρησης 2, Ύψος μέτρησης 1.1m**

Number of laboratories=			<b>6</b>				
Iteration	0	xi-x*	1	2	<b>Z-Score</b>	<b>Z-Score αύξουσα σειρά</b>	
$\bar{\delta}=1.5s^*$	-		<b>1.043</b>	<b>0.964</b>			
$x^*-\bar{\delta}$	-		<b>0.261</b>	<b>0.243</b>			
$x^*+\bar{\delta}$	-		<b>2.348</b>	<b>2.171</b>			
Lab 4	1.880	0.576	1.880	1.880	1.048	Lab 12	-1.053
Lab 11	1.441	0.136	1.441	1.441	0.365	Lab 23	-1.016
Lab 12	0.530	0.774	0.530	0.530	-1.053	Lab 29	-0.060
Lab 13	1.667	0.363	1.667	1.667	0.716	Lab 11	0.365
Lab 23	0.554	0.750	0.554	0.554	-1.016	Lab 13	0.716
Lab 29	1.168	0.136	1.168	1.168	-0.060	Lab 4	1.048
Average	<b>1.207</b>		<b>1.207</b>	<b>1.207</b>			
SD	<b>0.567</b>	<b>0.288</b>	<b>0.567</b>	<b>0.567</b>			
New $x^*$	<b>1.304</b>	<b>0.469</b>	<b>1.207</b>	<b>1.207</b>			
New $s^*$	<b>0.696</b>		<b>0.643</b>	<b>0.643</b>	<b>1.134*SD</b>		

**ΣΗΜΕΙΩΣΗ:** Για το εργαστήριο 11 χρησιμοποιήθηκε η τετραγωνική ρίζα του αθροίσματος των τετραγώνων των τιμών στις φασματικές περιοχές 876-880MHz και 890-960MHz.

**Πίνακας Π.147 Μέση Ένταση ηλεκτρικού πεδίου E(V/m) στη φασματική περιοχή GSM(880-1000MHz):  
Σενάριο μέτρησης 1, Θέση μέτρησης 2, Ύψος μέτρησης 1.5m**

Number of laboratories=		<b>12</b>										
Iteration	0	$\chi_i - x^*$	1	2	3	4	5	6	Z-Score	Z-Score αύξουσα σειρά		
$\delta = 1.5s^*$	-		<b>0.607</b>	<b>0.645</b>	<b>0.704</b>	<b>0.726</b>	<b>0.734</b>	<b>0.737</b>				
$x^* - \delta$	-		<b>0.763</b>	<b>0.629</b>	<b>0.547</b>	<b>0.518</b>	<b>0.507</b>	<b>0.503</b>				
$x^* + \delta$	-		<b>1.977</b>	<b>1.918</b>	<b>1.955</b>	<b>1.970</b>	<b>1.975</b>	<b>1.978</b>				
Lab 3	0.649	0.721	0.763	0.649	0.649	0.649	0.649	0.649	-1.200	Lab 23	-1.515	
Lab 4	1.560	0.190	1.560	1.560	1.560	1.560	1.560	1.560	0.650	Lab 3	-1.200	
Lab 6	1.508	0.138	1.508	1.508	1.508	1.508	1.508	1.508	0.545	Lab 12	-0.873	
Lab 7	1.200	0.170	1.200	1.200	1.200	1.200	1.200	1.200	-0.081	Lab 10	-0.337	
Lab 10	1.074	0.296	1.074	1.074	1.074	1.074	1.074	1.074	-0.337	Lab 7	-0.081	
Lab 11	1.472	0.102	1.472	1.472	1.472	1.472	1.472	1.472	0.471	Lab 13	0.264	
Lab 12	0.810	0.560	0.810	0.810	0.810	0.810	0.810	0.810	-0.873	Lab 11	0.471	
Lab 13	1.370	0.000	1.370	1.370	1.370	1.370	1.370	1.370	0.264	Lab 6	0.545	
Lab 17	1.643	0.273	1.643	1.643	1.643	1.643	1.643	1.643	0.819	Lab 4	0.650	
Lab 18	1.849	0.479	1.849	1.849	1.849	1.849	1.849	1.849	1.238	Lab 17	0.819	
Lab 23	0.494	0.876	0.763	0.629	0.547	0.518	0.507	0.503	-1.515	Lab 18	1.238	
Average	<b>1.239</b>		<b>1.274</b>	<b>1.251</b>	<b>1.244</b>	<b>1.241</b>	<b>1.240</b>	<b>1.240</b>				
SD	<b>0.436</b>	<b>0.278</b>	<b>0.379</b>	<b>0.414</b>	<b>0.427</b>	<b>0.432</b>	<b>0.433</b>	<b>0.434</b>				
New $x^*$	<b>1.370</b>	<b>0.273</b>	<b>1.274</b>	<b>1.251</b>	<b>1.244</b>	<b>1.241</b>	<b>1.240</b>	<b>1.240</b>				
New $s^*$	<b>0.405</b>		<b>0.430</b>	<b>0.469</b>	<b>0.484</b>	<b>0.490</b>	<b>0.492</b>	<b>0.492</b>	<b>1.134*SD</b>			

**ΣΗΜΕΙΩΣΗ:** Για το εργαστήριο 11 χρησιμοποιήθηκε η τετραγωνική ρίζα του αθροίσματος των τετραγώνων των τιμών στις φασματικές περιοχές 876-880MHz και 890-960MHz.

Για το εργαστήριο 18 χρησιμοποιήθηκε η τετραγωνική ρίζα του αθροίσματος των τετραγώνων των τιμών στις φασματικές περιοχές 935.1-947.5MHz και 947.7-959.9MHz.

**Πίνακας Π.148 Μέση Ένταση ηλεκτρικού πεδίου E(V/m) στη φασματική περιοχή GSM(880-1000MHz):  
Σενάριο μέτρησης 1, Θέση μέτρησης 2, Ύψος μέτρησης 1.7m**

Number of laboratories=		10												Z-Score	Z-Score		
Iteration	0	xi-x*	1	2	3	4	5	6	7	8	9	10	11		12	αύξουσα	σειρά
$\delta=1.5s^*$	-		<b>0.766</b>	<b>0.841</b>	<b>0.911</b>	<b>0.978</b>	<b>1.029</b>	<b>1.060</b>	<b>1.080</b>	<b>1.092</b>	<b>1.100</b>	<b>1.105</b>	<b>1.109</b>	<b>1.111</b>			
$x^*-\delta$	-		<b>0.643</b>	<b>0.550</b>	<b>0.466</b>	<b>0.388</b>	<b>0.332</b>	<b>0.299</b>	<b>0.279</b>	<b>0.267</b>	<b>0.259</b>	<b>0.253</b>	<b>0.250</b>	<b>0.248</b>			
$x^*+\delta$	-		<b>2.176</b>	<b>2.231</b>	<b>2.289</b>	<b>2.344</b>	<b>2.389</b>	<b>2.420</b>	<b>2.439</b>	<b>2.451</b>	<b>2.459</b>	<b>2.464</b>	<b>2.468</b>	<b>2.470</b>			
Lab 3	1.060	0.350	1.060	1.060	1.060	1.060	1.060	1.060	1.060	1.060	1.060	1.060	1.060	1.060	-0.403	Lab 23	-1.604
Lab 4	<b>2.980</b>	1.571	2.176	2.231	2.289	2.344	2.389	2.420	2.439	2.451	2.459	2.464	2.468	2.470	<b>2.186</b>	Lab 12	-1.253
Lab 6	1.389	0.021	1.389	1.389	1.389	1.389	1.389	1.389	1.389	1.389	1.389	1.389	1.389	1.389	0.041	Lab 3	-0.403
Lab 7	1.749	0.339	1.749	1.749	1.749	1.749	1.749	1.749	1.749	1.749	1.749	1.749	1.749	1.749	0.526	Lab 6	0.041
Lab 10	1.410	0.000	1.410	1.410	1.410	1.410	1.410	1.410	1.410	1.410	1.410	1.410	1.410	1.410	0.069	Lab 29	0.068
Lab 11	1.614	0.204	1.614	1.614	1.614	1.614	1.614	1.614	1.614	1.614	1.614	1.614	1.614	1.614	0.344	Lab 10	0.069
Lab 12	0.430	0.980	0.643	0.550	0.466	0.430	0.430	0.430	0.430	0.430	0.430	0.430	0.430	0.430	-1.253	Lab 11	0.344
Lab 13	1.811	0.402	1.811	1.811	1.811	1.811	1.811	1.811	1.811	1.811	1.811	1.811	1.811	1.811	0.610	Lab 7	0.526
Lab 23	0.170	1.240	0.643	0.550	0.466	0.388	0.332	0.299	0.279	0.267	0.259	0.253	0.250	0.248	-1.604	Lab 13	0.610
Lab 29	1.409	0.000	1.409	1.409	1.409	1.409	1.409	1.409	1.409	1.409	1.409	1.409	1.409	1.409	0.068	Lab 4	<b>2.186</b>
Average	<b>1.402</b>		<b>1.390</b>	<b>1.377</b>	<b>1.366</b>	<b>1.360</b>	<b>1.359</b>	<b>1.359</b>	<b>1.359</b>	<b>1.359</b>	<b>1.359</b>	<b>1.359</b>	<b>1.359</b>	<b>1.359</b>			
SD	<b>0.775</b>	<b>0.557</b>	<b>0.494</b>	<b>0.536</b>	<b>0.575</b>	<b>0.605</b>	<b>0.623</b>	<b>0.635</b>	<b>0.642</b>	<b>0.647</b>	<b>0.650</b>	<b>0.652</b>	<b>0.653</b>	<b>0.654</b>			
New $x^*$	<b>1.410</b>	<b>0.344</b>	<b>1.390</b>	<b>1.377</b>	<b>1.366</b>	<b>1.360</b>	<b>1.359</b>	<b>1.359</b>	<b>1.359</b>	<b>1.359</b>	<b>1.359</b>	<b>1.359</b>	<b>1.359</b>	<b>1.359</b>			
New $s^*$	<b>0.511</b>		<b>0.560</b>	<b>0.608</b>	<b>0.652</b>	<b>0.686</b>	<b>0.707</b>	<b>0.720</b>	<b>0.728</b>	<b>0.734</b>	<b>0.737</b>	<b>0.739</b>	<b>0.741</b>	<b>0.741</b>	<b>1.134*SD</b>		

**ΣΗΜΕΙΩΣΗ:** Για το εργαστήριο 11 χρησιμοποιήθηκε η τετραγωνική ρίζα του αθροίσματος των τετραγώνων των τιμών στις φασματικές περιοχές 876-880MHz και 890-960MHz.

**Πίνακας Π.149 Μέση Ένταση ηλεκτρικού πεδίου E(V/m) στη φασματική περιοχή GSM(880-1000MHz):  
Σενάριο μέτρησης 1, Θέση μέτρησης 3, Ύψος μέτρησης 1.1m**

Number of laboratories=		<b>7</b>						
Iteration	0	xi-x*	1	2	3	4	Z-Score	Z-Score αύξουσα σειρά
δ=1.5s*	-		<b>0.745</b>	<b>0.775</b>	<b>0.927</b>	<b>0.976</b>		
x*-δ	-		<b>0.500</b>	<b>0.649</b>	<b>0.557</b>	<b>0.526</b>		
x*+δ	-		<b>1.989</b>	<b>2.199</b>	<b>2.410</b>	<b>2.478</b>		
Lab 3	2.320	1.075	1.989	2.199	2.320	2.320	1.257	Lab 4 -0.910
Lab 4	0.910	0.335	0.910	0.910	0.910	0.910	-0.910	Lab 29 -0.750
Lab 11	1.245	0.000	1.245	1.245	1.245	1.245	-0.395	Lab 13 -0.549
Lab 12	2.205	0.960	1.989	2.199	2.205	2.205	1.080	Lab 11 -0.395
Lab 13	1.145	0.100	1.145	1.145	1.145	1.145	-0.549	Lab 23 0.266
Lab 23	1.675	0.430	1.675	1.675	1.675	1.675	0.266	Lab 12 1.080
Lab 29	1.014	0.231	1.014	1.014	1.014	1.014	-0.750	Lab 3 1.257
Average	<b>1.502</b>		<b>1.424</b>	<b>1.484</b>	<b>1.502</b>	<b>1.502</b>		
SD	<b>0.574</b>	<b>0.416</b>	<b>0.455</b>	<b>0.545</b>	<b>0.574</b>	<b>0.574</b>		
New x*	<b>1.245</b>	<b>0.335</b>	<b>1.424</b>	<b>1.484</b>	<b>1.502</b>	<b>1.502</b>		
New s*	<b>0.496</b>		<b>0.516</b>	<b>0.618</b>	<b>0.651</b>	<b>0.651</b>	<b>1.134*SD</b>	

**ΣΗΜΕΙΩΣΗ:** Για το εργαστήριο 11 χρησιμοποιήθηκε η τετραγωνική ρίζα του αθροίσματος των τετραγώνων των τιμών στις φασματικές περιοχές 876-880MHz και 890-960MHz.

**Πίνακας Π.150 Μέση Ένταση ηλεκτρικού πεδίου E(V/m) στη φασματική περιοχή GSM(880-1000MHz):  
Σενάριο μέτρησης 1, Θέση μέτρησης 3, Ύψος μέτρησης 1.5m**

Number of laboratories=		10											Z-Score	Z-Score αύξουσα σειρά		
Iteration	0	$\bar{x}_i - \bar{x}^*$	1	2	3	4	5	6	7	8	9	10			11	
$\bar{\delta} = 1.5s^*$	-		<b>0.912</b>	<b>0.939</b>	<b>1.012</b>	<b>1.070</b>	<b>1.116</b>	<b>1.154</b>	<b>1.185</b>	<b>1.211</b>	<b>1.232</b>	<b>1.249</b>	<b>1.263</b>			
$x^* - \bar{\delta}$	-		<b>1.088</b>	<b>1.160</b>	<b>1.113</b>	<b>1.075</b>	<b>1.044</b>	<b>1.019</b>	<b>0.998</b>	<b>0.980</b>	<b>0.966</b>	<b>0.954</b>	<b>0.944</b>			
$x^* + \bar{\delta}$	-		<b>2.912</b>	<b>3.039</b>	<b>3.137</b>	<b>3.214</b>	<b>3.276</b>	<b>3.326</b>	<b>3.367</b>	<b>3.401</b>	<b>3.429</b>	<b>3.452</b>	<b>3.471</b>			
Lab 3	2.050	0.050	2.050	2.050	2.050	2.050	2.050	2.050	2.050	2.050	2.050	2.050	2.050	-0.187	Lab 6	-0.978
Lab 4	3.450	1.450	2.912	3.039	3.137	3.214	3.276	3.326	3.367	3.401	3.429	3.450	3.450	1.475	Lab 23	-0.930
Lab 6	1.384	0.616	1.384	1.384	1.384	1.384	1.384	1.384	1.384	1.384	1.384	1.384	1.384	-0.978	Lab 11	-0.578
Lab 7	1.839	0.161	1.839	1.839	1.839	1.839	1.839	1.839	1.839	1.839	1.839	1.839	1.839	-0.438	Lab 7	-0.438
Lab 9	1.950	0.050	1.950	1.950	1.950	1.950	1.950	1.950	1.950	1.950	1.950	1.950	1.950	-0.306	Lab 9	-0.306
Lab 11	1.720	0.280	1.720	1.720	1.720	1.720	1.720	1.720	1.720	1.720	1.720	1.720	1.720	-0.578	Lab 3	-0.187
Lab 12	2.540	0.540	2.540	2.540	2.540	2.540	2.540	2.540	2.540	2.540	2.540	2.540	2.540	0.395	Lab 13	0.068
Lab 13	2.265	0.265	2.265	2.265	2.265	2.265	2.265	2.265	2.265	2.265	2.265	2.265	2.265	0.068	Lab 12	0.395
Lab 17	3.454	1.454	2.912	3.039	3.137	3.214	3.276	3.326	3.367	3.401	3.429	3.452	3.454	1.479	Lab 4	1.475
Lab 23	1.424	0.576	1.424	1.424	1.424	1.424	1.424	1.424	1.424	1.424	1.424	1.424	1.424	-0.930	Lab 17	1.479
Average	<b>2.208</b>		<b>2.100</b>	<b>2.125</b>	<b>2.145</b>	<b>2.160</b>	<b>2.172</b>	<b>2.182</b>	<b>2.191</b>	<b>2.197</b>	<b>2.203</b>	<b>2.207</b>	<b>2.208</b>			
SD	<b>0.743</b>	<b>0.520</b>	<b>0.552</b>	<b>0.595</b>	<b>0.629</b>	<b>0.656</b>	<b>0.678</b>	<b>0.697</b>	<b>0.712</b>	<b>0.724</b>	<b>0.734</b>	<b>0.743</b>	<b>0.743</b>			
New $\bar{x}^*$	<b>2.000</b>	<b>0.410</b>	<b>2.100</b>	<b>2.125</b>	<b>2.145</b>	<b>2.160</b>	<b>2.172</b>	<b>2.182</b>	<b>2.191</b>	<b>2.197</b>	<b>2.203</b>	<b>2.207</b>	<b>2.208</b>			
New $s^*$	<b>0.608</b>		<b>0.626</b>	<b>0.675</b>	<b>0.713</b>	<b>0.744</b>	<b>0.769</b>	<b>0.790</b>	<b>0.807</b>	<b>0.821</b>	<b>0.833</b>	<b>0.842</b>	<b>0.842</b>	<b>1.134*SD</b>		

**ΣΗΜΕΙΩΣΗ:** Για το εργαστήριο 11 χρησιμοποιήθηκε η τετραγωνική ρίζα του αθροίσματος των τετραγώνων των τιμών στις φασματικές περιοχές 876-880MHz και 890-960MHz.

**Πίνακας Π.151 Μέση Ένταση ηλεκτρικού πεδίου E(V/m) στη φασματική περιοχή GSM(880-1000MHz):  
Σενάριο μέτρησης 1, Θέση μέτρησης 3, Ύψος μέτρησης 1.7m**

Number of laboratories=		8													
Iteration	0	xi-x*	1	2	3	4	...	10	11	12	13	14	Z-Score	Z-Score	
$\delta=1.5s^*$	-		<b>0.767</b>	<b>0.837</b>	<b>0.890</b>	<b>0.932</b>	...	<b>1.056</b>	<b>1.062</b>	<b>1.065</b>	<b>1.067</b>	<b>1.068</b>			
$x^*-\delta$	-		<b>1.417</b>	<b>1.333</b>	<b>1.276</b>	<b>1.234</b>	...	<b>1.109</b>	<b>1.104</b>	<b>1.102</b>	<b>1.101</b>	<b>1.100</b>			
$x^*+\delta$	-		<b>2.952</b>	<b>3.007</b>	<b>3.056</b>	<b>3.097</b>	...	<b>3.221</b>	<b>3.228</b>	<b>3.232</b>	<b>3.234</b>	<b>3.235</b>			
Lab 4	3.360	1.176	2.952	3.007	3.056	3.097	...	3.221	3.228	3.232	3.234	3.235	1.674	Lab 12	-1.476
Lab 6	2.703	0.519	2.703	2.703	2.703	2.703	...	2.703	2.703	2.703	2.703	2.703	0.752	Lab 7	-0.547
Lab 7	1.778	0.406	1.778	1.778	1.778	1.778	...	1.778	1.778	1.778	1.778	1.778	-0.547	Lab 23	-0.375
Lab 10	2.159	0.026	2.159	2.159	2.159	2.159	...	2.159	2.159	2.159	2.159	2.159	-0.012	Lab 10	-0.012
Lab 11	2.239	0.054	2.239	2.239	2.239	2.239	...	2.239	2.239	2.239	2.239	2.239	0.099	Lab 13	0.059
Lab 12	1.117	1.068	1.417	1.333	1.276	1.234	...	1.117	1.117	1.117	1.117	1.117	-1.476	Lab 11	0.099
Lab 13	2.210	0.026	2.210	2.210	2.210	2.210	...	2.210	2.210	2.210	2.210	2.210	0.059	Lab 6	0.752
Lab 23	1.901	0.284	1.901	1.901	1.901	1.901	...	1.901	1.901	1.901	1.901	1.901	-0.375	Lab 4	1.674
Average	<b>2.183</b>		<b>2.170</b>	<b>2.166</b>	<b>2.165</b>	<b>2.165</b>	...	<b>2.166</b>	<b>2.167</b>	<b>2.167</b>	<b>2.168</b>	<b>2.168</b>			
SD	<b>0.659</b>	<b>0.457</b>	<b>0.492</b>	<b>0.523</b>	<b>0.548</b>	<b>0.567</b>	...	<b>0.624</b>	<b>0.626</b>	<b>0.627</b>	<b>0.628</b>	<b>0.628</b>			
New $x^*$	<b>2.185</b>	<b>0.345</b>	<b>2.170</b>	<b>2.166</b>	<b>2.165</b>	<b>2.165</b>	...	<b>2.166</b>	<b>2.167</b>	<b>2.167</b>	<b>2.168</b>	<b>2.168</b>			
New $s^*$	<b>0.511</b>		<b>0.558</b>	<b>0.593</b>	<b>0.621</b>	<b>0.643</b>	...	<b>0.708</b>	<b>0.710</b>	<b>0.711</b>	<b>0.712</b>	<b>0.712</b>	<b>1.134*SD</b>		

**ΣΗΜΕΙΩΣΗ:** Για το εργαστήριο 11 χρησιμοποιήθηκε η τετραγωνική ρίζα του αθροίσματος των τετραγώνων των τιμών στις φασματικές περιοχές 876-880MHz και 890-960MHz.



**Πίνακας Π.152 Μέση Ένταση ηλεκτρικού πεδίου E(V/m) στη φασματική περιοχή GSM(880-1000MHz):  
Σενάριο μέτρησης 2, Θέση μέτρησης 1, Ύψος μέτρησης 1.5m**

Number of laboratories=		5											Z-Score	Z-Score αύξουσα σειρά	
Iteration	0	$\chi_i - x^*$	1	2	3	4	5	...	39	40	41	42			
$\bar{\delta} = 1.5s^*$	-		<b>0.0379</b>	<b>0.0359</b>	<b>0.0393</b>	<b>0.0421</b>	<b>0.0446</b>	...	<b>0.0665</b>	<b>0.0666</b>	<b>0.0667</b>	<b>0.0667</b>			
$x^* - \bar{\delta}$	-		<b>-0.0180</b>	<b>-0.0088</b>	<b>-0.0111</b>	<b>-0.0131</b>	<b>-0.0148</b>	...	<b>-0.0305</b>	<b>-0.0305</b>	<b>-0.0306</b>	<b>-0.0307</b>			
$x^* + \bar{\delta}$	-		<b>0.0578</b>	<b>0.0630</b>	<b>0.0674</b>	<b>0.0711</b>	<b>0.0743</b>	...	<b>0.1025</b>	<b>0.1026</b>	<b>0.1027</b>	<b>0.1028</b>			
Lab 4	0.0174	0.0025	0.0174	0.0174	0.0174	0.0174	0.0174	...	0.0174	0.0174	0.0174	0.0174	-0.420	Lab 13	-0.747
Lab 7	0.0376	0.0177	0.0376	0.0376	0.0376	0.0376	0.0376	...	0.0376	0.0376	0.0376	0.0376	0.033	Lab 4	-0.420
Lab 11	0.0199	0.0000	0.0199	0.0199	0.0199	0.0199	0.0199	...	0.0199	0.0199	0.0199	0.0199	-0.364	Lab 11	-0.364
Lab 13	0.0028	0.0170	0.0028	0.0028	0.0028	0.0028	0.0028	...	0.0028	0.0028	0.0028	0.0028	-0.747	Lab 7	0.033
Lab 18	0.1042	0.0843	0.0578	0.0630	0.0674	0.0711	0.0743	...	0.1025	0.1026	0.1027	0.1028	1.528	Lab 18	1.528
Average	<b>0.0364</b>		<b>0.0271</b>	<b>0.0281</b>	<b>0.0290</b>	<b>0.0298</b>	<b>0.0304</b>	...	<b>0.0360</b>	<b>0.0361</b>	<b>0.0361</b>	<b>0.0361</b>			
SD	<b>0.0399</b>	<b>0.0345</b>	<b>0.0211</b>	<b>0.0231</b>	<b>0.0247</b>	<b>0.0262</b>	<b>0.0275</b>	...	<b>0.0391</b>	<b>0.0392</b>	<b>0.0392</b>	<b>0.0393</b>			
New $x^*$	<b>0.0199</b>	<b>0.0170</b>	<b>0.0271</b>	<b>0.0281</b>	<b>0.0290</b>	<b>0.0298</b>	<b>0.0304</b>	...	<b>0.0360</b>	<b>0.0361</b>	<b>0.0361</b>	<b>0.0361</b>	<b>0.0361</b>		
New $s^*$	<b>0.0253</b>		<b>0.0240</b>	<b>0.0262</b>	<b>0.0281</b>	<b>0.0297</b>	<b>0.0312</b>	...	<b>0.0444</b>	<b>0.0444</b>	<b>0.0445</b>	<b>0.0445</b>	<b>0.0445</b>	<b>1.134*SD</b>	

**ΣΗΜΕΙΩΣΗ:** Για το εργαστήριο 11 χρησιμοποιήθηκε η τετραγωνική ρίζα του αθροίσματος των τετραγώνων των τιμών στις φασματικές περιοχές 876-880MHz και 890-960MHz.

Για το εργαστήριο 18 χρησιμοποιήθηκε η τετραγωνική ρίζα του αθροίσματος των τετραγώνων των τιμών στις φασματικές περιοχές 935.1-947.5MHz και 947.7-959.9MHz.

**Πίνακας Π.152 Μέση Ένταση ηλεκτρικού πεδίου E(V/m) στη φασματική περιοχή GSM(880-1000MHz):  
Σενάριο μέτρησης 2, Θέση μέτρησης 1, Ύψος μέτρησης 1.7m**

Number of laboratories=		4					
Iteration	0	xi-x*	1	2	Z-Score	Z-Score	
$\delta=1.5s^*$	-		<b>0.0199</b>	<b>0.0257</b>			
$x^*-\delta$	-		<b>0.0003</b>	<b>-0.0049</b>			
$x^*+\delta$	-		<b>0.0400</b>	<b>0.0465</b>			
Lab 4	0.019	0.0007	0.0194	0.0194	-0.083	Lab 13	-1.036
Lab 7	0.040	0.0200	0.0400	0.0401	1.119	Lab 4	-0.083
Lab 11	0.021	0.0007	0.0208	0.0208	0.001	Lab 11	0.001
Lab 13	0.003	0.0171	0.0030	0.0030	-1.036	Lab 7	1.119
Average	<b>0.0208</b>		<b>0.0208</b>	<b>0.0208</b>			
SD	<b>0.0152</b>	<b>0.0104</b>	<b>0.0151</b>	<b>0.0152</b>			
New x*	<b>0.0201</b>	<b>0.0089</b>	<b>0.0208</b>	<b>0.0208</b>			
New s*	<b>0.0132</b>		<b>0.0172</b>	<b>0.0172</b>			1.134*SD

**ΣΗΜΕΙΩΣΗ:** Για το εργαστήριο 11 χρησιμοποιήθηκε η τετραγωνική ρίζα του αθροίσματος των τετραγώνων των τιμών στις φασματικές περιοχές 876-880MHz και 890-960MHz.

**Πίνακας Π.153 Μέση Ένταση ηλεκτρικού πεδίου E(V/m) στη φασματική περιοχή GSM(880-1000MHz):  
Σενάριο μέτρησης 2, Θέση μέτρησης 2, Ύψος μέτρησης 1.5m**

Number of laboratories=		5													
Iteration	0	xi-x*	1	2	3	4	5	...	32	33	34	35	Z-Score	Z-Score	
$\delta=1.5s^*$	-		<b>0.0302</b>	<b>0.0301</b>	<b>0.0332</b>	<b>0.0359</b>	<b>0.0382</b>	...	<b>0.0574</b>	<b>0.0575</b>	<b>0.0577</b>	<b>0.0578</b>		<b>αύξουσα</b>	
$x^*-\delta$	-		<b>-0.0093</b>	<b>-0.0039</b>	<b>-0.0061</b>	<b>-0.0079</b>	<b>-0.0095</b>	...	<b>-0.0232</b>	<b>-0.0233</b>	<b>-0.0235</b>	<b>-0.0236</b>		<b>σειρά</b>	
$x^*+\delta$	-		<b>0.0511</b>	<b>0.0562</b>	<b>0.0603</b>	<b>0.0638</b>	<b>0.0668</b>	...	<b>0.0915</b>	<b>0.0917</b>	<b>0.0919</b>	<b>0.0921</b>			
Lab 4	0.0209	0.0000	0.0209	0.0209	0.0209	0.0209	0.0209	...	0.0209	0.0209	0.0209	0.0209	-0.347	Lab 13	-0.786
Lab 7	0.0345	0.0136	0.0345	0.0345	0.0345	0.0345	0.0345	...	0.0345	0.0345	0.0345	0.0345	0.004	Lab 11	-0.367
Lab 11	0.0201	0.0008	0.0201	0.0201	0.0201	0.0201	0.0201	...	0.0201	0.0201	0.0201	0.0201	-0.367	Lab 4	-0.347
Lab 13	0.0039	0.0170	0.0039	0.0039	0.0039	0.0039	0.0039	...	0.0039	0.0039	0.0039	0.0039	-0.786	Lab 7	0.004
Lab 18	0.1032	0.0823	0.0511	0.0562	0.0603	0.0638	0.0668	...	0.0915	0.0917	0.0919	0.0921	1.784	Lab 18	1.784
Average	<b>0.0365</b>		<b>0.0261</b>	<b>0.0271</b>	<b>0.0279</b>	<b>0.0286</b>	<b>0.0292</b>	...	<b>0.0342</b>	<b>0.0342</b>	<b>0.0343</b>	<b>0.0343</b>			
SD	<b>0.0388</b>	<b>0.0342</b>	<b>0.0177</b>	<b>0.0195</b>	<b>0.0211</b>	<b>0.0224</b>	<b>0.0236</b>	...	<b>0.0338</b>	<b>0.0339</b>	<b>0.0340</b>	<b>0.0341</b>			
New $x^*$	<b>0.0209</b>	<b>0.0136</b>	<b>0.0261</b>	<b>0.0271</b>	<b>0.0279</b>	<b>0.0286</b>	<b>0.0292</b>	...	<b>0.0342</b>	<b>0.0342</b>	<b>0.0343</b>	<b>0.0343</b>			
New $s^*$	<b>0.0201</b>		<b>0.0200</b>	<b>0.0221</b>	<b>0.0239</b>	<b>0.0254</b>	<b>0.0268</b>	...	<b>0.0384</b>	<b>0.0385</b>	<b>0.0386</b>	<b>0.0386</b>	<b>1.134*SD</b>		

**ΣΗΜΕΙΩΣΗ:** Για το εργαστήριο 11 χρησιμοποιήθηκε η τετραγωνική ρίζα του αθροίσματος των τετραγώνων των τιμών στις φασματικές περιοχές 876-880MHz και 890-960MHz.

Για το εργαστήριο 18 χρησιμοποιήθηκε η τετραγωνική ρίζα του αθροίσματος των τετραγώνων των τιμών στις φασματικές περιοχές 935.1-947.5MHz και 947.7-959.9MHz.

**Πίνακας Π.154 Μέση Ένταση ηλεκτρικού πεδίου E(V/m) στη φασματική περιοχή GSM(880-1000MHz):  
Σενάριο μέτρησης 2, Θέση μέτρησης 2, Ύψος μέτρησης 1.7m**

Number of laboratories=		4					
Iteration	0	xi-x*	1	2	Z-Score	Z-Score αύξουσα σειρά	
$\delta=1.5s^*$	-		<b>0.0191</b>	<b>0.0234</b>			
$x^*-\delta$	-		<b>0.0008</b>	<b>-0.0035</b>			
$x^*+\delta$	-		<b>0.0390</b>	<b>0.0432</b>			
Lab 4	0.0194	0.0005	0.0194	0.0194	-0.026	Lab 13	-1.083
Lab 7	0.0366	0.0167	0.0366	0.0366	1.076	Lab 4	-0.026
Lab 11	0.0203	0.0005	0.0203	0.0203	0.033	Lab 11	0.033
Lab 13	0.0030	0.0169	0.0030	0.0030	-1.083	Lab 7	1.076
Average	<b>0.0198</b>		<b>0.0198</b>	<b>0.0198</b>			
SD	<b>0.0137</b>	<b>0.0094</b>	<b>0.0137</b>	<b>0.0137</b>			
New $x^*$	<b>0.0199</b>	<b>0.0086</b>	<b>0.0198</b>	<b>0.0198</b>			
New $s^*$	<b>0.0127</b>		<b>0.0156</b>	<b>0.0156</b>			1.134*SD

**ΣΗΜΕΙΩΣΗ:** Για το εργαστήριο 11 χρησιμοποιήθηκε η τετραγωνική ρίζα του αθροίσματος των τετραγώνων των τιμών στις φασματικές περιοχές 876-880MHz και 890-960MHz.

**Πίνακας Π.154 Μέση Ένταση ηλεκτρικού πεδίου E(V/m) στη φασματική περιοχή GSM(880-1000MHz):  
Σενάριο μέτρησης 2, Θέση μέτρησης 3, Ύψος μέτρησης 1.5m**

Number of laboratories=			<b>4</b>			
Iteration	0	$x_i - x^*$	1	2	<b>Z-Score</b>	<b>Z-Score</b>
$\delta = 1.5s^*$	-		<b>0.0196</b>	<b>0.0232</b>		<b>αύξουσα</b>
$x^* - \delta$	-		<b>-0.0004</b>	<b>-0.0037</b>		<b>σειρά</b>
$x^* + \delta$	-		<b>0.0389</b>	<b>0.0427</b>		
Lab 4	0.018	0.0016	0.0177	0.0177	-0.118	Lab 13 -1.058
Lab 7	0.036	0.0171	0.0364	0.0364	1.092	Lab 4 -0.118
Lab 11	0.021	0.0016	0.0208	0.0208	0.084	Lab 11 0.084
Lab 13	0.003	0.0161	0.0032	0.0032	-1.058	Lab 7 1.092
Average	<b>0.0195</b>		<b>0.0195</b>	<b>0.0195</b>		
SD	<b>0.0136</b>	<b>0.0087</b>	<b>0.0136</b>	<b>0.0136</b>		
New $x^*$	<b>0.0193</b>	<b>0.0088</b>	<b>0.0195</b>	<b>0.0195</b>		
New $s^*$	<b>0.0131</b>		<b>0.0155</b>	<b>0.0155</b>	<b>1.134*SD</b>	

**ΣΗΜΕΙΩΣΗ:** Για το εργαστήριο 11 χρησιμοποιήθηκε η τετραγωνική ρίζα του αθροίσματος των τετραγώνων των τιμών στις φασματικές περιοχές 876-880MHz και 890-960MHz.

**Πίνακας Π.156 Μέση Ένταση ηλεκτρικού πεδίου E(V/m) στη φασματική περιοχή GSM(880-1000MHz):  
Σενάριο μέτρησης 2, Θέση μέτρησης 3, Ύψος μέτρησης 1.7m**

Number of laboratories=		<b>4</b>											
Iteration	0	xi-x*	1	2	3	4	5	6	7	8	9	Z-Score	Z-Score αύξουσα σειρά
$\bar{\delta}=1.5s^*$	-		<b>0.0377</b>	<b>0.0457</b>	<b>0.0541</b>	<b>0.0627</b>	<b>0.0719</b>	<b>0.0816</b>	<b>0.0920</b>	<b>0.1031</b>	<b>0.1132</b>		
$x^*-\bar{\delta}$	-		<b>-0.0095</b>	<b>-0.0144</b>	<b>-0.0200</b>	<b>-0.0259</b>	<b>-0.0321</b>	<b>-0.0388</b>	<b>-0.0460</b>	<b>-0.0538</b>	<b>-0.0608</b>		
$x^*+\bar{\delta}$	-		<b>0.0659</b>	<b>0.0770</b>	<b>0.0882</b>	<b>0.0996</b>	<b>0.1116</b>	<b>0.1243</b>	<b>0.1379</b>	<b>0.1525</b>	<b>0.1655</b>		
Lab 4	0.020	0.0087	0.0195	0.0195	0.0195	0.0195	0.0195	0.0195	0.0195	0.0195	0.0195	-0.435	Lab 13 -0.654
Lab 7	0.037	0.0087	0.0369	0.0369	0.0369	0.0369	0.0369	0.0369	0.0369	0.0369	0.0369	-0.205	Lab 4 -0.435
Lab 11	0.150	0.1218	0.0659	0.0770	0.0882	0.0996	0.1116	0.1243	0.1379	0.1499	0.1499	1.294	Lab 7 -0.205
Lab 13	0.003	0.0252	0.0030	0.0030	0.0030	0.0030	0.0030	0.0030	0.0030	0.0030	0.0030	-0.654	Lab 11 1.294
Average	<b>0.0523</b>		<b>0.0313</b>	<b>0.0341</b>	<b>0.0369</b>	<b>0.0397</b>	<b>0.0427</b>	<b>0.0459</b>	<b>0.0493</b>	<b>0.0523</b>	<b>0.0523</b>		
SD	<b>0.0665</b>	<b>0.0543</b>	<b>0.0269</b>	<b>0.0318</b>	<b>0.0369</b>	<b>0.0422</b>	<b>0.0479</b>	<b>0.0541</b>	<b>0.0606</b>	<b>0.0665</b>	<b>0.0665</b>		
New $x^*$	<b>0.0282</b>	<b>0.0169</b>	<b>0.0313</b>	<b>0.0341</b>	<b>0.0369</b>	<b>0.0397</b>	<b>0.0427</b>	<b>0.0459</b>	<b>0.0493</b>	<b>0.0523</b>	<b>0.0523</b>		
New $s^*$	<b>0.0251</b>		<b>0.0305</b>	<b>0.0360</b>	<b>0.0418</b>	<b>0.0479</b>	<b>0.0544</b>	<b>0.0613</b>	<b>0.0688</b>	<b>0.0754</b>	<b>0.0754</b>	<b>1.134*SD</b>	

**ΣΗΜΕΙΩΣΗ:** Για το εργαστήριο 11 χρησιμοποιήθηκε η τετραγωνική ρίζα του αθροίσματος των τετραγώνων των τιμών στις φασματικές περιοχές 876-880MHz και 890-960MHz.

**Πίνακας Π.156 Μέση Ένταση ηλεκτρικού πεδίου E(V/m) στη φασματική περιοχή DCS(1700-1900MHz):  
Σενάριο μέτρησης 2, Θέση μέτρησης 1**

Number of laboratories=		<b>5</b>											
Iteration	0	xi-x*	1	2	3	4	5	6	7	Z-Score	Z-Score αύξουσα σειρά		
$\delta=1.5s^*$	-		<b>0.4026</b>	<b>0.5083</b>	<b>0.6296</b>	<b>0.7719</b>	<b>0.9403</b>	<b>1.0854</b>	<b>1.0854</b>				
$x^*-\delta$	-		<b>0.6034</b>	<b>0.5225</b>	<b>0.4112</b>	<b>0.2728</b>	<b>0.1059</b>	<b>-0.0485</b>	<b>-0.0485</b>				
$x^*+\delta$	-		<b>1.4086</b>	<b>1.5391</b>	<b>1.6703</b>	<b>1.8165</b>	<b>1.9866</b>	<b>2.1224</b>	<b>2.1224</b>				
Lab 6	1.915	0.9090	1.4086	1.5391	1.6703	1.8165	1.9150	1.9150	1.9150	1.213	Lab 18	-1.256	
Lab 10	1.187	0.1810	1.1870	1.1870	1.1870	1.1870	1.1870	1.1870	1.1870	0.207	Lab 23	-0.122	
Lab 12	1.006	0.0000	1.0060	1.0060	1.0060	1.0060	1.0060	1.0060	1.0060	-0.043	Lab 12	-0.043	
Lab 18	0.128	0.8782	0.6034	0.5225	0.4112	0.2728	0.1278	0.1278	0.1278	-1.256	Lab 10	0.207	
Lab 23	0.949	0.0570	0.9490	0.9490	0.9490	0.9490	0.9490	0.9490	0.9490	-0.122	Lab 6	1.213	
Average	<b>1.0370</b>		<b>1.0308</b>	<b>1.0407</b>	<b>1.0447</b>	<b>1.0463</b>	<b>1.0370</b>	<b>1.0370</b>	<b>1.0370</b>				
SD	<b>0.6381</b>	<b>0.4509</b>	<b>0.2988</b>	<b>0.3701</b>	<b>0.4538</b>	<b>0.5528</b>	<b>0.6381</b>	<b>0.6381</b>	<b>0.6381</b>				
New x*	<b>1.0060</b>	<b>0.1810</b>	<b>1.0308</b>	<b>1.0407</b>	<b>1.0447</b>	<b>1.0463</b>	<b>1.0370</b>	<b>1.0370</b>	<b>1.0370</b>				
New s*	<b>0.2684</b>		<b>0.3389</b>	<b>0.4197</b>	<b>0.5146</b>	<b>0.6269</b>	<b>0.7236</b>	<b>0.7236</b>	<b>0.7236</b>	<b>1.134*SD</b>			

**Πίνακας Π.157 Μέση Ένταση ηλεκτρικού πεδίου E(V/m) στη φασματική περιοχή DCS(1700-1900MHz):  
Σενάριο μέτρησης 2, Θέση μέτρησης 2**

Number of laboratories=		<b>5</b>														
Iteration	0	xi-x*	1	2	3	4	5	...	11	12	13	14	15	Z-Score	Z-Score αύξουσα σειρά	
$\delta=1.5s^*$	-		<b>0.1579</b>	<b>0.2047</b>	<b>0.2576</b>	<b>0.3191</b>	<b>0.3912</b>	...	<b>0.8961</b>	<b>0.9446</b>	<b>0.9873</b>	<b>1.0252</b>	<b>1.0258</b>			
$x^*-\delta$	-		<b>0.5471</b>	<b>0.5035</b>	<b>0.4519</b>	<b>0.3909</b>	<b>0.3190</b>	...	<b>-0.1253</b>	<b>-0.1593</b>	<b>-0.1894</b>	<b>-0.2163</b>	<b>-0.2167</b>			
$x^*+\delta$	-		<b>0.8629</b>	<b>0.9129</b>	<b>0.9671</b>	<b>1.0290</b>	<b>1.1014</b>	...	<b>1.6669</b>	<b>1.7298</b>	<b>1.7852</b>	<b>1.8342</b>	<b>1.8349</b>			
Lab 6	1.786	1.0810	0.8629	0.9129	0.9671	1.0290	1.1014	...	1.6669	1.7298	1.7852	1.7860	1.7860	1.428	Lab 18	-0.995
Lab 10	0.776	0.0710	0.7760	0.7760	0.7760	0.7760	0.7760	...	0.7760	0.7760	0.7760	0.7760	0.7760	-0.048	Lab 23	-0.233
Lab 12	0.705	0.0000	0.7050	0.7050	0.7050	0.7050	0.7050	...	0.7050	0.7050	0.7050	0.7050	0.7050	-0.152	Lab 12	-0.152
Lab 18	0.129	0.5765	0.5471	0.5035	0.4519	0.3909	0.3190	...	0.1285	0.1285	0.1285	0.1285	0.1285	-0.995	Lab 10	-0.048
Lab 23	0.650	0.0550	0.6500	0.6500	0.6500	0.6500	0.6500	...	0.6500	0.6500	0.6500	0.6500	0.6500	-0.233	Lab 6	1.428
Average	<b>0.8091</b>		<b>0.7082</b>	<b>0.7095</b>	<b>0.7100</b>	<b>0.7102</b>	<b>0.7103</b>	...	<b>0.7853</b>	<b>0.7979</b>	<b>0.8089</b>	<b>0.8091</b>	<b>0.8091</b>			
SD	<b>0.6031</b>	<b>0.4671</b>	<b>0.1203</b>	<b>0.1515</b>	<b>0.1876</b>	<b>0.2300</b>	<b>0.2802</b>	...	<b>0.5553</b>	<b>0.5804</b>	<b>0.6027</b>	<b>0.6031</b>	<b>0.6031</b>			
New x*	<b>0.7050</b>	<b>0.0710</b>	<b>0.7082</b>	<b>0.7095</b>	<b>0.7100</b>	<b>0.7102</b>	<b>0.7103</b>	...	<b>0.7853</b>	<b>0.7979</b>	<b>0.8089</b>	<b>0.8091</b>	<b>0.8091</b>			
New s*	<b>0.1053</b>		<b>0.1364</b>	<b>0.1718</b>	<b>0.2127</b>	<b>0.2608</b>	<b>0.3178</b>	...	<b>0.6297</b>	<b>0.6582</b>	<b>0.6835</b>	<b>0.6839</b>	<b>0.6839</b>	<b>1.134*SD</b>		

**Πίνακας Π.158 Μέση Ένταση ηλεκτρικού πεδίου E(V/m) στη φασματική περιοχή DCS(1700-1900MHz):  
Σενάριο μέτρησης 1, Θέση μέτρησης 1, Ύψος μέτρησης 1.5m**

Number of laboratories=		<b>5</b>													Z-Score	Z-Score	
Iteration	0	xi-x*	1	2	3	4	5	...	27	28	29	30	31	αύξουσα		σειρά	
$\bar{\delta}=1.5s^*$	-		<b>0.1185</b>	<b>0.1176</b>	<b>0.1313</b>	<b>0.1429</b>	<b>0.1529</b>	...	<b>0.2303</b>	<b>0.2314</b>	<b>0.2323</b>	<b>0.2332</b>	<b>0.2340</b>				
$x^*-\bar{\delta}$	-		<b>-0.0610</b>	<b>-0.0366</b>	<b>-0.0457</b>	<b>-0.0537</b>	<b>-0.0606</b>	...	<b>-0.1158</b>	<b>-0.1165</b>	<b>-0.1172</b>	<b>-0.1179</b>	<b>-0.1184</b>				
$x^*+\bar{\delta}$	-		<b>0.1760</b>	<b>0.1986</b>	<b>0.2169</b>	<b>0.2321</b>	<b>0.2451</b>	...	<b>0.3449</b>	<b>0.3462</b>	<b>0.3474</b>	<b>0.3485</b>	<b>0.3496</b>				
Lab 4	0.0575	0.0000	0.0575	0.0575	0.0575	0.0575	0.0575	...	0.0575	0.0575	0.0575	0.0575	0.0575	-0.372	Lab 13	-0.713	
Lab 11	0.0411	0.0164	0.0411	0.0411	0.0411	0.0411	0.0411	...	0.0411	0.0411	0.0411	0.0411	0.0411	-0.477	Lab 11	-0.477	
Lab 13	0.0042	0.0533	0.0042	0.0042	0.0042	0.0042	0.0042	...	0.0042	0.0042	0.0042	0.0042	0.0042	-0.713	Lab 4	-0.372	
<b>Lab 17</b>	<b>0.5217</b>	0.4642	0.1760	0.1986	0.2169	0.2321	0.2451	...	0.3449	0.3462	0.3474	0.3485	0.3496	<b>2.594</b>	Lab 18	0.068	
Lab 18	0.1264	0.0689	0.1264	0.1264	0.1264	0.1264	0.1264	...	0.1264	0.1264	0.1264	0.1264	0.1264	0.068	<b>Lab 17</b>	<b>2.594</b>	
Average	<b>0.1502</b>		<b>0.0810</b>	<b>0.0856</b>	<b>0.0892</b>	<b>0.0923</b>	<b>0.0949</b>	...	<b>0.1148</b>	<b>0.1151</b>	<b>0.1153</b>	<b>0.1156</b>	<b>0.1158</b>				
SD	<b>0.2123</b>	<b>0.1941</b>	<b>0.0691</b>	<b>0.0772</b>	<b>0.0840</b>	<b>0.0899</b>	<b>0.0950</b>	...	<b>0.1360</b>	<b>0.1366</b>	<b>0.1371</b>	<b>0.1376</b>	<b>0.1380</b>				
New x*	<b>0.0575</b>	<b>0.0533</b>	<b>0.0810</b>	<b>0.0856</b>	<b>0.0892</b>	<b>0.0923</b>	<b>0.0949</b>	...	<b>0.1148</b>	<b>0.1151</b>	<b>0.1153</b>	<b>0.1156</b>	<b>0.1158</b>				
New s*	<b>0.0790</b>		<b>0.0784</b>	<b>0.0875</b>	<b>0.0953</b>	<b>0.1019</b>	<b>0.1077</b>	...	<b>0.1542</b>	<b>0.1549</b>	<b>0.1555</b>	<b>0.1560</b>	<b>0.1565</b>	<b>1.134*SD</b>			



**Πίνακας Π.159 Μέση Ένταση ηλεκτρικού πεδίου E(V/m) στη φασματική περιοχή DCS(1700-1900MHz):  
Σενάριο μέτρησης 1, Θέση μέτρησης 2, Ύψος μέτρησης 1.5m**

Number of laboratories=		5												Z-Score	Z-Score αύξουσα σειρά	
Iteration	0	xi-x*	1	2	3	4	5	...	24	25	26	27	28			
$\delta=1.5s^*$	-		<b>0.1130</b>	<b>0.1138</b>	<b>0.1288</b>	<b>0.1414</b>	<b>0.1522</b>	...	<b>0.2306</b>	<b>0.2320</b>	<b>0.2333</b>	<b>0.2345</b>	<b>0.2355</b>			
$x^*-\delta$	-		<b>-0.0579</b>	<b>-0.0341</b>	<b>-0.0440</b>	<b>-0.0525</b>	<b>-0.0599</b>	...	<b>-0.1157</b>	<b>-0.1167</b>	<b>-0.1177</b>	<b>-0.1185</b>	<b>-0.1193</b>			
$x^*+\delta$	-		<b>0.1681</b>	<b>0.1936</b>	<b>0.2137</b>	<b>0.2303</b>	<b>0.2444</b>	...	<b>0.3454</b>	<b>0.3472</b>	<b>0.3489</b>	<b>0.3504</b>	<b>0.3518</b>			
Lab 4	0.0551	0.0000	0.0551	0.0551	0.0551	0.0551	0.0551	...	0.0551	0.0551	0.0551	0.0551	0.0551	-0.389	Lab 13	-0.711
Lab 11	0.0424	0.0127	0.0424	0.0424	0.0424	0.0424	0.0424	...	0.0424	0.0424	0.0424	0.0424	0.0424	-0.470	Lab 11	-0.470
Lab 13	0.0043	0.0508	0.0043	0.0043	0.0043	0.0043	0.0043	...	0.0043	0.0043	0.0043	0.0043	0.0043	-0.711	Lab 4	-0.389
<b>Lab 17</b>	<b>0.5605</b>	0.5054	0.1681	0.1936	0.2137	0.2303	0.2444	...	0.3454	0.3472	0.3489	0.3504	0.3518	<b>2.815</b>	Lab 18	0.079
Lab 18	0.1290	0.0739	0.1290	0.1290	0.1290	0.1290	0.1290	...	0.1290	0.1290	0.1290	0.1290	0.1290	0.079	<b>Lab 17</b>	<b>2.815</b>
Average	<b>0.1582</b>		<b>0.0798</b>	<b>0.0849</b>	<b>0.0889</b>	<b>0.0922</b>	<b>0.0950</b>	...	<b>0.1152</b>	<b>0.1156</b>	<b>0.1159</b>	<b>0.1162</b>	<b>0.1165</b>			
SD	<b>0.2293</b>	<b>0.2127</b>	<b>0.0669</b>	<b>0.0757</b>	<b>0.0831</b>	<b>0.0894</b>	<b>0.0949</b>	...	<b>0.1364</b>	<b>0.1371</b>	<b>0.1378</b>	<b>0.1385</b>	<b>0.1391</b>			
New $x^*$	<b>0.0551</b>	<b>0.0508</b>	<b>0.0798</b>	<b>0.0849</b>	<b>0.0889</b>	<b>0.0922</b>	<b>0.0950</b>	...	<b>0.1152</b>	<b>0.1156</b>	<b>0.1159</b>	<b>0.1162</b>	<b>0.1165</b>			
New $s^*$	<b>0.0753</b>		<b>0.0759</b>	<b>0.0859</b>	<b>0.0943</b>	<b>0.1014</b>	<b>0.1077</b>	...	<b>0.1546</b>	<b>0.1555</b>	<b>0.1563</b>	<b>0.1570</b>	<b>0.1577</b>	<b>1.134*SD</b>		

**Πίνακας Π.160 Μέση Ένταση ηλεκτρικού πεδίου E(V/m) στη φασματική περιοχή DCS(1700-1900MHz):  
Σενάριο μέτρησης 1, Θέση μέτρησης 3, Ύψος μέτρησης 1.5m**

Number of laboratories=		4												Z-Score	Z-Score	
Iteration	0	xi-x*	1	2	3	4	5	...	14	15	16	17	18		αύξουσα	σειρά
$\bar{\delta}=1.5s^*$	-		<b>0.0602</b>	<b>0.0753</b>	<b>0.0892</b>	<b>0.1035</b>	<b>0.1186</b>	...	<b>0.3204</b>	<b>0.3541</b>	<b>0.3911</b>	<b>0.4317</b>	<b>0.4551</b>			
$x^*-\bar{\delta}$	-		<b>-0.0086</b>	<b>-0.0204</b>	<b>-0.0296</b>	<b>-0.0393</b>	<b>-0.0497</b>	...	<b>-0.1909</b>	<b>-0.2147</b>	<b>-0.2408</b>	<b>-0.2694</b>	<b>-0.2858</b>			
$x^*+\bar{\delta}$	-		<b>0.1118</b>	<b>0.1303</b>	<b>0.1487</b>	<b>0.1676</b>	<b>0.1874</b>	...	<b>0.4498</b>	<b>0.4935</b>	<b>0.5415</b>	<b>0.5940</b>	<b>0.6243</b>			
Lab 4	0.059	0.0072	0.0588	0.0588	0.0588	0.0588	0.0588	...	0.0588	0.0588	0.0588	0.0588	0.0588	-0.364	Lab 13	-0.542
Lab 11	0.044	0.0072	0.0444	0.0444	0.0444	0.0444	0.0444	...	0.0444	0.0444	0.0444	0.0444	0.0444	-0.411	Lab 11	-0.411
Lab 13	0.005	0.0469	0.0047	0.0047	0.0047	0.0047	0.0047	...	0.0047	0.0047	0.0047	0.0047	0.0047	-0.542	Lab 4	-0.364
Lab 17	0.569	0.5175	0.1118	0.1303	0.1487	0.1676	0.1874	...	0.4498	0.4935	0.5415	0.5691	0.5691	1.318	Lab 17	1.318
Average	<b>0.1692</b>		<b>0.0549</b>	<b>0.0595</b>	<b>0.0641</b>	<b>0.0689</b>	<b>0.0738</b>	...	<b>0.1394</b>	<b>0.1504</b>	<b>0.1623</b>	<b>0.1692</b>	<b>0.1692</b>			
SD	<b>0.2675</b>	<b>0.2492</b>	<b>0.0443</b>	<b>0.0524</b>	<b>0.0608</b>	<b>0.0697</b>	<b>0.0791</b>	...	<b>0.2082</b>	<b>0.2299</b>	<b>0.2538</b>	<b>0.2675</b>	<b>0.2675</b>			
New $x^*$	<b>0.0516</b>	<b>0.0271</b>	<b>0.0549</b>	<b>0.0595</b>	<b>0.0641</b>	<b>0.0689</b>	<b>0.0738</b>	...	<b>0.1394</b>	<b>0.1504</b>	<b>0.1623</b>	<b>0.1692</b>	<b>0.1692</b>			
New $s^*$	<b>0.0401</b>		<b>0.0502</b>	<b>0.0594</b>	<b>0.0690</b>	<b>0.0790</b>	<b>0.0897</b>	...	<b>0.2361</b>	<b>0.2607</b>	<b>0.2878</b>	<b>0.3034</b>	<b>0.3034</b>	1.134*SD		

**Πίνακας Π.161 Μέση Ένταση ηλεκτρικού πεδίου E(V/m) στη φασματική περιοχή DCS(1700-1900MHz):  
Σενάριο μέτρησης 2, Θέση μέτρησης 1, Ύψος μέτρησης 1.1m**

Number of laboratories=		<b>6</b>									
Iteration	0	xi-x*	1	2	3	4	5	6	Z-Score	Z-Score αύξουσα σειρά	
$\bar{\delta}=1.5s^*$	-		<b>0.3356</b>	<b>0.3828</b>	<b>0.4740</b>	<b>0.5827</b>	<b>0.7128</b>	<b>0.7658</b>			
$x^*-\bar{\delta}$	-		<b>0.9013</b>	<b>0.9156</b>	<b>0.8607</b>	<b>0.7945</b>	<b>0.7148</b>	<b>0.6815</b>			
$x^*+\bar{\delta}$	-		<b>1.5724</b>	<b>1.6812</b>	<b>1.8087</b>	<b>1.9598</b>	<b>2.1404</b>	<b>2.2131</b>			
Lab 4	1.9700	0.7332	1.5724	1.6812	1.8087	1.9598	1.9700	1.9700	1.024	Lab 23	-0.716
Lab 10	1.2880	0.0512	1.2880	1.2880	1.2880	1.2880	1.2880	1.2880	-0.312	Lab 12	-0.700
Lab 11	1.1857	0.0512	1.1857	1.1857	1.1857	1.1857	1.1857	1.1857	-0.512	Lab 11	-0.512
Lab 12	1.0900	0.1469	1.0900	1.0900	1.0900	1.0900	1.0900	1.0900	-0.700	Lab 10	-0.312
Lab 13	2.0680	0.8312	1.5724	1.6812	1.8087	1.9598	2.0680	2.0680	1.216	Lab 4	1.024
Lab 23	1.0820	0.1549	1.0820	1.0820	1.0820	1.0820	1.0820	1.0820	-0.716	Lab 13	1.216
Average	<b>1.4473</b>		<b>1.2984</b>	<b>1.3347</b>	<b>1.3772</b>	<b>1.4276</b>	<b>1.4473</b>	<b>1.4473</b>			
SD	<b>0.4502</b>	<b>0.3559</b>	<b>0.2251</b>	<b>0.2787</b>	<b>0.3425</b>	<b>0.4190</b>	<b>0.4502</b>	<b>0.4502</b>			
New $x^*$	<b>1.2369</b>	<b>0.1509</b>	<b>1.2984</b>	<b>1.3347</b>	<b>1.3772</b>	<b>1.4276</b>	<b>1.4473</b>	<b>1.4473</b>			
New $s^*$	<b>0.2237</b>		<b>0.2552</b>	<b>0.3160</b>	<b>0.3884</b>	<b>0.4752</b>	<b>0.5105</b>	<b>0.5105</b>	<b>1.134*SD</b>		

**Πίνακας Π.162 Μέση Ένταση ηλεκτρικού πεδίου E(V/m) στη φασματική περιοχή DCS(1700-1900MHz):  
Σενάριο μέτρησης 2, Θέση μέτρησης 1, Ύψος μέτρησης 1.5m**

Number of laboratories=		<b>8</b>								
Iteration	0	xi-x*	1	2	3	4	5	Z-Score	Z-Score αύξουσα σειρά	
$\bar{\delta}=1.5s^*$	-		<b>0.7489</b>	<b>0.9051</b>	<b>0.9863</b>	<b>1.0171</b>	<b>1.0182</b>			
$x^*-\bar{\delta}$	-		<b>0.3125</b>	<b>0.1077</b>	<b>0.0245</b>	<b>0.0036</b>	<b>0.0028</b>			
$x^*+\bar{\delta}$	-		<b>1.8102</b>	<b>1.9179</b>	<b>1.9971</b>	<b>2.0378</b>	<b>2.0393</b>			
Lab 4	1.3900	0.3287	1.3900	1.3900	1.3900	1.3900	1.3900	0.543	Lab 18	-1.226
Lab 6	2.0000	0.9387	1.8102	1.9179	1.9971	2.0000	2.0000	1.442	Lab 23	-1.022
Lab 10	1.1150	0.0537	1.1150	1.1150	1.1150	1.1150	1.1150	0.138	Lab 12	-0.423
Lab 11	1.0077	0.0537	1.0077	1.0077	1.0077	1.0077	1.0077	-0.020	Lab 11	-0.020
Lab 12	0.7340	0.3274	0.7340	0.7340	0.7340	0.7340	0.7340	-0.423	Lab 10	0.138
Lab 13	1.4060	0.3447	1.4060	1.4060	1.4060	1.4060	1.4060	0.567	Lab 4	0.543
Lab 18	0.1888	0.8725	0.3125	0.1888	0.1888	0.1888	0.1888	-1.226	Lab 13	0.567
Lab 23	0.3270	0.7344	0.3270	0.3270	0.3270	0.3270	0.3270	-1.022	Lab 6	1.442
Average	<b>1.0211</b>		<b>1.0128</b>	<b>1.0108</b>	<b>1.0207</b>	<b>1.0211</b>	<b>1.0211</b>			
SD	<b>0.5986</b>	<b>0.3490</b>	<b>0.5321</b>	<b>0.5798</b>	<b>0.5979</b>	<b>0.5986</b>	<b>0.5986</b>			
New $x^*$	<b>1.0614</b>	<b>0.3367</b>	<b>1.0128</b>	<b>1.0108</b>	<b>1.0207</b>	<b>1.0211</b>	<b>1.0211</b>			
New $s^*$	<b>0.4993</b>		<b>0.6034</b>	<b>0.6575</b>	<b>0.6781</b>	<b>0.6788</b>	<b>0.6788</b>	<b>1.134*SD</b>		

**Πίνακας Π.163 Μέση Ένταση ηλεκτρικού πεδίου E(V/m) στη φασματική περιοχή DCS(1700-1900MHz):  
Σενάριο μέτρησης 2, Θέση μέτρησης 1, Ύψος μέτρησης 1.7m**

Number of laboratories=		7						
Iteration	0	xi-x*	1	2	3	Z-Score	Z-Score αύξουσα σειρά	
$\delta=1.5s^*$	-		<b>0.5050</b>	<b>0.5876</b>	<b>0.6350</b>			
$x^*-\delta$	-		<b>0.6880</b>	<b>0.6959</b>	<b>0.6668</b>			
$x^*+\delta$	-		<b>1.6980</b>	<b>1.8712</b>	<b>1.9369</b>			
Lab 4	1.420	0.2270	1.4200	1.4200	1.4200	0.279	Lab 11	-1.403
Lab 6	1.826	0.6330	1.6980	1.8260	1.8260	1.238	Lab 12	-0.373
Lab 10	1.152	0.0410	1.1520	1.1520	1.1520	-0.354	Lab 10	-0.354
Lab 11	0.708	0.4851	0.7079	0.7079	0.7079	-1.403	Lab 23	-0.257
Lab 12	1.144	0.0490	1.1440	1.1440	1.1440	-0.373	Lab 4	0.279
Lab 13	1.670	0.4770	1.6700	1.6700	1.6700	0.870	Lab 13	0.870
Lab 23	1.193	0.0000	1.1930	1.1930	1.1930	-0.257	Lab 6	1.238
Average	<b>1.3018</b>		<b>1.2836</b>	<b>1.3018</b>	<b>1.3018</b>			
SD	<b>0.3733</b>	<b>0.2572</b>	<b>0.3455</b>	<b>0.3733</b>	<b>0.3733</b>			
New $x^*$	<b>1.1930</b>	<b>0.2270</b>	<b>1.2836</b>	<b>1.3018</b>	<b>1.3018</b>			
New $s^*$	<b>0.3366</b>		<b>0.3918</b>	<b>0.4233</b>	<b>0.4233</b>			1.134*SD

**Πίνακας Π.164 Μέση Ένταση ηλεκτρικού πεδίου E(V/m) στη φασματική περιοχή DCS(1700-1900MHz):  
Σενάριο μέτρησης 2, Θέση μέτρησης 2, Ύψος μέτρησης 1.1m**

Number of laboratories=		<b>6</b>								
Iteration	0	$\chi_i - x^*$	1	2	3	4	5	Z-Score	Z-Score αύξουσα σειρά	
$\bar{\delta}=1.5s^*$	-		<b>0.1614</b>	<b>0.1840</b>	<b>0.2028</b>	<b>0.2159</b>	<b>0.2177</b>			
$x^* - \bar{\delta}$	-		<b>0.6326</b>	<b>0.5937</b>	<b>0.5685</b>	<b>0.5511</b>	<b>0.5487</b>			
$x^* + \bar{\delta}$	-		<b>0.9554</b>	<b>0.9617</b>	<b>0.9740</b>	<b>0.9829</b>	<b>0.9842</b>			
Lab 4	0.800	0.0060	0.8000	0.8000	0.8000	0.8000	0.8000	0.231	Lab 12	-1.388
Lab 10	0.788	0.0060	0.7880	0.7880	0.7880	0.7880	0.7880	0.148	Lab 23	-0.582
Lab 11	0.827	0.0331	0.8271	0.8271	0.8271	0.8271	0.8271	0.418	Lab 10	0.148
Lab 12	0.565	0.2290	0.6326	0.5937	0.5685	0.5650	0.5650	-1.388	Lab 4	0.231
Lab 13	0.937	0.1426	0.9366	0.9366	0.9366	0.9366	0.9366	1.172	Lab 11	0.418
Lab 23	0.682	0.1120	0.6820	0.6820	0.6820	0.6820	0.6820	-0.582	Lab 13	1.172
Average	<b>0.7665</b>		<b>0.7777</b>	<b>0.7712</b>	<b>0.7670</b>	<b>0.7665</b>	<b>0.7665</b>			
SD	<b>0.1280</b>	<b>0.0893</b>	<b>0.1082</b>	<b>0.1192</b>	<b>0.1269</b>	<b>0.1280</b>	<b>0.1280</b>			
New $x^*$	<b>0.7940</b>	<b>0.0725</b>	<b>0.7777</b>	<b>0.7712</b>	<b>0.7670</b>	<b>0.7665</b>	<b>0.7665</b>			
New $s^*$	<b>0.1076</b>		<b>0.1227</b>	<b>0.1352</b>	<b>0.1439</b>	<b>0.1452</b>	<b>0.1452</b>	<b>1.134*SD</b>		

**Πίνακας Π.165 Μέση Ένταση ηλεκτρικού πεδίου E(V/m) στη φασματική περιοχή DCS(1700-1900MHz):  
Σενάριο μέτρησης 2, Θέση μέτρησης 2, Ύψος μέτρησης 1.5m**

Number of laboratories=		<b>8</b>								
Iteration	0	xi-x*	1	2	3	4	5	Z-Score	Z-Score αύξουσα σειρά	
$\bar{\delta}=1.5s^*$	-		<b>0.4805</b>	<b>0.5114</b>	<b>0.5114</b>	<b>0.5114</b>	<b>0.5114</b>			
$x^*-\bar{\delta}$	-		<b>0.1210</b>	<b>0.0380</b>	<b>0.0380</b>	<b>0.0380</b>	<b>0.0380</b>			
$x^*+\bar{\delta}$	-		<b>1.0820</b>	<b>1.0608</b>	<b>1.0608</b>	<b>1.0608</b>	<b>1.0608</b>			
Lab 4	0.6700	0.0685	0.6700	0.6700	0.6700	0.6700	0.6700	0.354	Lab 18	-1.199
Lab 6	0.5700	0.0315	0.5700	0.5700	0.5700	0.5700	0.5700	0.060	Lab 11	-0.927
Lab 10	0.6330	0.0315	0.6330	0.6330	0.6330	0.6330	0.6330	0.245	Lab 23	-0.635
Lab 11	0.2334	0.3681	0.2334	0.2334	0.2334	0.2334	0.2334	-0.927	Lab 6	0.060
Lab 12	0.7650	0.1635	0.7650	0.7650	0.7650	0.7650	0.7650	0.632	Lab 10	0.245
Lab 13	1.0500	0.4485	1.0500	1.0500	1.0500	1.0500	1.0500	1.468	Lab 4	0.354
Lab 18	0.1407	0.4608	0.1407	0.1407	0.1407	0.1407	0.1407	-1.199	Lab 12	0.632
Lab 23	0.3330	0.2685	0.3330	0.3330	0.3330	0.3330	0.3330	-0.635	Lab 13	1.468
Average	<b>0.5494</b>		<b>0.5494</b>	<b>0.5494</b>	<b>0.5494</b>	<b>0.5494</b>	<b>0.5494</b>			
SD	<b>0.3007</b>	<b>0.1816</b>	<b>0.3007</b>	<b>0.3007</b>	<b>0.3007</b>	<b>0.3007</b>	<b>0.3007</b>			
New $x^*$	<b>0.6015</b>	<b>0.2160</b>	<b>0.5494</b>	<b>0.5494</b>	<b>0.5494</b>	<b>0.5494</b>	<b>0.5494</b>			
New $s^*$	<b>0.3203</b>		<b>0.3409</b>	<b>0.3409</b>	<b>0.3409</b>	<b>0.3409</b>	<b>0.3409</b>			<b>1.134*SD</b>

**Πίνακας Π.166 Μέση Ένταση ηλεκτρικού πεδίου E(V/m) στη φασματική περιοχή DCS(1700-1900MHz):  
Σενάριο μέτρησης 2, Θέση μέτρησης 2, Ύψος μέτρησης 1.7m**

Number of laboratories=		<b>7</b>										
Iteration	0	$\bar{x}_i - x^*$	1	2	3	4	5	6	7	Z-Score	Z-Score αύξουσα σειρά	
$\bar{\delta} = 1.5s^*$	-		<b>0.2736</b>	<b>0.3076</b>	<b>0.3170</b>	<b>0.3228</b>	<b>0.3264</b>	<b>0.3287</b>	<b>0.3301</b>			
$x^* - \bar{\delta}$	-		<b>0.7364</b>	<b>0.6892</b>	<b>0.6827</b>	<b>0.6787</b>	<b>0.6762</b>	<b>0.6746</b>	<b>0.6737</b>			
$x^* + \bar{\delta}$	-		<b>1.2836</b>	<b>1.3044</b>	<b>1.3168</b>	<b>1.3244</b>	<b>1.3291</b>	<b>1.3320</b>	<b>1.3338</b>			
Lab 4	1.0100	0.0000	1.0100	1.0100	1.0100	1.0100	1.0100	1.0100	1.0100	0.027	Lab 12	-1.079
<b>Lab 6</b>	<b>2.4600</b>	1.4500	1.2836	1.3044	1.3168	1.3244	1.3291	1.3320	1.3338	<b>6.600</b>	Lab 23	-0.779
Lab 10	0.8870	0.1230	0.8870	0.8870	0.8870	0.8870	0.8870	0.8870	0.8870	-0.530	Lab 10	-0.530
Lab 11	1.0910	0.0810	1.0910	1.0910	1.0910	1.0910	1.0910	1.0910	1.0910	0.395	Lab 4	0.027
Lab 12	0.7660	0.2440	0.7660	0.7660	0.7660	0.7660	0.7660	0.7660	0.7660	-1.079	Lab 11	0.395
Lab 13	1.1080	0.0980	1.1080	1.1080	1.1080	1.1080	1.1080	1.1080	1.1080	0.472	Lab 13	0.472
Lab 23	0.8320	0.1780	0.8320	0.8320	0.8320	0.8320	0.8320	0.8320	0.8320	-0.779	<b>Lab 6</b>	<b>6.600</b>
Average	<b>1.1649</b>		<b>0.9968</b>	<b>0.9998</b>	<b>1.0015</b>	<b>1.0026</b>	<b>1.0033</b>	<b>1.0037</b>	<b>1.0040</b>			
SD	<b>0.5855</b>	<b>0.5082</b>	<b>0.1808</b>	<b>0.1864</b>	<b>0.1898</b>	<b>0.1919</b>	<b>0.1932</b>	<b>0.1940</b>	<b>0.1945</b>			
New $x^*$	<b>1.0100</b>	<b>0.1230</b>	<b>0.9968</b>	<b>0.9998</b>	<b>1.0015</b>	<b>1.0026</b>	<b>1.0033</b>	<b>1.0037</b>	<b>1.0040</b>			
New $s^*$	<b>0.1824</b>		<b>0.2050</b>	<b>0.2114</b>	<b>0.2152</b>	<b>0.2176</b>	<b>0.2191</b>	<b>0.2200</b>	<b>0.2206</b>	<b>1.134*SD</b>		



**Πίνακας Π.167 Μέση Ένταση ηλεκτρικού πεδίου E(V/m) στη φασματική περιοχή DCS(1700-1900MHz):  
Σενάριο μέτρησης 2, Θέση μέτρησης 3, Ύψος μέτρησης 1.1m**

Number of laboratories=		<b>4</b>										
Iteration	0	xi-x*	1	2	3	4	5	6	Z-Score	Z-Score αύξουσα σειρά		
$\bar{\delta}=1.5s^*$	-		<b>0.1312</b>	<b>0.1647</b>	<b>0.2031</b>	<b>0.2360</b>	<b>0.2599</b>	<b>0.2716</b>				
$x^*-\bar{\delta}$	-		<b>0.8388</b>	<b>0.8153</b>	<b>0.7809</b>	<b>0.7539</b>	<b>0.7376</b>	<b>0.7296</b>				
$x^*+\bar{\delta}$	-		<b>1.1012</b>	<b>1.1447</b>	<b>1.1871</b>	<b>1.2258</b>	<b>1.2575</b>	<b>1.2727</b>				
Lab 4	0.9700	0.0000	0.9700	0.9700	0.9700	0.9700	0.9700	0.9700	-0.172	Lab 12	-1.100	
Lab 10	0.9610	0.0090	0.9610	0.9610	0.9610	0.9610	0.9610	0.9610	-0.222	Lab 10	-0.222	
Lab 11	1.2439	0.2739	1.1012	1.1447	1.1871	1.2258	1.2439	1.2439	1.341	Lab 4	-0.172	
Lab 12	0.8020	0.1680	0.8388	0.8153	0.8020	0.8020	0.8020	0.8020	-1.100	Lab 13	0.154	
Lab 13	1.0290	0.0590	1.0290	1.0290	1.0290	1.0290	1.0290	1.0290	0.154	Lab 11	1.341	
Average	<b>1.0012</b>		<b>0.9800</b>	<b>0.9840</b>	<b>0.9898</b>	<b>0.9976</b>	<b>1.0012</b>	<b>1.0012</b>				
SD	<b>0.1596</b>	<b>0.1171</b>	<b>0.0968</b>	<b>0.1194</b>	<b>0.1387</b>	<b>0.1528</b>	<b>0.1596</b>	<b>0.1596</b>				
New x*	<b>0.9700</b>	<b>0.0590</b>	<b>0.9800</b>	<b>0.9840</b>	<b>0.9898</b>	<b>0.9976</b>	<b>1.0012</b>	<b>1.0012</b>				
New s*	<b>0.0875</b>		<b>0.1098</b>	<b>0.1354</b>	<b>0.1573</b>	<b>0.1733</b>	<b>0.1810</b>	<b>0.1810</b>			1.134*SD	

**Πίνακας Π.168 Μέση Ένταση ηλεκτρικού πεδίου E(V/m) στη φασματική περιοχή DCS(1700-1900MHz):  
Σενάριο μέτρησης 2, Θέση μέτρησης 3, Ύψος μέτρησης 1.5m**

Number of laboratories=		<b>6</b>								
Iteration	0	xi-x*	1	2	3	4	5	Z-Score	Z-Score αύξουσα σειρά	
$\bar{\delta}=1.5s^*$	-		<b>0.4891</b>	<b>0.5508</b>	<b>0.5846</b>	<b>0.6087</b>	<b>0.6166</b>			
$x^*-\bar{\delta}$	-		<b>1.3714</b>	<b>1.3070</b>	<b>1.2625</b>	<b>1.2310</b>	<b>1.2206</b>			
$x^*+\bar{\delta}$	-		<b>2.3496</b>	<b>2.4086</b>	<b>2.4316</b>	<b>2.4483</b>	<b>2.4539</b>			
Lab 4	1.900	0.0395	1.9000	1.9000	1.9000	1.9000	1.9000	0.153	Lab 12	-1.433
Lab 6	2.290	0.4295	2.2900	2.2900	2.2900	2.2900	2.2900	1.101	Lab 11	-0.425
Lab 10	1.821	0.0395	1.8210	1.8210	1.8210	1.8210	1.8210	-0.039	Lab 10	-0.039
Lab 11	1.662	0.1982	1.6623	1.6623	1.6623	1.6623	1.6623	-0.425	Lab 4	0.153
Lab 12	1.248	0.6125	1.3714	1.3070	1.2625	1.2480	1.2480	-1.433	Lab 13	0.644
Lab 13	2.102	0.2415	2.1020	2.1020	2.1020	2.1020	2.1020	0.644	Lab 6	1.101
Average	<b>1.8372</b>		<b>1.8578</b>	<b>1.8470</b>	<b>1.8396</b>	<b>1.8372</b>	<b>1.8372</b>			
SD	<b>0.3625</b>	<b>0.2256</b>	<b>0.3238</b>	<b>0.3437</b>	<b>0.3578</b>	<b>0.3625</b>	<b>0.3625</b>			
New $x^*$	<b>1.8605</b>	<b>0.2199</b>	<b>1.8578</b>	<b>1.8470</b>	<b>1.8396</b>	<b>1.8372</b>	<b>1.8372</b>			
New $s^*$	<b>0.3260</b>		<b>0.3672</b>	<b>0.3897</b>	<b>0.4058</b>	<b>0.4111</b>	<b>0.4111</b>	<b>1.134*SD</b>		

**Πίνακας Π.169 Μέση Ένταση ηλεκτρικού πεδίου E(V/m) στη φασματική περιοχή DCS(1700-1900MHz):  
Σενάριο μέτρησης 2, Θέση μέτρησης 3, Ύψος μέτρησης 1.7m**

Number of laboratories=		<b>6</b>														
Iteration	0	xi-x*	1	2	3	4	5	...	11	12	13	14	15	Z-Score	Z-Score αύξουσα σειρά	
$\delta=1.5s^*$	-		<b>0.3615</b>	<b>0.4376</b>	<b>0.5115</b>	<b>0.5546</b>	<b>0.5825</b>	...	<b>0.6458</b>	<b>0.6490</b>	<b>0.6514</b>	<b>0.6531</b>	<b>0.6545</b>			
$x^*-\delta$	-		<b>1.4306</b>	<b>1.3430</b>	<b>1.2653</b>	<b>1.2313</b>	<b>1.2121</b>	...	<b>1.1677</b>	<b>1.1654</b>	<b>1.1637</b>	<b>1.1625</b>	<b>1.1615</b>			
$x^*+\delta$	-		<b>2.1536</b>	<b>2.2181</b>	<b>2.2882</b>	<b>2.3405</b>	<b>2.3772</b>	...	<b>2.4593</b>	<b>2.4634</b>	<b>2.4665</b>	<b>2.4688</b>	<b>2.4704</b>			
Lab 4	1.9200	0.1279	1.9200	1.9200	1.9200	1.9200	1.9200	...	1.9200	1.9200	1.9200	1.9200	1.9200	0.237	Lab 10 -1.117	
<b>Lab 6</b>	<b>2.9450</b>	1.1529	2.1536	2.2181	2.2882	2.3405	2.3772	...	2.4593	2.4634	2.4665	2.4688	2.4704	<b>2.583</b>	Lab 13 -0.506	
Lab 10	1.3280	0.4641	1.4306	1.3430	1.3280	1.3280	1.3280	...	1.3280	1.3280	1.3280	1.3280	1.3280	-1.117	Lab 11 -0.254	
Lab 11	1.7052	0.0869	1.7052	1.7052	1.7052	1.7052	1.7052	...	1.7052	1.7052	1.7052	1.7052	1.7052	-0.254	Lab 12 0.144	
Lab 12	1.8790	0.0869	1.8790	1.8790	1.8790	1.8790	1.8790	...	1.8790	1.8790	1.8790	1.8790	1.8790	0.144	Lab 4 0.237	
Lab 13	1.5950	0.1971	1.5950	1.5950	1.5950	1.5950	1.5950	...	1.5950	1.5950	1.5950	1.5950	1.5950	-0.506	<b>Lab 6 2.583</b>	
Average	<b>1.895</b>		<b>1.7806</b>	<b>1.7767</b>	<b>1.7859</b>	<b>1.7946</b>	<b>1.8007</b>	...	<b>1.8144</b>	<b>1.8151</b>	<b>1.8156</b>	<b>1.8160</b>	<b>1.8163</b>			
SD	<b>0.557</b>	<b>0.4168</b>	<b>0.2572</b>	<b>0.3007</b>	<b>0.3261</b>	<b>0.3425</b>	<b>0.3543</b>	...	<b>0.3816</b>	<b>0.3829</b>	<b>0.3840</b>	<b>0.3847</b>	<b>0.3853</b>			
New $x^*$	<b>1.792</b>	<b>0.1625</b>	<b>1.7806</b>	<b>1.7767</b>	<b>1.7859</b>	<b>1.7946</b>	<b>1.8007</b>	...	<b>1.8144</b>	<b>1.8151</b>	<b>1.8156</b>	<b>1.8160</b>	<b>1.8163</b>			
New $s^*$	<b>0.241</b>		<b>0.2917</b>	<b>0.3410</b>	<b>0.3698</b>	<b>0.3884</b>	<b>0.4017</b>	...	<b>0.4327</b>	<b>0.4343</b>	<b>0.4354</b>	<b>0.4363</b>	<b>0.4369</b>	1.134*SD		

**Πίνακας Π.170 Μέση Ένταση ηλεκτρικού πεδίου E(V/m) στη φασματική περιοχή UMTS(1900-2200MHz):  
Σενάριο μέτρησης 2, Θέση μέτρησης 1**

Number of laboratories=		5					
Iteration	0	xi-x*	1	2	3	Z-Score	Z-Score αύξουσα σειρά
$\delta=1.5s^*$	-		<b>0.5383</b>	<b>0.6249</b>	<b>0.6496</b>		
$x^*-\delta$	-		<b>0.2307</b>	<b>0.1100</b>	<b>0.0769</b>		
$x^*+\delta$	-		<b>1.3073</b>	<b>1.3598</b>	<b>1.3762</b>		
Lab 6	1.149	0.3800	1.1490	1.1490	1.1490	0.975	Lab 18 -1.242
Lab 10	0.999	0.2300	0.9990	0.9990	0.9990	0.629	Lab 23 -0.461
Lab 12	0.769	0.0000	0.7690	0.7690	0.7690	0.098	Lab 12 0.098
Lab 18	0.189	0.5802	0.2307	0.1888	0.1888	-1.242	Lab 10 0.629
Lab 23	0.527	0.2420	0.5270	0.5270	0.5270	-0.461	Lab 6 0.975
Average	<b>0.7266</b>		<b>0.7349</b>	<b>0.7266</b>	<b>0.7266</b>		
SD	<b>0.3819</b>	<b>0.2134</b>	<b>0.3674</b>	<b>0.3819</b>	<b>0.3819</b>		
New x*	<b>0.7690</b>	<b>0.2420</b>	<b>0.7349</b>	<b>0.7266</b>	<b>0.7266</b>		
New s*	<b>0.3589</b>		<b>0.4166</b>	<b>0.4331</b>	<b>0.4331</b>		1.134*SD

**Πίνακας Π.171 Μέση Ένταση ηλεκτρικού πεδίου E(V/m) στη φασματική περιοχή UMTS(1900-2200MHz):  
Σενάριο μέτρησης 2, Θέση μέτρησης 2**

Number of laboratories=		5					
Iteration	0	xi-x*	1	2	3	Z-Score	Z-Score αύξουσα σειρά
$\delta=1.5s^*$	-		<b>0.4138</b>	<b>0.4196</b>	<b>0.4341</b>		
$x^*-\delta$	-		<b>0.1642</b>	<b>0.1001</b>	<b>0.0808</b>		
$x^*+\delta$	-		<b>0.9918</b>	<b>0.9392</b>	<b>0.9491</b>		
Lab 6	0.792	0.2140	0.7920	0.7920	0.7920	0.957	Lab 18 -1.293
Lab 10	0.578	0.0000	0.5780	0.5780	0.5780	0.218	Lab 23 -0.425
Lab 12	0.672	0.0940	0.6720	0.6720	0.6720	0.543	Lab 10 0.218
Lab 18	0.141	0.4373	0.1642	0.1407	0.1407	-1.293	Lab 12 0.543
Lab 23	0.392	0.1860	0.3920	0.3920	0.3920	-0.425	Lab 6 0.957
Average	<b>0.5149</b>		<b>0.5196</b>	<b>0.5149</b>	<b>0.5149</b>		
SD	<b>0.2552</b>	<b>0.1635</b>	<b>0.2467</b>	<b>0.2552</b>	<b>0.2552</b>		
New x*	<b>0.5780</b>	<b>0.1860</b>	<b>0.5196</b>	<b>0.5149</b>	<b>0.5149</b>		
New s*	<b>0.2758</b>		<b>0.2797</b>	<b>0.2894</b>	<b>0.2894</b>		1.134*SD

**Πίνακας Π.172 Μέση Ένταση ηλεκτρικού πεδίου E(V/m) στη φασματική περιοχή UMTS(1900-2200MHz):  
Σενάριο μέτρησης 1, Θέση μέτρησης 1, Ύψος μέτρησης 1.5m**

Number of laboratories=			5					
Iteration	0	xi-x*	1	2	3	Z-Score	Z-Score αύξουσα σειρά	
$\bar{\delta}=1.5s^*$	-		<b>0.0428</b>	<b>0.0444</b>	<b>0.0445</b>			
$x^*-\bar{\delta}$	-		<b>0.0146</b>	<b>0.0067</b>	<b>0.0065</b>			
$x^*+\bar{\delta}$	-		<b>0.1002</b>	<b>0.0954</b>	<b>0.0955</b>			
Lab 4	0.0574	0.0000	0.0574	0.0574	0.0574	0.215	Lab 18	-1.237
Lab 11	0.0381	0.0193	0.0381	0.0381	0.0381	-0.434	Lab 11	-0.434
Lab 13	0.0838	0.0264	0.0838	0.0838	0.0838	1.106	Lab 4	0.215
Lab 17	0.0614	0.0040	0.0614	0.0614	0.0614	0.350	Lab 17	0.350
Lab 18	0.0143	0.0431	0.0146	0.0143	0.0143	-1.237	Lab 13	1.106
Average	<b>0.0510</b>		<b>0.0511</b>	<b>0.0510</b>	<b>0.0510</b>			
SD	<b>0.0262</b>	<b>0.0175</b>	<b>0.0261</b>	<b>0.0262</b>	<b>0.0262</b>			
New x*	<b>0.0574</b>	<b>0.0193</b>	<b>0.0511</b>	<b>0.0510</b>	<b>0.0510</b>			
New s*	<b>0.0286</b>		<b>0.0296</b>	<b>0.0297</b>	<b>0.0297</b>			<b>1.134*SD</b>

**ΣΗΜΕΙΩΣΗ:** Για το εργαστήριο 11 χρησιμοποιήθηκε η τετραγωνική ρίζα του αθροίσματος των τετραγώνων των τιμών στις φασματικές περιοχές 1900-2025MHz και 2110-2170MHz.

Για το εργαστήριο 18 χρησιμοποιήθηκε η τετραγωνική ρίζα του αθροίσματος των τετραγώνων των τιμών στις φασματικές περιοχές 2110-2120MHz και 2125-2130MHz.

**Πίνακας Π.173 Μέση Ένταση ηλεκτρικού πεδίου E(V/m) στη φασματική περιοχή UMTS(1900-2200MHz):  
Σενάριο μέτρησης 1, Θέση μέτρησης 2, Ύψος μέτρησης 1.5m**

Number of laboratories=		5								
Iteration	0	xi-x*	1	2	3	4	5	Z-Score	Z-Score αύξουσα σειρά	
$\bar{\delta}=1.5s^*$	-		<b>0.0224</b>	<b>0.0293</b>	<b>0.0370</b>	<b>0.0437</b>	<b>0.0444</b>			
$x^*-\bar{\delta}$	-		<b>0.0299</b>	<b>0.0232</b>	<b>0.0156</b>	<b>0.0082</b>	<b>0.0073</b>			
$x^*+\bar{\delta}$	-		<b>0.0747</b>	<b>0.0818</b>	<b>0.0897</b>	<b>0.0955</b>	<b>0.0960</b>			
Lab 4	0.0523	0.0000	0.0523	0.0523	0.0523	0.0523	0.0523	0.023	Lab 18	-1.257
Lab 11	0.0434	0.0089	0.0434	0.0434	0.0434	0.0434	0.0434	-0.278	Lab 11	-0.278
Lab 13	0.0856	0.0333	0.0747	0.0818	0.0856	0.0856	0.0856	1.149	Lab 4	0.023
Lab 17	0.0624	0.0101	0.0624	0.0624	0.0624	0.0624	0.0624	0.363	Lab 17	0.363
Lab 18	0.0145	0.0378	0.0299	0.0232	0.0156	0.0145	0.0145	-1.257	Lab 13	1.149
Average	<b>0.0516</b>		<b>0.0525</b>	<b>0.0526</b>	<b>0.0519</b>	<b>0.0516</b>	<b>0.0516</b>			
SD	<b>0.0261</b>	<b>0.0166</b>	<b>0.0172</b>	<b>0.0218</b>	<b>0.0257</b>	<b>0.0261</b>	<b>0.0261</b>			
New x*	<b>0.0523</b>	<b>0.0101</b>	<b>0.0525</b>	<b>0.0526</b>	<b>0.0519</b>	<b>0.0516</b>	<b>0.0516</b>			
New s*	<b>0.0150</b>		<b>0.0195</b>	<b>0.0247</b>	<b>0.0291</b>	<b>0.0296</b>	<b>0.0296</b>			1.134*SD

**ΣΗΜΕΙΩΣΗ:** Για το εργαστήριο 11 χρησιμοποιήθηκε η τετραγωνική ρίζα του αθροίσματος των τετραγώνων των τιμών στις φασματικές περιοχές 1900-2025MHz και 2110-2170MHz.

Για το εργαστήριο 18 χρησιμοποιήθηκε η τετραγωνική ρίζα του αθροίσματος των τετραγώνων των τιμών στις φασματικές περιοχές 2110-2120MHz και 2125-2130MHz.

**Πίνακας Π.174 Μέση Ένταση ηλεκτρικού πεδίου E(V/m) στη φασματική περιοχή UMTS(1900-2200MHz):  
Σενάριο μέτρησης 1, Θέση μέτρησης 3, Ύψος μέτρησης 1.5m**

Number of laboratories=		<b>4</b>						
Iteration	0	xi-x*	1	2	3	Z-Score	Z-Score αύξουσα σειρά	
$\delta=1.5s^*$	-		<b>0.0235</b>	<b>0.0289</b>	<b>0.0317</b>			
$x^*-\delta$	-		<b>0.0348</b>	<b>0.0310</b>	<b>0.0291</b>			
$x^*+\delta$	-		<b>0.0818</b>	<b>0.0888</b>	<b>0.0926</b>			
Lab 4	0.0542	0.0041	0.0542	0.0542	0.0542	-0.314	Lab 11	-0.927
Lab 11	0.0412	0.0171	0.0412	0.0412	0.0412	-0.927	Lab 4	-0.314
Lab 13	0.0856	0.0273	0.0818	0.0856	0.0856	1.170	Lab 17	0.072
Lab 17	0.0624	0.0041	0.0624	0.0624	0.0624	0.072	Lab 13	1.170
Average	<b>0.0608</b>		<b>0.0599</b>	<b>0.0608</b>	<b>0.0608</b>			
SD	<b>0.0187</b>	<b>0.0113</b>	<b>0.0170</b>	<b>0.0187</b>	<b>0.0187</b>			
New x*	<b>0.0583</b>	<b>0.0106</b>	<b>0.0599</b>	<b>0.0608</b>	<b>0.0608</b>			
New s*	<b>0.0157</b>		<b>0.0193</b>	<b>0.0212</b>	<b>0.0212</b>			<b>1.134*SD</b>

**ΣΗΜΕΙΩΣΗ:** Για το εργαστήριο 11 χρησιμοποιήθηκε η τετραγωνική ρίζα του αθροίσματος των τετραγώνων των τιμών στις φασματικές περιοχές 1900-2025MHz και 2110-2170MHz.

**Πίνακας Π.175 Μέση Ένταση ηλεκτρικού πεδίου E(V/m) στη φασματική περιοχή UMTS(1900-2200MHz):  
Σενάριο μέτρησης 2, Θέση μέτρησης 1, Ύψος μέτρησης 1.1m**

Number of laboratories=		<b>6</b>								
Iteration	0	xi-x*	1	2	3	4	5	Z-Score	Z-Score αύξουσα σειρά	
$\delta=1.5s^*$	-		<b>0.3670</b>	<b>0.4449</b>	<b>0.5042</b>	<b>0.5432</b>	<b>0.5691</b>			
$x^*-\delta$	-		<b>0.7021</b>	<b>0.5855</b>	<b>0.5086</b>	<b>0.4568</b>	<b>0.4228</b>			
$x^*+\delta$	-		<b>1.4362</b>	<b>1.4754</b>	<b>1.5170</b>	<b>1.5432</b>	<b>1.5610</b>			
Lab 4	1.0800	0.0108	1.0800	1.0800	1.0800	1.0800	1.0800	0.232	Lab 23	-1.402
Lab 10	1.1180	0.0488	1.1180	1.1180	1.1180	1.1180	1.1180	0.332	Lab 12	-0.537
Lab 11	1.0583	0.0108	1.0583	1.0583	1.0583	1.0583	1.0583	0.175	Lab 11	0.175
Lab 12	0.7880	0.2812	0.7880	0.7880	0.7880	0.7880	0.7880	-0.537	Lab 4	0.232
Lab 13	1.4470	0.3778	1.4362	1.4470	1.4470	1.4470	1.4470	1.200	Lab 10	0.332
Lab 23	0.4600	0.6092	0.7021	0.5855	0.5086	0.4600	0.4600	-1.402	Lab 13	1.200
Average	<b>0.9919</b>		<b>1.0304</b>	<b>1.0128</b>	<b>1.0000</b>	<b>0.9919</b>	<b>0.9919</b>			
SD	<b>0.3346</b>	<b>0.2437</b>	<b>0.2616</b>	<b>0.2964</b>	<b>0.3194</b>	<b>0.3346</b>	<b>0.3346</b>			
New x*	<b>1.0692</b>	<b>0.1650</b>	<b>1.0304</b>	<b>1.0128</b>	<b>1.0000</b>	<b>0.9919</b>	<b>0.9919</b>			
New s*	<b>0.2447</b>		<b>0.2966</b>	<b>0.3361</b>	<b>0.3622</b>	<b>0.3794</b>	<b>0.3794</b>	<b>1.134*SD</b>		

**ΣΗΜΕΙΩΣΗ:** Για το εργαστήριο 11 χρησιμοποιήθηκε η τετραγωνική ρίζα του αθροίσματος των τετραγώνων των τιμών στις φασματικές περιοχές 1900-2025MHz και 2110-2170MHz.



**Πίνακας Π.176 Μέση Ένταση ηλεκτρικού πεδίου E(V/m) στη φασματική περιοχή UMTS(1900-2200MHz):  
Σενάριο μέτρησης 2, Θέση μέτρησης 1, Ύψος μέτρησης 1.5m**

Number of laboratories=		8							Z-Score	Z-Score
Iteration	0	xi-x*	1	2	3	4	5	6	αύξουσα	σειρά
$\delta=1.5s^*$	-		<b>0.4060</b>	<b>0.3675</b>	<b>0.3661</b>	<b>0.3653</b>	<b>0.3649</b>	<b>0.3647</b>		
$x^*-\delta$	-		<b>0.5349</b>	<b>0.5383</b>	<b>0.5401</b>	<b>0.5411</b>	<b>0.5417</b>	<b>0.5420</b>		
$x^*+\delta$	-		<b>1.3468</b>	<b>1.2733</b>	<b>1.2724</b>	<b>1.2718</b>	<b>1.2715</b>	<b>1.2714</b>		
Lab 4	0.9300	0.0108	0.9300	0.9300	0.9300	0.9300	0.9300	0.9300	0.096	Lab 17
Lab 6	1.1800	0.2392	1.1800	1.1800	1.1800	1.1800	1.1800	1.1800	1.124	Lab 12
Lab 10	1.0090	0.0682	1.0090	1.0090	1.0090	1.0090	1.0090	1.0090	0.421	Lab 23
Lab 11	0.9517	0.0108	0.9517	0.9517	0.9517	0.9517	0.9517	0.9517	0.185	Lab 4
Lab 12	0.7340	0.2068	0.7340	0.7340	0.7340	0.7340	0.7340	0.7340	-0.710	Lab 11
Lab 13	1.1360	0.1952	1.1360	1.1360	1.1360	1.1360	1.1360	1.1360	0.943	Lab 10
Lab 18	<b>0.1888</b>	0.7520	0.5349	0.5383	0.5401	0.5411	0.5417	0.5420	<b>-2.952</b>	Lab 13
Lab 23	0.7710	0.1698	0.7710	0.7710	0.7710	0.7710	0.7710	0.7710	-0.558	Lab 6
Average	<b>0.8626</b>		<b>0.9058</b>	<b>0.9062</b>	<b>0.9065</b>	<b>0.9066</b>	<b>0.9067</b>	<b>0.9067</b>		
SD	<b>0.3136</b>	<b>0.2378</b>	<b>0.2161</b>	<b>0.2152</b>	<b>0.2148</b>	<b>0.2145</b>	<b>0.2144</b>	<b>0.2143</b>		
New $x^*$	<b>0.9408</b>	<b>0.1825</b>	<b>0.9058</b>	<b>0.9062</b>	<b>0.9065</b>	<b>0.9066</b>	<b>0.9067</b>	<b>0.9067</b>		
New $s^*$	<b>0.2706</b>		<b>0.2450</b>	<b>0.2441</b>	<b>0.2436</b>	<b>0.2433</b>	<b>0.2431</b>	<b>0.2431</b>	<b>1.134*SD</b>	

**ΣΗΜΕΙΩΣΗ:** Για το εργαστήριο 11 χρησιμοποιήθηκε η τετραγωνική ρίζα του αθροίσματος των τετραγώνων των τιμών στις φασματικές περιοχές 1900-2025MHz και 2110-2170MHz.

**Πίνακας Π.177 Μέση Ένταση ηλεκτρικού πεδίου E(V/m) στη φασματική περιοχή UMTS(1900-2200MHz):  
Σενάριο μέτρησης 2, Θέση μέτρησης 1, Ύψος μέτρησης 1.7m**

Iteration	0	$x_i - x^*$	1	2	3	4	5	6	7	8	9	Z-Score	Z-Score αύξουσα σειρά
Number of laboratories=			<b>7</b>										
$\delta = 1.5s^*$	-		<b>0.3693</b>	<b>0.3623</b>	<b>0.3461</b>	<b>0.3356</b>	<b>0.3289</b>	<b>0.3246</b>	<b>0.3220</b>	<b>0.3203</b>	<b>0.3192</b>		
$x^* - \delta$	-		<b>0.4907</b>	<b>0.5221</b>	<b>0.5428</b>	<b>0.5563</b>	<b>0.5649</b>	<b>0.5704</b>	<b>0.5738</b>	<b>0.5760</b>	<b>0.5774</b>		
$x^* + \delta$	-		<b>1.2293</b>	<b>1.2467</b>	<b>1.2350</b>	<b>1.2275</b>	<b>1.2227</b>	<b>1.2197</b>	<b>1.2178</b>	<b>1.2166</b>	<b>1.2158</b>		
Lab 4	0.8600	0.0000	0.8600	0.8600	0.8600	0.8600	0.8600	0.8600	0.8600	0.8600	0.8600	-0.173	Lab 23
Lab 6	1.1180	0.2580	1.1180	1.1180	1.1180	1.1180	1.1180	1.1180	1.1180	1.1180	1.1180	1.042	Lab 12
Lab 10	0.8520	0.0080	0.8520	0.8520	0.8520	0.8520	0.8520	0.8520	0.8520	0.8520	0.8520	-0.211	Lab 10
Lab 11	1.0602	0.2002	1.0602	1.0602	1.0602	1.0602	1.0602	1.0602	1.0602	1.0602	1.0602	0.770	Lab 4
Lab 12	0.7840	0.0760	0.7840	0.7840	0.7840	0.7840	0.7840	0.7840	0.7840	0.7840	0.7840	-0.531	Lab 13
Lab 13	1.0260	0.1660	1.0260	1.0260	1.0260	1.0260	1.0260	1.0260	1.0260	1.0260	1.0260	0.608	Lab 11
Lab 23	<b>0.1600</b>	0.7000	0.4907	0.5221	0.5428	0.5563	0.5649	0.5704	0.5738	0.5760	0.5774	<b>-3.469</b>	Lab 6
Average	<b>0.837</b>		<b>0.8844</b>	<b>0.8889</b>	<b>0.8919</b>	<b>0.8938</b>	<b>0.8950</b>	<b>0.8958</b>	<b>0.8963</b>	<b>0.8966</b>	<b>0.8968</b>		
SD	<b>0.323</b>	<b>0.2404</b>	<b>0.2130</b>	<b>0.2035</b>	<b>0.1973</b>	<b>0.1934</b>	<b>0.1909</b>	<b>0.1893</b>	<b>0.1883</b>	<b>0.1877</b>	<b>0.1873</b>		
New $x^*$	<b>0.860</b>	<b>0.1660</b>	<b>0.8844</b>	<b>0.8889</b>	<b>0.8919</b>	<b>0.8938</b>	<b>0.8950</b>	<b>0.8958</b>	<b>0.8963</b>	<b>0.8966</b>	<b>0.8968</b>		
New $s^*$	<b>0.246</b>		<b>0.2416</b>	<b>0.2307</b>	<b>0.2237</b>	<b>0.2193</b>	<b>0.2164</b>	<b>0.2146</b>	<b>0.2135</b>	<b>0.2128</b>	<b>0.2124</b>	<b>1.134*SD</b>	

**ΣΗΜΕΙΩΣΗ:** Για το εργαστήριο 11 χρησιμοποιήθηκε η τετραγωνική ρίζα του αθροίσματος των τετραγώνων των τιμών στις φασματικές περιοχές 1900-2025MHz και 2110-2170MHz.

**Πίνακας Π.178 Μέση Ένταση ηλεκτρικού πεδίου E(V/m) στη φασματική περιοχή UMTS(1900-2200MHz):  
Σενάριο μέτρησης 2, Θέση μέτρησης 2, Ύψος μέτρησης 1.1m**

Number of laboratories=		6					
Iteration	0	xi-x*	1	2	3	Z-Score	Z-Score αύξουσα σειρά
$\delta=1.5s^*$	-		<b>0.3275</b>	<b>0.3645</b>	<b>0.3757</b>		
$x^*-\delta$	-		<b>0.2000</b>	<b>0.2128</b>	<b>0.2057</b>		
$x^*+\delta$	-		<b>0.8550</b>	<b>0.9417</b>	<b>0.9571</b>		
Lab 4	0.8800	0.3525	0.8550	0.8800	0.8800	1.192	Lab 10 -0.940
Lab 10	0.3460	0.1815	0.3460	0.3460	0.3460	-0.940	Lab 11 -0.666
Lab 11	0.4146	0.1129	0.4146	0.4146	0.4146	-0.666	Lab 23 -0.624
Lab 12	0.6300	0.1025	0.6300	0.6300	0.6300	0.194	Lab 12 0.194
Lab 13	0.7929	0.2654	0.7929	0.7929	0.7929	0.844	Lab 13 0.844
Lab 23	0.4250	0.1025	0.4250	0.4250	0.4250	-0.624	Lab 4 1.192
Average	<b>0.5814</b>		<b>0.5772</b>	<b>0.5814</b>	<b>0.5814</b>		
SD	<b>0.2209</b>	<b>0.1033</b>	<b>0.2143</b>	<b>0.2209</b>	<b>0.2209</b>		
New $x^*$	<b>0.5275</b>	<b>0.1472</b>	<b>0.5772</b>	<b>0.5814</b>	<b>0.5814</b>		
New $s^*$	<b>0.2183</b>		<b>0.2430</b>	<b>0.2505</b>	<b>0.2505</b>		1.134*SD

**ΣΗΜΕΙΩΣΗ:** Για το εργαστήριο 11 χρησιμοποιήθηκε η τετραγωνική ρίζα του αθροίσματος των τετραγώνων των τιμών στις φασματικές περιοχές 1900-2025MHz και 2110-2170MHz.

**Πίνακας Π.179 Μέση Ένταση ηλεκτρικού πεδίου E(V/m) στη φασματική περιοχή UMTS(1900-2200MHz):  
Σενάριο μέτρησης 2, Θέση μέτρησης 2, Ύψος μέτρησης 1.5m**

Number of laboratories=		8						
Iteration	0	xi-x*	1	2	3	4	Z-Score	Z-Score αύξουσα σειρά
$\delta=1.5s^*$	-		<b>0.2959</b>	<b>0.3627</b>	<b>0.3881</b>	<b>0.3963</b>		
$x^*-\delta$	-		<b>0.2120</b>	<b>0.1617</b>	<b>0.1326</b>	<b>0.1219</b>		
$x^*+\delta$	-		<b>0.8038</b>	<b>0.8871</b>	<b>0.9089</b>	<b>0.9144</b>		
Lab 4	0.6100	0.1021	0.6100	0.6100	0.6100	0.6100	0.348	Lab 18 -1.429
Lab 6	0.8060	0.2981	0.8038	0.8060	0.8060	0.8060	1.090	Lab 10 -0.568
Lab 10	0.3680	0.1399	0.3680	0.3680	0.3680	0.3680	-0.568	Lab 11 -0.516
Lab 11	0.3817	0.1262	0.3817	0.3817	0.3817	0.3817	-0.516	Lab 23 -0.330
Lab 12	0.8230	0.3151	0.8038	0.8230	0.8230	0.8230	1.154	Lab 13 0.252
Lab 13	0.5848	0.0769	0.5848	0.5848	0.5848	0.5848	0.252	Lab 4 0.348
Lab 18	0.1407	0.3672	0.2120	0.1617	0.1407	0.1407	-1.429	Lab 6 1.090
Lab 23	0.4310	0.0769	0.4310	0.4310	0.4310	0.4310	-0.330	Lab 12 1.154
Average	<b>0.5182</b>		<b>0.5244</b>	<b>0.5208</b>	<b>0.5182</b>	<b>0.5182</b>		
SD	<b>0.2330</b>	<b>0.1187</b>	<b>0.2132</b>	<b>0.2282</b>	<b>0.2330</b>	<b>0.2330</b>		
New $x^*$	<b>0.5079</b>	<b>0.1330</b>	<b>0.5244</b>	<b>0.5208</b>	<b>0.5182</b>	<b>0.5182</b>		
New $s^*$	<b>0.1973</b>		<b>0.2418</b>	<b>0.2588</b>	<b>0.2642</b>	<b>0.2642</b>	<b>1.134*SD</b>	

**ΣΗΜΕΙΩΣΗ:** Για το εργαστήριο 11 χρησιμοποιήθηκε η τετραγωνική ρίζα του αθροίσματος των τετραγώνων των τιμών στις φασματικές περιοχές 1900-2025MHz και 2110-2170MHz.

**Πίνακας Π.180 Μέση Ένταση ηλεκτρικού πεδίου E(V/m) στη φασματική περιοχή UMTS(1900-2200MHz):  
Σενάριο μέτρησης 2, Θέση μέτρησης 2, Ύψος μέτρησης 1.7m**

Number of laboratories=		<b>7</b>						
Iteration	0	$x_i - x^*$	1	2	3	4	Z-Score	Z-Score αύξουσα σειρά
$\delta = 1.5s^*$	-		<b>0.4071</b>	<b>0.3786</b>	<b>0.4039</b>	<b>0.4053</b>		
$x^* - \delta$	-		<b>0.3699</b>	<b>0.3103</b>	<b>0.2764</b>	<b>0.2745</b>		
$x^* + \delta$	-		<b>1.1841</b>	<b>1.0674</b>	<b>1.0842</b>	<b>1.0852</b>		
Lab 4	0.9600	0.1830	0.9600	0.9600	0.9600	0.9600	1.037	Lab 23 -1.380
Lab 6	0.7770	0.0000	0.7770	0.7770	0.7770	0.7770	0.360	Lab 11 -0.688
Lab 10	0.8640	0.0870	0.8640	0.8640	0.8640	0.8640	0.682	Lab 12 -0.562
Lab 11	0.4939	0.2831	0.4939	0.4939	0.4939	0.4939	-0.688	Lab 6 0.360
Lab 12	0.5280	0.2490	0.5280	0.5280	0.5280	0.5280	-0.562	Lab 13 0.552
Lab 13	0.8289	0.0519	0.8289	0.8289	0.8289	0.8289	0.552	Lab 10 0.682
Lab 23	0.3070	0.4700	0.3699	0.3103	0.3070	0.3070	-1.380	Lab 4 1.037
Average	<b>0.680</b>		<b>0.6888</b>	<b>0.6803</b>	<b>0.6798</b>	<b>0.6798</b>		
SD	<b>0.238</b>	<b>0.1614</b>	<b>0.2226</b>	<b>0.2374</b>	<b>0.2383</b>	<b>0.2383</b>		
New $x^*$	<b>0.777</b>	<b>0.1830</b>	<b>0.6888</b>	<b>0.6803</b>	<b>0.6798</b>	<b>0.6798</b>		
New $s^*$	<b>0.271</b>		<b>0.2524</b>	<b>0.2693</b>	<b>0.2702</b>	<b>0.2702</b>	<b>1.134*SD</b>	

**ΣΗΜΕΙΩΣΗ:** Για το εργαστήριο 11 χρησιμοποιήθηκε η τετραγωνική ρίζα του αθροίσματος των τετραγώνων των τιμών στις φασματικές περιοχές 1900-2025MHz και 2110-2170MHz.

**Πίνακας Π.181 Μέση Ένταση ηλεκτρικού πεδίου E(V/m) στη φασματική περιοχή UMTS(1900-2200MHz):  
Σενάριο μέτρησης 2, Θέση μέτρησης 3, Ύψος μέτρησης 1.1m**

Number of laboratories=		<b>5</b>									
Iteration	0	$x_i - x^*$	1	2	3	4	5	6	Z-Score	Z-Score αύξουσα σειρά	
$\delta = 1.5s^*$	-		<b>0.1966</b>	<b>0.2270</b>	<b>0.3045</b>	<b>0.3772</b>	<b>0.4351</b>	<b>0.4397</b>			
$x^* - \delta$	-		<b>0.5604</b>	<b>0.5846</b>	<b>0.5411</b>	<b>0.4990</b>	<b>0.4616</b>	<b>0.4586</b>			
$x^* + \delta$	-		<b>0.9536</b>	<b>1.0385</b>	<b>1.1500</b>	<b>1.2533</b>	<b>1.3319</b>	<b>1.3381</b>			
Lab 4	1.0800	0.3230	0.9536	1.0385	1.0800	1.0800	1.0800	1.0800	0.620	Lab 11	-0.784
Lab 10	0.7570	0.0000	0.7570	0.7570	0.7570	0.7570	0.7570	0.7570	-0.482	Lab 12	-0.591
Lab 11	0.6686	0.0884	0.6686	0.6686	0.6686	0.6686	0.6686	0.6686	-0.784	Lab 10	-0.482
Lab 12	0.7250	0.0320	0.7250	0.7250	0.7250	0.7250	0.7250	0.7250	-0.591	Lab 4	0.620
Lab 13	1.2610	0.5040	0.9536	1.0385	1.1500	1.2533	1.2610	1.2610	1.237	Lab 13	1.237
Average	<b>0.8983</b>		<b>0.8116</b>	<b>0.8455</b>	<b>0.8761</b>	<b>0.8968</b>	<b>0.8983</b>	<b>0.8983</b>			
SD	<b>0.2585</b>	<b>0.2166</b>	<b>0.1334</b>	<b>0.1790</b>	<b>0.2217</b>	<b>0.2558</b>	<b>0.2585</b>	<b>0.2585</b>			
New $x^*$	<b>0.7570</b>	<b>0.0884</b>	<b>0.8116</b>	<b>0.8455</b>	<b>0.8761</b>	<b>0.8968</b>	<b>0.8983</b>	<b>0.8983</b>			
New $s^*$	<b>0.1310</b>		<b>0.1513</b>	<b>0.2030</b>	<b>0.2514</b>	<b>0.2901</b>	<b>0.2932</b>	<b>0.2932</b>			<b>1.134*SD</b>

**ΣΗΜΕΙΩΣΗ:** Για το εργαστήριο 11 χρησιμοποιήθηκε η τετραγωνική ρίζα του αθροίσματος των τετραγώνων των τιμών στις φασματικές περιοχές 1900-2025MHz και 2110-2170MHz.

**Πίνακας Π.182 Μέση Ένταση ηλεκτρικού πεδίου E(V/m) στη φασματική περιοχή UMTS(1900-2200MHz):  
Σενάριο μέτρησης 2, Θέση μέτρησης 3, Ύψος μέτρησης 1.5m**

Number of laboratories=			<b>6</b>				
Iteration	0	xi-x*	1	2	<b>Z-Score</b>	<b>Z-Score αύξουσα σειρά</b>	
$\bar{\delta}=1.5s^*$	-		<b>0.9929</b>	<b>0.8001</b>			
$x^*-\bar{\delta}$	-		<b>0.1200</b>	<b>0.3531</b>			
$x^*+\bar{\delta}$	-		<b>2.1057</b>	<b>1.9532</b>			
Lab 4	1.7900	0.6772	1.7900	1.7900	1.194	Lab 10	-0.923
Lab 6	0.9550	0.1578	0.9550	0.9550	-0.371	Lab 12	-0.902
Lab 10	0.6610	0.4518	0.6610	0.6610	-0.923	Lab 6	-0.371
Lab 11	1.2707	0.1578	1.2707	1.2707	0.220	Lab 11	0.220
Lab 12	0.6720	0.4408	0.6720	0.6720	-0.902	Lab 13	0.782
Lab 13	1.5700	0.4572	1.5700	1.5700	0.782	Lab 4	1.194
Average	<b>1.153</b>		<b>1.1531</b>	<b>1.1531</b>			
SD	<b>0.470</b>	<b>0.2006</b>	<b>0.4703</b>	<b>0.4703</b>			
New x*	<b>1.113</b>	<b>0.4463</b>	<b>1.1531</b>	<b>1.1531</b>			
New s*	<b>0.662</b>		<b>0.5334</b>	<b>0.5334</b>	<b>1.134*SD</b>		

**ΣΗΜΕΙΩΣΗ:** Για το εργαστήριο 11 χρησιμοποιήθηκε η τετραγωνική ρίζα του αθροίσματος των τετραγώνων των τιμών στις φασματικές περιοχές 1900-2025MHz και 2110-2170MHz.

**Πίνακας Π.182 Μέση Ένταση ηλεκτρικού πεδίου E(V/m) στη φασματική περιοχή UMTS(1900-2200MHz):  
Σενάριο μέτρησης 2, Θέση μέτρησης 3, Ύψος μέτρησης 1.7m**

Number of laboratories=		6													
Iteration	0	$x_i - x^*$	1	2	3	4	5	...	8	9	10	11	12	Z-Score	Z-Score αύξουσα σειρά
$\bar{\delta} = 1.5s^*$	-		<b>0.4626</b>	<b>0.4606</b>	<b>0.4862</b>	<b>0.5045</b>	<b>0.5178</b>	...	<b>0.5400</b>	<b>0.5439</b>	<b>0.5468</b>	<b>0.5489</b>	<b>0.5505</b>		
$x^* - \bar{\delta}$	-		<b>0.6419</b>	<b>0.6942</b>	<b>0.6767</b>	<b>0.6640</b>	<b>0.6547</b>	...	<b>0.6390</b>	<b>0.6363</b>	<b>0.6342</b>	<b>0.6327</b>	<b>0.6316</b>		
$x^* + \bar{\delta}$	-		<b>1.5670</b>	<b>1.6154</b>	<b>1.6491</b>	<b>1.6730</b>	<b>1.6903</b>	...	<b>1.7190</b>	<b>1.7240</b>	<b>1.7277</b>	<b>1.7305</b>	<b>1.7326</b>		
Lab 4	1.3600	0.2556	1.3600	1.3600	1.3600	1.3600	1.3600	...	1.3600	1.3600	1.3600	1.3600	1.3600	0.483	Lab 10 -0.795
Lab 6	1.0150	0.0894	1.0150	1.0150	1.0150	1.0150	1.0150	...	1.0150	1.0150	1.0150	1.0150	1.0150	-0.455	Lab 12 -0.760
Lab 10	0.8900	0.2144	0.8900	0.8900	0.8900	0.8900	0.8900	...	0.8900	0.8900	0.8900	0.8900	0.8900	-0.795	Lab 6 -0.455
Lab 11	1.1939	0.0894	1.1939	1.1939	1.1939	1.1939	1.1939	...	1.1939	1.1939	1.1939	1.1939	1.1939	0.031	Lab 11 0.031
Lab 12	0.9030	0.2014	0.9030	0.9030	0.9030	0.9030	0.9030	...	0.9030	0.9030	0.9030	0.9030	0.9030	-0.760	Lab 4 0.483
<b>Lab 13</b>	<b>2.1060</b>	1.0016	1.5670	1.6154	1.6491	1.6730	1.6903	...	1.7190	1.7240	1.7277	1.7305	1.7326	<b>2.511</b>	<b>Lab 13 2.511</b>
Average	<b>1.245</b>		<b>1.1548</b>	<b>1.1629</b>	<b>1.1685</b>	<b>1.1725</b>	<b>1.1754</b>	...	<b>1.1801</b>	<b>1.1810</b>	<b>1.1816</b>	<b>1.1821</b>	<b>1.1824</b>		
SD	<b>0.459</b>	<b>0.3462</b>	<b>0.2708</b>	<b>0.2858</b>	<b>0.2966</b>	<b>0.3044</b>	<b>0.3101</b>	...	<b>0.3197</b>	<b>0.3214</b>	<b>0.3227</b>	<b>0.3236</b>	<b>0.3243</b>		
New $x^*$	<b>1.104</b>	<b>0.2079</b>	<b>1.1548</b>	<b>1.1629</b>	<b>1.1685</b>	<b>1.1725</b>	<b>1.1754</b>	...	<b>1.1801</b>	<b>1.1810</b>	<b>1.1816</b>	<b>1.1821</b>	<b>1.1824</b>		
New $s^*$	<b>0.308</b>		<b>0.3071</b>	<b>0.3241</b>	<b>0.3364</b>	<b>0.3452</b>	<b>0.3517</b>	...	<b>0.3626</b>	<b>0.3645</b>	<b>0.3659</b>	<b>0.3670</b>	<b>0.3678</b>	<b>1.134*SD</b>	

**ΣΗΜΕΙΩΣΗ:** Για το εργαστήριο 11 χρησιμοποιήθηκε η τετραγωνική ρίζα του αθροίσματος των τετραγώνων των τιμών στις φασματικές περιοχές 1900-2025MHz και 2110-2170MHz.



**Πίνακας Π.183 Μέση Ένταση ηλεκτρικού πεδίου E(V/m) στη φασματική περιοχή Radio FM(75-108MHz):  
Σενάριο μέτρησης 1, Θέση μέτρησης 1, Ύψος μέτρησης 1.5m**

Number of laboratories=		<b>6</b>									
Iteration	0	xi-x*	1	2	3	4	5	6	Z-Score	Z-Score αύξουσα σειρά	
$\delta=1.5s^*$	-		<b>0.1079</b>	<b>0.1280</b>	<b>0.1604</b>	<b>0.1987</b>	<b>0.2351</b>	<b>0.2380</b>			
$x^*-\delta$	-		<b>0.0524</b>	<b>0.0521</b>	<b>0.0329</b>	<b>0.0098</b>	<b>-0.0124</b>	<b>-0.0142</b>			
$x^*+\delta$	-		<b>0.2681</b>	<b>0.3080</b>	<b>0.3538</b>	<b>0.4073</b>	<b>0.4579</b>	<b>0.4618</b>			
Lab 4	0.1968	0.0366	0.1968	0.1968	0.1968	0.1968	0.1968	0.1968	-0.170	Lab 11	-0.707
Lab 7	0.1119	0.0483	0.1119	0.1119	0.1119	0.1119	0.1119	0.1119	-0.705	Lab 7	-0.705
Lab 11	0.1116	0.0487	0.1116	0.1116	0.1116	0.1116	0.1116	0.1116	-0.707	Lab 13	-0.631
Lab 13	0.1237	0.0366	0.1237	0.1237	0.1237	0.1237	0.1237	0.1237	-0.631	Lab 4	-0.170
Lab 17	0.4135	0.2533	0.2681	0.3080	0.3538	0.4073	0.4135	0.4135	1.196	Lab 18	1.017
Lab 18	0.3851	0.2248	0.2681	0.3080	0.3538	0.3851	0.3851	0.3851	1.017	Lab 17	1.196
Average	<b>0.2238</b>		<b>0.1800</b>	<b>0.1933</b>	<b>0.2086</b>	<b>0.2227</b>	<b>0.2238</b>	<b>0.2238</b>			
SD	<b>0.1399</b>	<b>0.1020</b>	<b>0.0752</b>	<b>0.0943</b>	<b>0.1168</b>	<b>0.1382</b>	<b>0.1399</b>	<b>0.1399</b>			
New $x^*$	<b>0.1603</b>	<b>0.0485</b>	<b>0.1800</b>	<b>0.1933</b>	<b>0.2086</b>	<b>0.2227</b>	<b>0.2238</b>	<b>0.2238</b>			
New $s^*$	<b>0.0719</b>		<b>0.0853</b>	<b>0.1070</b>	<b>0.1325</b>	<b>0.1568</b>	<b>0.1587</b>	<b>0.1587</b>	<b>1.134*SD</b>		

**ΣΗΜΕΙΩΣΗ:** Για το εργαστήριο 7 χρησιμοποιήθηκε η τετραγωνική ρίζα του αθροίσματος των τετραγώνων των τιμών στις φασματικές περιοχές 75-87MHz και 87-109MHz.

**Πίνακας Π.184 Μέση Ένταση ηλεκτρικού πεδίου E(V/m) στη φασματική περιοχή Radio FM(75-108MHz):  
Σενάριο μέτρησης 1, Θέση μέτρησης 1, Ύψος μέτρησης 1.7m**

Number of laboratories=		4				Z-Score	Z-Score	
Iteration	0	xi-x*	1	2			αύξουσα	σειρά
$\bar{\delta}=1.5s^*$	-		<b>0.0196</b>	<b>0.0203</b>				
$x^*-\bar{\delta}$	-		<b>0.0966</b>	<b>0.0967</b>				
$x^*+\bar{\delta}$	-		<b>0.1359</b>	<b>0.1374</b>				
Lab 4	0.1044	0.0119	0.1044	0.1044	-0.933	Lab 4	-0.933	
Lab 7	0.1221	0.0058	0.1221	0.1221	0.371	Lab 11	-0.483	
Lab 11	0.1105	0.0058	0.1105	0.1105	-0.483	Lab 7	0.371	
Lab 13	0.1312	0.0149	0.1312	0.1312	1.045	Lab 13	1.045	
Average	<b>0.1170</b>		<b>0.1170</b>	<b>0.1170</b>				
SD	<b>0.0119</b>	<b>0.0046</b>	<b>0.0119</b>	<b>0.0119</b>				
New x*	<b>0.1163</b>	<b>0.0088</b>	<b>0.1170</b>	<b>0.1170</b>				
New s*	<b>0.0131</b>		<b>0.0135</b>	<b>0.0135</b>				1.134*SD

**ΣΗΜΕΙΩΣΗ:** Για το εργαστήριο 7 χρησιμοποιήθηκε η τετραγωνική ρίζα του αθροίσματος των τετραγώνων των τιμών στις φασματικές περιοχές 75-87MHz και 87-109MHz.

**Πίνακας Π.185 Μέση Ένταση ηλεκτρικού πεδίου E(V/m) στη φασματική περιοχή Radio FM(75-108MHz):  
Σενάριο μέτρησης 1, Θέση μέτρησης 2, Ύψος μέτρησης 1.5m**

Number of laboratories=		<b>6</b>											Z-Score	Z-Score αύξουσα σειρά	
Iteration	0	xi-x*	1	2	3	4	5	6	7	8	9	10			
$\delta=1.5s^*$	-		<b>0.0565</b>	<b>0.0644</b>	<b>0.0796</b>	<b>0.0978</b>	<b>0.1197</b>	<b>0.1459</b>	<b>0.1776</b>	<b>0.2158</b>	<b>0.2462</b>	<b>0.2479</b>			
$x^*-\delta$	-		<b>0.0725</b>	<b>0.0751</b>	<b>0.0659</b>	<b>0.0548</b>	<b>0.0414</b>	<b>0.0252</b>	<b>0.0057</b>	<b>-0.0179</b>	<b>-0.0371</b>	<b>-0.0382</b>			
$x^*+\delta$	-		<b>0.1856</b>	<b>0.2038</b>	<b>0.2251</b>	<b>0.2505</b>	<b>0.2807</b>	<b>0.3171</b>	<b>0.3608</b>	<b>0.4136</b>	<b>0.4552</b>	<b>0.4576</b>			
Lab 4	0.1347	0.0056	0.1347	0.1347	0.1347	0.1347	0.1347	0.1347	0.1347	0.1347	0.1347	0.1347	-0.454	Lab 11	-0.675
Lab 7	0.1091	0.0200	0.1091	0.1091	0.1091	0.1091	0.1091	0.1091	0.1091	0.1091	0.1091	0.1091	-0.609	Lab 7	-0.609
Lab 11	0.0982	0.0309	0.0982	0.0982	0.0982	0.0982	0.0982	0.0982	0.0982	0.0982	0.0982	0.0982	-0.675	Lab 13	-0.522
Lab 13	0.1234	0.0057	0.1234	0.1234	0.1234	0.1234	0.1234	0.1234	0.1234	0.1234	0.1234	0.1234	-0.522	Lab 4	-0.454
Lab 17	0.4173	0.2882	0.1856	0.2038	0.2251	0.2505	0.2807	0.3171	0.3608	0.4136	0.4173	0.4173	1.256	Lab 18	1.003
Lab 18	0.3756	0.2465	0.1856	0.2038	0.2251	0.2505	0.2807	0.3171	0.3608	0.3756	0.3756	0.3756	1.003	Lab 17	1.256
Average	<b>0.210</b>		<b>0.1394</b>	<b>0.1455</b>	<b>0.1526</b>	<b>0.1610</b>	<b>0.1711</b>	<b>0.1832</b>	<b>0.1978</b>	<b>0.2091</b>	<b>0.2097</b>	<b>0.2097</b>			
SD	<b>0.146</b>	<b>0.1311</b>	<b>0.0378</b>	<b>0.0468</b>	<b>0.0575</b>	<b>0.0704</b>	<b>0.0858</b>	<b>0.1044</b>	<b>0.1268</b>	<b>0.1447</b>	<b>0.1458</b>	<b>0.1458</b>			
New x*	<b>0.129</b>	<b>0.0254</b>	<b>0.1394</b>	<b>0.1455</b>	<b>0.1526</b>	<b>0.1610</b>	<b>0.1711</b>	<b>0.1832</b>	<b>0.1978</b>	<b>0.2091</b>	<b>0.2097</b>	<b>0.2097</b>			
New s*	<b>0.038</b>		<b>0.0429</b>	<b>0.0531</b>	<b>0.0652</b>	<b>0.0798</b>	<b>0.0973</b>	<b>0.1184</b>	<b>0.1438</b>	<b>0.1641</b>	<b>0.1653</b>	<b>0.1653</b>	<b>1.134*SD</b>		

**ΣΗΜΕΙΩΣΗ:** Για το εργαστήριο 7 χρησιμοποιήθηκε η τετραγωνική ρίζα του αθροίσματος των τετραγώνων των τιμών στις φασματικές περιοχές 75-87MHz και 87-109MHz.

**Πίνακας Π.186 Μέση Ένταση ηλεκτρικού πεδίου E(V/m) στη φασματική περιοχή Radio FM(75-108MHz):  
Σενάριο μέτρησης 1, Θέση μέτρησης 2 Ύψος μέτρησης 1.7m**

Number of laboratories=			<b>4</b>				
Iteration	0	xi-x*	1	2	<b>Z-Score</b>	<b>Z-Score αύξουσα σειρά</b>	
$\delta=1.5s^*$	-		<b>0.0400</b>	<b>0.0434</b>			
$x^*-\delta$	-		<b>0.0844</b>	<b>0.0816</b>			
$x^*+\delta$	-		<b>0.1645</b>	<b>0.1685</b>			
Lab 4	0.1562	0.0318	0.1562	0.1562	1.076	Lab 11	-1.034
Lab 7	0.1178	0.0067	0.1178	0.1178	-0.251	Lab 7	-0.251
Lab 11	0.0951	0.0293	0.0951	0.0951	-1.034	Lab 13	0.209
Lab 13	0.1311	0.0067	0.1311	0.1311	0.209	Lab 4	1.076
Average	<b>0.1250</b>		<b>0.1250</b>	<b>0.1250</b>			
SD	<b>0.0255</b>	<b>0.0138</b>	<b>0.0255</b>	<b>0.0255</b>			
New x*	<b>0.1244</b>	<b>0.0180</b>	<b>0.1250</b>	<b>0.1250</b>			
New s*	<b>0.0267</b>		<b>0.0290</b>	<b>0.0290</b>	<b>1.134*SD</b>		

**ΣΗΜΕΙΩΣΗ:** Για το εργαστήριο 7 χρησιμοποιήθηκε η τετραγωνική ρίζα του αθροίσματος των τετραγώνων των τιμών στις φασματικές περιοχές 75-87MHz και 87-109MHz.

**Πίνακας Π.187 Μέση Ένταση ηλεκτρικού πεδίου E(V/m) στη φασματική περιοχή Radio FM(75-108MHz):  
Σενάριο μέτρησης 1, Θέση μέτρησης 3, Ύψος μέτρησης 1.5m**

Number of laboratories=		<b>5</b>												Z-Score	Z-Score	
Iteration	0	xi-x*	1	2	3	4	5	...	31	32	33	34	35		αύξουσα	σειρά
$\delta=1.5s^*$	-		<b>0.0064</b>	<b>0.0074</b>	<b>0.0099</b>	<b>0.0132</b>	<b>0.0157</b>	...	<b>0.0323</b>	<b>0.0324</b>	<b>0.0326</b>	<b>0.0327</b>	<b>0.0328</b>			
$x^*-\delta$	-		<b>0.1210</b>	<b>0.1218</b>	<b>0.1204</b>	<b>0.1185</b>	<b>0.1170</b>	...	<b>0.1053</b>	<b>0.1052</b>	<b>0.1052</b>	<b>0.1051</b>	<b>0.1050</b>			
$x^*+\delta$	-		<b>0.1338</b>	<b>0.1365</b>	<b>0.1401</b>	<b>0.1449</b>	<b>0.1484</b>	...	<b>0.1699</b>	<b>0.1701</b>	<b>0.1703</b>	<b>0.1704</b>	<b>0.1706</b>			
Lab 4	0.1402	0.0128	0.1338	0.1365	0.1401	0.1402	0.1402	...	0.1402	0.1402	0.1402	0.1402	0.1402	0.109	Lab 11	-0.607
Lab 7	0.1274	0.0000	0.1274	0.1274	0.1274	0.1274	0.1274	...	0.1274	0.1274	0.1274	0.1274	0.1274	-0.476	Lab 13	-0.520
Lab 11	0.1245	0.0029	0.1245	0.1245	0.1245	0.1245	0.1245	...	0.1245	0.1245	0.1245	0.1245	0.1245	-0.607	Lab 7	-0.476
Lab 13	0.1264	0.0010	0.1264	0.1264	0.1264	0.1264	0.1264	...	0.1264	0.1264	0.1264	0.1264	0.1264	-0.520	Lab 4	0.109
Lab 17	<b>0.4952</b>	0.3678	0.1338	0.1365	0.1401	0.1449	0.1484	...	0.1699	0.1701	0.1703	0.1704	0.1706	<b>16.300</b>	Lab 17	<b>16.300</b>
Average	<b>0.203</b>		<b>0.1292</b>	<b>0.1303</b>	<b>0.1317</b>	<b>0.1327</b>	<b>0.1334</b>	...	<b>0.1377</b>	<b>0.1377</b>	<b>0.1378</b>	<b>0.1378</b>	<b>0.1378</b>			
SD	<b>0.164</b>	<b>0.1627</b>	<b>0.0043</b>	<b>0.0058</b>	<b>0.0078</b>	<b>0.0092</b>	<b>0.0104</b>	...	<b>0.0191</b>	<b>0.0191</b>	<b>0.0192</b>	<b>0.0193</b>	<b>0.0193</b>			
New $x^*$	<b>0.127</b>	<b>0.0029</b>	<b>0.1292</b>	<b>0.1303</b>	<b>0.1317</b>	<b>0.1327</b>	<b>0.1334</b>	...	<b>0.1377</b>	<b>0.1377</b>	<b>0.1378</b>	<b>0.1378</b>	<b>0.1378</b>			
New $s^*$	<b>0.004</b>		<b>0.0049</b>	<b>0.0066</b>	<b>0.0088</b>	<b>0.0105</b>	<b>0.0118</b>	...	<b>0.0216</b>	<b>0.0217</b>	<b>0.0218</b>	<b>0.0219</b>	<b>0.0219</b>	<b>1.134*SD</b>		

**ΣΗΜΕΙΩΣΗ:** Για το εργαστήριο 7 χρησιμοποιήθηκε η τετραγωνική ρίζα του αθροίσματος των τετραγώνων των τιμών στις φασματικές περιοχές 75-87MHz και 87-109MHz.

**Πίνακας Π.188 Μέση Ένταση ηλεκτρικού πεδίου E(V/m) στη φασματική περιοχή Radio FM(75-108MHz):  
Σενάριο μέτρησης 1, Θέση μέτρησης 3, Ύψος μέτρησης 1.7m**

Number of laboratories=		<b>4</b>						
Iteration	0	xi-x*	1	2	3	4	Z-Score	Z-Score αύξουσα σειρά
$\delta=1.5s^*$	-		<b>0.0180</b>	<b>0.0218</b>	<b>0.0258</b>	<b>0.0283</b>		
$x^*-\delta$	-		<b>0.1180</b>	<b>0.1127</b>	<b>0.1074</b>	<b>0.1040</b>		
$x^*+\delta$	-		<b>0.1539</b>	<b>0.1563</b>	<b>0.1589</b>	<b>0.1607</b>		
Lab 4	0.1401	0.0041	0.1401	0.1401	0.1401	0.1401	0.411	Lab 11 -1.215
Lab 7	0.1318	0.0041	0.1318	0.1318	0.1318	0.1318	-0.026	Lab 7 -0.026
Lab 11	0.1094	0.0266	0.1180	0.1127	0.1094	0.1094	-1.215	Lab 4 0.411
Lab 13	0.1480	0.0120	0.1480	0.1480	0.1480	0.1480	0.829	Lab 13 0.829
Average	<b>0.1323</b>		<b>0.1345</b>	<b>0.1332</b>	<b>0.1323</b>	<b>0.1323</b>		
SD	<b>0.0167</b>	<b>0.0106</b>	<b>0.0128</b>	<b>0.0152</b>	<b>0.0167</b>	<b>0.0167</b>		
New $x^*$	<b>0.1360</b>	<b>0.0081</b>	<b>0.1345</b>	<b>0.1332</b>	<b>0.1323</b>	<b>0.1323</b>		
New $s^*$	<b>0.0120</b>		<b>0.0145</b>	<b>0.0172</b>	<b>0.0189</b>	<b>0.0189</b>		1.134*SD

**ΣΗΜΕΙΩΣΗ:** Για το εργαστήριο 7 χρησιμοποιήθηκε η τετραγωνική ρίζα του αθροίσματος των τετραγώνων των τιμών στις φασματικές περιοχές 75-87MHz και 87-109MHz.

**Πίνακας Π.189 Μέση Ένταση ηλεκτρικού πεδίου E(V/m) στη φασματική περιοχή Radio FM(75-108MHz):  
Σενάριο μέτρησης 2, Θέση μέτρησης 1, Ύψος μέτρησης 1.5m**

Number of laboratories=		<b>5</b>												
Iteration	0	xi-x*	1	2	3	4	5	6	7	8	Z-Score	Z-Score αύξουσα σειρά		
$\bar{\delta}=1.5s^*$	-		<b>0.0431</b>	<b>0.0533</b>	<b>0.0715</b>	<b>0.0956</b>	<b>0.1277</b>	<b>0.1702</b>	<b>0.2138</b>	<b>0.2291</b>				
$x^*-\bar{\delta}$	-		<b>0.0874</b>	<b>0.0870</b>	<b>0.0768</b>	<b>0.0632</b>	<b>0.0450</b>	<b>0.0208</b>	<b>-0.0044</b>	<b>-0.0139</b>				
$x^*+\bar{\delta}$	-		<b>0.1736</b>	<b>0.1936</b>	<b>0.2199</b>	<b>0.2545</b>	<b>0.3003</b>	<b>0.3613</b>	<b>0.4232</b>	<b>0.4442</b>				
Lab 4	0.3315	0.2010	0.1736	0.1936	0.2199	0.2545	0.3003	0.3315	0.3315	0.3315	0.762	Lab 7	-0.681	
Lab 7	0.1111	0.0194	0.1111	0.1111	0.1111	0.1111	0.1111	0.1111	0.1111	0.1111	-0.681	Lab 11	-0.670	
Lab 11	0.1128	0.0177	0.1128	0.1128	0.1128	0.1128	0.1128	0.1128	0.1128	0.1128	-0.670	Lab 13	-0.554	
Lab 13	0.1305	0.0000	0.1305	0.1305	0.1305	0.1305	0.1305	0.1305	0.1305	0.1305	-0.554	Lab 4	0.762	
Lab 18	0.3899	0.2594	0.1736	0.1936	0.2199	0.2545	0.3003	0.3613	0.3899	0.3899	1.144	Lab 18	1.144	
Average	<b>0.215</b>		<b>0.1403</b>	<b>0.1483</b>	<b>0.1588</b>	<b>0.1727</b>	<b>0.1910</b>	<b>0.2094</b>	<b>0.2152</b>	<b>0.2152</b>				
SD	<b>0.135</b>	<b>0.1213</b>	<b>0.0313</b>	<b>0.0420</b>	<b>0.0562</b>	<b>0.0751</b>	<b>0.1001</b>	<b>0.1257</b>	<b>0.1347</b>	<b>0.1347</b>				
New $x^*$	<b>0.131</b>	<b>0.0194</b>	<b>0.1403</b>	<b>0.1483</b>	<b>0.1588</b>	<b>0.1727</b>	<b>0.1910</b>	<b>0.2094</b>	<b>0.2152</b>	<b>0.2152</b>				
New $s^*$	<b>0.029</b>		<b>0.0355</b>	<b>0.0477</b>	<b>0.0638</b>	<b>0.0851</b>	<b>0.1135</b>	<b>0.1425</b>	<b>0.1527</b>	<b>0.1527</b>	<b>1.134*SD</b>			

**ΣΗΜΕΙΩΣΗ:** Για το εργαστήριο 7 χρησιμοποιήθηκε η τετραγωνική ρίζα του αθροίσματος των τετραγώνων των τιμών στις φασματικές περιοχές 75-87MHz και 87-109MHz.

**Πίνακας Π.190 Μέση Ένταση ηλεκτρικού πεδίου E(V/m) στη φασματική περιοχή Radio FM(75-108MHz):  
Σενάριο μέτρησης 2, Θέση μέτρησης 1, Ύψος μέτρησης 1.7m**

Number of laboratories=		<b>4</b>										
Iteration	0	xi-x*	1	2	3	4	5	6	7	Z-Score	Z-Score αύξουσα σειρά	
$\delta=1.5s^*$	-		<b>0.0299</b>	<b>0.0361</b>	<b>0.0432</b>	<b>0.0506</b>	<b>0.0583</b>	<b>0.0665</b>	<b>0.0692</b>			
$x^*-\delta$	-		<b>0.1002</b>	<b>0.0978</b>	<b>0.0930</b>	<b>0.0881</b>	<b>0.0828</b>	<b>0.0772</b>	<b>0.0753</b>			
$x^*+\delta$	-		<b>0.1600</b>	<b>0.1699</b>	<b>0.1795</b>	<b>0.1893</b>	<b>0.1995</b>	<b>0.2102</b>	<b>0.2137</b>			
Lab 4	0.2028	0.0727	0.1600	0.1699	0.1795	0.1893	0.1995	0.2028	0.2028	1.264	Lab 11	-0.638
Lab 7	0.1181	0.0119	0.1181	0.1181	0.1181	0.1181	0.1181	0.1181	0.1181	-0.572	Lab 7	-0.572
Lab 11	0.1151	0.0150	0.1151	0.1151	0.1151	0.1151	0.1151	0.1151	0.1151	-0.638	Lab 13	-0.054
Lab 13	0.1420	0.0119	0.1420	0.1420	0.1420	0.1420	0.1420	0.1420	0.1420	-0.054	Lab 4	1.264
Average	<b>0.1445</b>		<b>0.1338</b>	<b>0.1363</b>	<b>0.1387</b>	<b>0.1411</b>	<b>0.1437</b>	<b>0.1445</b>	<b>0.1445</b>			
SD	<b>0.0407</b>	<b>0.0299</b>	<b>0.0212</b>	<b>0.0254</b>	<b>0.0298</b>	<b>0.0343</b>	<b>0.0391</b>	<b>0.0407</b>	<b>0.0407</b>			
New $x^*$	<b>0.1301</b>	<b>0.0135</b>	<b>0.1338</b>	<b>0.1363</b>	<b>0.1387</b>	<b>0.1411</b>	<b>0.1437</b>	<b>0.1445</b>	<b>0.1445</b>			
New $s^*$	<b>0.0199</b>		<b>0.0240</b>	<b>0.0288</b>	<b>0.0337</b>	<b>0.0389</b>	<b>0.0443</b>	<b>0.0461</b>	<b>0.0461</b>	<b>1.134*SD</b>		

**ΣΗΜΕΙΩΣΗ:** Για το εργαστήριο 7 χρησιμοποιήθηκε η τετραγωνική ρίζα του αθροίσματος των τετραγώνων των τιμών στις φασματικές περιοχές 75-87MHz και 87-109MHz.



**Πίνακας Π.191 Μέση Ένταση ηλεκτρικού πεδίου E(V/m) στη φασματική περιοχή Radio FM(75-108MHz):  
Σενάριο μέτρησης 2, Θέση μέτρησης 2, Ύψος μέτρησης 1.5m**

Iteration	0	xi-x*	1	2	3	4	5	...	8	9	10	11	12	Z-Score	Z-Score αύξουσα σειρά
Number of laboratories=			<b>5</b>												
$\bar{\delta}=1.5s^*$	-		<b>0.0494</b>	<b>0.0577</b>	<b>0.0774</b>	<b>0.1035</b>	<b>0.1264</b>	...	<b>0.1733</b>	<b>0.1846</b>	<b>0.1945</b>	<b>0.2032</b>	<b>0.2079</b>		
$x^*-\bar{\delta}$	-		<b>0.0738</b>	<b>0.0787</b>	<b>0.0676</b>	<b>0.0528</b>	<b>0.0394</b>	...	<b>0.0080</b>	<b>0.0001</b>	<b>-0.0068</b>	<b>-0.0129</b>	<b>-0.0163</b>		
$x^*+\bar{\delta}$	-		<b>0.1726</b>	<b>0.1942</b>	<b>0.2225</b>	<b>0.2599</b>	<b>0.2922</b>	...	<b>0.3546</b>	<b>0.3693</b>	<b>0.3821</b>	<b>0.3934</b>	<b>0.3995</b>		
Lab 4	0.2322	0.1090	0.1726	0.1942	0.2225	0.2322	0.2322	...	0.2322	0.2322	0.2322	0.2322	0.2322	0.293	Lab 11 -0.654
Lab 7	0.1126	0.0106	0.1126	0.1126	0.1126	0.1126	0.1126	...	0.1126	0.1126	0.1126	0.1126	0.1126	-0.570	Lab 7 -0.570
Lab 11	0.1010	0.0222	0.1010	0.1010	0.1010	0.1010	0.1010	...	0.1010	0.1010	0.1010	0.1010	0.1010	-0.654	Lab 13 -0.494
Lab 13	0.1232	0.0000	0.1232	0.1232	0.1232	0.1232	0.1232	...	0.1232	0.1232	0.1232	0.1232	0.1232	-0.494	Lab 4 0.293
Lab 18	0.3891	0.2659	0.1726	0.1942	0.2225	0.2599	0.2922	...	0.3546	0.3693	0.3821	0.3891	0.3891	1.424	Lab 18 1.424
Average	<b>0.192</b>		<b>0.1364</b>	<b>0.1450</b>	<b>0.1564</b>	<b>0.1658</b>	<b>0.1723</b>	...	<b>0.1847</b>	<b>0.1877</b>	<b>0.1902</b>	<b>0.1916</b>	<b>0.1916</b>		
SD	<b>0.122</b>	<b>0.1117</b>	<b>0.0339</b>	<b>0.0455</b>	<b>0.0609</b>	<b>0.0743</b>	<b>0.0852</b>	...	<b>0.1085</b>	<b>0.1143</b>	<b>0.1194</b>	<b>0.1222</b>	<b>0.1222</b>		
New $x^*$	<b>0.123</b>	<b>0.0222</b>	<b>0.1364</b>	<b>0.1450</b>	<b>0.1564</b>	<b>0.1658</b>	<b>0.1723</b>	...	<b>0.1847</b>	<b>0.1877</b>	<b>0.1902</b>	<b>0.1916</b>	<b>0.1916</b>		
New $s^*$	<b>0.033</b>		<b>0.0385</b>	<b>0.0516</b>	<b>0.0690</b>	<b>0.0843</b>	<b>0.0966</b>	...	<b>0.1231</b>	<b>0.1296</b>	<b>0.1354</b>	<b>0.1386</b>	<b>0.1386</b>	<b>1.134*SD</b>	

**ΣΗΜΕΙΩΣΗ:** Για το εργαστήριο 7 χρησιμοποιήθηκε η τετραγωνική ρίζα του αθροίσματος των τετραγώνων των τιμών στις φασματικές περιοχές 75-87MHz και 87-109MHz.

**Πίνακας Π.192 Μέση Ένταση ηλεκτρικού πεδίου E(V/m) στη φασματική περιοχή Radio FM(75-108MHz):  
Σενάριο μέτρησης 2, Θέση μέτρησης 2, Ύψος μέτρησης 1.7m**

Number of laboratories=		4												Z-Score	Z-Score	
Iteration	0	xi-x*	1	2	3	4	5	...	9	10	11	12	13		αύξουσα	σειρά
$\bar{\delta}=1.5s^*$	-		<b>0.0344</b>	<b>0.0414</b>	<b>0.0491</b>	<b>0.0570</b>	<b>0.0654</b>	...	<b>0.1051</b>	<b>0.1172</b>	<b>0.1303</b>	<b>0.1445</b>	<b>0.1449</b>			
$x^*-\bar{\delta}$	-		<b>0.0944</b>	<b>0.0907</b>	<b>0.0856</b>	<b>0.0802</b>	<b>0.0745</b>	...	<b>0.0468</b>	<b>0.0384</b>	<b>0.0292</b>	<b>0.0192</b>	<b>0.0190</b>			
$x^*+\bar{\delta}$	-		<b>0.1631</b>	<b>0.1734</b>	<b>0.1837</b>	<b>0.1942</b>	<b>0.2052</b>	...	<b>0.2571</b>	<b>0.2727</b>	<b>0.2897</b>	<b>0.3083</b>	<b>0.3087</b>			
Lab 4	0.2901	0.1614	0.1631	0.1734	0.1837	0.1942	0.2052	...	0.2571	0.2727	0.2897	0.2901	0.2901	1.308	Lab 11	-0.581
Lab 7	0.1188	0.0099	0.1188	0.1188	0.1188	0.1188	0.1188	...	0.1188	0.1188	0.1188	0.1188	0.1188	-0.466	Lab 7	-0.466
Lab 11	0.1077	0.0210	0.1077	0.1077	0.1077	0.1077	0.1077	...	0.1077	0.1077	0.1077	0.1077	0.1077	-0.581	Lab 13	-0.261
Lab 13	0.1386	0.0099	0.1386	0.1386	0.1386	0.1386	0.1386	...	0.1386	0.1386	0.1386	0.1386	0.1386	-0.261	Lab 4	1.308
Average	<b>0.164</b>		<b>0.1321</b>	<b>0.1346</b>	<b>0.1372</b>	<b>0.1398</b>	<b>0.1426</b>	...	<b>0.1556</b>	<b>0.1595</b>	<b>0.1637</b>	<b>0.1638</b>	<b>0.1638</b>			
SD	<b>0.085</b>	<b>0.0741</b>	<b>0.0243</b>	<b>0.0288</b>	<b>0.0335</b>	<b>0.0384</b>	<b>0.0437</b>	...	<b>0.0689</b>	<b>0.0766</b>	<b>0.0850</b>	<b>0.0852</b>	<b>0.0852</b>			
New x*	<b>0.129</b>	<b>0.0155</b>	<b>0.1321</b>	<b>0.1346</b>	<b>0.1372</b>	<b>0.1398</b>	<b>0.1426</b>	...	<b>0.1556</b>	<b>0.1595</b>	<b>0.1637</b>	<b>0.1638</b>	<b>0.1638</b>			
New s*	<b>0.023</b>		<b>0.0276</b>	<b>0.0327</b>	<b>0.0380</b>	<b>0.0436</b>	<b>0.0495</b>	...	<b>0.0781</b>	<b>0.0868</b>	<b>0.0964</b>	<b>0.0966</b>	<b>0.0966</b>	1.134*SD		

**ΣΗΜΕΙΩΣΗ:** Για το εργαστήριο 7 χρησιμοποιήθηκε η τετραγωνική ρίζα του αθροίσματος των τετραγώνων των τιμών στις φασματικές περιοχές 75-87MHz και 87-109MHz.

**Πίνακας Π.193 Μέση Ένταση ηλεκτρικού πεδίου E(V/m) στη φασματική περιοχή Radio FM(75-108MHz):  
Σενάριο μέτρησης 2, Θέση μέτρησης 3, Ύψος μέτρησης 1.5m**

Number of laboratories=		<b>4</b>								
Iteration	0	xi-x*	1	2	3	4	5	Z-Score	Z-Score αύξουσα σειρά	
$\bar{\delta}=1.5s^*$	-		<b>0.0188</b>	<b>0.0243</b>	<b>0.0288</b>	<b>0.0335</b>	<b>0.0378</b>			
$x^*-\bar{\delta}$	-		<b>0.1086</b>	<b>0.1024</b>	<b>0.0963</b>	<b>0.0901</b>	<b>0.0844</b>			
$x^*+\bar{\delta}$	-		<b>0.1461</b>	<b>0.1509</b>	<b>0.1539</b>	<b>0.1571</b>	<b>0.1601</b>			
Lab 4	0.0909	0.0365	0.1086	0.1024	0.0963	0.0909	0.0909	-1.243	Lab 4	-1.243
Lab 7	0.1265	0.0008	0.1265	0.1265	0.1265	0.1265	0.1265	0.169	Lab 7	0.169
Lab 11	0.1282	0.0008	0.1282	0.1282	0.1282	0.1282	0.1282	0.236	Lab 11	0.236
Lab 13	0.1434	0.0160	0.1434	0.1434	0.1434	0.1434	0.1434	0.839	Lab 13	0.839
Average	<b>0.122</b>		<b>0.1267</b>	<b>0.1251</b>	<b>0.1236</b>	<b>0.1223</b>	<b>0.1223</b>			
SD	<b>0.022</b>	<b>0.0169</b>	<b>0.0143</b>	<b>0.0169</b>	<b>0.0197</b>	<b>0.0222</b>	<b>0.0222</b>			
New $x^*$	<b>0.127</b>	<b>0.0084</b>	<b>0.1267</b>	<b>0.1251</b>	<b>0.1236</b>	<b>0.1223</b>	<b>0.1223</b>			
New $s^*$	<b>0.013</b>		<b>0.0162</b>	<b>0.0192</b>	<b>0.0224</b>	<b>0.0252</b>	<b>0.0252</b>			1.134*SD

**ΣΗΜΕΙΩΣΗ:** Για το εργαστήριο 7 χρησιμοποιήθηκε η τετραγωνική ρίζα του αθροίσματος των τετραγώνων των τιμών στις φασματικές περιοχές 75-87MHz και 87-109MHz.

**Πίνακας Π.194 Μέση Ένταση ηλεκτρικού πεδίου E(V/m) στη φασματική περιοχή Radio FM(75-108MHz):  
Σενάριο μέτρησης 2, Θέση μέτρησης 3, Ύψος μέτρησης 1.7m**

Number of laboratories=		4					
Iteration	0	xi-x*	1	2	3	Z-Score	Z-Score αύξουσα σειρά
$\delta=1.5s^*$	-		<b>0.0393</b>	<b>0.0477</b>	<b>0.0499</b>		
$x^*-\delta$	-		<b>0.1067</b>	<b>0.1015</b>	<b>0.1001</b>		
$x^*+\delta$	-		<b>0.1852</b>	<b>0.1969</b>	<b>0.1998</b>		
Lab 4	0.1882	0.0422	0.1852	0.1882	0.1882	1.152	Lab 11 -0.915
Lab 7	0.1372	0.0088	0.1372	0.1372	0.1372	-0.384	Lab 7 -0.384
Lab 11	0.1195	0.0265	0.1195	0.1195	0.1195	-0.915	Lab 13 0.147
Lab 13	0.1548	0.0088	0.1548	0.1548	0.1548	0.147	Lab 4 1.152
Average	<b>0.150</b>		<b>0.1492</b>	<b>0.1499</b>	<b>0.1499</b>		
SD	<b>0.029</b>	<b>0.0161</b>	<b>0.0280</b>	<b>0.0293</b>	<b>0.0293</b>		
New x*	<b>0.146</b>	<b>0.0177</b>	<b>0.1492</b>	<b>0.1499</b>	<b>0.1499</b>		
New s*	<b>0.026</b>		<b>0.0318</b>	<b>0.0332</b>	<b>0.0332</b>	<b>1.134*SD</b>	

**ΣΗΜΕΙΩΣΗ:** Για το εργαστήριο 7 χρησιμοποιήθηκε η τετραγωνική ρίζα του αθροίσματος των τετραγώνων των τιμών στις φασματικές περιοχές 75-87MHz και 87-109MHz.

**Πίνακας Π.195 Μέση Ένταση ηλεκτρικού πεδίου E(V/m) στη φασματική περιοχή Radio FM(75-108MHz):  
Σενάριο μέτρησης 3, Θέση μέτρησης 1, Ύψος μέτρησης 1.5m**

Number of laboratories=			<b>4</b>			
Iteration	0	$\chi_i - x^*$	1	2	<b>Z-Score</b>	<b>Z-Score</b>
$\delta = 1.5s^*$	-		<b>4.3823</b>	<b>4.3479</b>		<b>αύξουσα</b>
$x^* - \delta$	-		<b>11.2181</b>	<b>11.3647</b>		<b>σειρά</b>
$x^* + \delta$	-		<b>19.9826</b>	<b>20.0606</b>		
Lab 4	16.9400	1.3397	16.9400	16.9400	0.423	Lab 28
Lab 7	14.2607	1.3397	14.2607	14.2607	-0.501	Lab 7
Lab 13	18.6500	3.0497	18.6500	18.6500	1.013	Lab 4
Lab 28	13.0000	2.6003	13.0000	13.0000	-0.936	Lab 13
Average	<b>15.713</b>		<b>15.7127</b>	<b>15.7127</b>		
SD	<b>2.556</b>	<b>0.8770</b>	<b>2.5561</b>	<b>2.5561</b>		
New $x^*$	<b>15.600</b>	<b>1.9700</b>	<b>15.7127</b>	<b>15.7127</b>		
New $s^*$	<b>2.922</b>		<b>2.8986</b>	<b>2.8986</b>	<b>1.134*SD</b>	

**ΣΗΜΕΙΩΣΗ:** Για το εργαστήριο 7 χρησιμοποιήθηκε η τετραγωνική ρίζα του αθροίσματος των τετραγώνων των τιμών στις φασματικές περιοχές 75-87MHz και 87-109MHz.

**Πίνακας Π.196 Μέση Ένταση ηλεκτρικού πεδίου E(V/m) στη φασματική περιοχή Radio FM(75-108MHz):  
Σενάριο μέτρησης 3, Θέση μέτρησης 1, Ύψος μέτρησης 1.7m**

Number of laboratories=			<b>4</b>			
Iteration	0	xi-x*	1	2	<b>Z-Score</b>	<b>Z-Score</b>
$\delta=1.5s^*$	-		<b>4.9495</b>	<b>5.1336</b>		<b>αύξουσα</b>
$x^*-\delta$	-		<b>11.5350</b>	<b>11.6587</b>		<b>σειρά</b>
$x^*+\delta$	-		<b>21.4341</b>	<b>21.9259</b>		
Lab 4	18.4500	1.9655	18.4500	18.4500	0.484	Lab 5 -0.816
Lab 5	14.0000	2.4845	14.0000	14.0000	-0.816	Lab 7 -0.664
Lab 7	14.5191	1.9655	14.5191	14.5191	-0.664	Lab 4 0.484
Lab 13	20.2000	3.7155	20.2000	20.2000	0.996	Lab 13 0.996
Average	<b>16.792</b>		<b>16.7923</b>	<b>16.7923</b>		
SD	<b>3.018</b>	<b>0.8256</b>	<b>3.0180</b>	<b>3.0180</b>		
New x*	<b>16.485</b>	<b>2.2250</b>	<b>16.7923</b>	<b>16.7923</b>		
New s*	<b>3.300</b>		<b>3.4224</b>	<b>3.4224</b>	<b>1.134*SD</b>	

**ΣΗΜΕΙΩΣΗ:** Για το εργαστήριο 7 χρησιμοποιήθηκε η τετραγωνική ρίζα του αθροίσματος των τετραγώνων των τιμών στις φασματικές περιοχές 75-87MHz και 87-109MHz.

**Πίνακας Π.197 Μέση Ένταση ηλεκτρικού πεδίου E(V/m) στη φασματική περιοχή Radio FM(75-108MHz):  
Σενάριο μέτρησης 3, Θέση μέτρησης 2, Ύψος μέτρησης 1.5m**

Number of laboratories=			<b>4</b>			
Iteration	0	xi-x*	1	2	<b>Z-Score</b>	<b>Z-Score αύξουσα σειρά</b>
$\delta=1.5s^*$	-		<b>3.2421</b>	<b>3.3967</b>		
$x^*-\delta$	-		<b>12.0504</b>	<b>12.0470</b>		
$x^*+\delta$	-		<b>18.5345</b>	<b>18.8404</b>		
Lab 4	17.8200	2.5276	17.8200	17.8200	1.049	Lab 13 -0.916
Lab 7	16.2849	0.9924	16.2849	16.2849	0.371	Lab 28 -0.505
Lab 13	13.3700	1.9224	13.3700	13.3700	-0.916	Lab 7 0.371
Lab 28	14.3000	0.9924	14.3000	14.3000	-0.505	Lab 4 1.049
Average	<b>15.444</b>		<b>15.4437</b>	<b>15.4437</b>		
SD	<b>1.997</b>	<b>0.7533</b>	<b>1.9969</b>	<b>1.9969</b>		
New x*	<b>15.292</b>	<b>1.4574</b>	<b>15.4437</b>	<b>15.4437</b>		
New s*	<b>2.161</b>		<b>2.2645</b>	<b>2.2645</b>	<b>1.134*SD</b>	

**ΣΗΜΕΙΩΣΗ:** Για το εργαστήριο 7 χρησιμοποιήθηκε η τετραγωνική ρίζα του αθροίσματος των τετραγώνων των τιμών στις φασματικές περιοχές 75-87MHz και 87-109MHz.

**Πίνακας Π.198 Μέση Ένταση ηλεκτρικού πεδίου E(V/m) στη φασματική περιοχή Radio FM(75-108MHz):  
Σενάριο μέτρησης 3, Θέση μέτρησης 2, Ύψος μέτρησης 1.7m**

Number of laboratories=		4								
Iteration	0	xi-x*	1	2	3	4	5	Z-Score	Z-Score αύξουσα σειρά	
$\bar{\delta}=1.5s^*$	-		<b>0.9677</b>	<b>1.1643</b>	<b>1.3933</b>	<b>1.6289</b>	<b>1.7878</b>			
$x^*-\bar{\delta}$	-		<b>13.9623</b>	<b>13.8826</b>	<b>13.7320</b>	<b>13.5732</b>	<b>13.4649</b>			
$x^*+\bar{\delta}$	-		<b>15.8977</b>	<b>16.2112</b>	<b>16.5186</b>	<b>16.8310</b>	<b>17.0405</b>			
Lab 4	14.5600	0.3700	14.5600	14.5600	14.5600	14.5600	14.5600	-0.581	Lab 13	-0.690
Lab 7	16.7207	1.7907	15.8977	16.2112	16.5186	16.7207	16.7207	1.232	Lab 4	-0.581
Lab 13	14.4300	0.5000	14.4300	14.4300	14.4300	14.4300	14.4300	-0.690	Lab 28	0.040
Lab 28	15.3000	0.3700	15.3000	15.3000	15.3000	15.3000	15.3000	0.040	Lab 7	1.232
Average	<b>15.253</b>		<b>15.0469</b>	<b>15.1253</b>	<b>15.2021</b>	<b>15.2527</b>	<b>15.2527</b>			
SD	<b>1.051</b>	<b>0.6914</b>	<b>0.6845</b>	<b>0.8191</b>	<b>0.9576</b>	<b>1.0510</b>	<b>1.0510</b>			
New $x^*$	<b>14.930</b>	<b>0.4350</b>	<b>15.0469</b>	<b>15.1253</b>	<b>15.2021</b>	<b>15.2527</b>	<b>15.2527</b>			
New $s^*$	<b>0.645</b>		<b>0.7762</b>	<b>0.9288</b>	<b>1.0859</b>	<b>1.1919</b>	<b>1.1919</b>			<b>1.134*SD</b>

**ΣΗΜΕΙΩΣΗ:** Για το εργαστήριο 7 χρησιμοποιήθηκε η τετραγωνική ρίζα του αθροίσματος των τετραγώνων των τιμών στις φασματικές περιοχές 75-87MHz και 87-109MHz.



**Πίνακας Π.199 Μέση Ένταση ηλεκτρικού πεδίου E(V/m) στη φασματική περιοχή TV UHF(460-880MHz):  
Σενάριο μέτρησης 1, Θέση μέτρησης 1, Ύψος μέτρησης 1.5m**

Number of laboratories=		6												Z-Score	Z-Score αύξουσα σειρά	
Iteration	0	xi-x*	1	2	3	4	5	...	12	13	14	15	16			
$\bar{\delta}=1.5s^*$	-		<b>0.0431</b>	<b>0.0500</b>	<b>0.0622</b>	<b>0.0767</b>	<b>0.0940</b>	...	<b>0.3688</b>	<b>0.4471</b>	<b>0.5420</b>	<b>0.6427</b>	<b>0.6818</b>			
$x^*-\bar{\delta}$	-		<b>0.1805</b>	<b>0.1815</b>	<b>0.1742</b>	<b>0.1655</b>	<b>0.1549</b>	...	<b>-0.0151</b>	<b>-0.0637</b>	<b>-0.1225</b>	<b>-0.1851</b>	<b>-0.2104</b>			
$x^*+\bar{\delta}$	-		<b>0.2668</b>	<b>0.2815</b>	<b>0.2986</b>	<b>0.3188</b>	<b>0.3429</b>	...	<b>0.7225</b>	<b>0.8306</b>	<b>0.9614</b>	<b>1.1003</b>	<b>1.1533</b>			
Lab 4	0.2252	0.0016	0.2252	0.2252	0.2252	0.2252	0.2252	...	0.2252	0.2252	0.2252	0.2252	0.2252	-0.542	Lab 11	-0.611
Lab 7	0.2220	0.0016	0.2220	0.2220	0.2220	0.2220	0.2220	...	0.2220	0.2220	0.2220	0.2220	0.2220	-0.549	Lab 13	-0.565
Lab 11	0.1939	0.0297	0.1939	0.1939	0.1939	0.1939	0.1939	...	0.1939	0.1939	0.1939	0.1939	0.1939	-0.611	Lab 7	-0.549
Lab 13	0.2145	0.0091	0.2145	0.2145	0.2145	0.2145	0.2145	...	0.2145	0.2145	0.2145	0.2145	0.2145	-0.565	Lab 4	-0.542
Lab 17	1.0445	0.8209	0.2668	0.2815	0.2986	0.3188	0.3429	...	0.7225	0.8306	0.9614	1.0445	1.0445	1.261	Lab 18	1.006
Lab 18	0.9286	0.7050	0.2668	0.2815	0.2986	0.3188	0.3429	...	0.7225	0.8306	0.9286	0.9286	0.9286	1.006	Lab 17	1.261
Average	<b>0.471</b>		<b>0.2315</b>	<b>0.2364</b>	<b>0.2422</b>	<b>0.2489</b>	<b>0.2569</b>	...	<b>0.3834</b>	<b>0.4195</b>	<b>0.4576</b>	<b>0.4715</b>	<b>0.4715</b>			
SD	<b>0.401</b>	<b>0.3904</b>	<b>0.0294</b>	<b>0.0366</b>	<b>0.0451</b>	<b>0.0553</b>	<b>0.0675</b>	...	<b>0.2629</b>	<b>0.3186</b>	<b>0.3779</b>	<b>0.4008</b>	<b>0.4008</b>			
New $x^*$	<b>0.224</b>	<b>0.0194</b>	<b>0.2315</b>	<b>0.2364</b>	<b>0.2422</b>	<b>0.2489</b>	<b>0.2569</b>	...	<b>0.3834</b>	<b>0.4195</b>	<b>0.4576</b>	<b>0.4715</b>	<b>0.4715</b>			
New $s^*$	<b>0.029</b>		<b>0.0333</b>	<b>0.0415</b>	<b>0.0511</b>	<b>0.0627</b>	<b>0.0765</b>	...	<b>0.2981</b>	<b>0.3613</b>	<b>0.4285</b>	<b>0.4545</b>	<b>0.4545</b>	<b>1.134*SD</b>		

**ΣΗΜΕΙΩΣΗ:** Για το εργαστήριο 11 χρησιμοποιήθηκε η τετραγωνική ρίζα του αθροίσματος των τετραγώνων των τιμών στις φασματικές περιοχές 470-790MHz και 790-862MHz.

**Πίνακας Π.200 Μέση Ένταση ηλεκτρικού πεδίου E(V/m) στη φασματική περιοχή TV UHF(460-880MHz):  
Σενάριο μέτρησης 1, Θέση μέτρησης 1, Ύψος μέτρησης 1.7m**

Number of laboratories=			<b>4</b>			
Iteration	0	xi-x*	1	2	<b>Z-Score</b>	<b>Z-Score αύξουσα σειρά</b>
$\delta=1.5s^*$	-		<b>0.0227</b>	<b>0.0252</b>		
$x^*-\delta$	-		<b>0.1584</b>	<b>0.1574</b>		
$x^*+\delta$	-		<b>0.2039</b>	<b>0.2079</b>		
Lab 4	0.1877	0.0066	0.1877	0.1877	0.302	Lab 7 -0.913
Lab 7	0.1673	0.0139	0.1673	0.1673	-0.913	Lab 11 -0.476
Lab 11	0.1746	0.0066	0.1746	0.1746	-0.476	Lab 4 0.302
Lab 13	0.2009	0.0198	0.2009	0.2009	1.087	Lab 13 1.087
Average	<b>0.1826</b>		<b>0.1826</b>	<b>0.1826</b>		
SD	<b>0.0148</b>	<b>0.0064</b>	<b>0.0148</b>	<b>0.0148</b>		
New $x^*$	<b>0.1811</b>	<b>0.0102</b>	<b>0.1826</b>	<b>0.1826</b>		
New $s^*$	<b>0.0152</b>		<b>0.0168</b>	<b>0.0168</b>	<b>1.134*SD</b>	

**ΣΗΜΕΙΩΣΗ:** Για το εργαστήριο 11 χρησιμοποιήθηκε η τετραγωνική ρίζα του αθροίσματος των τετραγώνων των τιμών στις φασματικές περιοχές 470-790MHz και 790-862MHz.

**Πίνακας Π.201 Μέση Ένταση ηλεκτρικού πεδίου E(V/m) στη φασματική περιοχή TV UHF(460-880MHz):  
Σενάριο μέτρησης 1, Θέση μέτρησης 2, Ύψος μέτρησης 1.5m**

Iteration	0	xi-x*	1	2	3	4	5	...	11	12	13	14	15	Z-Score	Z-Score αύξουσα σειρά
Number of laboratories=			<b>6</b>												
$\bar{\delta}=1.5s^*$	-		<b>0.0602</b>	<b>0.0690</b>	<b>0.0856</b>	<b>0.1053</b>	<b>0.1290</b>	...	<b>0.4161</b>	<b>0.5005</b>	<b>0.5557</b>	<b>0.5942</b>	<b>0.6011</b>		
$x^*-\bar{\delta}$	-		<b>0.1215</b>	<b>0.1237</b>	<b>0.1137</b>	<b>0.1017</b>	<b>0.0873</b>	...	<b>-0.0903</b>	<b>-0.1426</b>	<b>-0.1784</b>	<b>-0.2045</b>	<b>-0.2092</b>		
$x^*+\bar{\delta}$	-		<b>0.2419</b>	<b>0.2618</b>	<b>0.2850</b>	<b>0.3124</b>	<b>0.3452</b>	...	<b>0.7419</b>	<b>0.8583</b>	<b>0.9329</b>	<b>0.9839</b>	<b>0.9929</b>		
Lab 4	0.1657	0.0160	0.1657	0.1657	0.1657	0.1657	0.1657	...	0.1657	0.1657	0.1657	0.1657	0.1657	-0.564	Lab 11 -0.620
Lab 7	0.1818	0.0001	0.1818	0.1818	0.1818	0.1818	0.1818	...	0.1818	0.1818	0.1818	0.1818	0.1818	-0.524	Lab 4 -0.564
Lab 11	0.1435	0.0382	0.1435	0.1435	0.1435	0.1435	0.1435	...	0.1435	0.1435	0.1435	0.1435	0.1435	-0.620	Lab 13 -0.525
Lab 13	0.1816	0.0001	0.1816	0.1816	0.1816	0.1816	0.1816	...	0.1816	0.1816	0.1816	0.1816	0.1816	-0.525	Lab 7 -0.524
Lab 17	0.9460	0.7643	0.2419	0.2618	0.2850	0.3124	0.3452	...	0.7419	0.8583	0.9329	0.9460	0.9460	1.383	Lab 18 0.850
Lab 18	0.7326	0.5510	0.2419	0.2618	0.2850	0.3124	0.3452	...	0.7326	0.7326	0.7326	0.7326	0.7326	0.850	Lab 17 1.383
Average	<b>0.392</b>		<b>0.1927</b>	<b>0.1994</b>	<b>0.2071</b>	<b>0.2162</b>	<b>0.2272</b>	...	<b>0.3578</b>	<b>0.3773</b>	<b>0.3897</b>	<b>0.3919</b>	<b>0.3919</b>		
SD	<b>0.353</b>	<b>0.3396</b>	<b>0.0406</b>	<b>0.0503</b>	<b>0.0619</b>	<b>0.0758</b>	<b>0.0925</b>	...	<b>0.2942</b>	<b>0.3267</b>	<b>0.3493</b>	<b>0.3534</b>	<b>0.3534</b>		
New $x^*$	<b>0.182</b>	<b>0.0271</b>	<b>0.1927</b>	<b>0.1994</b>	<b>0.2071</b>	<b>0.2162</b>	<b>0.2272</b>	...	<b>0.3578</b>	<b>0.3773</b>	<b>0.3897</b>	<b>0.3919</b>	<b>0.3919</b>		
New $s^*$	<b>0.040</b>		<b>0.0460</b>	<b>0.0571</b>	<b>0.0702</b>	<b>0.0860</b>	<b>0.1049</b>	...	<b>0.3337</b>	<b>0.3705</b>	<b>0.3961</b>	<b>0.4007</b>	<b>0.4007</b>	<b>1.134*SD</b>	

**ΣΗΜΕΙΩΣΗ:** Για το εργαστήριο 11 χρησιμοποιήθηκε η τετραγωνική ρίζα του αθροίσματος των τετραγώνων των τιμών στις φασματικές περιοχές 470-790MHz και 790-862MHz.

**Πίνακας Π.202 Μέση Ένταση ηλεκτρικού πεδίου E(V/m) στη φασματική περιοχή TV UHF(460-880MHz):  
Σενάριο μέτρησης 1, Θέση μέτρησης 2, Ύψος μέτρησης 1.7m**

Number of laboratories=	<b>4</b>							
Iteration	0	xi-x*	1	2	3	<b>Z-Score</b>	<b>Z-Score αύξουσα σειρά</b>	
$\delta=1.5s^*$	-		<b>0.0322</b>	<b>0.0389</b>	<b>0.0397</b>			
$x^*-\delta$	-		<b>0.1063</b>	<b>0.1037</b>	<b>0.1032</b>			
$x^*+\delta$	-		<b>0.1707</b>	<b>0.1816</b>	<b>0.1827</b>			
Lab 4	0.1252	0.0133	0.1252	0.1252	0.1252	-0.669	Lab 11	-0.759
Lab 7	0.1518	0.0133	0.1518	0.1518	0.1518	0.335	Lab 4	-0.669
Lab 11	0.1228	0.0157	0.1228	0.1228	0.1228	-0.759	Lab 7	0.335
Lab 13	0.1719	0.0334	0.1707	0.1719	0.1719	1.094	Lab 13	1.094
Average	<b>0.1429</b>		<b>0.1426</b>	<b>0.1429</b>	<b>0.1429</b>			
SD	<b>0.0234</b>	<b>0.0097</b>	<b>0.0229</b>	<b>0.0234</b>	<b>0.0234</b>			
New x*	<b>0.1385</b>	<b>0.0145</b>	<b>0.1426</b>	<b>0.1429</b>	<b>0.1429</b>			
New s*	<b>0.0215</b>		<b>0.0259</b>	<b>0.0265</b>	<b>0.0265</b>	<b>1.134*SD</b>		

**ΣΗΜΕΙΩΣΗ:** Για το εργαστήριο 11 χρησιμοποιήθηκε η τετραγωνική ρίζα του αθροίσματος των τετραγώνων των τιμών στις φασματικές περιοχές 470-790MHz και 790-862MHz.

**Πίνακας Π.203 Μέση Ένταση ηλεκτρικού πεδίου E(V/m) στη φασματική περιοχή TV UHF(460-880MHz):  
Σενάριο μέτρησης 1, Θέση μέτρησης 3, Ύψος μέτρησης 1.5m**

Number of laboratories=		<b>5</b>													
Iteration	0	xi-x*	1	2	3	4	5	...	46	47	48	49	50	Z-Score	Z-Score αύξουσα σειρά
$\delta=1.5s^*$	-		<b>0.0015</b>	<b>0.0019</b>	<b>0.0024</b>	<b>0.0030</b>	<b>0.0037</b>	...	<b>0.0598</b>	<b>0.0600</b>	<b>0.0601</b>	<b>0.0603</b>	<b>0.0604</b>		
$x^*-\delta$	-		<b>0.1994</b>	<b>0.1989</b>	<b>0.1984</b>	<b>0.1978</b>	<b>0.1972</b>	...	<b>0.1494</b>	<b>0.1493</b>	<b>0.1492</b>	<b>0.1491</b>	<b>0.1490</b>		
$x^*+\delta$	-		<b>0.2023</b>	<b>0.2027</b>	<b>0.2032</b>	<b>0.2038</b>	<b>0.2045</b>	...	<b>0.2690</b>	<b>0.2692</b>	<b>0.2694</b>	<b>0.2696</b>	<b>0.2698</b>		
Lab 4	0.2002	0.0007	0.2002	0.2002	0.2002	0.2002	0.2002	...	0.2002	0.2002	0.2002	0.2002	0.2002	-0.228	Lab 11 -0.858
Lab 7	0.2009	0.0000	0.2009	0.2009	0.2009	0.2009	0.2009	...	0.2009	0.2009	0.2009	0.2009	0.2009	-0.212	Lab 4 -0.228
Lab 11	0.1748	0.0261	0.1994	0.1989	0.1984	0.1978	0.1972	...	0.1748	0.1748	0.1748	0.1748	0.1748	-0.858	Lab 7 -0.212
Lab 13	0.2014	0.0005	0.2014	0.2014	0.2014	0.2014	0.2014	...	0.2014	0.2014	0.2014	0.2014	0.2014	-0.198	Lab 13 -0.198
Lab 17	<b>1.0753</b>	0.8744	0.2023	0.2027	0.2032	0.2038	0.2045	...	0.2690	0.2692	0.2694	0.2696	0.2698	<b>21.460</b>	Lab 17 <b>21.460</b>
Average	<b>0.3705</b>		<b>0.2008</b>	<b>0.2008</b>	<b>0.2008</b>	<b>0.2008</b>	<b>0.2008</b>	...	<b>0.2092</b>	<b>0.2093</b>	<b>0.2093</b>	<b>0.2094</b>	<b>0.2094</b>		
SD	<b>0.3942</b>	<b>0.3882</b>	<b>0.0011</b>	<b>0.0014</b>	<b>0.0018</b>	<b>0.0022</b>	<b>0.0026</b>	...	<b>0.0352</b>	<b>0.0353</b>	<b>0.0354</b>	<b>0.0355</b>	<b>0.0356</b>		
New x*	<b>0.2009</b>	<b>0.0007</b>	<b>0.2008</b>	<b>0.2008</b>	<b>0.2008</b>	<b>0.2008</b>	<b>0.2008</b>	...	<b>0.2092</b>	<b>0.2093</b>	<b>0.2093</b>	<b>0.2094</b>	<b>0.2094</b>		
New s*	<b>0.0010</b>		<b>0.0013</b>	<b>0.0016</b>	<b>0.0020</b>	<b>0.0024</b>	<b>0.0030</b>	...	<b>0.0400</b>	<b>0.0401</b>	<b>0.0402</b>	<b>0.0403</b>	<b>0.0403</b>	<b>1.134*SD</b>	

**ΣΗΜΕΙΩΣΗ:** Για το εργαστήριο 11 χρησιμοποιήθηκε η τετραγωνική ρίζα του αθροίσματος των τετραγώνων των τιμών στις φασματικές περιοχές 470-790MHz και 790-862MHz.

**Πίνακας Π.204 Μέση Ένταση ηλεκτρικού πεδίου E(V/m) στη φασματική περιοχή TV UHF(460-880MHz):  
Σενάριο μέτρησης 1, Θέση μέτρησης 3, Ύψος μέτρησης 1.7m**

Number of laboratories=		<b>6</b>										Z-Score	Z-Score αύξουσα σειρά	
Iteration	0	xi-x*	1	2	3	4	5	6	7	8	9			
$\delta=1.5s^*$	-		<b>0.0072</b>	<b>0.0087</b>	<b>0.0104</b>	<b>0.0122</b>	<b>0.0140</b>	<b>0.0160</b>	<b>0.0181</b>	<b>0.0203</b>	<b>0.0211</b>			
$x^*-\delta$	-		<b>0.1740</b>	<b>0.1716</b>	<b>0.1693</b>	<b>0.1670</b>	<b>0.1645</b>	<b>0.1620</b>	<b>0.1592</b>	<b>0.1563</b>	<b>0.1552</b>			
$x^*+\delta$	-		<b>0.1884</b>	<b>0.1890</b>	<b>0.1901</b>	<b>0.1913</b>	<b>0.1926</b>	<b>0.1939</b>	<b>0.1954</b>	<b>0.1970</b>	<b>0.1975</b>			
Lab 4	0.1849	0.0037	0.1849	0.1849	0.1849	0.1849	0.1849	0.1849	0.1849	0.1849	0.1849	0.604	Lab 11	-1.287
Lab 7	0.1840	0.0028	0.1840	0.1840	0.1840	0.1840	0.1840	0.1840	0.1840	0.1840	0.1840	0.540	Lab 13	0.143
Lab 11	0.1582	0.0230	0.1740	0.1716	0.1693	0.1670	0.1645	0.1620	0.1592	0.1582	0.1582	-1.287	Lab 7	0.540
Lab 13	0.1784	0.0028	0.1784	0.1784	0.1784	0.1784	0.1784	0.1784	0.1784	0.1784	0.1784	0.143	Lab 4	0.604
Average	<b>0.176</b>		<b>0.1803</b>	<b>0.1797</b>	<b>0.1791</b>	<b>0.1786</b>	<b>0.1780</b>	<b>0.1773</b>	<b>0.1766</b>	<b>0.1764</b>	<b>0.1764</b>			
SD	<b>0.012</b>	<b>0.0099</b>	<b>0.0051</b>	<b>0.0061</b>	<b>0.0072</b>	<b>0.0082</b>	<b>0.0094</b>	<b>0.0106</b>	<b>0.0119</b>	<b>0.0124</b>	<b>0.0124</b>			
New $x^*$	<b>0.181</b>	<b>0.0033</b>	<b>0.1803</b>	<b>0.1797</b>	<b>0.1791</b>	<b>0.1786</b>	<b>0.1780</b>	<b>0.1773</b>	<b>0.1766</b>	<b>0.1764</b>	<b>0.1764</b>			
New $s^*$	<b>0.005</b>		<b>0.0058</b>	<b>0.0069</b>	<b>0.0081</b>	<b>0.0094</b>	<b>0.0107</b>	<b>0.0121</b>	<b>0.0135</b>	<b>0.0141</b>	<b>0.0141</b>	<b>1.134*SD</b>		

**ΣΗΜΕΙΩΣΗ:** Για το εργαστήριο 11 χρησιμοποιήθηκε η τετραγωνική ρίζα του αθροίσματος των τετραγώνων των τιμών στις φασματικές περιοχές 470-790MHz και 790-862MHz.

**Πίνακας Π.204 Μέση Ένταση ηλεκτρικού πεδίου E(V/m) στη φασματική περιοχή TV UHF(460-880MHz):  
Σενάριο μέτρησης 2, Θέση μέτρησης 1, Ύψος μέτρησης 1.5m**

Number of laboratories=		5												Z-Score	Z-Score	
Iteration	0	xi-x*	1	2	3	4	5	...	42	43	44	45	46		αύξουσα	σειρά
$\bar{\delta}=1.5s^*$	-		<b>0.0535</b>	<b>0.0568</b>	<b>0.0628</b>	<b>0.0679</b>	<b>0.0723</b>	...	<b>0.1113</b>	<b>0.1115</b>	<b>0.1116</b>	<b>0.1117</b>	<b>0.1118</b>			
$x^*-\bar{\delta}$	-		<b>0.1355</b>	<b>0.1387</b>	<b>0.1347</b>	<b>0.1311</b>	<b>0.1280</b>	...	<b>0.1002</b>	<b>0.1001</b>	<b>0.1000</b>	<b>0.0999</b>	<b>0.0998</b>			
$x^*+\bar{\delta}$	-		<b>0.2425</b>	<b>0.2523</b>	<b>0.2603</b>	<b>0.2670</b>	<b>0.2727</b>	...	<b>0.3229</b>	<b>0.3231</b>	<b>0.3232</b>	<b>0.3234</b>	<b>0.3235</b>			
Lab 4	0.1562	0.0328	0.1562	0.1562	0.1562	0.1562	0.1562	...	0.1562	0.1562	0.1562	0.1562	0.1562	-0.744	Lab 4	-0.744
Lab 7	0.2131	0.0241	0.2131	0.2131	0.2131	0.2131	0.2131	...	0.2131	0.2131	0.2131	0.2131	0.2131	0.018	Lab 11	-0.469
Lab 11	0.1767	0.0123	0.1767	0.1767	0.1767	0.1767	0.1767	...	0.1767	0.1767	0.1767	0.1767	0.1767	-0.469	Lab 13	-0.304
Lab 13	0.1890	0.0000	0.1890	0.1890	0.1890	0.1890	0.1890	...	0.1890	0.1890	0.1890	0.1890	0.1890	-0.304	Lab 7	0.018
Lab 18	<b>0.8973</b>	0.7083	0.2425	0.2523	0.2603	0.2670	0.2727	...	0.3229	0.3231	0.3232	0.3234	0.3235	<b>9.188</b>	Lab 18	<b>9.188</b>
Average	<b>0.3265</b>		<b>0.1955</b>	<b>0.1975</b>	<b>0.1991</b>	<b>0.2004</b>	<b>0.2015</b>	...	<b>0.2116</b>	<b>0.2116</b>	<b>0.2116</b>	<b>0.2117</b>	<b>0.2117</b>			
SD	<b>0.3198</b>	<b>0.3093</b>	<b>0.0334</b>	<b>0.0369</b>	<b>0.0399</b>	<b>0.0425</b>	<b>0.0448</b>	...	<b>0.0655</b>	<b>0.0656</b>	<b>0.0657</b>	<b>0.0657</b>	<b>0.0658</b>			
New x*	<b>0.1890</b>	<b>0.0241</b>	<b>0.1955</b>	<b>0.1975</b>	<b>0.1991</b>	<b>0.2004</b>	<b>0.2015</b>	...	<b>0.2116</b>	<b>0.2116</b>	<b>0.2116</b>	<b>0.2117</b>	<b>0.2117</b>			
New s*	<b>0.0357</b>		<b>0.0379</b>	<b>0.0419</b>	<b>0.0453</b>	<b>0.0482</b>	<b>0.0508</b>	...	<b>0.0743</b>	<b>0.0744</b>	<b>0.0745</b>	<b>0.0746</b>	<b>0.0746</b>	<b>1.134*SD</b>		

**ΣΗΜΕΙΩΣΗ:** Για το εργαστήριο 11 χρησιμοποιήθηκε η τετραγωνική ρίζα του αθροίσματος των τετραγώνων των τιμών στις φασματικές περιοχές 470-790MHz και 790-862MHz.

**Πίνακας Π.204 Μέση Ένταση ηλεκτρικού πεδίου E(V/m) στη φασματική περιοχή TV UHF(460-880MHz):  
Σενάριο μέτρησης 2, Θέση μέτρησης 1, Ύψος μέτρησης 1.7m**

Number of laboratories=		4										
Iteration	0	xi-x*	1	2	3	4	5	6	Z-Score	Z-Score αύξουσα σειρά		
$\delta=1.5s^*$	-		<b>0.0270</b>	<b>0.0260</b>	<b>0.0260</b>	<b>0.0260</b>	<b>0.0260</b>	<b>0.0260</b>				
$x^*-\delta$	-		<b>0.1630</b>	<b>0.1649</b>	<b>0.1649</b>	<b>0.1649</b>	<b>0.1649</b>	<b>0.1649</b>				
$x^*+\delta$	-		<b>0.2171</b>	<b>0.2170</b>	<b>0.2170</b>	<b>0.2170</b>	<b>0.2170</b>	<b>0.2170</b>				
Lab 4	0.2009	0.0108	0.2009	0.2009	0.2009	0.2009	0.2009	0.2009	0.573	Lab 13	-0.827	
Lab 7	0.2071	0.0170	0.2071	0.2071	0.2071	0.2071	0.2071	0.2071	0.930	Lab 11	-0.676	
Lab 11	0.1792	0.0108	0.1792	0.1792	0.1792	0.1792	0.1792	0.1792	-0.676	Lab 4	0.573	
Lab 13	0.1766	0.0135	0.1766	0.1766	0.1766	0.1766	0.1766	0.1766	-0.827	Lab 7	0.930	
Average	<b>0.1910</b>		<b>0.1910</b>	<b>0.1910</b>	<b>0.1910</b>	<b>0.1910</b>	<b>0.1910</b>	<b>0.1910</b>				
SD	<b>0.0153</b>	<b>0.0029</b>	<b>0.0153</b>	<b>0.0153</b>	<b>0.0153</b>	<b>0.0153</b>	<b>0.0153</b>	<b>0.0153</b>				
New $x^*$	<b>0.1901</b>	<b>0.0122</b>	<b>0.1910</b>	<b>0.1910</b>	<b>0.1910</b>	<b>0.1910</b>	<b>0.1910</b>	<b>0.1910</b>				
New $s^*$	<b>0.0180</b>		<b>0.0174</b>	<b>0.0174</b>	<b>0.0174</b>	<b>0.0174</b>	<b>0.0174</b>	<b>0.0174</b>	<b>1.134*SD</b>			

**ΣΗΜΕΙΩΣΗ:** Για το εργαστήριο 11 χρησιμοποιήθηκε η τετραγωνική ρίζα του αθροίσματος των τετραγώνων των τιμών στις φασματικές περιοχές 470-790MHz και 790-862MHz.



**Πίνακας Π.205 Μέση Ένταση ηλεκτρικού πεδίου E(V/m) στη φασματική περιοχή TV UHF(460-880MHz):  
Σενάριο μέτρησης 2, Θέση μέτρησης 2, Ύψος μέτρησης 1.5m**

Number of laboratories=		<b>5</b>													
Iteration	0	xi-x*	1	2	3	4	5	...	36	37	38	39	40	Z-Score	Z-Score αύξουσα σειρά
$\delta=1.5s^*$	-		<b>0.0369</b>	<b>0.0375</b>	<b>0.0413</b>	<b>0.0445</b>	<b>0.0472</b>	...	<b>0.0711</b>	<b>0.0712</b>	<b>0.0714</b>	<b>0.0715</b>	<b>0.0716</b>		
$x^*-\delta$	-		<b>0.1197</b>	<b>0.1244</b>	<b>0.1219</b>	<b>0.1197</b>	<b>0.1178</b>	...	<b>0.1007</b>	<b>0.1006</b>	<b>0.1005</b>	<b>0.1004</b>	<b>0.1004</b>		
$x^*+\delta$	-		<b>0.1935</b>	<b>0.1995</b>	<b>0.2044</b>	<b>0.2086</b>	<b>0.2122</b>	...	<b>0.2429</b>	<b>0.2431</b>	<b>0.2433</b>	<b>0.2434</b>	<b>0.2435</b>		
Lab 4	0.1503	0.0063	0.1503	0.1503	0.1503	0.1503	0.1503	...	0.1503	0.1503	0.1503	0.1503	0.1503	-0.454	Lab 11 -0.748
Lab 7	0.1732	0.0166	0.1732	0.1732	0.1732	0.1732	0.1732	...	0.1732	0.1732	0.1732	0.1732	0.1732	0.026	Lab 4 -0.454
Lab 11	0.1362	0.0204	0.1362	0.1362	0.1362	0.1362	0.1362	...	0.1362	0.1362	0.1362	0.1362	0.1362	-0.748	Lab 13 -0.322
Lab 13	0.1566	0.0000	0.1566	0.1566	0.1566	0.1566	0.1566	...	0.1566	0.1566	0.1566	0.1566	0.1566	-0.322	Lab 7 0.026
<b>Lab 18</b>	<b>0.5811</b>	0.4245	0.1935	0.1995	0.2044	0.2086	0.2122	...	0.2429	0.2431	0.2433	0.2434	0.2435	<b>8.572</b>	<b>Lab 18 8.572</b>
Average	<b>0.2395</b>		<b>0.1620</b>	<b>0.1632</b>	<b>0.1642</b>	<b>0.1650</b>	<b>0.1657</b>	...	<b>0.1719</b>	<b>0.1719</b>	<b>0.1719</b>	<b>0.1720</b>	<b>0.1720</b>		
SD	<b>0.1914</b>	<b>0.1852</b>	<b>0.0221</b>	<b>0.0243</b>	<b>0.0261</b>	<b>0.0278</b>	<b>0.0292</b>	...	<b>0.0419</b>	<b>0.0420</b>	<b>0.0420</b>	<b>0.0421</b>	<b>0.0422</b>		
New $x^*$	<b>0.1566</b>	<b>0.0166</b>	<b>0.1620</b>	<b>0.1632</b>	<b>0.1642</b>	<b>0.1650</b>	<b>0.1657</b>	...	<b>0.1719</b>	<b>0.1719</b>	<b>0.1719</b>	<b>0.1720</b>	<b>0.1720</b>		
New $s^*$	<b>0.0246</b>		<b>0.0250</b>	<b>0.0275</b>	<b>0.0296</b>	<b>0.0315</b>	<b>0.0331</b>	...	<b>0.0475</b>	<b>0.0476</b>	<b>0.0477</b>	<b>0.0477</b>	<b>0.0478</b>	<b>1.134*SD</b>	

**ΣΗΜΕΙΩΣΗ:** Για το εργαστήριο 11 χρησιμοποιήθηκε η τετραγωνική ρίζα του αθροίσματος των τετραγώνων των τιμών στις φασματικές περιοχές 470-790MHz και 790-862MHz.

**Πίνακας Π.206 Μέση Ένταση ηλεκτρικού πεδίου E(V/m) στη φασματική περιοχή TV UHF(460-880MHz):  
Σενάριο μέτρησης 2, Θέση μέτρησης 2, Ύψος μέτρησης 1.7m**

Number of laboratories=		<b>4</b>						
Iteration	0	xi-x*	1	2	3	Z-Score	Z-Score αύξουσα σειρά	
$\delta=1.5s^*$	-		<b>0.0187</b>	<b>0.0225</b>	<b>0.0262</b>			
$x^*-\delta$	-		<b>0.1242</b>	<b>0.1180</b>	<b>0.1130</b>			
$x^*+\delta$	-		<b>0.1615</b>	<b>0.1630</b>	<b>0.1655</b>			
Lab 4	0.1190	0.0238	0.1242	0.1190	0.1190	-1.156	Lab 4	-1.156
Lab 7	0.1503	0.0074	0.1503	0.1503	0.1503	0.631	Lab 11	-0.217
Lab 11	0.1354	0.0074	0.1354	0.1354	0.1354	-0.217	Lab 7	0.631
Lab 13	0.1522	0.0094	0.1522	0.1522	0.1522	0.742	Lab 13	0.742
Average	<b>0.1392</b>		<b>0.1405</b>	<b>0.1392</b>	<b>0.1392</b>			
SD	<b>0.0154</b>	<b>0.0079</b>	<b>0.0132</b>	<b>0.0154</b>	<b>0.0154</b>			
New $x^*$	<b>0.1428</b>	<b>0.0084</b>	<b>0.1405</b>	<b>0.1392</b>	<b>0.1392</b>			
New $s^*$	<b>0.0124</b>		<b>0.0150</b>	<b>0.0175</b>	<b>0.0175</b>			<b>1.134*SD</b>

**ΣΗΜΕΙΩΣΗ:** Για το εργαστήριο 11 χρησιμοποιήθηκε η τετραγωνική ρίζα του αθροίσματος των τετραγώνων των τιμών στις φασματικές περιοχές 470-790MHz και 790-862MHz.

**Πίνακας Π.207 Μέση Ένταση ηλεκτρικού πεδίου E(V/m) στη φασματική περιοχή TV UHF(460-880MHz):  
Σενάριο μέτρησης 2, Θέση μέτρησης 3, Ύψος μέτρησης 1.5m**

Number of laboratories=			<b>4</b>			
Iteration	0	xi-x*	1	2	<b>Z-Score</b>	<b>Z-Score αύξουσα σειρά</b>
$\delta=1.5s^*$	-		<b>0.0394</b>	<b>0.0408</b>		
$x^*-\delta$	-		<b>0.1444</b>	<b>0.1407</b>		
$x^*+\delta$	-		<b>0.2232</b>	<b>0.2224</b>		
Lab 4	0.1540	0.0298	0.1540	0.1540	-1.013	Lab 4 -1.013
Lab 7	0.1984	0.0146	0.1984	0.1984	0.617	Lab 11 -0.453
Lab 11	0.1693	0.0146	0.1693	0.1693	-0.453	Lab 7 0.617
Lab 13	0.2047	0.0209	0.2047	0.2047	0.849	Lab 13 0.849
Average	<b>0.1816</b>		<b>0.1816</b>	<b>0.1816</b>		
SD	<b>0.0240</b>	<b>0.0072</b>	<b>0.0240</b>	<b>0.0240</b>		
New x*	<b>0.1838</b>	<b>0.0177</b>	<b>0.1816</b>	<b>0.1816</b>		
New s*	<b>0.0263</b>		<b>0.0272</b>	<b>0.0272</b>	<b>1.134*SD</b>	

**ΣΗΜΕΙΩΣΗ:** Για το εργαστήριο 11 χρησιμοποιήθηκε η τετραγωνική ρίζα του αθροίσματος των τετραγώνων των τιμών στις φασματικές περιοχές 470-790MHz και 790-862MHz.

**Πίνακας Π.208 Μέση Ένταση ηλεκτρικού πεδίου E(V/m) στη φασματική περιοχή TV UHF(460-880MHz):  
Σενάριο μέτρησης 2, Θέση μέτρησης 3, Ύψος μέτρησης 1.7m**

Number of laboratories=		4						
Iteration	0	xi-x*	1	2	3	Z-Score	Z-Score αύξουσα σειρά	
$\bar{\delta}=1.5s^*$	-		<b>0.0177</b>	<b>0.0213</b>	<b>0.0243</b>			
$x^*-\bar{\delta}$	-		<b>0.1597</b>	<b>0.1543</b>	<b>0.1503</b>			
$x^*+\bar{\delta}$	-		<b>0.1951</b>	<b>0.1969</b>	<b>0.1989</b>			
Lab 4	0.1721	0.0053	0.1721	0.1721	0.1721	-0.154	Lab 11	-1.172
Lab 7	0.1880	0.0106	0.1880	0.1880	0.1880	0.828	Lab 4	-0.154
Lab 11	0.1556	0.0218	0.1597	0.1556	0.1556	-1.172	Lab 13	0.499
Lab 13	0.1827	0.0053	0.1827	0.1827	0.1827	0.499	Lab 7	0.828
Average	<b>0.1746</b>		<b>0.1756</b>	<b>0.1746</b>	<b>0.1746</b>			
SD	<b>0.0143</b>	<b>0.0078</b>	<b>0.0125</b>	<b>0.0143</b>	<b>0.0143</b>			
New $x^*$	<b>0.1774</b>	<b>0.0080</b>	<b>0.1756</b>	<b>0.1746</b>	<b>0.1746</b>			
New $s^*$	<b>0.0118</b>		<b>0.0142</b>	<b>0.0162</b>	<b>0.0162</b>			1.134*SD

**ΣΗΜΕΙΩΣΗ:** Για το εργαστήριο 11 χρησιμοποιήθηκε η τετραγωνική ρίζα του αθροίσματος των τετραγώνων των τιμών στις φασματικές περιοχές 470-790MHz και 790-862MHz.

**Πίνακας Π.209 Μέση Ένταση ηλεκτρικού πεδίου E(V/m) στη φασματική περιοχή TV UHF(460-880MHz):  
Σενάριο μέτρησης 3, Θέση μέτρησης 1, Ύψος μέτρησης 1.5m**

Number of laboratories=		4					
Iteration	0	xi-x*	1	2	Z-Score	Z-Score	Z-Score
$\bar{\delta}=1.5s^*$	-		<b>0.5183</b>	<b>0.5440</b>			
$x^*-\bar{\delta}$	-		<b>3.8779</b>	<b>3.8416</b>			
$x^*+\bar{\delta}$	-		<b>4.9145</b>	<b>4.9296</b>			
Lab 4	4.0000	0.3962	4.0000	4.0000	-1.063	Lab 4	-1.063
Lab 7	4.5084	0.1122	4.5084	4.5084	0.339	Lab 13	-0.280
Lab 13	4.2840	0.1122	4.2840	4.2840	-0.280	Lab 7	0.339
Lab 28	4.7500	0.3538	4.7500	4.7500	1.005	Lab 28	1.005
Average	<b>4.3856</b>		<b>4.3856</b>	<b>4.3856</b>			
SD	<b>0.3198</b>	<b>0.1527</b>	<b>0.3198</b>	<b>0.3198</b>			
New x*	<b>4.3962</b>	<b>0.2330</b>	<b>4.3856</b>	<b>4.3856</b>			
New s*	<b>0.3455</b>		<b>0.3627</b>	<b>0.3627</b>			1.134*SD

**Πίνακας Π.210 Μέση Ένταση ηλεκτρικού πεδίου E(V/m) στη φασματική περιοχή TV UHF(460-880MHz):  
Σενάριο μέτρησης 3, Θέση μέτρησης 1, Ύψος μέτρησης 1.7m**

Number of laboratories=		4										
Iteration	0	xi-x*	1	2	3	4	5	6	7	Z-Score	Z-Score	
$\bar{\delta}=1.5s^*$	-		<b>0.1824</b>	<b>0.2287</b>	<b>0.2706</b>	<b>0.3142</b>	<b>0.3599</b>	<b>0.4086</b>	<b>0.4567</b>			
$x^*-\bar{\delta}$	-		<b>4.9266</b>	<b>4.8902</b>	<b>4.8622</b>	<b>4.8327</b>	<b>4.8013</b>	<b>4.7677</b>	<b>4.7343</b>			
$x^*+\bar{\delta}$	-		<b>5.2914</b>	<b>5.3475</b>	<b>5.4035</b>	<b>5.4610</b>	<b>5.5212</b>	<b>5.5849</b>	<b>5.6477</b>			
Lab 4	5.130	0.0210	5.1300	5.1300	5.1300	5.1300	5.1300	5.1300	5.1300	-0.200	Lab 13	-0.739
Lab 7	5.088	0.0210	5.0880	5.0880	5.0880	5.0880	5.0880	5.0880	5.0880	-0.338	Lab 7	-0.338
Lab 13	4.966	0.1430	4.9660	4.9660	4.9660	4.9660	4.9660	4.9660	4.9660	-0.739	Lab 4	-0.200
Lab 28	5.580	0.4710	5.2914	5.3475	5.4035	5.4610	5.5212	5.5800	5.5800	1.278	Lab 28	1.278
Average	<b>5.1910</b>		<b>5.1189</b>	<b>5.1329</b>	<b>5.1469</b>	<b>5.1613</b>	<b>5.1763</b>	<b>5.1910</b>	<b>5.1910</b>			
SD	<b>0.2685</b>	<b>0.2126</b>	<b>0.1344</b>	<b>0.1591</b>	<b>0.1847</b>	<b>0.2116</b>	<b>0.2402</b>	<b>0.2685</b>	<b>0.2685</b>			
New x*	<b>5.1090</b>	<b>0.0820</b>	<b>5.1189</b>	<b>5.1329</b>	<b>5.1469</b>	<b>5.1613</b>	<b>5.1763</b>	<b>5.1910</b>	<b>5.1910</b>			
New s*	<b>0.1216</b>		<b>0.1524</b>	<b>0.1804</b>	<b>0.2094</b>	<b>0.2400</b>	<b>0.2724</b>	<b>0.3045</b>	<b>0.3045</b>			1.134*SD

**Πίνακας Π.211 Μέση Ένταση ηλεκτρικού πεδίου E(V/m) στη φασματική περιοχή TV UHF(460-880MHz):  
Σενάριο μέτρησης 3, Θέση μέτρησης 2, Ύψος μέτρησης 1.5m**

Number of laboratories=		4					
Iteration	0	xi-x*	1	2	Z-Score	Z-Score αύξουσα σειρά	
$\bar{\delta}=1.5s^*$	-		<b>1.4722</b>	<b>1.7300</b>			
$x^*-\bar{\delta}$	-		<b>3.3828</b>	<b>3.1496</b>			
$x^*+\bar{\delta}$	-		<b>6.3272</b>	<b>6.6096</b>			
Lab 4	4.990	0.1350	4.9900	4.9900	0.096	Lab 7	-1.052
Lab 7	3.666	1.1886	3.6664	3.6664	-1.052	Lab 28	-0.138
Lab 13	6.142	1.2870	6.1420	6.1420	1.095	Lab 4	0.096
Lab 28	4.720	0.1350	4.7200	4.7200	-0.138	Lab 13	1.095
Average	<b>4.8796</b>		<b>4.8796</b>	<b>4.8796</b>			
SD	<b>1.0170</b>	<b>0.6380</b>	<b>1.0170</b>	<b>1.0170</b>			
New $x^*$	<b>4.8550</b>	<b>0.6618</b>	<b>4.8796</b>	<b>4.8796</b>			
New $s^*$	<b>0.9814</b>		<b>1.1533</b>	<b>1.1533</b>	<b>1.134*SD</b>		

**Πίνακας Π.212 Μέση Ένταση ηλεκτρικού πεδίου E(V/m) στη φασματική περιοχή TV UHF(460-880MHz):  
Σενάριο μέτρησης 3, Θέση μέτρησης 2, Ύψος μέτρησης 1.7m**

Number of laboratories=		4													
Iteration	0	xi-x*	1	2	3	4	5	...	9	10	11	12	13	Z-Score	Z-Score αύξουσα σειρά
$\bar{\delta}=1.5s^*$	-		<b>0.3726</b>	<b>0.4661</b>	<b>0.5516</b>	<b>0.6402</b>	<b>0.7334</b>	...	<b>1.1769</b>	<b>1.3112</b>	<b>1.4574</b>	<b>1.6169</b>	<b>1.6240</b>		
$x^*-\bar{\delta}$	-		<b>4.7924</b>	<b>4.6782</b>	<b>4.5643</b>	<b>4.4471</b>	<b>4.3246</b>	...	<b>3.7462</b>	<b>3.5716</b>	<b>3.3817</b>	<b>3.1747</b>	<b>3.1656</b>		
$x^*+\bar{\delta}$	-		<b>5.5376</b>	<b>5.6105</b>	<b>5.6674</b>	<b>5.7275</b>	<b>5.7914</b>	...	<b>6.0999</b>	<b>6.1940</b>	<b>6.2966</b>	<b>6.4086</b>	<b>6.4136</b>		
Lab 4	5.2100	0.0450	5.2100	5.2100	5.2100	5.2100	5.2100	...	5.2100	5.2100	5.2100	5.2100	5.2100	0.388	Lab 7 -1.308
Lab 7	3.3733	1.7917	4.7924	4.6782	4.5643	4.4471	4.3246	...	3.7462	3.5716	3.3817	3.3733	3.3733	-1.308	Lab 28 0.305
Lab 13	5.4550	0.2900	5.4550	5.4550	5.4550	5.4550	5.4550	...	5.4550	5.4550	5.4550	5.4550	5.4550	0.615	Lab 4 0.388
Lab 28	5.1200	0.0450	5.1200	5.1200	5.1200	5.1200	5.1200	...	5.1200	5.1200	5.1200	5.1200	5.1200	0.305	Lab 13 0.615
Average	<b>4.7896</b>		<b>5.1443</b>	<b>5.1158</b>	<b>5.0873</b>	<b>5.0580</b>	<b>5.0274</b>	...	<b>4.8828</b>	<b>4.8391</b>	<b>4.7917</b>	<b>4.7896</b>	<b>4.7896</b>		
SD	<b>0.9547</b>	<b>0.8405</b>	<b>0.2740</b>	<b>0.3243</b>	<b>0.3763</b>	<b>0.4312</b>	<b>0.4894</b>	...	<b>0.7708</b>	<b>0.8568</b>	<b>0.9506</b>	<b>0.9547</b>	<b>0.9547</b>		
New $x^*$	<b>5.1650</b>	<b>0.1675</b>	<b>5.1443</b>	<b>5.1158</b>	<b>5.0873</b>	<b>5.0580</b>	<b>5.0274</b>	...	<b>4.8828</b>	<b>4.8391</b>	<b>4.7917</b>	<b>4.7896</b>	<b>4.7896</b>		
New $s^*$	<b>0.2484</b>		<b>0.3108</b>	<b>0.3677</b>	<b>0.4268</b>	<b>0.4889</b>	<b>0.5550</b>	...	<b>0.8741</b>	<b>0.9716</b>	<b>1.0780</b>	<b>1.0827</b>	<b>1.0827</b>	<b>1.134*SD</b>	

**Πίνακας Π.213 Μέγιστη Ένταση ηλεκτρικού πεδίου E(V/m) στη φασματική περιοχή GSM(880-1000MHz):  
Σενάριο μέτρησης 1, Θέση μέτρησης 1**

Number of laboratories=		7											
Iteration	0	xi-x*	1	2	3	4	5	6	7	8	Z-Score	Z-Score αύξουσα σειρά	
$\bar{\delta}=1.5s^*$	-		<b>0.9276</b>	<b>1.0381</b>	<b>1.2098</b>	<b>1.3944</b>	<b>1.5948</b>	<b>1.8137</b>	<b>2.0538</b>	<b>2.2662</b>			
$x^*-\bar{\delta}$	-		<b>1.4194</b>	<b>1.4221</b>	<b>1.3143</b>	<b>1.1969</b>	<b>1.0686</b>	<b>0.9275</b>	<b>0.7722</b>	<b>0.6341</b>			
$x^*+\bar{\delta}$	-		<b>3.2746</b>	<b>3.4983</b>	<b>3.7339</b>	<b>3.9858</b>	<b>4.2582</b>	<b>4.5549</b>	<b>4.8798</b>	<b>5.1664</b>			
Lab 6	1.9300	0.4170	1.9300	1.9300	1.9300	1.9300	1.9300	1.9300	1.9300	1.9300	-0.642	Lab 11	-0.708
Lab 10	2.0050	0.3420	2.0050	2.0050	2.0050	2.0050	2.0050	2.0050	2.0050	2.0050	-0.593	Lab 6	-0.642
Lab 11	1.83	0.5170	1.8300	1.8300	1.8300	1.8300	1.8300	1.8300	1.8300	1.8300	-0.708	Lab 10	-0.593
Lab 12	2.3470	0.0000	2.3470	2.3470	2.3470	2.3470	2.3470	2.3470	2.3470	2.3470	-0.366	Lab 12	-0.366
Lab 17	4.7514	2.4044	3.2746	3.4983	3.7339	3.9858	4.2582	4.5549	4.7514	4.7514	1.225	Lab 23	-0.225
Lab 18	4.8782	2.5312	3.2746	3.4983	3.7339	3.9858	4.2582	4.5549	4.8782	4.8782	1.309	Lab 17	1.225
Lab 23	2.5600	0.2130	2.5600	2.5600	2.5600	2.5600	2.5600	2.5600	2.5600	2.5600	-0.225	Lab 18	1.309
Average	<b>2.9002</b>		<b>2.4602</b>	<b>2.5241</b>	<b>2.5914</b>	<b>2.6634</b>	<b>2.7412</b>	<b>2.8260</b>	<b>2.9002</b>	<b>2.9002</b>			
SD	<b>1.3323</b>	<b>1.0720</b>	<b>0.6103</b>	<b>0.7112</b>	<b>0.8198</b>	<b>0.9376</b>	<b>1.0662</b>	<b>1.2074</b>	<b>1.3323</b>	<b>1.3323</b>			
New $x^*$	<b>2.3470</b>	<b>0.4170</b>	<b>2.4602</b>	<b>2.5241</b>	<b>2.5914</b>	<b>2.6634</b>	<b>2.7412</b>	<b>2.8260</b>	<b>2.9002</b>	<b>2.9002</b>			
New $s^*$	<b>0.6184</b>		<b>0.6921</b>	<b>0.8065</b>	<b>0.9296</b>	<b>1.0632</b>	<b>1.2091</b>	<b>1.3692</b>	<b>1.5108</b>	<b>1.5108</b>	<b>1.134*SD</b>		

**ΣΗΜΕΙΩΣΗ:** Για το εργαστήριο 18 χρησιμοποιήθηκε η τετραγωνική ρίζα του αθροίσματος των τετραγώνων των τιμών στις φασματικές περιοχές 935.1-947.5MHz και 947.7-959.9MHz.

Για το εργαστήριο 11 τα δεδομένα έχουν προκύψει με σύγκριση των επιμέρους μέγιστων τιμών ανά ύψος σε κάθε θέση μέτρησης..

**Πίνακας Π.214 Μέγιστη Ένταση ηλεκτρικού πεδίου E(V/m) στη φασματική περιοχή GSM(880-1000MHz):  
Σενάριο μέτρησης 1, Θέση μέτρησης 2**

Number of laboratories=		7												Z-Score	Z-Score αύξουσα σειρά	
Iteration	0	xi-x*	1	2	3	4	5	6	7	8	9	10	11			
$\bar{\delta}=1.5s^*$	-		<b>0.8622</b>	<b>1.0287</b>	<b>1.0902</b>	<b>1.1232</b>	<b>1.1435</b>	<b>1.1560</b>	<b>1.1637</b>	<b>1.1686</b>	<b>1.1716</b>	<b>1.1735</b>	<b>1.1746</b>			
$x^*-\bar{\delta}$	-		<b>0.9368</b>	<b>0.7135</b>	<b>0.6627</b>	<b>0.6400</b>	<b>0.6260</b>	<b>0.6172</b>	<b>0.6118</b>	<b>0.6084</b>	<b>0.6063</b>	<b>0.6050</b>	<b>0.6041</b>			
$x^*+\bar{\delta}$	-		<b>2.6612</b>	<b>2.7709</b>	<b>2.8431</b>	<b>2.8865</b>	<b>2.9129</b>	<b>2.9292</b>	<b>2.9393</b>	<b>2.9456</b>	<b>2.9495</b>	<b>2.9519</b>	<b>2.9534</b>			
Lab 6	1.8770	0.0780	1.8770	1.8770	1.8770	1.8770	1.8770	1.8770	1.8770	1.8770	1.8770	1.8770	1.8770	0.125	Lab 23	-1.119
Lab 10	1.7990	0.0000	1.7990	1.7990	1.7990	1.7990	1.7990	1.7990	1.7990	1.7990	1.7990	1.7990	1.7990	0.026	Lab 12	-0.930
Lab 11	1.685	0.1140	1.6850	1.6850	1.6850	1.6850	1.6850	1.6850	1.6850	1.6850	1.6850	1.6850	1.6850	-0.120	Lab 11	-0.120
Lab 12	1.0500	0.7490	1.0500	1.0500	1.0500	1.0500	1.0500	1.0500	1.0500	1.0500	1.0500	1.0500	1.0500	-0.930	Lab 10	0.026
Lab 17	2.1866	0.3876	2.1866	2.1866	2.1866	2.1866	2.1866	2.1866	2.1866	2.1866	2.1866	2.1866	2.1866	0.520	Lab 6	0.125
Lab 18	3.3446	1.5456	2.6612	2.7709	2.8431	2.8865	2.9129	2.9292	2.9393	2.9456	2.9495	2.9519	2.9534	1.998	Lab 17	0.520
Lab 23	0.9020	0.8970	0.9368	0.9020	0.9020	0.9020	0.9020	0.9020	0.9020	0.9020	0.9020	0.9020	0.9020	-1.119	Lab 18	1.998
Average	<b>1.8349</b>		<b>1.7422</b>	<b>1.7529</b>	<b>1.7632</b>	<b>1.7694</b>	<b>1.7732</b>	<b>1.7755</b>	<b>1.7770</b>	<b>1.7779</b>	<b>1.7784</b>	<b>1.7788</b>	<b>1.7790</b>			
SD	<b>0.8078</b>	<b>0.5616</b>	<b>0.6048</b>	<b>0.6409</b>	<b>0.6603</b>	<b>0.6722</b>	<b>0.6796</b>	<b>0.6842</b>	<b>0.6870</b>	<b>0.6888</b>	<b>0.6899</b>	<b>0.6906</b>	<b>0.6910</b>			
New $x^*$	<b>1.7990</b>	<b>0.3876</b>	<b>1.7422</b>	<b>1.7529</b>	<b>1.7632</b>	<b>1.7694</b>	<b>1.7732</b>	<b>1.7755</b>	<b>1.7770</b>	<b>1.7779</b>	<b>1.7784</b>	<b>1.7788</b>	<b>1.7790</b>			
New $s^*$	<b>0.5748</b>		<b>0.6858</b>	<b>0.7268</b>	<b>0.7488</b>	<b>0.7623</b>	<b>0.7707</b>	<b>0.7758</b>	<b>0.7791</b>	<b>0.7811</b>	<b>0.7823</b>	<b>0.7831</b>	<b>0.7836</b>	<b>1.134*SD</b>		

**ΣΗΜΕΙΩΣΗ:** Για το εργαστήριο 18 χρησιμοποιήθηκε η τετραγωνική ρίζα του αθροίσματος των τετραγώνων των τιμών στις φασματικές περιοχές 935.1-947.5MHz και 947.7-959.9MHz.

Για το εργαστήριο 11 τα δεδομένα έχουν προκύψει με σύγκριση των επιμέρους μέγιστων τιμών ανά ύψος σε κάθε θέση μέτρησης.



**Πίνακας Π.215 Μέγιστη Ένταση ηλεκτρικού πεδίου E(V/m) στη φασματική περιοχή GSM(880-1000MHz):  
Σενάριο μέτρησης 1, Θέση μέτρησης 3**

Number of laboratories=		<b>7</b>									
Iteration	0	xi-x*	1	2	3	4	5	6	Z-Score	Z-Score αύξουσα σειρά	
δ=1.5s*	-		<b>1.3280</b>	<b>1.4822</b>	<b>1.7053</b>	<b>1.9478</b>	<b>2.2129</b>	<b>2.4392</b>			
x*-δ	-		<b>1.6250</b>	<b>1.6002</b>	<b>1.4582</b>	<b>1.3026</b>	<b>1.1316</b>	<b>0.9851</b>			
x*+δ	-		<b>4.2810</b>	<b>4.5646</b>	<b>4.8688</b>	<b>5.1981</b>	<b>5.5573</b>	<b>5.8635</b>			
Lab 6	2.9530	0.0000	2.9530	2.9530	2.9530	2.9530	2.9530	2.9530	-0.290	Lab 23	-0.756
Lab 10	2.3560	0.5970	2.3560	2.3560	2.3560	2.3560	2.3560	2.3560	-0.657	Lab 10	-0.657
Lab 11	2.494	0.4590	2.4940	2.4940	2.4940	2.4940	2.4940	2.4940	-0.572	Lab 11	-0.572
Lab 12	3.0170	0.0640	3.0170	3.0170	3.0170	3.0170	3.0170	3.0170	-0.250	Lab 6	-0.290
Lab 17	5.4773	2.5243	4.2810	4.5646	4.8688	5.1981	5.4773	5.4773	1.263	Lab 12	-0.250
Lab 18	5.4777	2.5247	4.2810	4.5646	4.8688	5.1981	5.4777	5.4777	1.263	Lab 17	1.263
Lab 23	2.1950	0.7580	2.1950	2.1950	2.1950	2.1950	2.1950	2.1950	-0.756	Lab 18	1.263
Average	<b>3.4243</b>		<b>3.0824</b>	<b>3.1635</b>	<b>3.2504</b>	<b>3.3445</b>	<b>3.4243</b>	<b>3.4243</b>			
SD	<b>1.4340</b>	<b>1.0830</b>	<b>0.8714</b>	<b>1.0025</b>	<b>1.1451</b>	<b>1.3009</b>	<b>1.4340</b>	<b>1.4340</b>			
New x*	<b>2.9530</b>	<b>0.5970</b>	<b>3.0824</b>	<b>3.1635</b>	<b>3.2504</b>	<b>3.3445</b>	<b>3.4243</b>	<b>3.4243</b>			
New s*	<b>0.8854</b>		<b>0.9881</b>	<b>1.1369</b>	<b>1.2985</b>	<b>1.4752</b>	<b>1.6261</b>	<b>1.6261</b>			<b>1.134*SD</b>

**ΣΗΜΕΙΩΣΗ:** Για το εργαστήριο 18 χρησιμοποιήθηκε η τετραγωνική ρίζα του αθροίσματος των τετραγώνων των τιμών στις φασματικές περιοχές 935.1-947.5MHz και 947.7-959.9MHz.

Για το εργαστήριο 11 τα δεδομένα έχουν προκύψει με σύγκριση των επιμέρους μέγιστων τιμών ανά ύψος σε κάθε θέση μέτρησης.

Πίνακας Π.216 Μέγιστη Ένταση ηλεκτρικού πεδίου E(V/m) στη φασματική περιοχή DCS(1700-1900MHz):  
Σενάριο μέτρησης 2, Θέση μέτρησης 1

Number of laboratories=		6													Z-Score	Z-Score	
Iteration	0	xi-x*	1	2	3	4	5	...	17	18	19	20	21	αύξουσα		σειρά	
$\delta=1.5s^*$	-		<b>0.4961</b>	<b>0.5905</b>	<b>0.6829</b>	<b>0.7761</b>	<b>0.8717</b>	...	<b>1.2478</b>	<b>1.2502</b>	<b>1.2521</b>	<b>1.2534</b>	<b>1.2544</b>				
$x^*-\delta$	-		<b>1.2299</b>	<b>1.1095</b>	<b>1.0085</b>	<b>0.9123</b>	<b>0.8158</b>	...	<b>0.3811</b>	<b>0.3779</b>	<b>0.3756</b>	<b>0.3739</b>	<b>0.3726</b>				
$x^*+\delta$	-		<b>2.2221</b>	<b>2.2905</b>	<b>2.3742</b>	<b>2.4645</b>	<b>2.5591</b>	...	<b>2.8767</b>	<b>2.8784</b>	<b>2.8797</b>	<b>2.8807</b>	<b>2.8814</b>				
Lab 6	2.6400	0.9140	2.2221	2.2905	2.3742	2.4645	2.5591	...	2.6400	2.6400	2.6400	2.6400	2.6400	1.211	Lab 18	-1.722	
Lab 10	1.6890	0.0370	1.6890	1.6890	1.6890	1.6890	1.6890	...	1.6890	1.6890	1.6890	1.6890	1.6890	0.074	Lab 11	-0.241	
Lab 11	1.425	0.3010	1.4250	1.4250	1.4250	1.4250	1.4250	...	1.4250	1.4250	1.4250	1.4250	1.4250	-0.241	Lab 10	0.074	
Lab 12	1.8710	0.1450	1.8710	1.8710	1.8710	1.8710	1.8710	...	1.8710	1.8710	1.8710	1.8710	1.8710	0.292	Lab 23	0.163	
Lab 18	0.1860	1.5400	1.2299	1.1095	1.0085	0.9123	0.8158	...	0.3811	0.3779	0.3756	0.3739	0.3726	-1.722	Lab 12	0.292	
Lab 23	1.7630	0.0370	1.7630	1.7630	1.7630	1.7630	1.7630	...	1.7630	1.7630	1.7630	1.7630	1.7630	0.163	Lab 6	1.211	
Average	<b>1.596</b>		<b>1.7000</b>	<b>1.6913</b>	<b>1.6884</b>	<b>1.6875</b>	<b>1.6872</b>	...	<b>1.6282</b>	<b>1.6277</b>	<b>1.6273</b>	<b>1.6270</b>	<b>1.6268</b>				
SD	<b>0.802</b>	<b>0.6078</b>	<b>0.3471</b>	<b>0.4014</b>	<b>0.4563</b>	<b>0.5124</b>	<b>0.5706</b>	...	<b>0.7350</b>	<b>0.7361</b>	<b>0.7369</b>	<b>0.7375</b>	<b>0.7379</b>				
New $x^*$	<b>1.726</b>	<b>0.2230</b>	<b>1.7000</b>	<b>1.6913</b>	<b>1.6884</b>	<b>1.6875</b>	<b>1.6872</b>	...	<b>1.6282</b>	<b>1.6277</b>	<b>1.6273</b>	<b>1.6270</b>	<b>1.6268</b>				
New $s^*$	<b>0.331</b>		<b>0.3936</b>	<b>0.4552</b>	<b>0.5174</b>	<b>0.5811</b>	<b>0.6470</b>	...	<b>0.8335</b>	<b>0.8347</b>	<b>0.8356</b>	<b>0.8363</b>	<b>0.8368</b>	1.134*SD			

**ΣΗΜΕΙΩΣΗ:** Για το εργαστήριο 11 τα δεδομένα έχουν προκύψει με σύγκριση των επιμέρους μέγιστων τιμών ανά ύψος σε κάθε θέση μέτρησης.

**Πίνακας Π.217 Μέγιστη Ένταση ηλεκτρικού πεδίου E(V/m) στη φασματική περιοχή DCS(1700-1900MHz):  
Σενάριο μέτρησης 2, Θέση μέτρησης 2**

Number of laboratories=		<b>6</b>													Z-Score	Z-Score	
Iteration	0	$\chi_i - x^*$	1	2	3	4	5	...	19	20	21	22	23	αύξουσα		σειρά	
$\delta = 1.5s^*$	-		<b>0.4961</b>	<b>0.5905</b>	<b>0.6829</b>	<b>0.7761</b>	<b>0.8717</b>	...	<b>1.2521</b>	<b>1.2534</b>	<b>1.2544</b>	<b>1.2552</b>	<b>1.2557</b>				
$x^* - \delta$	-		<b>1.2299</b>	<b>1.1095</b>	<b>1.0085</b>	<b>0.9123</b>	<b>0.8158</b>	...	<b>0.3756</b>	<b>0.3739</b>	<b>0.3726</b>	<b>0.3716</b>	<b>0.3709</b>				
$x^* + \delta$	-		<b>2.2221</b>	<b>2.2905</b>	<b>2.3742</b>	<b>2.4645</b>	<b>2.5591</b>	...	<b>2.8797</b>	<b>2.8807</b>	<b>2.8814</b>	<b>2.8819</b>	<b>2.8823</b>				
Lab 6	2.6400	0.9140	2.2221	2.2905	2.3742	2.4645	2.5591	...	2.6400	2.6400	2.6400	2.6400	2.6400	1.210	Lab 18	-1.720	
Lab 10	1.6890	0.0370	1.6890	1.6890	1.6890	1.6890	1.6890	...	1.6890	1.6890	1.6890	1.6890	1.6890	0.075	Lab 11	-0.241	
Lab 11	1.425	0.3010	1.4250	1.4250	1.4250	1.4250	1.4250	...	1.4250	1.4250	1.4250	1.4250	1.4250	-0.241	Lab 10	0.075	
Lab 12	1.8710	0.1450	1.8710	1.8710	1.8710	1.8710	1.8710	...	1.8710	1.8710	1.8710	1.8710	1.8710	0.292	Lab 23	0.163	
Lab 18	0.1860	1.5400	1.2299	1.1095	1.0085	0.9123	0.8158	...	0.3756	0.3739	0.3726	0.3716	0.3709	-1.720	Lab 12	0.292	
Lab 23	1.7630	0.0370	1.7630	1.7630	1.7630	1.7630	1.7630	...	1.7630	1.7630	1.7630	1.7630	1.7630	0.163	Lab 6	1.210	
Average	<b>1.596</b>		<b>1.7000</b>	<b>1.6913</b>	<b>1.6884</b>	<b>1.6875</b>	<b>1.6872</b>	...	<b>1.6273</b>	<b>1.6270</b>	<b>1.6268</b>	<b>1.6266</b>	<b>1.6265</b>				
SD	<b>0.802</b>	<b>0.6078</b>	<b>0.3471</b>	<b>0.4014</b>	<b>0.4563</b>	<b>0.5124</b>	<b>0.5706</b>	...	<b>0.7369</b>	<b>0.7375</b>	<b>0.7379</b>	<b>0.7382</b>	<b>0.7385</b>				
New $x^*$	<b>1.726</b>	<b>0.2230</b>	<b>1.7000</b>	<b>1.6913</b>	<b>1.6884</b>	<b>1.6875</b>	<b>1.6872</b>	...	<b>1.6273</b>	<b>1.6270</b>	<b>1.6268</b>	<b>1.6266</b>	<b>1.6265</b>				
New $s^*$	<b>0.331</b>		<b>0.3936</b>	<b>0.4552</b>	<b>0.5174</b>	<b>0.5811</b>	<b>0.6470</b>	...	<b>0.8356</b>	<b>0.8363</b>	<b>0.8368</b>	<b>0.8371</b>	<b>0.8374</b>	<b>1.134*SD</b>			

**ΣΗΜΕΙΩΣΗ:** Για το εργαστήριο 11 τα δεδομένα έχουν προκύψει με σύγκριση των επιμέρους μέγιστων τιμών ανά ύψος σε κάθε θέση μέτρησης.

**Πίνακας Π.218 Μέγιστη Ένταση ηλεκτρικού πεδίου E(V/m) στη φασματική περιοχή DCS(1700-1900MHz):  
Σενάριο μέτρησης 2, Θέση μέτρησης 3**

Number of laboratories=		<b>5</b>										
Iteration	0	xi-x*	1	2	3	4	5	6	7	Z-Score	Z-Score αύξουσα σειρά	
$\delta=1.5s^*$	-		<b>0.7452</b>	<b>0.9331</b>	<b>1.1485</b>	<b>1.4023</b>	<b>1.6725</b>	<b>1.8441</b>	<b>1.9014</b>			
$x^*-\delta$	-		<b>1.1138</b>	<b>0.9885</b>	<b>0.7981</b>	<b>0.5543</b>	<b>0.2775</b>	<b>0.0506</b>	<b>-0.0246</b>			
$x^*+\delta$	-		<b>2.6042</b>	<b>2.8547</b>	<b>3.0952</b>	<b>3.3590</b>	<b>3.6226</b>	<b>3.7388</b>	<b>3.7781</b>			
Lab 6	3.3060	1.4470	2.6042	2.8547	3.0952	3.3060	3.3060	3.3060	3.3060	1.128	Lab 18	-1.332
Lab 10	1.8590	0.0000	1.8590	1.8590	1.8590	1.8590	1.8590	1.8590	1.8590	-0.014	Lab 11	-0.031
Lab 11	1.837	0.0220	1.8370	1.8370	1.8370	1.8370	1.8370	1.8370	1.8370	-0.031	Lab 10	-0.014
Lab 12	2.1940	0.3350	2.1940	2.1940	2.1940	2.1940	2.1940	2.1940	2.1940	0.250	Lab 12	0.250
Lab 18	0.1878	1.6712	1.1138	0.9885	0.7981	0.5543	0.2775	0.1878	0.1878	-1.332	Lab 6	1.128
Average	<b>1.877</b>		<b>1.9216</b>	<b>1.9466</b>	<b>1.9567</b>	<b>1.9501</b>	<b>1.8947</b>	<b>1.8768</b>	<b>1.8768</b>			
SD	<b>1.118</b>	<b>0.8037</b>	<b>0.5486</b>	<b>0.6752</b>	<b>0.8244</b>	<b>0.9833</b>	<b>1.0841</b>	<b>1.1178</b>	<b>1.1178</b>			
New x*	<b>1.859</b>	<b>0.3350</b>	<b>1.9216</b>	<b>1.9466</b>	<b>1.9567</b>	<b>1.9501</b>	<b>1.8947</b>	<b>1.8768</b>	<b>1.8768</b>			
New s*	<b>0.497</b>		<b>0.6221</b>	<b>0.7657</b>	<b>0.9349</b>	<b>1.1150</b>	<b>1.2294</b>	<b>1.2676</b>	<b>1.2676</b>	<b>1.134*SD</b>		

**ΣΗΜΕΙΩΣΗ:** Για το εργαστήριο 11 τα δεδομένα έχουν προκύψει με σύγκριση των επιμέρους μέγιστων τιμών ανά ύψος σε κάθε θέση μέτρησης.

**Πίνακας Π.219 Μέγιστη Ένταση ηλεκτρικού πεδίου E(V/m) στη φασματική περιοχή UMTS(1900-2200MHz):  
Σενάριο μέτρησης 2, Θέση μέτρησης 1**

Number of laboratories=		6														
Iteration	0	xi-x*	1	2	3	4	5	...	10	11	12	13	14	Z-Score	Z-Score	
$\delta=1.5s^*$	-		<b>0.4594</b>	<b>0.4981</b>	<b>0.5359</b>	<b>0.5627</b>	<b>0.5819</b>	...	<b>0.6234</b>	<b>0.6264</b>	<b>0.6287</b>	<b>0.6304</b>	<b>0.6316</b>			
$x^*-\delta$	-		<b>0.9876</b>	<b>0.9135</b>	<b>0.8633</b>	<b>0.8282</b>	<b>0.8031</b>	...	<b>0.7494</b>	<b>0.7455</b>	<b>0.7426</b>	<b>0.7404</b>	<b>0.7388</b>			
$x^*+\delta$	-		<b>1.9064</b>	<b>1.9097</b>	<b>1.9351</b>	<b>1.9536</b>	<b>1.9669</b>	...	<b>1.9962</b>	<b>1.9983</b>	<b>1.9999</b>	<b>2.0011</b>	<b>2.0020</b>			
Lab 6	1.6280	0.1810	1.6280	1.6280	1.6280	1.6280	1.6280	...	1.6280	1.6280	1.6280	1.6280	1.6280	0.611	Lab 18 -1.889	
Lab 10	1.6050	0.1580	1.6050	1.6050	1.6050	1.6050	1.6050	...	1.6050	1.6050	1.6050	1.6050	1.6050	0.557	Lab 23 -0.368	
Lab 11	1.289	0.1580	1.2890	1.2890	1.2890	1.2890	1.2890	...	1.2890	1.2890	1.2890	1.2890	1.2890	-0.192	Lab 11 -0.192	
Lab 12	1.7450	0.2980	1.7450	1.7450	1.7450	1.7450	1.7450	...	1.7450	1.7450	1.7450	1.7450	1.7450	0.889	Lab 10 0.557	
Lab 18	0.5737	0.8733	0.9876	0.9135	0.8633	0.8282	0.8031	...	0.7494	0.7455	0.7426	0.7404	0.7388	-1.889	Lab 6 0.611	
Lab 23	1.2150	0.2320	1.2150	1.2150	1.2150	1.2150	1.2150	...	1.2150	1.2150	1.2150	1.2150	1.2150	-0.368	Lab 12 0.889	
Average	<b>1.343</b>		<b>1.4116</b>	<b>1.3992</b>	<b>1.3909</b>	<b>1.3850</b>	<b>1.3809</b>	...	<b>1.3719</b>	<b>1.3712</b>	<b>1.3708</b>	<b>1.3704</b>	<b>1.3701</b>			
SD	<b>0.430</b>	<b>0.2779</b>	<b>0.2929</b>	<b>0.3151</b>	<b>0.3308</b>	<b>0.3421</b>	<b>0.3503</b>	...	<b>0.3683</b>	<b>0.3696</b>	<b>0.3706</b>	<b>0.3713</b>	<b>0.3719</b>			
New x*	<b>1.447</b>	<b>0.2065</b>	<b>1.4116</b>	<b>1.3992</b>	<b>1.3909</b>	<b>1.3850</b>	<b>1.3809</b>	...	<b>1.3719</b>	<b>1.3712</b>	<b>1.3708</b>	<b>1.3704</b>	<b>1.3701</b>			
New s*	<b>0.306</b>		<b>0.3321</b>	<b>0.3573</b>	<b>0.3751</b>	<b>0.3879</b>	<b>0.3973</b>	...	<b>0.4176</b>	<b>0.4191</b>	<b>0.4202</b>	<b>0.4211</b>	<b>0.4217</b>	<b>1.134*SD</b>		

**ΣΗΜΕΙΩΣΗ:** Για το εργαστήριο 11 τα δεδομένα έχουν προκύψει με σύγκριση των επιμέρους μέγιστων τιμών ανά ύψος σε κάθε θέση μέτρησης.

**Πίνακας Π.220 Μέγιστη Ένταση ηλεκτρικού πεδίου E(V/m) στη φασματική περιοχή UMTS(1900-2200MHz):  
Σενάριο μέτρησης 2, Θέση μέτρησης 2**

Number of laboratories=				<b>6</b>			
Iteration	0	xi-x*	1	2	<b>Z-Score</b>	<b>Z-Score αύξουσα σειρά</b>	
$\bar{\delta}=1.5s^*$	-		<b>0.8848</b>	<b>0.7957</b>			
$x^*-\bar{\delta}$	-		<b>0.0517</b>	<b>0.1536</b>			
$x^*+\bar{\delta}$	-		<b>1.8213</b>	<b>1.7450</b>			
Lab 6	1.3840	0.4475	1.3840	1.3840	0.819	Lab 18	-1.171
Lab 10	1.1110	0.1745	1.1110	1.1110	0.305	Lab 11	-0.680
Lab 11	0.5885	0.3480	0.5885	0.5885	-0.680	Lab 23	-0.353
Lab 12	1.5220	0.5855	1.5220	1.5220	1.080	Lab 10	0.305
Lab 18	0.3282	0.6083	0.3282	0.3282	-1.171	Lab 6	0.819
Lab 23	0.7620	0.1745	0.7620	0.7620	-0.353	Lab 12	1.080
Average	<b>0.949</b>		<b>0.9493</b>	<b>0.9493</b>			
SD	<b>0.468</b>	<b>0.1917</b>	<b>0.4678</b>	<b>0.4678</b>			
New x*	<b>0.937</b>	<b>0.3978</b>	<b>0.9493</b>	<b>0.9493</b>			
New s*	<b>0.590</b>		<b>0.5305</b>	<b>0.5305</b>			
							1.134*SD

**ΣΗΜΕΙΩΣΗ:** Για το εργαστήριο 11 τα δεδομένα έχουν προκύψει με σύγκριση των επιμέρους μέγιστων τιμών ανά ύψος σε κάθε θέση μέτρησης.

**Πίνακας Π.221 Μέγιστη Ένταση ηλεκτρικού πεδίου E(V/m) στη φασματική περιοχή UMTS(1900-2200MHz):  
Σενάριο μέτρησης 2, Θέση μέτρησης 3**

Number of laboratories=		<b>5</b>												
Iteration	0	$\chi_i - x^*$	1	2	3	4	5	6	7	8	9	Z-Score	Z-Score αύξουσα σειρά	
$\bar{\delta} = 1.5s^*$	-		<b>0.4293</b>	<b>0.5062</b>	<b>0.5643</b>	<b>0.6135</b>	<b>0.6559</b>	<b>0.6928</b>	<b>0.7253</b>	<b>0.7541</b>	<b>0.7594</b>			
$x^* - \bar{\delta}$	-		<b>0.8427</b>	<b>0.7468</b>	<b>0.6694</b>	<b>0.6048</b>	<b>0.5495</b>	<b>0.5015</b>	<b>0.4594</b>	<b>0.4222</b>	<b>0.4153</b>			
$x^* + \bar{\delta}$	-		<b>1.7013</b>	<b>1.7591</b>	<b>1.7981</b>	<b>1.8318</b>	<b>1.8612</b>	<b>1.8871</b>	<b>1.9100</b>	<b>1.9304</b>	<b>1.9342</b>			
Lab 6	1.2720	0.0000	1.2720	1.2720	1.2720	1.2720	1.2720	1.2720	1.2720	1.2720	1.2720	0.192	Lab 18	-1.428
Lab 10	1.0930	0.1790	1.0930	1.0930	1.0930	1.0930	1.0930	1.0930	1.0930	1.0930	1.0930	-0.161	Lab 10	-0.161
Lab 11	1.592	0.3200	1.5920	1.5920	1.5920	1.5920	1.5920	1.5920	1.5920	1.5920	1.5920	0.824	Lab 6	0.192
Lab 12	1.4650	0.1930	1.4650	1.4650	1.4650	1.4650	1.4650	1.4650	1.4650	1.4650	1.4650	0.573	Lab 12	0.573
Lab 18	0.4517	0.8203	0.8427	0.7468	0.6694	0.6048	0.5495	0.5015	0.4594	0.4517	0.4517	-1.428	Lab 11	0.824
Average	<b>1.175</b>		<b>1.2529</b>	<b>1.2338</b>	<b>1.2183</b>	<b>1.2054</b>	<b>1.1943</b>	<b>1.1847</b>	<b>1.1763</b>	<b>1.1747</b>	<b>1.1747</b>			
SD	<b>0.446</b>	<b>0.3111</b>	<b>0.2976</b>	<b>0.3318</b>	<b>0.3607</b>	<b>0.3856</b>	<b>0.4073</b>	<b>0.4264</b>	<b>0.4433</b>	<b>0.4465</b>	<b>0.4465</b>			
New $x^*$	<b>1.272</b>	<b>0.1930</b>	<b>1.2529</b>	<b>1.2338</b>	<b>1.2183</b>	<b>1.2054</b>	<b>1.1943</b>	<b>1.1847</b>	<b>1.1763</b>	<b>1.1747</b>	<b>1.1747</b>			
New $s^*$	<b>0.286</b>		<b>0.3374</b>	<b>0.3762</b>	<b>0.4090</b>	<b>0.4372</b>	<b>0.4619</b>	<b>0.4835</b>	<b>0.5027</b>	<b>0.5063</b>	<b>0.5063</b>	<b>1.134*SD</b>		

**ΣΗΜΕΙΩΣΗ:** Για το εργαστήριο 11 τα δεδομένα έχουν προκύψει με σύγκριση των επιμέρους μέγιστων τιμών ανά ύψος σε κάθε θέση μέτρησης

## ***Βιβλιογραφία***

- [1]ILAC G13: 2000, “Guidelines for the Requirements for the Competence of Providers of Proficiency Testing Schemes”.
- [2]ISO/IEC Guide 43-1: 1997, “Proficiency testing by Interlaboratory Comparisons - Part 1: Development and operation of proficiency testing schemes”.
- [3]ISO/IEC Guide 43-2: 1997, “Proficiency testing by Interlaboratory Comparisons - Part 2: Selection and use of proficiency testing schemes by laboratory accreditation bodies”.
- [4]ISO 13528: 2005, “Statistical methods for use in proficiency testing by interlaboratory comparisons”.
- [5]ISO 5725-6: 1994, “Accuracy (trueness and precision) of measurement methods and results – Part 2: Basic method for the determination of repeatability and reproducibility of a standard measurement method”.
- [6]Χ.Α. Χριστοδούλου Π.Σ. Κατσιβέλης Ι.Φ. Γκόνοϋ Ι.Α. Σταθόπουλος, “Συγκριτικές μετρήσεις ηλεκτρομαγνητικού πεδίου χαμηλών συχνοτήτων”, 3<sup>ο</sup> Τακτικό Εθνικό Συνέδριο Μετρολογίας, Λάρνακα, Κύπρος, 5 και 6 Φεβρουαρίου 2010.
- [7]Ελληνική Επιτροπή Ατομικής Ενέργειας (ΕΕΑΕ),  
“Χαμηλόσυχνα ηλεκτρικά και μαγνητικά πεδία”, 2005,  
Ιστοσελίδα: [http://www.eeae.gr/gr/docs/president/\\_xamilosixna.pdf](http://www.eeae.gr/gr/docs/president/_xamilosixna.pdf).
- [8]“Συστήματα Κινητών Επικοινωνιών”, Αθανάσιος Κανάτας, Φίλιππος Κωνσταντίνου, Γεώργιος Πάντος, Αθήνα, 2008.
- [9]Δρ.Ε.Λαμπή, “Μετρολογία-διαπίστευση: Εργαλεία για την επίτευξη της εργαστηριακής αξιοπιστίας, Εισήγηση: Διεργαστηριακές συγκρίσεις και σχήματα δοκιμών ικανότητας”, Εκπαιδευτικό σεμινάριο HELLASLAB, Σχολείο για τη μετρολογία.